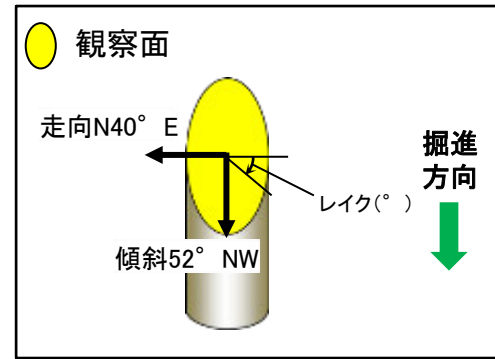
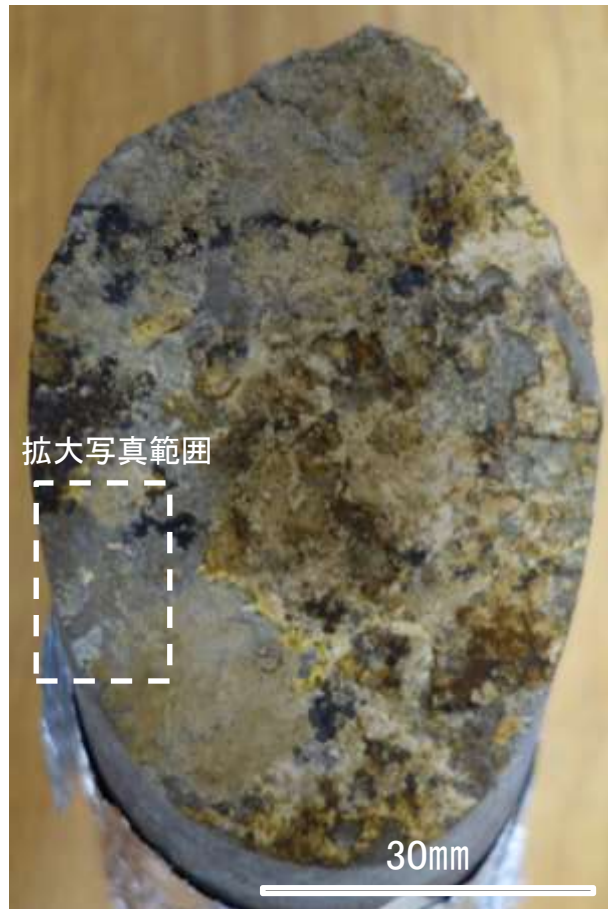


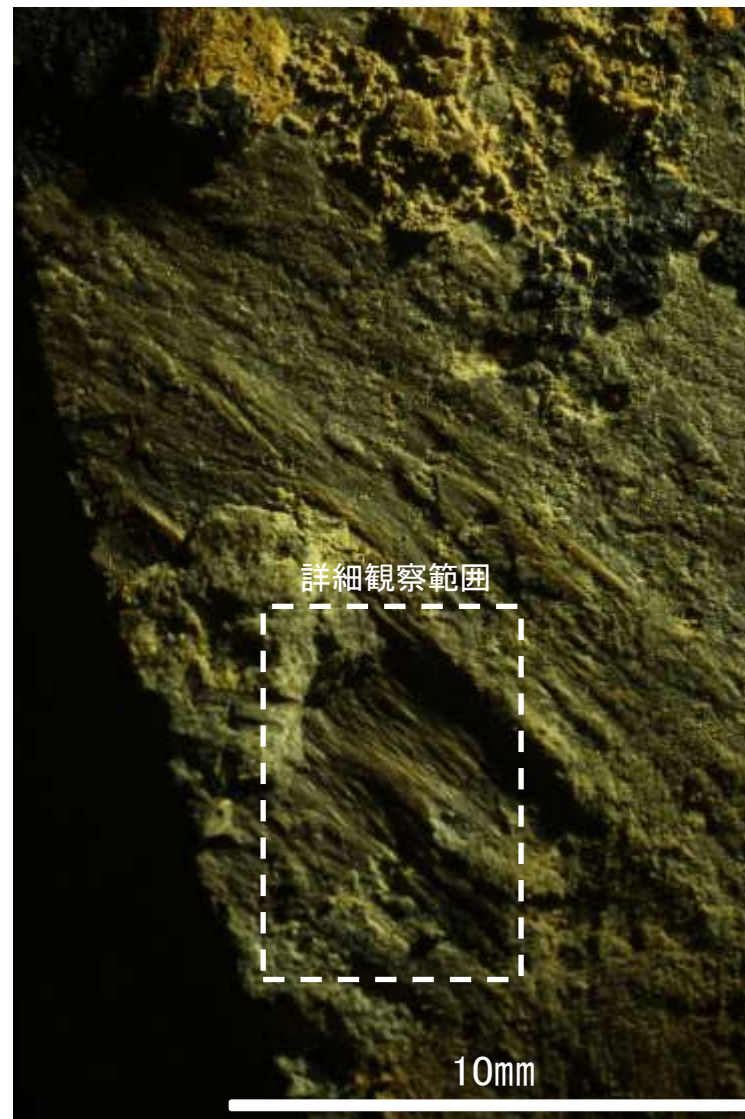
# 条線観察結果 ボーリングG-9.3-2孔[深度66.52m](下盤側)



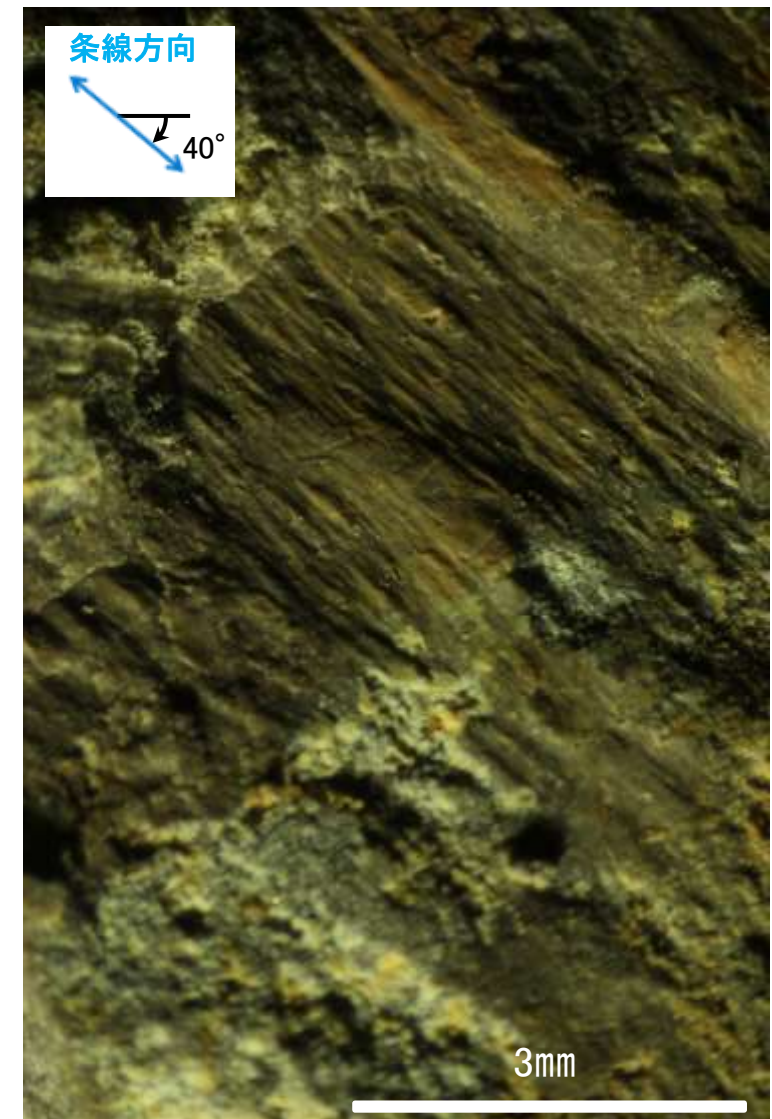
概念図  
※走向は真北で示す。



観察面写真



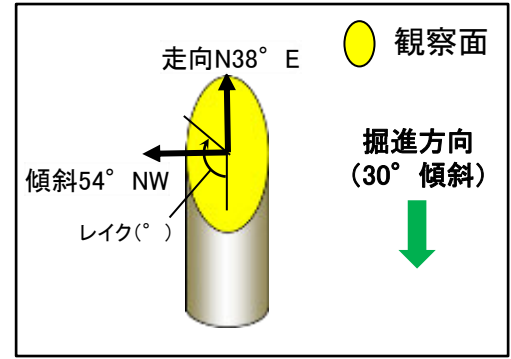
観察面拡大写真



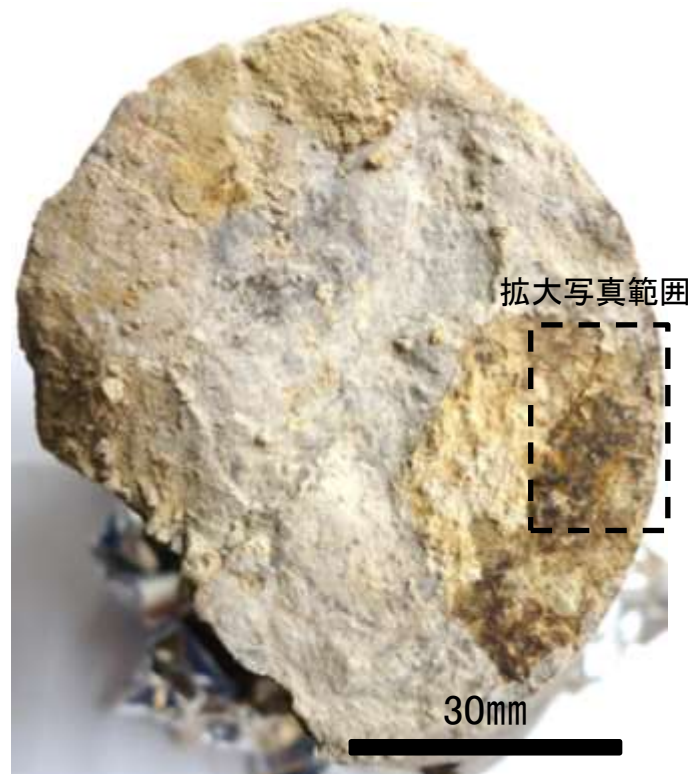
詳細観察写真

・条線のレイクは40° R, 変位センスは不明

# 条線観察結果 ボーリングE-8.50' 孔[深度113.10m](下盤側)



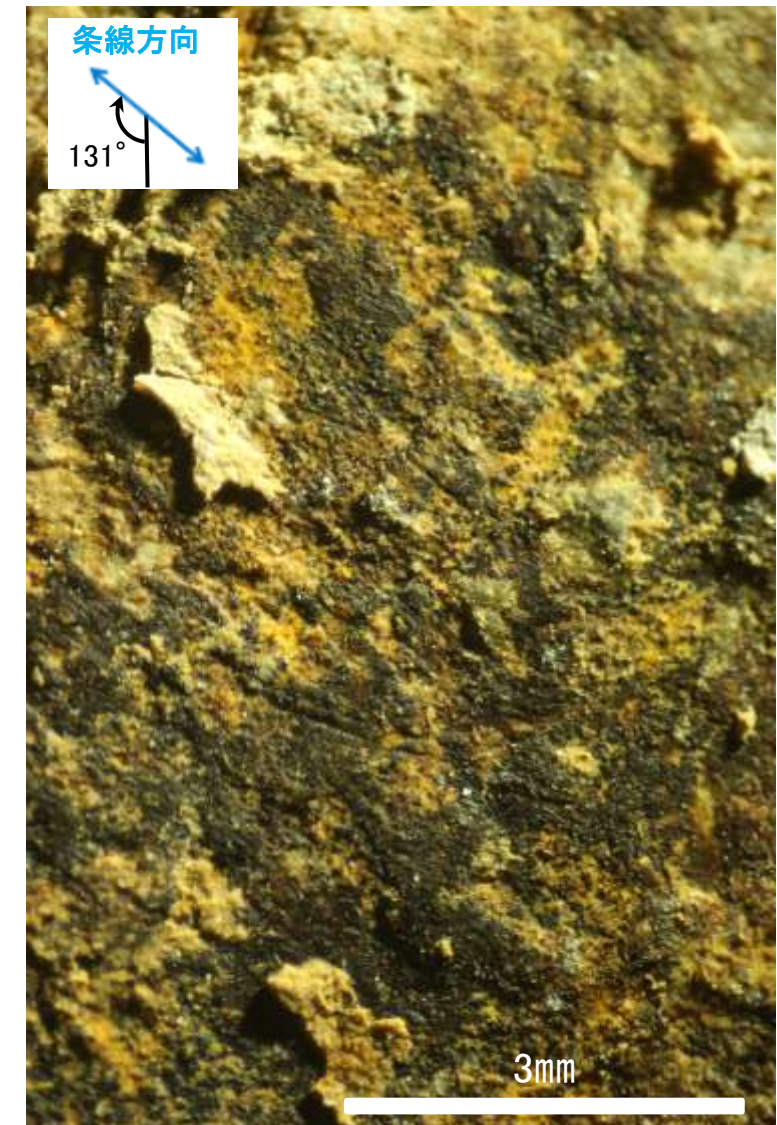
概念図  
※走向は真北で示す。



観察面写真



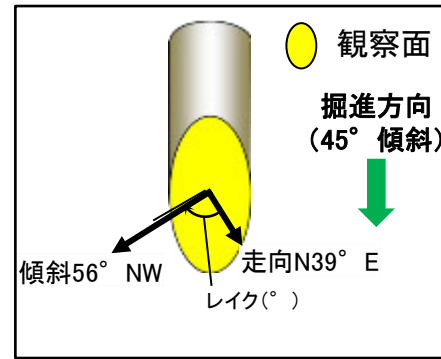
観察面拡大写真



詳細観察写真

・条線のレイクは131° R, 変位センスは不明

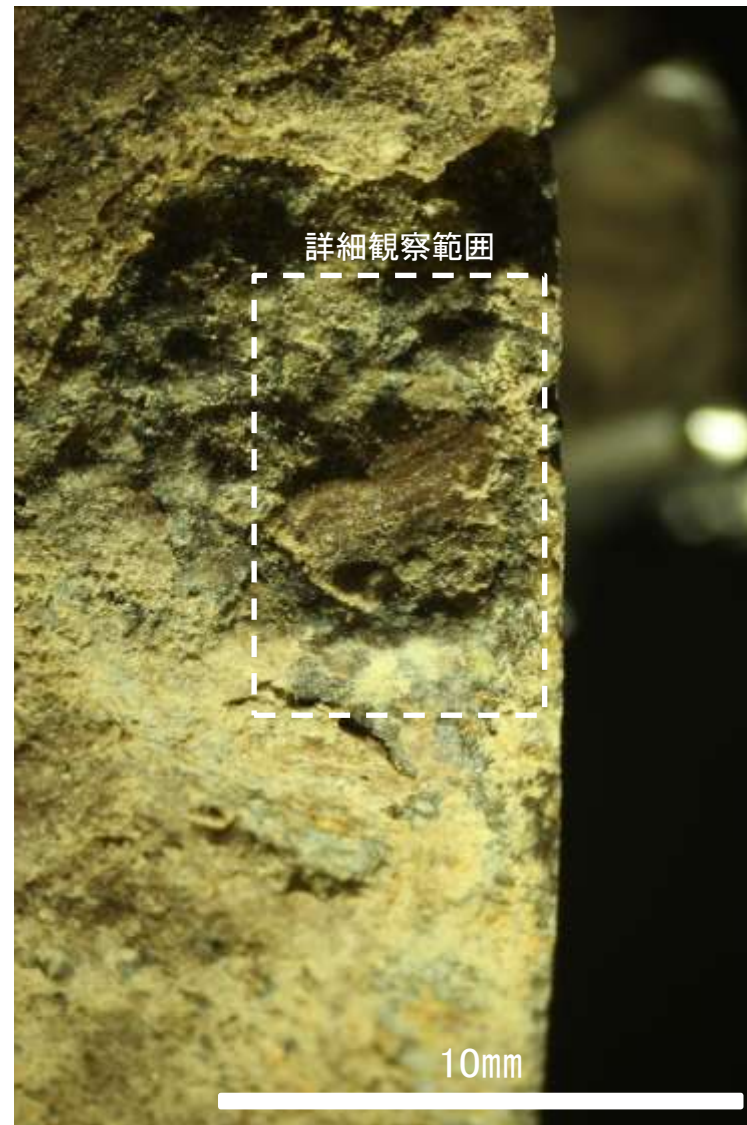
# 条線観察結果 ボーリングH-6.4孔[深度94.65m](上盤側)



概念図  
※走向は真北で示す。



観察面写真



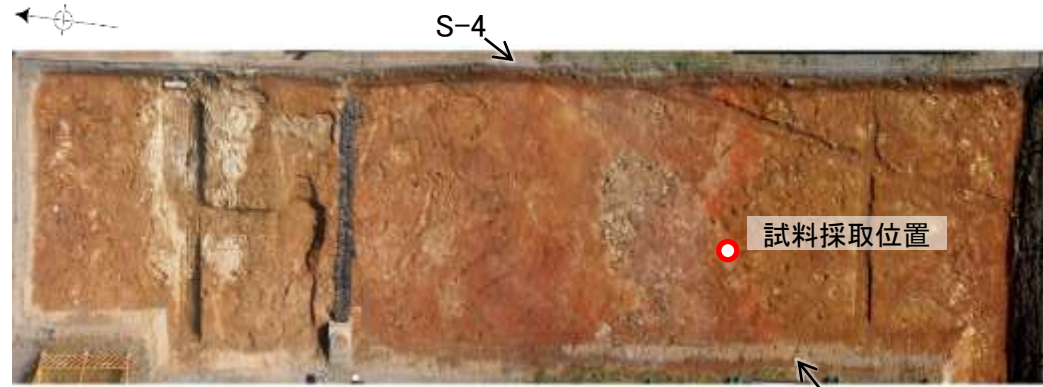
観察面拡大写真



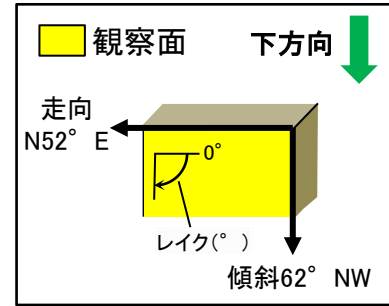
詳細観察写真

・条線のレイクは88° R(下盤側換算), 変位センスは不明

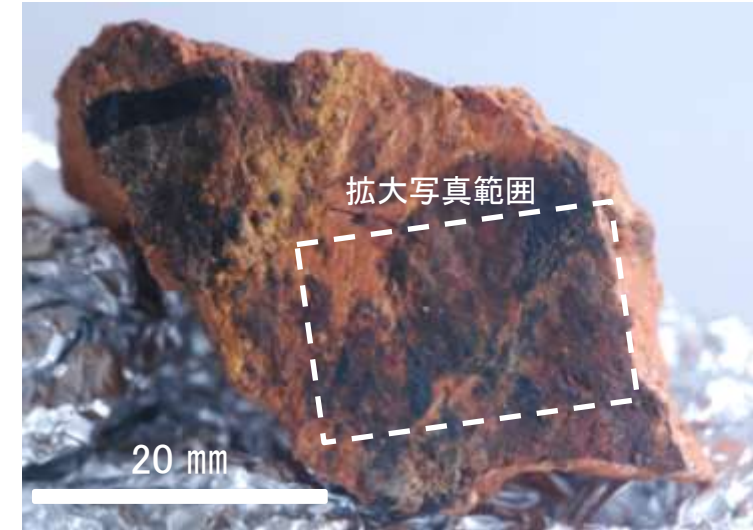
# 条線観察結果 35m盤トレンチ(A)底盤(下盤側)



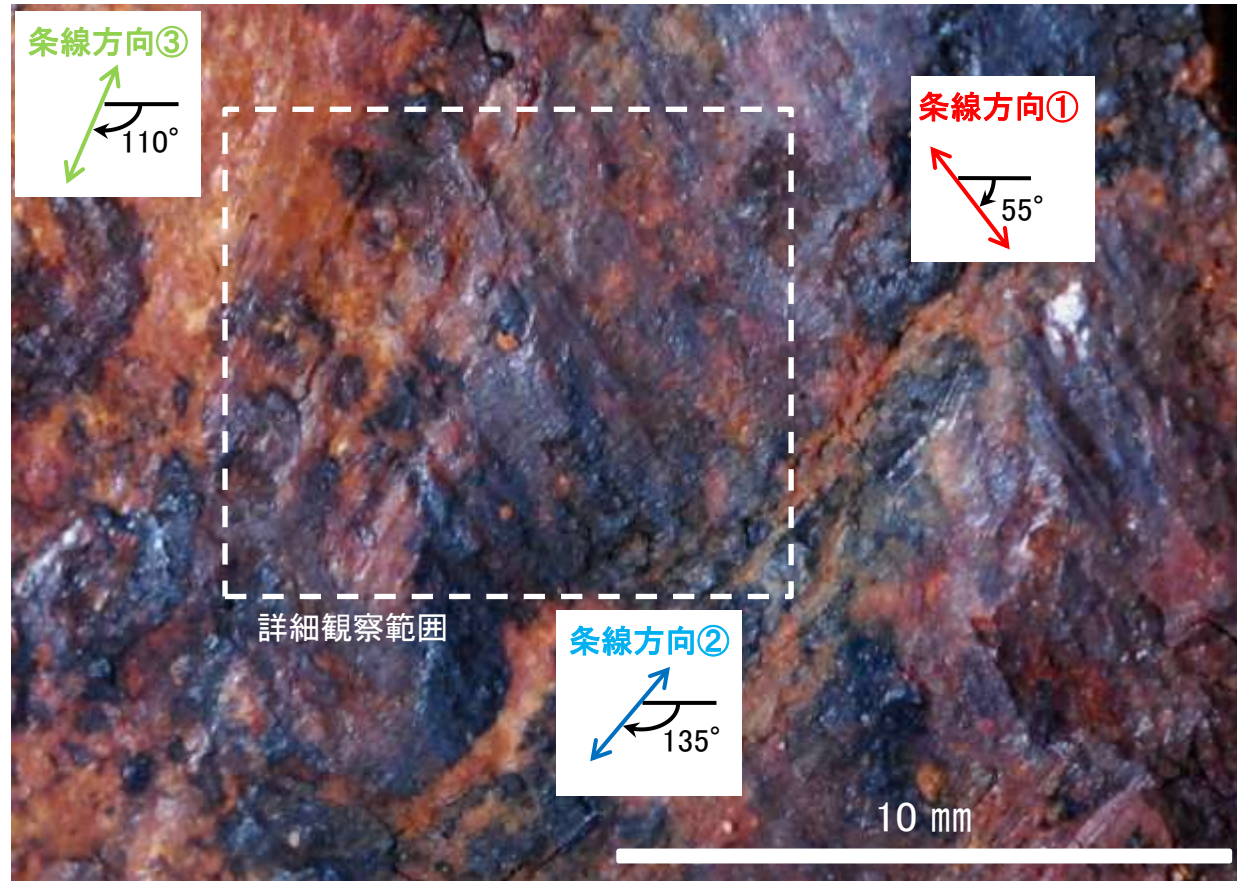
35m盤トレンチ(A) 底盤写真



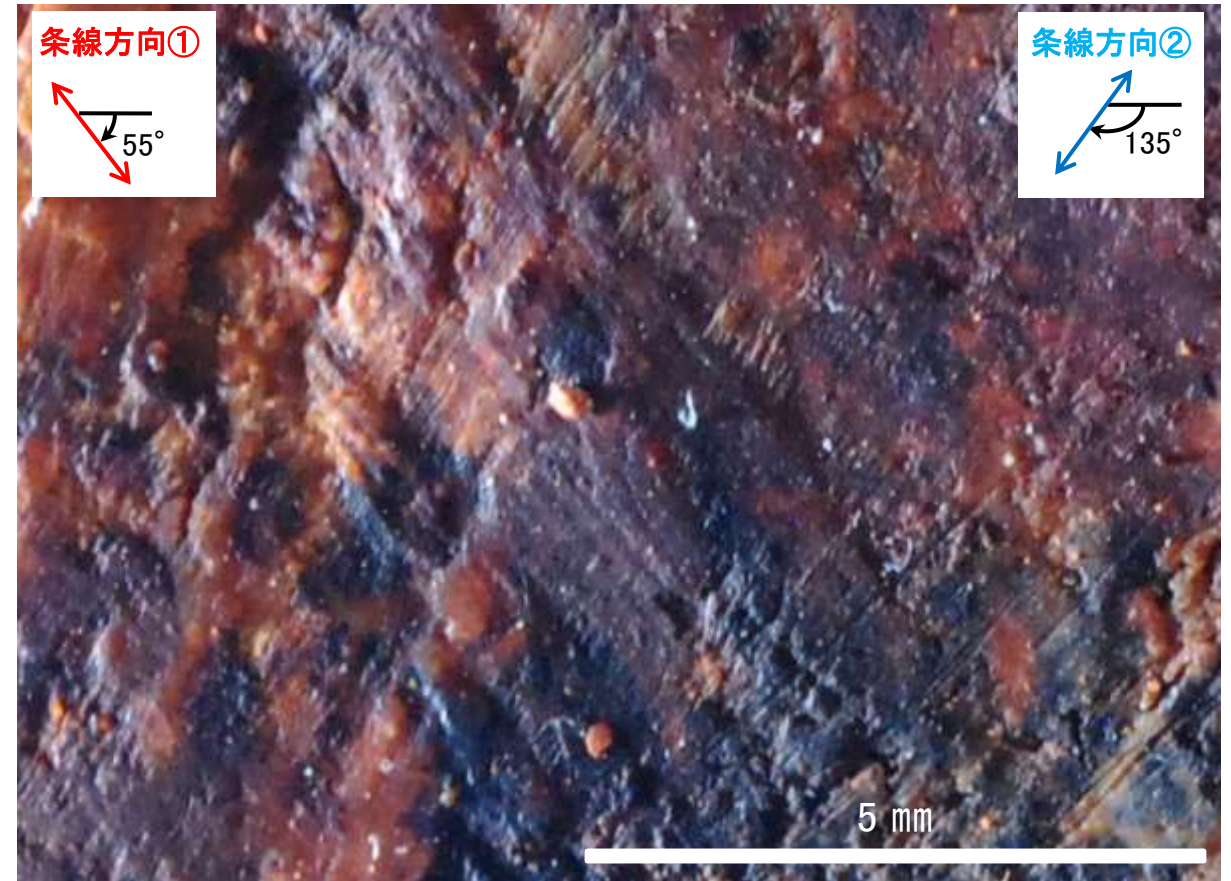
概念図  
※走向は真北で示す。



観察面写真



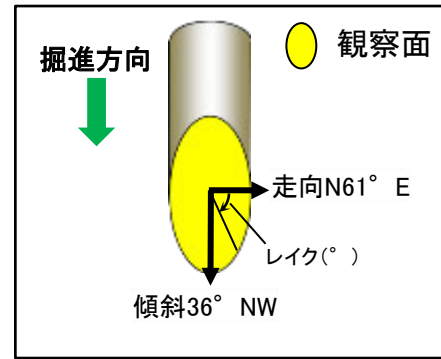
観察面拡大写真



詳細観察写真

- ・条線方向: 3方向の条線が認められ, 条線①のレイクは55° R, 条線②のレイクは135° R, 条線③のレイクは110° R
- ・条線の新旧関係: 条線①を条線②が上書きしている
- ・変位センス: 条線②及び条線③の変位センスは不明

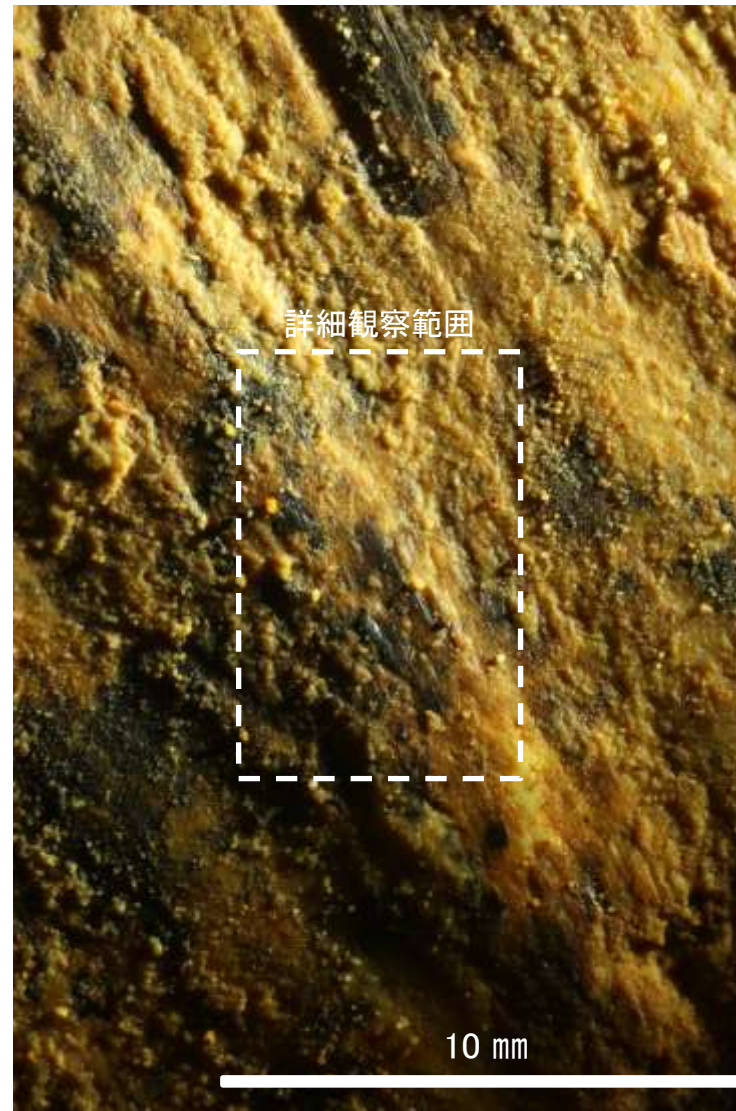
# 条線観察結果 ボーリングD-12.3[深度6.00m](上盤側)



概念図  
※走向は真北で示す。



観察面写真



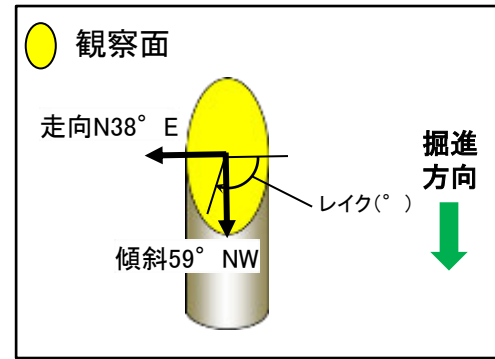
観察面拡大写真



詳細観察写真

・条線のレイクは115° R(下盤側換算), 変位センスは不明

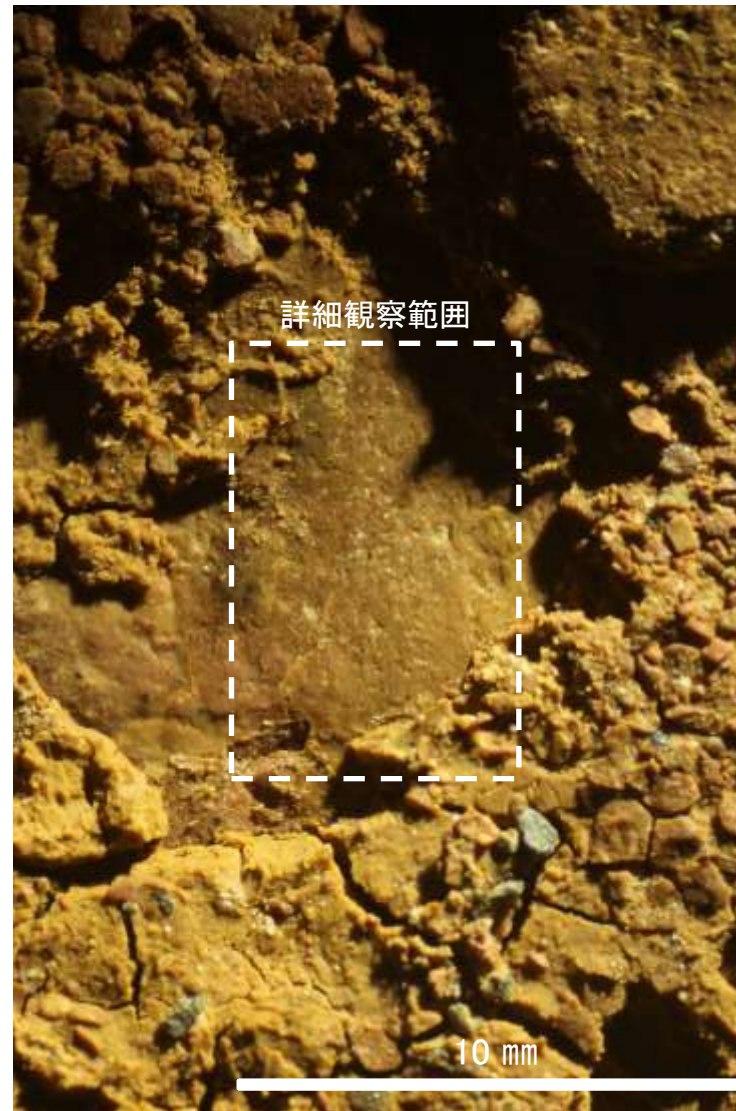
# 条線観察結果 ボーリングE-11.1SE[深度2.35m](下盤側①)



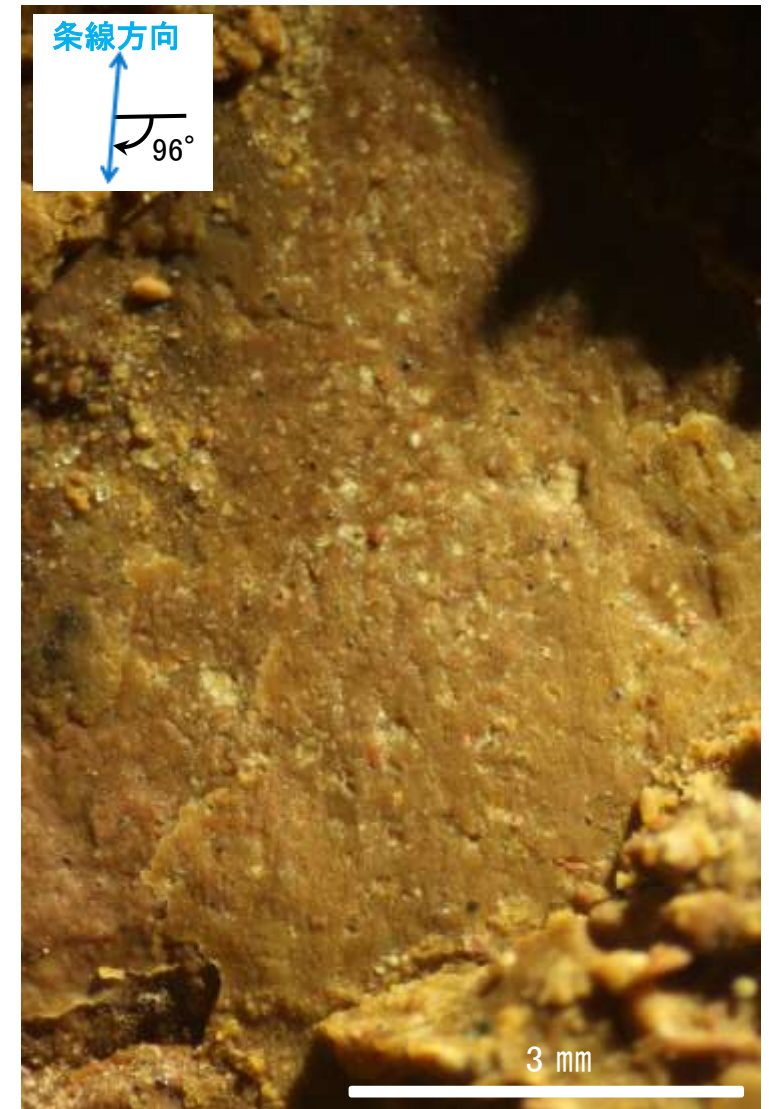
概念図  
※走向は真北で示す。



観察面写真



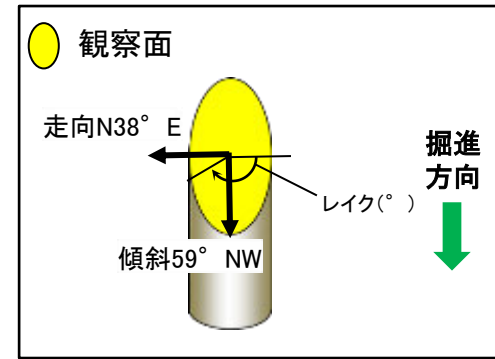
観察面拡大写真



詳細観察写真

・条線のレイクは96° R, 変位センスは不明

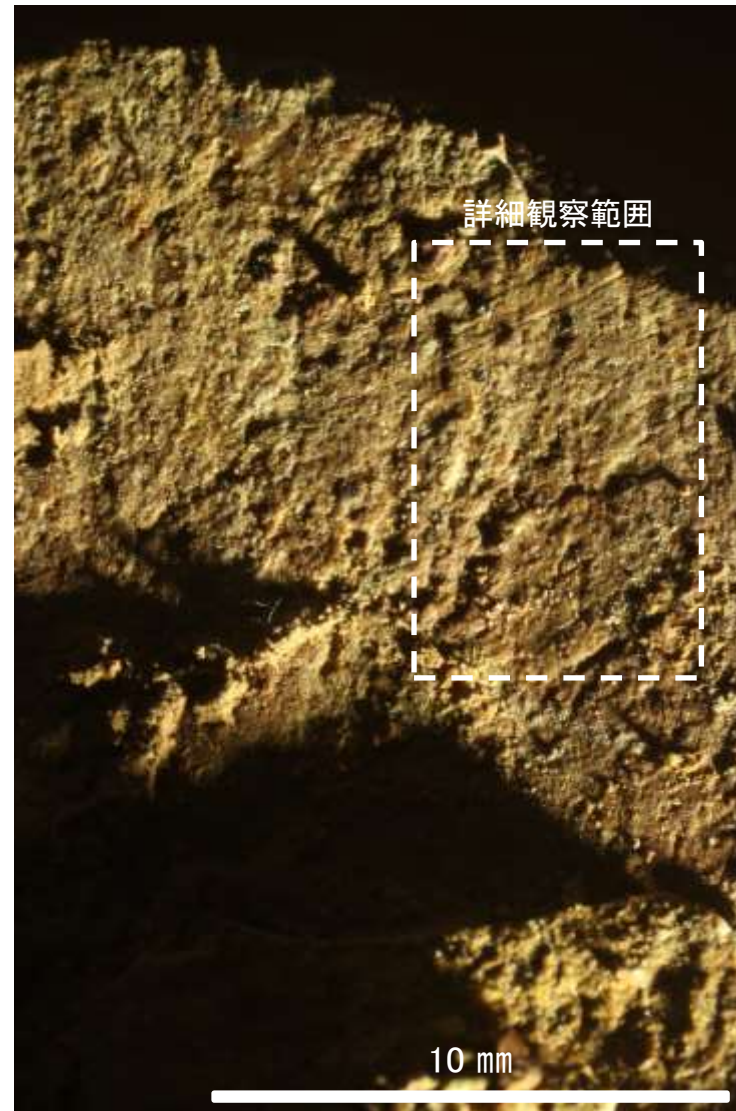
# 条線観察結果 ボーリングE-11.1SE[深度2.35m](下盤側②)



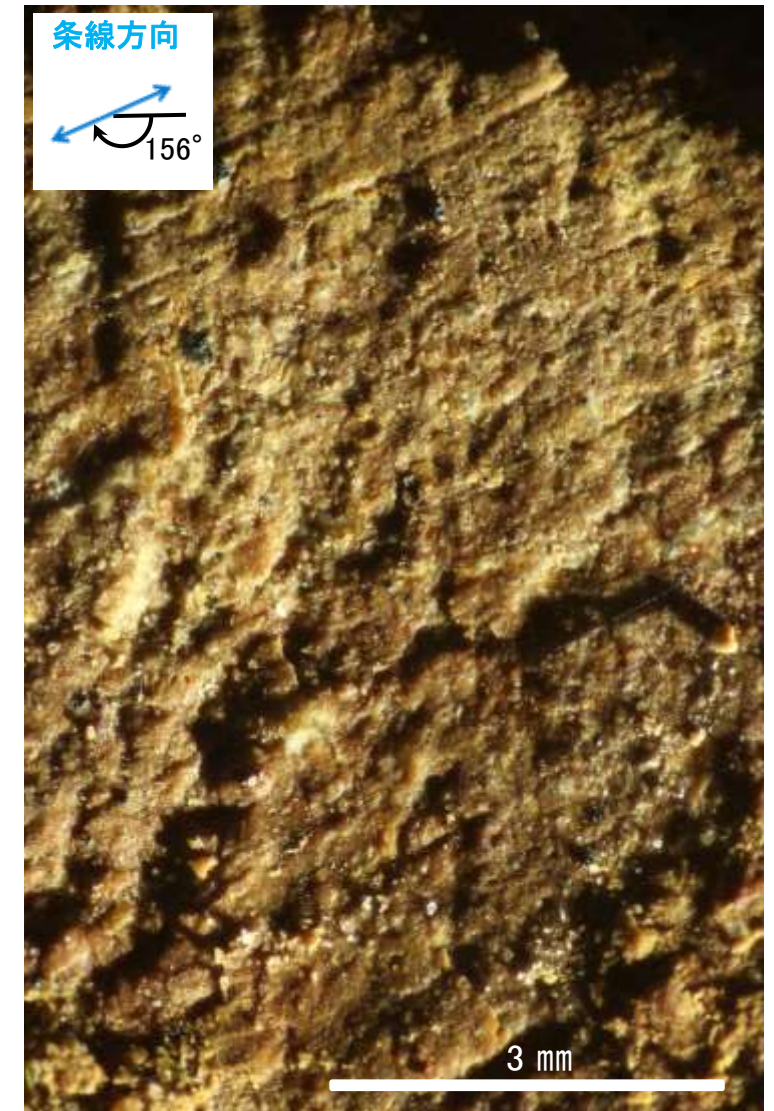
概念図  
※走向は真北で示す。



観察面写真



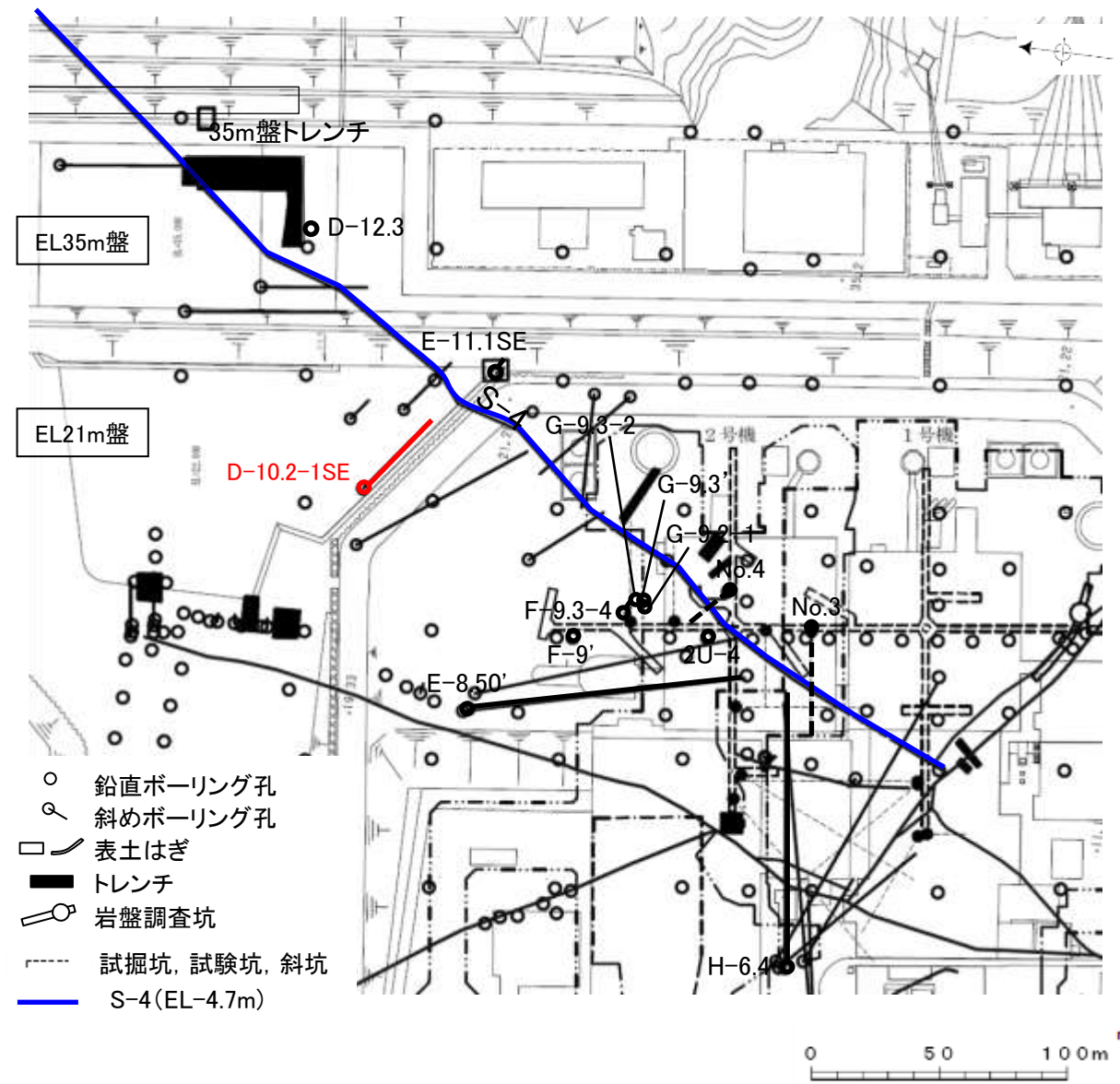
観察面拡大写真



詳細観察写真

・条線のレイクは156° R, 変位センスは不明

コア観察結果(固結した破碎部)	
ボーリング孔名	変位センス
D-10.2-1SE孔	正断層



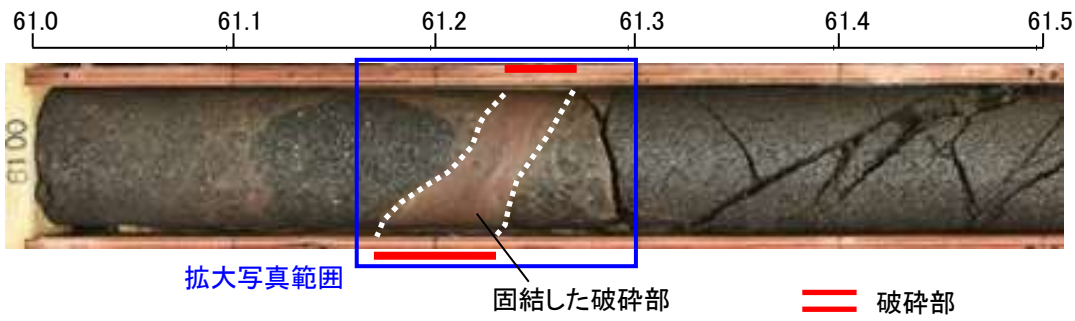
- 鉛直ボーリング孔
- ◡ 斜めボーリング孔
- 表土はぎ
- トレンチ
- ⊗ 岩盤調査坑
- ⋯ 試掘坑, 試験坑, 斜坑
- S-4(EL-4.7m)

赤字: コア観察箇所

位置図



# コア観察結果(ボーリングD-10.2-1SE孔)



D-10.2-1SE孔(傾斜角60°)  
コア写真(深度61.0~61.5m)

ボーリング  
孔口側  
(上盤)

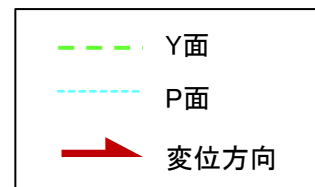


ボーリング孔壁下側

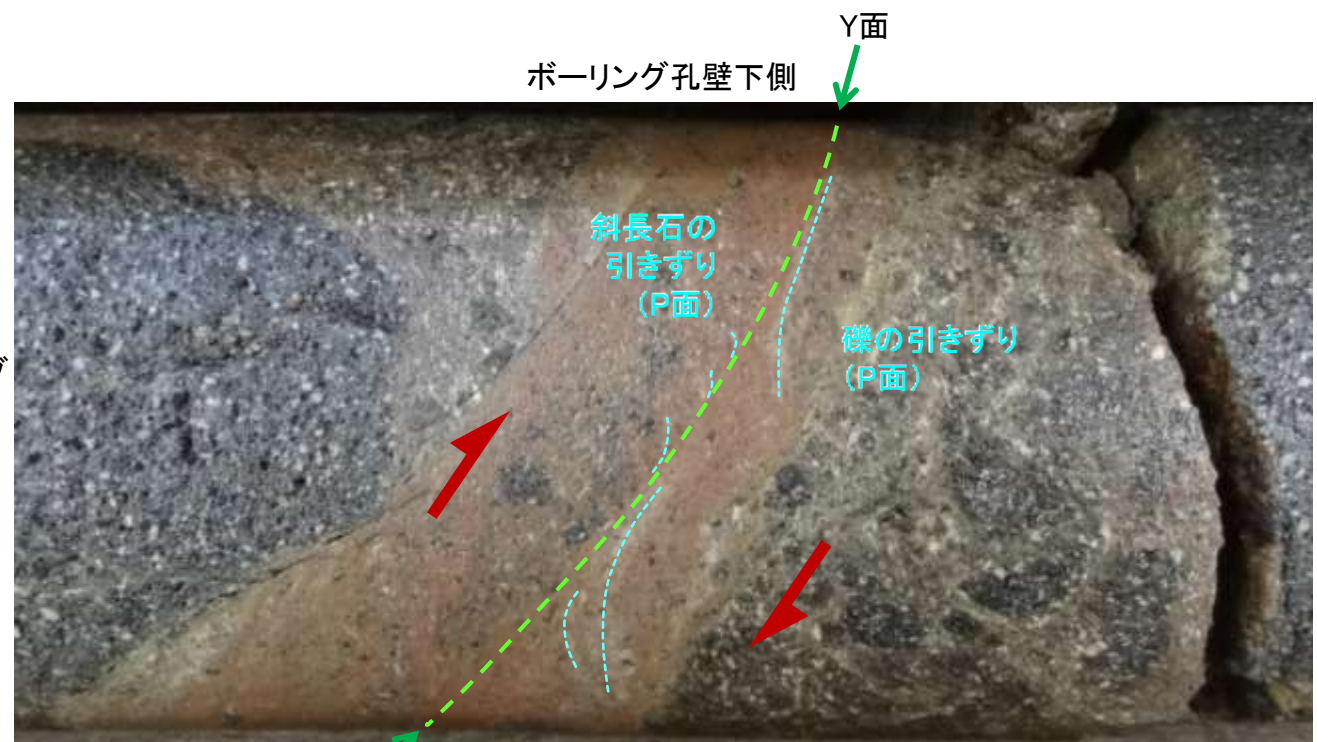
ボーリング  
孔底側  
(下盤)

ボーリング孔壁上側

1cm



ボーリング  
孔口側  
(上盤)



ボーリング孔壁下側

ボーリング  
孔底側  
(下盤)

ボーリング孔壁上側

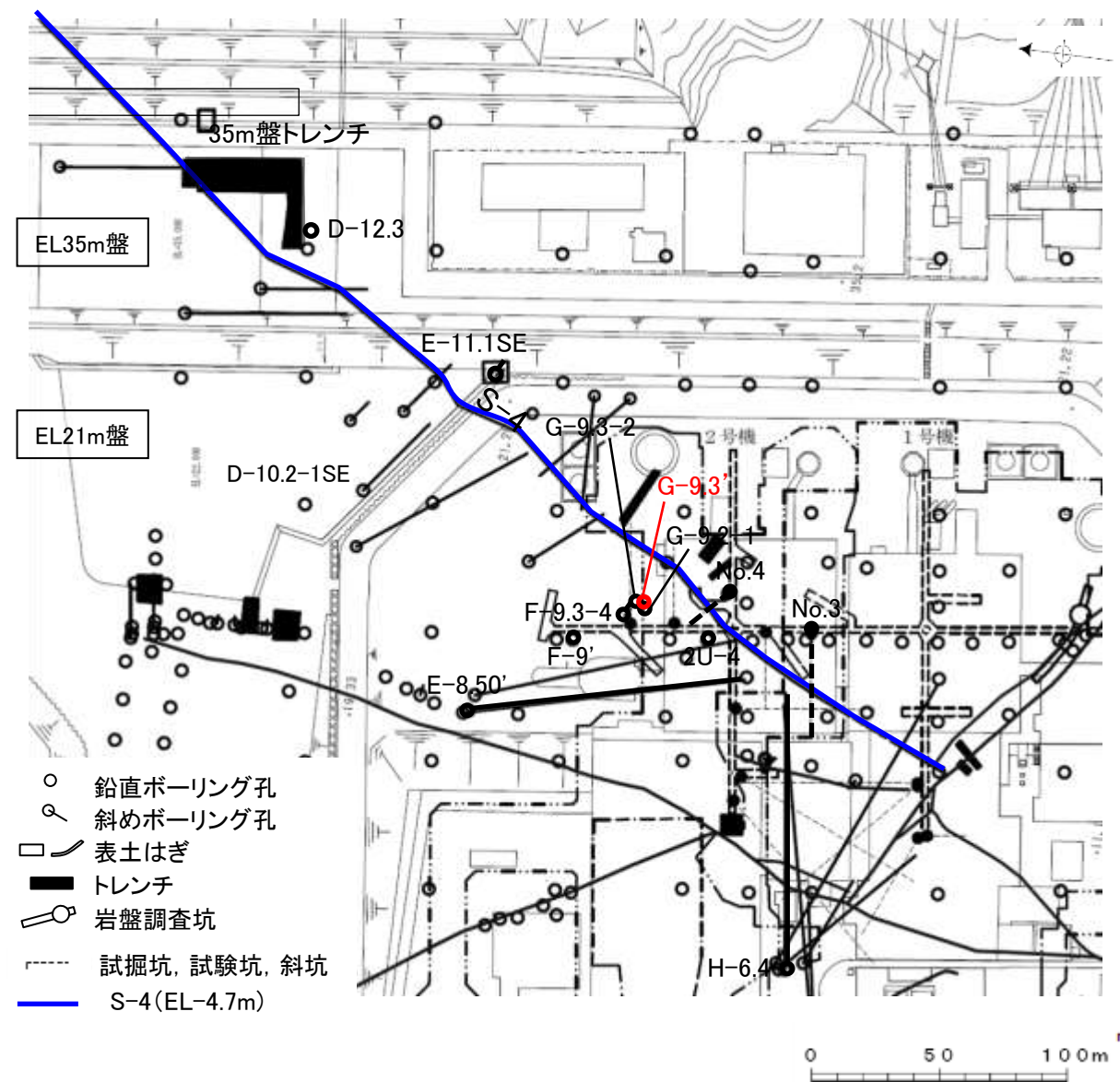
1cm

・固結した破碎部中の変形構造から、見かけ上盤側下がりの変位が推定され、正断層センスが認定できる。

拡大写真(下は構造等を加筆)

薄片観察結果(粘土状破碎部)	
薄片番号	変位センス
G-9.3'_130R	逆断層

\* 各薄片試料は、付近の断層の条線観察結果を踏まえたレイクで切断し、作成した。



赤字: コア観察箇所

位置図

# 薄片観察結果 (G-9.3' \_130R)

■ 条線観察結果を踏まえ、130° Rのレイクでボーリングコアを切断して作成した薄片を観察した。

	顕微鏡観察 (右に構造等を加筆)		顕微鏡観察 拡大 (右に構造等を加筆)			
G-9.3' 孔 (深度62.19m)	(単ニコル)			(単ニコル)		
	(直交ニコル)			(直交ニコル)		

・粘土状破碎部中の変形構造から、見かけ上盤側上がりの変位が推定され、逆断層センスが認定できる。

---

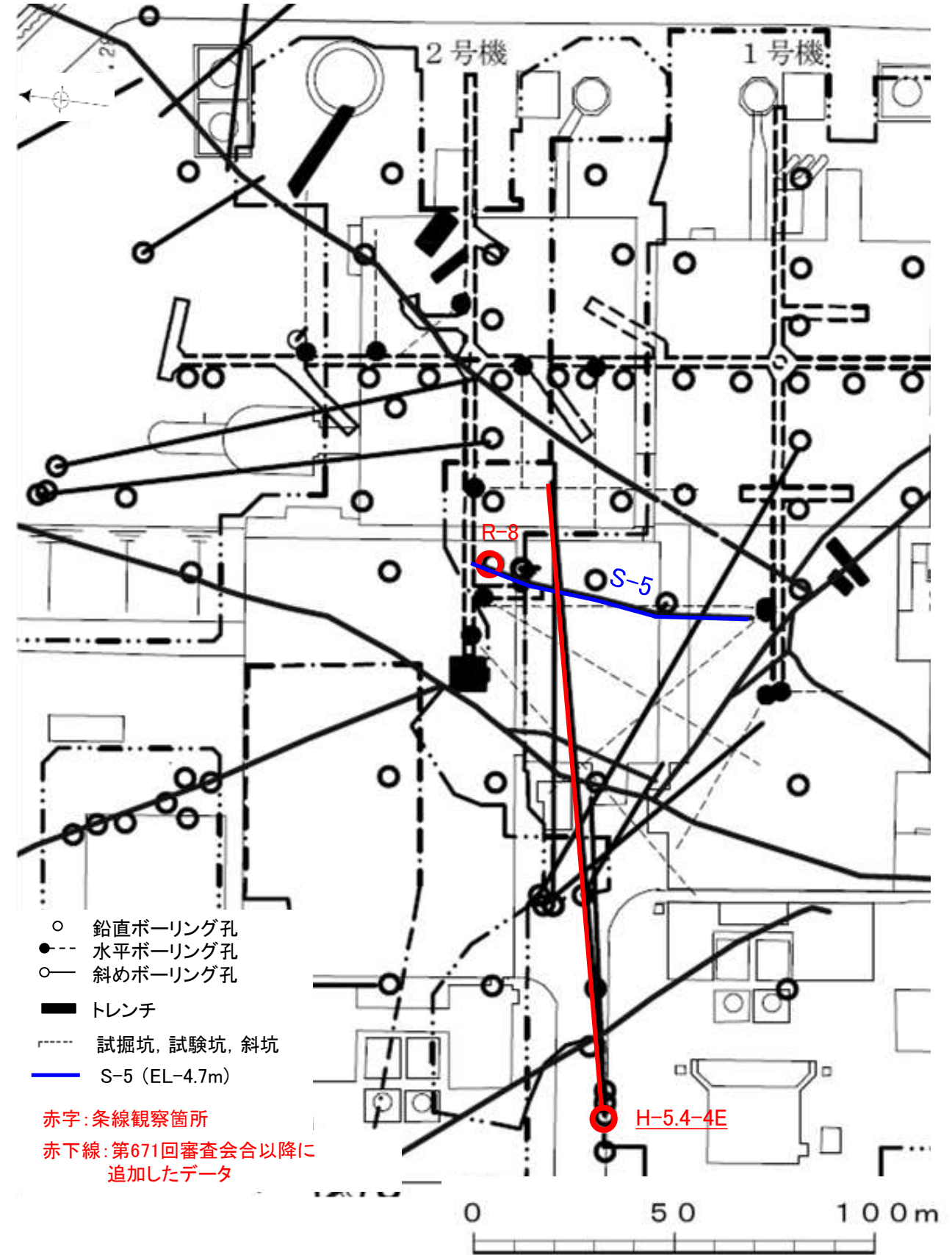
(5) S-5の運動方向調査結果

# S-5の条線観察結果

試料名		走向/傾斜 (走向は真北)	条線のレイク <sup>※1</sup>	変位センス
ボーリングR-8孔 [深度25.50m]	上盤側	N13° E/70° SE	25° R	(不明)
			45° R	左横ずれ正断層
ボーリングH-5.4-4E孔 [深度133.87m]	上盤側	N19° E/83° SE	97° R	(不明)

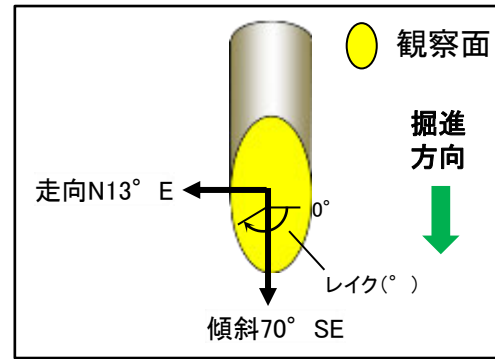
赤字: 第671回審査会合以降に追加したデータ

※1 上盤側で確認したレイクは下盤側に換算して示す。



位置図

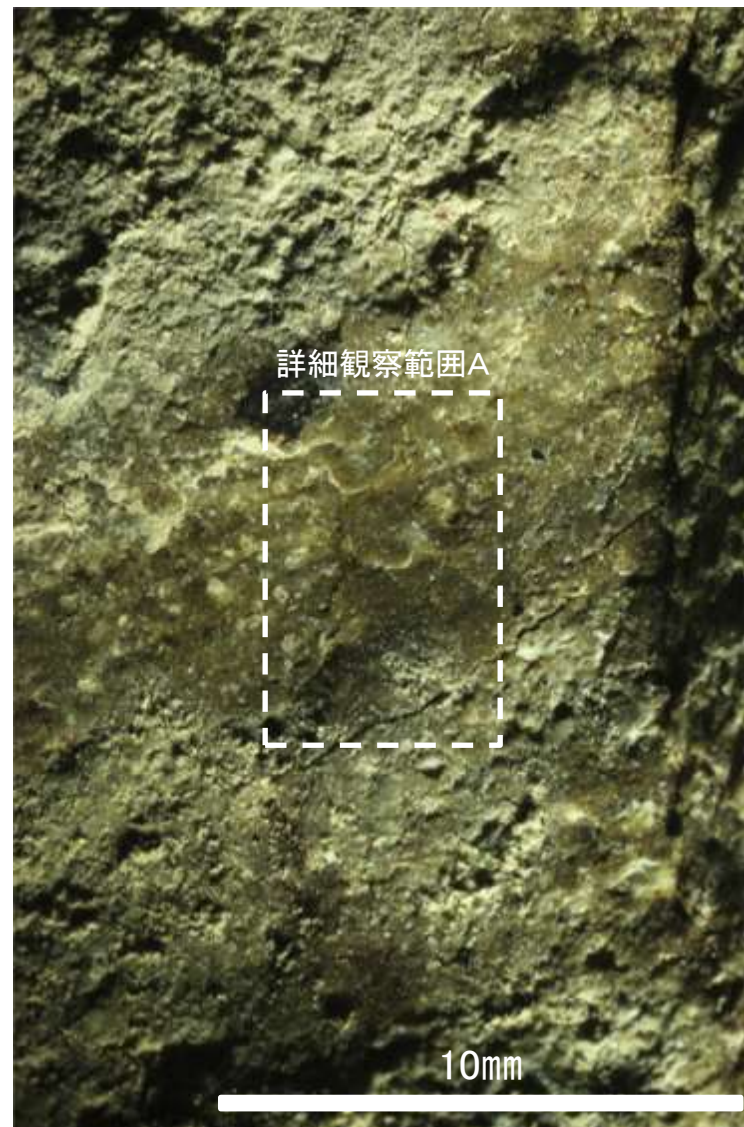
# 条線観察結果 ボーリングR-8孔[深度25.50m](上盤側)①



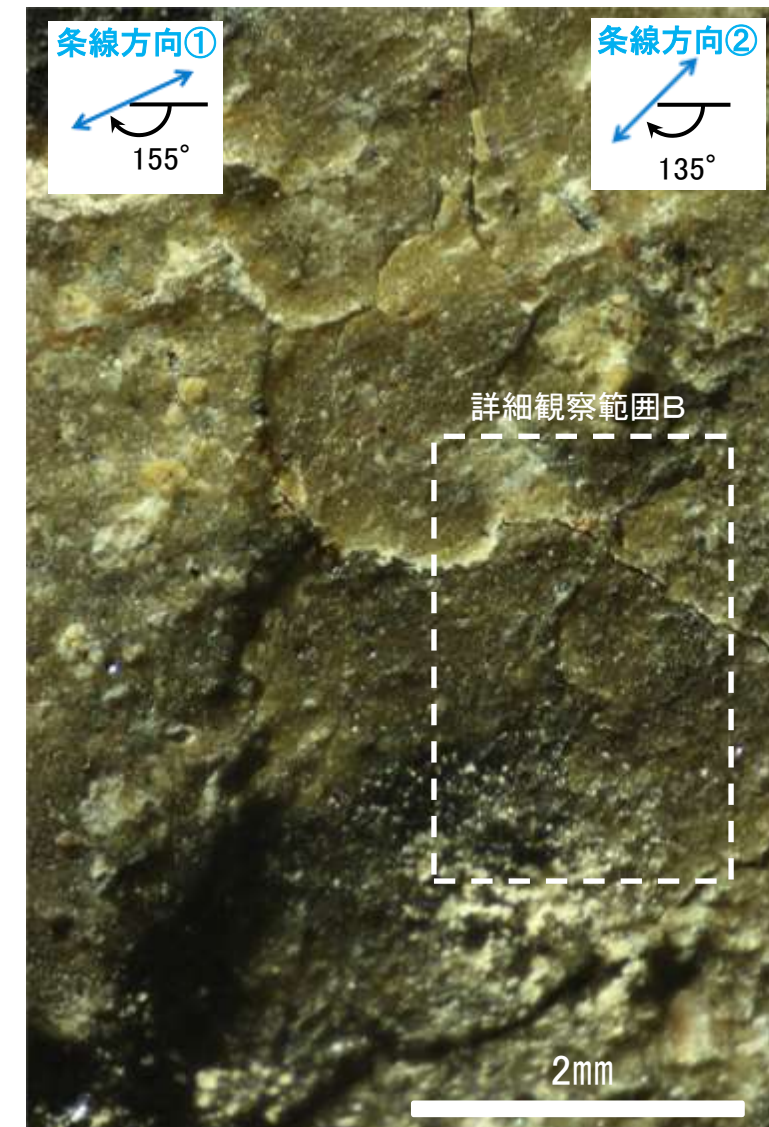
概念図  
※走向は真北で示す。



観察面写真

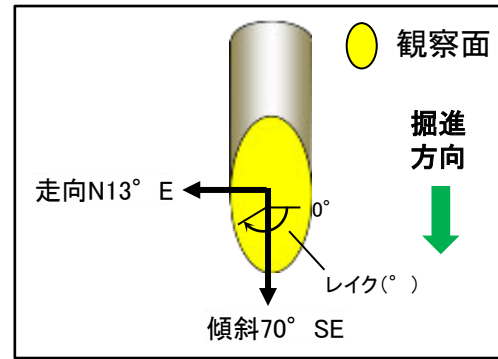


観察面拡大写真

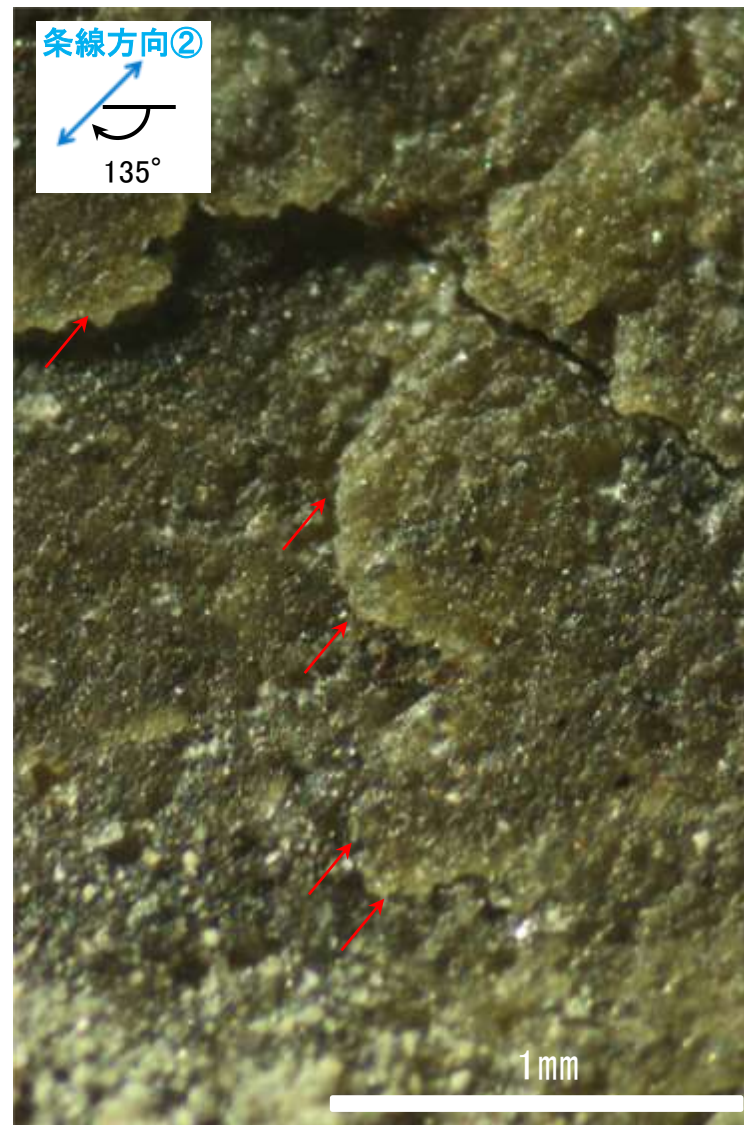
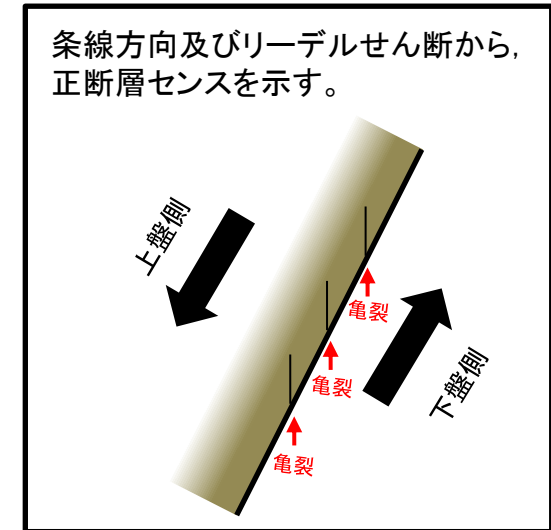


詳細観察写真A

- ・条線①のレイクは $25^\circ$  R (下盤側換算), 変位センスは不明
- ・条線②のレイクは $45^\circ$  R (下盤側換算), 変位センスは左横ずれ正断層センス

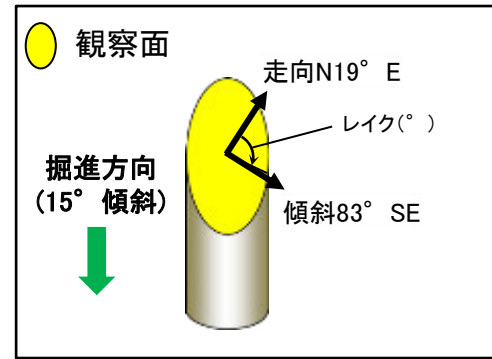


概念図  
※走向は真北で示す。



詳細観察写真B

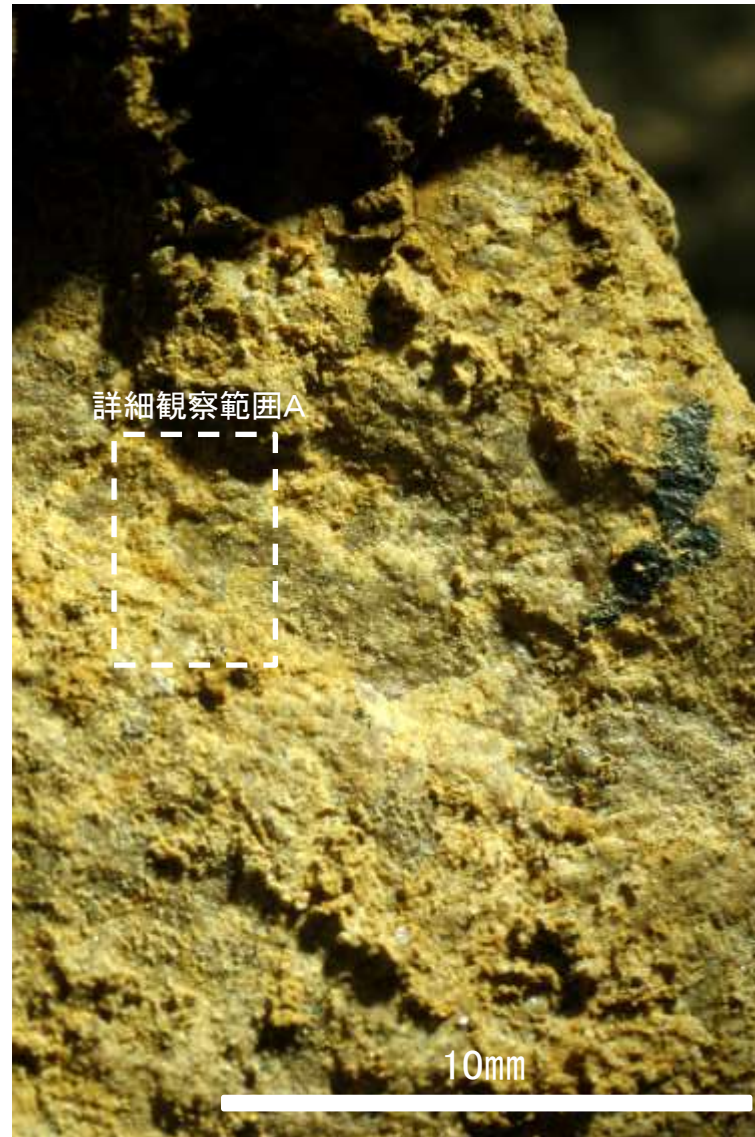
・条線②のレイクは45° R (下盤側換算), 変位センスは左横ずれ正断層センス



概念図  
※走向は真北で示す。



観察面写真



観察面拡大写真



詳細観察写真A

・条線のレイクは97° R (下盤側換算), 変位センスは不明



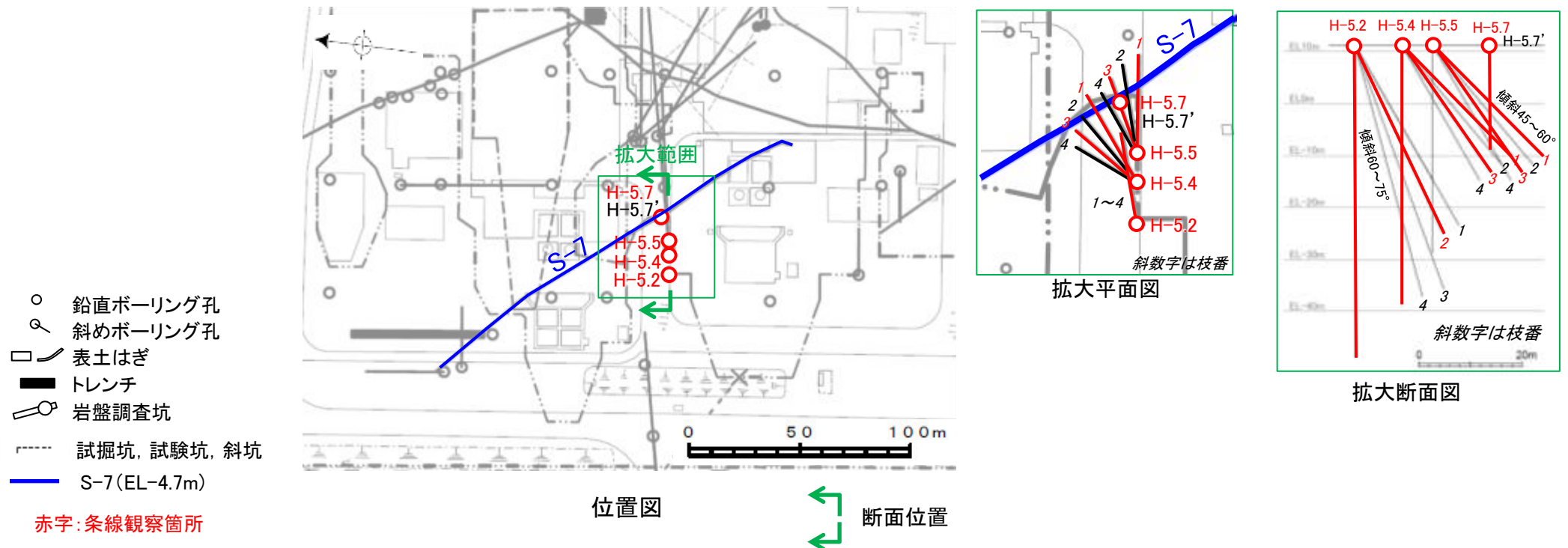
---

(6) S-7の運動方向調査結果

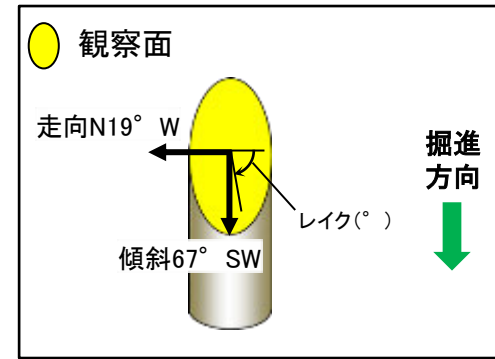
# S-7の条線観察結果

試料名		走向/傾斜 (走向は真北)	条線のレイク※1	変位センス
ボーリングH-5.2孔 [深度55.15m]	下盤側	N19° W/67° SW	80° R	(不明)
ボーリングH-5.2-2孔 [深度34.50m]	上盤側	N43° W/58° SW	18° R	(不明)
ボーリングH-5.4孔 [深度40.20m]	上盤側	N35° W/55° SW	35° R	(不明)
ボーリング H-5.4-1孔 [深度22.70m]	下盤側	N57° W/61° SW	95° R	(不明)
ボーリング H-5.4-3孔 [深度24.15m]	上盤側	N23° W/56° SW	75° R	(不明)
ボーリングH-5.5-1孔 [深度20.90m]	下盤側	N51° W/62° SW	78° R	右横ずれ逆断層
			53° R	(不明)
ボーリングH-5.5-3孔 [深度19.85m]	下盤側	N22° W/71° SW	69° R	右横ずれ逆断層
			94° R	(不明)
ボーリングH-5.7孔 [深度13.20m]	上盤側	N56° W/65° SW	20° R	(不明)
			160° R	(不明)
			45° R	右横ずれ逆断層

※1 上盤側で確認したレイクは下盤側に換算して示す。



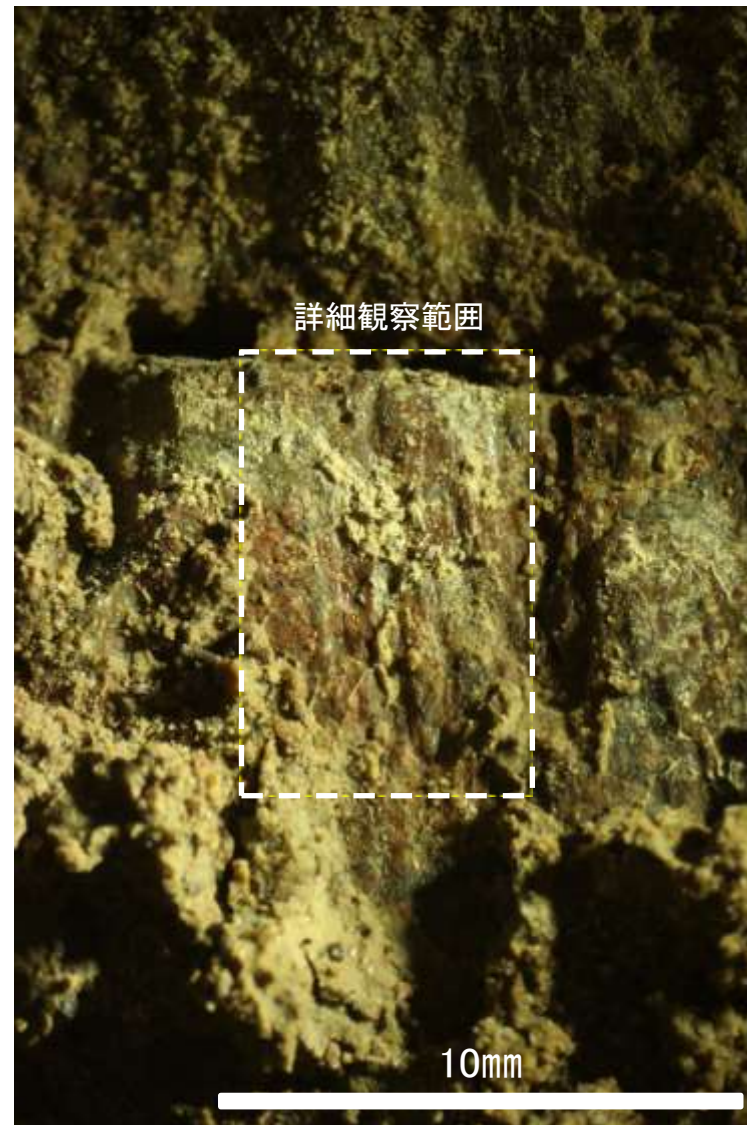
# 条線観察結果 ボーリングH-5.2孔[深度55.15m](下盤側)



概念図  
※走向は真北で示す。



観察面写真



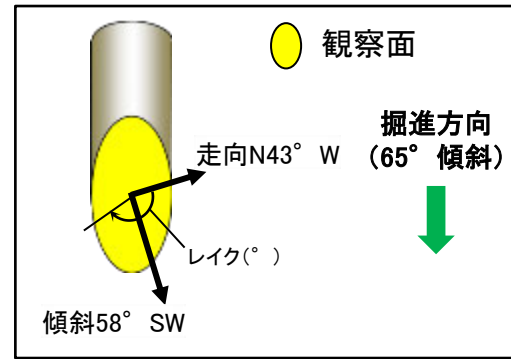
観察面拡大写真



詳細観察写真

・条線のレイクは80° R, 変位センスは不明

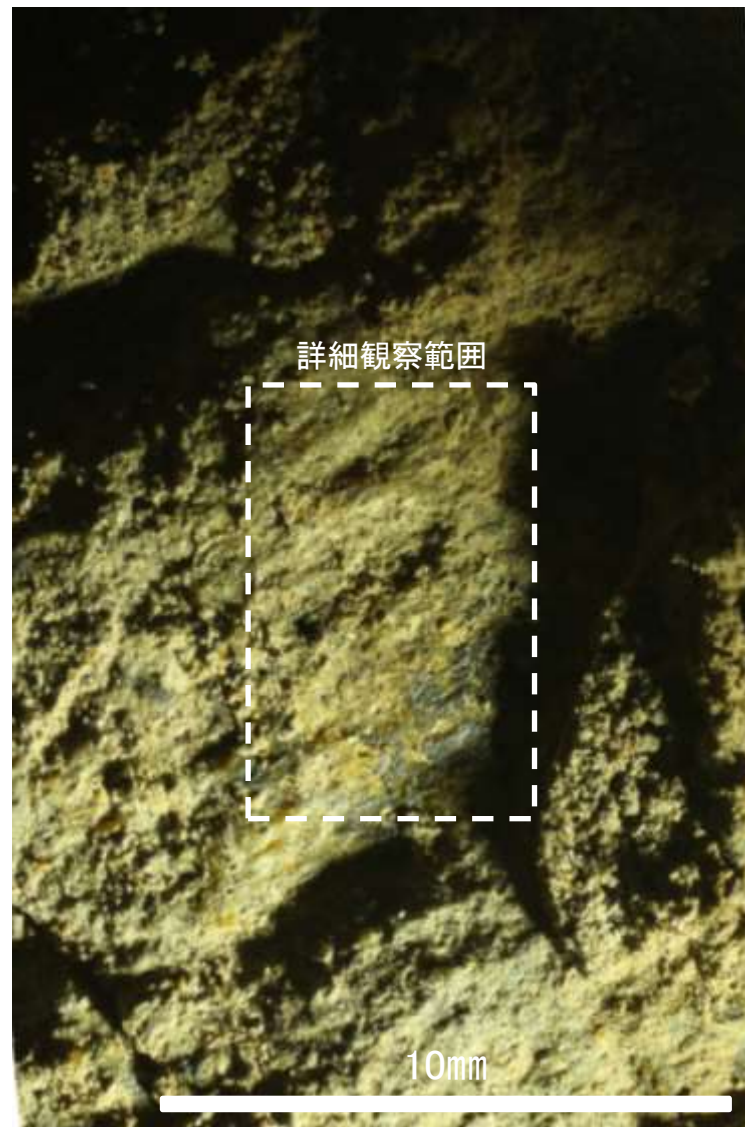
# 条線観察結果 ボーリングH-5.2-2孔[深度34.50m](上盤側)



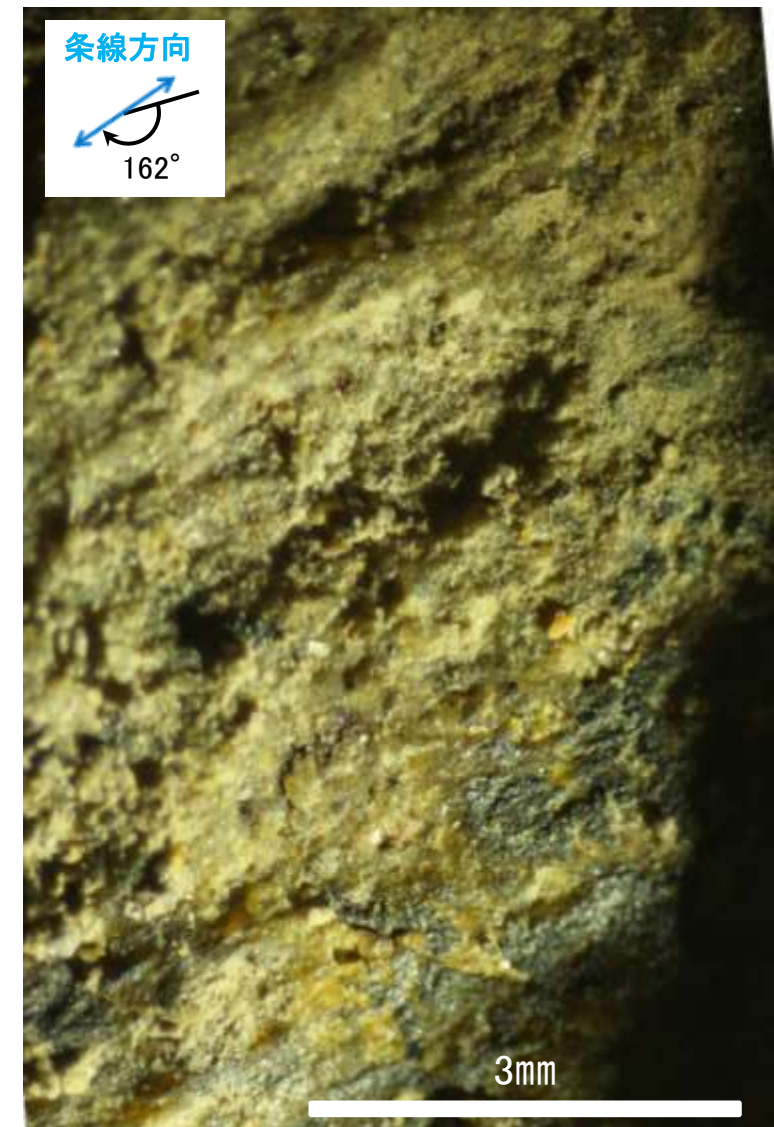
概念図  
※走向は真北で示す。



観察面写真

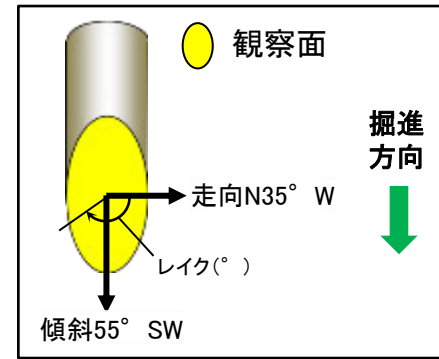


観察面拡大写真



詳細観察写真

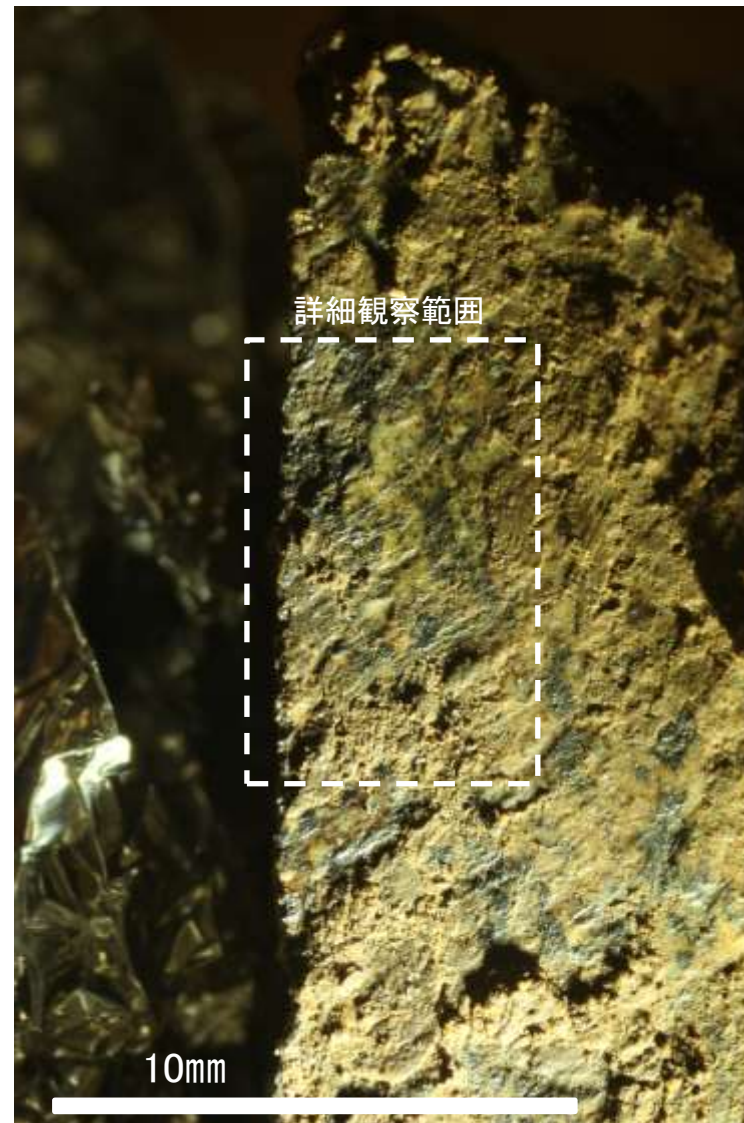
・条線のレイクは18° R(下盤側換算), 変位センスは不明



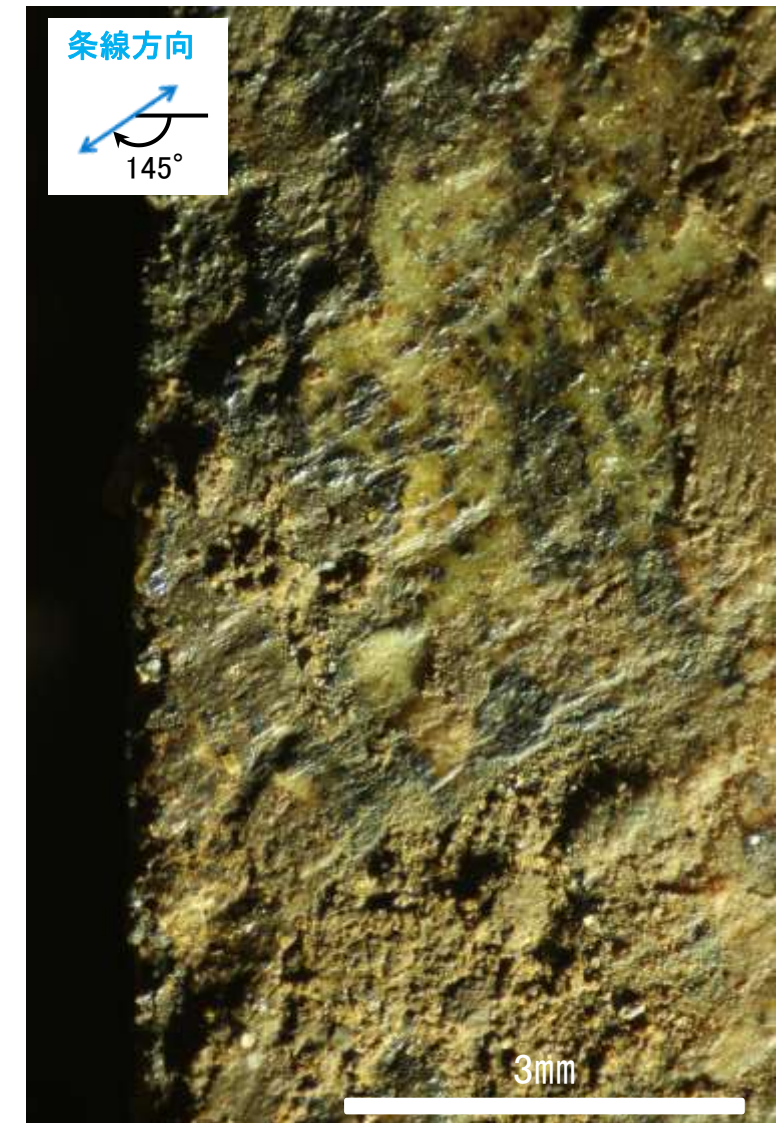
概念図  
※走向は真北で示す。



観察面写真



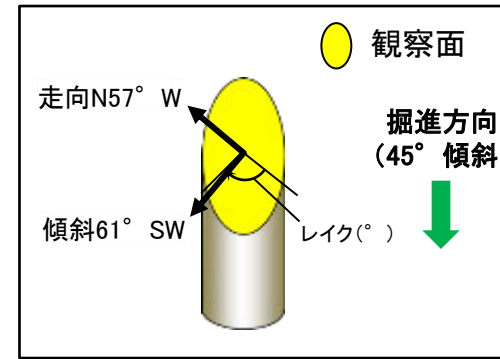
観察面拡大写真



詳細観察写真

・条線のレイクは35° R(下盤側換算), 変位センスは不明

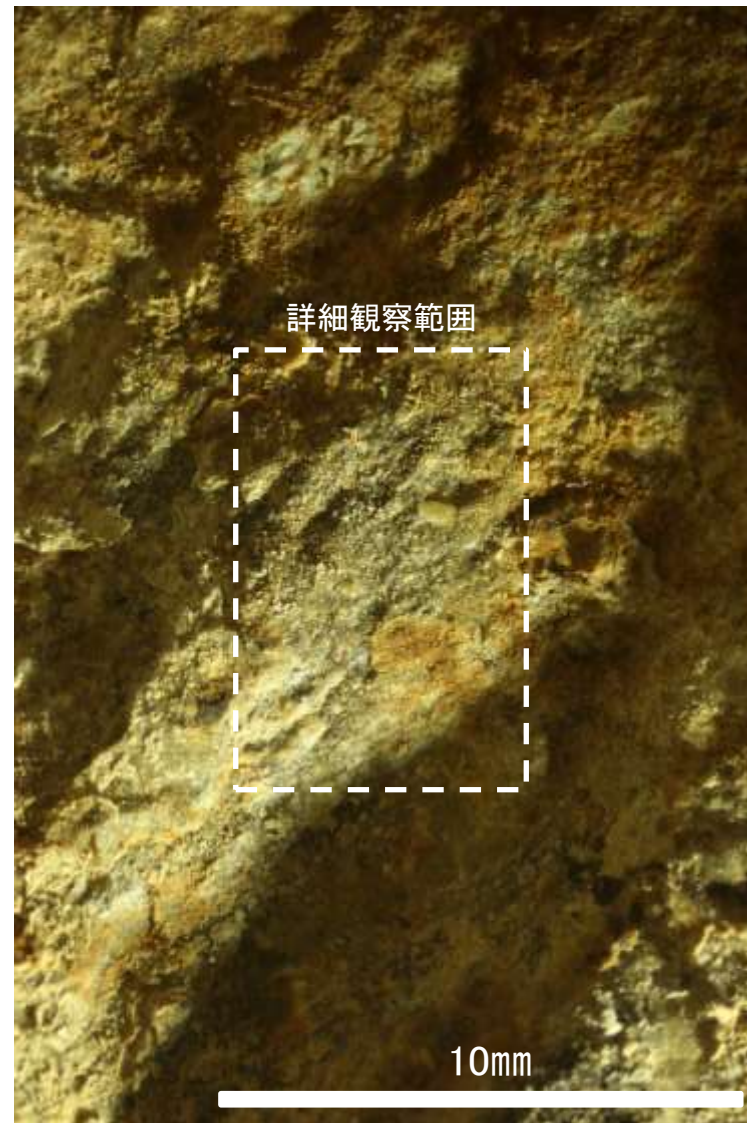
# 条線観察結果 ボーリングH-5.4-1孔[深度22.70m](下盤側)



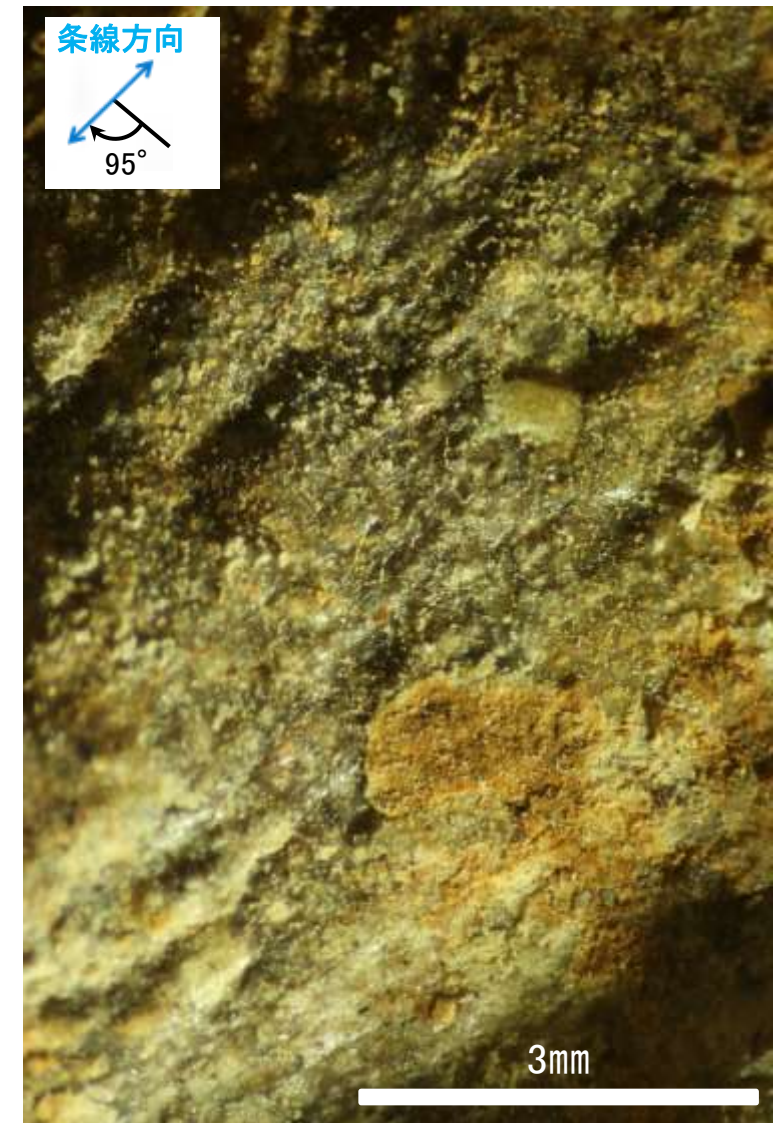
概念図  
※走向は真北で示す。



観察面写真



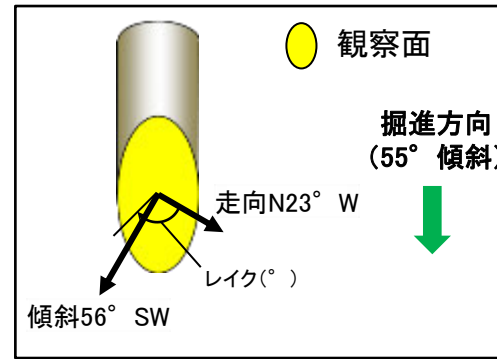
観察面拡大写真



詳細観察写真

・条線のレイクは95° R, 変位センスは不明

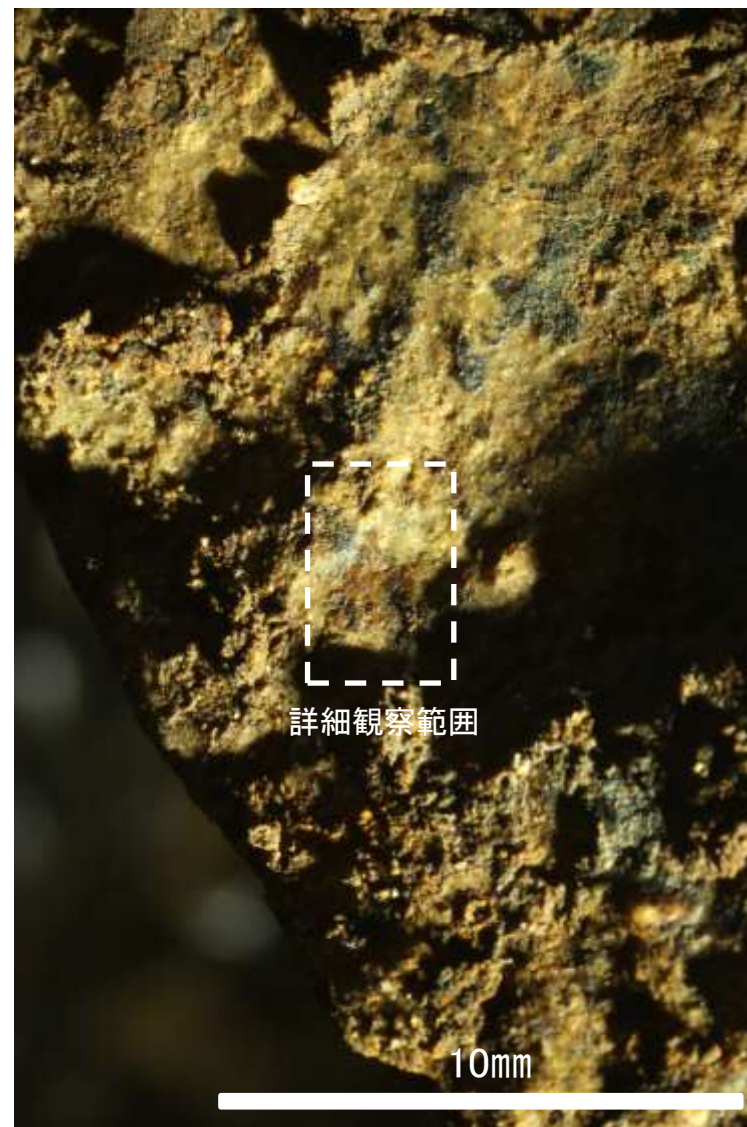
# 条線観察結果 ボーリングH-5.4-3孔[深度24.15m](上盤側)



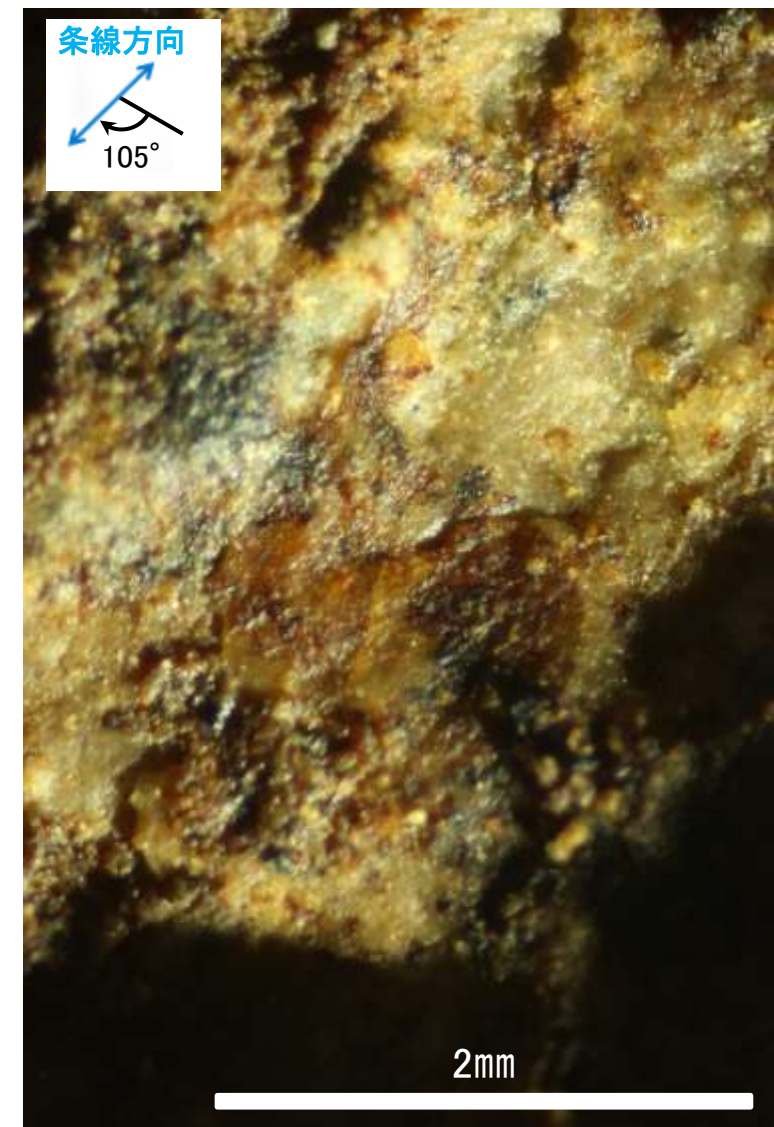
概念図  
※走向は真北で示す。



観察面写真



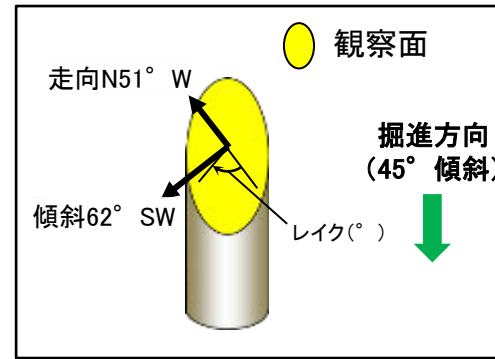
観察面拡大写真



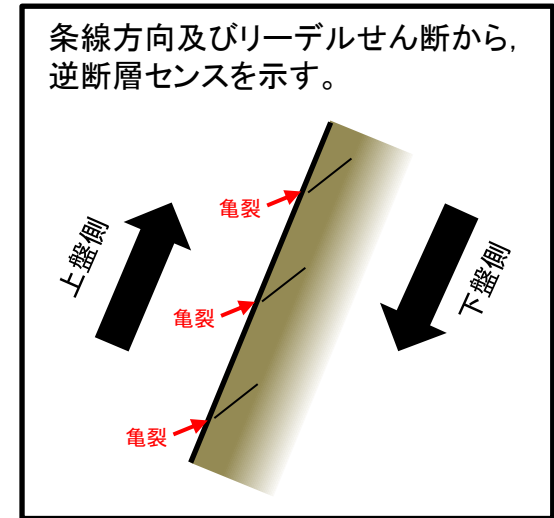
詳細観察写真

・条線のレイクは75° R(下盤側換算), 変位センスは不明

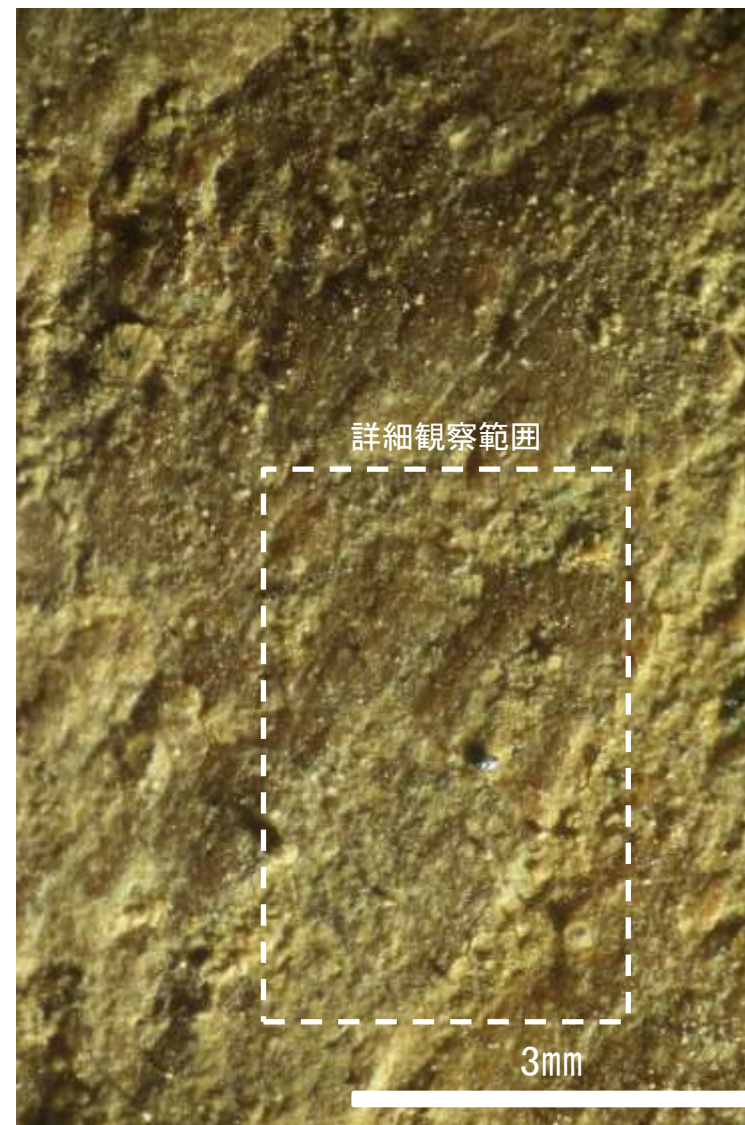
# 条線観察結果 ボーリングH-5.5-1孔[深度20.90m](下盤側)①



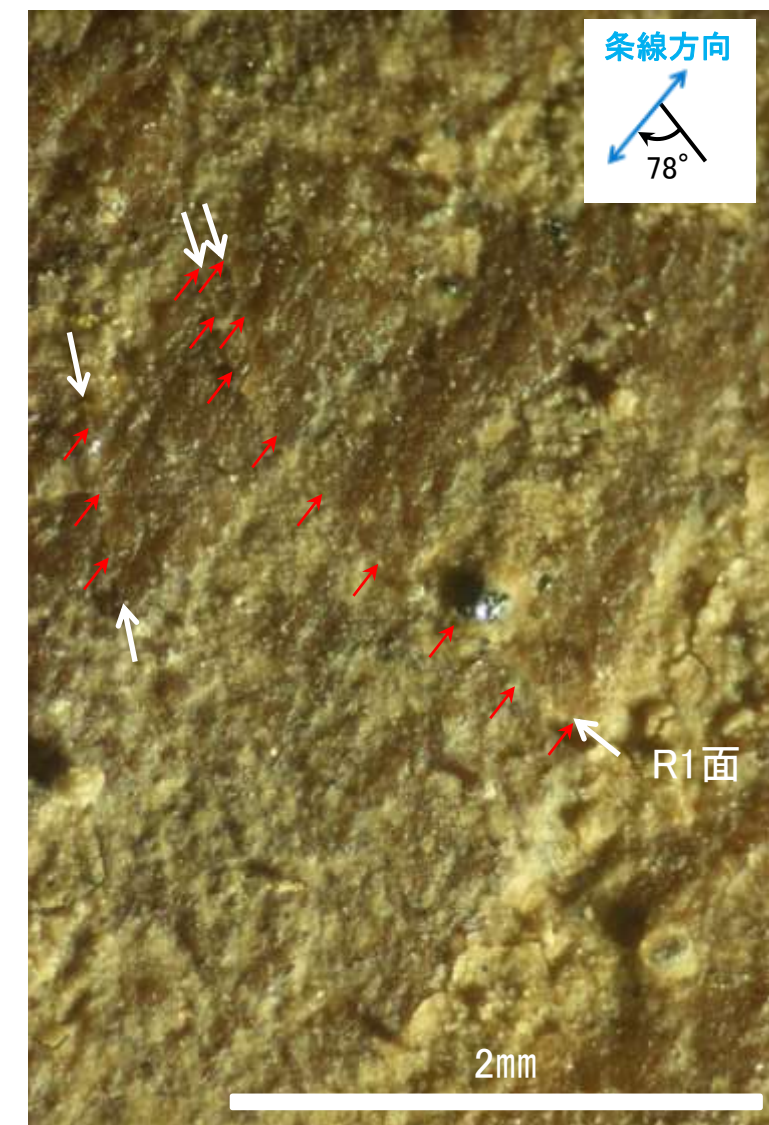
概念図  
※走向は真北で示す。



観察面写真



観察面拡大写真

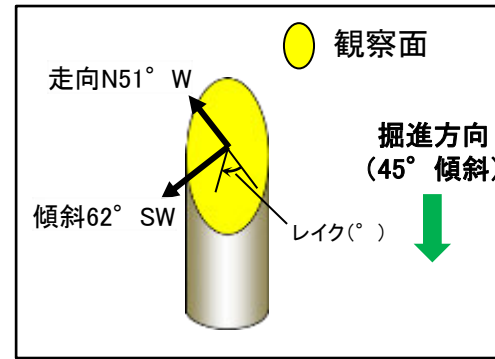


詳細観察写真

・条線のレイクは78° R, 変位センスは右横ずれ逆断層センス



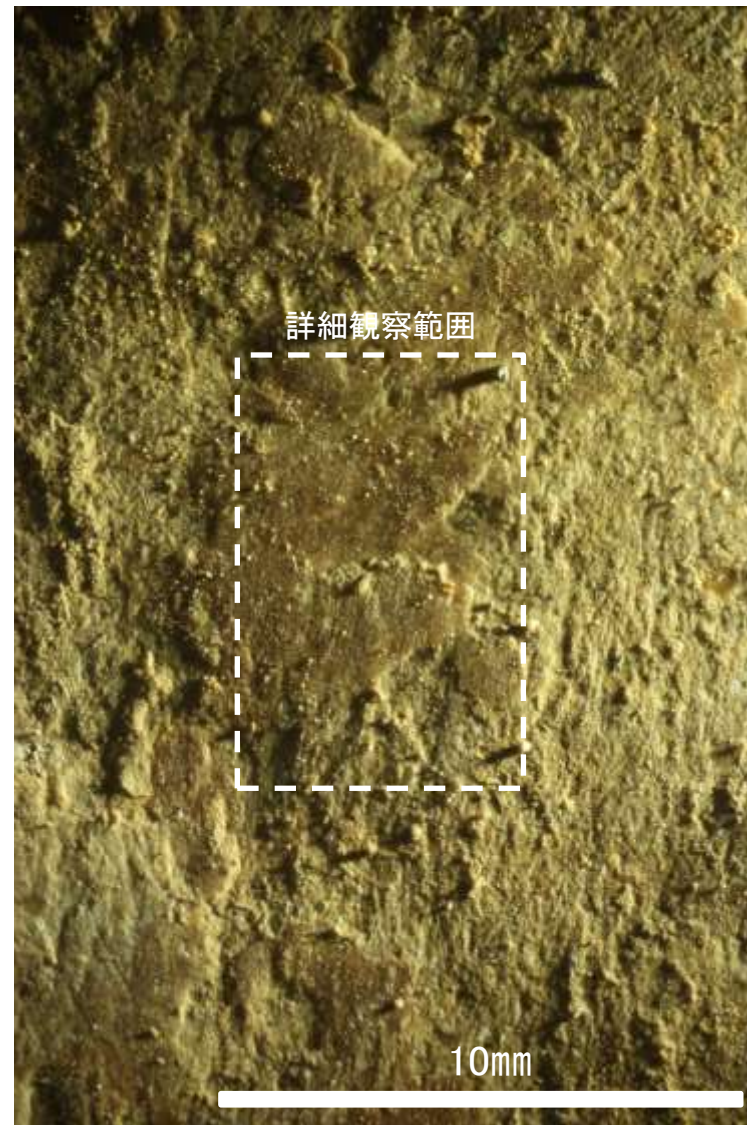
# 条線観察結果 ボーリングH-5.5-1孔[深度20.90m](下盤側)②



概念図  
※走向は真北で示す。



観察面写真



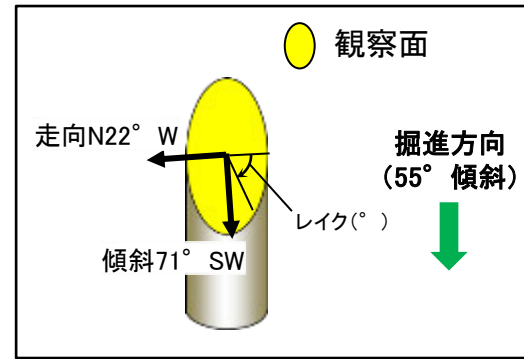
観察面拡大写真



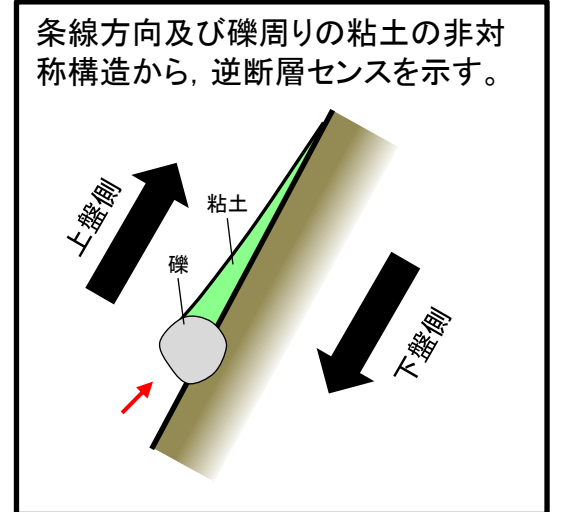
詳細観察写真

・条線のレイクは53° R, 変位センスは不明

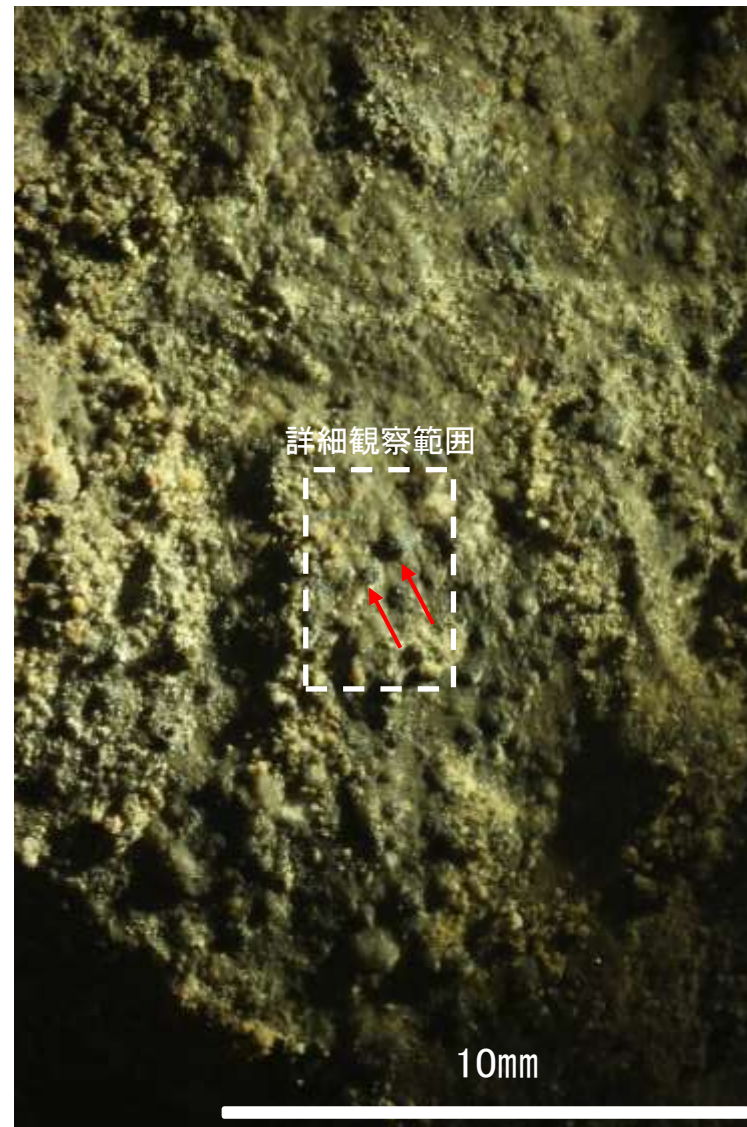
# 条線観察結果 ボーリングH-5.5-3孔[深度19.85m](下盤側)①



概念図  
※走向は真北で示す。



観察面写真



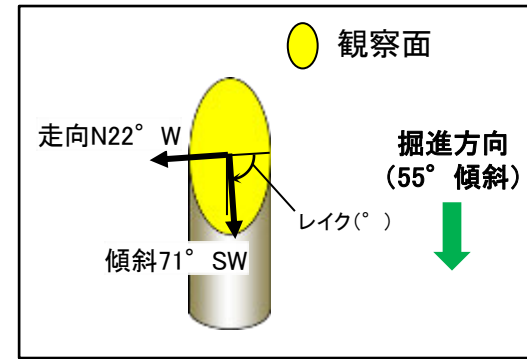
観察面拡大写真



詳細観察写真

・条線のレイクは69° R, 変位センスは右横ずれ逆断層センス

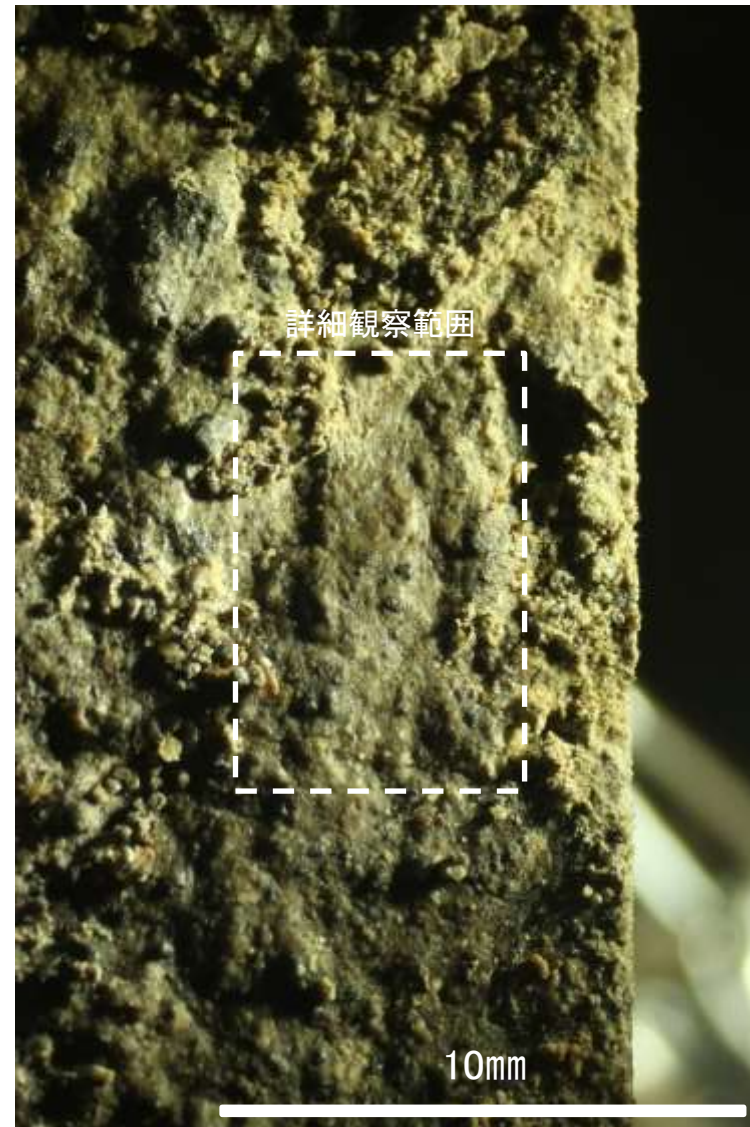
# 条線観察結果 ボーリングH-5.5-3孔[深度19.85m](下盤側)②



概念図  
※走向は真北で示す。



観察面写真



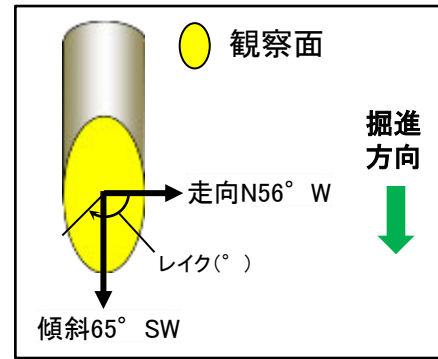
観察面拡大写真



詳細観察写真

・条線のレイクは94° R, 変位センスは不明

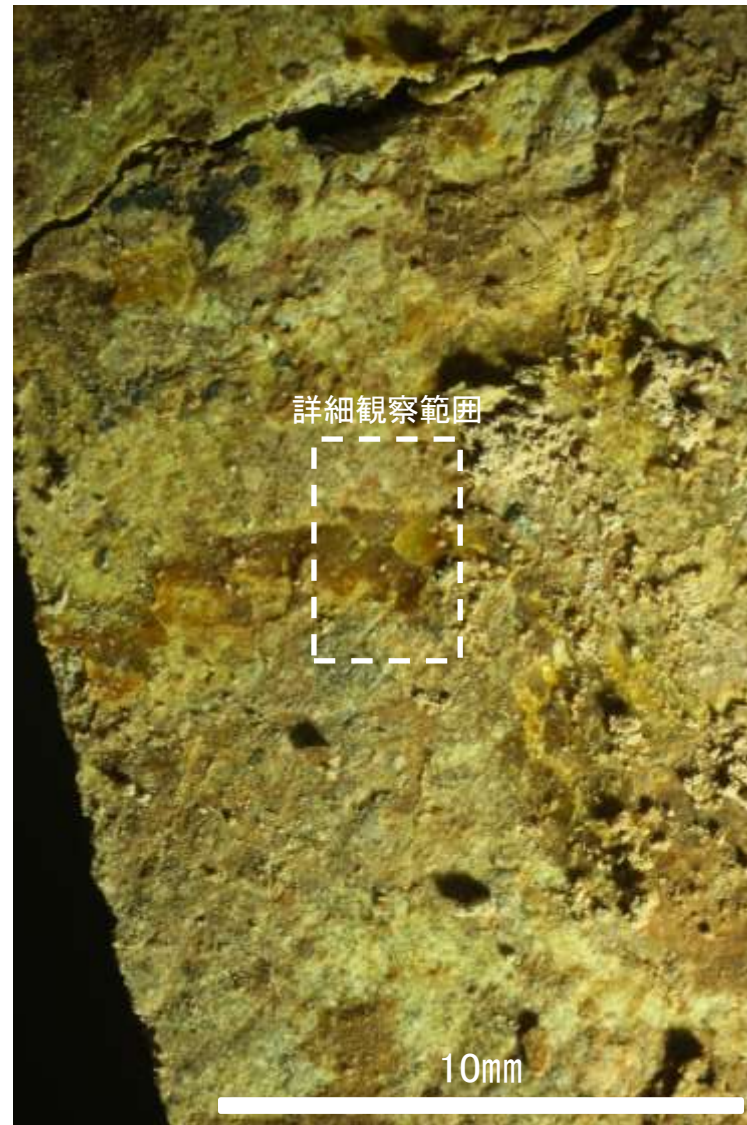
# 条線観察結果 ボーリングH-5.7孔[深度13.20m](上盤側)①



概念図  
※走向は真北で示す。



観察面写真



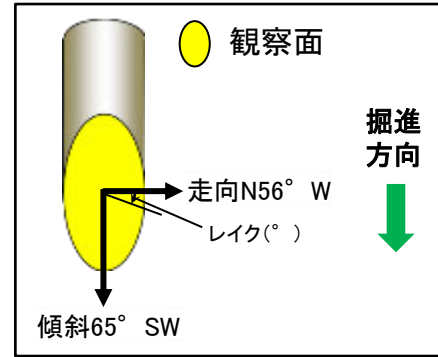
観察面拡大写真



詳細観察写真

・条線のレイクは $20^{\circ}$  R(下盤側換算),  $45^{\circ}$  R(下盤側換算), それぞれ変位センスは不明

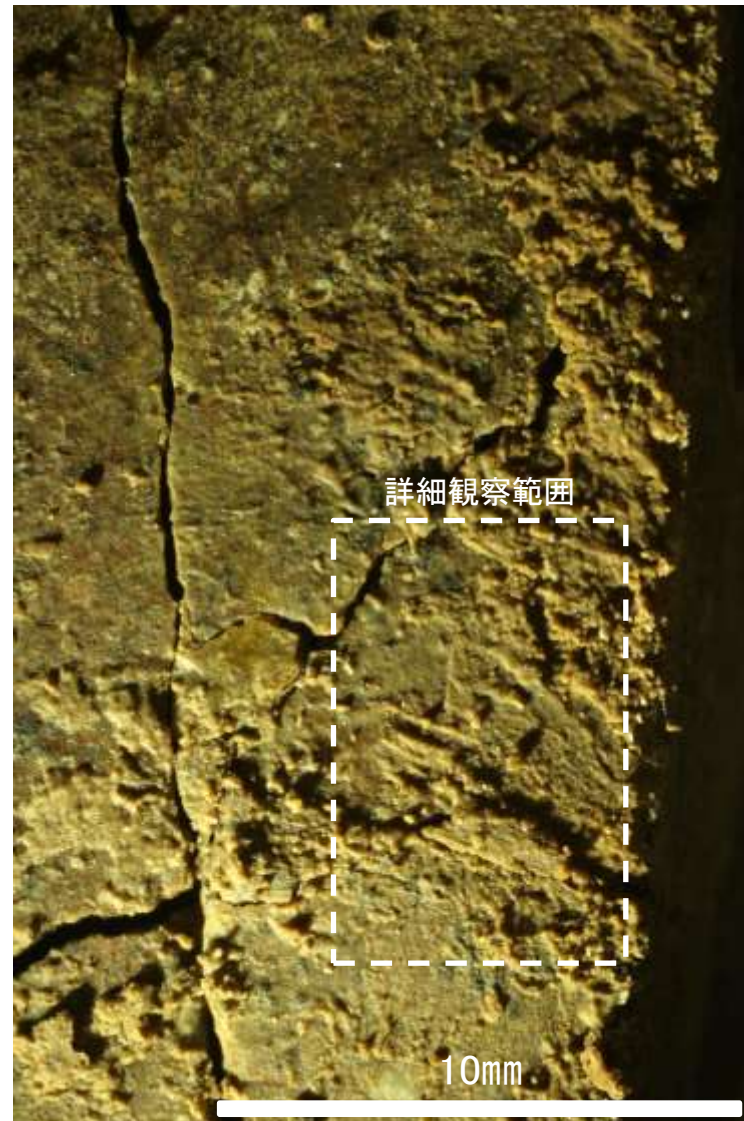
# 条線観察結果 ボーリングH-5.7孔[深度13.20m](上盤側)②



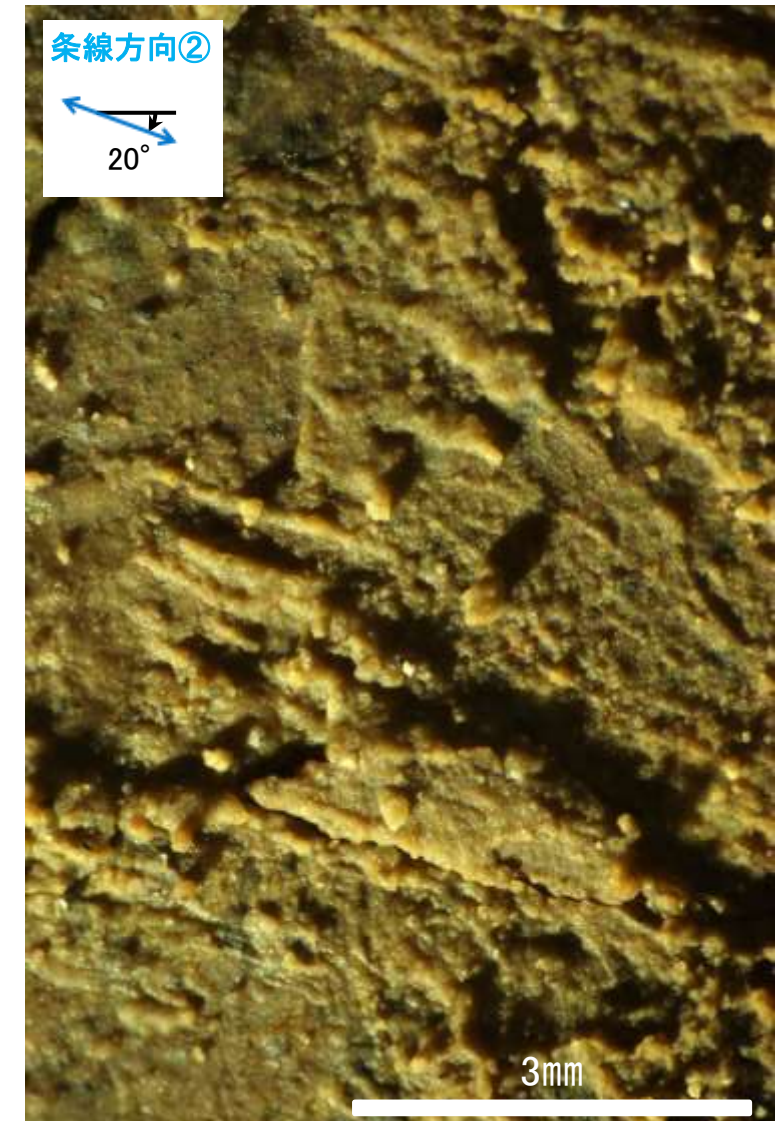
概念図  
※走向は真北で示す。



観察面写真

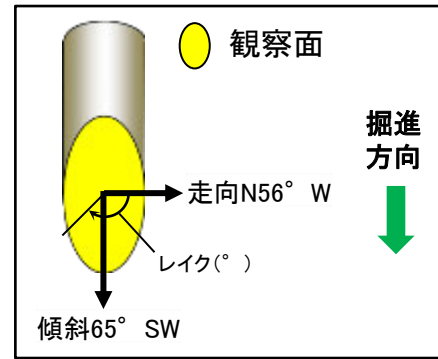


観察面拡大写真

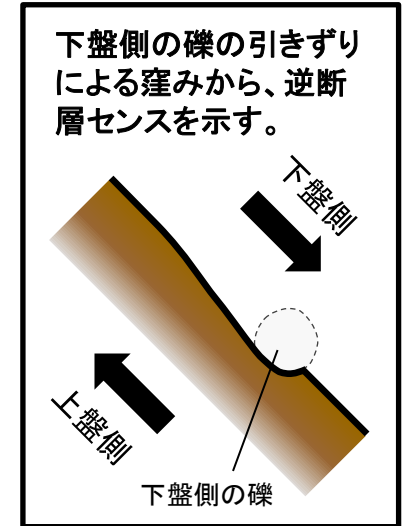


詳細観察写真

# 条線観察結果 ボーリングH-5.7孔[深度13.20m](上盤側)③



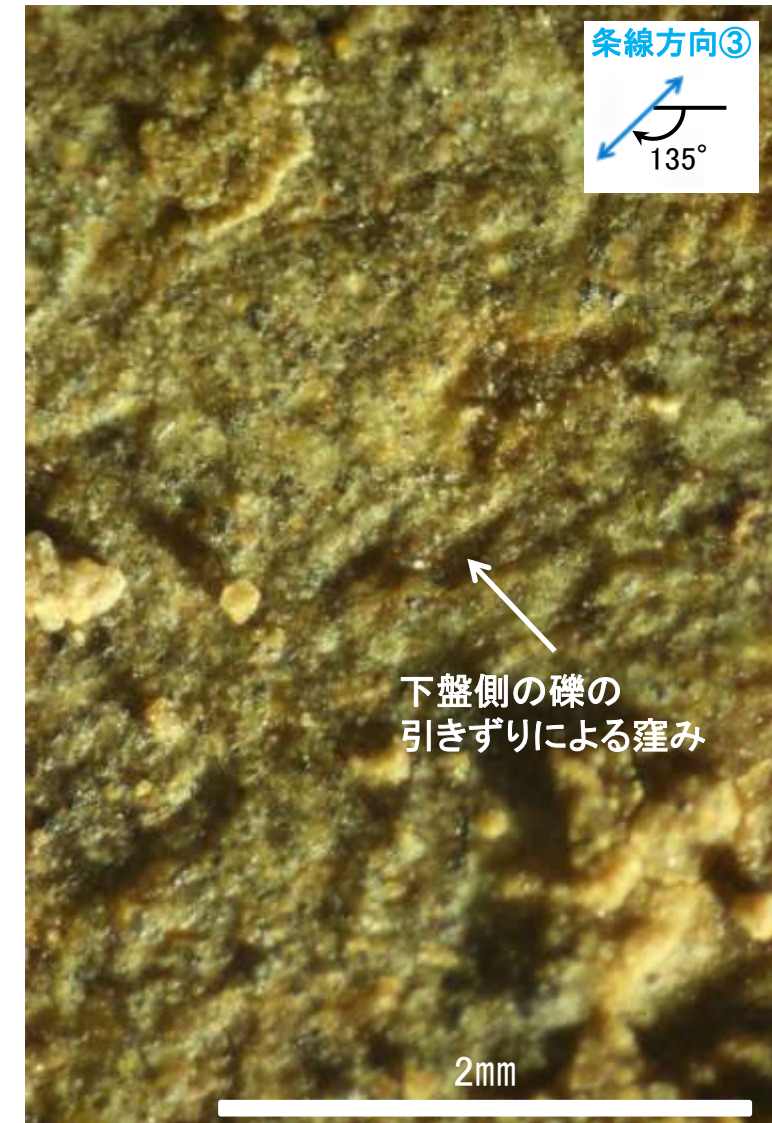
概念図  
※走向は真北で示す。



観察面写真



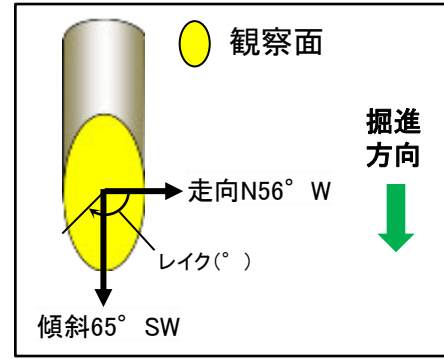
観察面拡大写真



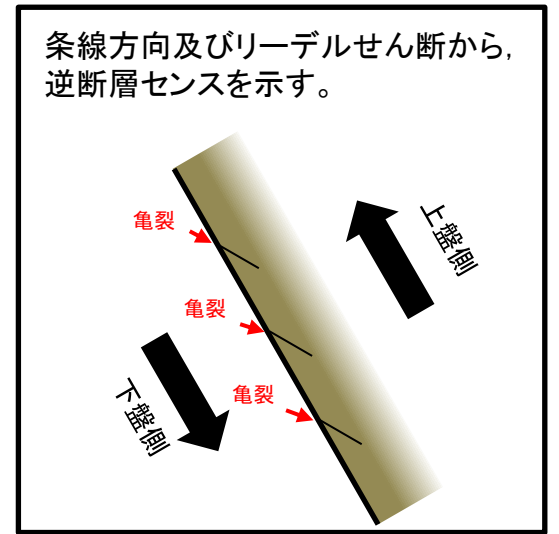
詳細観察写真

・条線のレイクは45° R (下盤側換算), 変位センスは右横ずれ逆断層センス

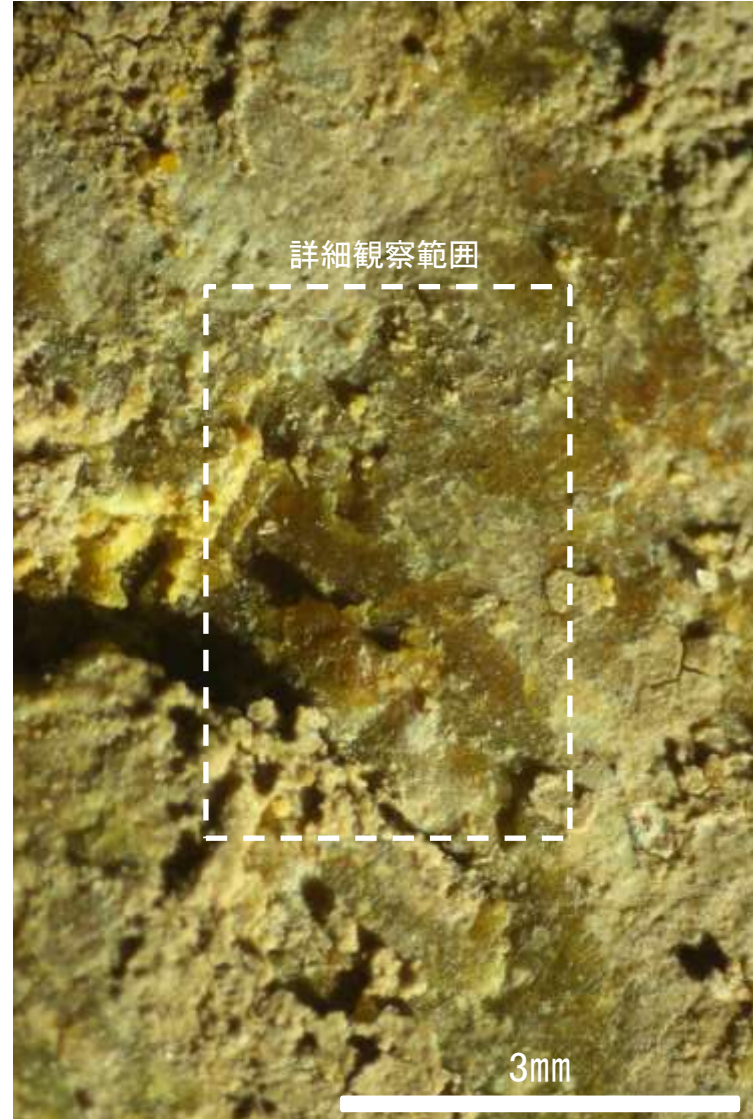
# 条線観察結果 ボーリングH-5.7孔[深度13.20m](上盤側)④



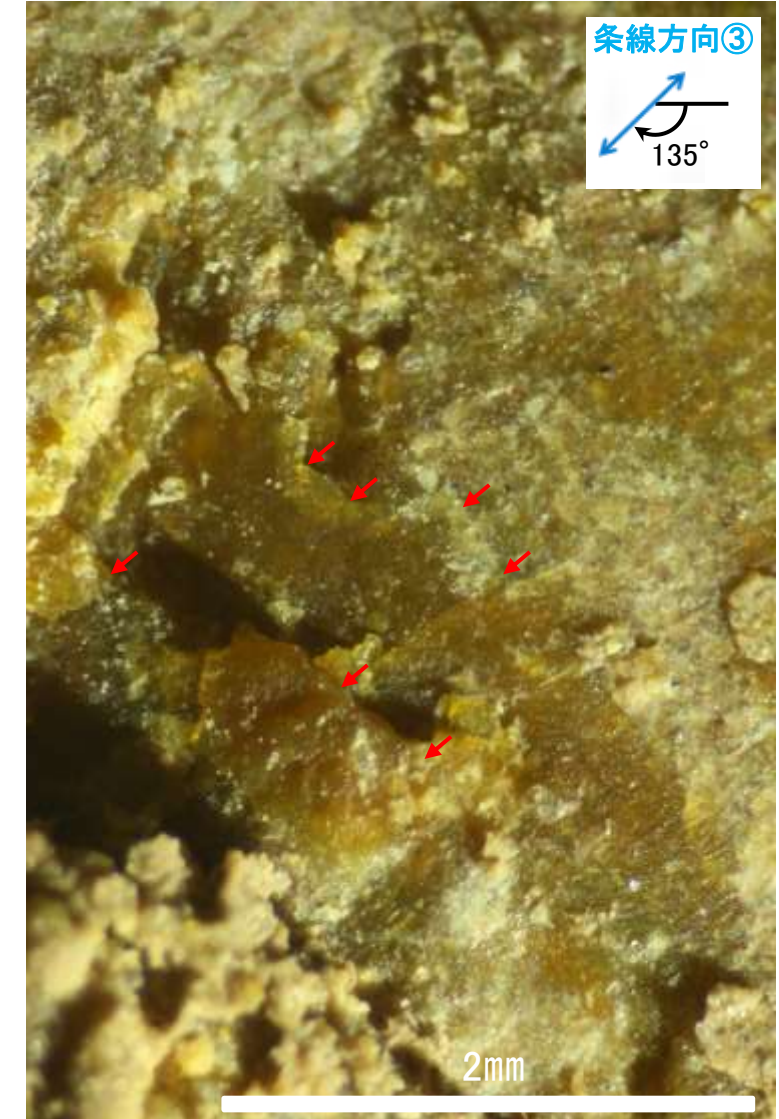
概念図  
※走向は真北で示す。



観察面写真



観察面拡大写真

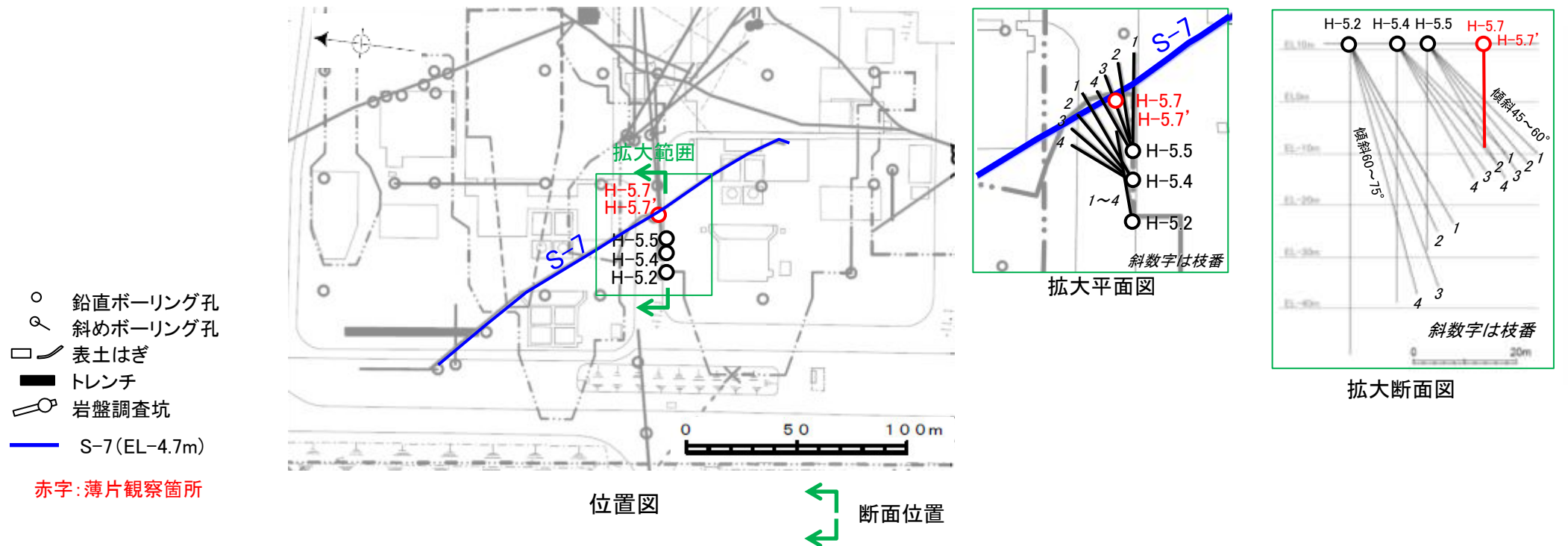


詳細観察写真

・条線のレイクは45° R (下盤側換算), 変位センスは右横ずれ逆断層センス

薄片観察結果(固結した破碎部, 粘土状破碎部)	
薄片番号	変位センス
H-5.7_20R	不明
H-5.7'_20R	不明

\* 各薄片試料は、付近の断層の条線観察結果を踏まえたレイクで切断し、作成した。





# 薄片観察結果(H-5.7\_20R)

■条線観察結果を踏まえ、20° Rのレイクでボーリングコアを切断して作成した薄片を観察した。

	顕微鏡観察(右に構造等を加筆)		顕微鏡観察 拡大(右に構造等を加筆)	
H-5.7孔 (深度13.20m)	<p>(単ニコル) 上</p> <p>固結した破碎部 粘土状破碎部 固結した破碎部</p> <p>下盤 上盤 下盤 上盤</p> <p>1cm 1cm</p>		<p>(単ニコル) 上</p> <p>固結した破碎部 粘土状破碎部 固結した破碎部</p> <p>下盤 上盤 下盤 上盤</p> <p>1mm 1mm</p>	
	<p>(直交ニコル) 上</p> <p>固結した破碎部 粘土状破碎部 固結した破碎部</p> <p>下盤 上盤 下盤 上盤</p> <p>1cm 1cm</p>		<p>(直交ニコル) 上</p> <p>固結した破碎部 粘土状破碎部 固結した破碎部</p> <p>下盤 上盤 下盤 上盤</p> <p>1mm 1mm</p>	

・固結した破碎部, 粘土状破碎部中には変位センスが認定できるような明瞭な変形構造は認められない。

# 薄片観察結果 (H-5.7'\_20R)

■ 条線観察結果を踏まえ、20° Rのレイクでボーリングコアを切断して作成した薄片を観察した。

	顕微鏡観察 (右に構造等を加筆)		顕微鏡観察 拡大 (右に構造等を加筆)				
H-5.7' 孔 (深度14.32m)	(単ニコル)			(単ニコル)			
	(直交ニコル)			(直交ニコル)			

・ 固結した破砕部、粘土状破砕部中には変位センスが認定できるような明瞭な変形構造は認められない。

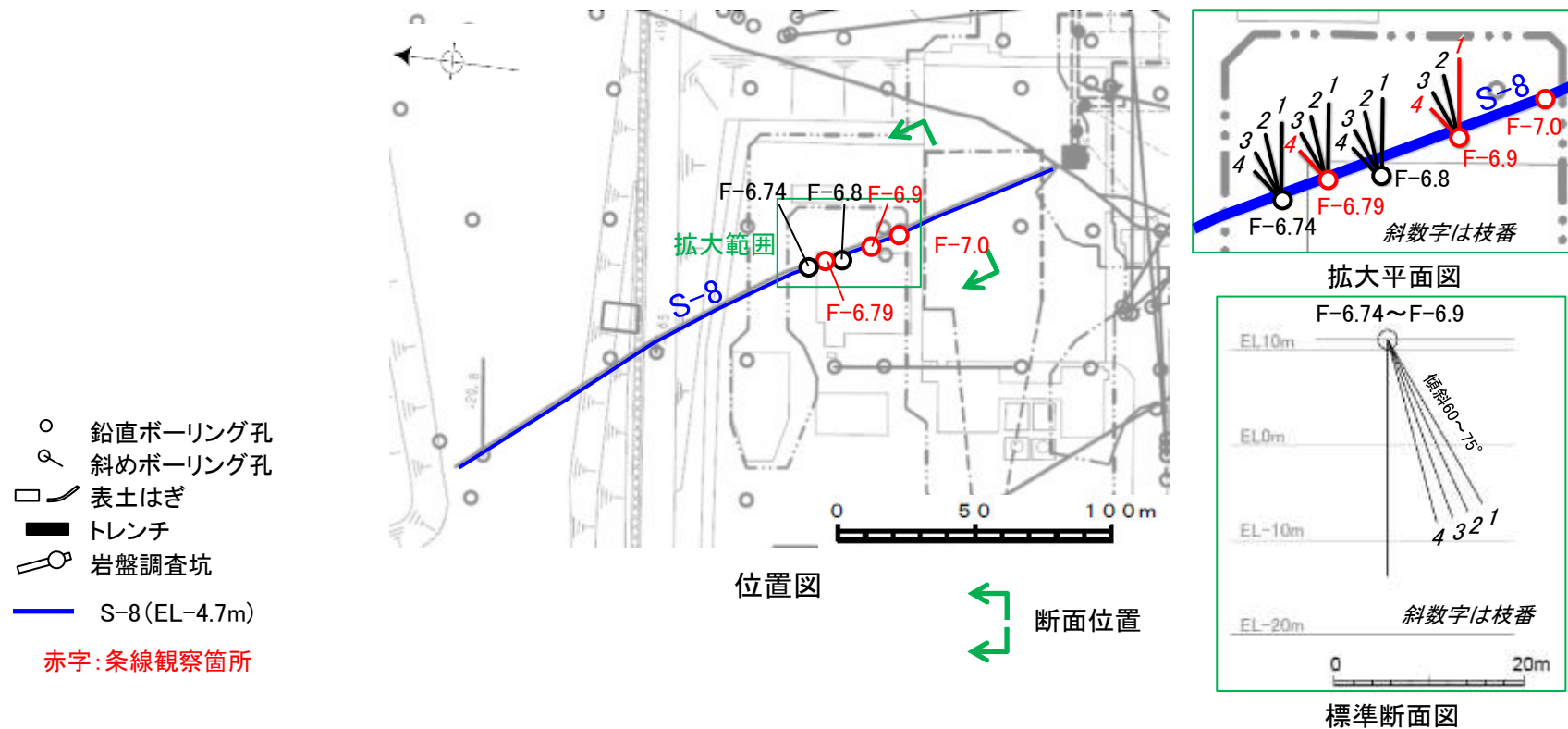
---

(7) S-8の運動方向調査結果

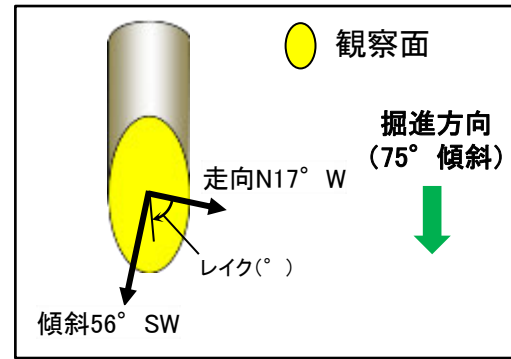
# S-8の条線観察結果

試料名		走向/傾斜 (走向は真北)	条線のレイク※1	変位センス
ボーリングF-6.79-4孔 [深度17.65m]	上盤側	N17° W/56° SW	107° R	(不明)
ボーリングF-6.9孔 [深度19.15m]	下盤側	N3° E/48° NW	135° R	左横ずれ逆断層
ボーリングF-6.9-1孔 [深度14.65m]	上盤側	N3° W/51° SW	74° R	(不明)
ボーリング F-6.9-4孔 [深度17.05m]	上盤側	N7° W/59° SW	84° R	(不明)
ボーリングF-7.0孔 [深度16.09m]	下盤側	N10° W/48° SW	70° R	(不明)
			25° R	(不明)

※1 上盤側で確認したレイクは下盤側に換算して示す。



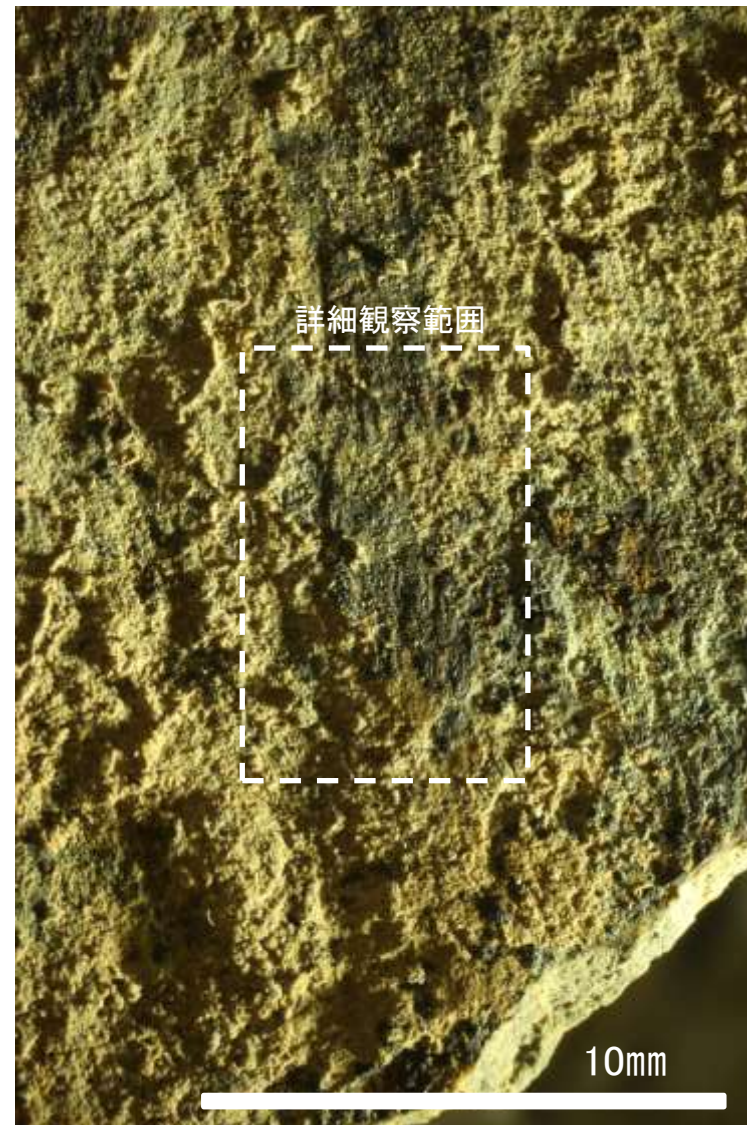
# 条線観察結果 ボーリングF-6.79-4孔[深度17.65m](上盤側)



概念図  
※走向は真北で示す。



観察面写真

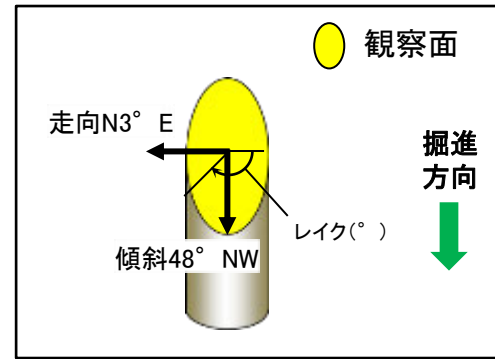


観察面拡大写真

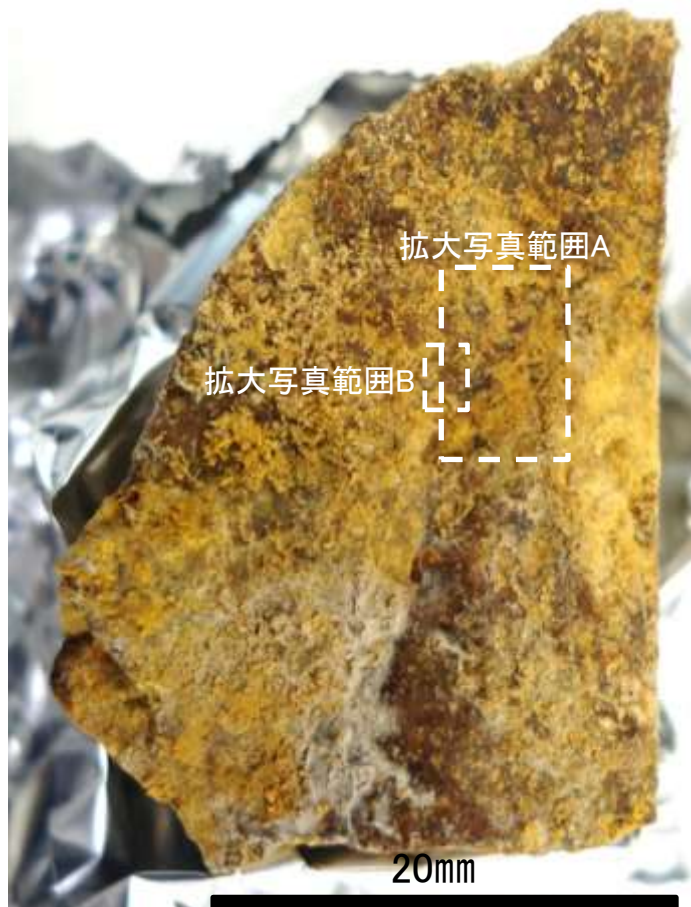
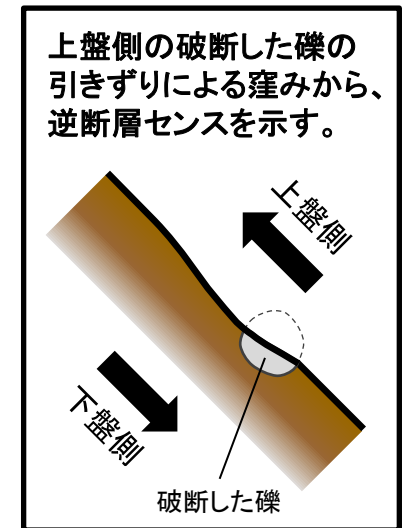


詳細観察写真

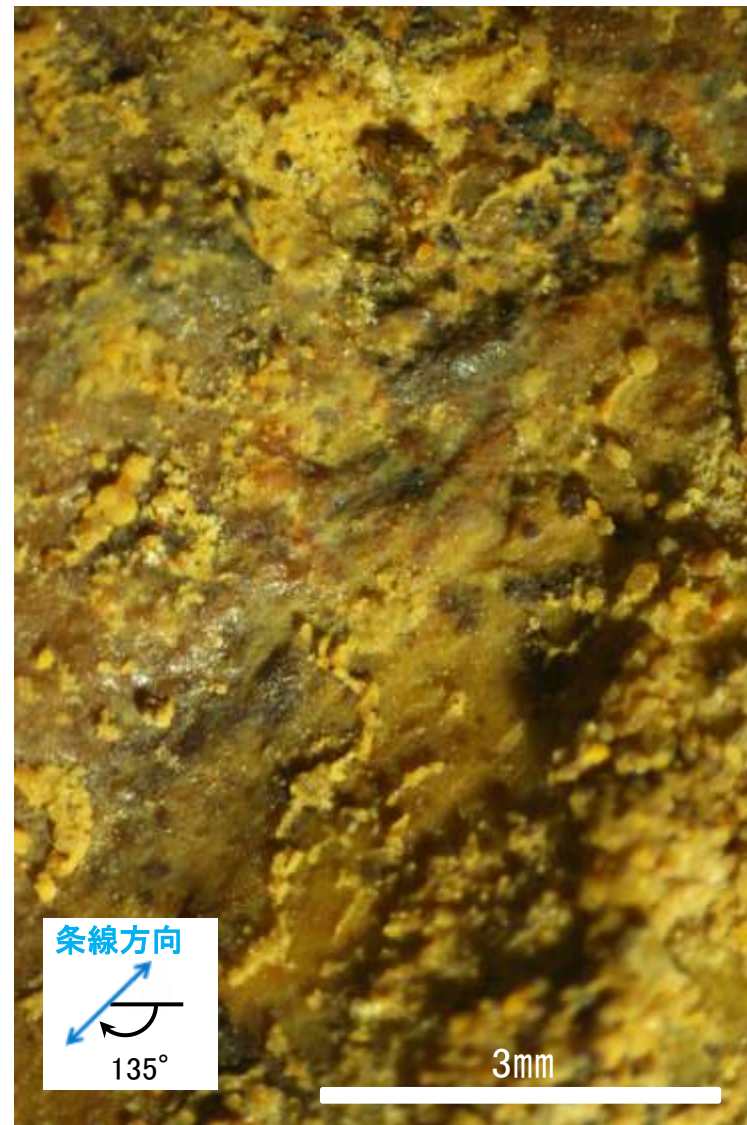
# 条線観察結果 ボーリングF-6.9孔[深度19.15m](下盤側)①



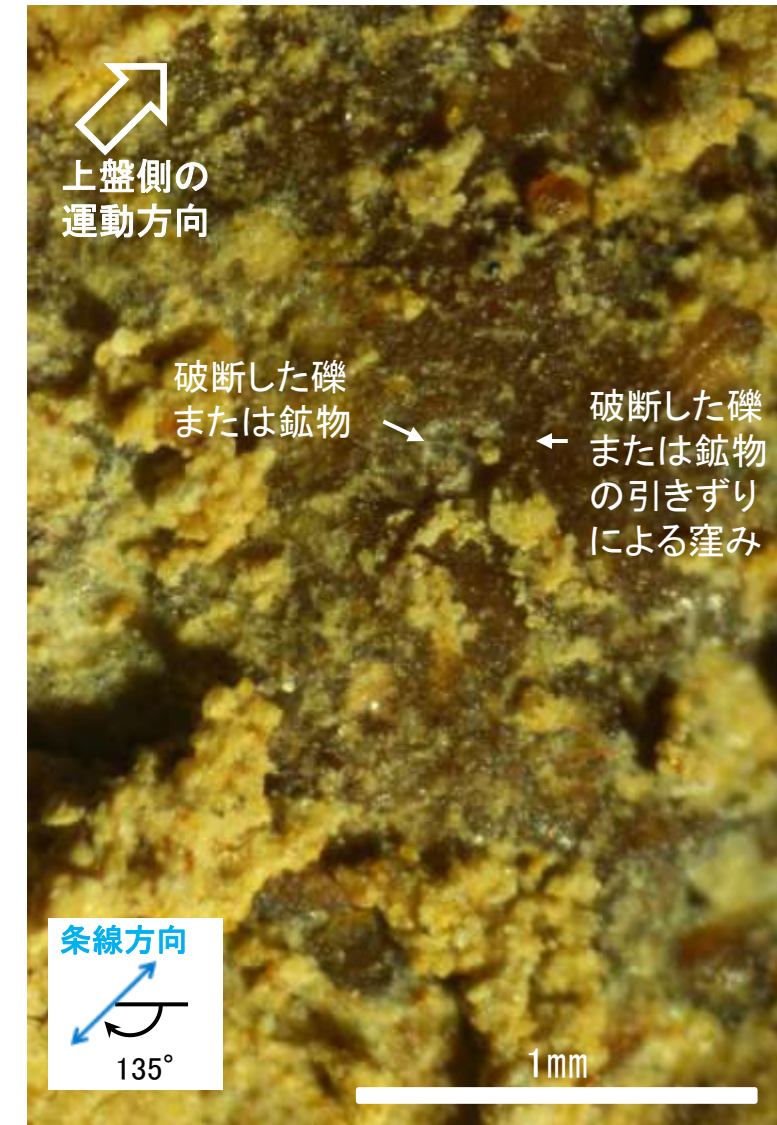
概念図  
※走向は真北で示す。



観察面写真



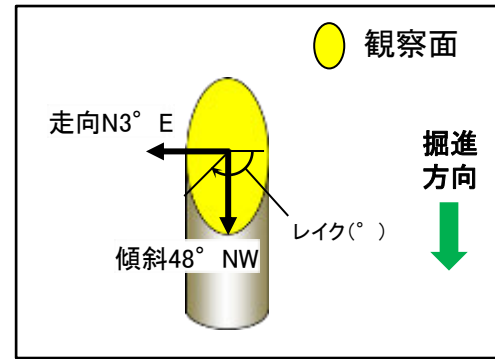
観察面拡大写真A



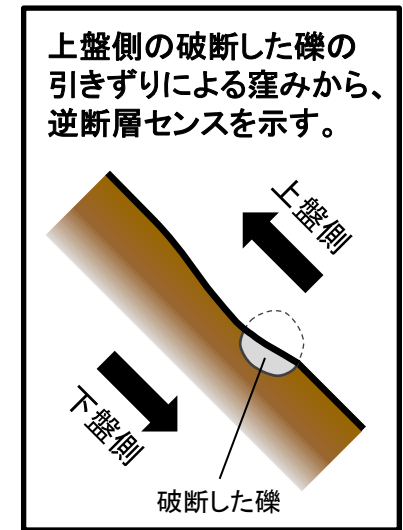
観察面拡大写真B

・条線のレイクは135° R, 変位センスは左横ずれ逆断層センス

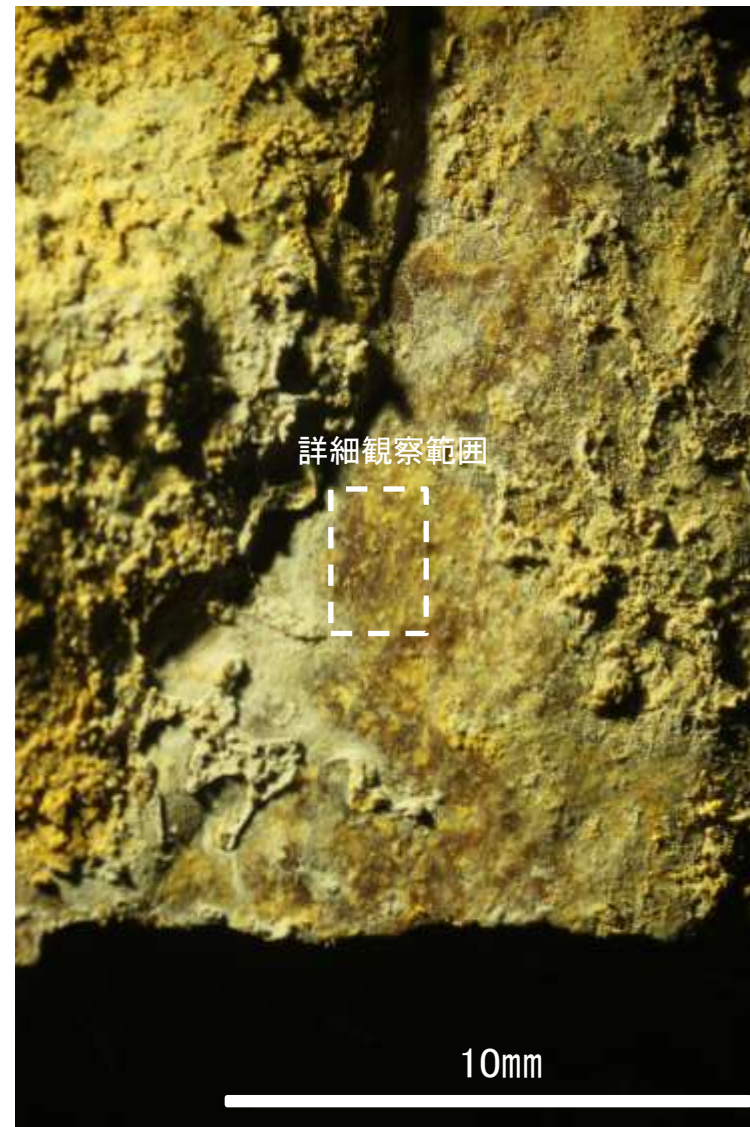
# 条線観察結果 ボーリングF-6.9孔[深度19.15m](下盤側)②



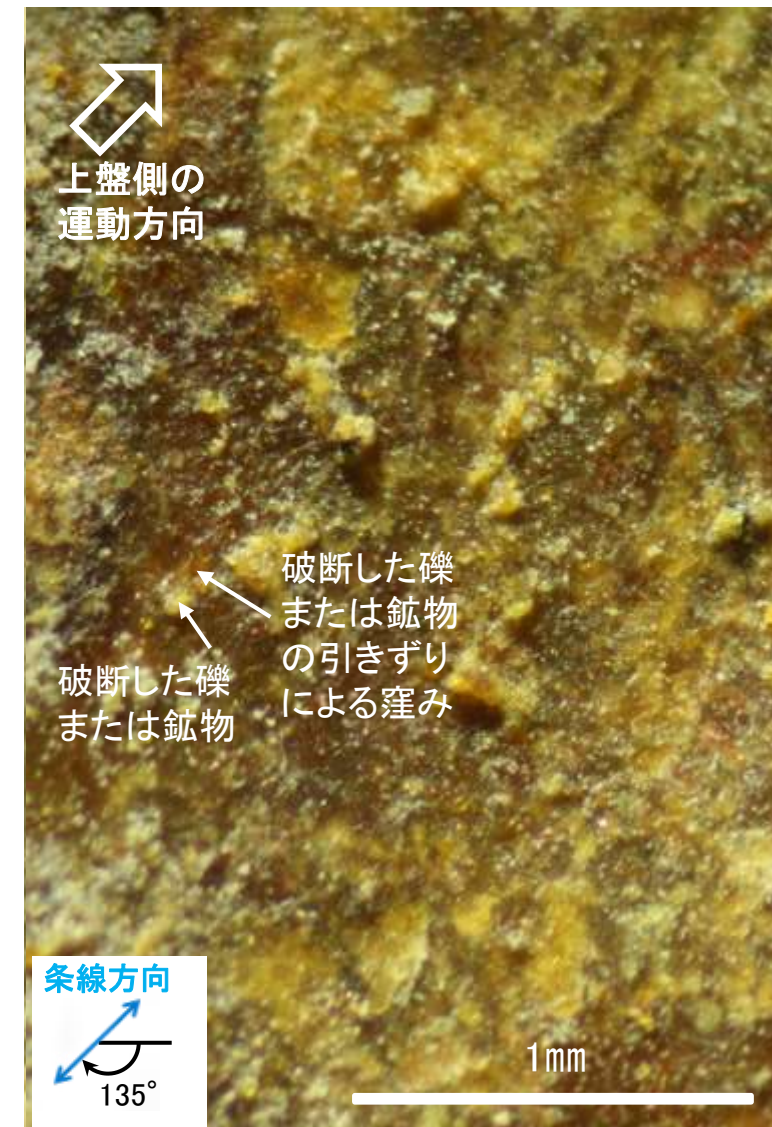
概念図  
※走向は真北で示す。



観察面写真



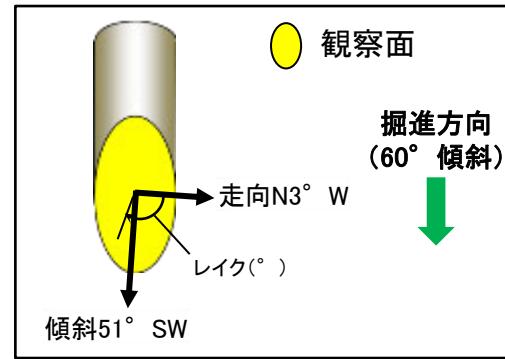
観察面拡大写真



詳細観察写真

・条線のレイクは135° R, 変位センスは左横ずれ逆断層センス

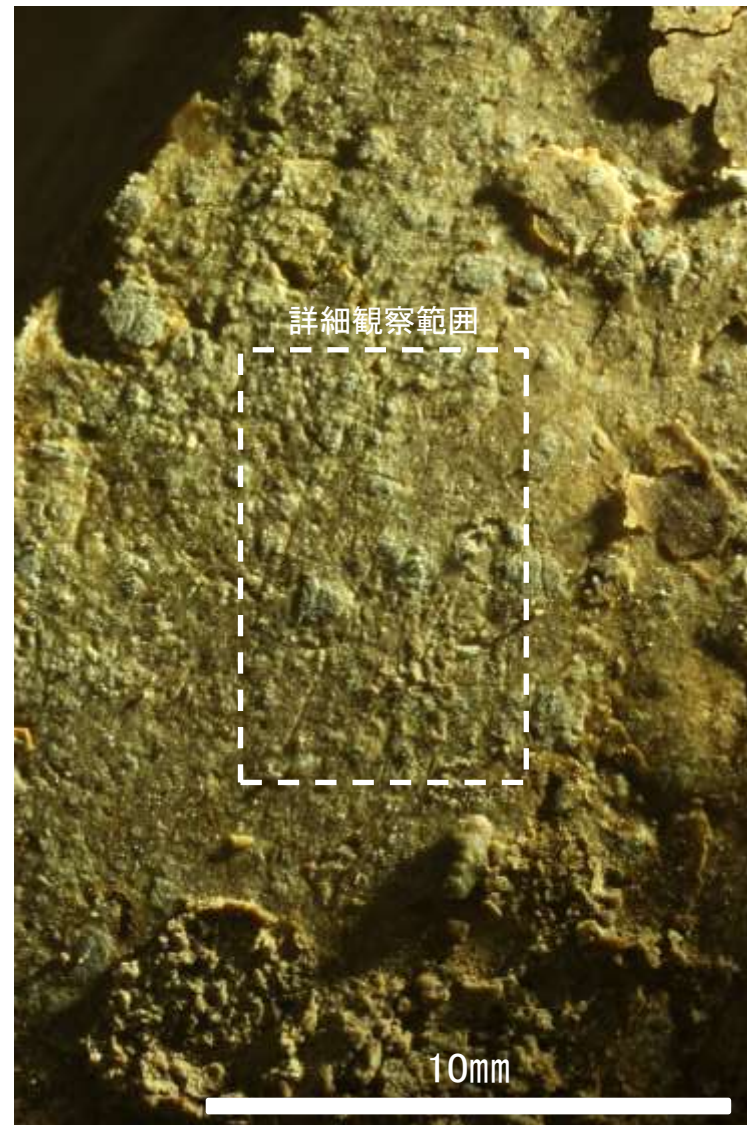
# 条線観察結果 ボーリングF-6.9-1孔[深度14.65m](上盤側)



概念図  
※走向は真北で示す。



観察面写真



観察面拡大写真

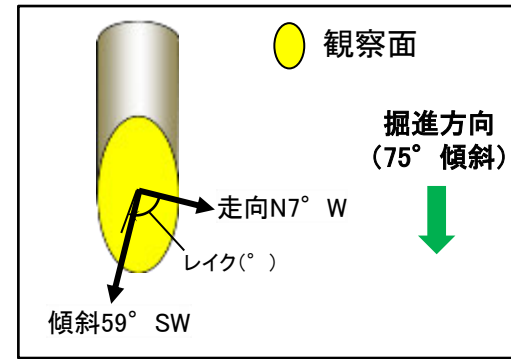


詳細観察写真

・条線のレイクは74° R(下盤側換算), 変位センスは不明



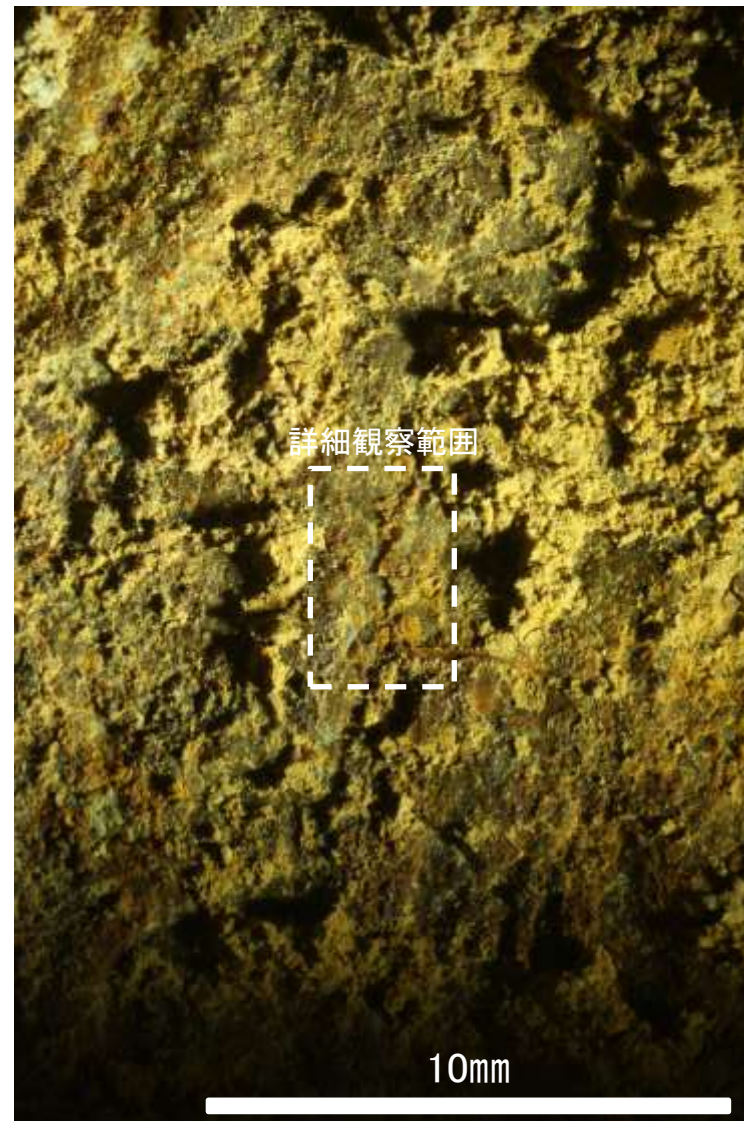
# 条線観察結果 ボーリングF-6.9-4孔[深度17.05m](上盤側)



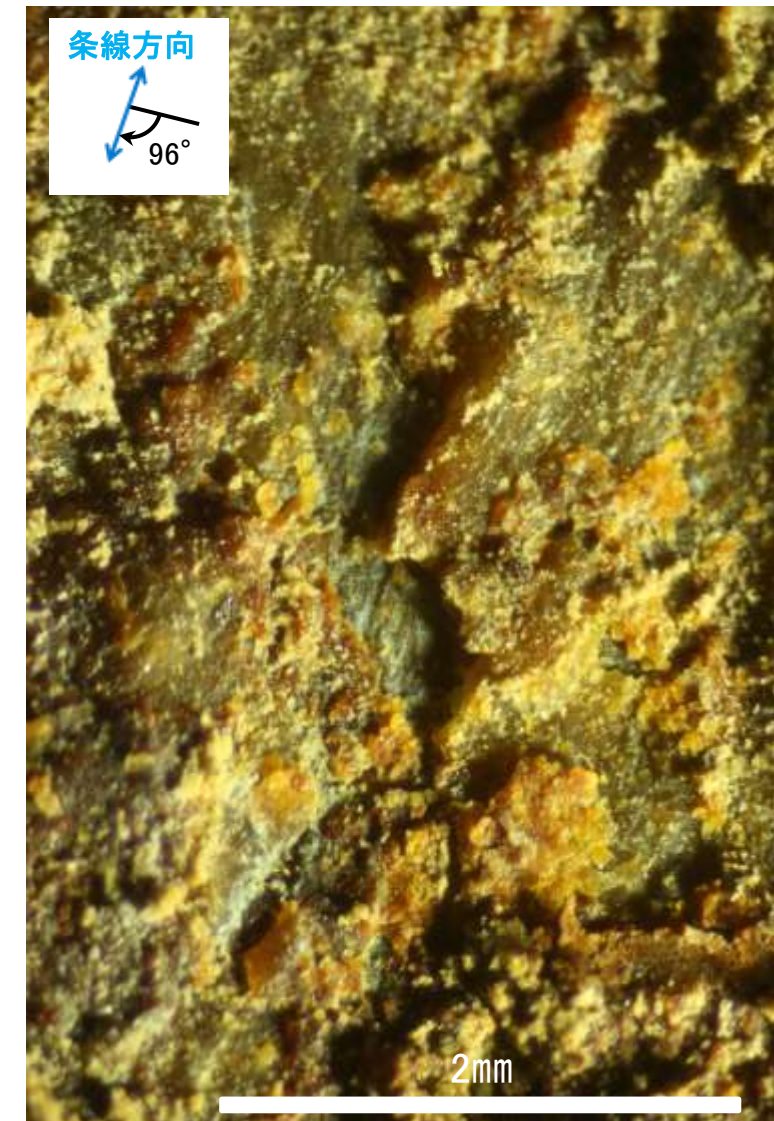
概念図  
※走向は真北で示す。



観察面写真



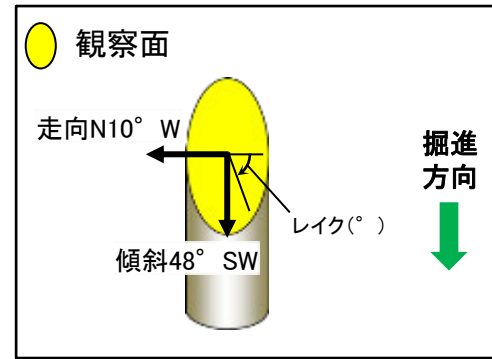
観察面拡大写真



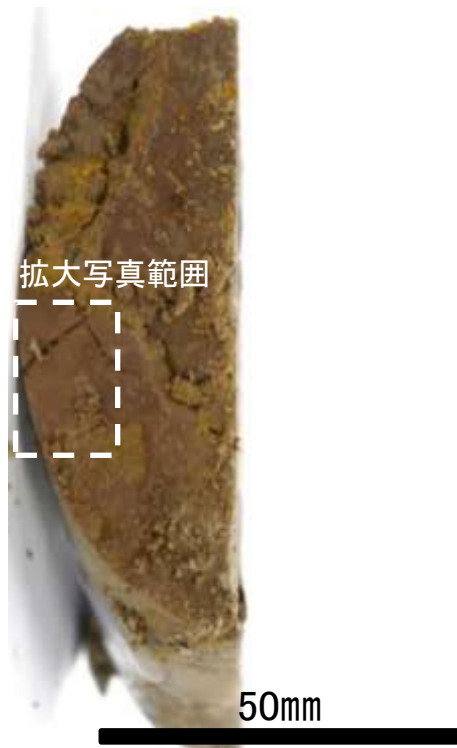
詳細観察写真

・条線のレイクは84° R(下盤側換算), 変位センスは不明

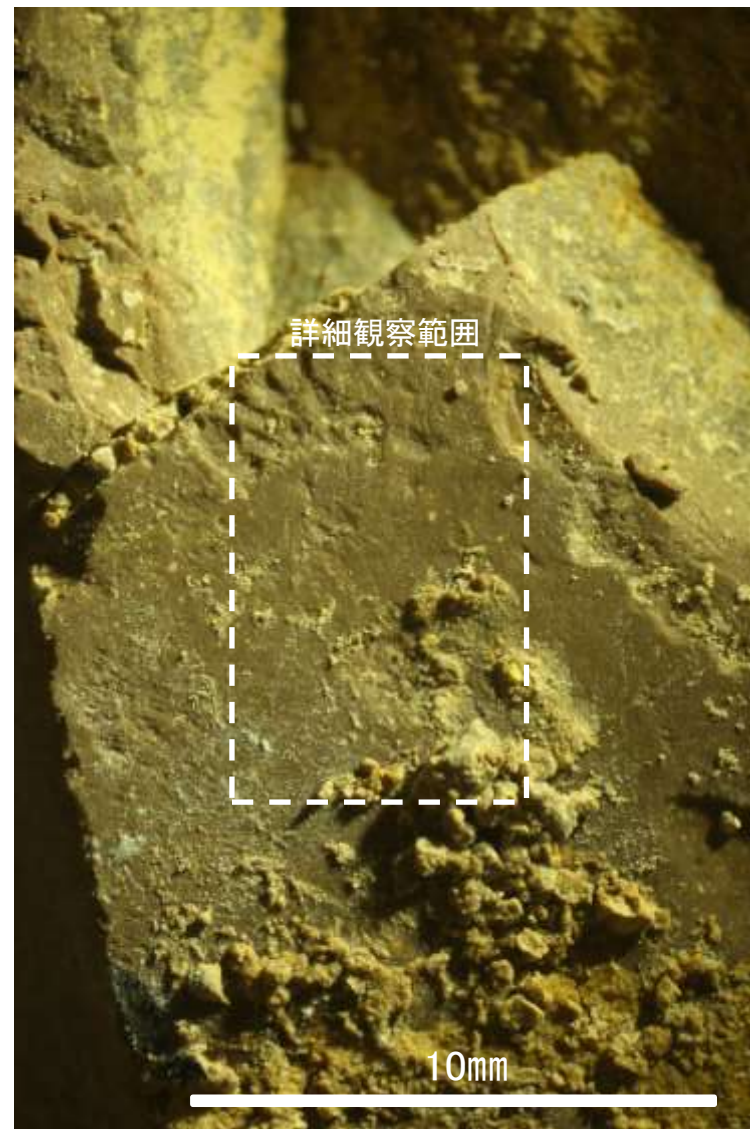
# 条線観察結果 ボーリングF-7.0孔[深度16.09m](下盤側)①



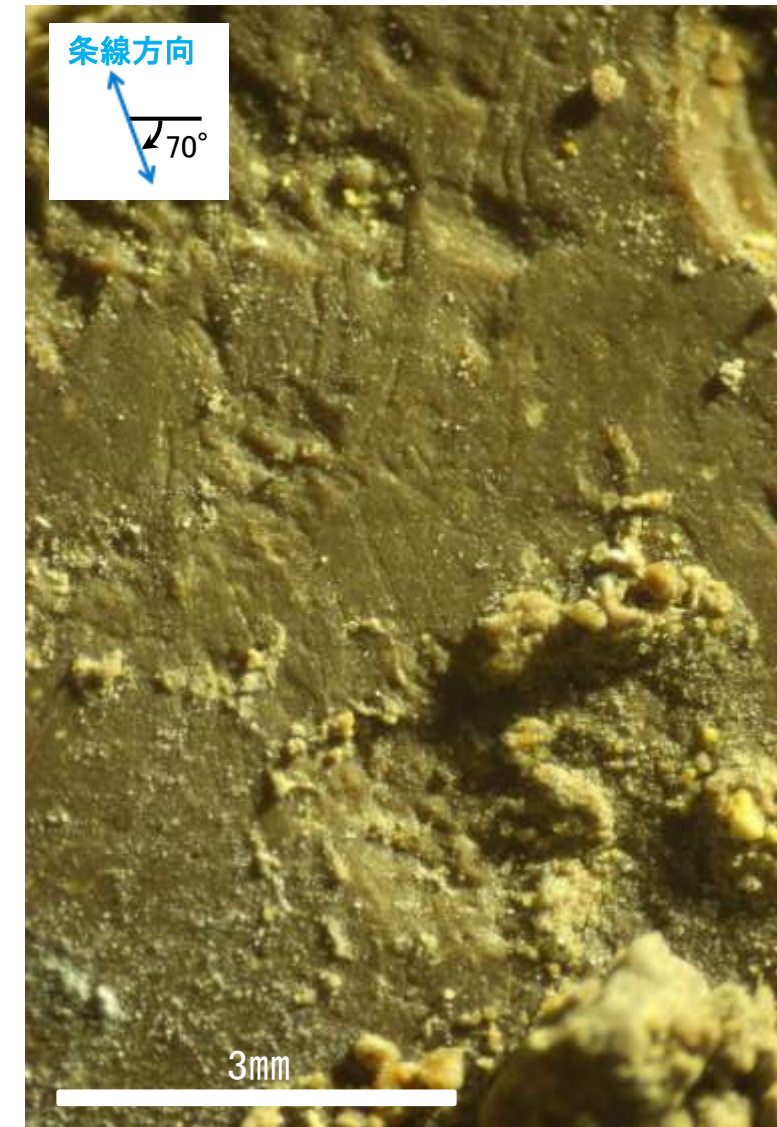
概念図  
※走向は真北で示す。



観察面写真



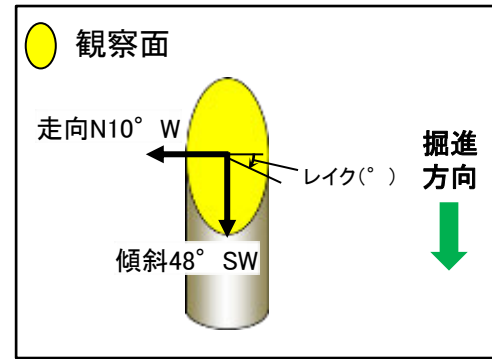
観察面拡大写真



詳細観察写真

・条線のレイクは70° R, 変位センスは不明

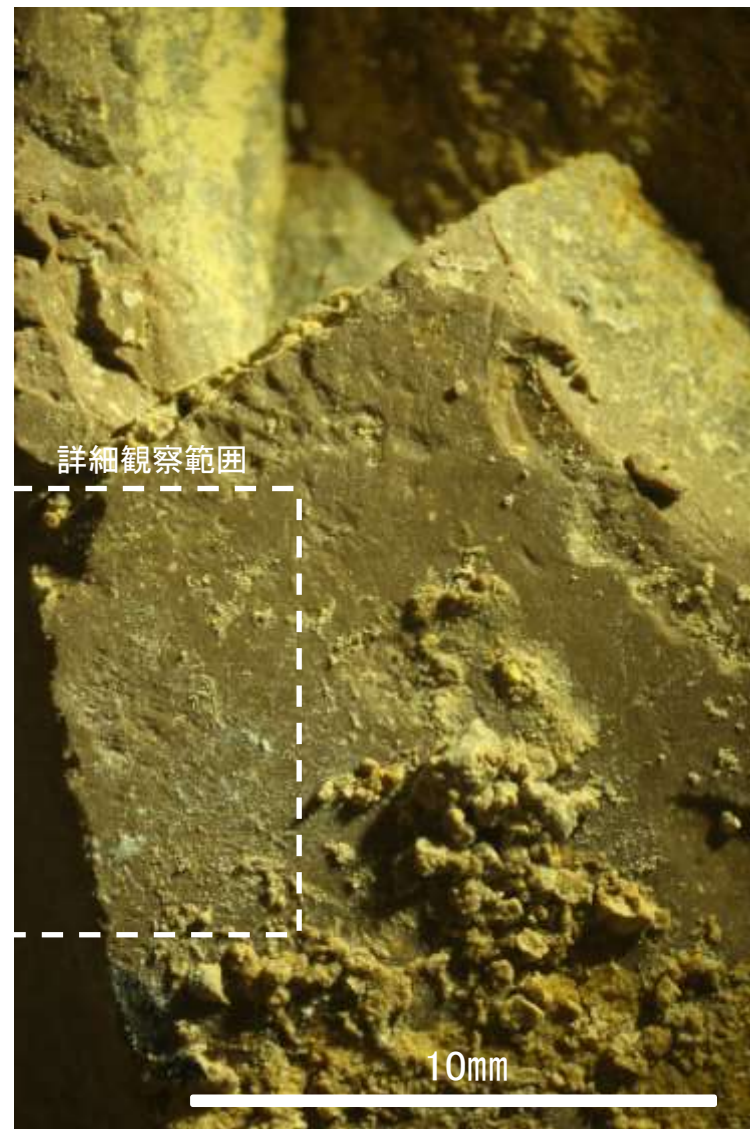
# 条線観察結果 ボーリングF-7.0孔[深度16.09m](下盤側)②



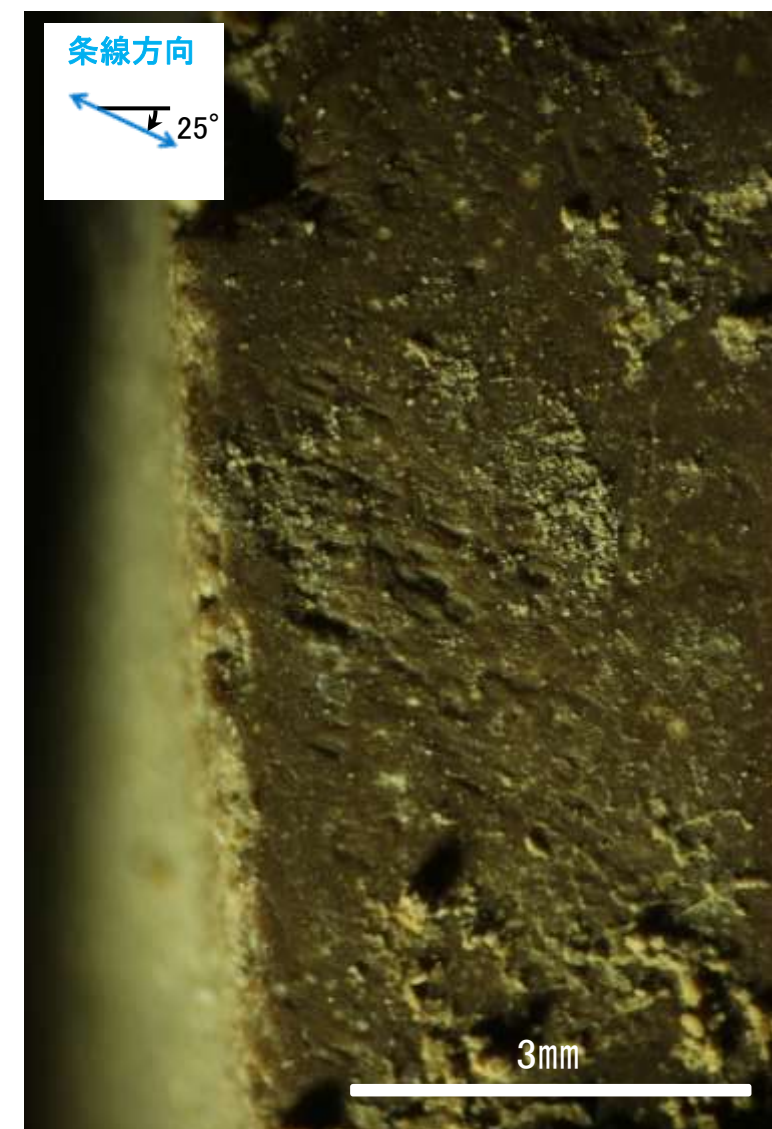
概念図  
※走向は真北で示す。



観察面写真



観察面拡大写真



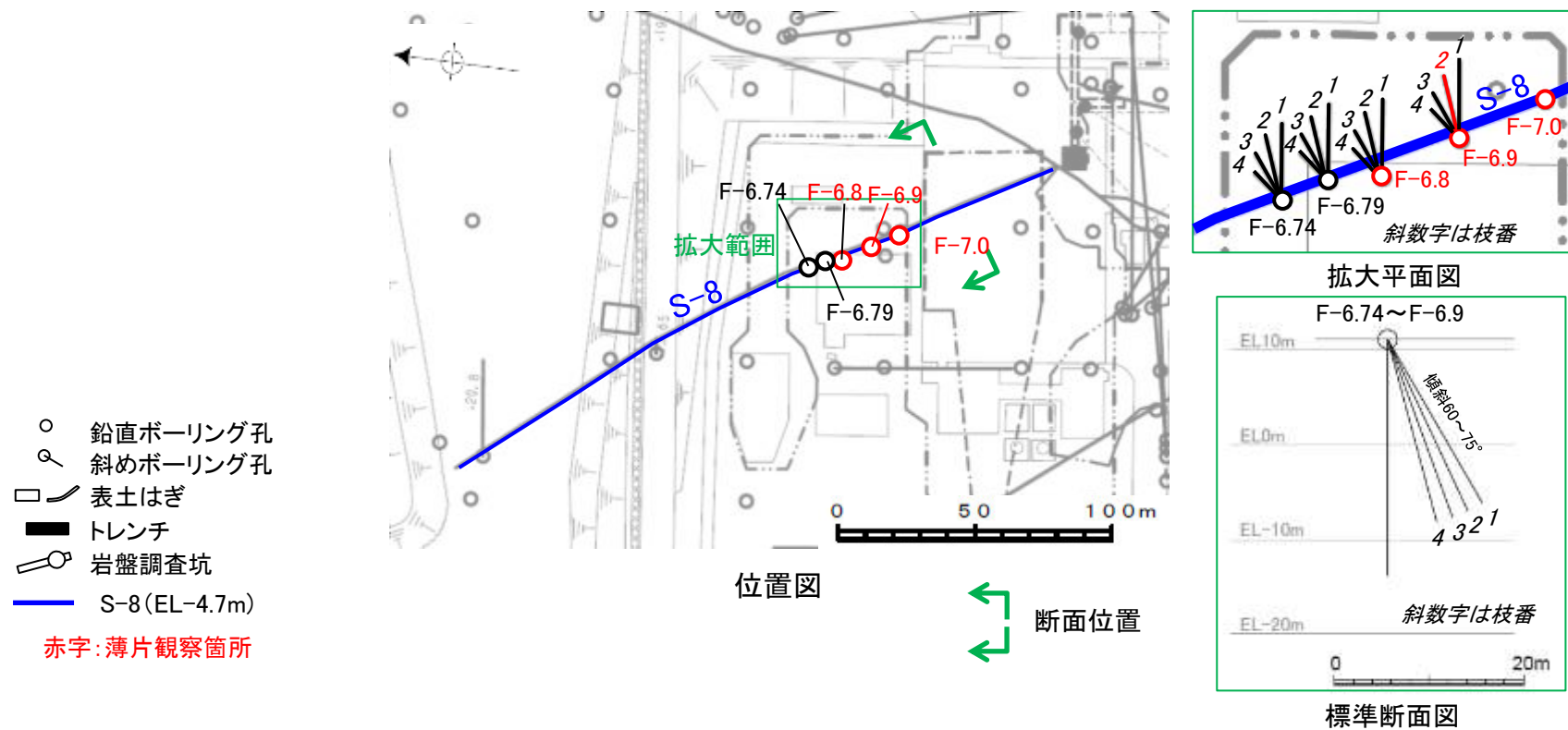
詳細観察写真

・条線のレイクは25° R, 変位センスは不明

薄片観察結果(固結した破砕部)	
薄片番号	変位センス
F-6.9-2_145R	正断層

薄片観察結果(固結した破砕部, 粘土状破砕部)	
薄片番号	変位センス
F-6.8_70R	不明
F-7.0_70R	不明

\* 各薄片試料は、付近の断層の条線観察結果を踏まえたレイクで切断し、作成した。



# 薄片観察結果 (F-6.9-2\_145R)

■ 条線観察結果を踏まえ、145° Rのレイクでボーリングコアを切断して作成した薄片を観察した。

	顕微鏡観察 (右に構造等を加筆)		顕微鏡観察 拡大 (右に構造等を加筆)		
F-6.9-2孔 (深度13.30m)	(単ニコル)			(単ニコル)	
	(直交ニコル)			(直交ニコル)	

凡例  
— Y面  
— P面  
↑ 変位方向

・ 固結した破砕部中の変形構造から、見かけ上盤側下がりの変位が推定され、正断層センスが認定できる。

# 薄片観察結果 (F-6.8\_70R)

■ 条線観察結果を踏まえ、70° Rのレイクでボーリングコアを切断して作成した薄片を観察した。

	顕微鏡観察 (右に構造等を加筆)	顕微鏡観察 拡大 (右に構造等を加筆)
F-6.8孔 (深度23.75m)	<p>(単ニコル) 上</p> <p>凝灰角礫岩 粘土状破砕部 固結した破砕部</p> <p>拡大範囲</p> <p>下盤</p> <p>1cm</p>	<p>(単ニコル) 上</p> <p>凝灰角礫岩 粘土状破砕部 固結した破砕部</p> <p>1mm</p>
	<p>(直交ニコル) 上</p> <p>凝灰角礫岩 粘土状破砕部 固結した破砕部</p> <p>拡大範囲</p> <p>下盤</p> <p>1cm</p>	<p>(直交ニコル) 上</p> <p>凝灰角礫岩 粘土状破砕部 固結した破砕部</p> <p>1mm</p>
	<p>(単ニコル) 上</p> <p>凝灰角礫岩 固結した破砕部 粘土状破砕部 固結した破砕部</p> <p>拡大範囲</p> <p>下盤</p> <p>1cm</p>	<p>(単ニコル) 上</p> <p>凝灰角礫岩 固結した破砕部 粘土状破砕部 固結した破砕部</p> <p>1mm</p>
	<p>(直交ニコル) 上</p> <p>凝灰角礫岩 粘土状破砕部 固結した破砕部</p> <p>拡大範囲</p> <p>下盤</p> <p>1cm</p>	<p>(直交ニコル) 上</p> <p>凝灰角礫岩 固結した破砕部 粘土状破砕部 固結した破砕部</p> <p>1mm</p>

凡例  
— Y面

・ 固結した破砕部、粘土状破砕部中には変位センスが認定できるような明瞭な変形構造は認められない。

■ 条線観察結果を踏まえ、70° Rのレイクでボーリングコアを切断して作成した薄片を観察した。

	顕微鏡観察 (右に構造等を加筆)	顕微鏡観察 拡大 (右に構造等を加筆)
F-7.0孔 (深度16.09m)	<p>(単ニコル)</p> <p>1cm</p>	<p>(単ニコル)</p> <p>1mm</p>
	<p>(直交ニコル)</p> <p>1cm</p>	<p>(直交ニコル)</p> <p>1mm</p>

凡例  
— Y面

・ 固結した破碎部, 粘土状破碎部中には変位センスが認定できるような明瞭な変形構造は認められない。

---

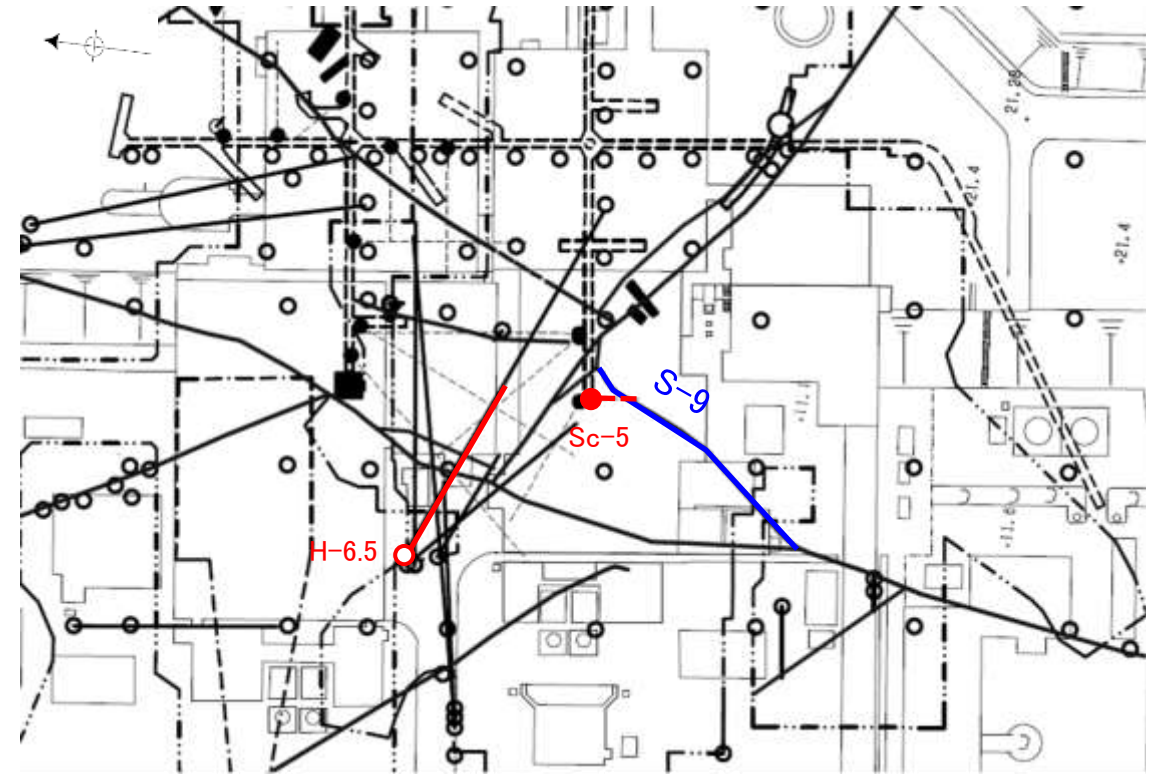
(8) S-9の運動方向調査結果



# S-9の条線観察結果

試料名		走向/傾斜 (走向は真北)	条線のレイク※1	変位センス
ボーリングH-6.5孔 [深度 80.75m]	上盤側	N36° E/61° NW	150° R	(不明)
ボーリングSc-5孔(水平) [深度10.40m]	下盤側	N35° E/41° NW	130° R	(不明)
			160° R	(不明)

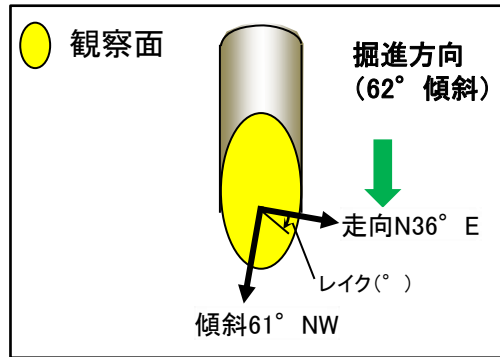
※1 上盤側で確認したレイクは下盤側に換算して示す。



- 鉛直ボーリング孔
- 斜めボーリング孔
- 水平ボーリング孔
- 表土はぎ
- トレンチ
- 岩盤調査坑
- ┌───┐ 試掘坑, 試験坑, 斜坑
- S-9(EL-4.7m)
- 赤字: 条線観察箇所

位置図

# 条線観察結果 ボーリングH-6.5孔[深度80.75m](上盤側)

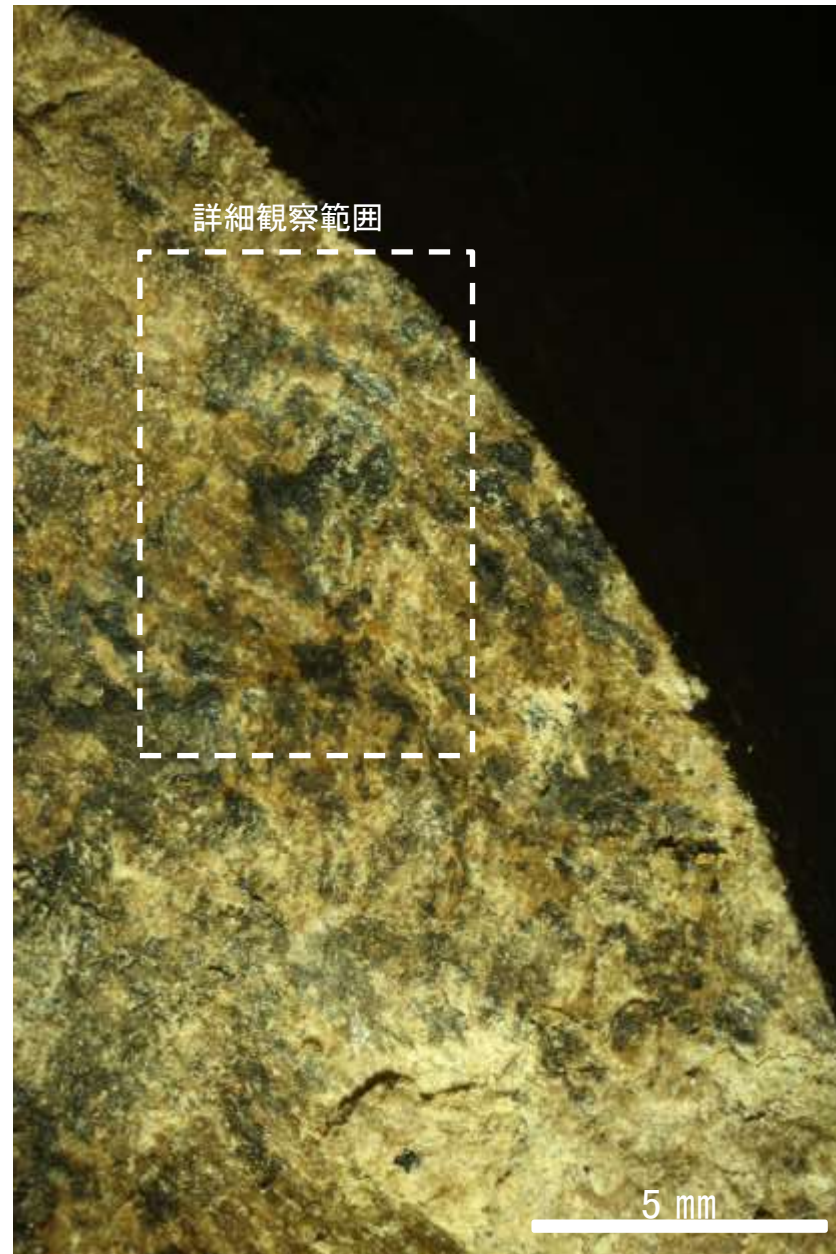


概念図

※走向は真北で示す。



観察面写真



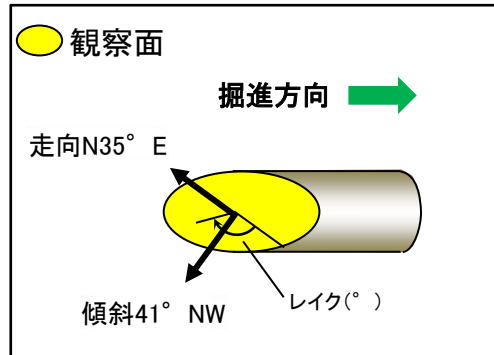
観察面拡大写真



詳細観察写真

・条線のレイクは $150^\circ$  R (下盤側換算), 変位センスは不明

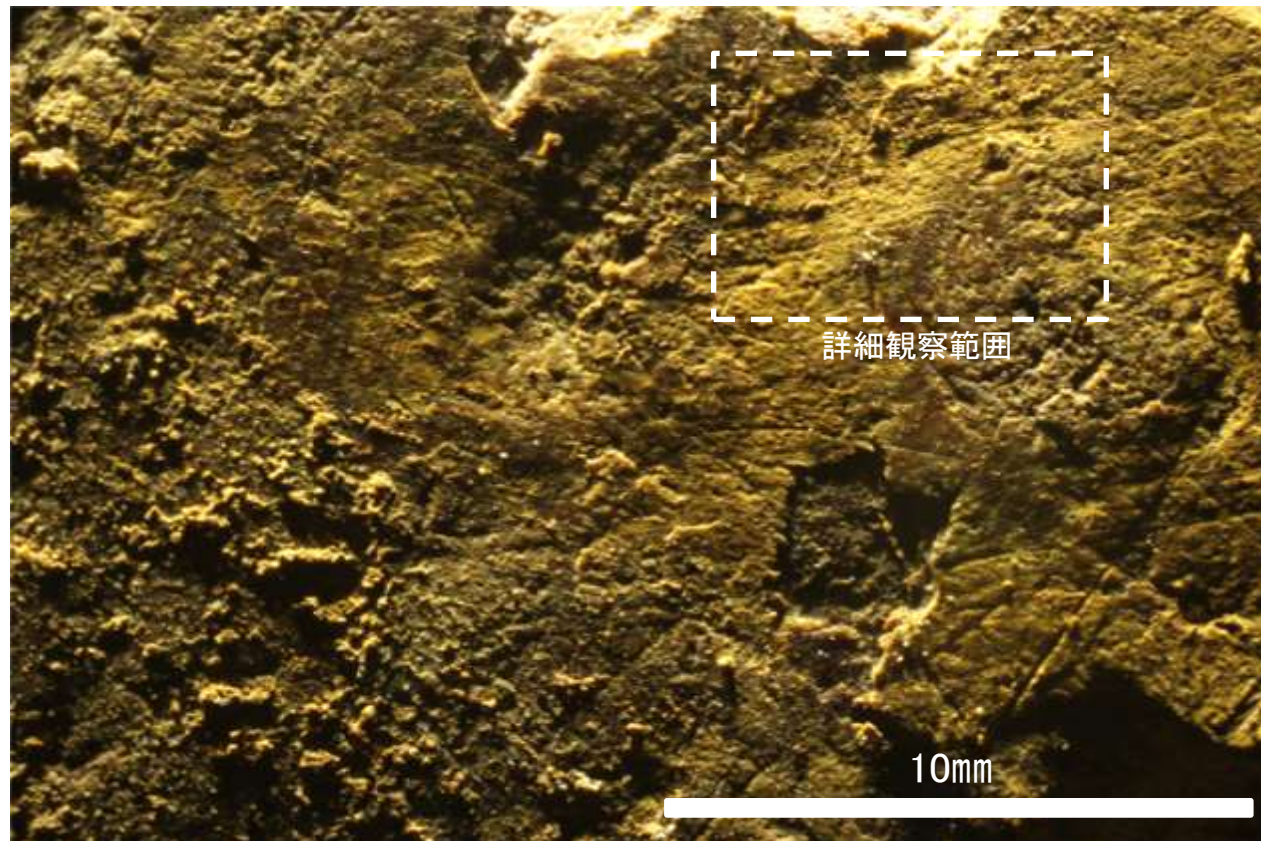
# 条線観察結果 ボーリングSc-5孔[深度10.40m](下盤側)①



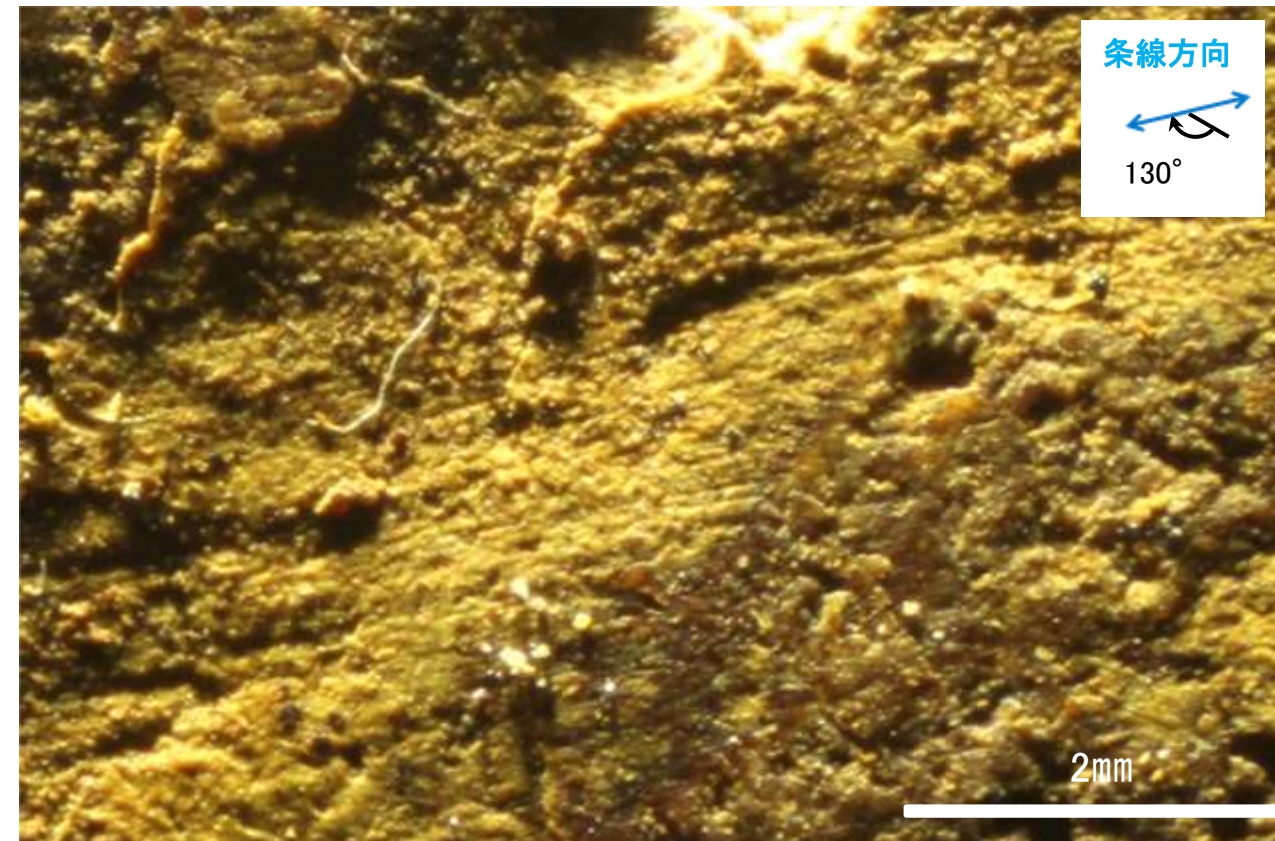
概念図  
※走向は真北で示す。



観察面写真



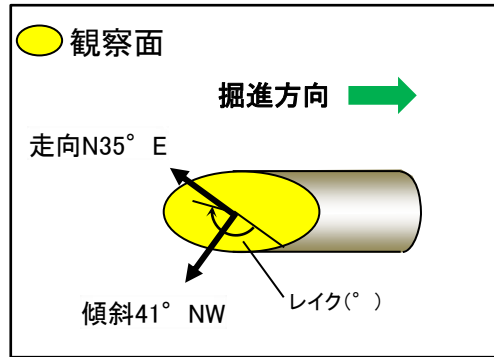
観察面拡大写真



詳細観察写真

・条線のレイクは130° R, 変位センスは不明

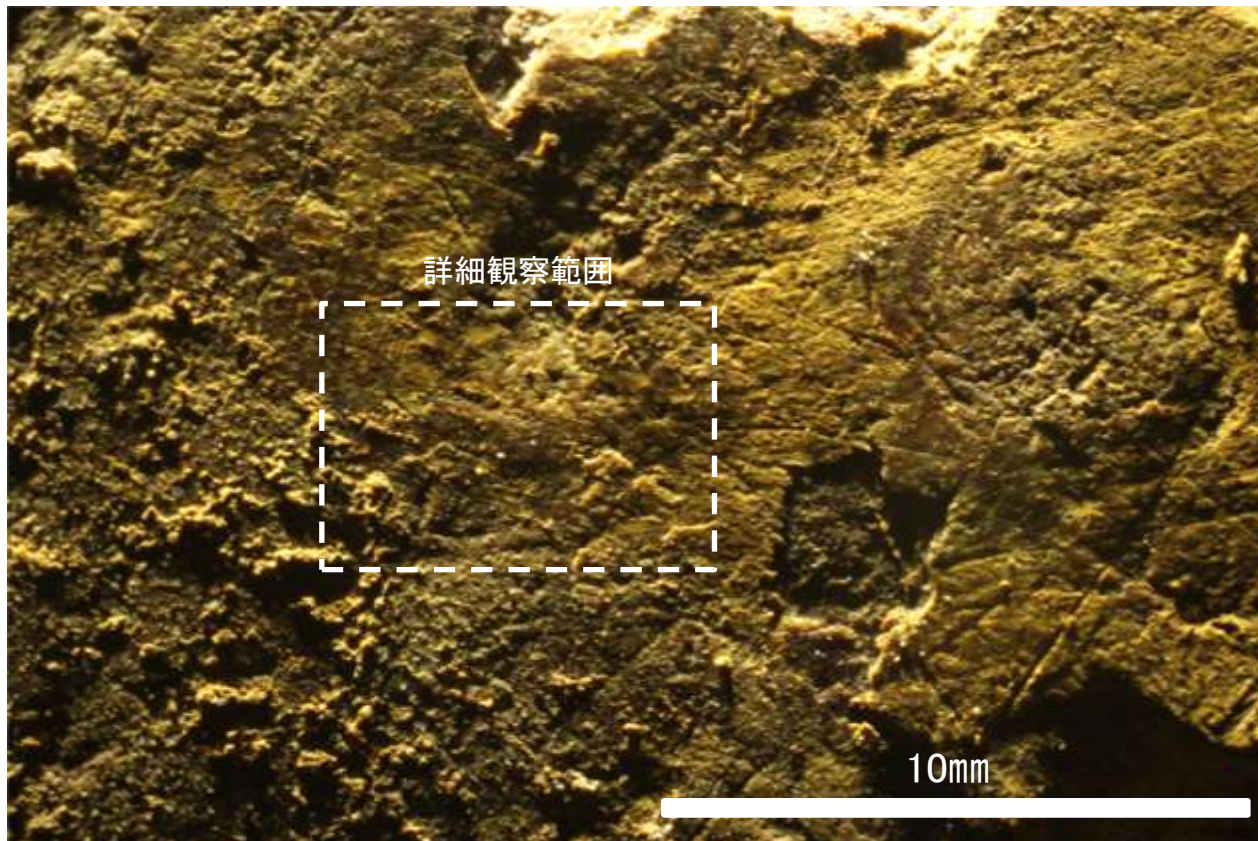
# 条線観察結果 ボーリングSc-5孔[深度10.40m](下盤側)②



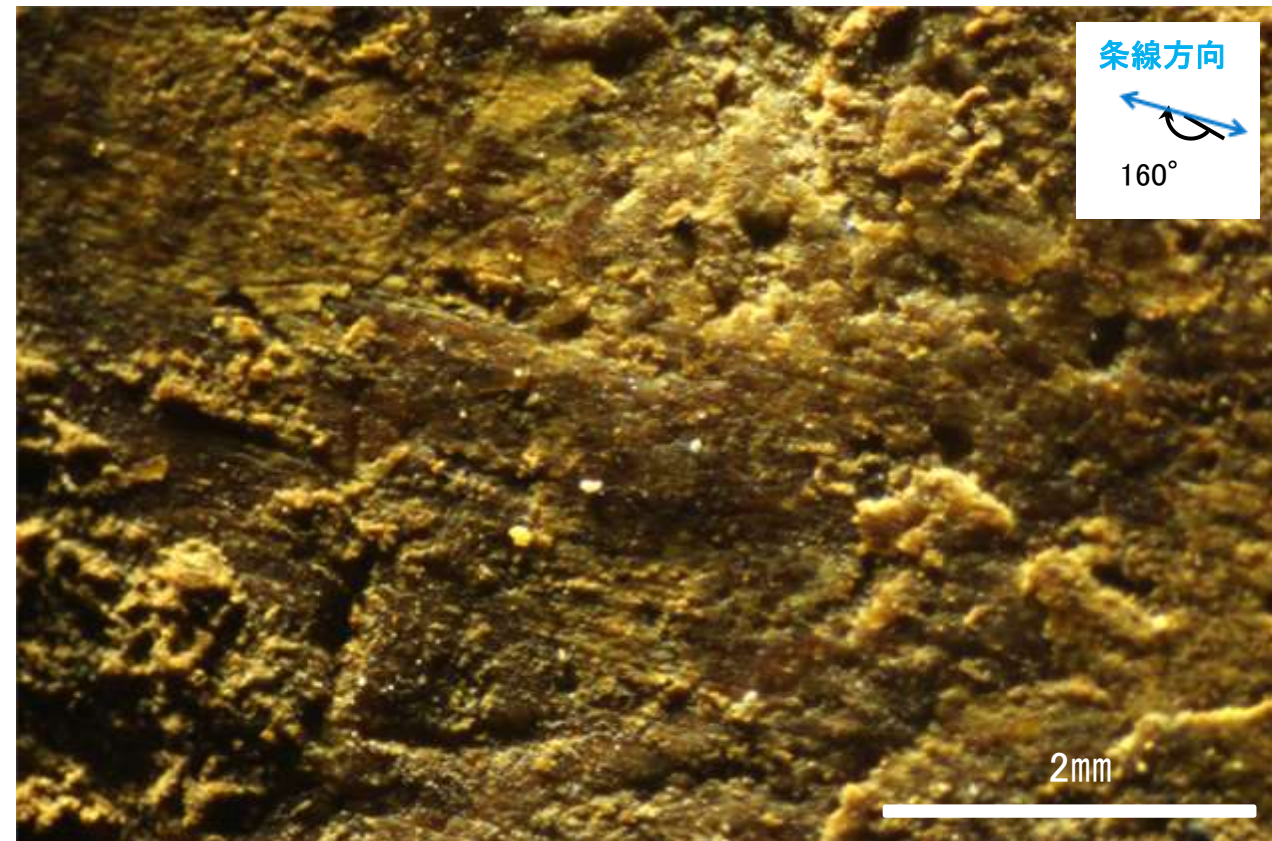
概念図  
※走向は真北で示す。



観察面写真



観察面拡大写真



詳細観察写真

・条線のレイクは160° R, 変位センスは不明

---

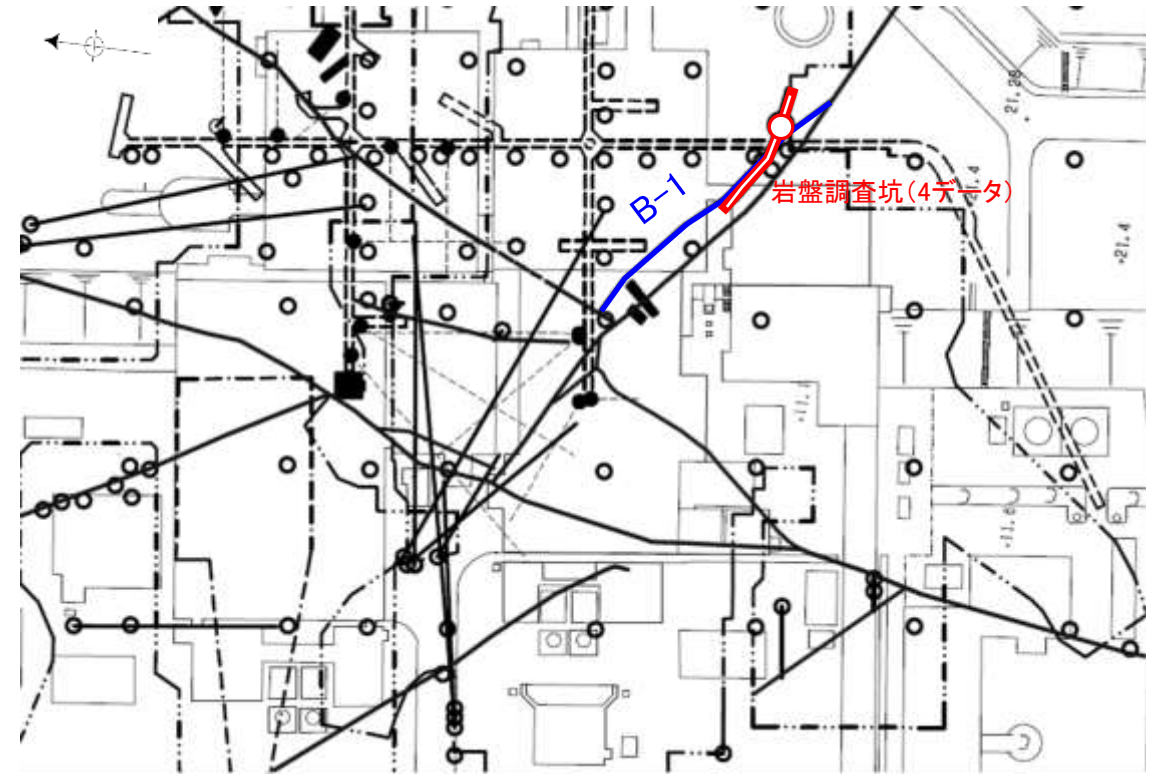
(9) B-1の運動方向調査結果

# B-1の条線観察結果

試料名		走向/傾斜 (走向は真北)	条線のレイク※1	変位センス
岩盤調査坑 ボーリングB-1No.18孔(水平)	下盤側	N63° W/90°	60° R	(不明)
			20° R	(不明)
岩盤調査坑 ボーリングB-1No.19孔(水平)	下盤側	N66° W/88° NE	50° R	(不明)
岩盤調査坑 ボーリングB-1No.20孔(水平)	上盤側	N55° W/90°	35° R	(不明)

※1 上盤側で確認したレイクは下盤側に換算して示す。

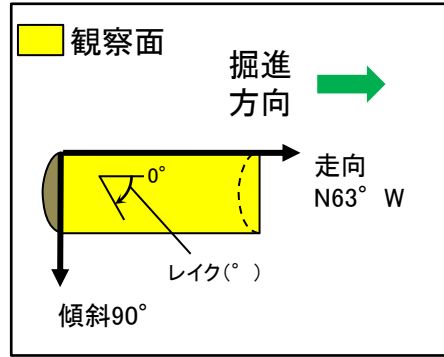
\* ボーリング孔名の「No.○」は、切羽の番号を示す。南東側がNo.1切羽で北西側のNo.30切羽まで約1m間隔。  
水平ボーリングは切羽から掘進した。



- 鉛直ボーリング孔
- 斜めボーリング孔
- 水平ボーリング孔
- 表土はぎ
- トレンチ
- 岩盤調査坑
- ⋯ 試掘坑, 試験坑, 斜坑
- B-1 (EL-4.7m)
- 赤字: 条線観察箇所

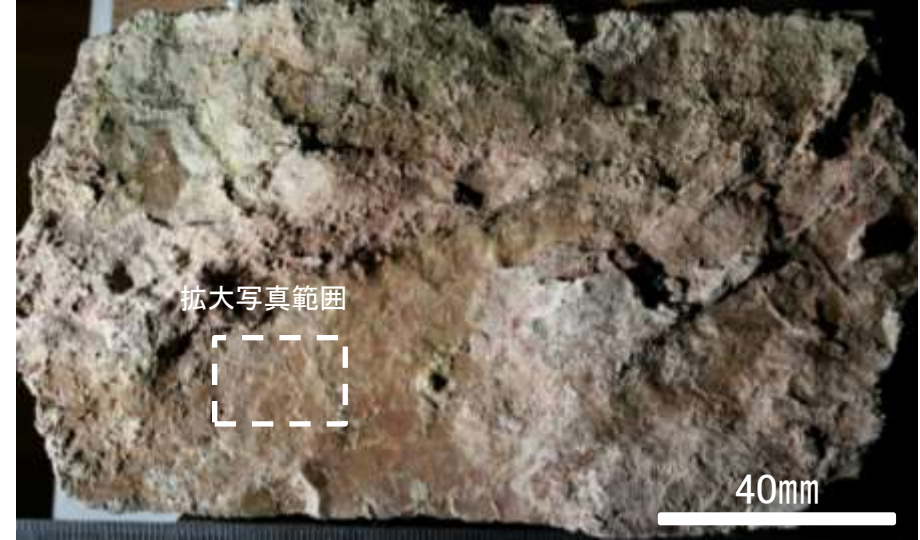
位置図

# 条線観察結果(岩盤調査坑)ボーリングB-1No.18孔(下盤側)①

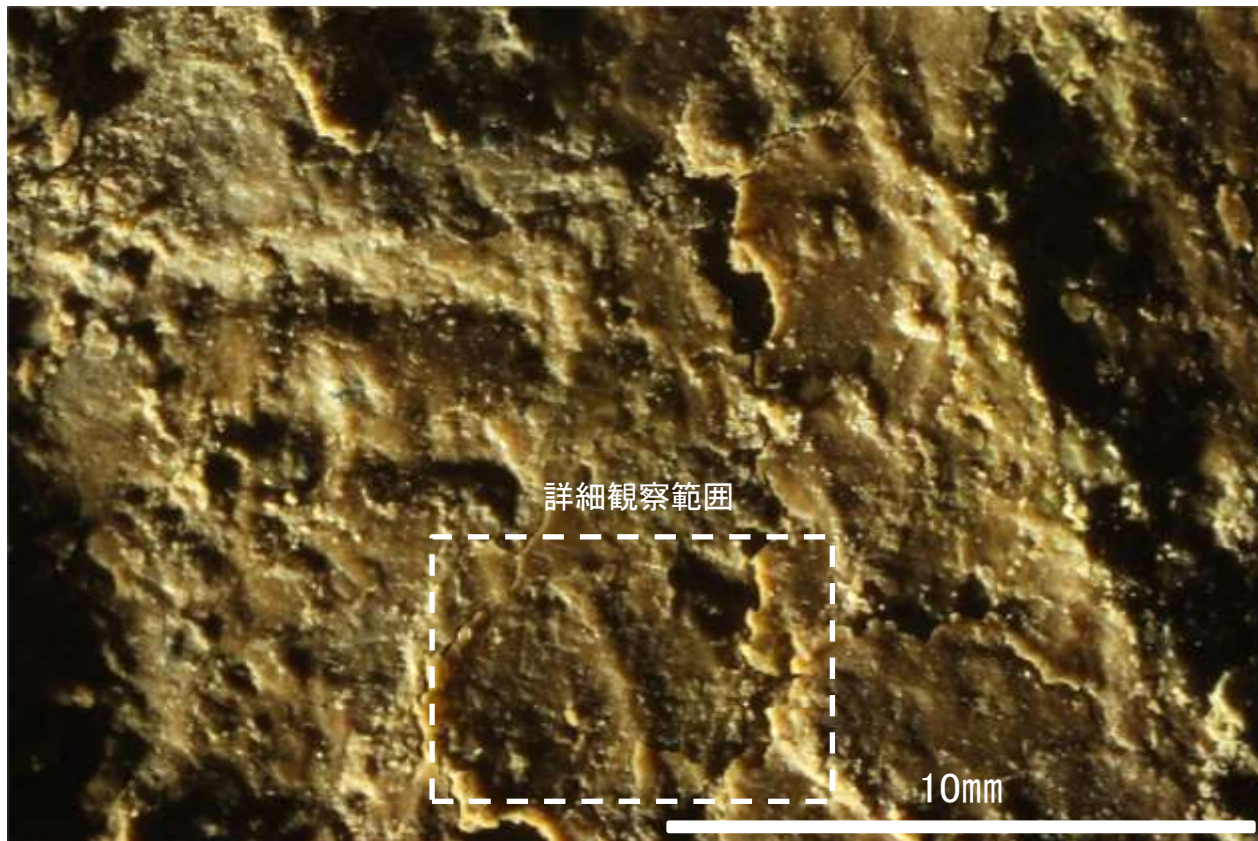


概念図

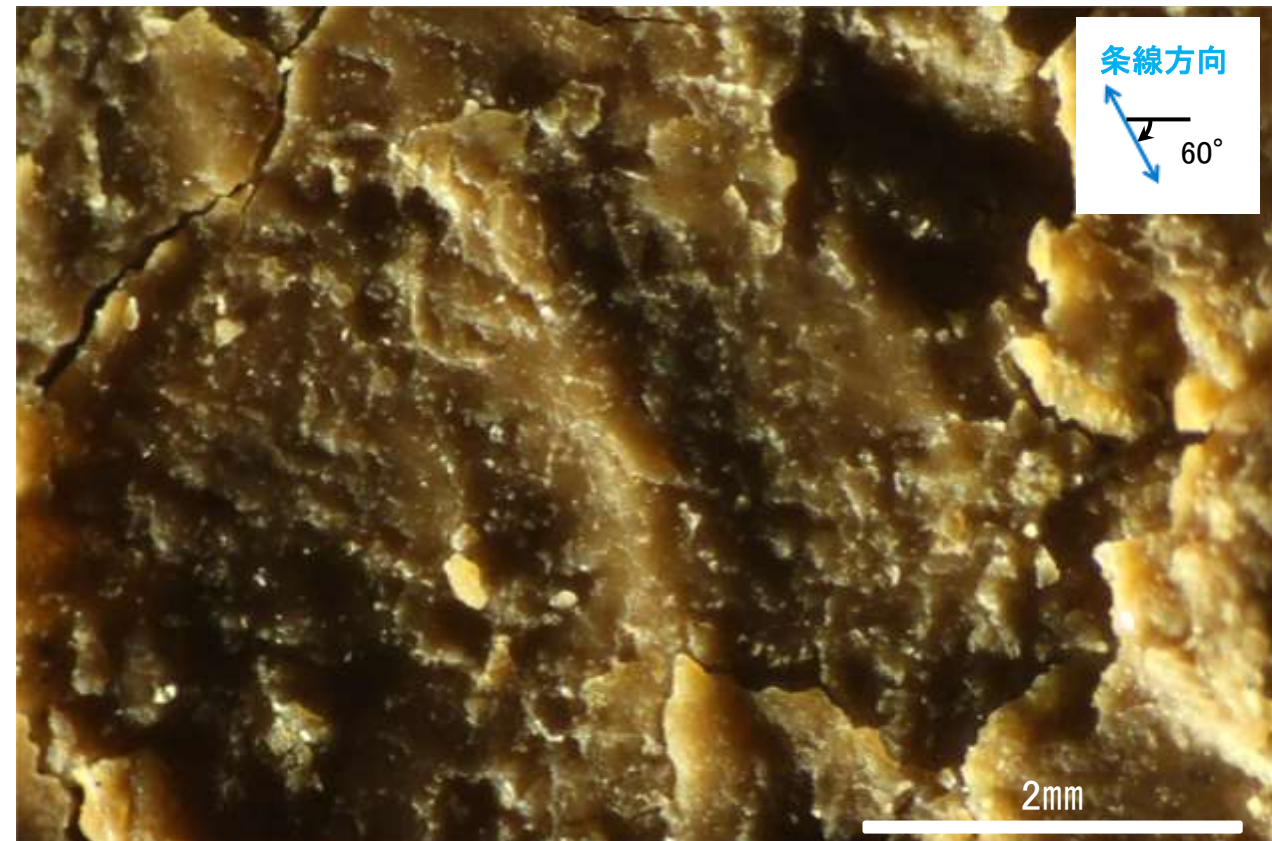
※走向は真北で示す。



観察面写真



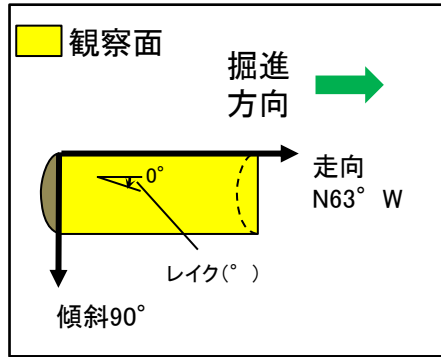
観察面拡大写真



詳細観察写真

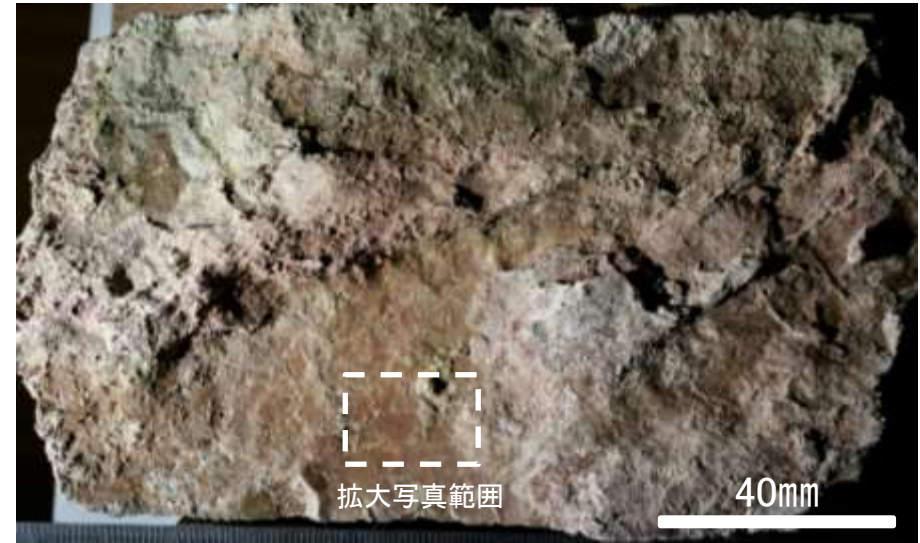
・条線のレイクは60° R, 変位センスは不明

# 条線観察結果(岩盤調査坑)ボーリングB-1No.18孔(下盤側)②

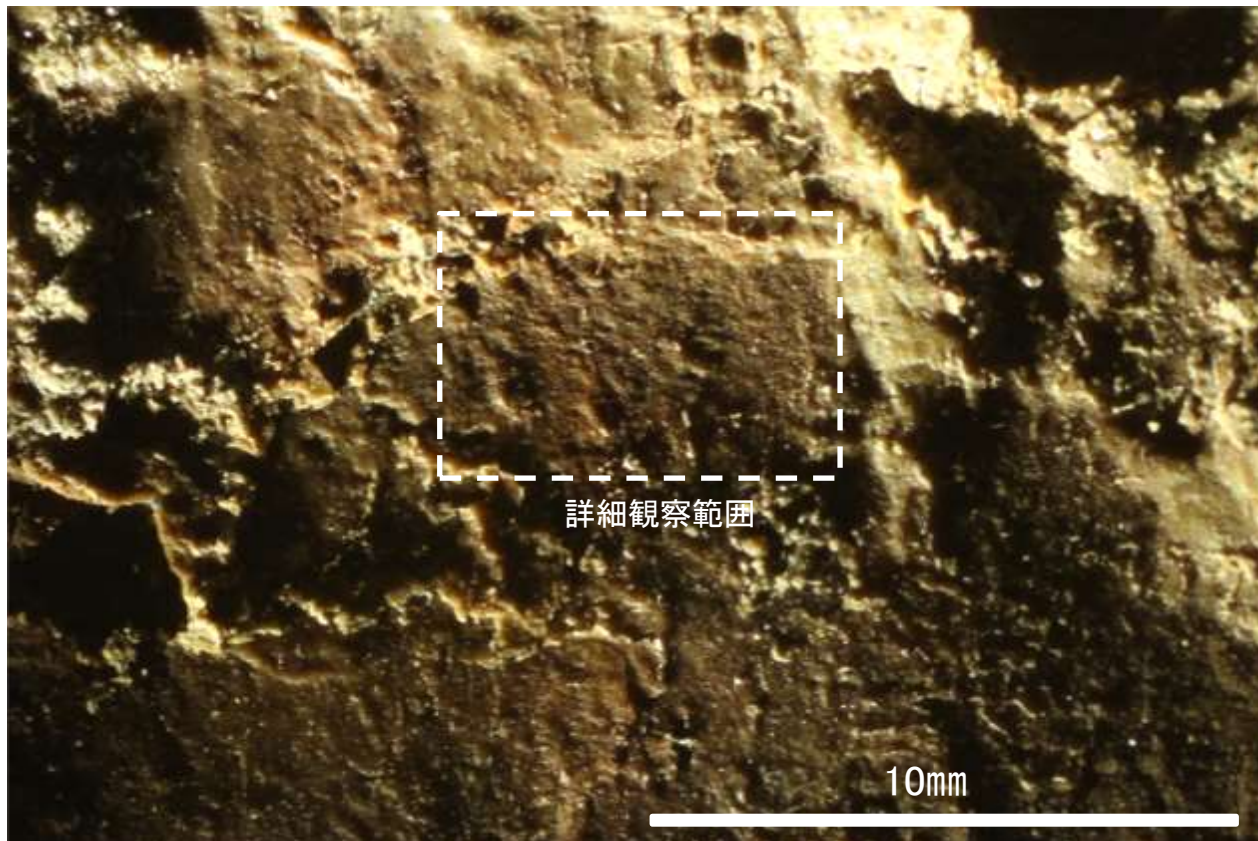


概念図

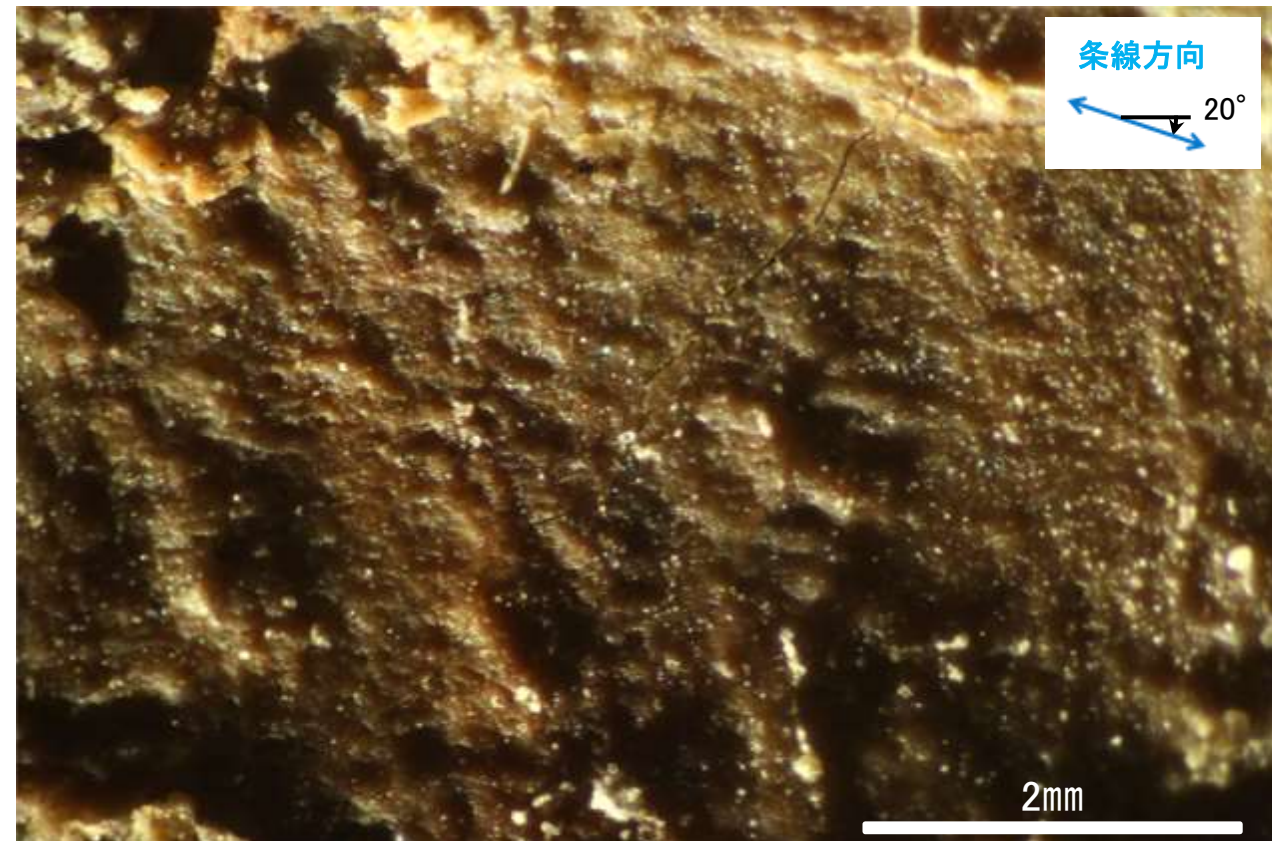
※走向は真北で示す。



観察面写真



観察面拡大写真

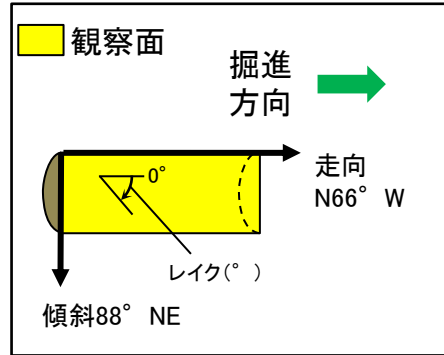


詳細観察写真

・条線のレイクは20° R, 変位センスは不明



# 条線観察結果(岩盤調査坑)ボーリングB-1No.19孔(下盤側)

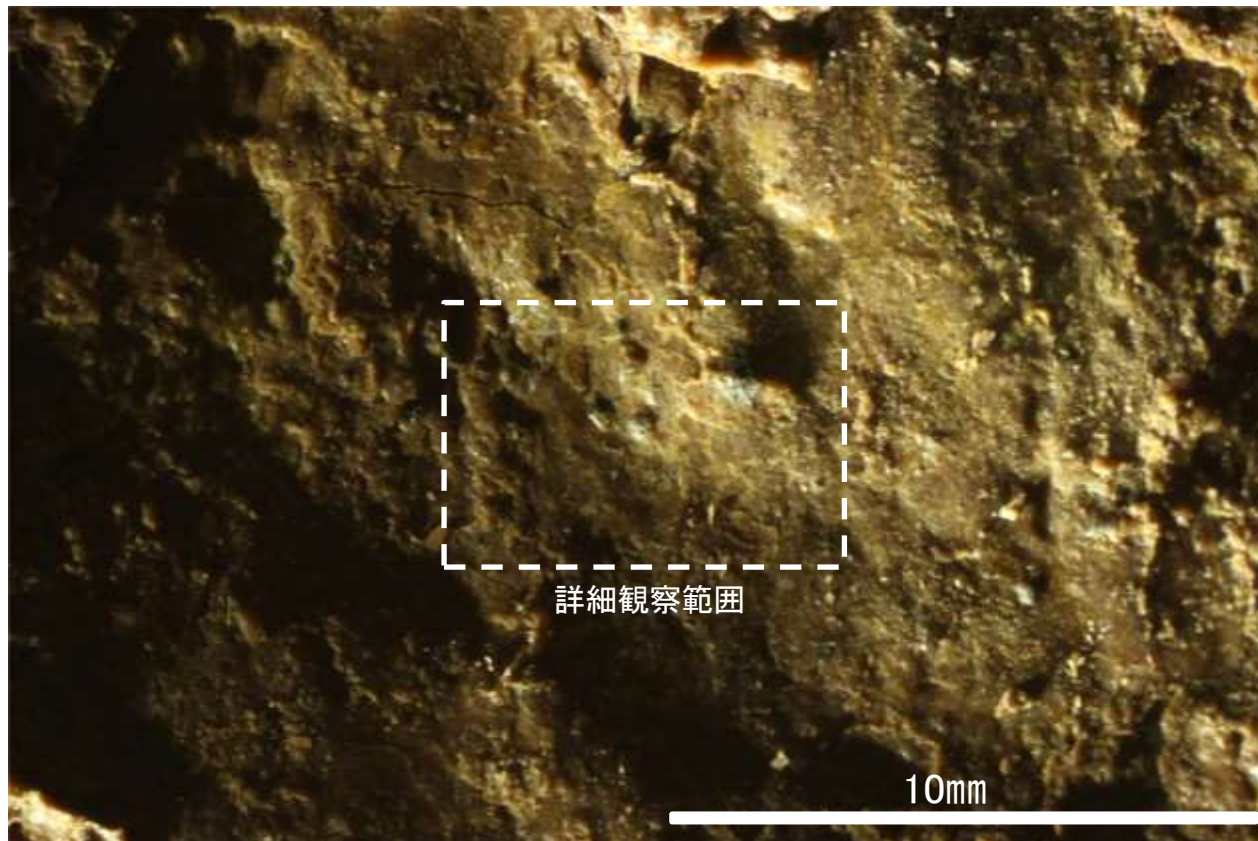


概念図

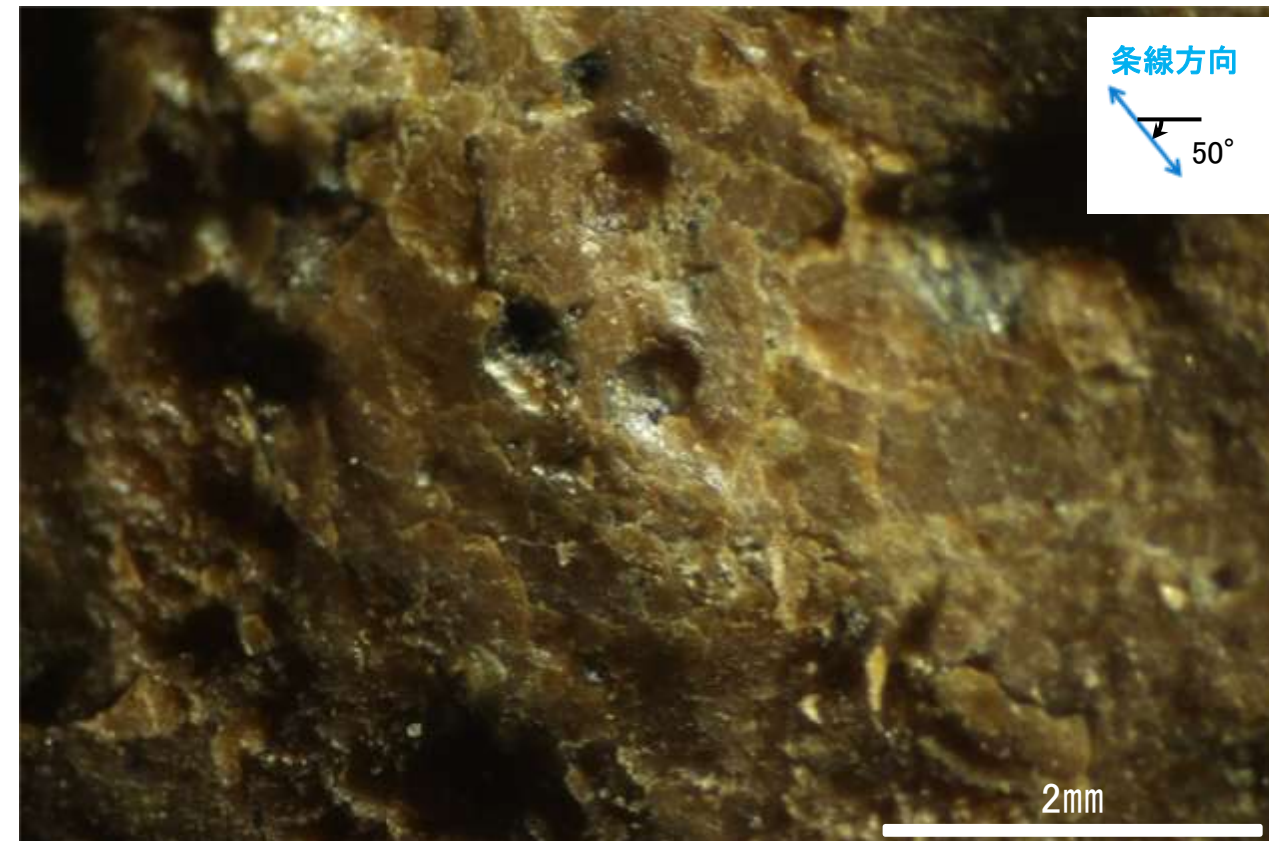
※走向は真北で示す。



観察面写真



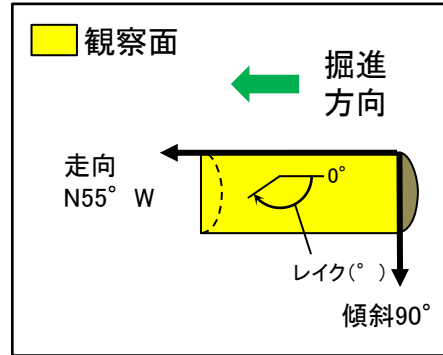
観察面拡大写真



詳細観察写真

・条線のレイクは50° R, 変位センスは不明

# 条線観察結果(岩盤調査坑)ボーリングB-1No.20孔(上盤側)

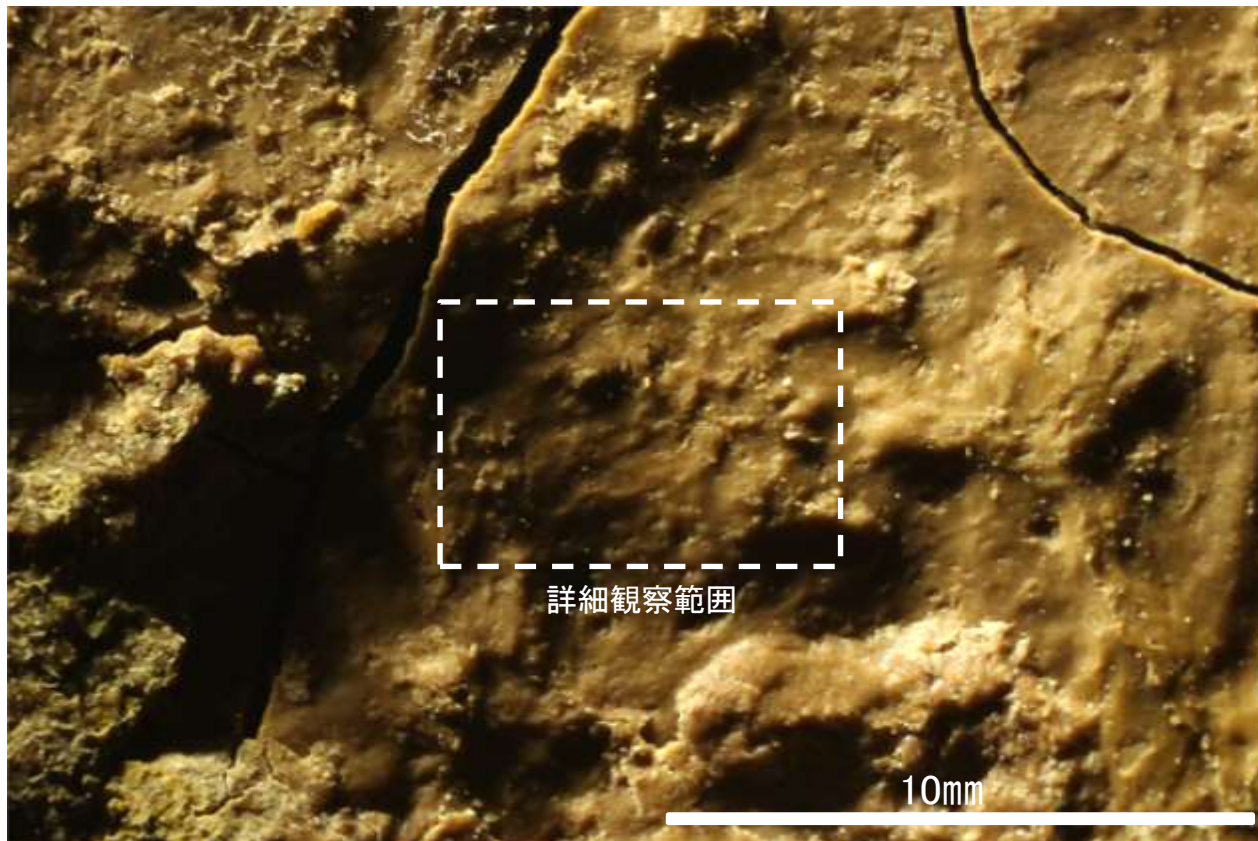


概念図

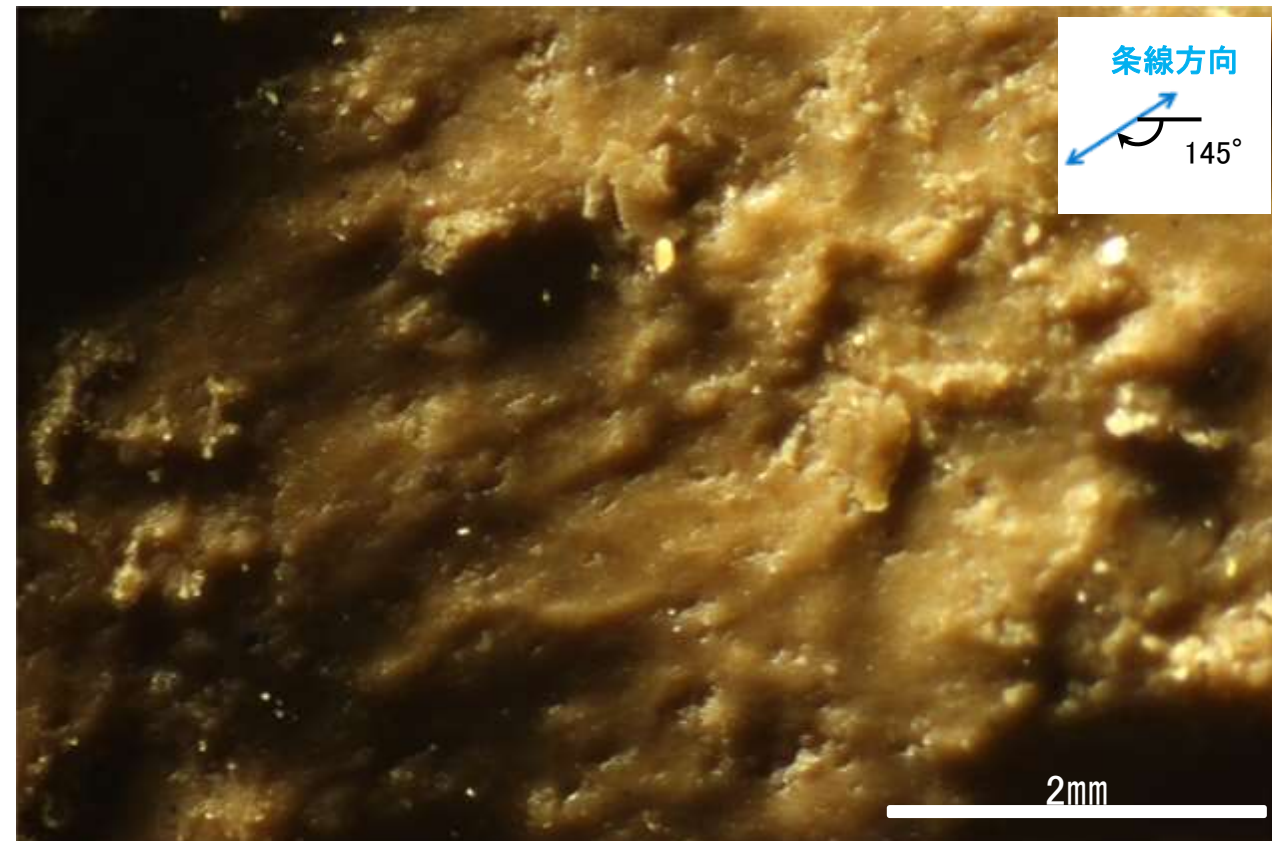
※走向は真北で示す。



観察面写真



観察面拡大写真



詳細観察写真

・条線のレイクは35° R (下盤側換算), 変位センスは不明

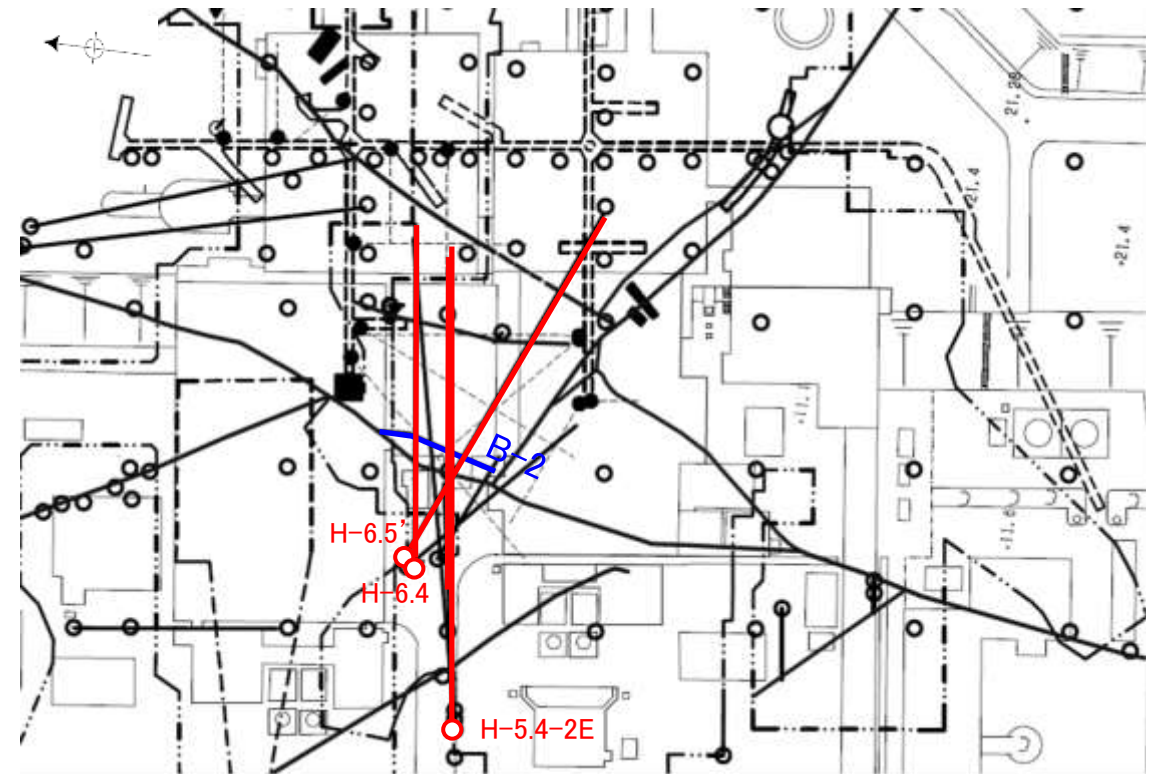
---

(10) B-2の運動方向調査結果

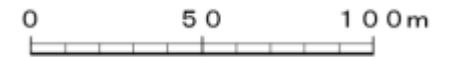
# B-2の条線観察結果

試料名		走向/傾斜 (走向は真北)	条線のレイク※1	変位センス
ボーリングH-5.4-2E孔 [深度86.70m]	下盤側	N24° E/60° NW	172° R	左横ずれ逆断層
ボーリングH-6.4孔 [深度43.10m]	上盤側	N13° W/46° SW	29° R	(不明)
ボーリングH-6.5'孔 [深度40.90m]	上盤側	N28° E/50° NW	4° R	(不明)

※1 上盤側で確認したレイクは下盤側に換算して示す。

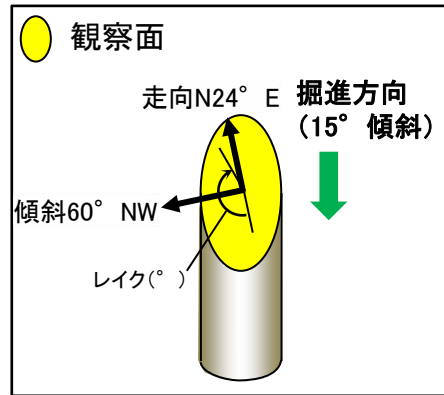


- 鉛直ボーリング孔
- 斜めボーリング孔
- 水平ボーリング孔
- 表土はぎ
- トレンチ
- 岩盤調査坑
- 試掘坑, 試験坑, 斜坑
- B-2(EL-4.7m)
- 赤字: 条線観察箇所



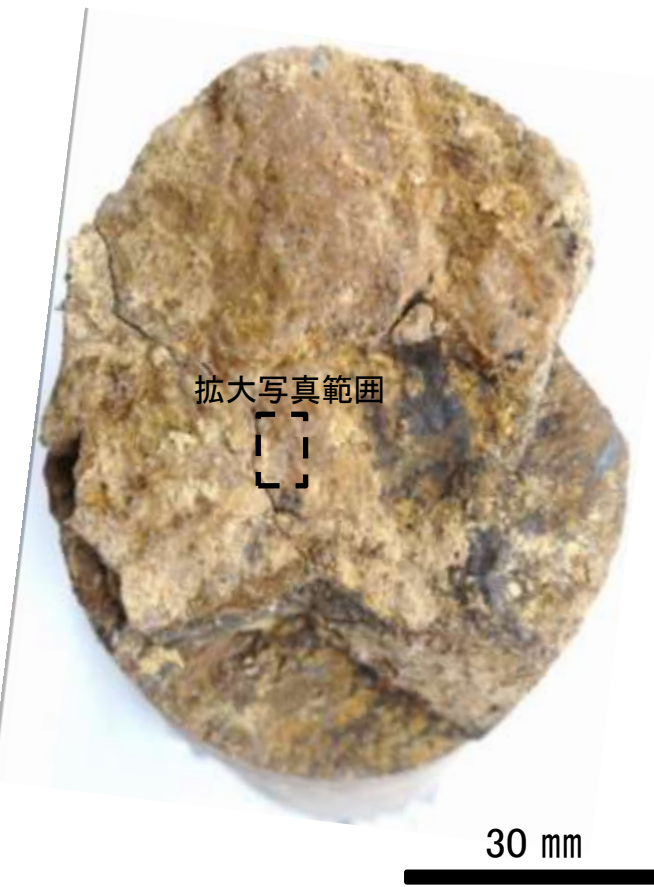
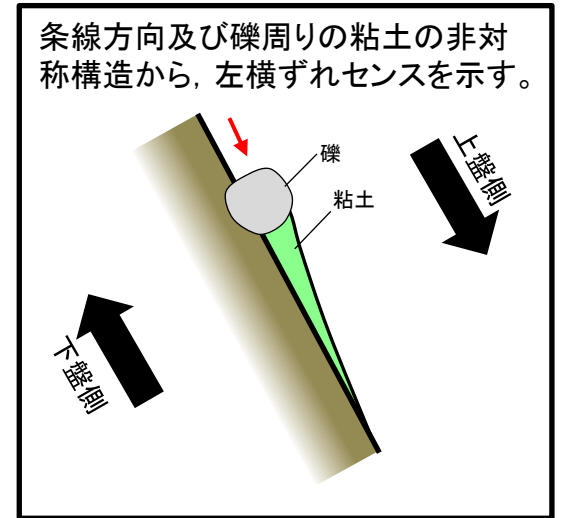
位置図

# 条線観察結果 ボーリングH-5.4-2E孔[深度86.70m](下盤側)

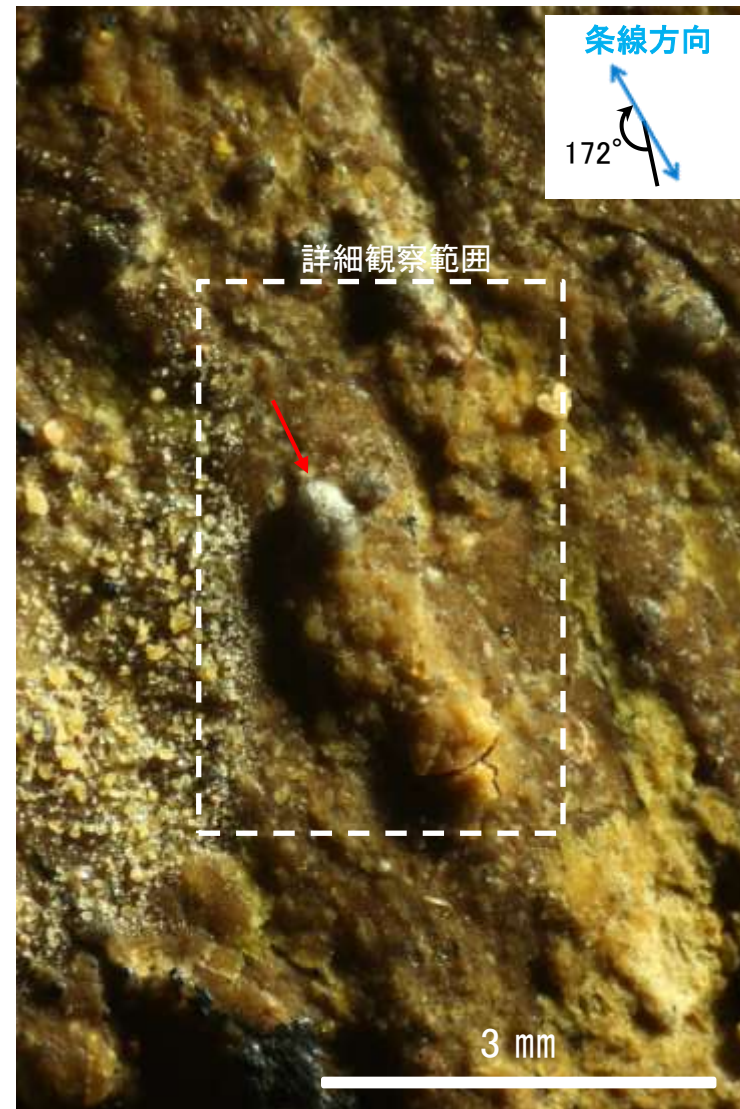


概念図

※走向は真北で示す。



観察面写真



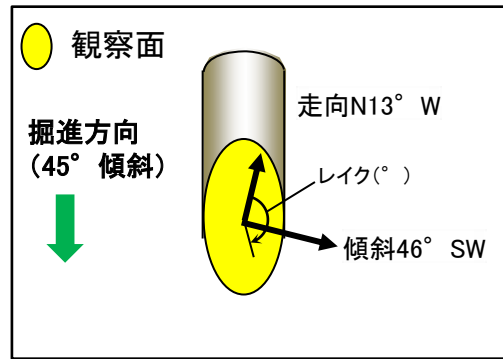
観察面拡大写真



詳細観察写真

・条線のレイクは172° R, 変位センスは左横ずれ逆断層センス

# 条線観察結果 ボーリングH-6.4孔[深度43.10m](上盤側)

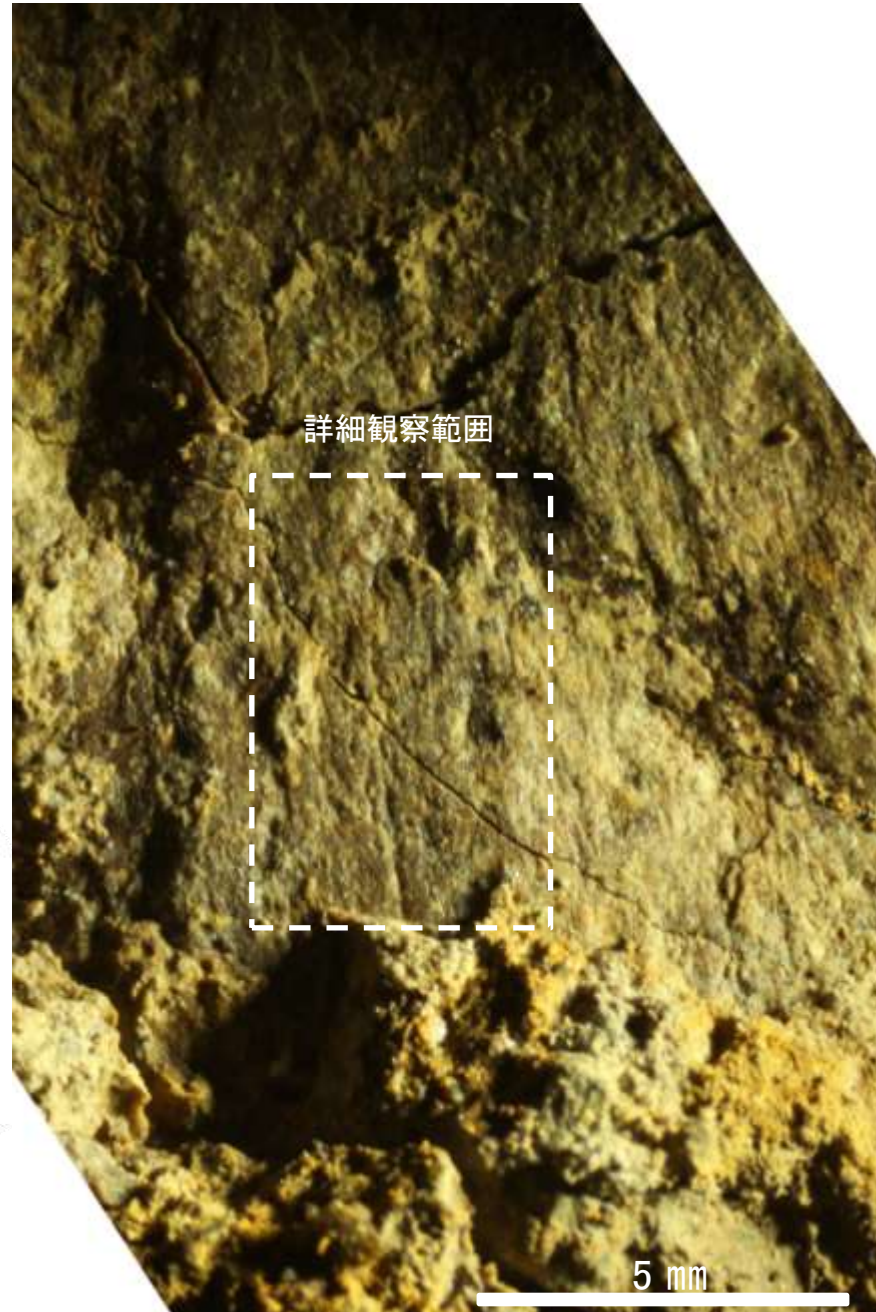


概念図

※走向は真北で示す。



観察面写真



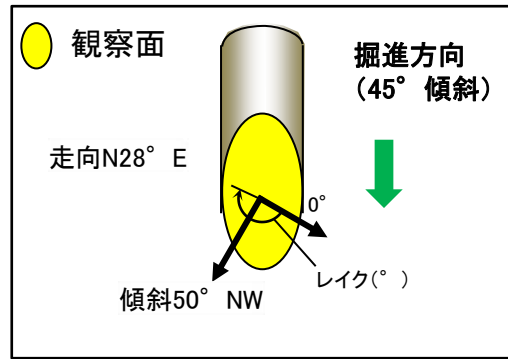
観察面拡大写真



詳細観察写真

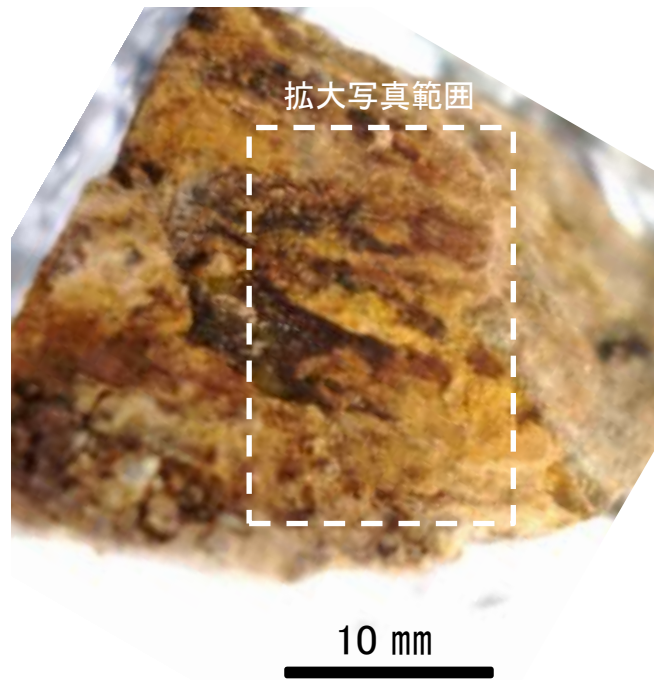
・条線のレイクは $29^\circ$  R(下盤側換算), 変位センスは不明

# 条線観察結果 ボーリングH-6.5'孔[深度40.90m](上盤側)

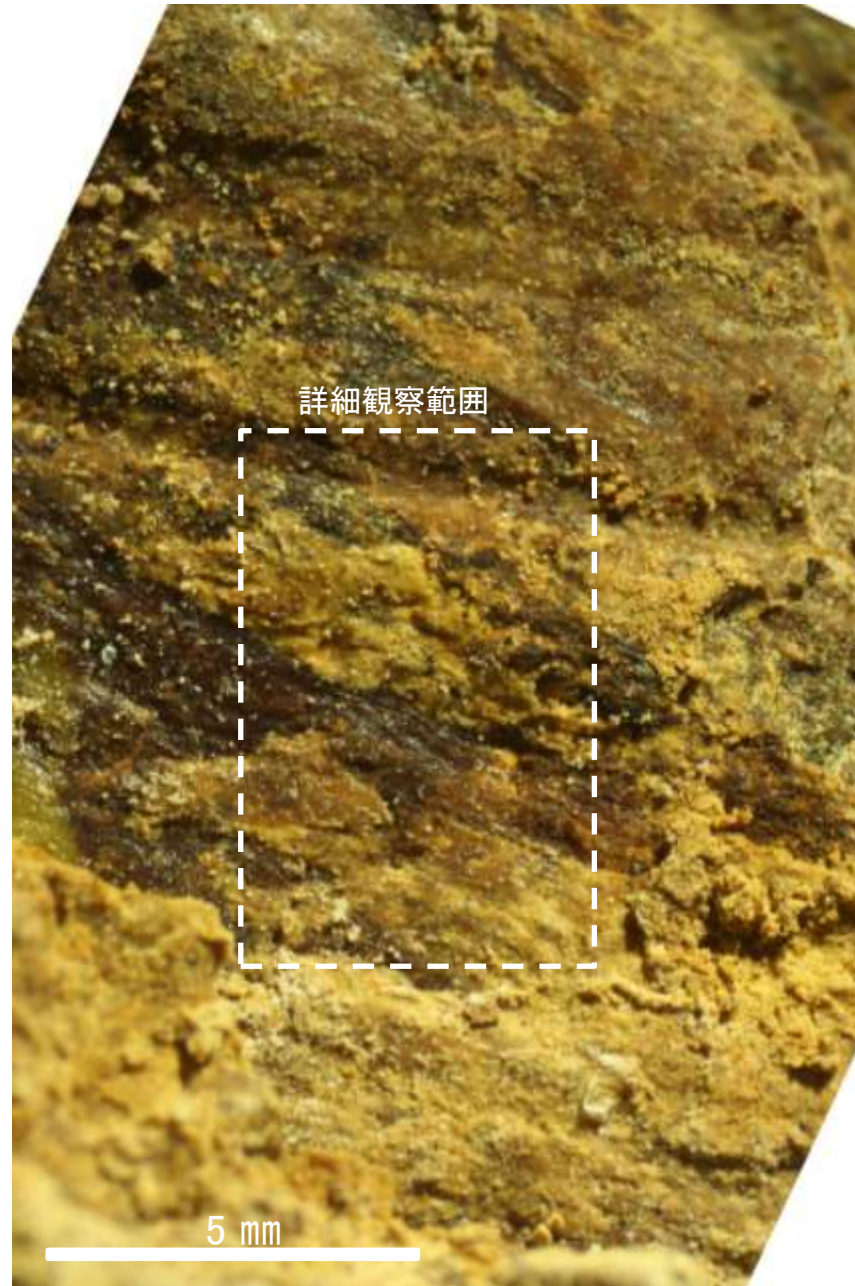


概念図

※走向は真北で示す。



観察面写真



観察面拡大写真



詳細観察写真

・条線のレイクは4° R (下盤側換算), 変位センスは不明

---

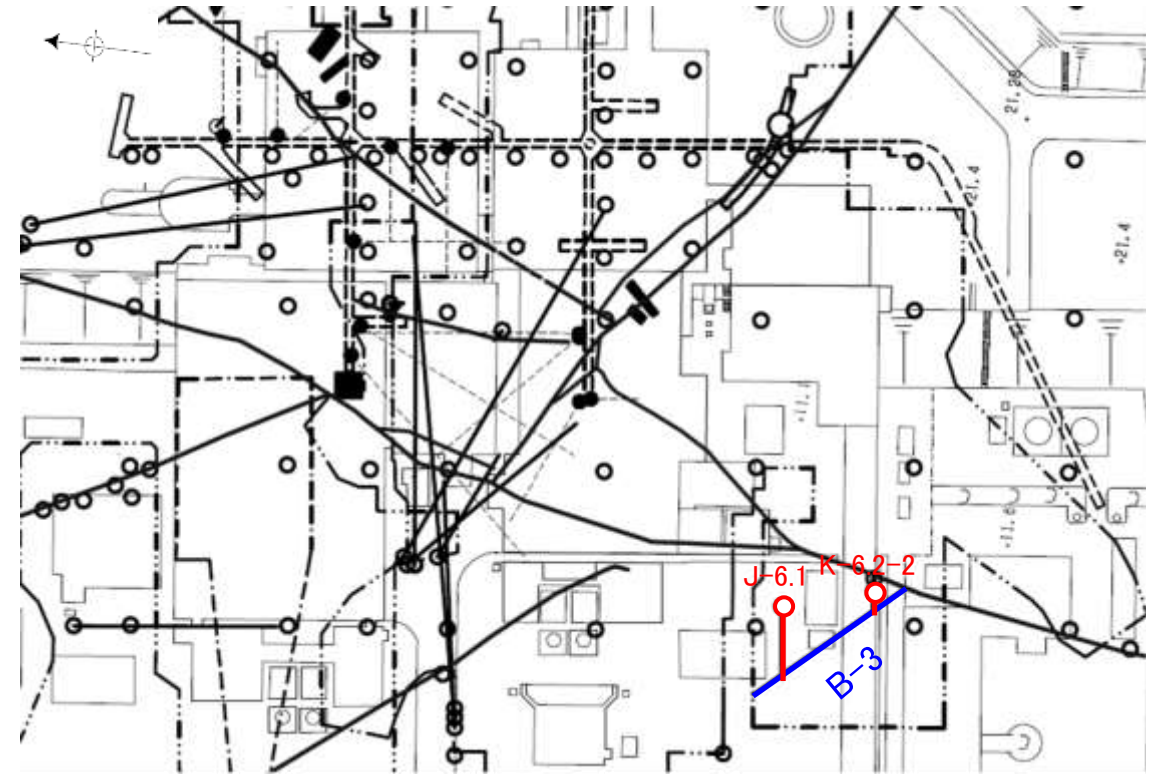
(11) B-3の運動方向調査結果



# B-3の条線観察結果

試料名		走向/傾斜 (走向は真北)	条線のレイク※1	変位センス
ボーリングJ-6.1孔 [深度27.90m]	下盤側	N37° W/84° NE	44° R	右横ずれ逆断層
ボーリングK-6.2-2孔 [深度21.40m]	下盤側	N47° W/74° NE	33° R	(不明)

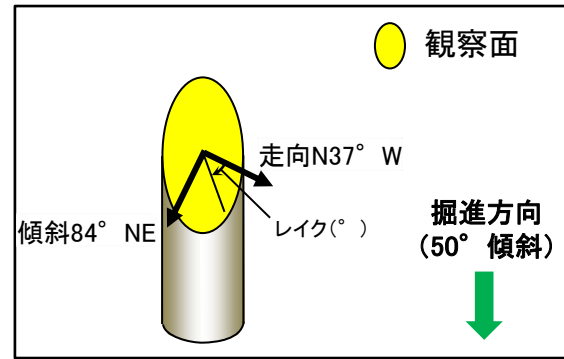
※1 上盤側で確認したレイクは下盤側に換算して示す。



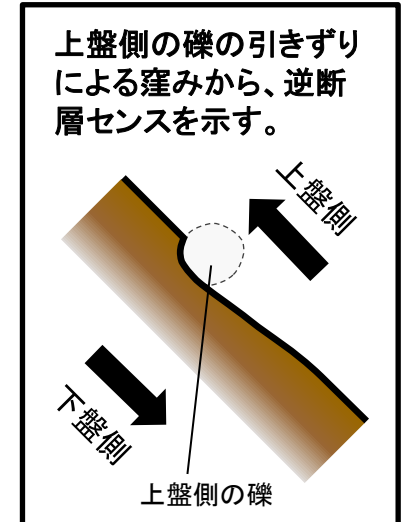
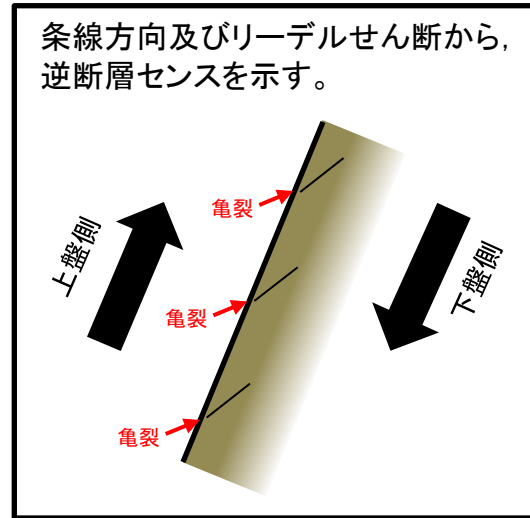
- 鉛直ボーリング孔
- 斜めボーリング孔
- 水平ボーリング孔
- 表土はぎ
- トレンチ
- 岩盤調査坑
- ┌───┐ 試掘坑, 試験坑, 斜坑
- B-3(EL-4.7m)
- 赤字: 条線観察箇所

位置図

# 条線観察結果 ボーリングJ-6.1[深度27.90m](下盤側)

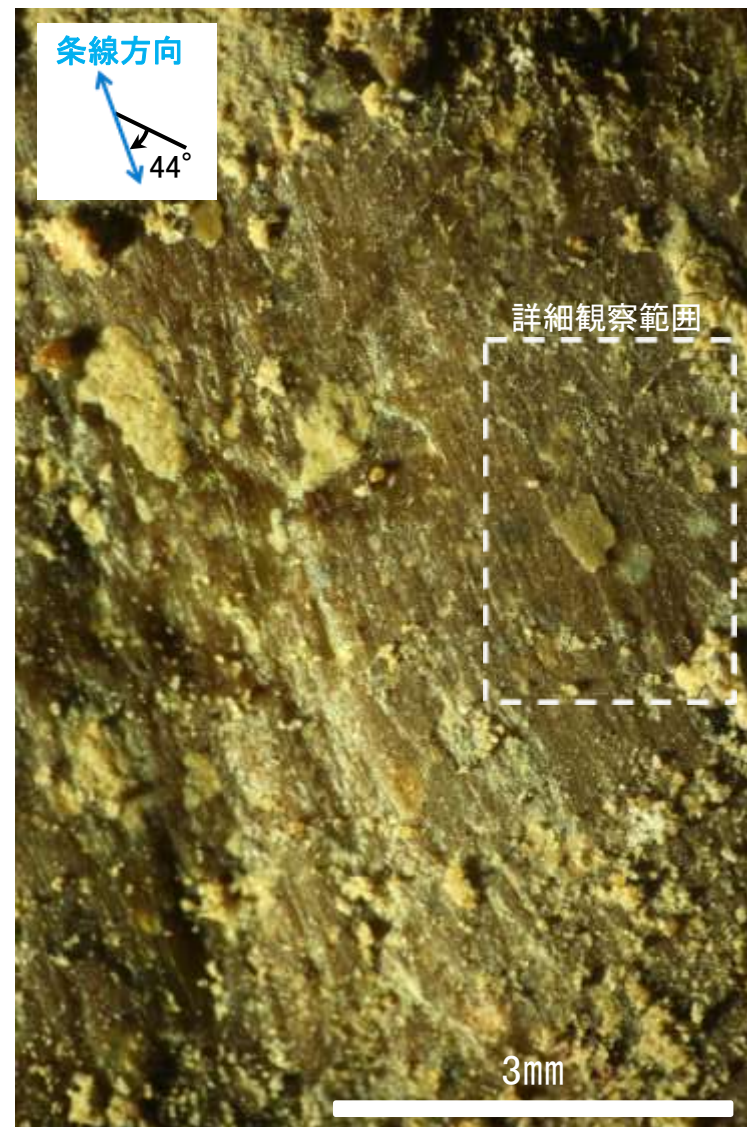


概念図  
※走向は真北で示す。



30mm

観察面写真



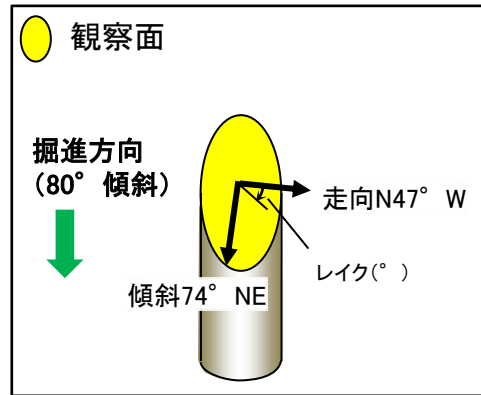
観察面拡大写真



詳細観察写真

・条線のレイクは44° R, 変位センスは右横ずれ逆断層センス

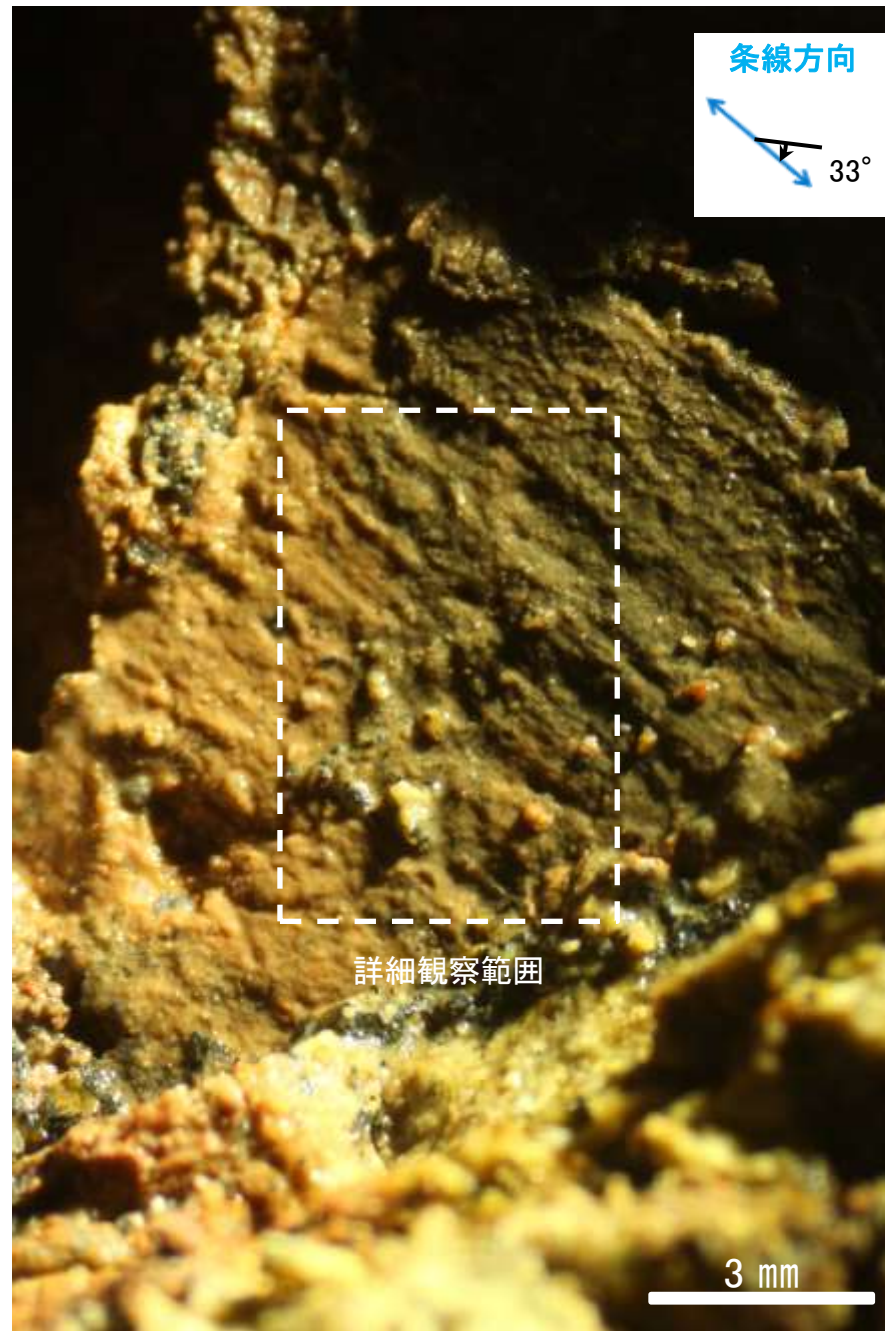
# 条線観察結果 ボーリングK-6.2-2孔[深度21.40m](下盤側)



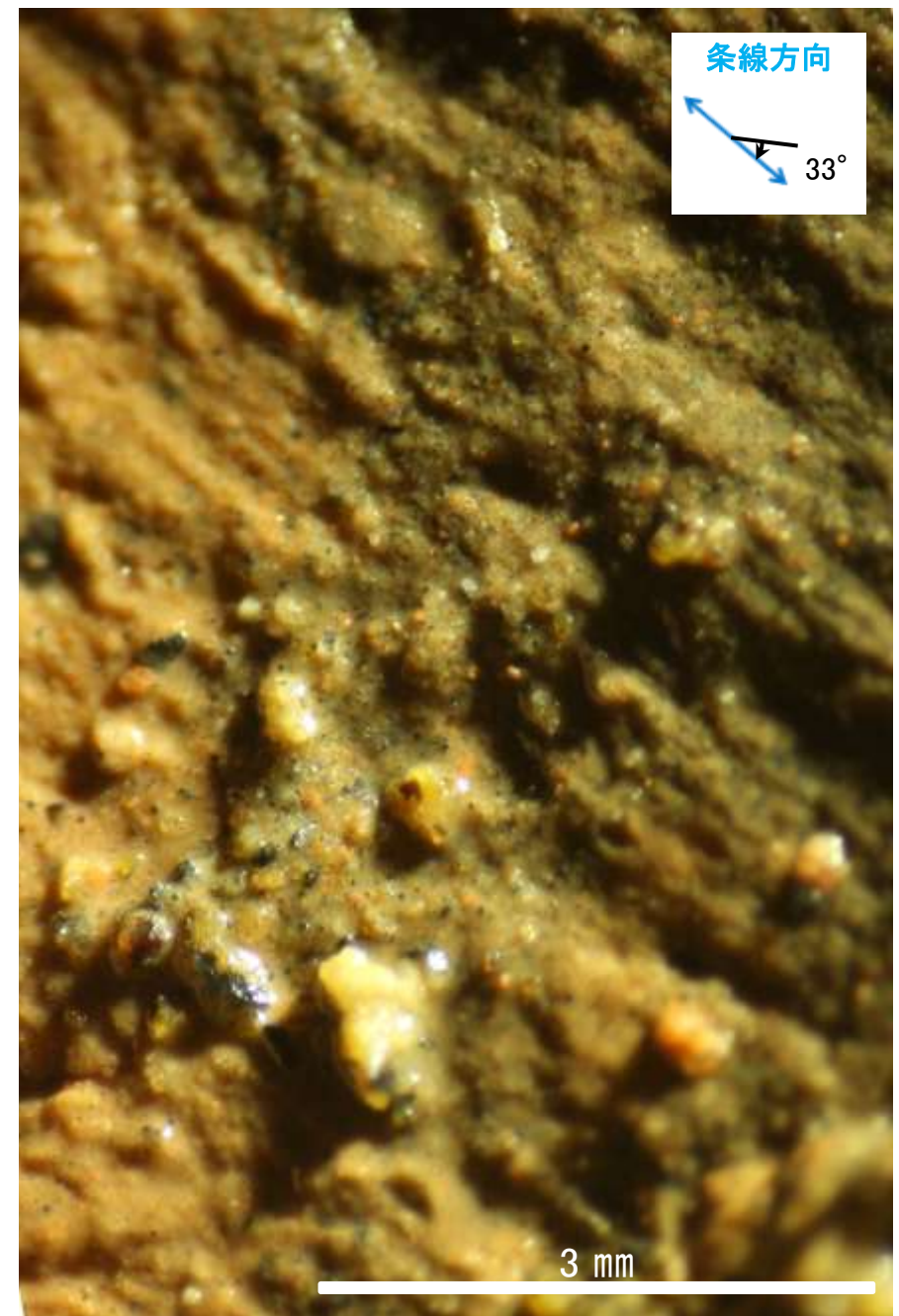
概念図  
※走向は真北で示す。



観察面写真



観察面拡大写真

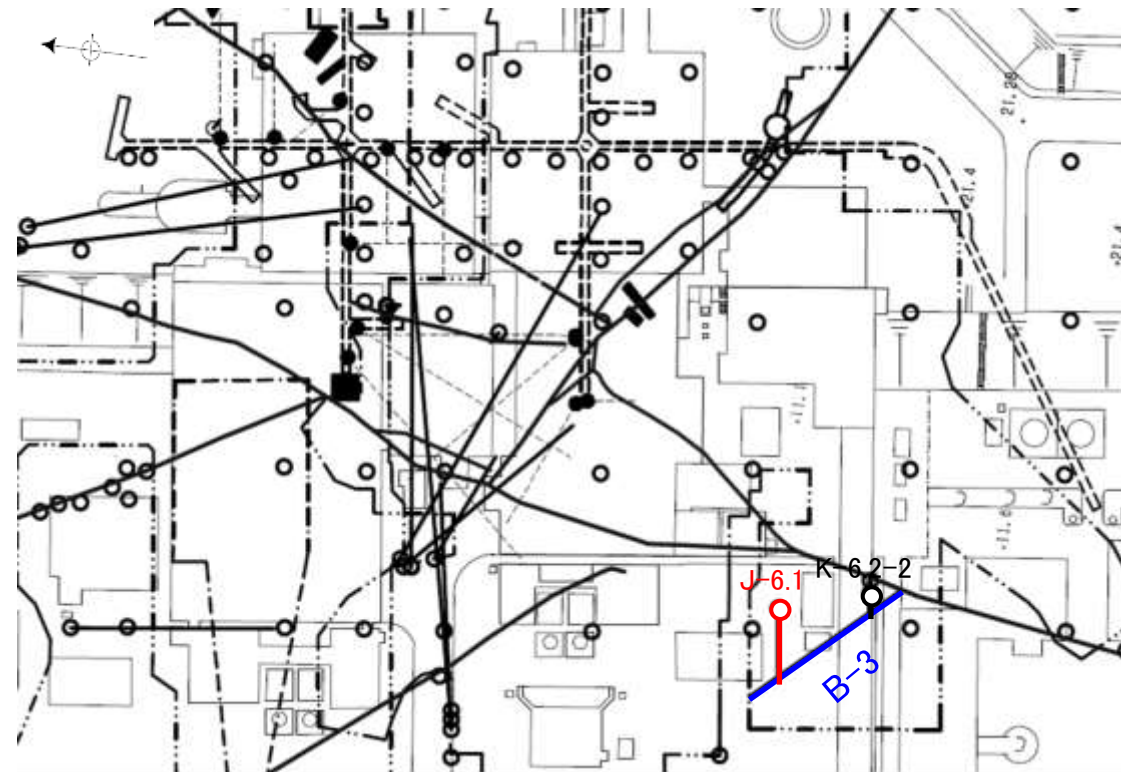


詳細観察写真

・条線のレイクは33° R, 変位センスは不明

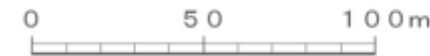
薄片観察結果(固結した破碎部)		薄片観察結果(粘土状破碎部)	
薄片番号	変位センス	薄片番号	変位センス
J-6.1_70R	正断層	J-6.1_70R	不明

\* 各薄片試料は、付近の断層の条線観察結果を踏まえたレイクで切断し、作成した。



- 鉛直ボーリング孔
- 斜めボーリング孔
- 水平ボーリング孔
- 表土はぎ
- トレンチ
- 岩盤調査坑
- 試掘坑, 試験坑, 斜坑
- B-3(EL-4.7m)

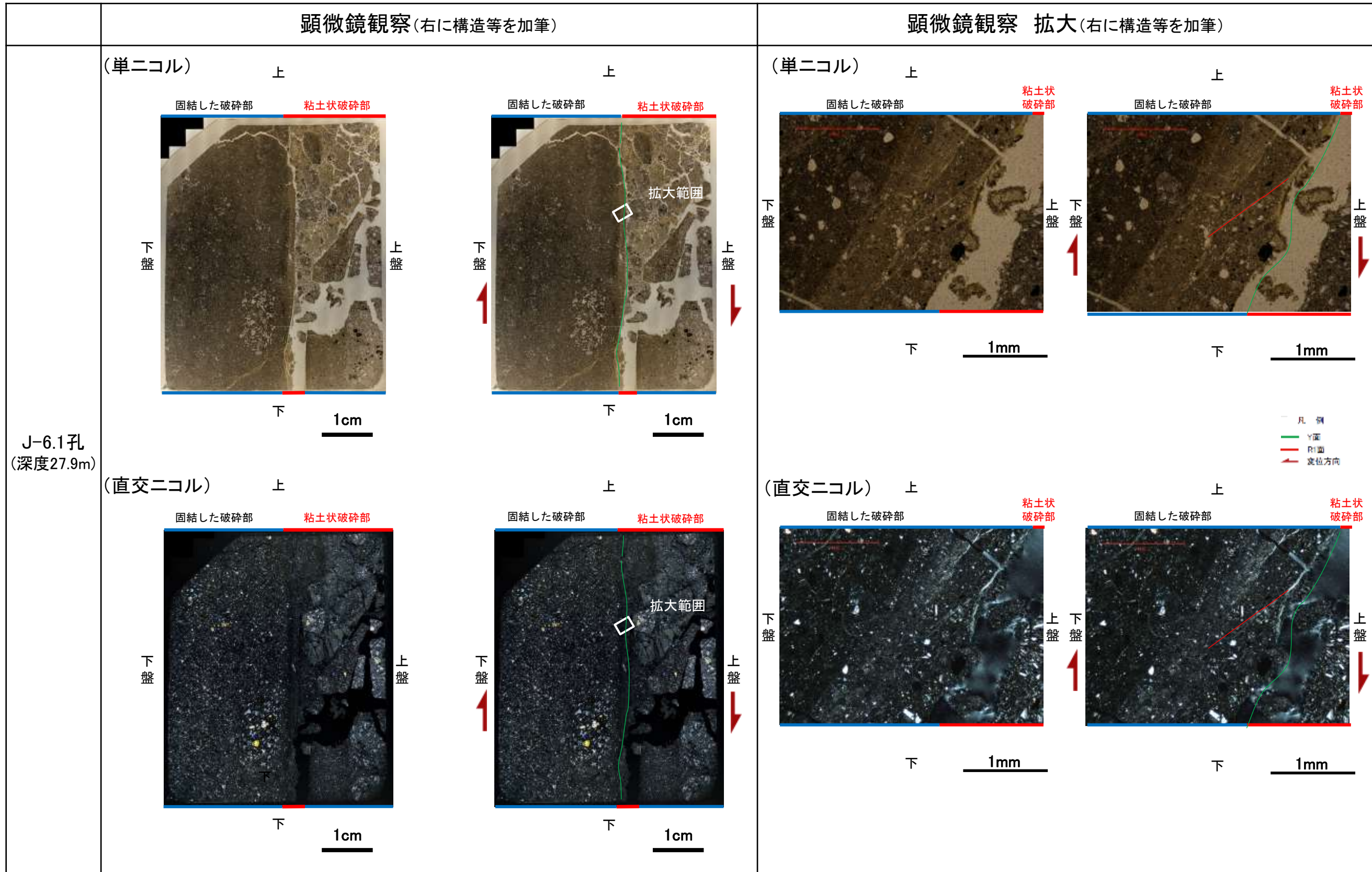
赤字: 薄片観察箇所



位置図

# 薄片観察結果 (J-6.1\_70R)

■ 条線観察結果を踏まえ、70° Rのレイクでボーリングコアを切断して作成した薄片を観察した。



・ 固結した破砕部中の変形構造から、見かけ上盤側下がりの変位が推定され、正断層センスが認定できる。  
 ・ 粘土状破砕部中には変位センスが認定できるような明瞭な変形構造は認められない。

# 薄片観察結果 (J-6.1\_70R)

■条線観察結果を踏まえ、70° Rのレイクでボーリングコアを切断して作成した薄片を観察した。

	顕微鏡観察 (右に構造等を加筆)		顕微鏡観察 拡大 (右に構造等を加筆)			
J-6.1孔 (深度27.9m)	(単ニコル)	<p>上 下 1cm</p> <p>固結した破砕部 粘土状破砕部</p> <p>下盤 上盤</p>	<p>上 下 1cm</p> <p>固結した破砕部 粘土状破砕部</p> <p>下盤 上盤</p> <p>拡大範囲</p>	(単ニコル)	<p>上 下 1mm</p> <p>固結した破砕部 粘土状破砕部</p> <p>下盤 上盤</p>	<p>上 下 1mm</p> <p>固結した破砕部 粘土状破砕部</p> <p>下盤 上盤</p> <p>                     凡例                      〓 Y面                      〓 P面                      〓 変位方向                 </p>
	(直交ニコル)	<p>上 下 1cm</p> <p>固結した破砕部 粘土状破砕部</p> <p>下盤 上盤</p>	<p>上 下 1cm</p> <p>固結した破砕部 粘土状破砕部</p> <p>下盤 上盤</p> <p>拡大範囲</p>	(直交ニコル)	<p>上 下 1mm</p> <p>固結した破砕部 粘土状破砕部</p> <p>下盤 上盤</p>	<p>上 下 1mm</p> <p>固結した破砕部 粘土状破砕部</p> <p>下盤 上盤</p>

・固結した破砕部中の変形構造から、見かけ上盤側下がりの変位が推定され、正断層センスが認定できる。  
 ・粘土状破砕部中には変位センスが認定できるような明瞭な変形構造は認められない。

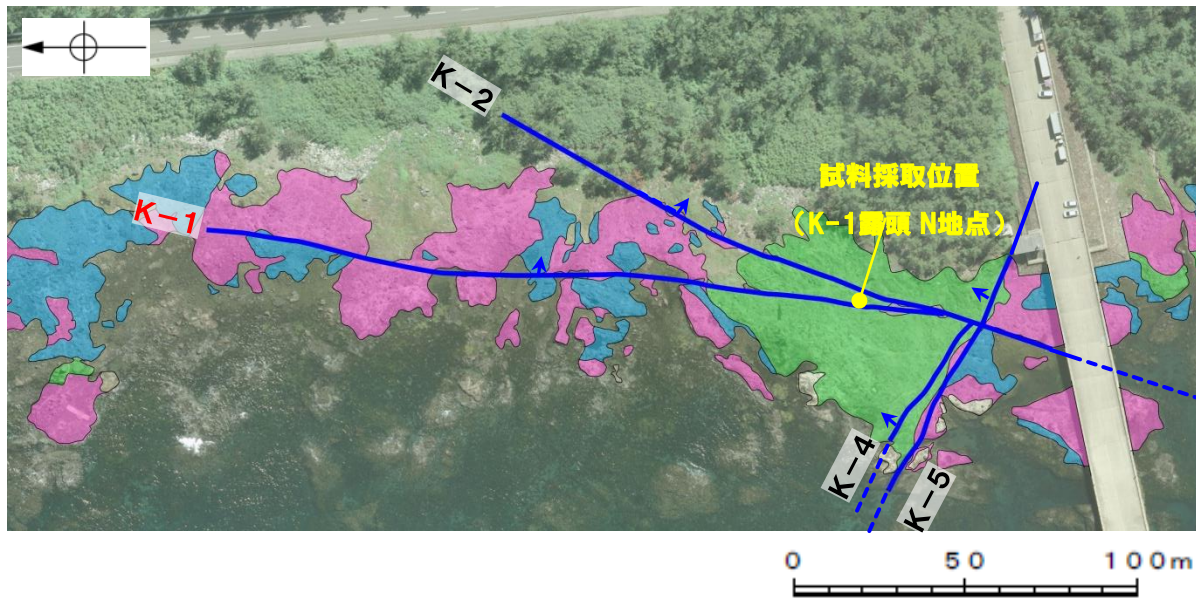
---

(12) K-1の運動方向調査結果

# K-1露頭 N地点 (研磨片観察)

研磨片観察結果(固結した破碎部)	
研磨片番号	変位センス
ブロックサンプル (K-1露頭 N地点)	正断層

\* ブロックサンプルを鉛直方向に切断して研磨片を作成した。

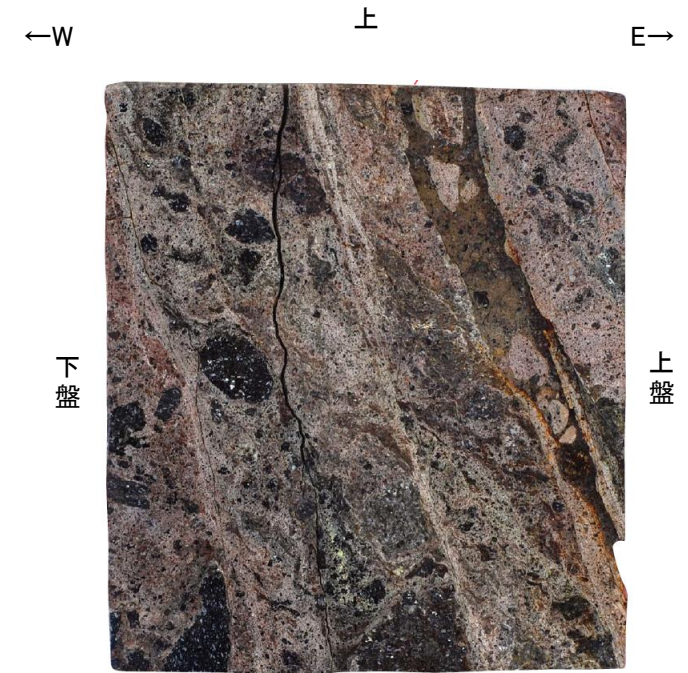


調査位置図(海岸部露岩域)

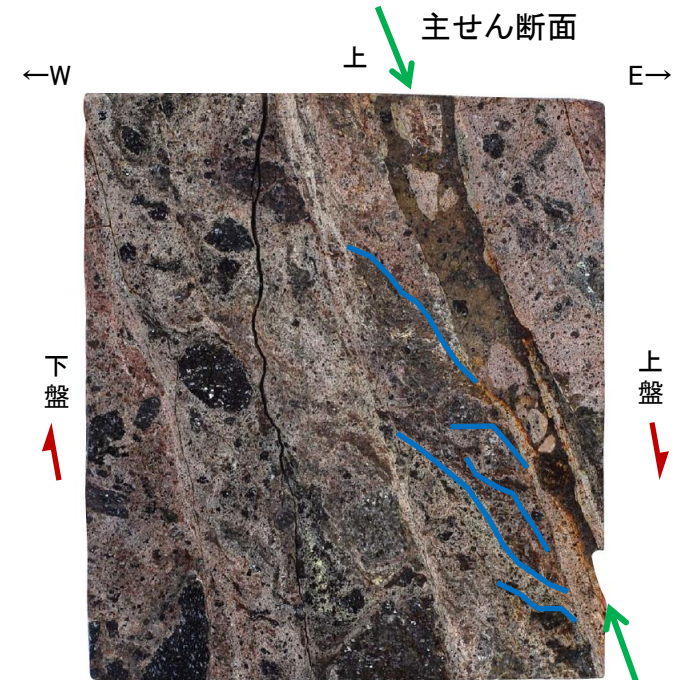


固結した破碎部

試料採取位置(K-1露頭 N地点)



0 50mm



0 50mm

研磨片写真(下は変形構造を加筆)

凡例	
	P面
	変位方向

・固結した破碎部中の変形構造から、見かけ上盤側下がり変位が推定され、正断層センスが認定できる。

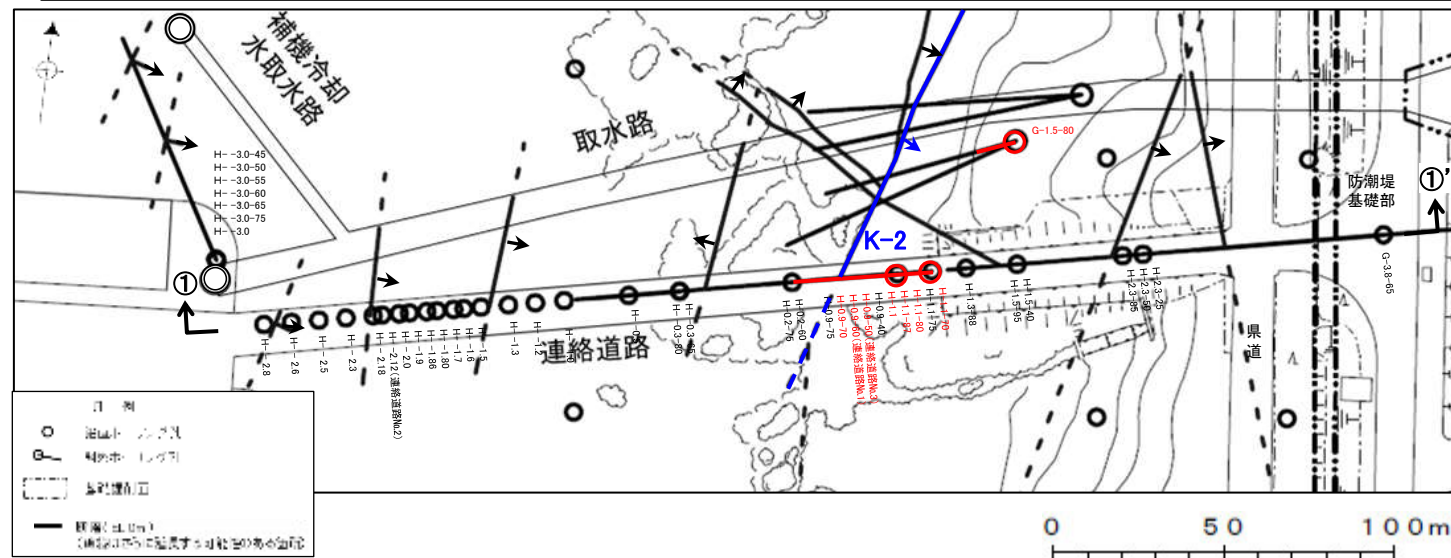


---

(13) K-2の運動方向調査結果

# K-2の運動方向調査結果 一概要一

○コア観察, CT画像観察, 条線観察, 薄片観察結果から, 固結した破碎部では正断層の変位センスが認められ, 粘土状破碎部では右横ずれまたは左横ずれを伴う逆断層の変位センスが認められる。右表中□の観察結果を次頁以降に示す。



位置図

赤字 K-2で運動方向の観察を実施したボーリング孔

矢印(➡)の向きは断層の傾斜方向を示す

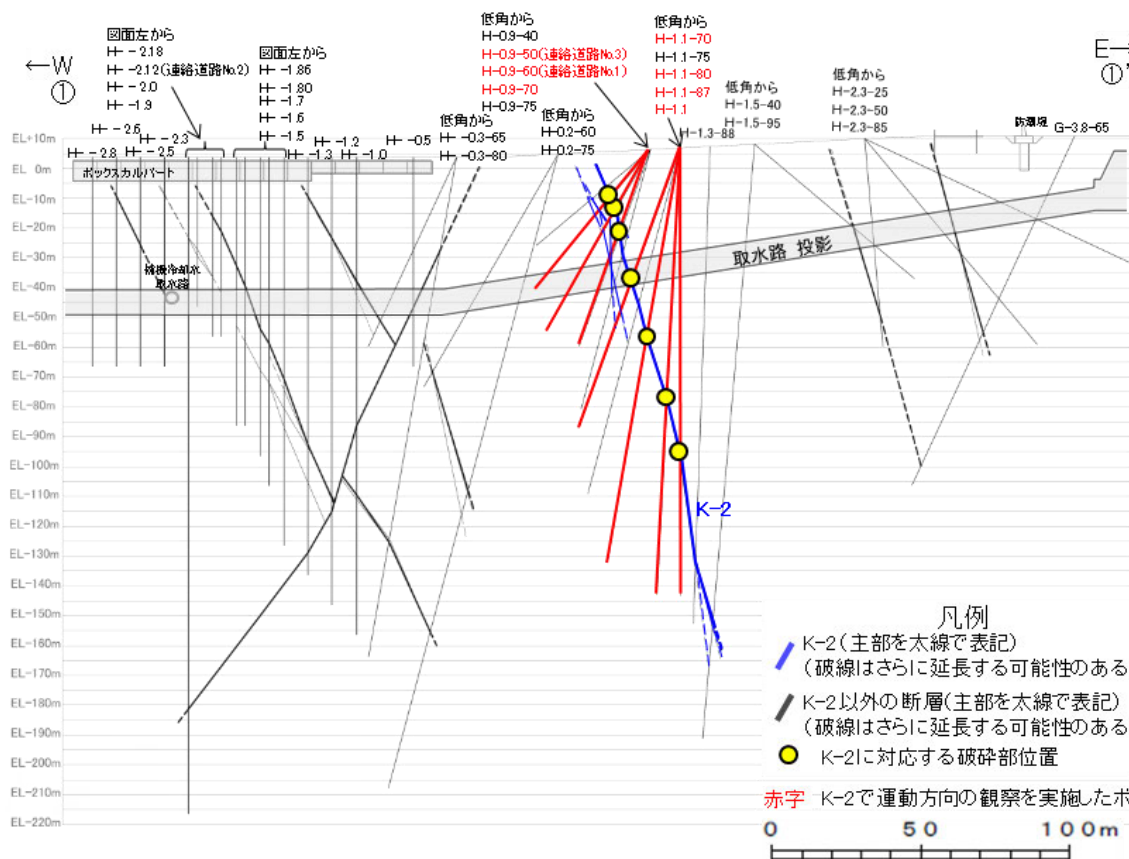
観察結果 一覧表

試料名	走向/傾斜 (走向は真北)	固結した破碎部	粘土状破碎部		
		変位センス (薄片観察)	条線の レイク*1	変位センス (条線観察)	変位センス (薄片観察)
H-1.1-70孔 [深度48.17m]	N15° E/80° SE	正断層	75° R	(不明)	右横ずれ 逆断層
H-0.9-70孔 [深度27.35m]	N8° E/76° SE		133° R	(不明)	左横ずれ 逆断層
			58° R	(不明)	
H-1.1孔 [深度103.77m]	N21° E/80° SE	(不明)			0° R:右横ずれ*2 90° R:(不明)*3
H-0.9-50孔 [深度20.93m]	N27° E/71° SE		(不明)	(不明)	
H-0.9-60孔 [深度23.15m]	N6° E/75° SE		(不明)	(不明)	
H-1.1-80孔 [深度64.13m]	N13° E/79° SE		64° R	(不明)	
H-1.1-87孔 [深度84.30m]	N20° E/81° SE		117° R	(不明)	
G-1.5-80孔 [深度77.82m]	N8° E/72° SE		71° R	(不明)	

\*1: 上盤側で確認したレイクは下盤側に換算して示す。

\*2: 破碎部の最大傾斜方向に直交な方向で切断し, 作成した薄片で確認。

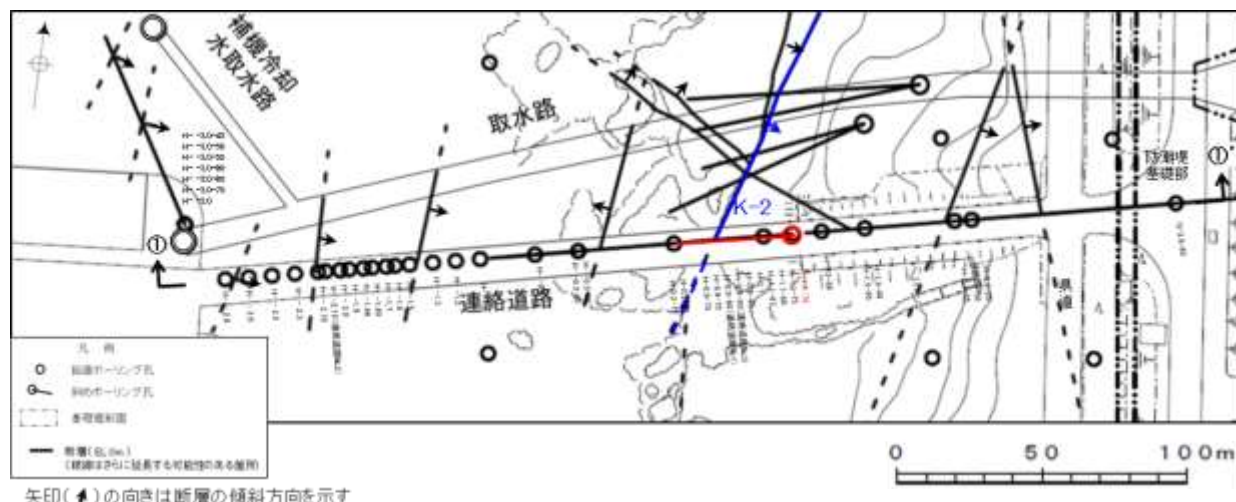
\*3: 破碎部の最大傾斜方向で切断し, 作成した薄片で確認。



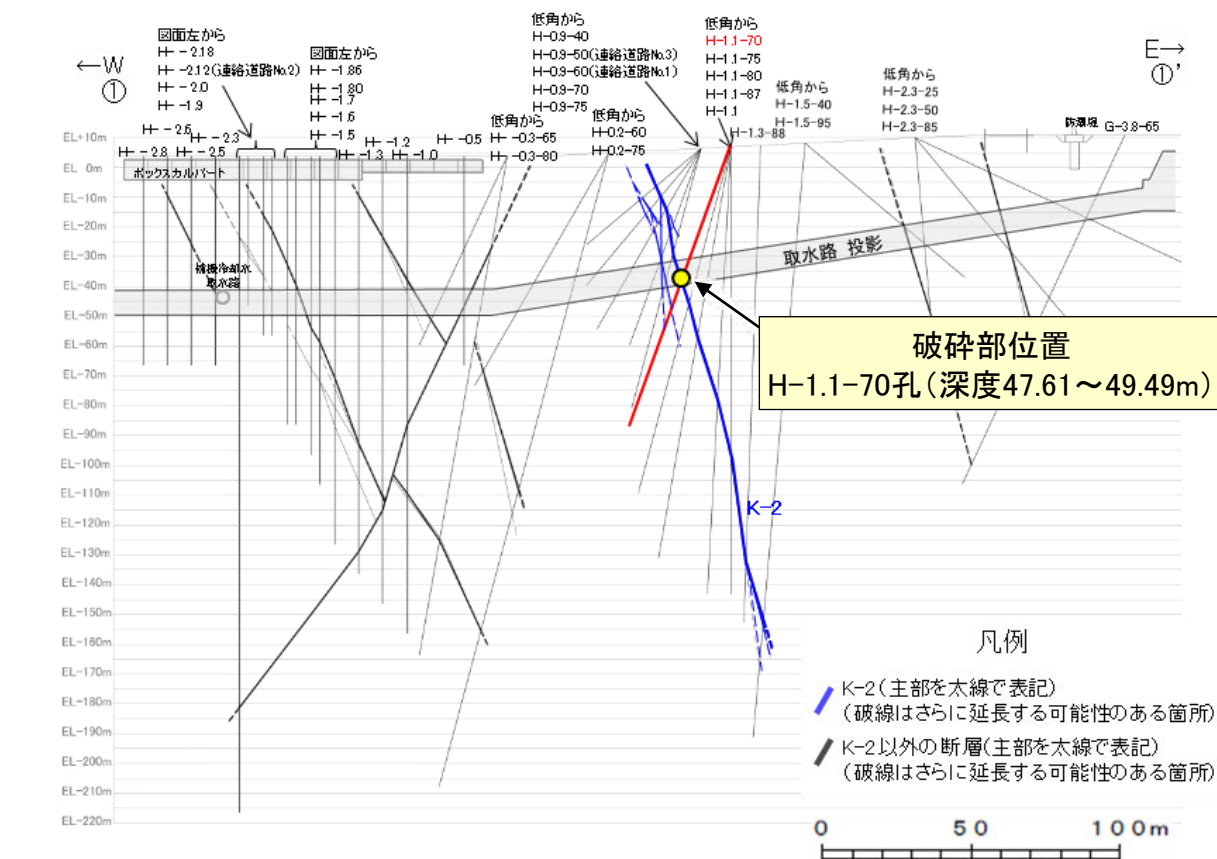
①-①' 断面図

# K-2の運動方向調査結果 —H-1.1-70孔—

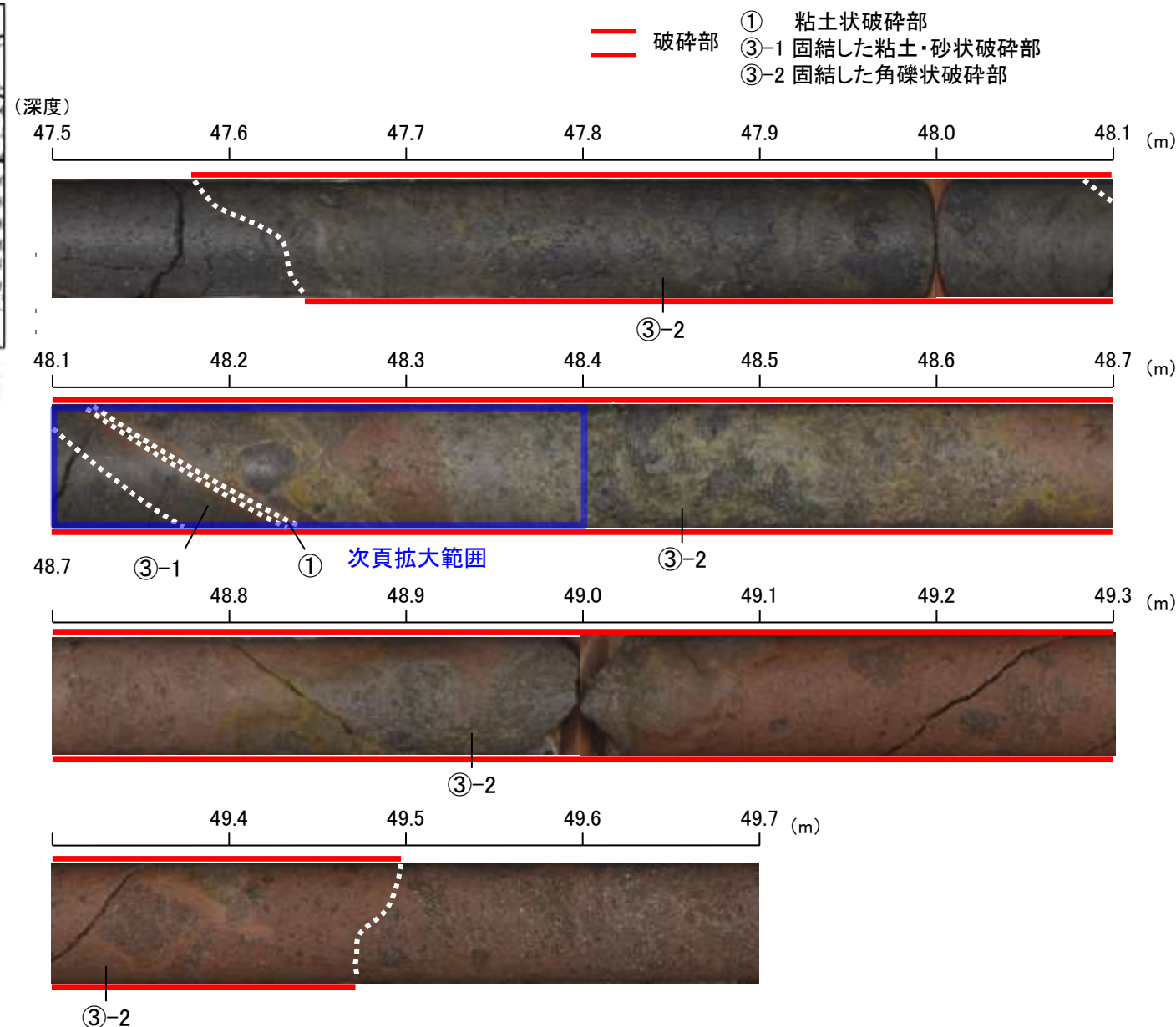
○H-1.1-70孔の深度47.61～49.49mにおいて、K-2に対応する破砕部が認められる。  
○この破砕部を対象に、コア観察及びCT画像観察により抽出した主せん断面において、条線観察、薄片観察を実施し、固結した破砕部の運動方向及び粘土状破砕部の運動方向を確認した。



位置図



①-①'断面図



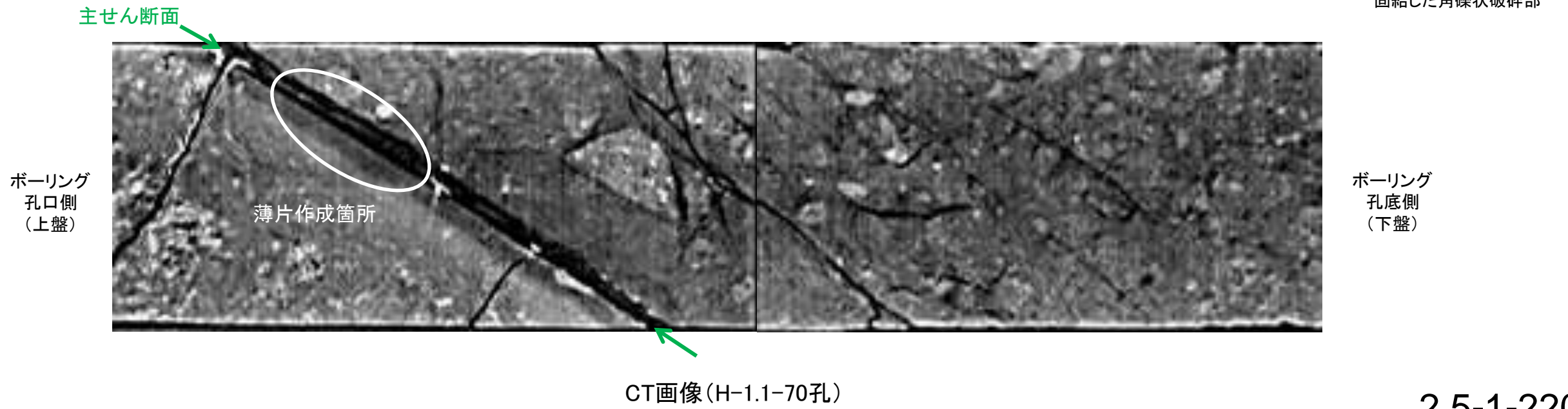
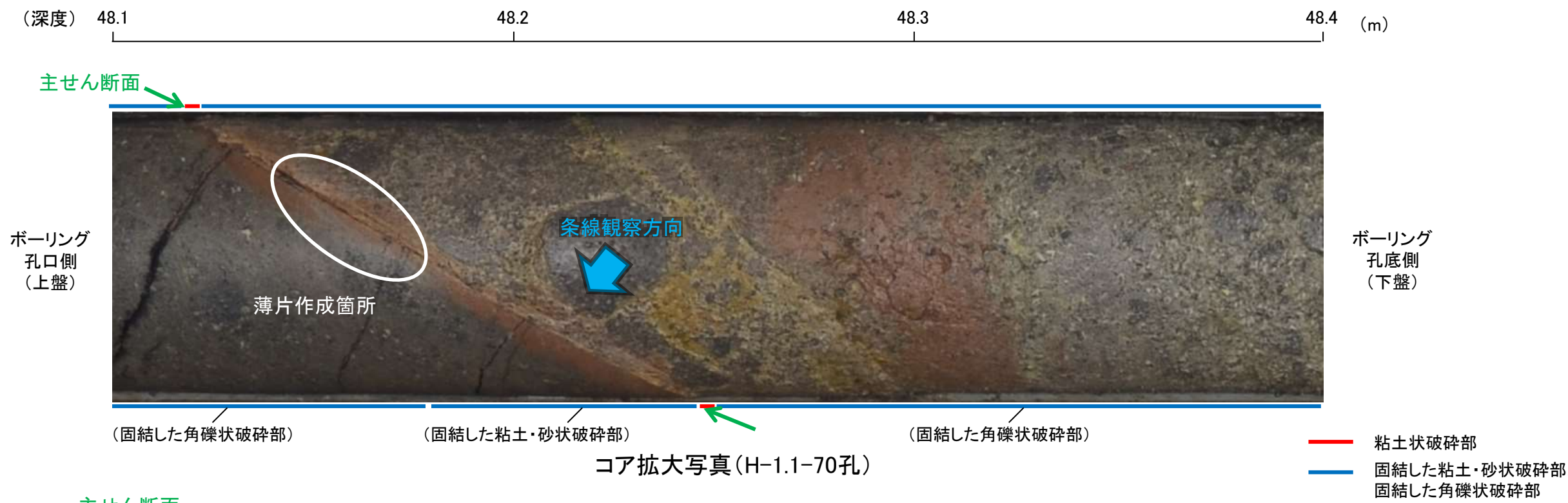
コア写真(H-1.1-70孔, 破砕部区分を加筆)

コア観察結果

深度47.61～49.49m:  
見かけの傾斜角20～60°の厚さ92～94cmの破砕部。厚さ0.2cmの明黄褐色の粘土状破砕部及び厚さ92～94cmの固結した破砕部からなる。

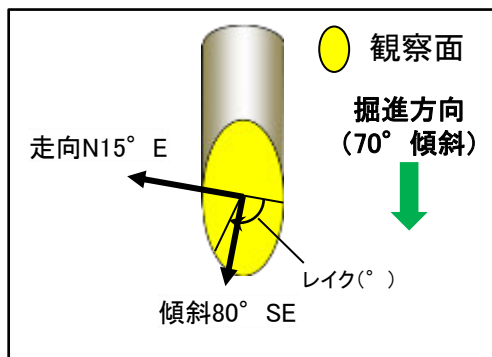
# K-2の運動方向調査結果 —H-1.1-70孔(コア観察, CT画像観察)—

- コア観察, CT画像観察結果より, 固結した粘土・砂状破碎部と固結した角礫状破碎部の境界である深度48.20m付近に, 厚さ0.2cmの粘土状破碎部が認められる。
- 粘土状破碎部を伴う比較的直線性・連続性がよい面を, 主せん断面として抽出した。
- 主せん断面において, 条線観察及び薄片観察を実施した。



# K-2の運動方向調査結果 —H-1.1-70孔(条線観察, 上盤側)—

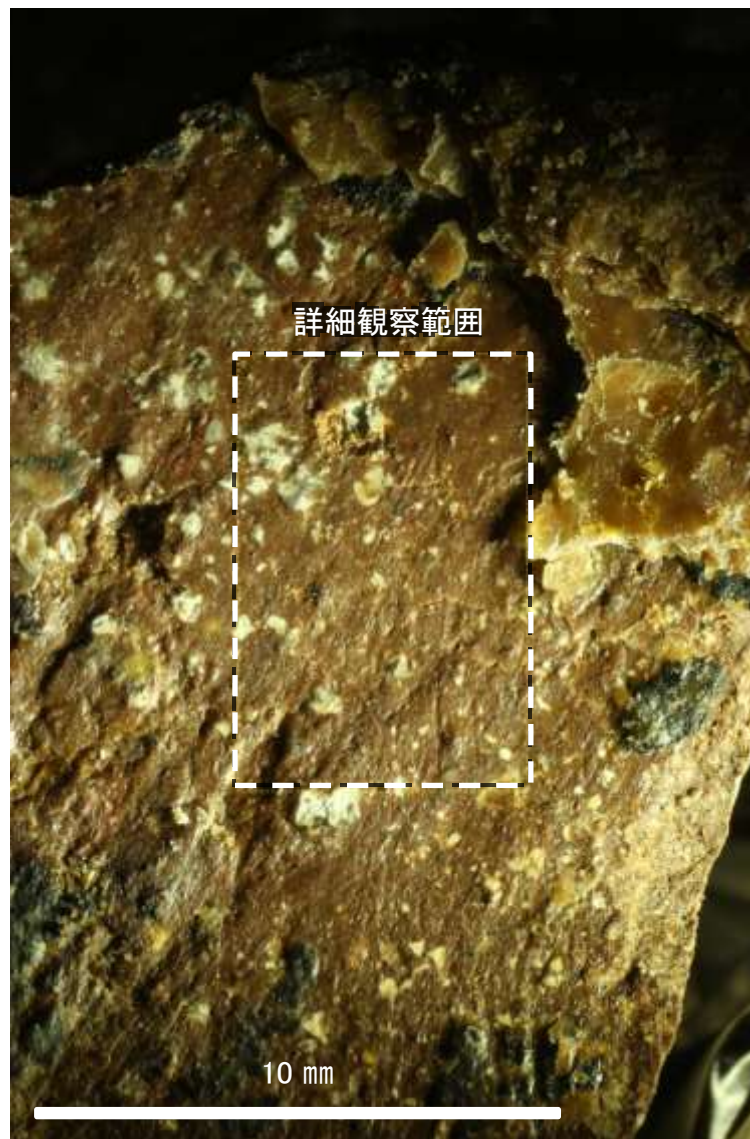
- 主せん断面における条線観察の結果, 上盤側の観察面で $105^\circ$  Rの条線が認められ, 下盤側換算すると $75^\circ$  Rとなる。
- 観察面において, 礫まわりの粘土の非対称構造などの変位センスを推定できるような構造は認められない。



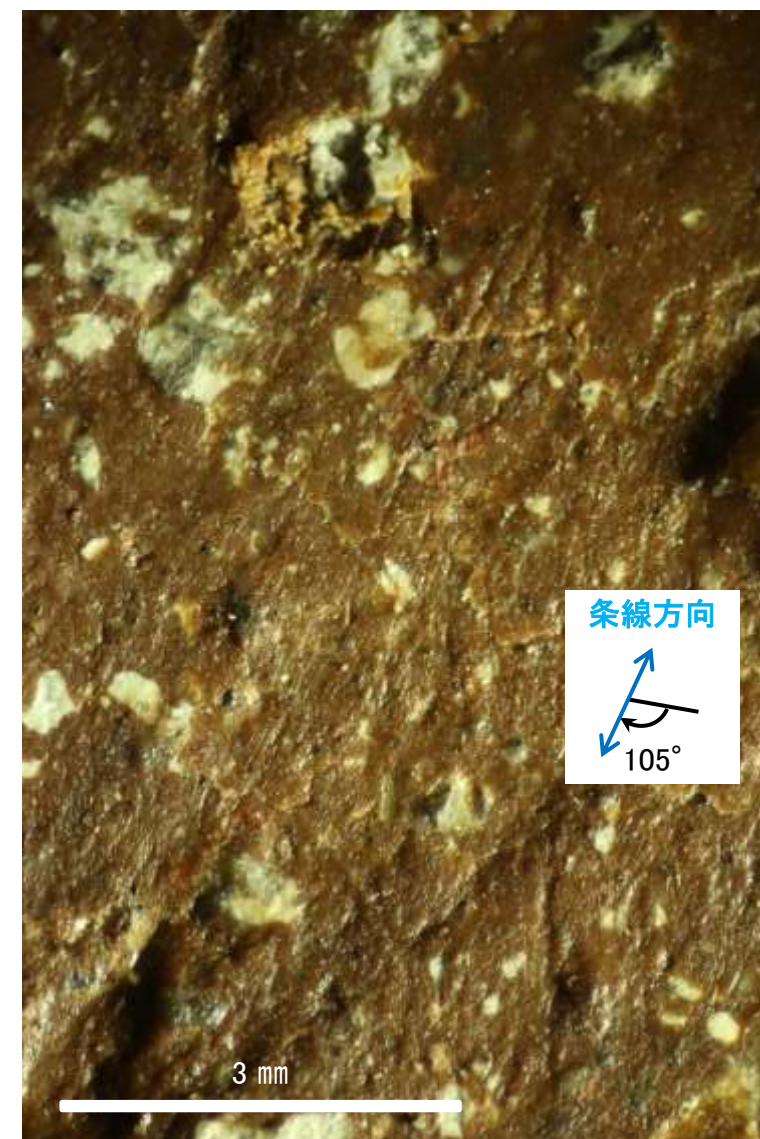
概念図  
※走向は真北で示す。



観察面写真



観察面拡大写真

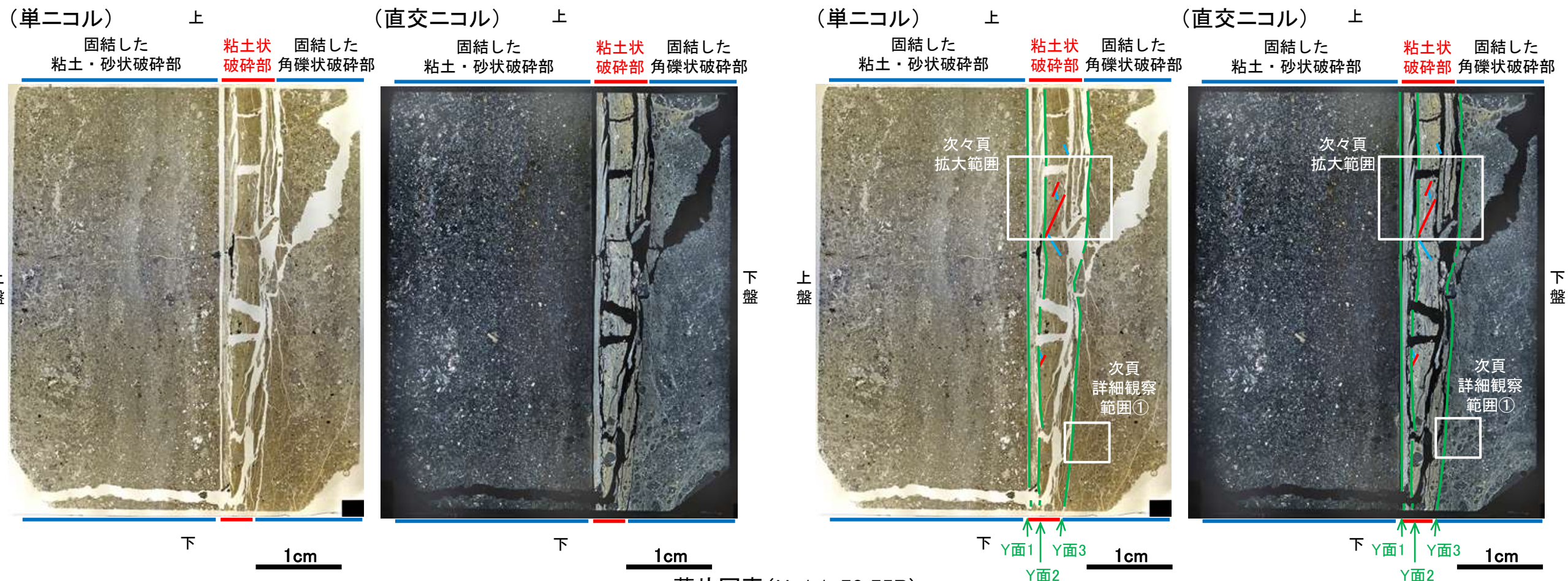


詳細観察写真

# K-2の運動方向調査結果 —H-1.1-70孔(薄片観察)—

- 主せん断面において75° Rの条線方向で作成した薄片観察の結果, 上盤側から固結した粘土・砂状破碎部, 粘土状破碎部, 固結した角礫状破碎部※に分帯される。
- 固結した粘土・砂状破碎部と粘土状破碎部の境界をなすY面1が認められる。
- 粘土状破碎部中にY面2が認められる。このY面2は, 薄片作成時の乾燥収縮によって一部で僅かに湾曲する。
- 粘土状破碎部と固結した角礫状破碎部の境界をなすY面3が認められる。このY面3は湾曲し, 一部で屈曲しており, 直線性に乏しい。
- その他, 薄片内にY面に相当する構造は認められない。

※分帯名はコア観察での破碎部区分に対応



薄片写真(H-1.1-70\_75R)  
(右は構造等を加筆)

## 薄片観察結果

### 固結した粘土・砂状破碎部:

単ニコルで淡褐灰～暗灰色, 直交ニコルで灰色の干渉色を呈する。径1mm以下の岩片や鉱物片が細粒な基質中に含まれており, 径7mm程度の岩片も認められる。岩片は垂角～垂円形, 鉱物片は角～垂円形である。

### 粘土状破碎部:

単ニコルで褐灰～灰色, 直交ニコルで白～黄色の干渉色を呈する。径0.5mm以下の岩片や鉱物片が細粒な基質中に含まれており, 径2mm程度の岩片も認められる。岩片は垂角～垂円形, 鉱物片は角～垂角形である。粒径や粘土鉱物の生成状況から, さらに3つのゾーンに分帯され, Y面1やY面3付近には, 結晶構造が比較的明瞭な粘土鉱物が生成されている。

### 固結した角礫状破碎部:

単ニコルで褐灰～灰色, 直交ニコルで灰色の干渉色を呈する。径5mm以下の岩片や鉱物片が細粒な基質中に含まれており, 径8mm以上の岩片も認められる。岩片, 鉱物片は垂角～垂円形である。粘土状破碎部との境界付近や基質中, 岩片の縁辺部には粘土鉱物が比較的多く生成されている。

見かけ上盤側上がり



凡例

- Y面
- P面
- R1面

せん断センスを示す複合面構造  
(狩野・村田(1998)に加筆)

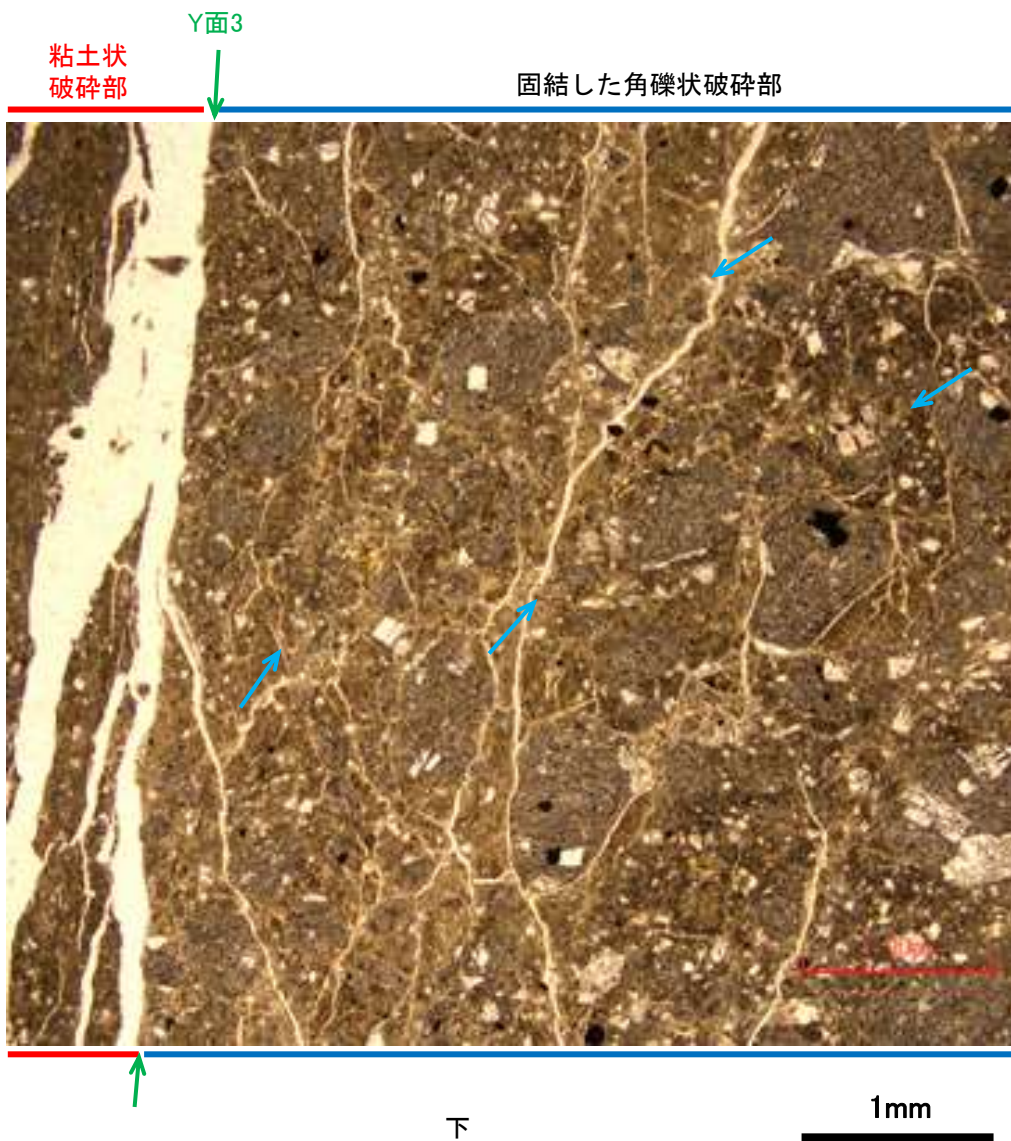
2.5-1-222

# K-2の運動方向調査結果 —H-1.1-70孔(薄片観察, 詳細観察)—

○固結した角礫状破碎部中において, Y面3の直近で岩片の定向配列が認められ, それをP面とすると, 見かけ上盤側下がりの変位が推定される。  
○断層の走向傾斜がN15° E/80° SE, 薄片作成方向が75° Rであることから, 固結した破碎部の運動方向は正断層センスである。

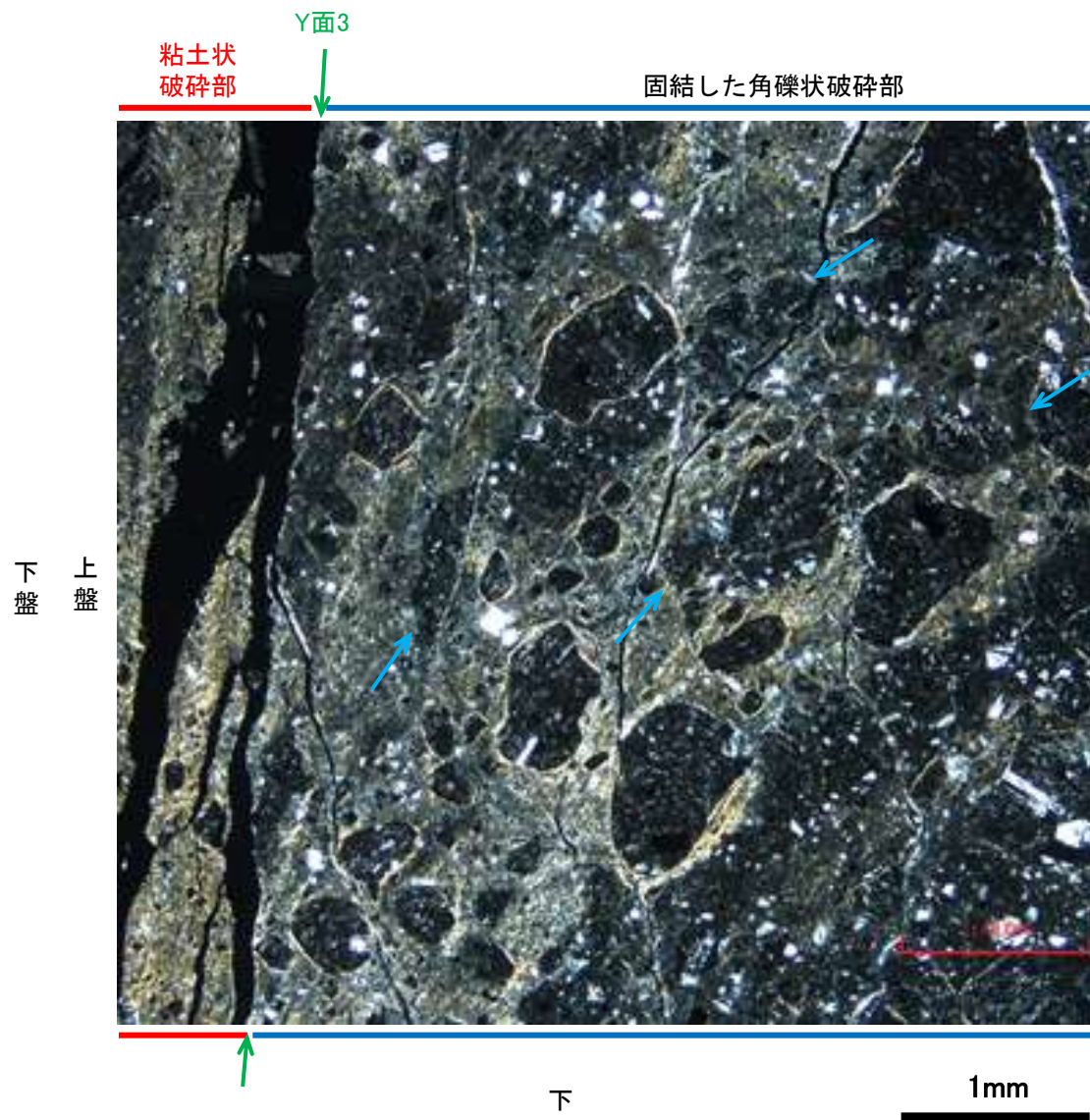
(単ニコル)

上

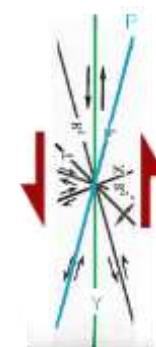


(直交ニコル)

上



見かけ上盤側下がり



せん断センスを示す複合面構造 (狩野・村田(1998)に加筆)

凡例

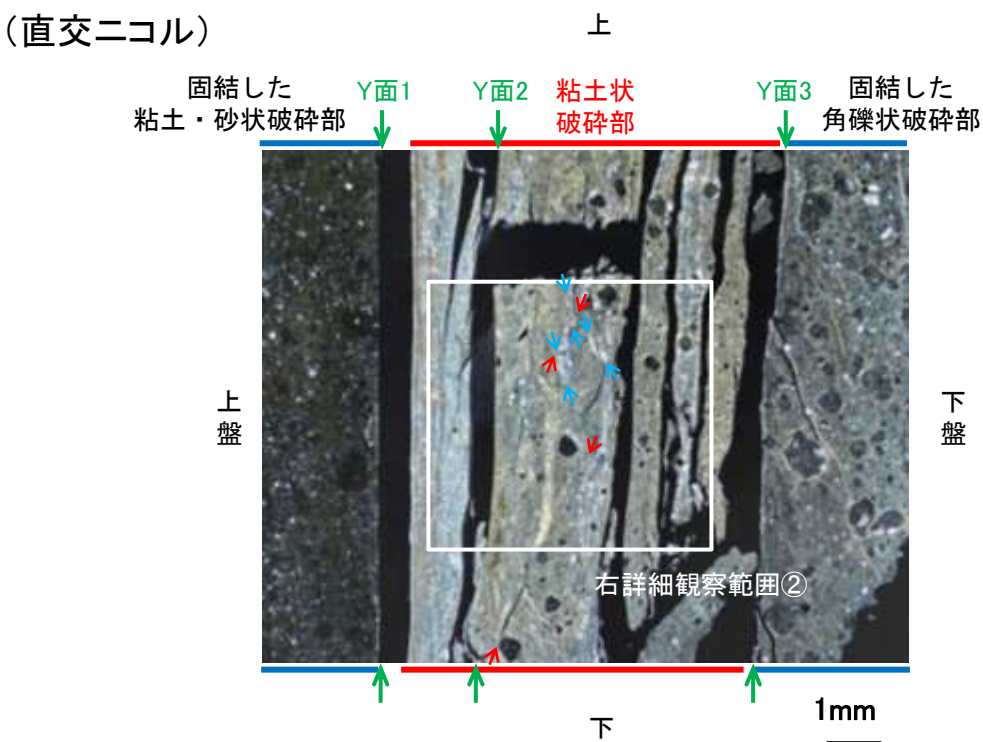
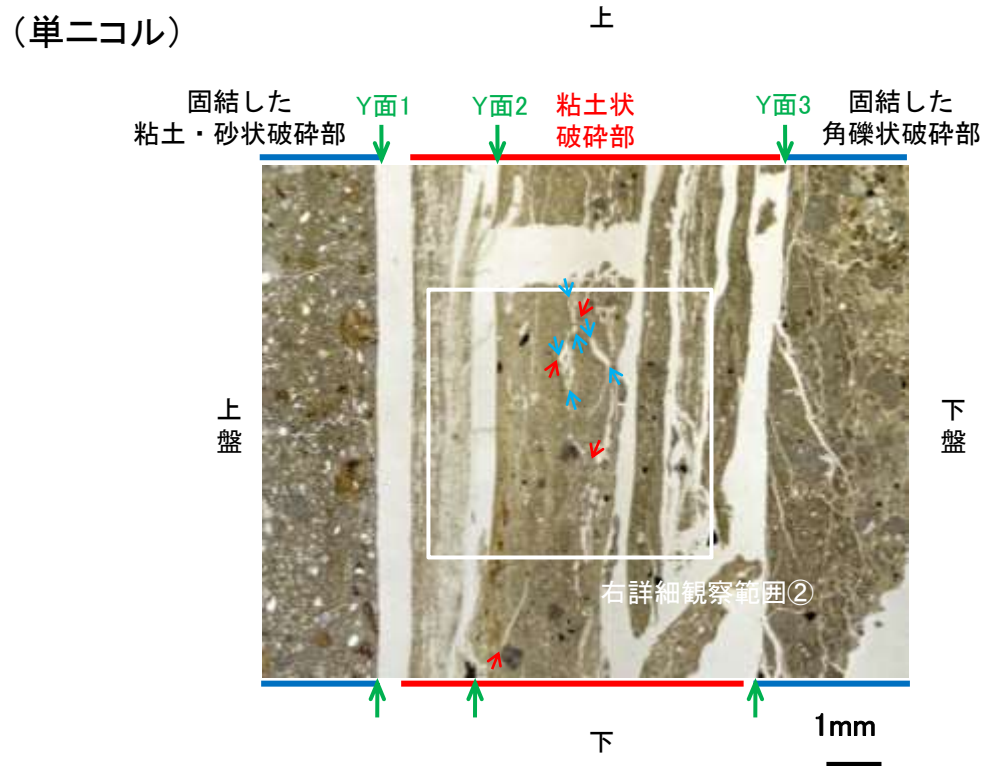
- ← Y面
- ← P面

詳細観察範囲①写真

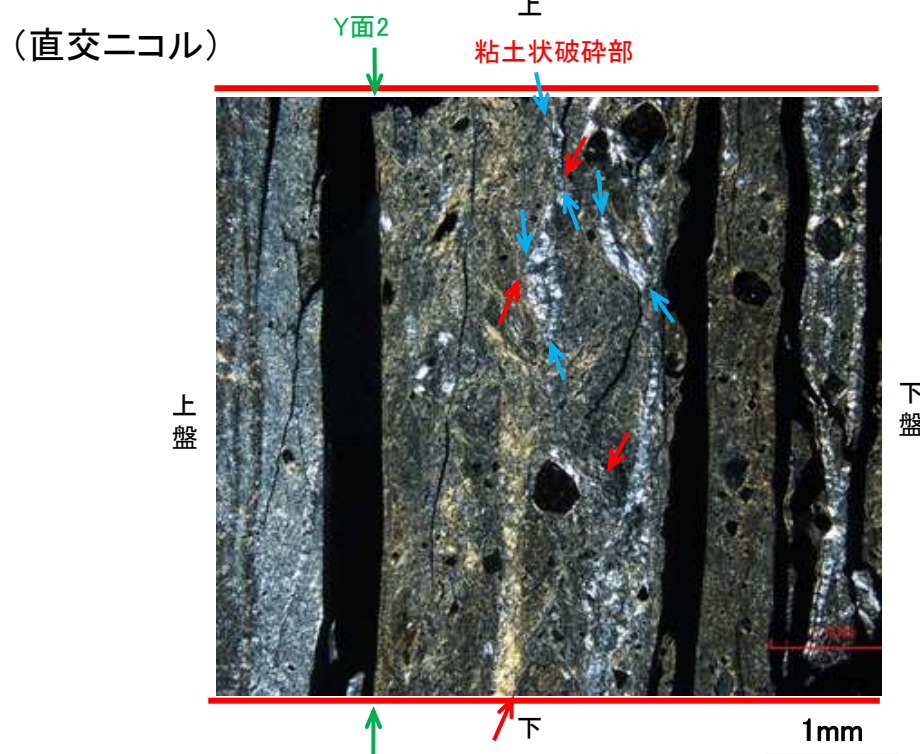
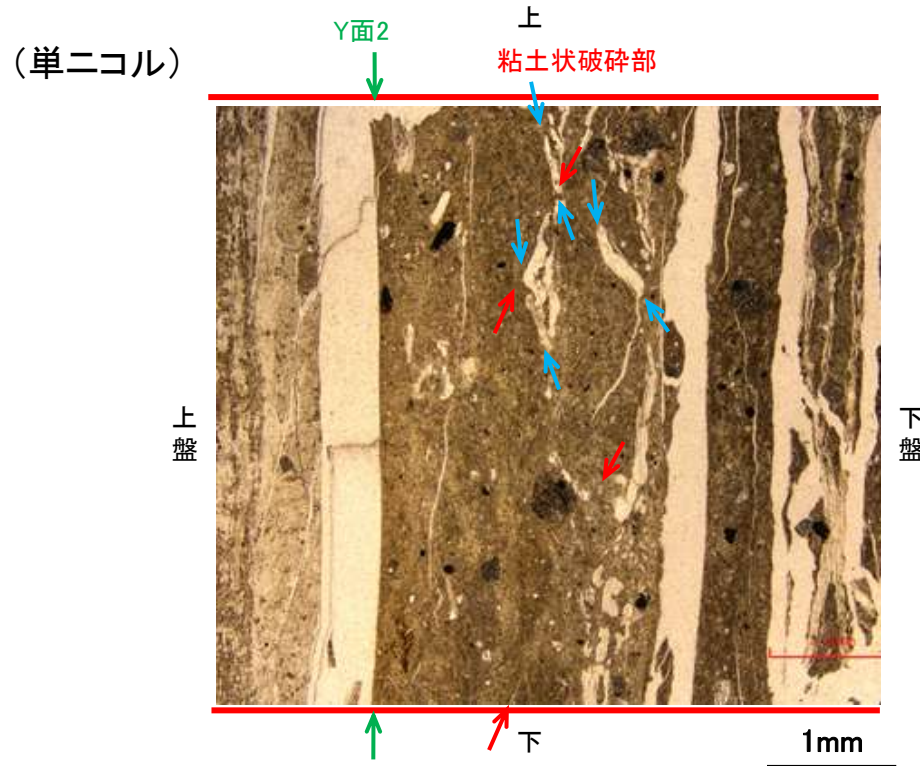
# K-2の運動方向調査結果 —H-1.1-70孔(薄片観察, 詳細観察)—

○粘土状破碎部中の岩片や鉱物片, 粘土鉱物の定向配列をP面とし, これらの配列を切断する微細な割れ目をR1面とすると, 見かけ上盤側上がりの変位が推定される。

○断層の走向傾斜がN15° E/80° SE, 条線レイクが75° Rであることから, 粘土状破碎部の運動方向は右横ずれを伴う逆断層センスである。

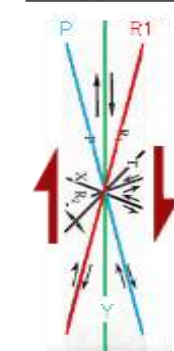


拡大範囲写真



詳細観察範囲②写真

見かけ  
上盤側上がり



せん断センス  
を示す複合面構造  
(狩野・村田(1998)  
に加筆)

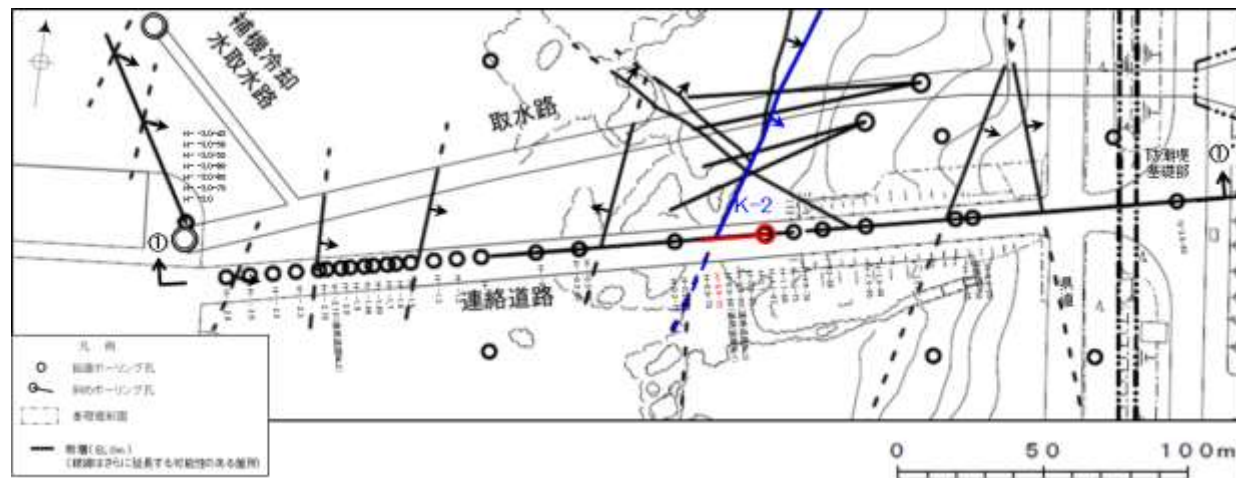
凡例

- ← Y面
- ← P面
- ← R1面



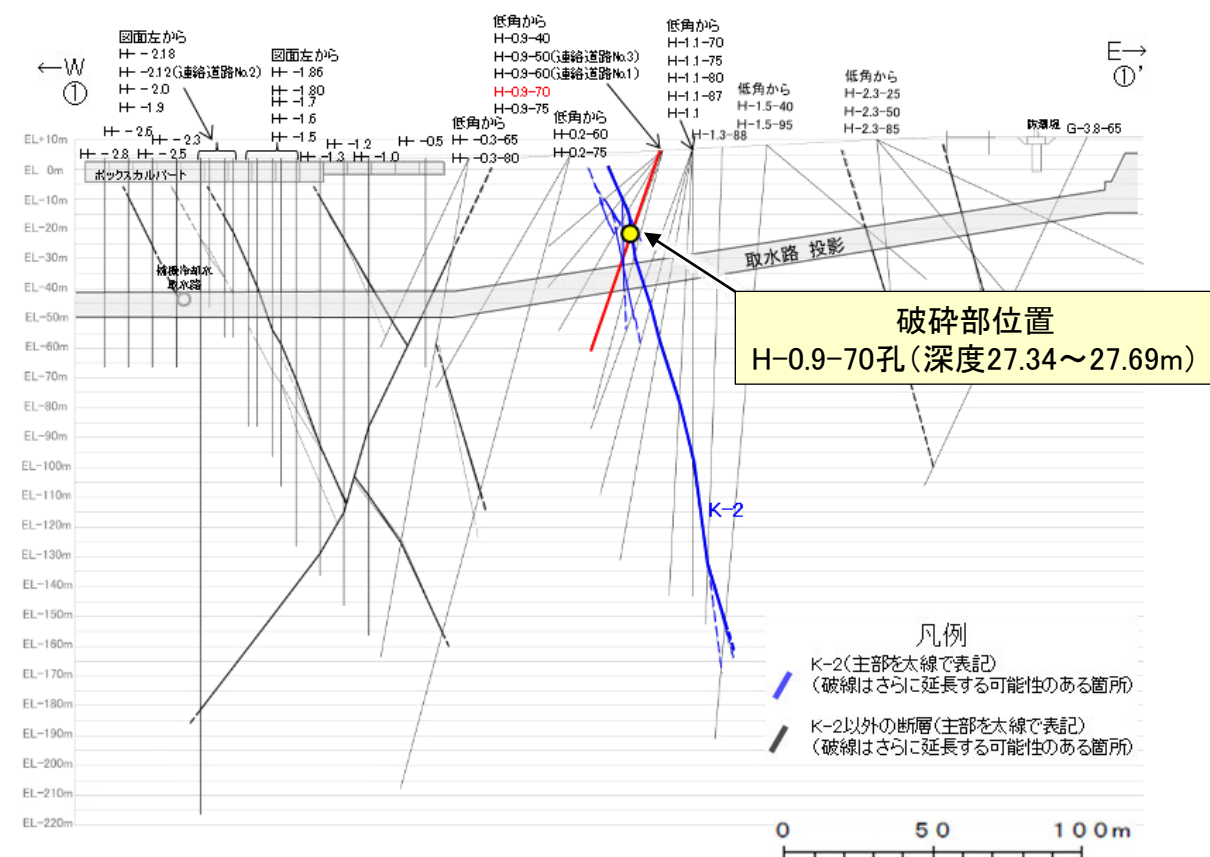
# K-2の運動方向調査結果 —H-0.9-70孔—

○H-0.9-70孔の深度27.34~27.69mにおいて、K-2に対応する破砕部が認められる。  
○この破砕部を対象に、コア観察及びCT画像観察により抽出した主せん断面において、条線観察、薄片観察を実施し、粘土状破砕部の運動方向を確認した。

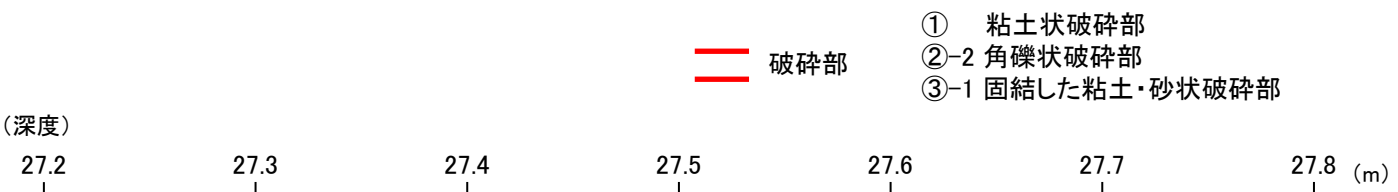


位置図

矢印(➔)の向きは断層の傾斜方向を示す



①-①'断面図



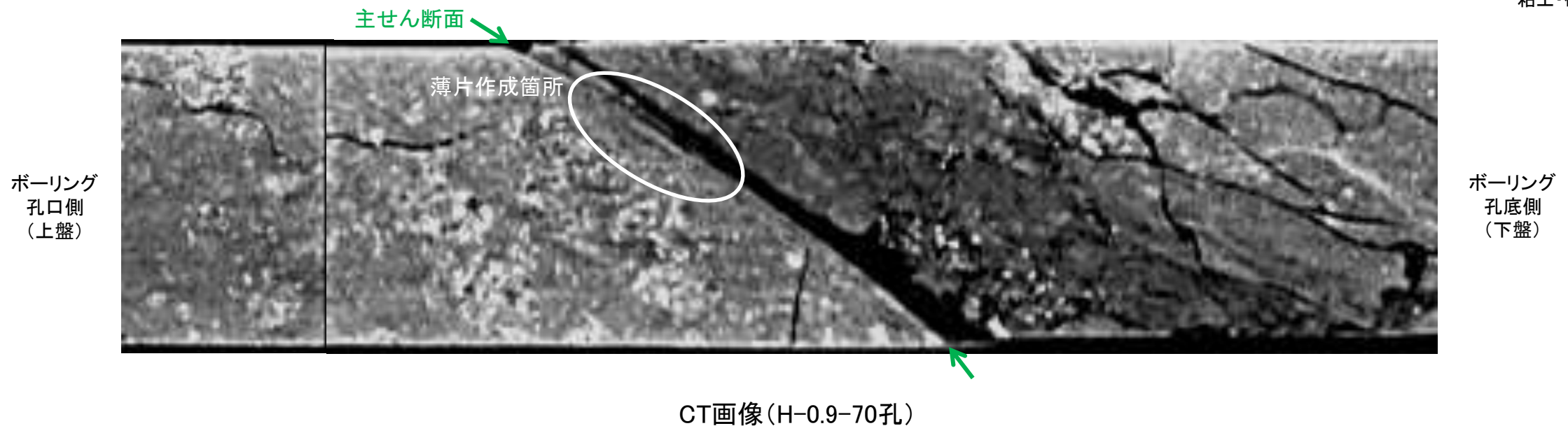
コア写真(H-0.9-70孔, 破砕部区分を加筆)

**コア観察結果**  
 深度27.34~27.69m:  
 見かけの傾斜角40~65°の厚さ16~18cmの破砕部。厚さ0.4~0.8cmの灰白~淡黄色の粘土状破砕部、厚さ2.5~4.0cmのオリブ黄~灰オリブ色の角礫状破砕部及び厚さ12~14cmの固結した破砕部からなる。

# K-2の運動方向調査結果 —H-0.9-70孔(コア観察, CT画像観察)—

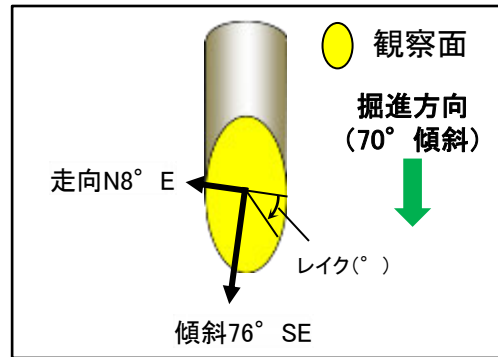
- コア観察, CT画像観察結果より, 固結した粘土・砂状破碎部と角礫状破碎部の境界である深度27.35m付近に, 厚さ0.4~0.8cmの粘土状破碎部が認められる。
- 粘土状破碎部を伴う比較的直線性・連続性がよい面を, 主せん断面として抽出した。
- 主せん断面において, 条線観察及び薄片観察を実施した。

(深度) 27.2 27.3 27.4 27.5 (m)



# K-2の運動方向調査結果 —H-0.9-70孔(条線観察, 上盤側)—

○主せん断面における条線観察の結果, 上盤側の観察面で $47^\circ$  R,  $122^\circ$  Rの条線が認められ, 下盤側換算すると $133^\circ$  R,  $58^\circ$  Rとなる。  
○観察面において, 礫まわりの粘土の非対称構造などの変位センスを推定できるような構造は認められない。

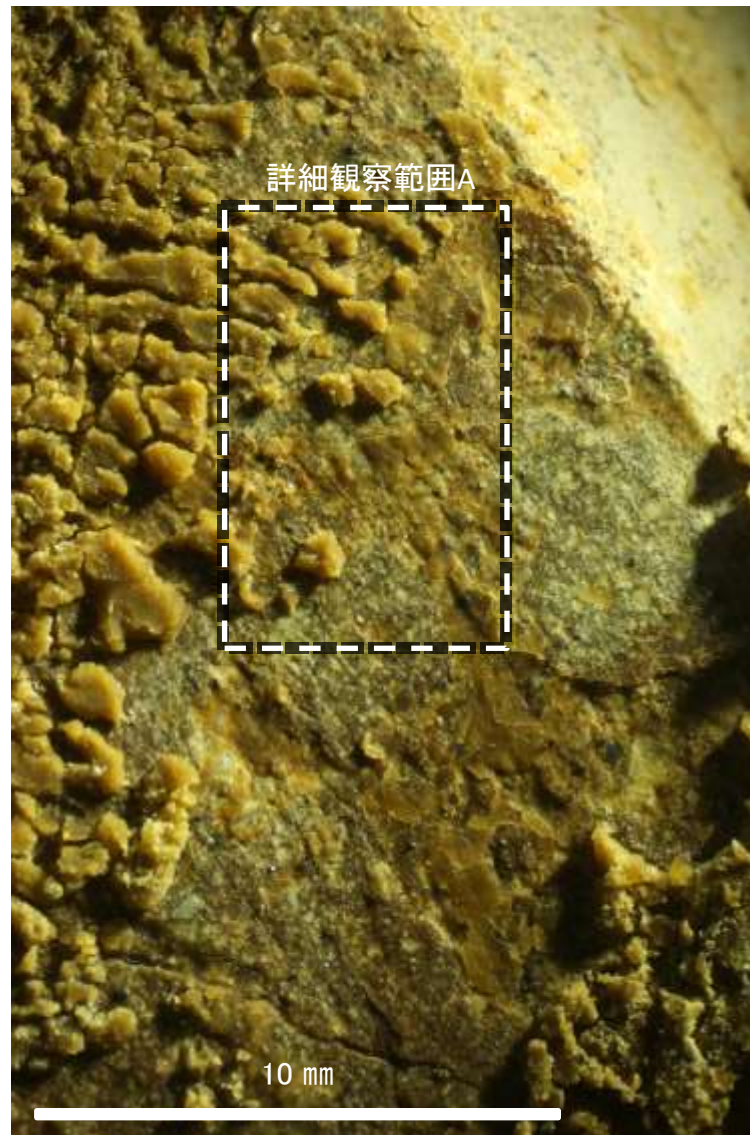


概念図  
※走向は真北で示す。

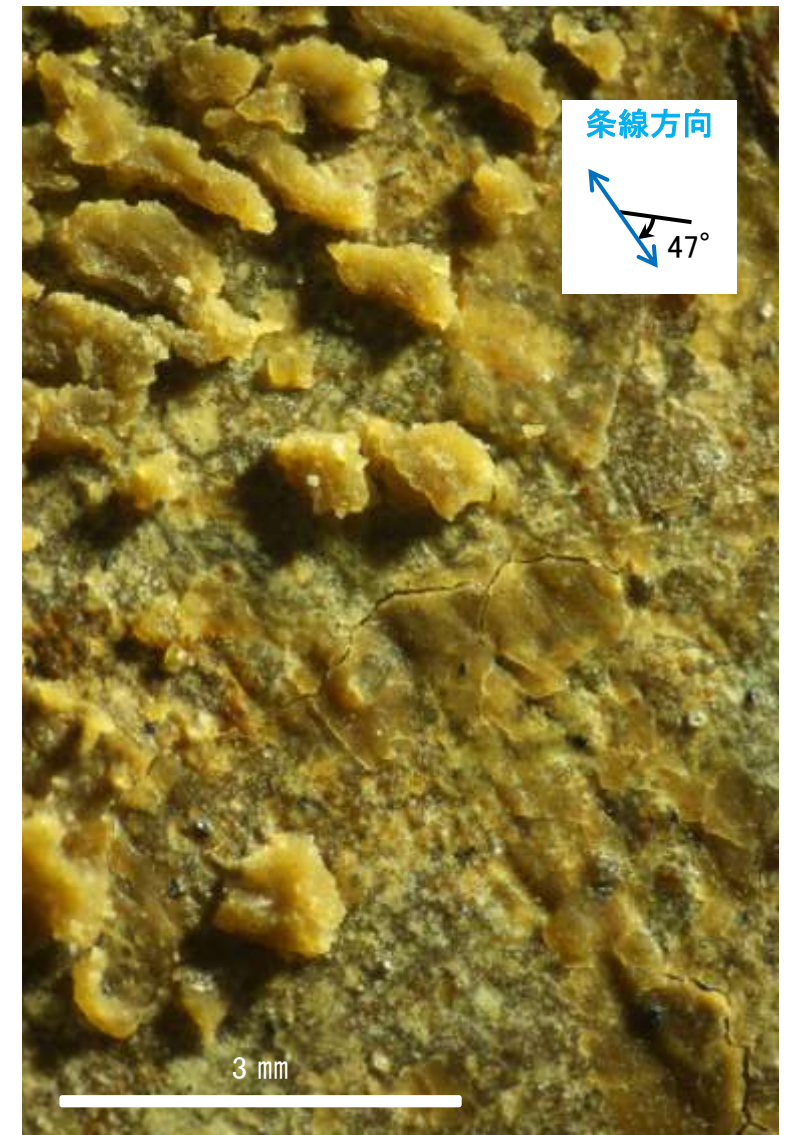
## 拡大写真範囲A



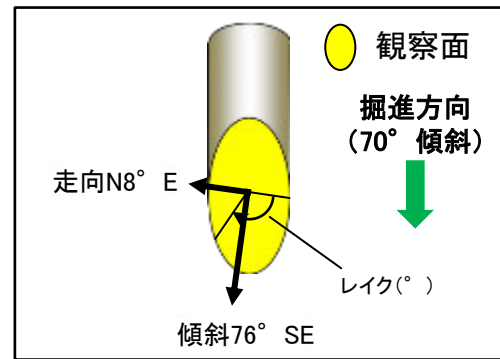
観察面写真



観察面拡大写真A

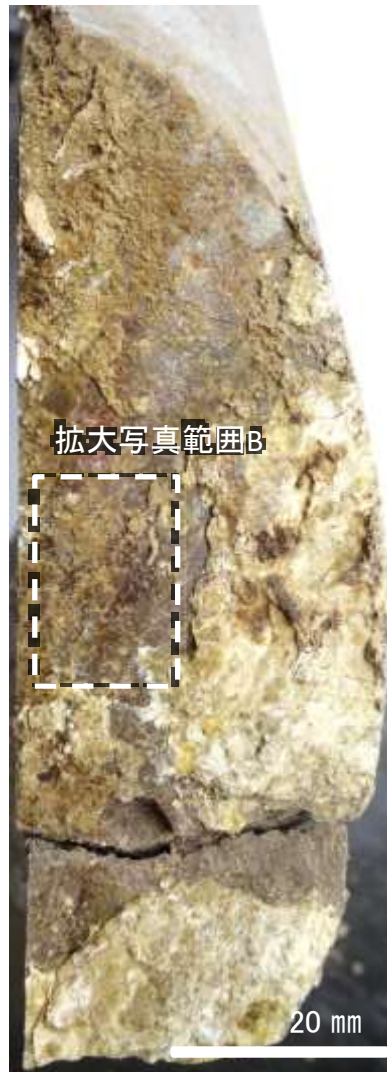


詳細観察写真A

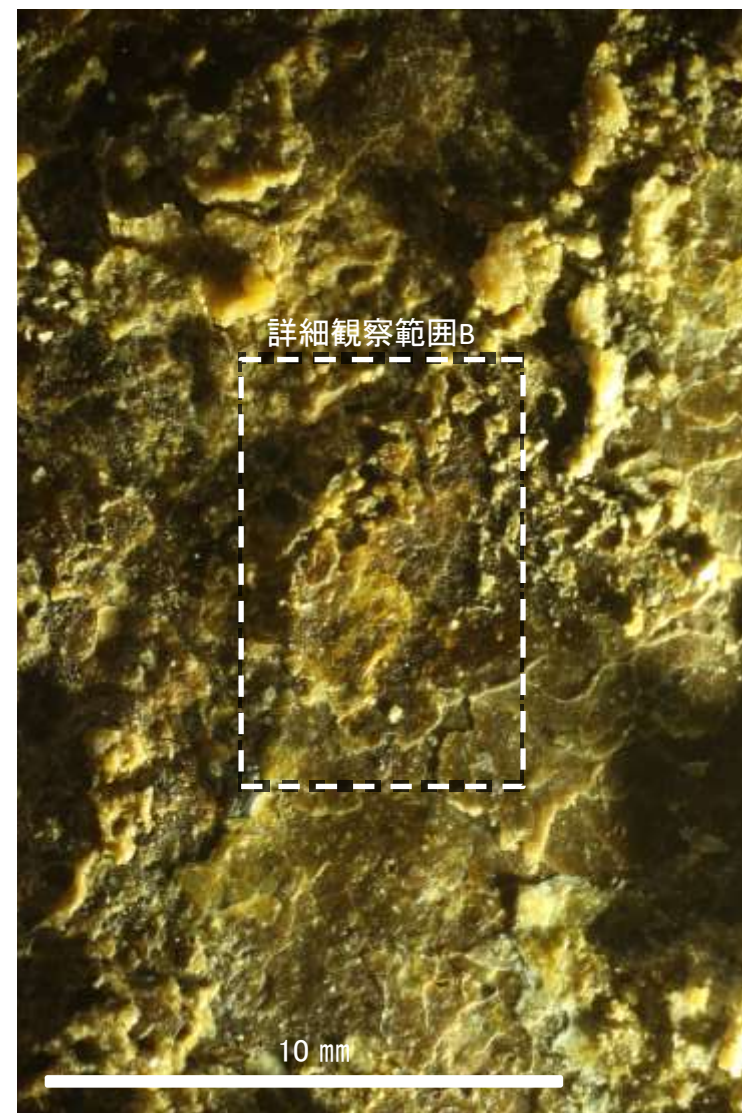


概念図  
※走向は真北で示す。

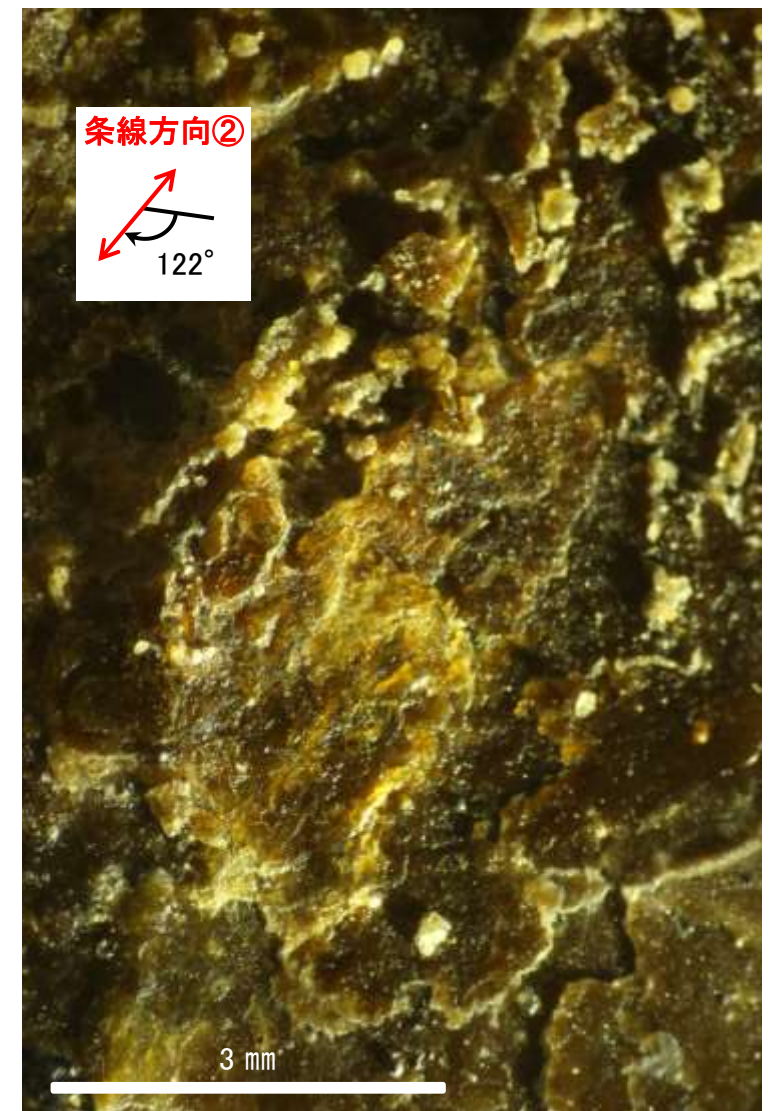
## 拡大写真範囲B



観察面写真



観察面拡大写真B

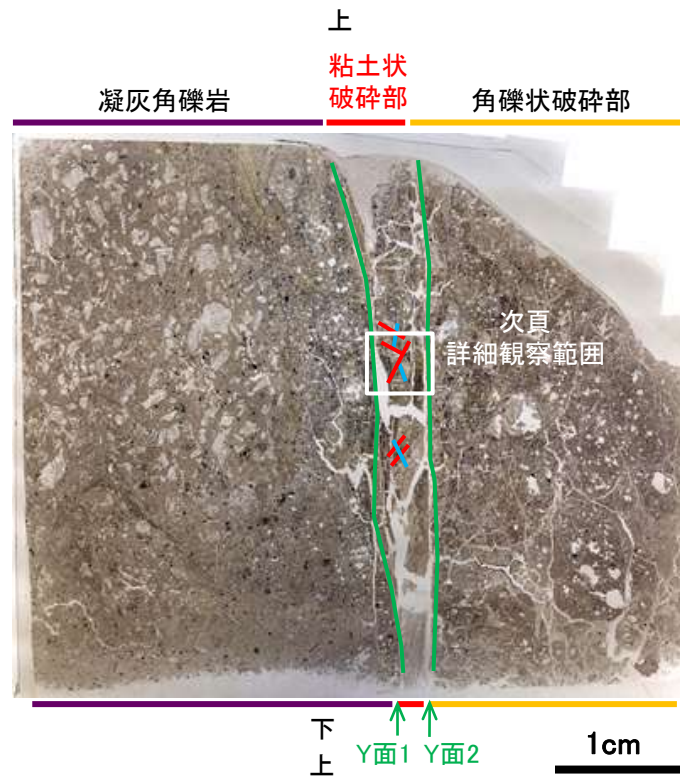
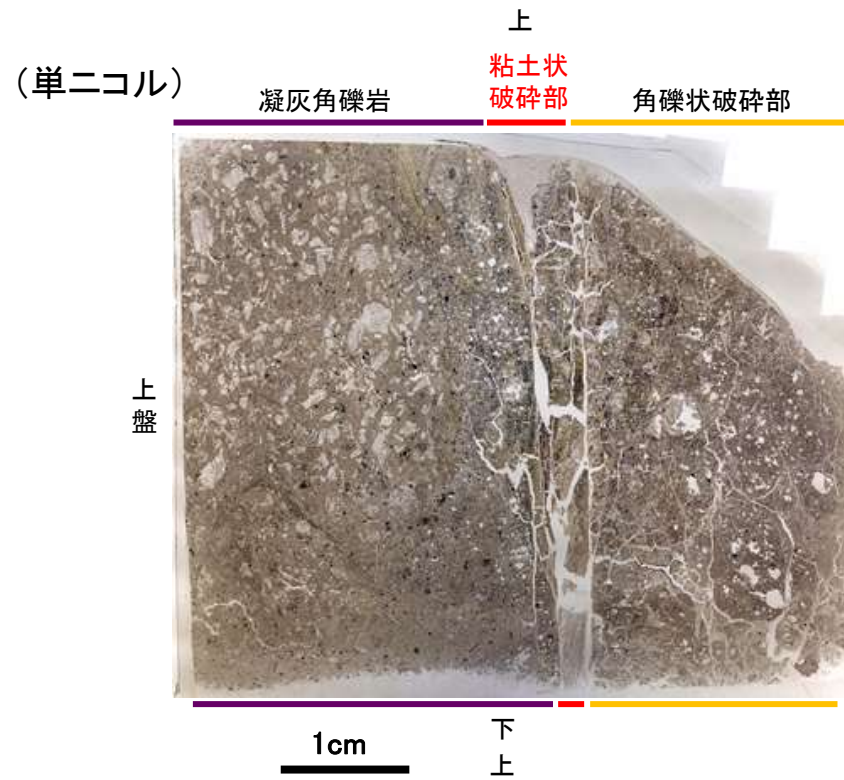


詳細観察写真B

# K-2の運動方向調査結果 —H-0.9-70孔(薄片観察)—

- 主せん断面において、より明瞭な133° Rの条線方向で作成した薄片観察の結果、上盤側から凝灰角礫岩、粘土状破碎部、角礫状破碎部※に分帯される。
- 凝灰角礫岩と粘土状破碎部の境界をなすY面1が認められる。このY面1は湾曲しており、直線性に乏しい。
- 粘土状破碎部と角礫状破碎部の境界をなすY面2が認められる。
- その他、薄片内にY面に相当する構造は認められない。

※分帯名はコア観察での破碎部区分に対応

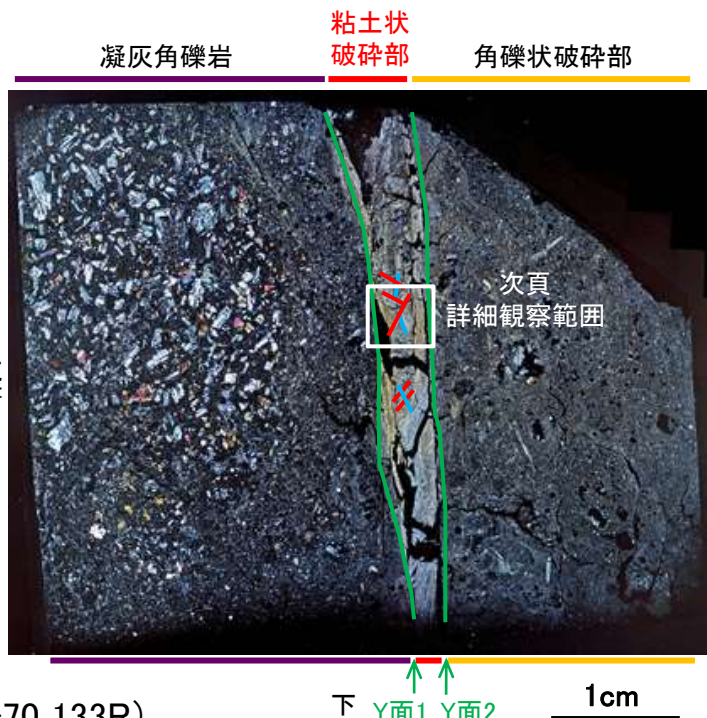
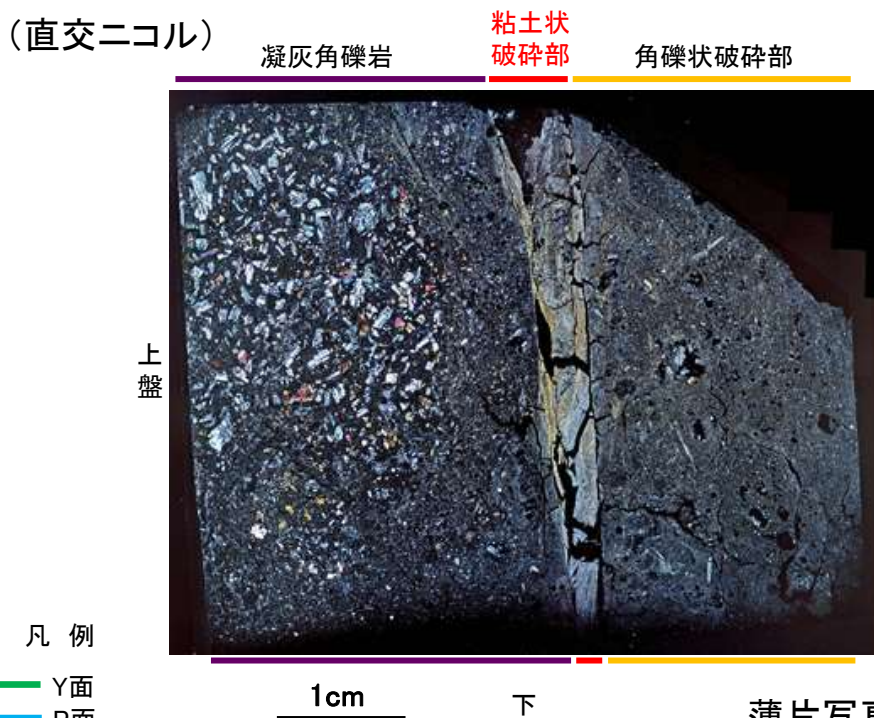


### 薄片観察結果

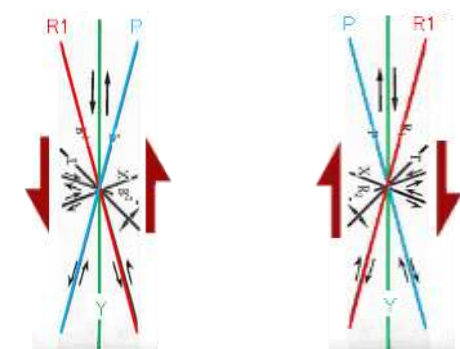
**凝灰角礫岩:**  
単ニコルで暗褐色、直交ニコルで淡褐～暗灰色の干渉色を呈する。径40mm以下の岩片や鉱物片が細粒な基質中に含まれる。岩片、鉱物片は亜角～亜円形である。粘土状破碎部との境界付近には粘土鉱物が比較的多く生成されている。

**粘土状破碎部:**  
単ニコルで褐灰～灰色、直交ニコルで黄～灰色の干渉色を呈する。径5mm以下の岩片や鉱物片が細粒な基質中に含まれる。岩片は角～亜円形、鉱物片は亜角～亜円形である。基質中には粘土鉱物が生成されている。

**角礫状破碎部:**  
単ニコルで褐灰～暗灰色、直交ニコルで灰色の干渉色を呈する。径4mm以下の岩片や鉱物片が細粒な基質中に含まれており、径10mm程度の岩片も含まれる。岩片、鉱物片は亜角～亜円形である。基質中や割れ目、岩片の縁辺部には粘土鉱物が生成されている。



見かけ上盤側下がり 見かけ上盤側上がり



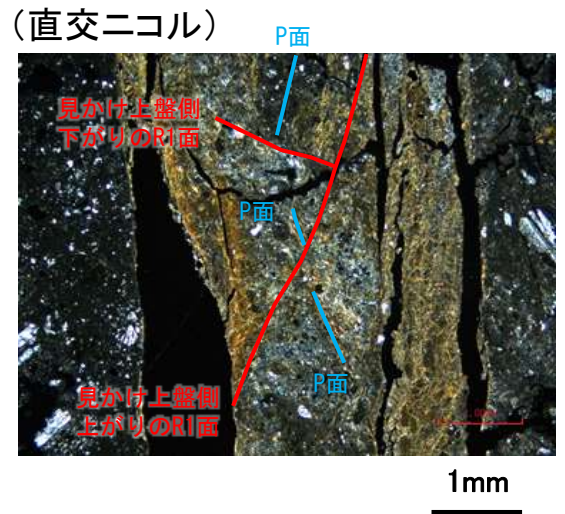
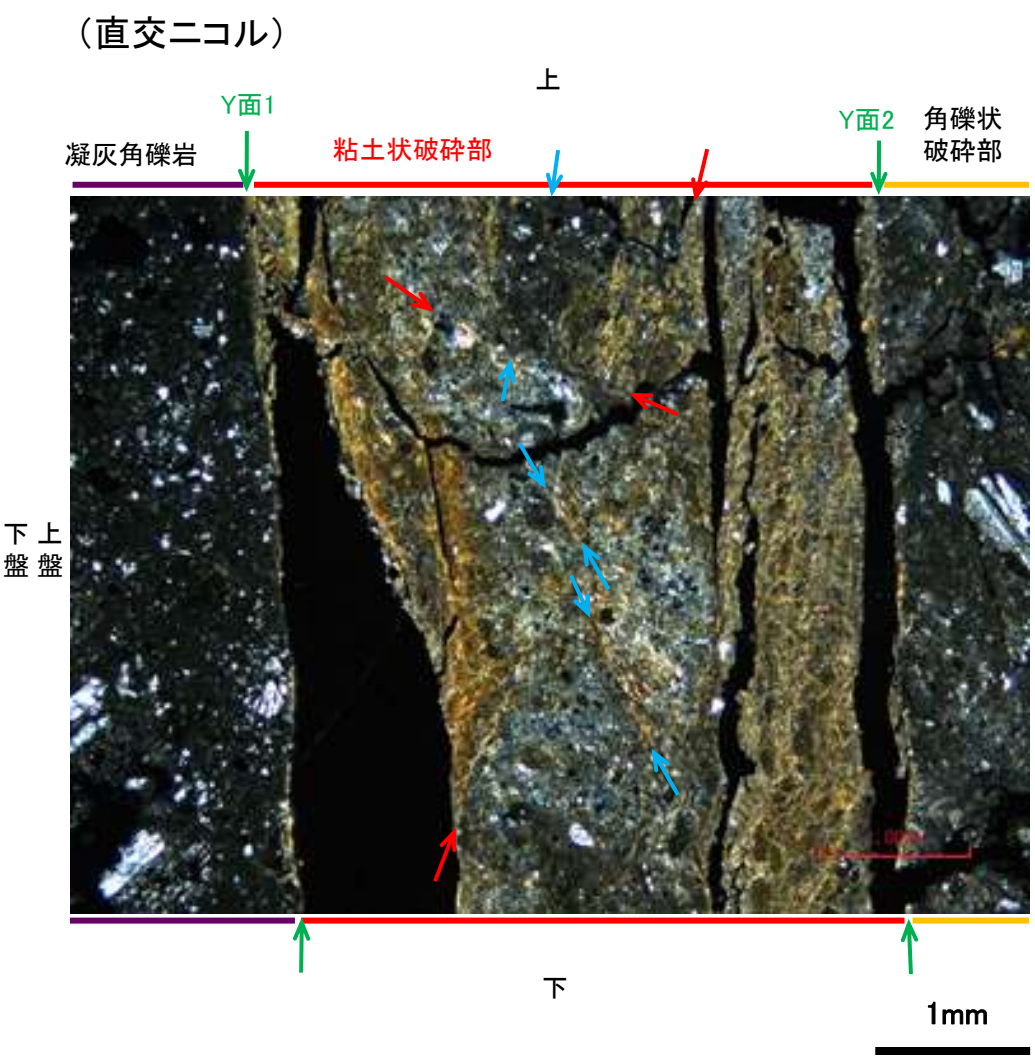
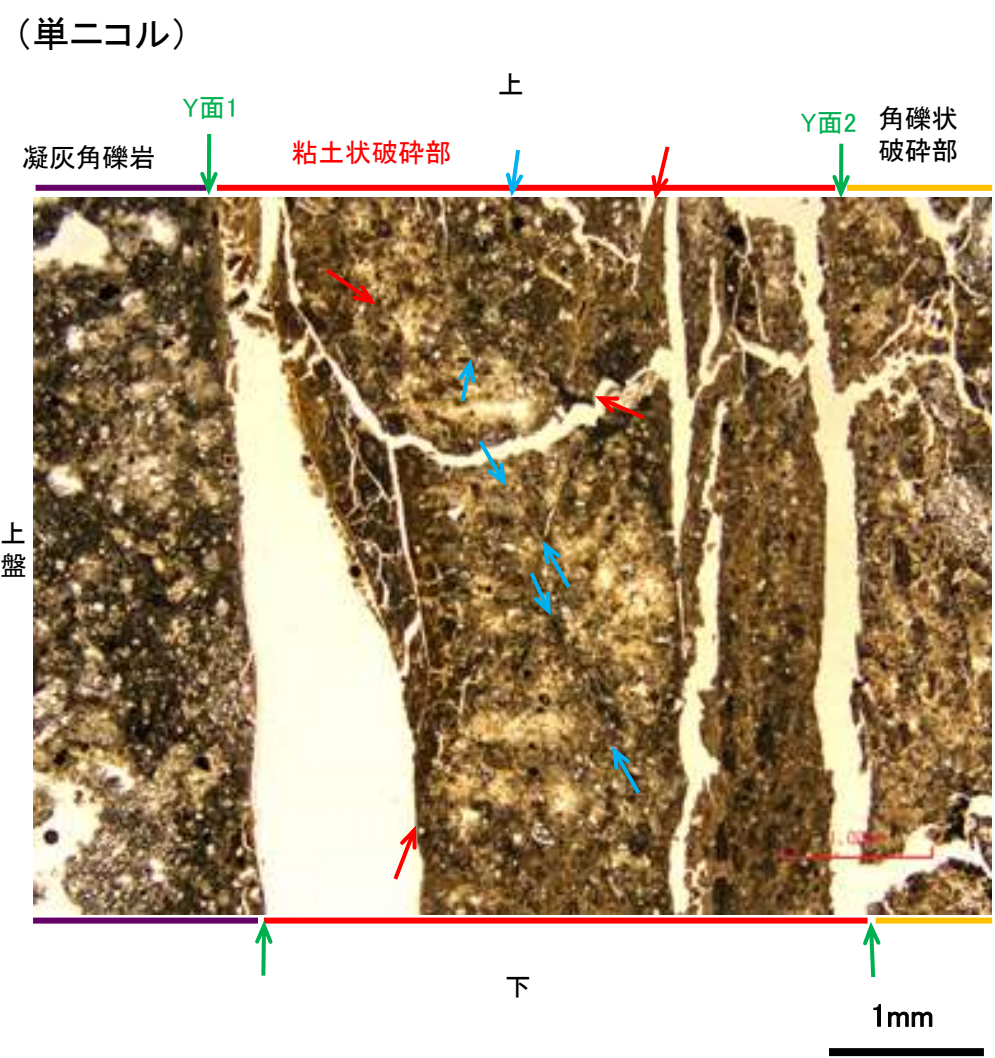
せん断センスを示す複合面構造  
(狩野・村田(1998)に加筆)

- 凡例
- Y面
  - P面
  - R1面

薄片写真(H-0.9-70\_133R)  
(右は構造等を加筆)

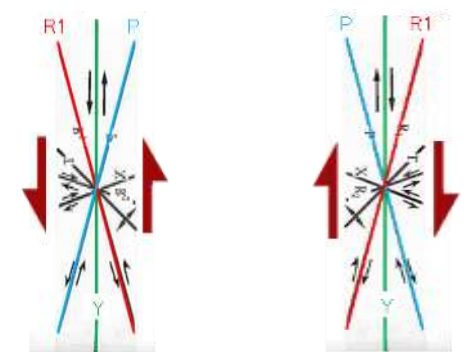
# K-2の運動方向調査結果 —H-0.9-70孔(薄片観察, 詳細観察)—

○角礫状破碎部中には複合面構造は認められず, 変位センスは特定できない。  
 ○粘土状破碎部中の岩片や粘土鉱物の定向配列をP面とし, これらの配列を切断する微細な割れ目をR1面とすると, 見かけ上盤側上がり及び見かけ上盤側下がりとの異なる変位センスを読み取ることができる。これらは, 見かけ上盤側上がりのR1面が見かけ上盤側下がりのR1面を切断していることから, 見かけ上盤側上がりの変位がより新しい構造であると考えられる。  
 ○断層の走向傾斜がN8° E/76° SE, 条線レイクが133° Rであることから, 粘土状破碎部の運動方向は左横ずれを伴う逆断層センスである。



切り合い関係解釈線  
加筆写真

見かけ上盤側下がり 見かけ上盤側上がり



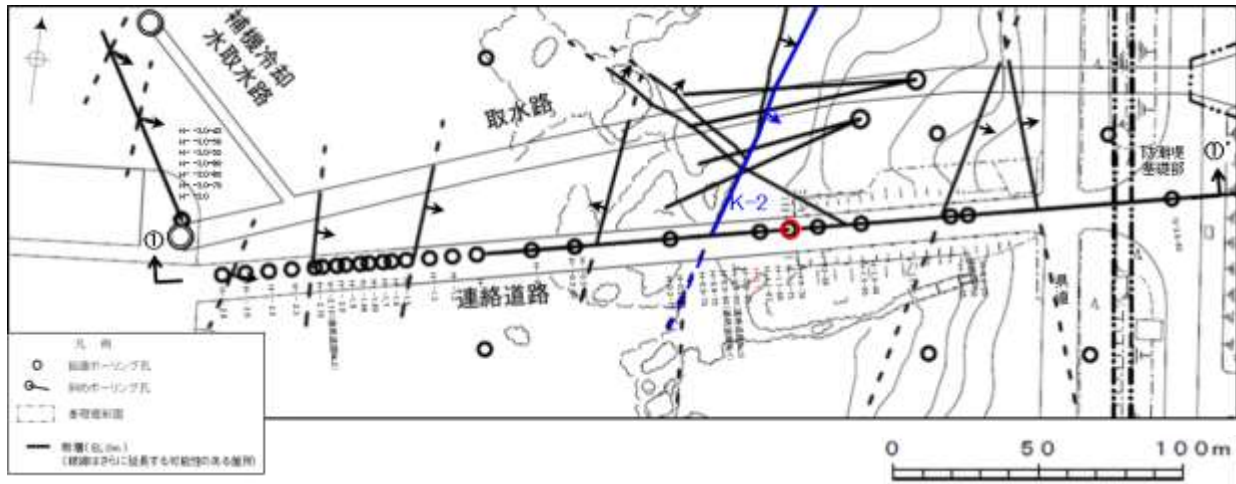
せん断センスを示す複合面構造  
(狩野・村田(1998)に加筆)

詳細観察範囲写真

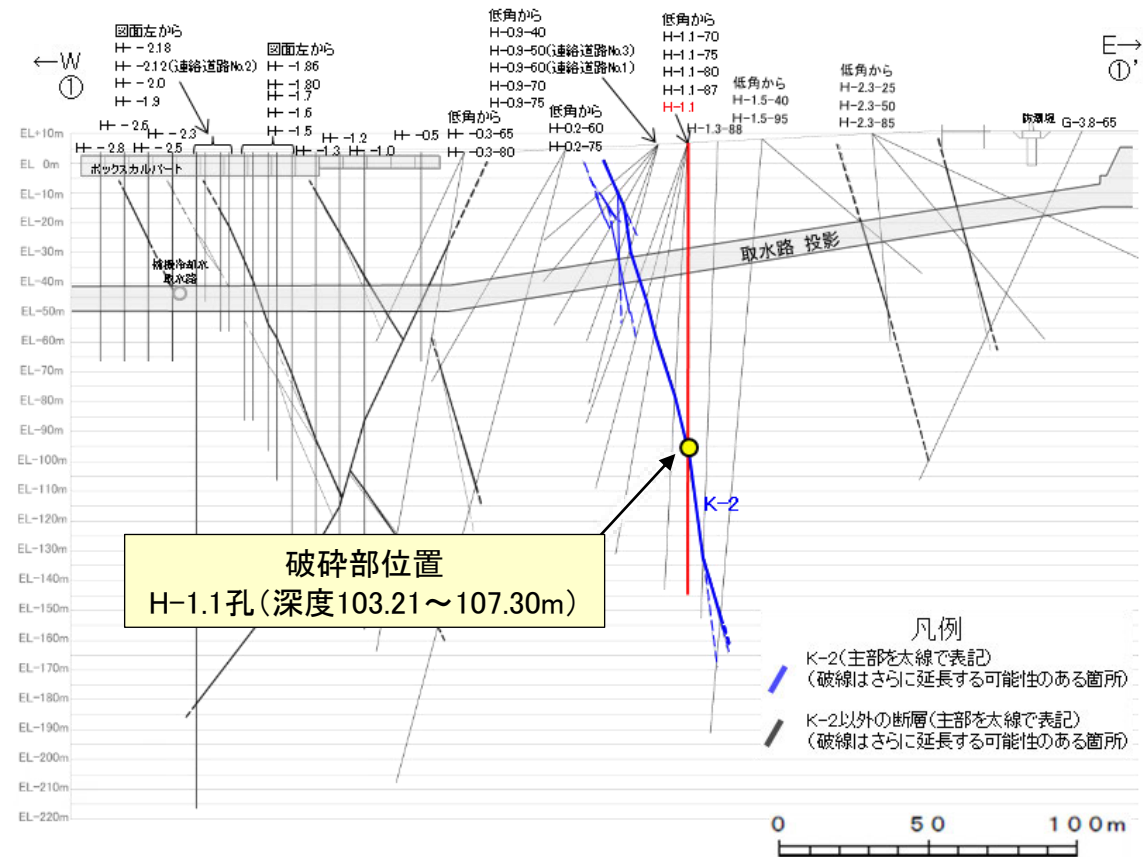
- 凡例
- ← Y面
  - ← P面
  - ← R1面

# K-2の運動方向調査結果 —H-1.1孔—

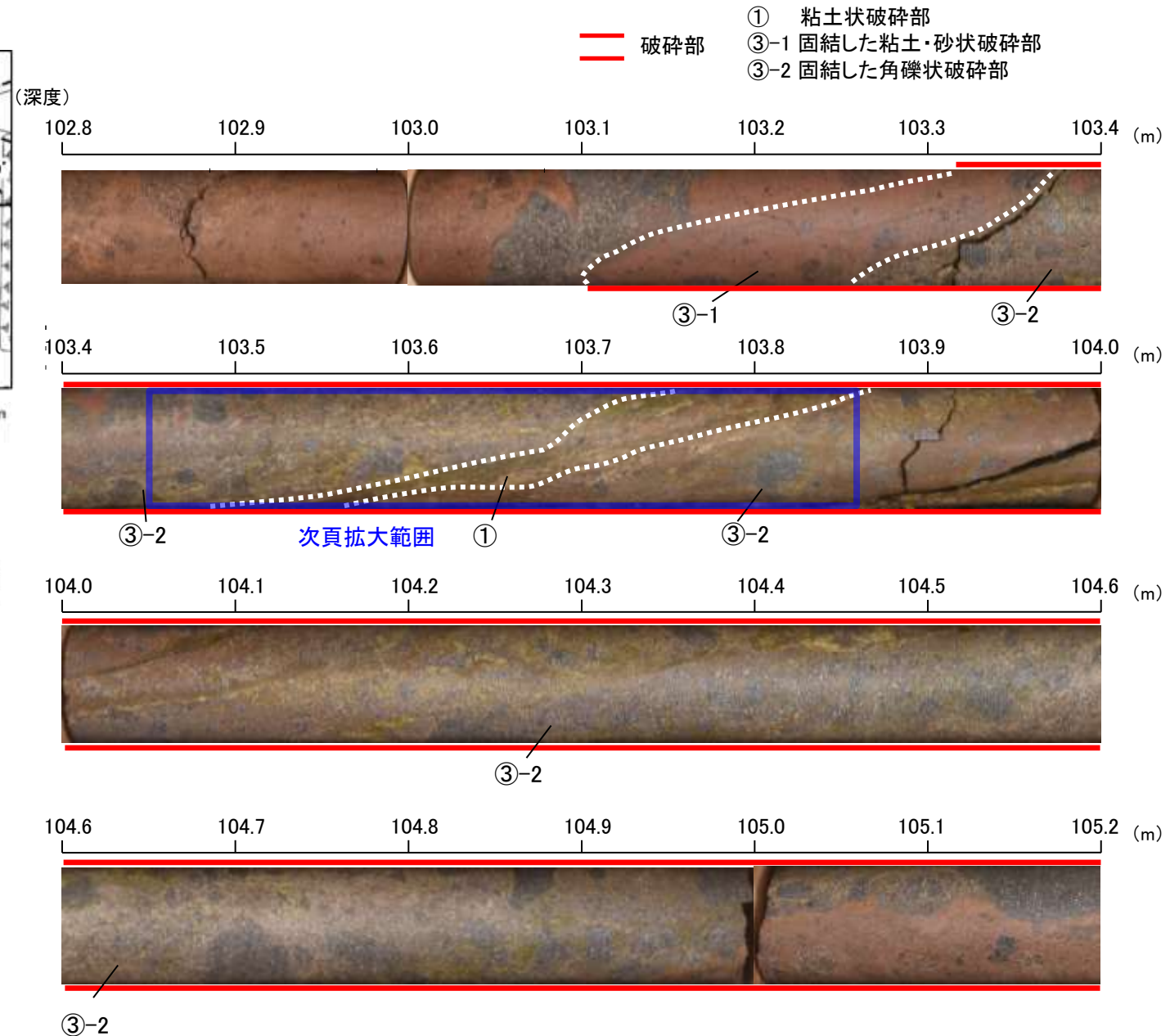
○H-1.1孔の深度103.21～107.30mにおいて、K-2に対応する破砕部が認められる。  
○この破砕部を対象に、コア観察及びCT画像観察により抽出した主せん断面において、薄片観察を実施し、粘土状破砕部の運動方向の水平成分を確認した。一方、固結した破砕部の運動方向及び粘土状破砕部の運動方向の鉛直成分を特定することはできなかった。



位置図



①-①'断面図

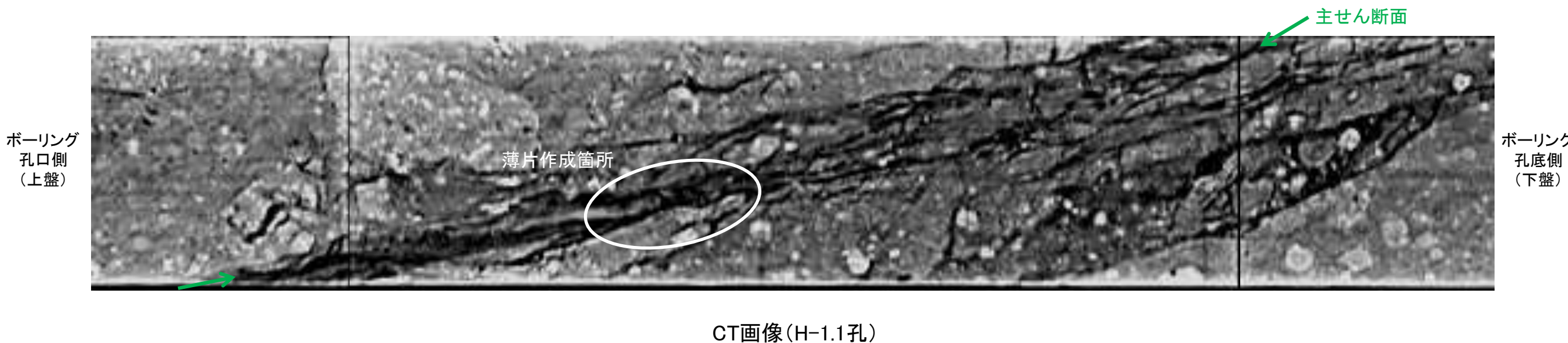


コア観察結果

深度103.21～107.30m:  
 傾斜角65～80°の厚さ71cmの破砕部。厚さ67～70cmの固結した破砕部及び厚さ1.0～3.8cmの暗オリーブ色の粘土状破砕部からなる。

# K-2の運動方向調査結果 —H-1.1孔(コア観察, CT画像観察)—

- コア観察, CT画像観察結果より, 固結した角礫状破碎部に挟まれた深度103.70m付近に, 厚さ1.0~3.8cmの粘土状破碎部が認められる。
- 粘土状破碎部を伴う比較的直線性・連続性がよい面を, 主せん断面として抽出した。
- 主せん断面において, 薄片観察を実施した。

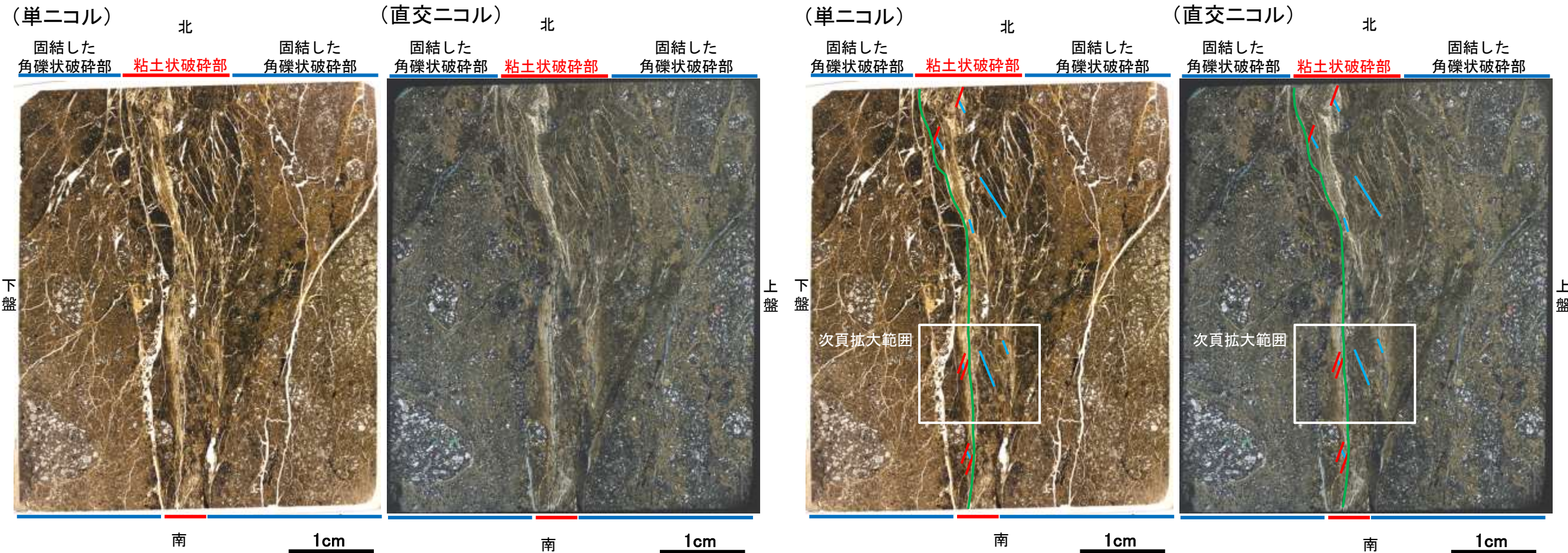




# K-2の運動方向調査結果 —H-1.1孔(薄片観察①)—

- 主せん断面が密着しており，条線観察ができなかったことから，0° R, 90° Rの直交方向で薄片を作成した。
- 主せん断面において0° Rで作成した薄片観察の結果，下盤側から固結した角礫状破碎部，粘土状破碎部，固結した角礫状破碎部※に分帯される。
- 粘土状破碎部中にY面が認められる。このY面は，凹凸を伴いつつ湾曲し，直線性に乏しい。
- その他，薄片内にY面に相当する構造は認められない。

※分帯名はコア観察での破碎部区分に対応



薄片写真(H-1.1\_0R)  
(右は構造等を加筆)

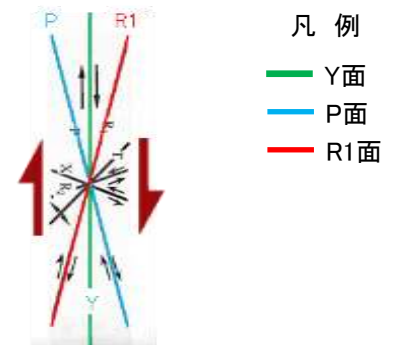
見かけ右横ずれ

## 薄片観察結果

**固結した角礫状破碎部(下盤側):**  
単ニコルで淡褐～暗褐色，直交ニコルで黄褐～暗褐色の干渉色を呈する。径12mm以下の岩片や鉱物片が細粒な基質中に含まれる。岩片，鉱物片は垂角～垂円形である。基質中や岩片の縁辺部には粘土鉱物が生成されている。

**粘土状破碎部:**  
単ニコルで暗褐色，直交ニコルで黄褐～暗褐色の干渉色を呈する。径3mm以下の岩片や鉱物片が細粒な基質中に含まれる。岩片，鉱物片は垂角～垂円形である。Y面付近や割れ目沿いには，単ニコルで無色透明～淡褐色，直交ニコルで白～黄色の干渉色を呈する粘土鉱物が生成されている。その他に，単ニコルで無色透明～淡褐色，直交ニコルで灰色～暗褐色を呈する鉱物脈が形成されている。

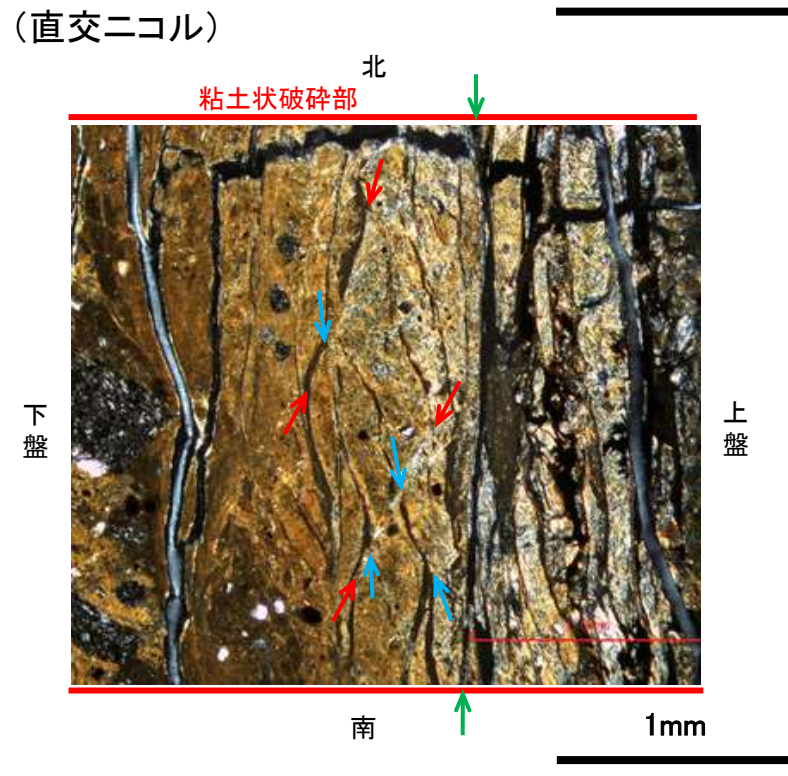
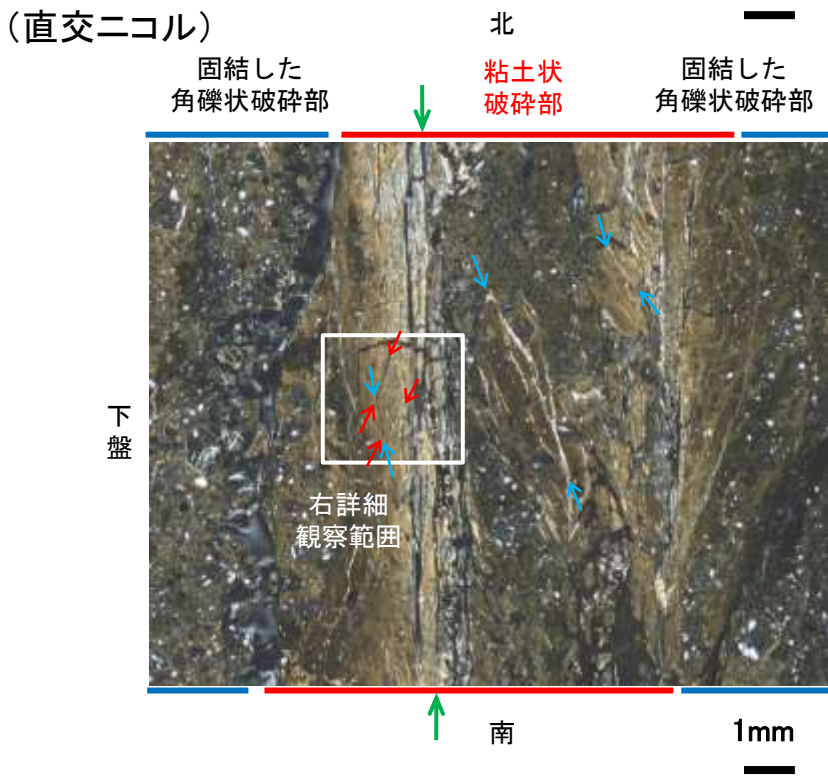
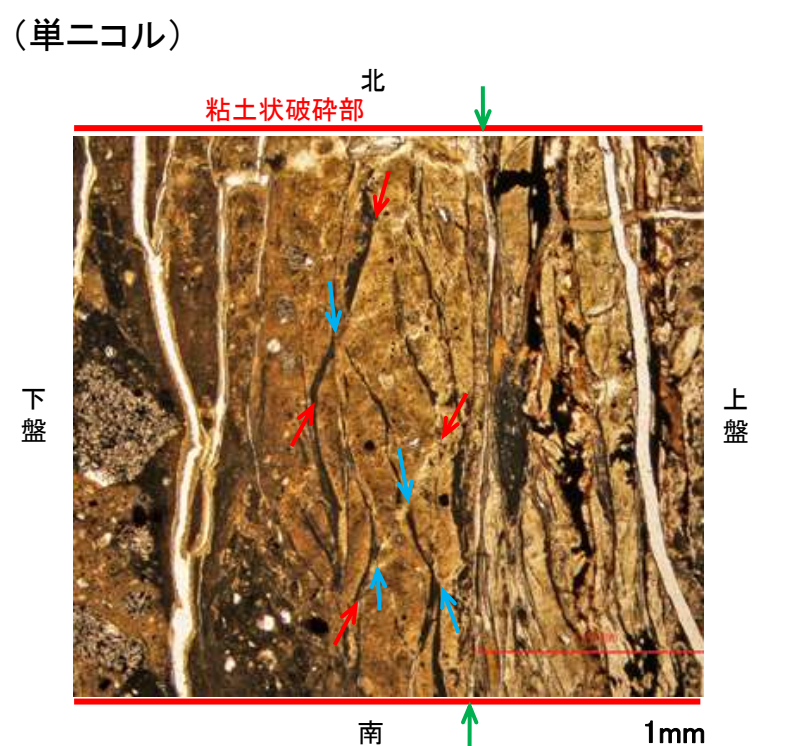
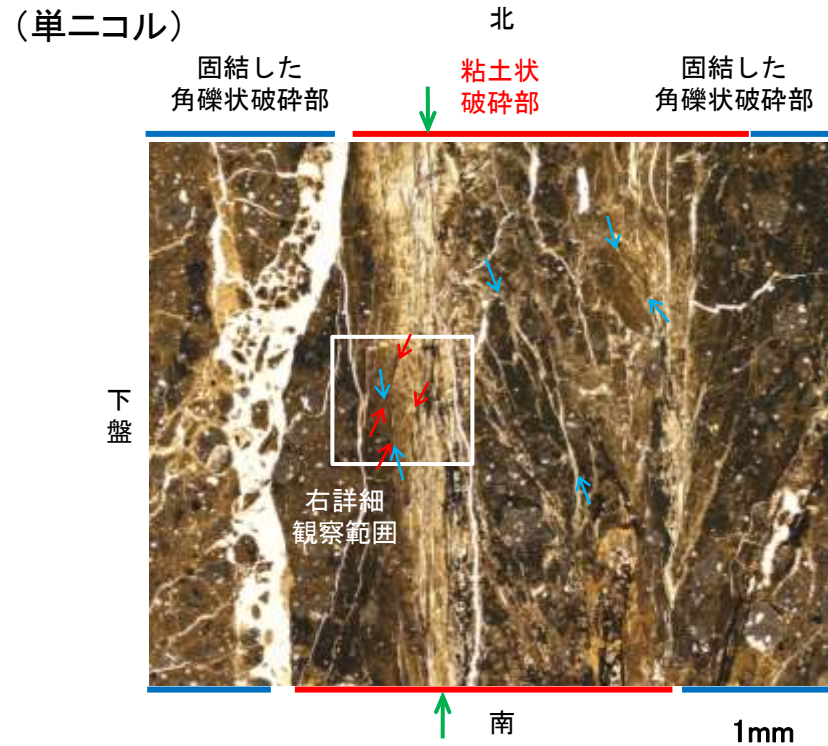
**固結した角礫状破碎部(上盤側):**  
単ニコルで淡褐～暗褐色，直交ニコルで黄褐～暗褐色の干渉色を呈する。径20mm以下の岩片や鉱物片が細粒な基質中に含まれる。岩片，鉱物片は垂角～垂円形である。基質中や割れ目，岩片の縁辺部には粘土鉱物が生成されている。



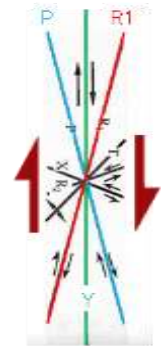
せん断センスを示す複合面構造  
(狩野・村田(1998)に加筆)

# K-2の運動方向調査結果 —H-1.1孔(薄片観察①, 詳細観察)—

- 固結した角礫状破碎部中には複合面構造は認められず、変位センスは特定できない。
- 粘土状破碎部中の粘土鉱物の定向配列をP面とし、粘土鉱物の配列を切断する微細な割れ目をR1面とすると、見かけ右横ずれの変位が推定される。
- 断層の走向傾斜がN21° E/80° SE, 薄片作成方向が0° Rであることから、粘土状破碎部の運動方向の水平成分は右横ずれである。



見かけ右横ずれ



せん断センスを示す複合面構造 (狩野・村田(1998)に加筆)

- 凡例
- ← Y面
  - ← P面
  - ← R1面

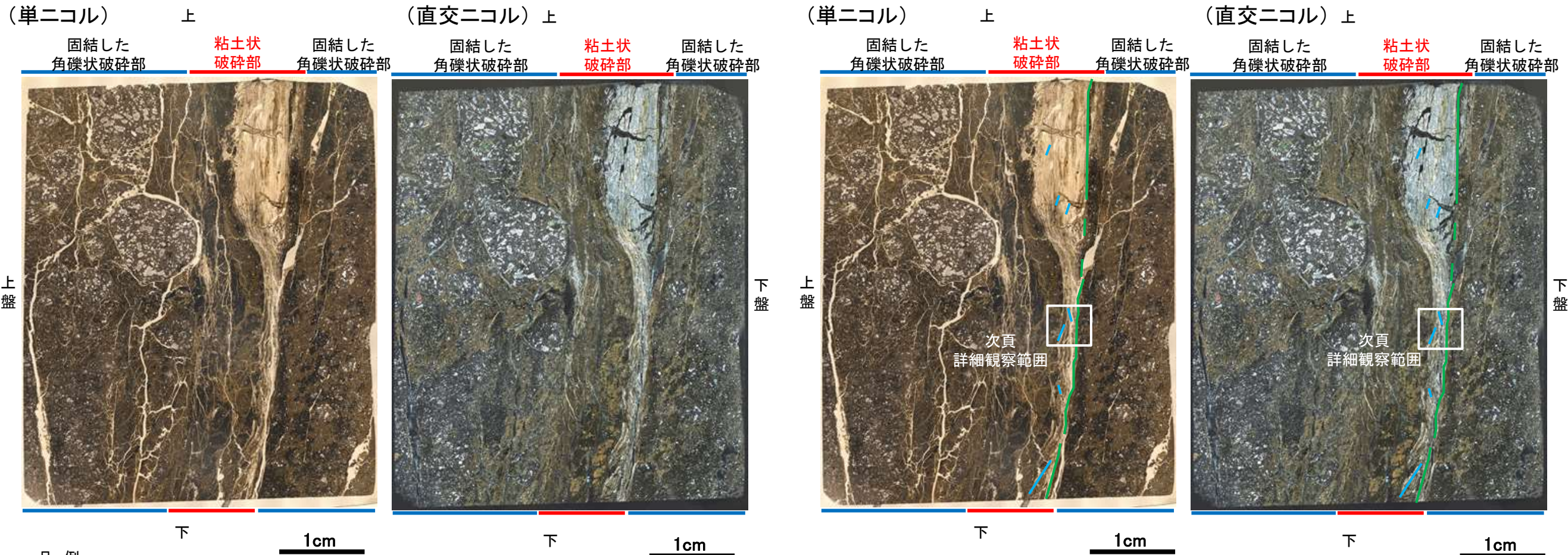
拡大範囲写真

詳細観察範囲写真

# K-2の運動方向調査結果 —H-1.1孔(薄片観察②)—

- 主せん断面において90° Rで作成した薄片観察の結果, 上盤側から固結した角礫状破碎部, 粘土状破碎部, 固結した角礫状破碎部※に分帯される。
- 粘土状破碎部中にY面が認められる。このY面は, 一部で鉱物脈によって切断され, 断続的になり, 連続性に乏しい。
- なおこの鉱物脈は, **補足資料2.4-2** P.2.4-2-26のX線回折分析結果を踏まえると, オパールCTであると判断される。
- その他, 薄片内にY面に相当する構造は認められない。

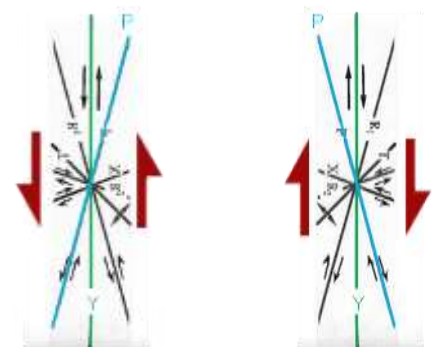
※分帯名はコア観察での破碎部区分に対応



凡例  
— Y面  
— P面

薄片写真(H-1.1\_90R)  
(右は構造等を加筆)

見かけ上盤側下がり 見かけ上盤側上がり



せん断センスを示す複合面構造  
(狩野・村田(1998)に加筆)

## 薄片観察結果

**固結した角礫状破碎部(上盤側):**  
単ニコルで暗褐色, 直交ニコルで淡褐~暗褐色の干渉色を呈する。径15mm以下の岩片や鉱物片が細粒な基質中に含まれる。岩片, 鉱物片は垂角~垂円形である。

**粘土状破碎部:**  
単ニコルで暗褐色, 直交ニコルで黄褐~暗褐色の干渉色を呈する。径2mm以下の岩片や鉱物片が細粒な基質中に含まれる。岩片, 鉱物片は垂角~垂円形である。Y面付近や割れ目沿いには, 単ニコルで無色透明~淡褐色, 直交ニコルで白~黄色の干渉色を呈する粘土鉱物が生成されている。その他に, 単ニコルで無色透明~淡褐色, 直交ニコルで灰~暗黒色を呈する鉱物脈が形成されている。

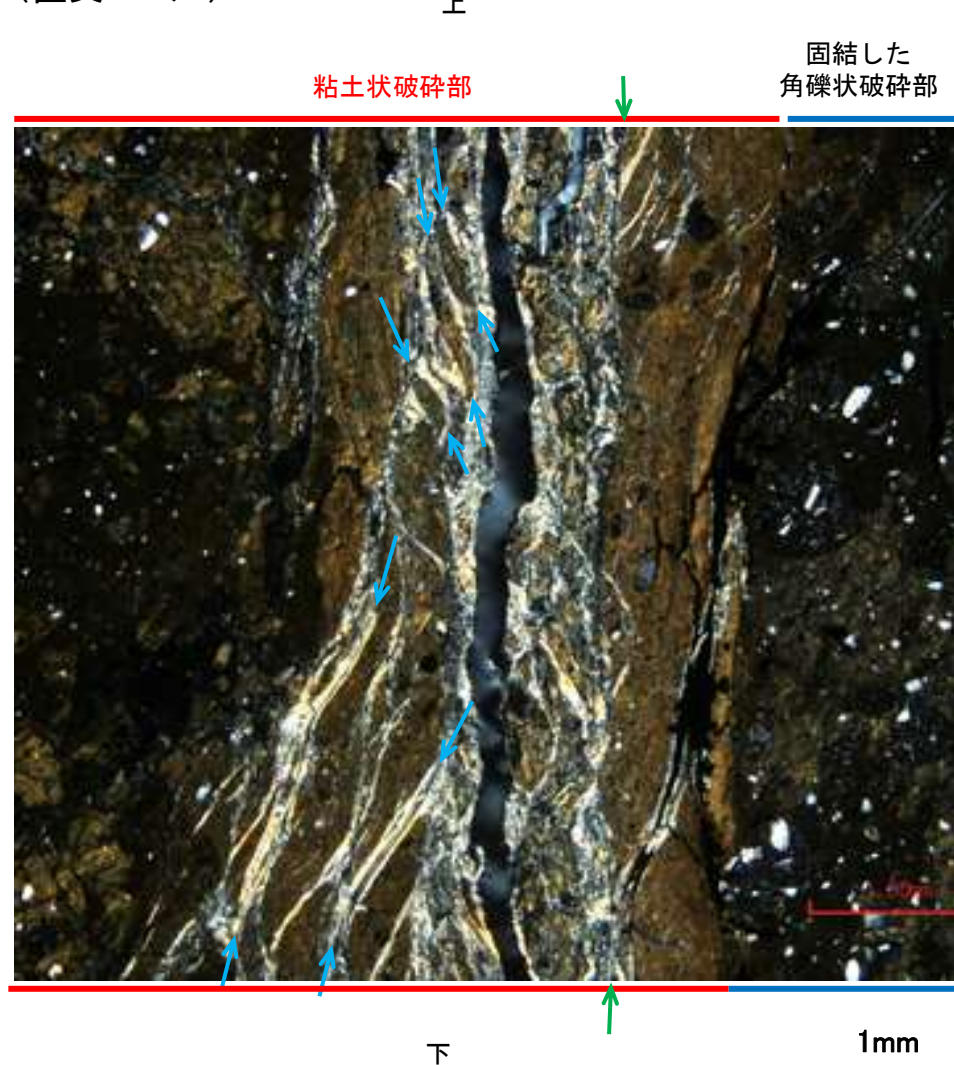
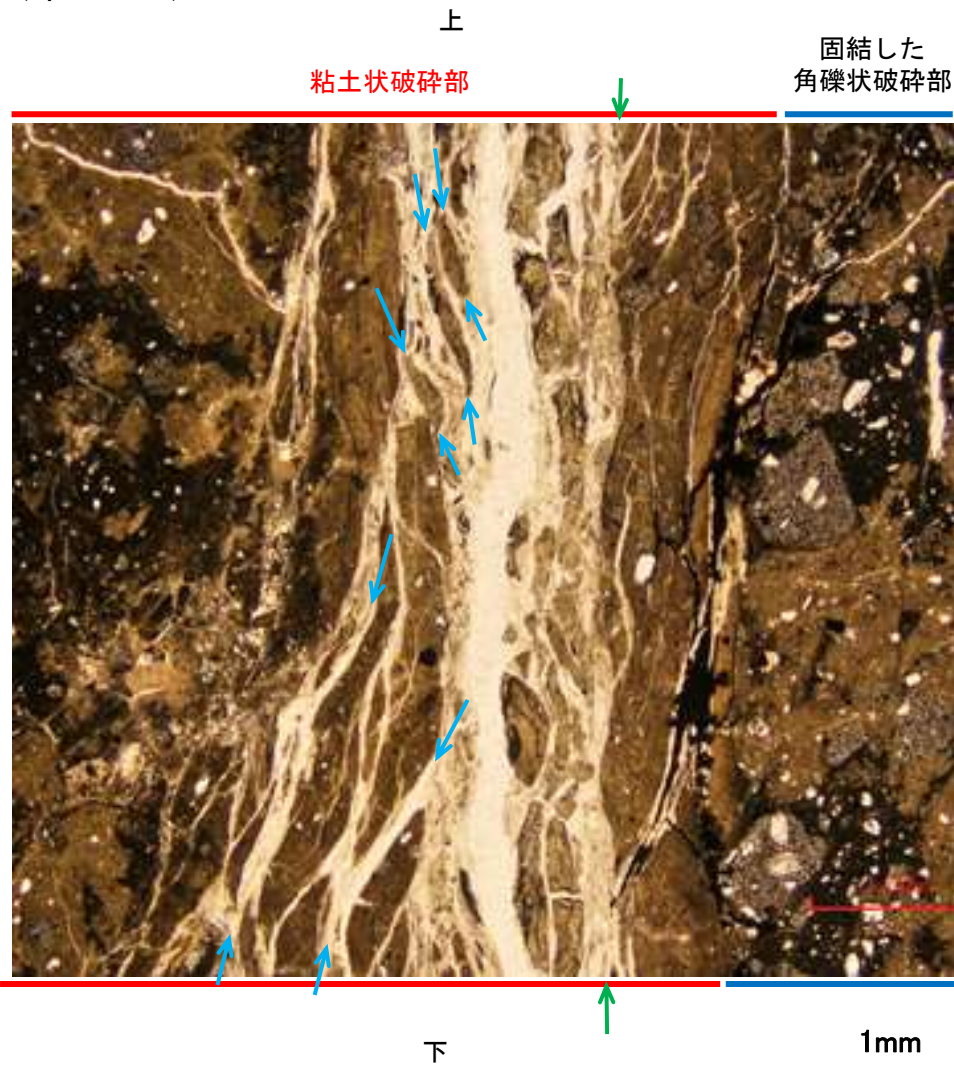
**固結した角礫状破碎部(下盤側):**  
単ニコルで暗褐色, 直交ニコルで黄褐~暗褐色の干渉色を呈する。径3mm以下の岩片や鉱物片が細粒な基質中に含まれる。岩片, 鉱物片の形状は垂角~垂円形である。基質中や岩片の縁辺部には粘土鉱物が生成されている。

# K-2の運動方向調査結果 —H-1.1孔(薄片観察②, 詳細観察)—

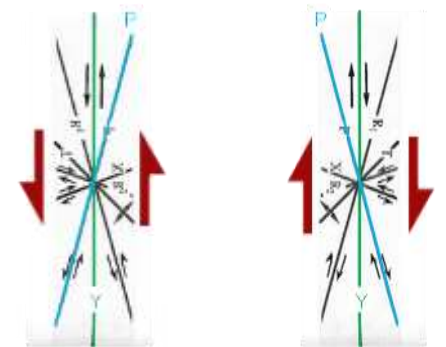
○固結した角礫状破碎部中には複合面構造は認められず、変位センスは特定できない。  
○粘土状破碎部中の岩片や粘土鉱物の定向配列をP面とすると、見かけ上盤側上がり及び見かけ上盤側下がりとの異なる変位センスを読み取ることができる。これらは前後関係が不明であり、最新の運動方向を特定できない。

(単ニコル)

(直交ニコル)



見かけ上盤側下がり 見かけ上盤側上がり



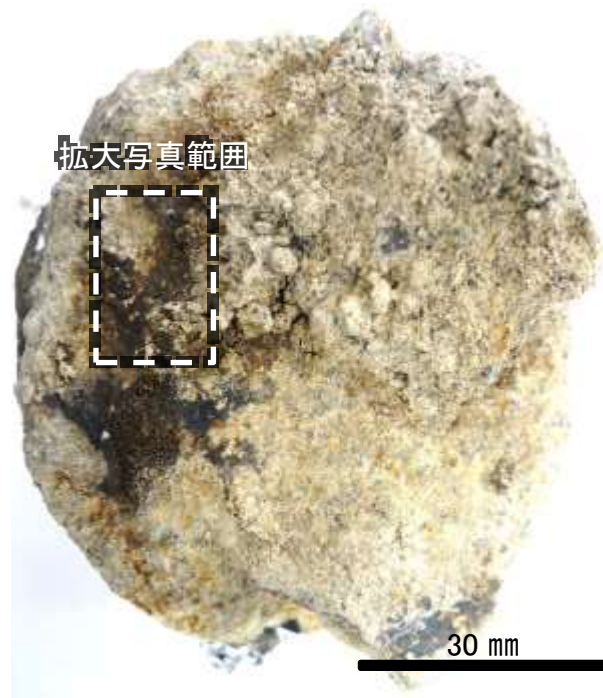
せん断センスを示す複合面構造  
(狩野・村田(1998)に加筆)

凡例

- Y面
- P面

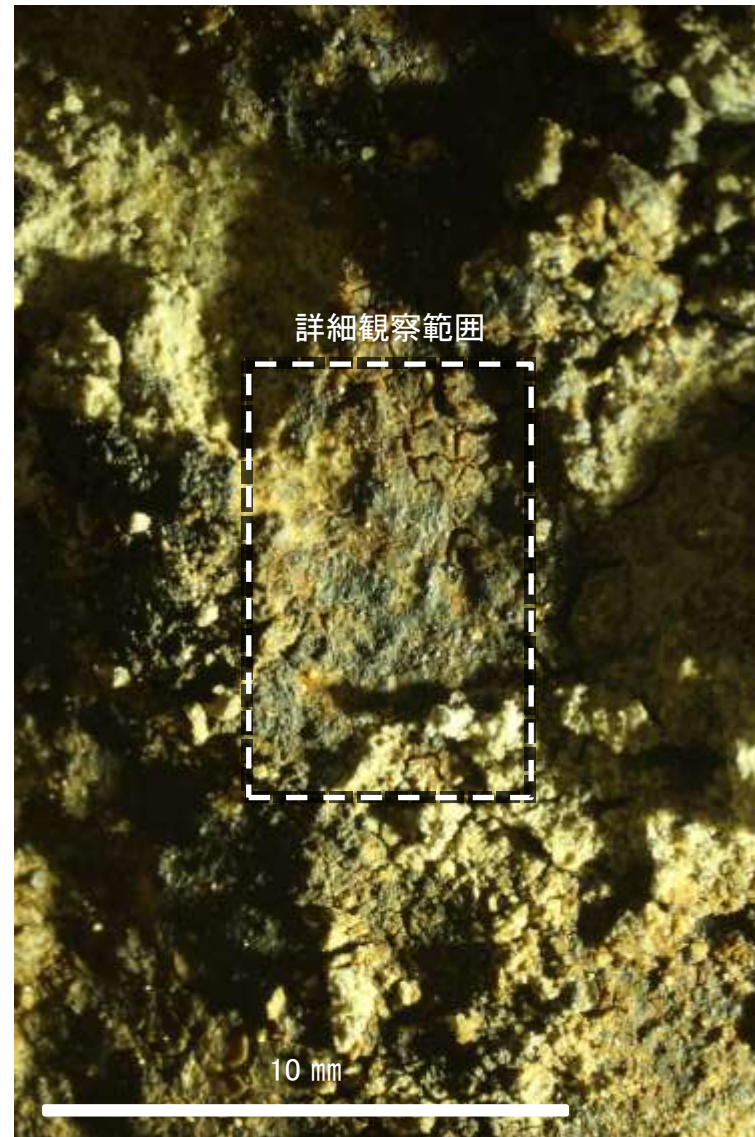
詳細観察範囲写真

# 条線観察結果 ボーリングH-0.9-50孔[深度20.93m](上盤側)



拡大写真範囲

観察面写真



詳細観察範囲

観察面拡大写真



詳細観察写真

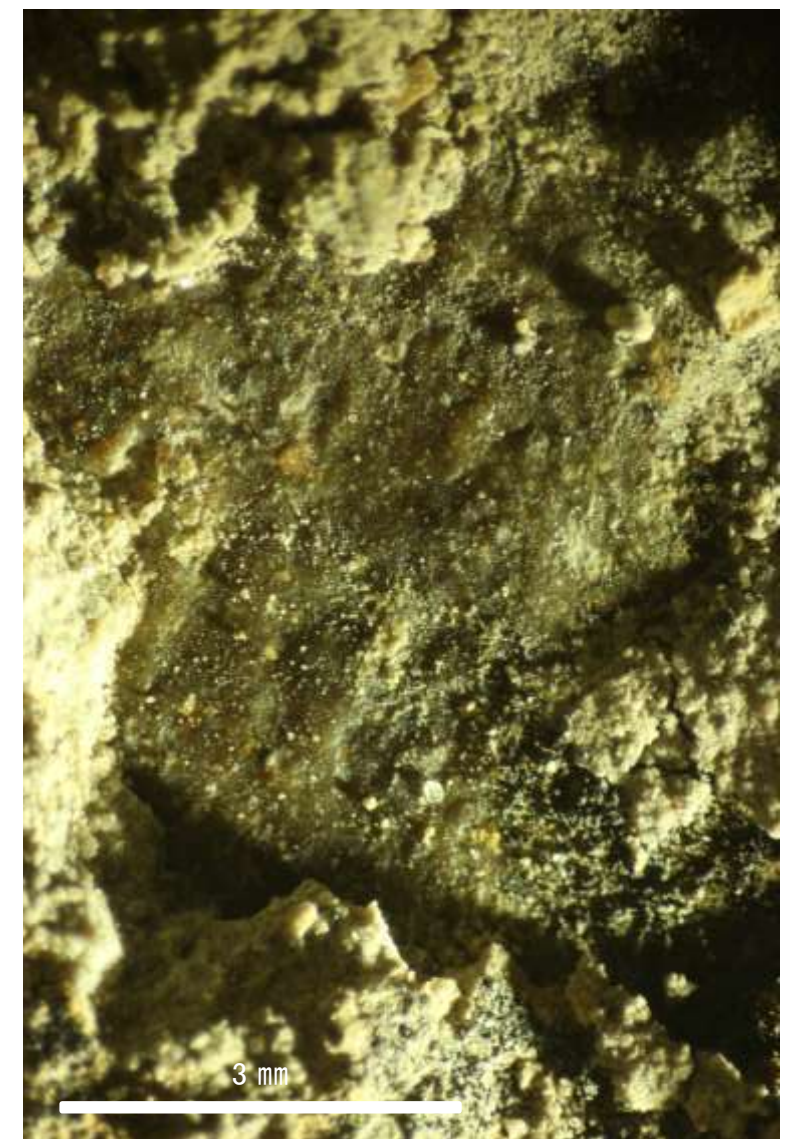
・条線，変位センスは不明



観察面写真



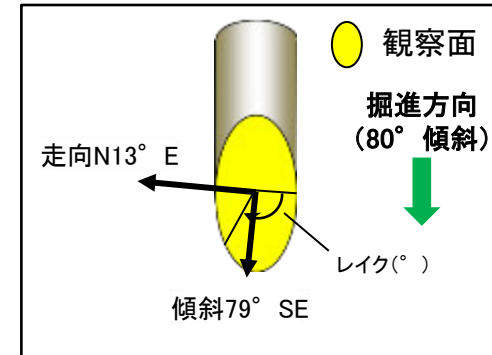
観察面拡大写真



詳細観察写真

・条線，変位センスは不明

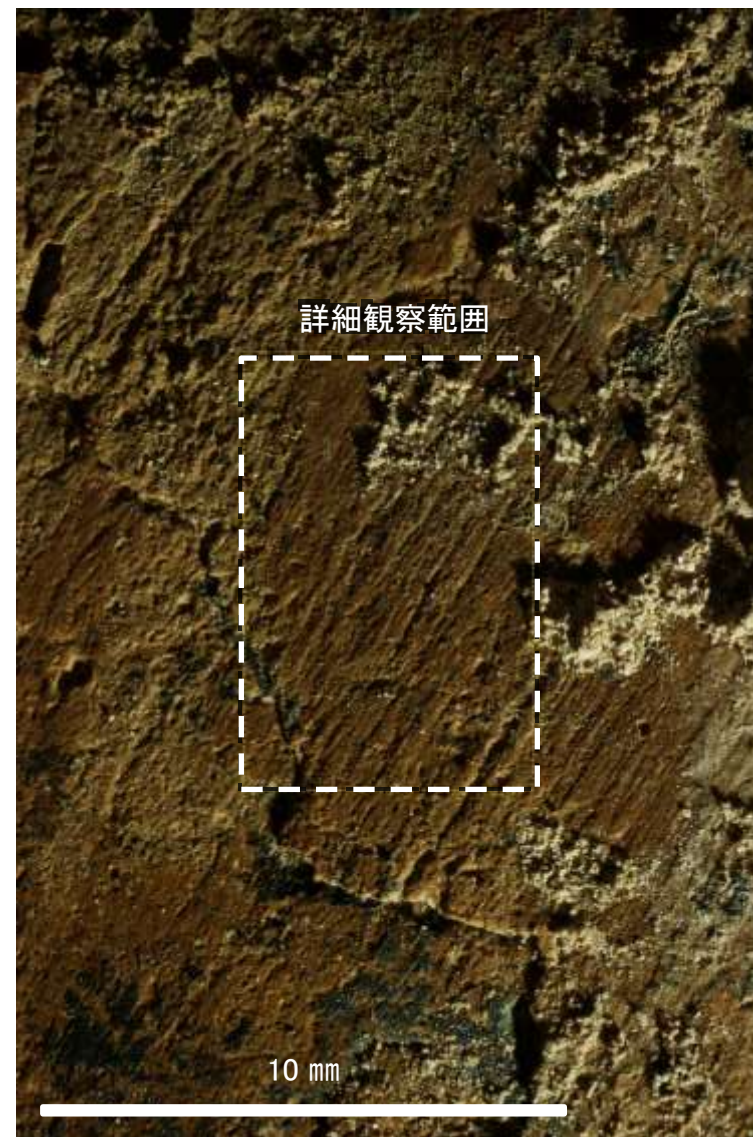
# 条線観察結果 ボーリングH-1.1-80孔[深度64.13m](上盤側)



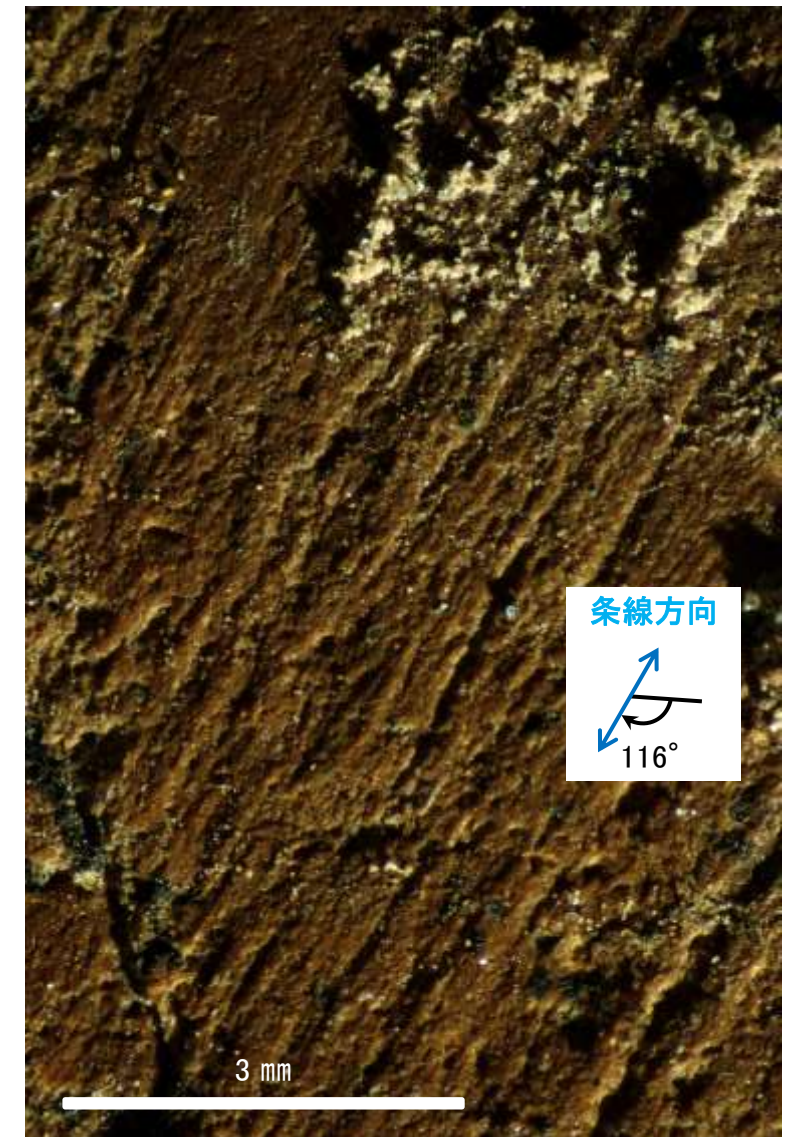
概念図  
※走向は真北で示す。



観察面写真

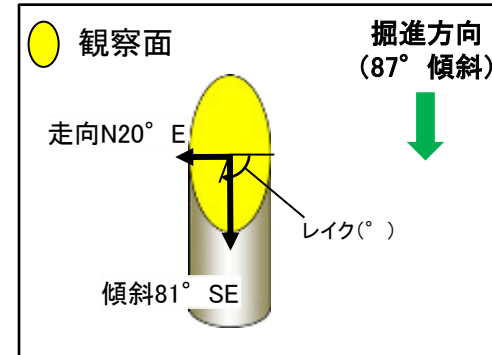


観察面拡大写真



詳細観察写真

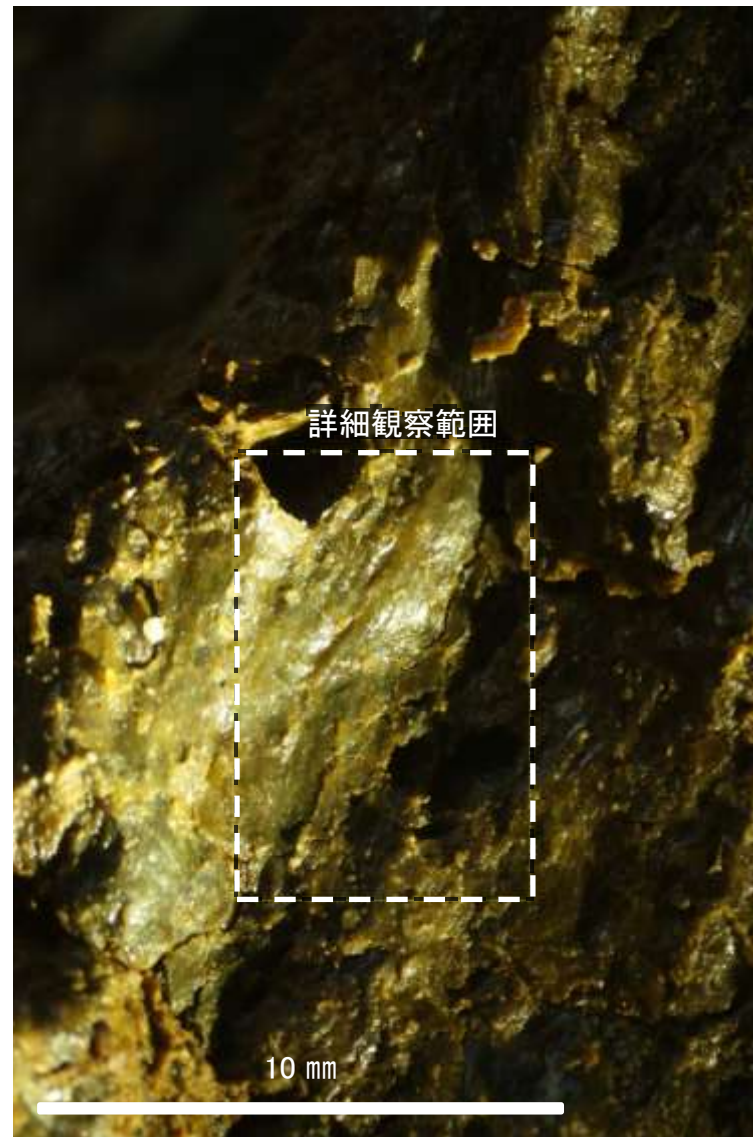
・条線のレイクは64° R (下盤側換算), 変位センスは不明



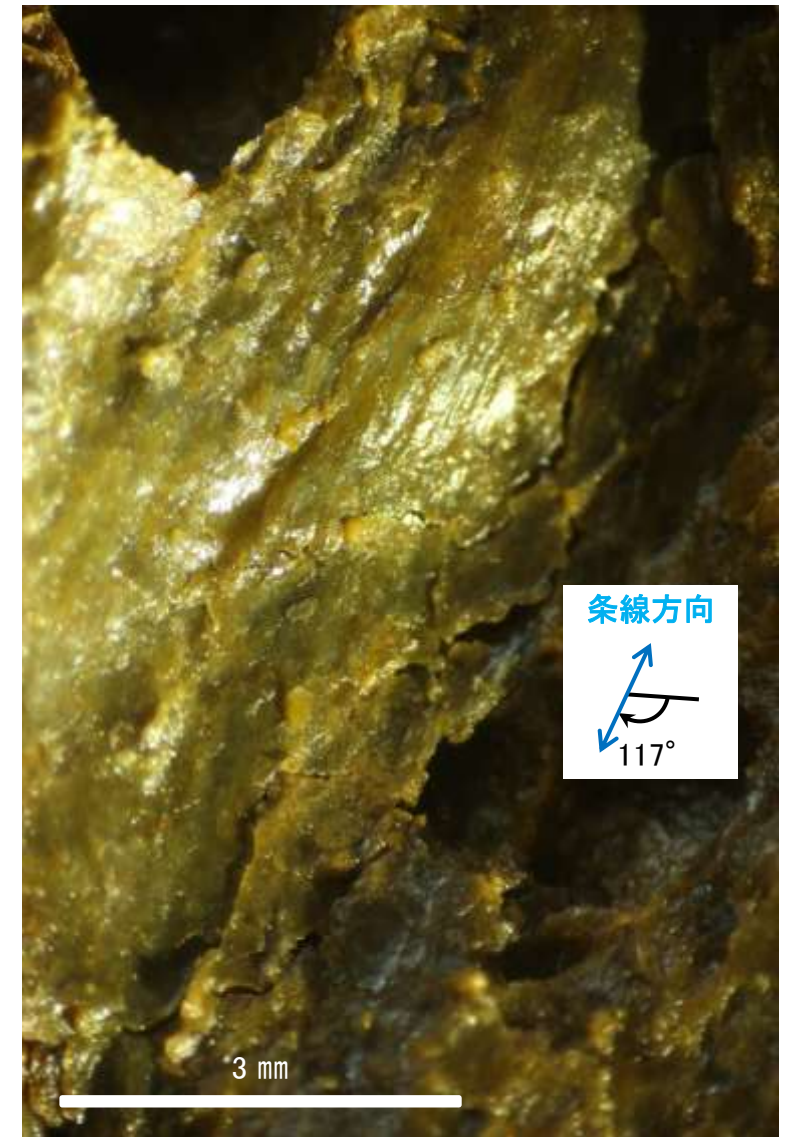
概念図  
※走向は真北で示す。



観察面写真



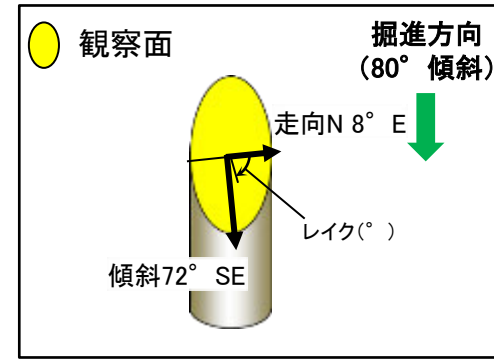
観察面拡大写真



詳細観察写真

・条線のレイクは $117^{\circ}$  R (下盤側換算), 変位センスは不明

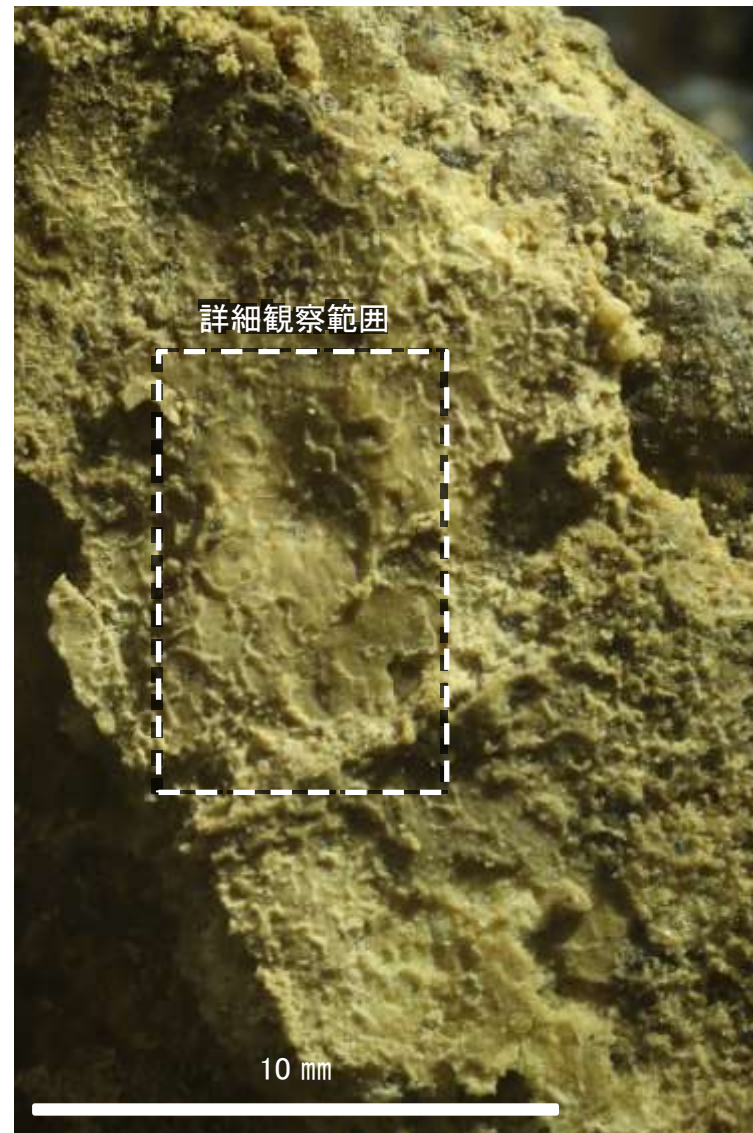




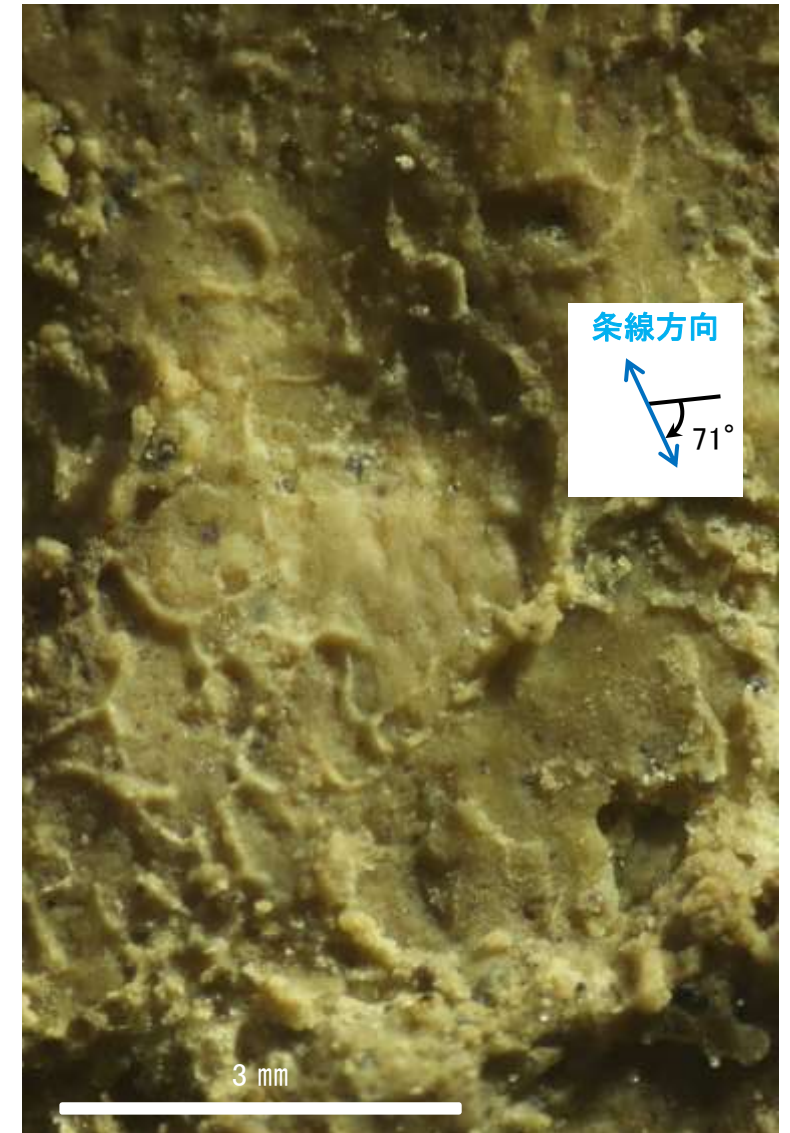
概念図  
※走向は真北で示す。



観察面写真



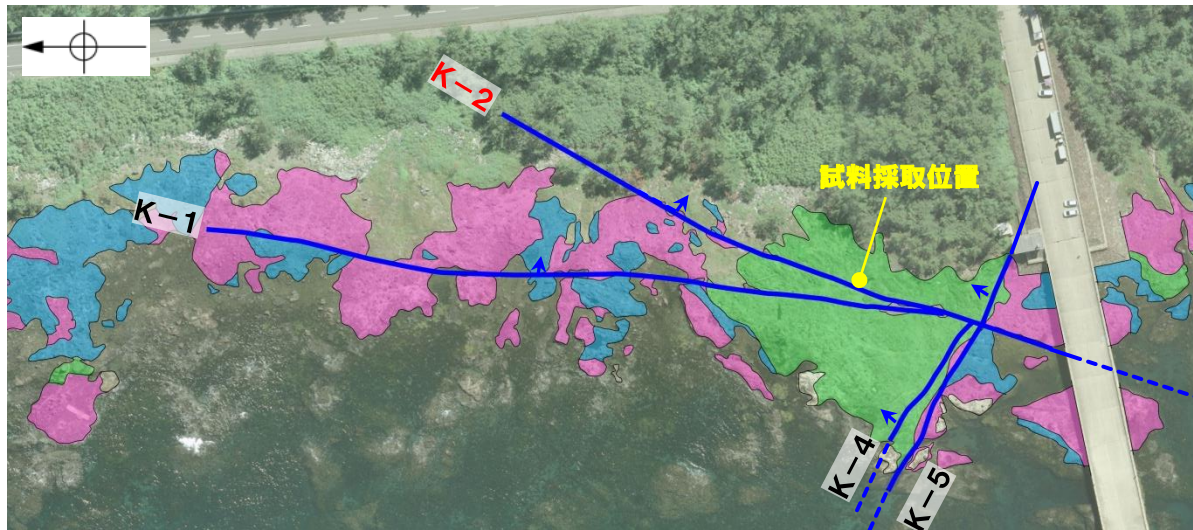
観察面拡大写真



詳細観察写真

・条線のレイクは71° R, 変位センスは不明

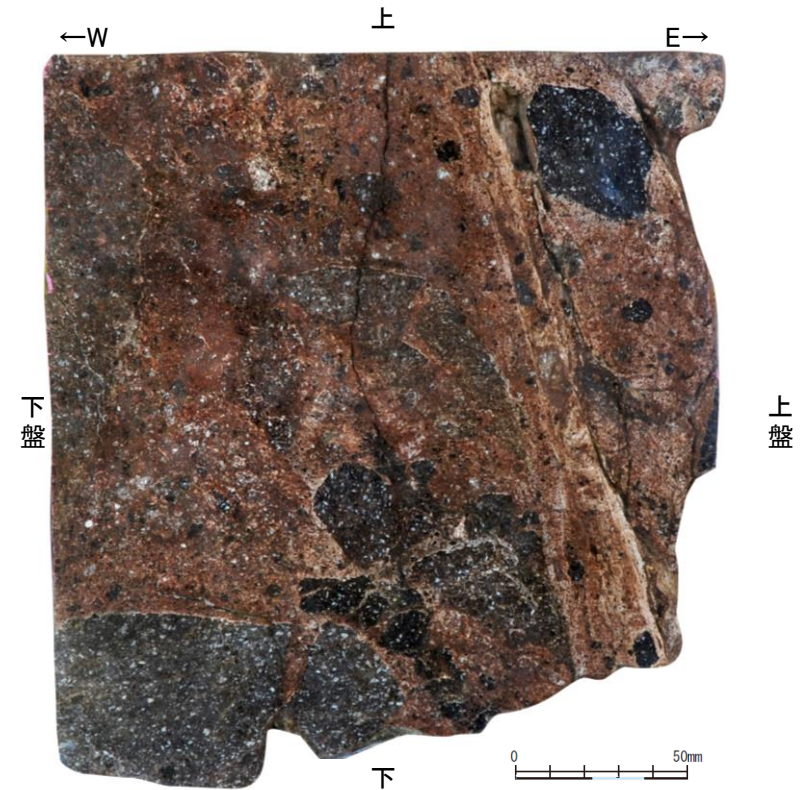
# K-2(研磨片観察)



- 凡例
- 別所岳安山岩類 安山岩(均質)
  - 別所岳安山岩類 安山岩(角礫質)
  - 別所岳安山岩類 凝灰角礫岩
  - 試料採取位置
  - 断層(地表面)  
(破線はさらに延長する可能性のある箇所)

矢印(▲)の向きは断層の傾斜方向を示す

調査位置図(海岸部露岩域)



←N →S→

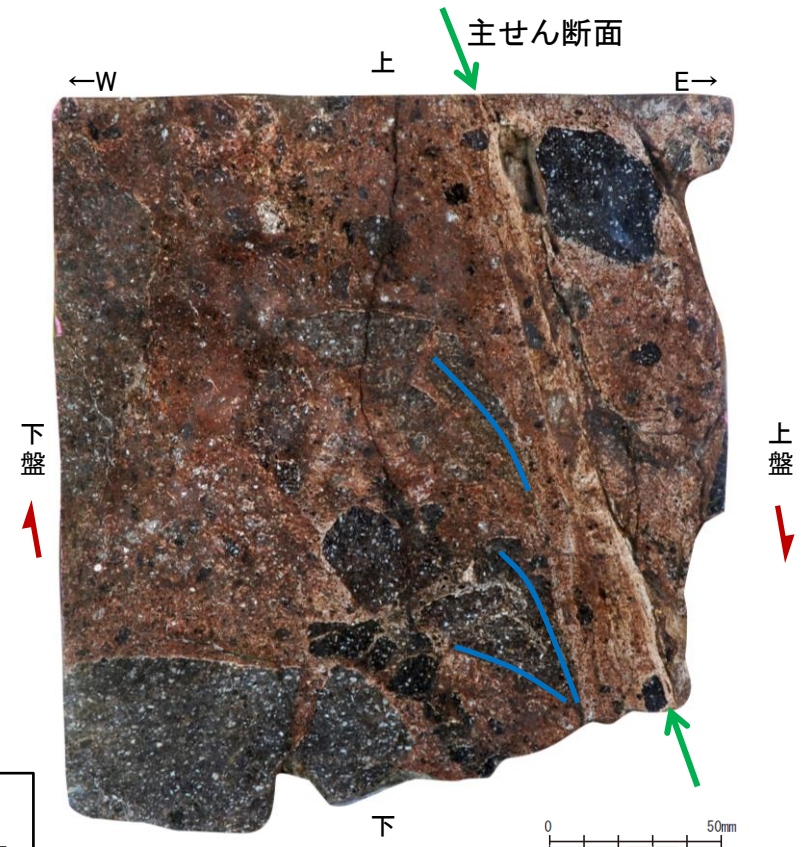


固結した破砕部

試料採取位置

凡例

- P面
- ↖ 変位方向



研磨片写真(下は変形構造を加筆)

・固結した破砕部中の変形構造から、見かけ上盤側下がりの変位が推定され、正断層センスが認定できる。

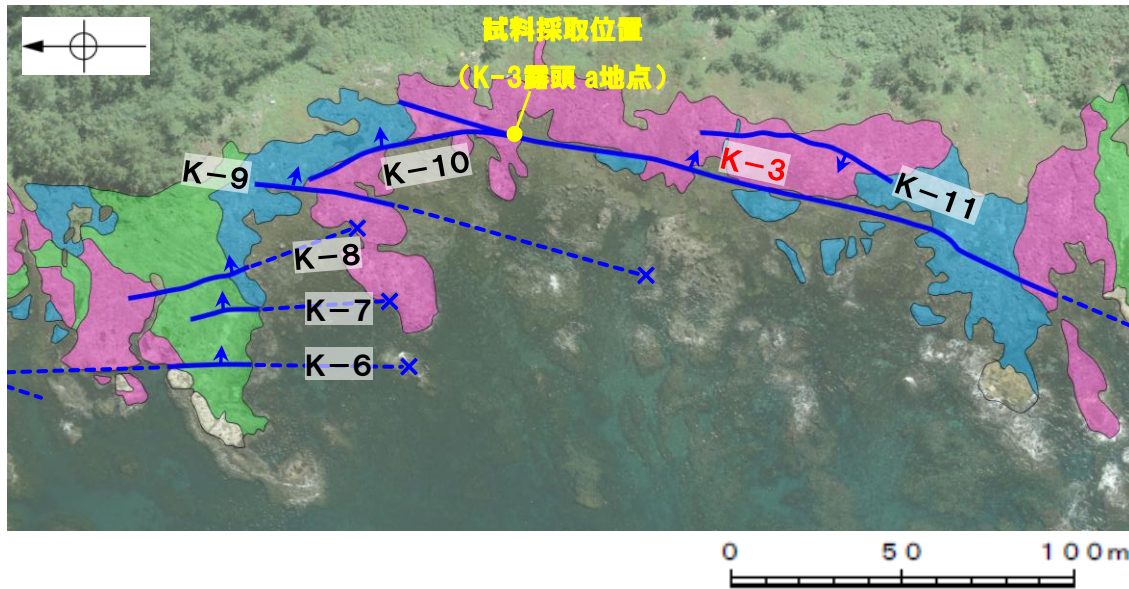
---

(14) K-3の運動方向調査結果

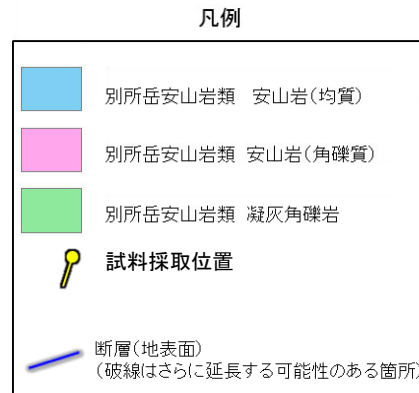
# K-3露頭 a地点 (研磨片観察)

研磨片観察結果(固結した破碎部)	
研磨片番号	変位センス
ブロックサンプル (K-3露頭 a地点)	正断層

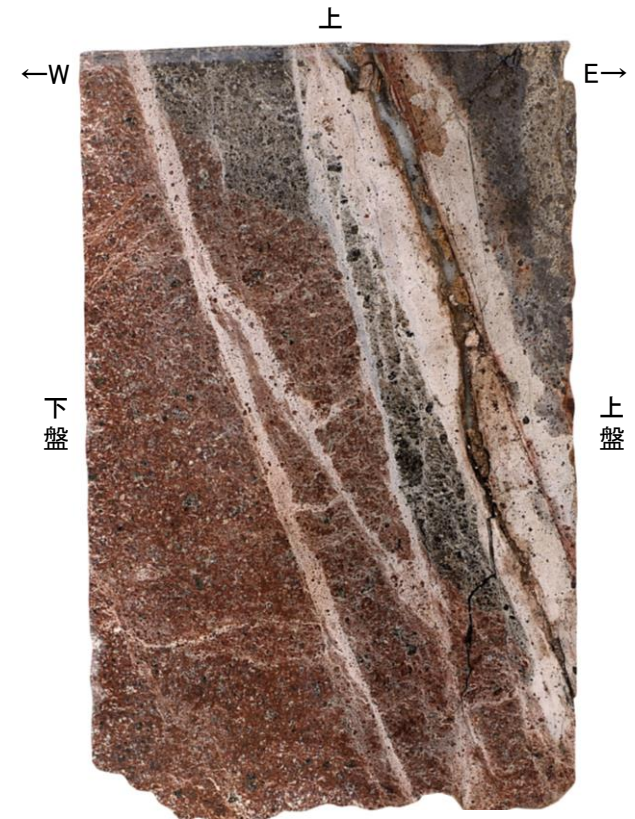
\* ブロックサンプルを鉛直方向に切断して研磨片を作成した。



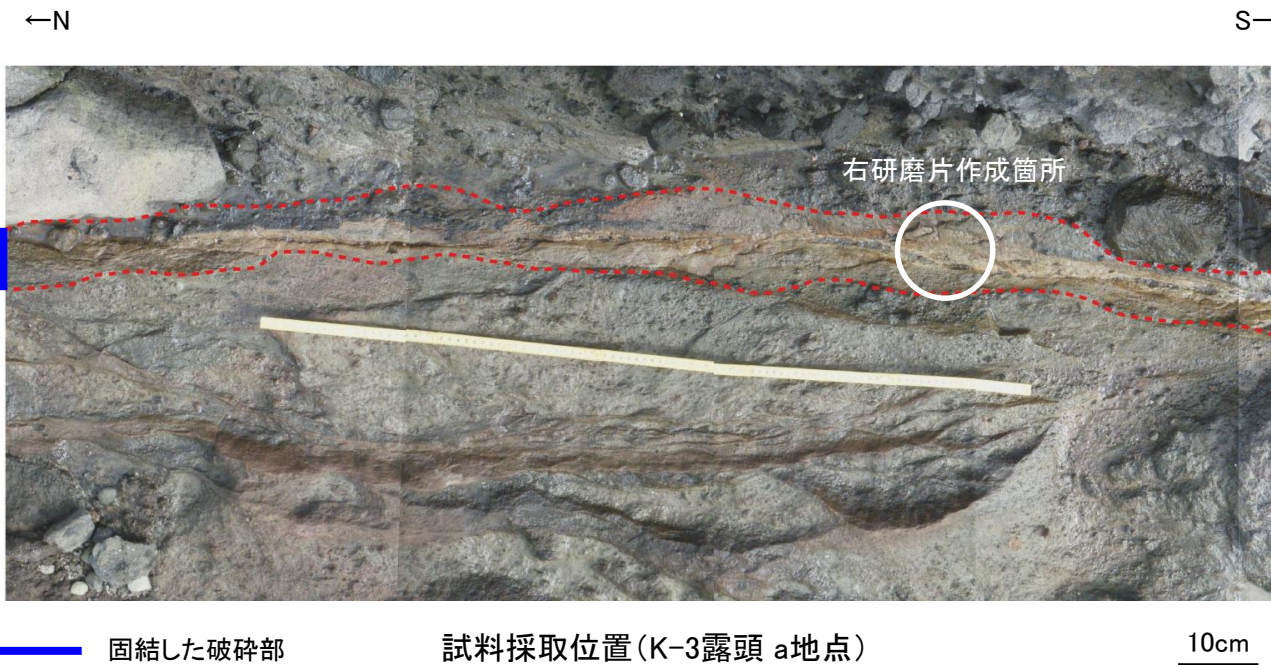
調査位置図(海岸部露岩域)



矢印(↑)の向きは断層の傾斜方向を示す

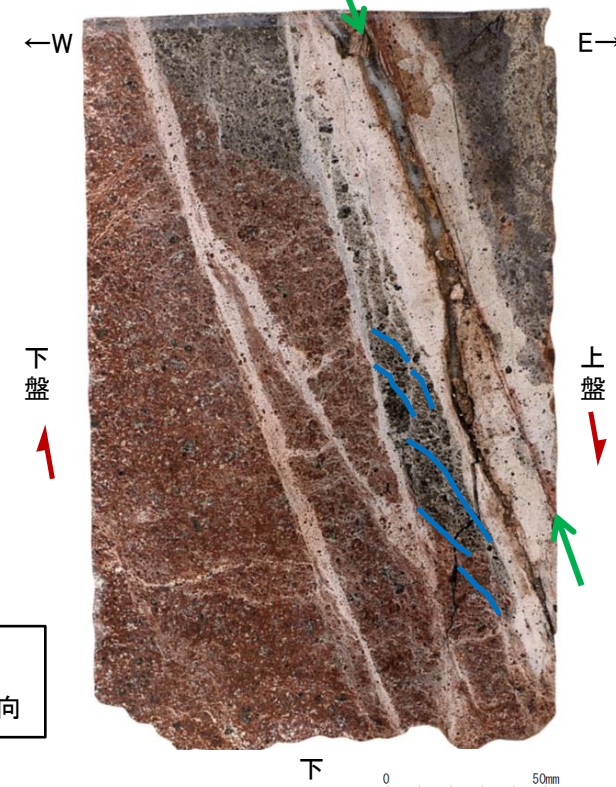
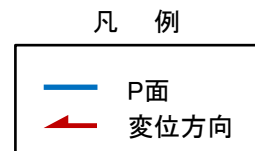


主せん断面  
0 50mm



試料採取位置(K-3露頭 a地点)

10cm



0 50mm

・固結した破碎部中の変形構造から、見かけ上盤側下がりの変位が推定され、正断層センスが認定できる。

研磨片写真(下は変形構造を加筆)

---

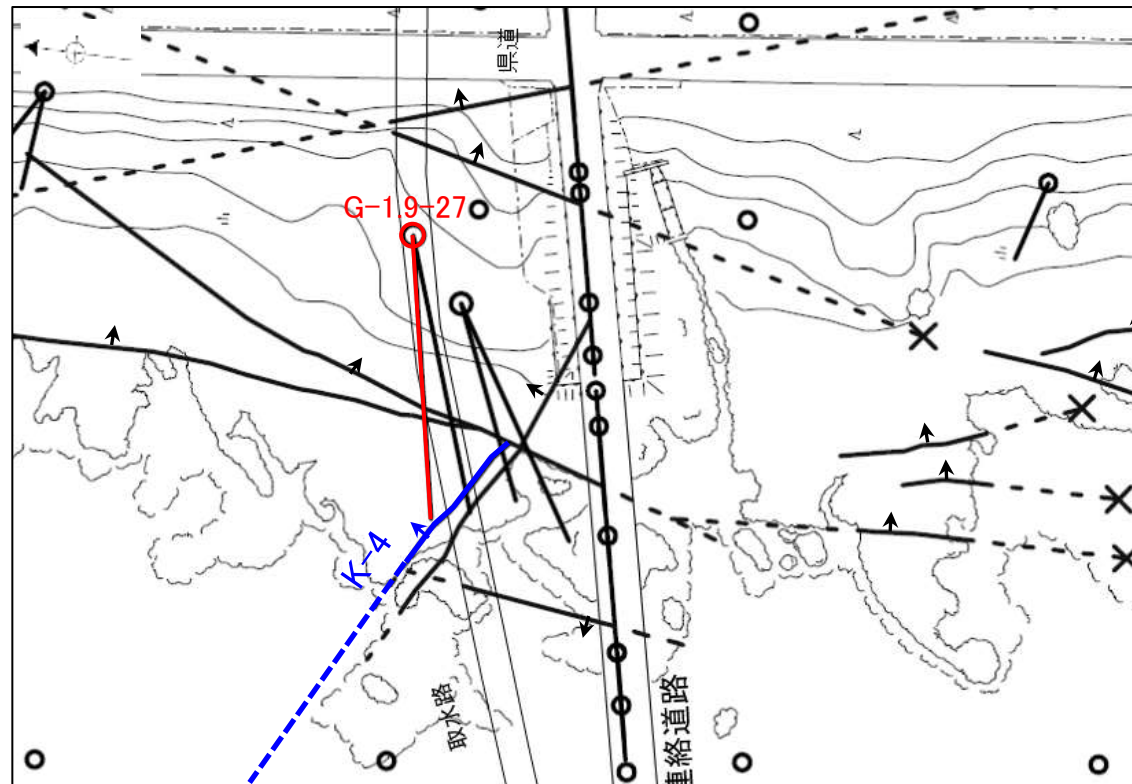
(15) K-4の運動方向調査結果

# K-4の条線観察結果

試料名		走向/傾斜 (走向は真北)	条線の レイク <sup>※1, 2</sup>	変位センス
ボーリングG-1.9-27孔 [深度84.69m]	下盤側	N52° W/68° NE	71° R	(不明)

※1 上盤側で確認したレイクは下盤側に換算して示す。

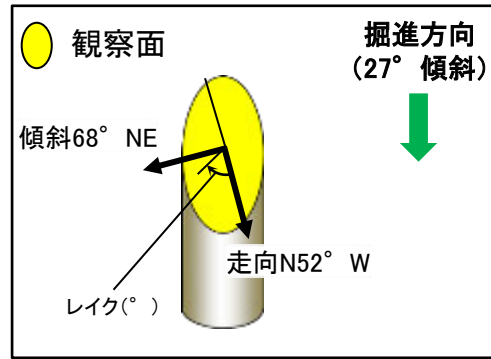
※2 新旧対比ができる条線は最新のレイクのみ示す。



- 鉛直ボーリング孔
- ⊙ 斜めボーリング孔
- 条線観察箇所
- 基礎掘削面
- K-4 (EL. 0m)  
(破線はさらに延長する可能性のある箇所)
- K-4以外の断層 (EL. 0m)  
(破線はさらに延長する可能性のある箇所)  
(K-18, K-19については地表付近まで連続しないため記載していない)

矢印(▲)の向きは断層の傾斜方向を示す

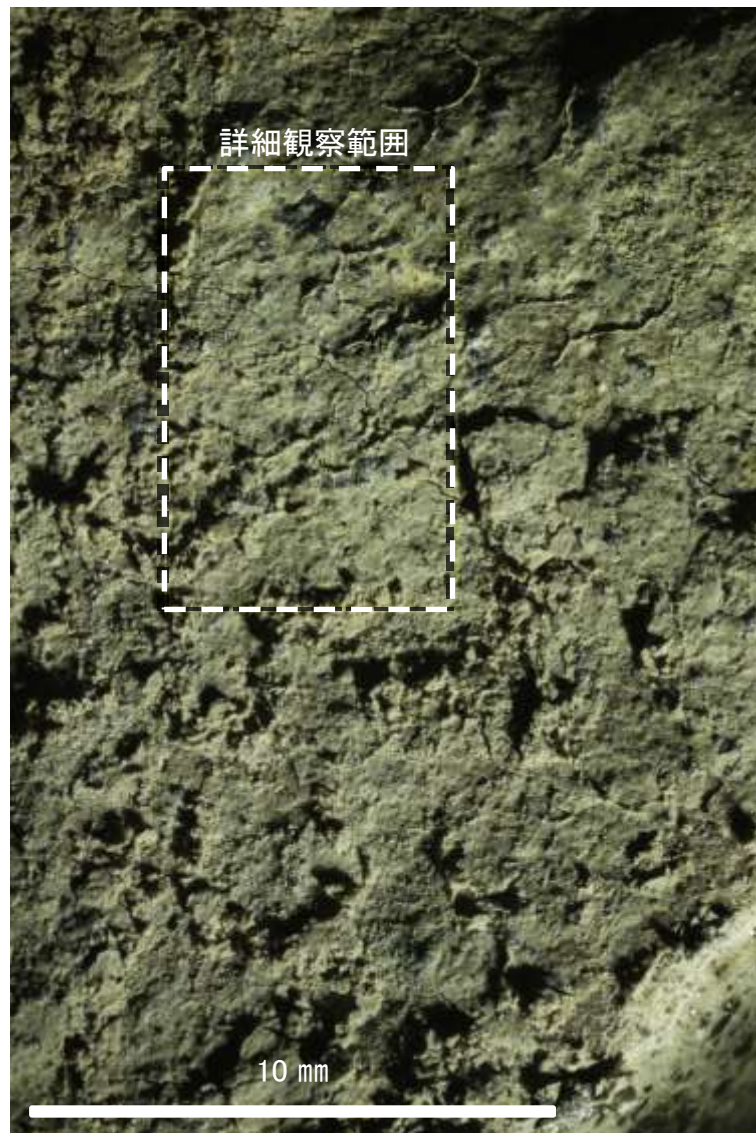
位置図



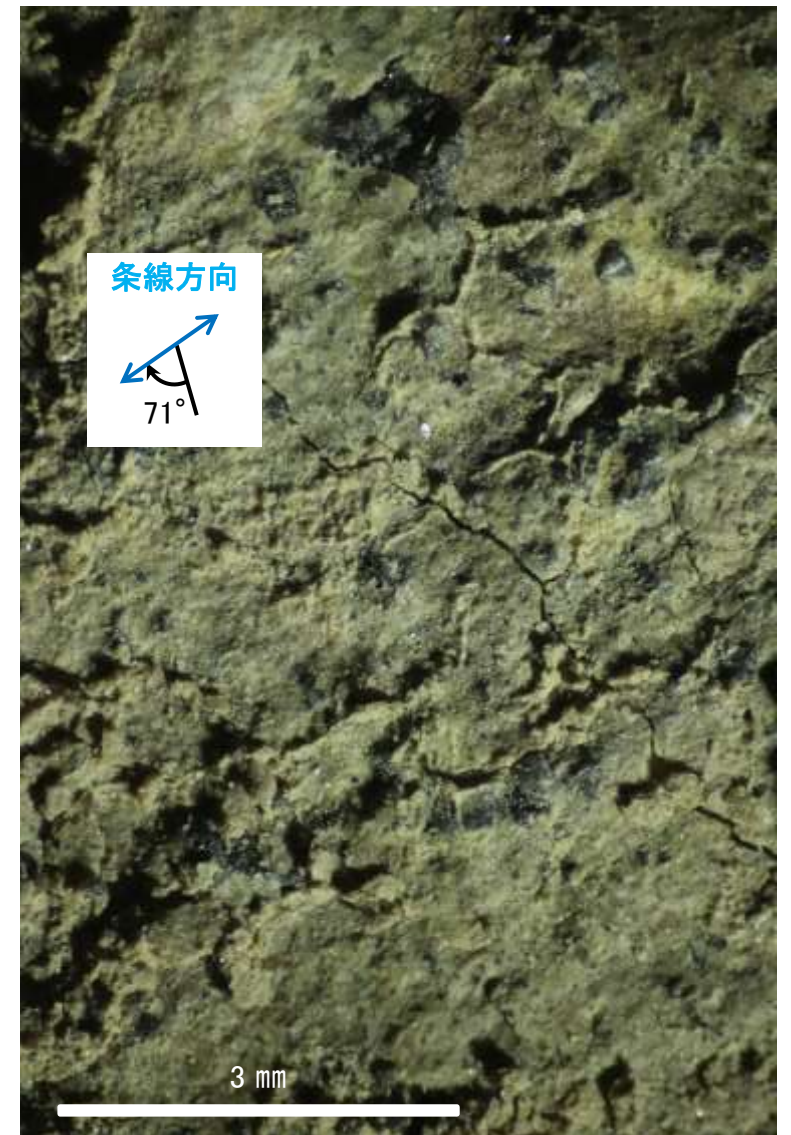
概念図  
※走向は真北で示す。



観察面写真



観察面拡大写真



詳細観察写真

・条線のレイクは71° R, 変位センスは不明

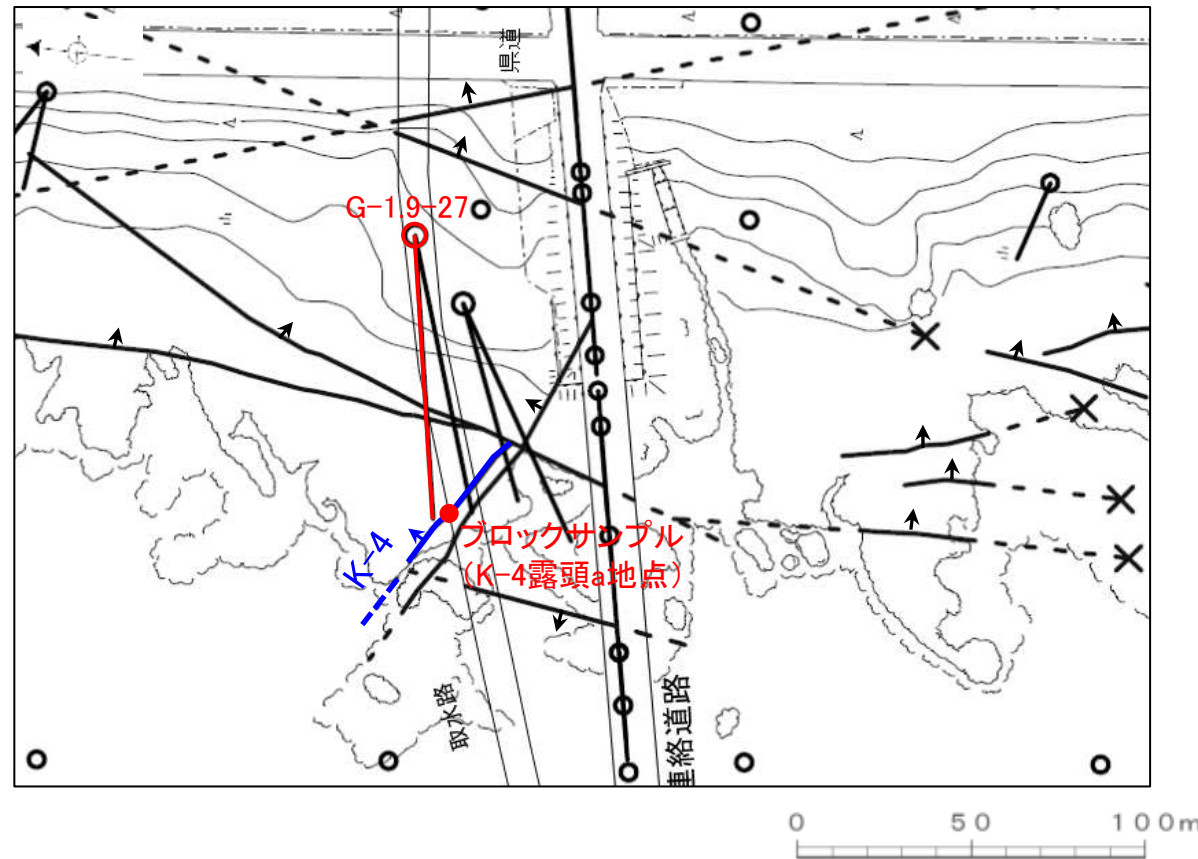
# K-4の研磨片, 薄片観察結果

研磨片観察結果(固結した破碎部)	
研磨片番号	変位センス
ブロックサンプル (K-4露頭 a地点)	正断層

薄片観察結果(砂状破碎部, 粘土状破碎部)	
薄片番号	変位センス
G-1.9-27_71R	左横ずれ正断層

\* ブロックサンプルを鉛直方向に切断して研磨片を作成した。

\* 各薄片試料は, 付近の断層の条線観察結果を踏まえたレイクで切断し, 作成した。

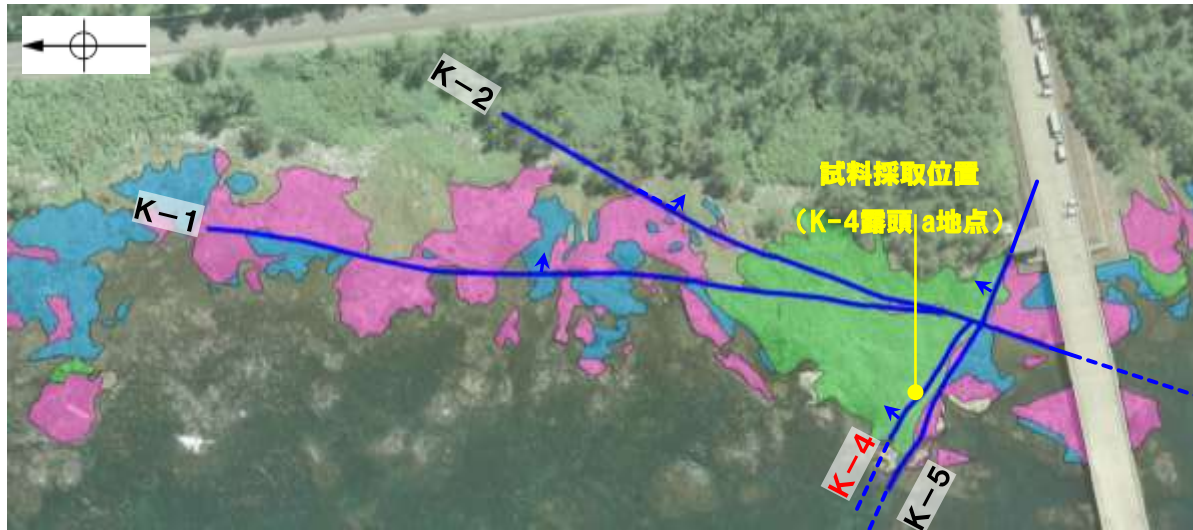


- 鉛直ボーリング孔
- ⊗ 斜めボーリング孔
- 断層 (EL 0m)
- 赤字: 薄片観察箇所
- 矢印(➤)の向きは断層の傾斜方向を示す

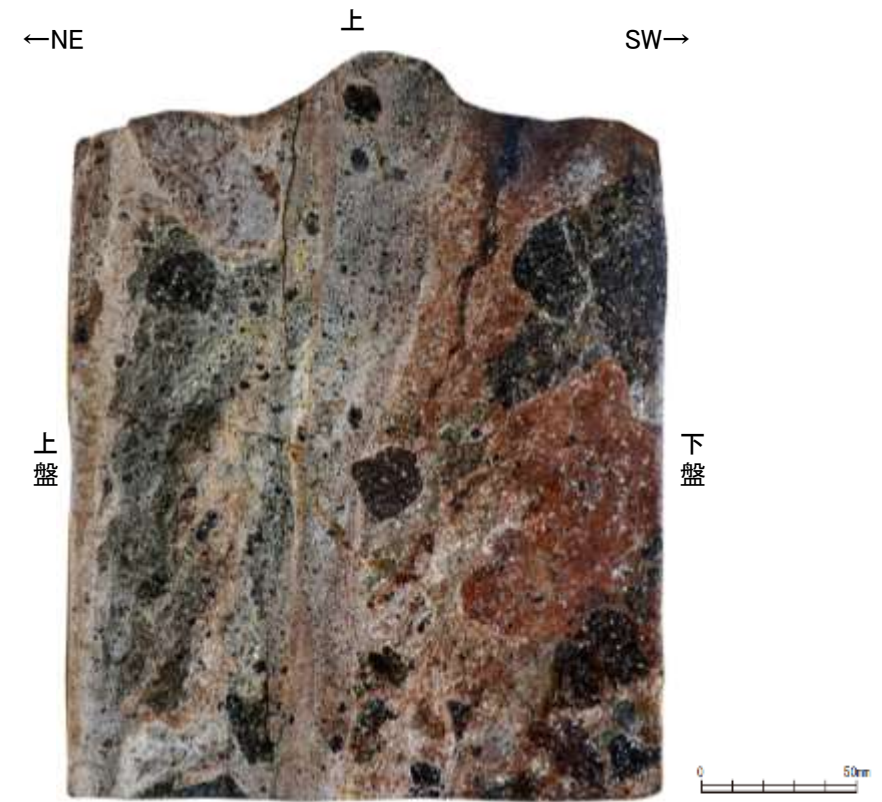
位置図



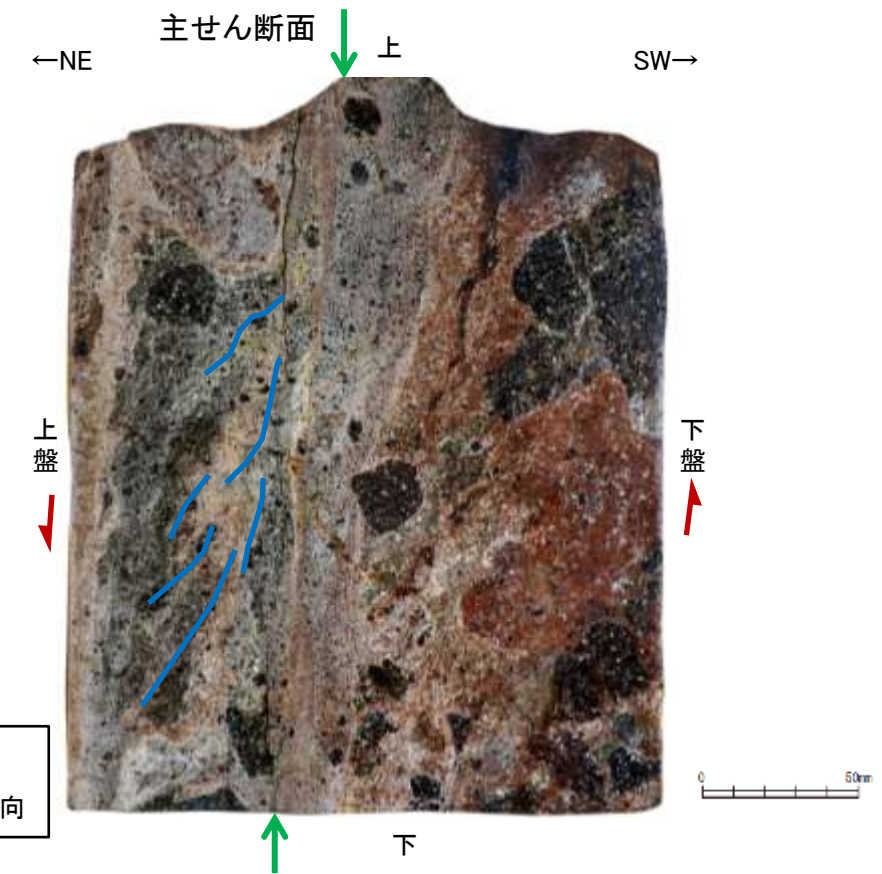
# K-4露頭 a地点 (研磨片観察)



調査位置図(海岸部露岩域)



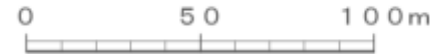
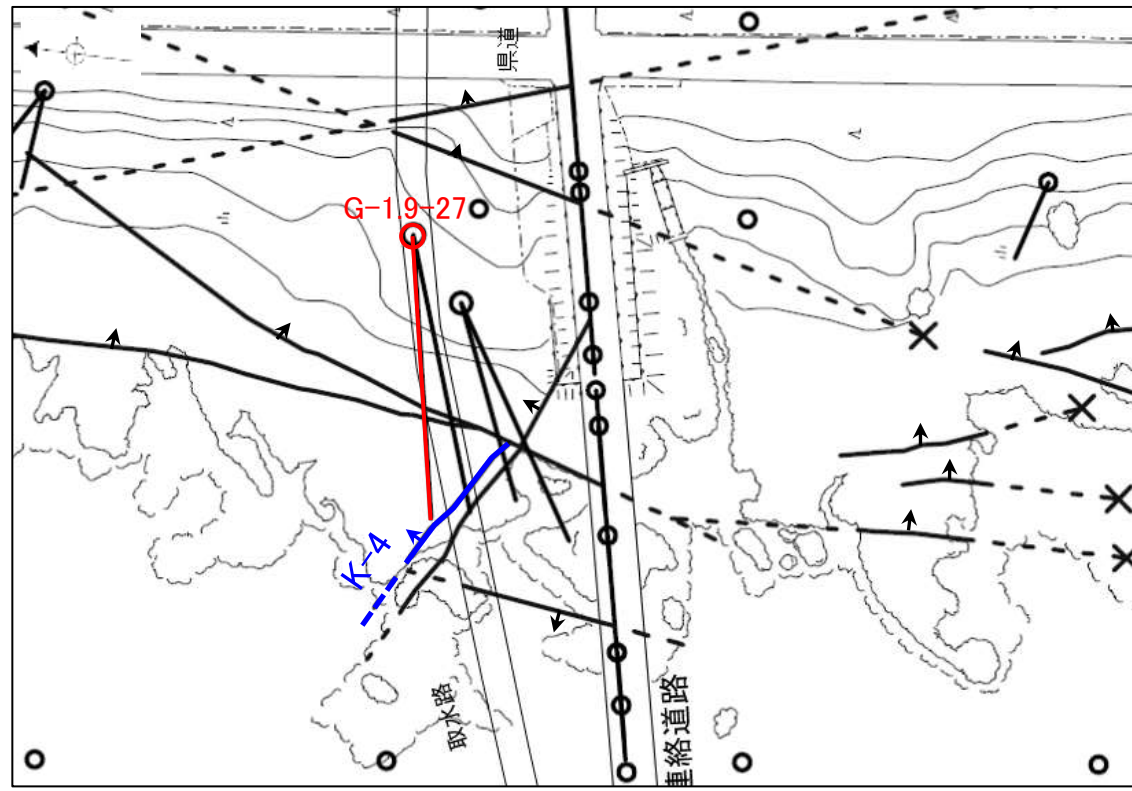
試料採取位置(K-4露頭 a地点)



研磨片写真(下は変形構造を加筆)

・固結した破碎部中の変形構造から、見かけ上盤側下がりの変位が推定され、正断層センスが認定できる。

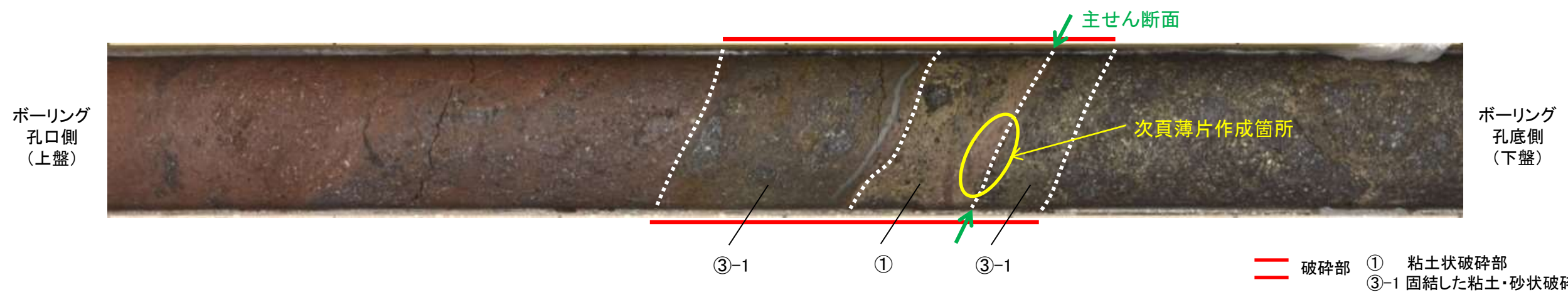
# G-1.9-27\_71R(薄片作成位置)



- 鉛直ボーリング孔
- 斜めボーリング孔
- 断層(EL 0m)
- 赤字: 薄片観察箇所
- 矢印(↑)の向きは断層の傾斜方向を示す

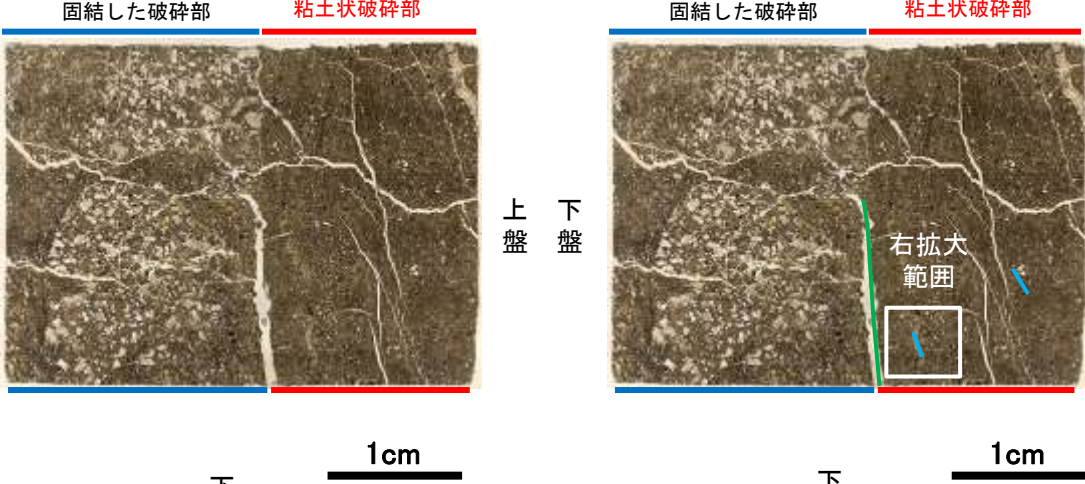
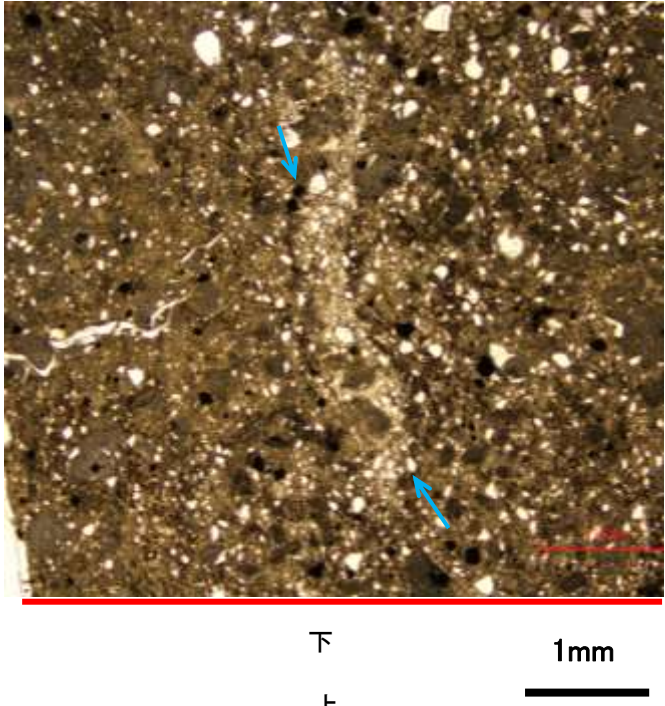
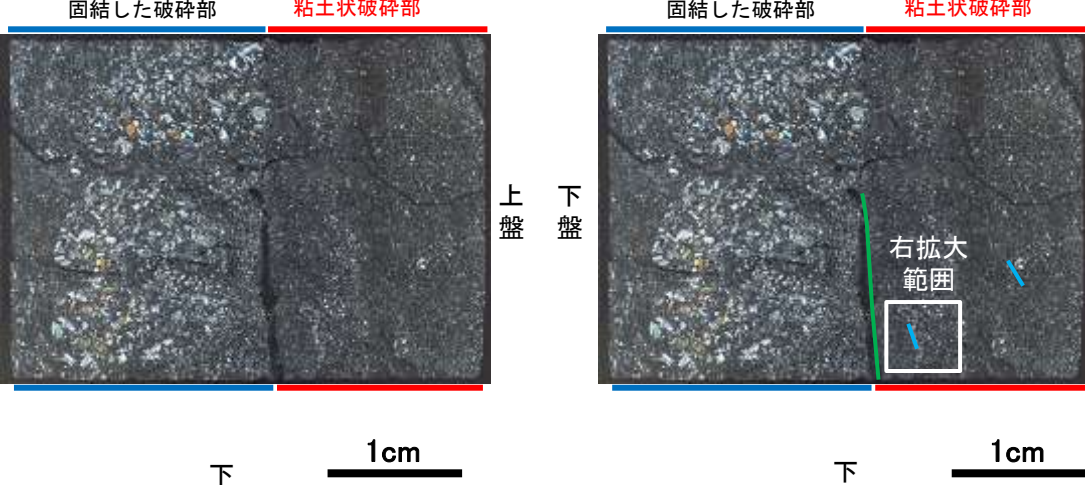
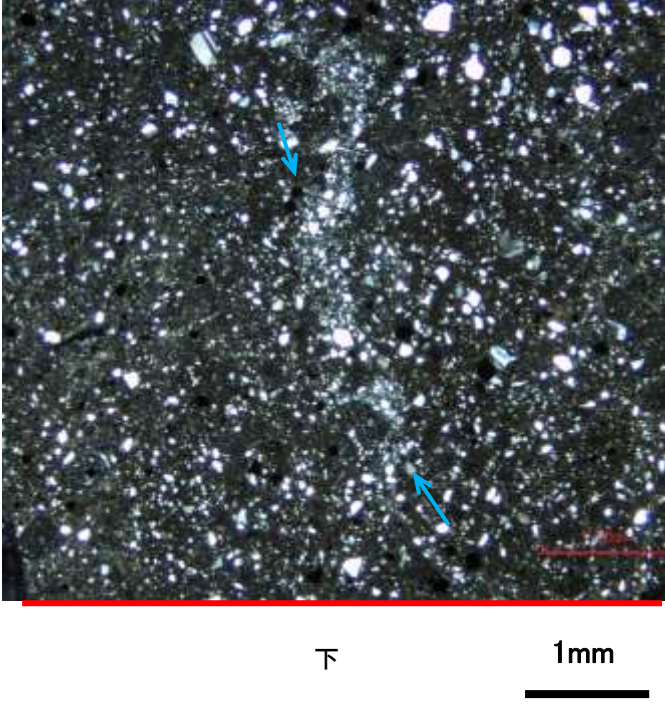
位置図

(深度) 84.3 84.4 84.5 84.6 84.7 84.8 84.9 (m)

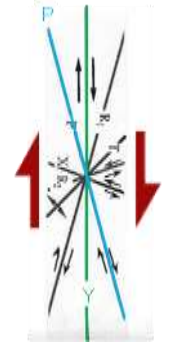


# G-1.9-27\_71R(薄片観察)

■ 条線観察結果を踏まえ、71° Rのレイクでボーリングコアを切断して作成した薄片を観察した。

		顕微鏡観察(右に構造等を加筆)		顕微鏡観察 拡大	
G-1.9-27孔 (深度84.70m)	(単ニコル)	上	上	上	上
		固結した破砕部	粘土状破砕部	固結した破砕部	粘土状破砕部
	下盤		上盤		上盤
		下	下	下	下
		凡例			
		— Y面			
		— P面			
	(直交ニコル)	上	上	(直交ニコル)	上
		固結した破砕部	粘土状破砕部		粘土状破砕部
下盤		上盤		上盤	
	下	下	下	下	
		凡例			
		→ ← P面			

見かけ  
上盤側下がり



せん断センス  
を示す複合面構造  
(狩野・村田(1998)  
に加筆)

・砂状破砕部、粘土状破砕部中の変形構造から、見かけ上盤側下がりの変位が推定される。  
・断層の走向傾斜がN52° W/68° NE、条線レイクが71° Rであることから、最新の運動方向は左横ずれを伴う正断層センスである。

---

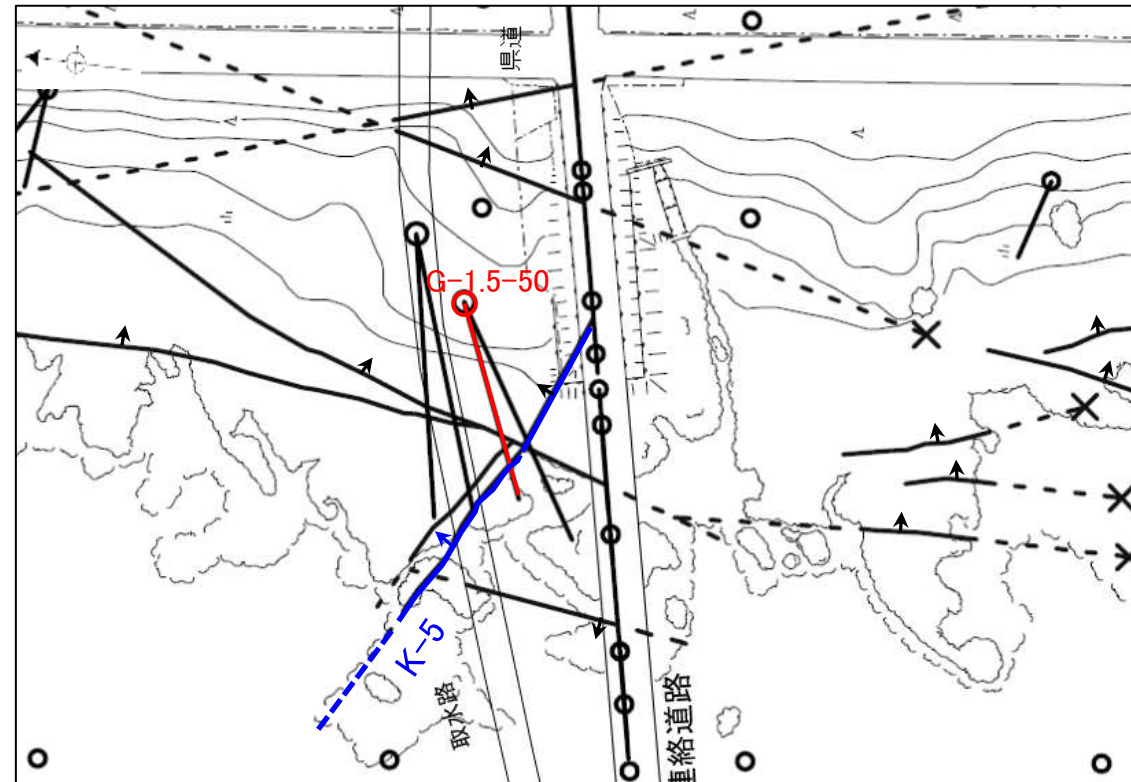
(16) K-5の運動方向調査結果

# K-5の条線観察結果

試料名		走向/傾斜 (走向は真北)	条線の レイク <sup>※1, 2</sup>	変位センス
ボーリングG-1.5-50孔 [深度46.73m]	下盤側	N69° W/72° NE	27° R	(不明)

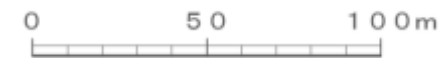
※1 上盤側で確認したレイクは下盤側に換算して示す。

※2 新旧対比ができる条線は最新のレイクのみ示す。



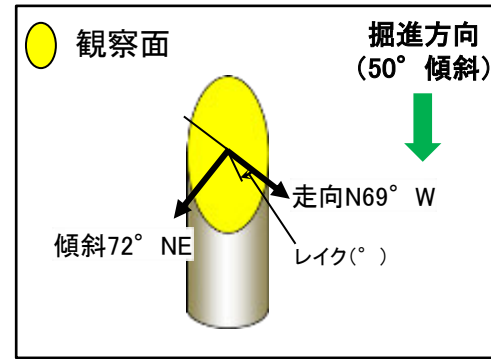
- 鉛直ボーリング孔
- ⊙ 斜めボーリング孔
- 条線観察箇所
- 基礎掘削面
- K-5 (EL 0m)  
(破線はさらに延長する可能性のある箇所)
- K-5以外の断層 (EL 0m)  
(破線はさらに延長する可能性のある箇所)  
(K-18, K-19については地表付近まで連続しないため記載していない)

矢印(▲)の向きは断層の傾斜方向を示す



位置図

# 条線観察結果 ボーリングG-1.5-50孔[深度46.73m](下盤側)



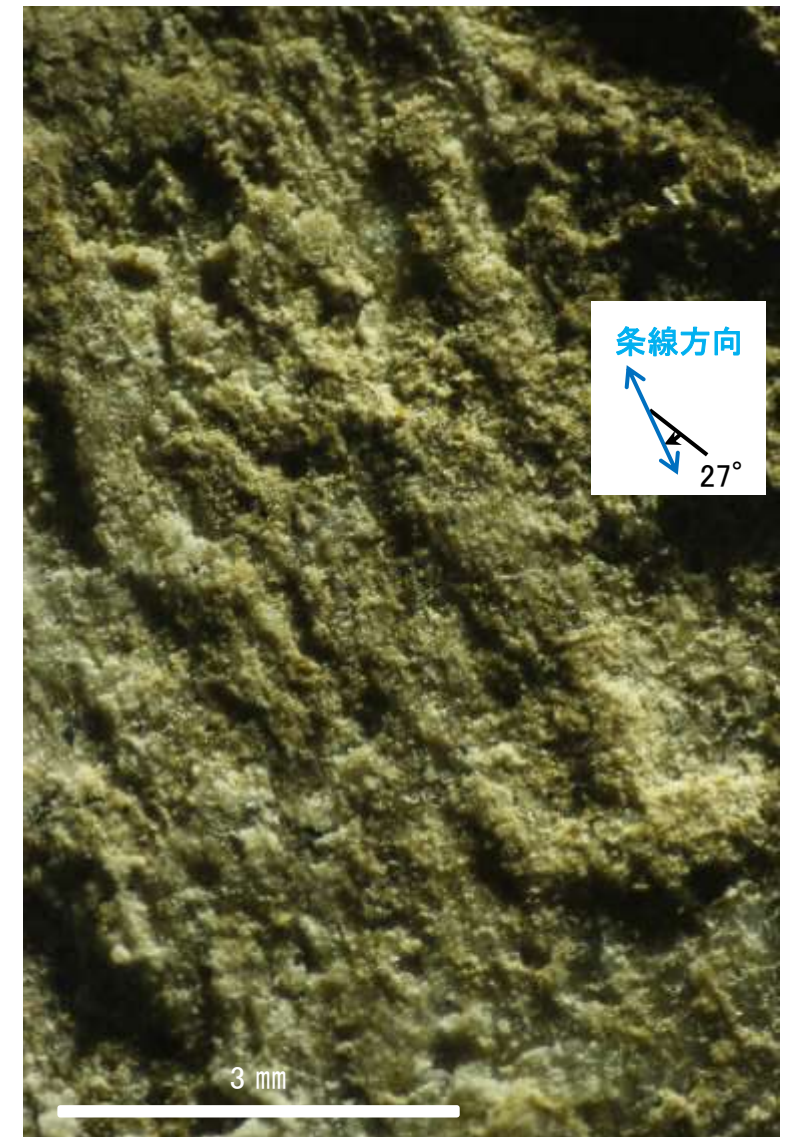
概念図  
※走向は真北で示す。



観察面写真



観察面拡大写真



詳細観察写真

・条線のレイクは27° R, 変位センスは不明

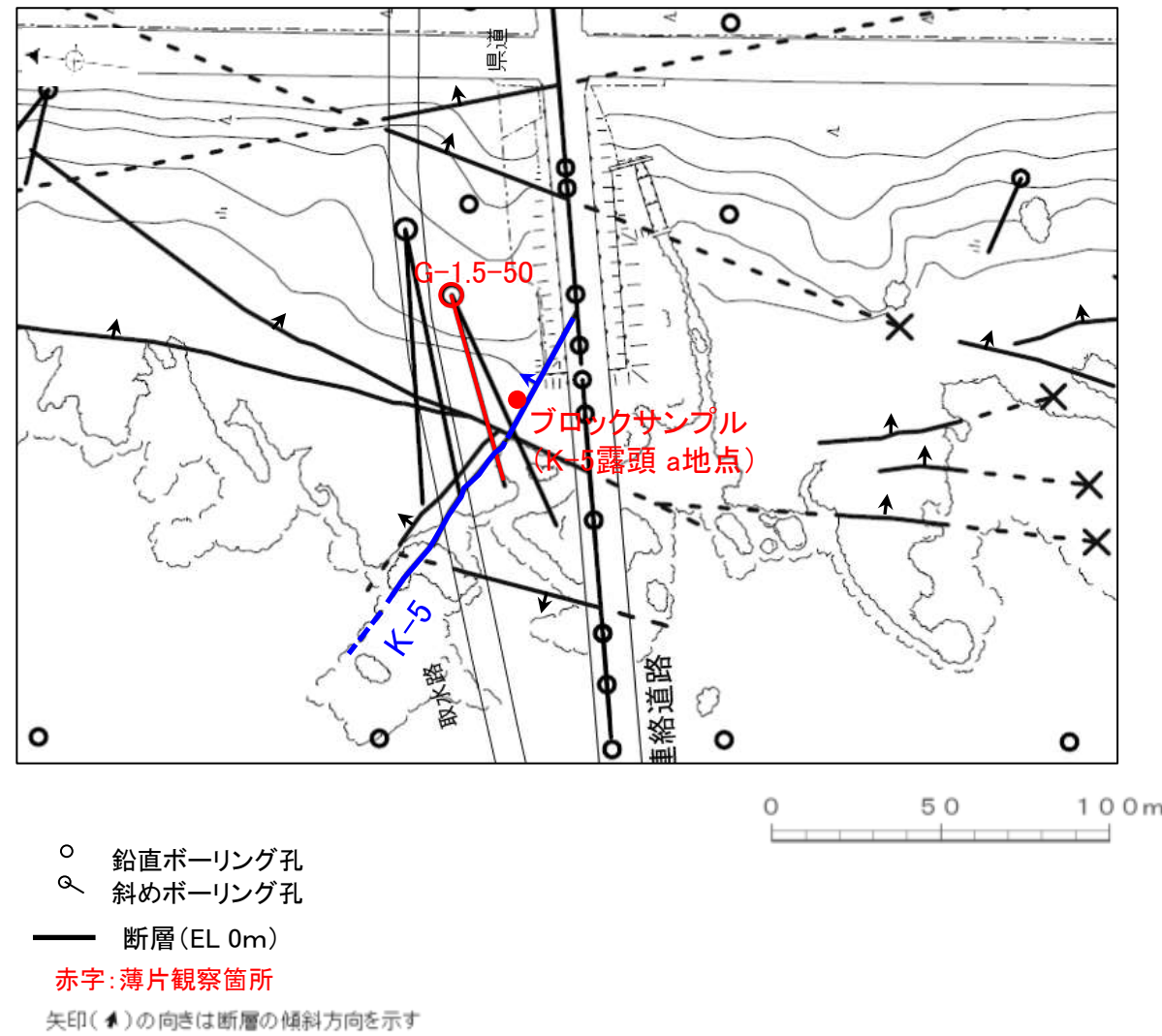
# K-5の薄片観察結果

薄片観察結果(固結した破碎部)	
薄片番号	変位センス
ブロックサンプル (K-5露頭 a地点)	正断層

\* ブロックサンプルを鉛直方向に切断して薄片を作成した。

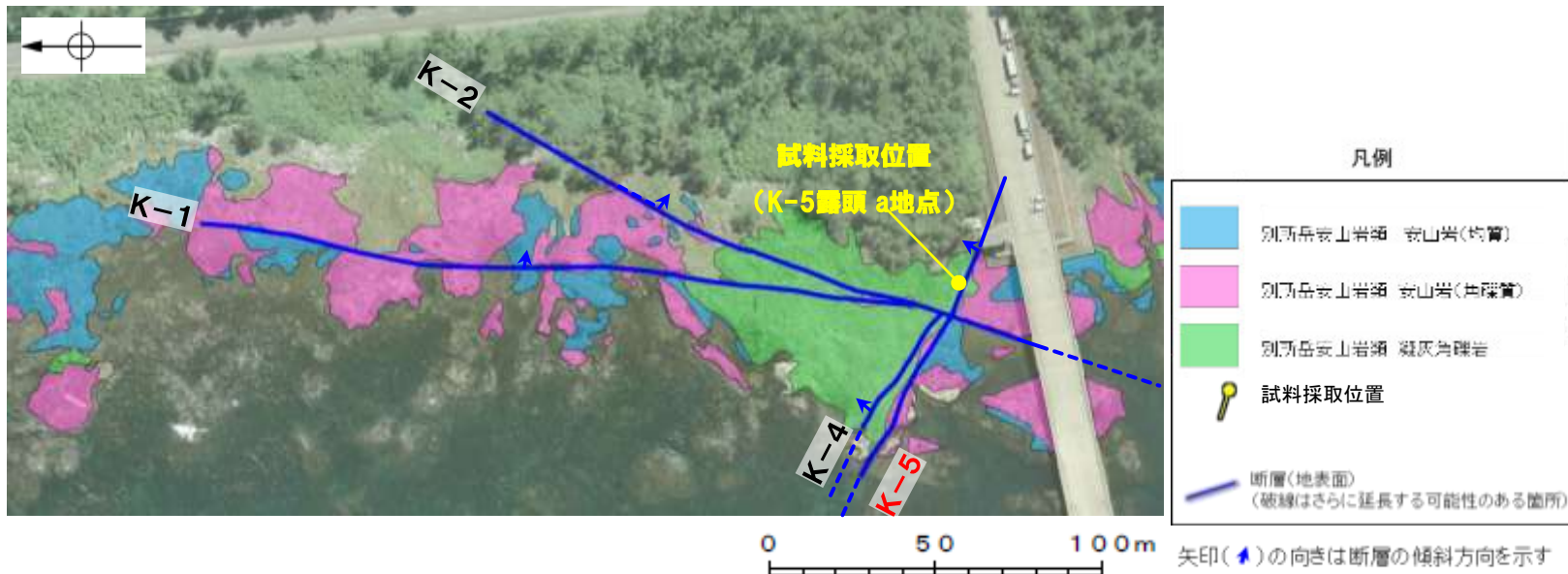
薄片観察結果(粘土状破碎部)	
薄片番号	変位センス
G-1.5-50_27R	不明

\* 各薄片試料は、付近の断層の条線観察結果を踏まえたレイクで切断し、作成した。

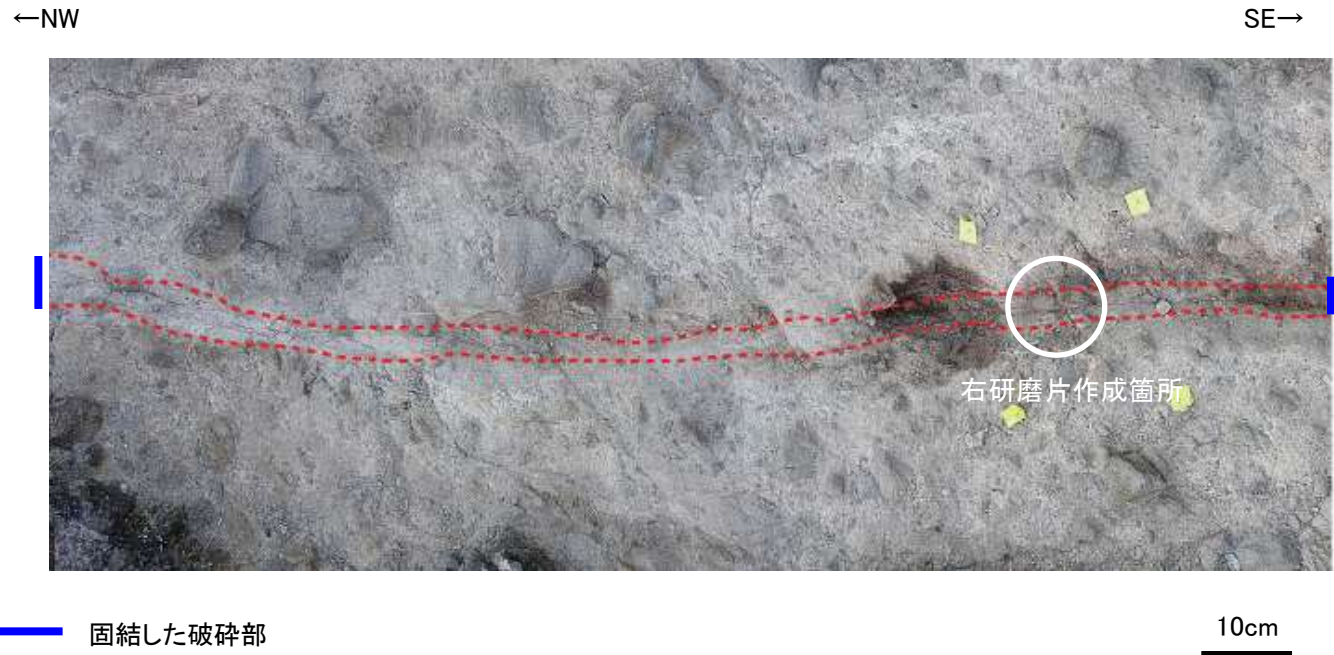
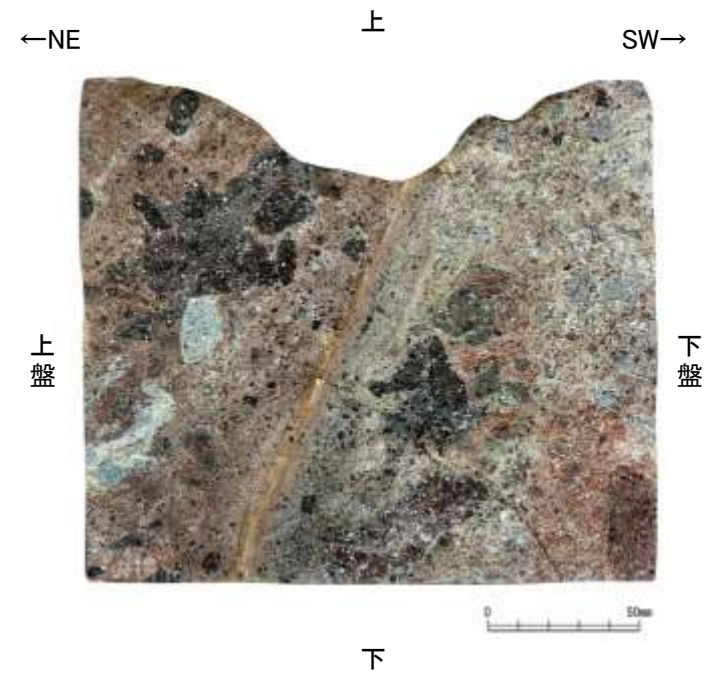


位置図

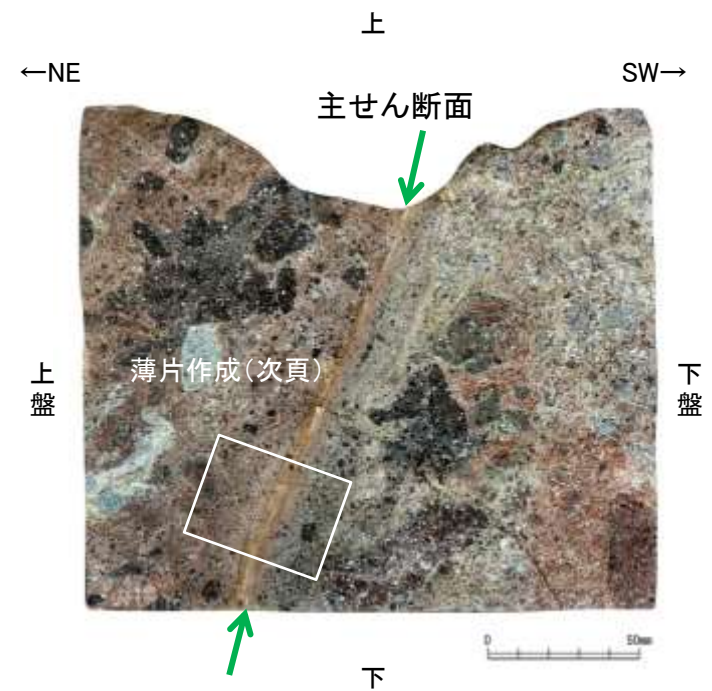
# K-5露頭 a地点(薄片作成位置)



調査位置図(海岸部露岩域)



試料採取位置(K-5露頭 a地点)



研磨片写真(下は主せん断面を加筆)



# K-5露頭 a地点(薄片観察)

■ブロックサンプル(K-5露頭 a地点)を鉛直方向に切断して作成した薄片を観察した。

		顕微鏡観察(右に構造等を加筆)		顕微鏡観察 拡大			
K-5露頭 a地点	(単ニコル)			(単ニコル)		(直交ニコル)	
	(直交ニコル)						

凡例  
— Y面

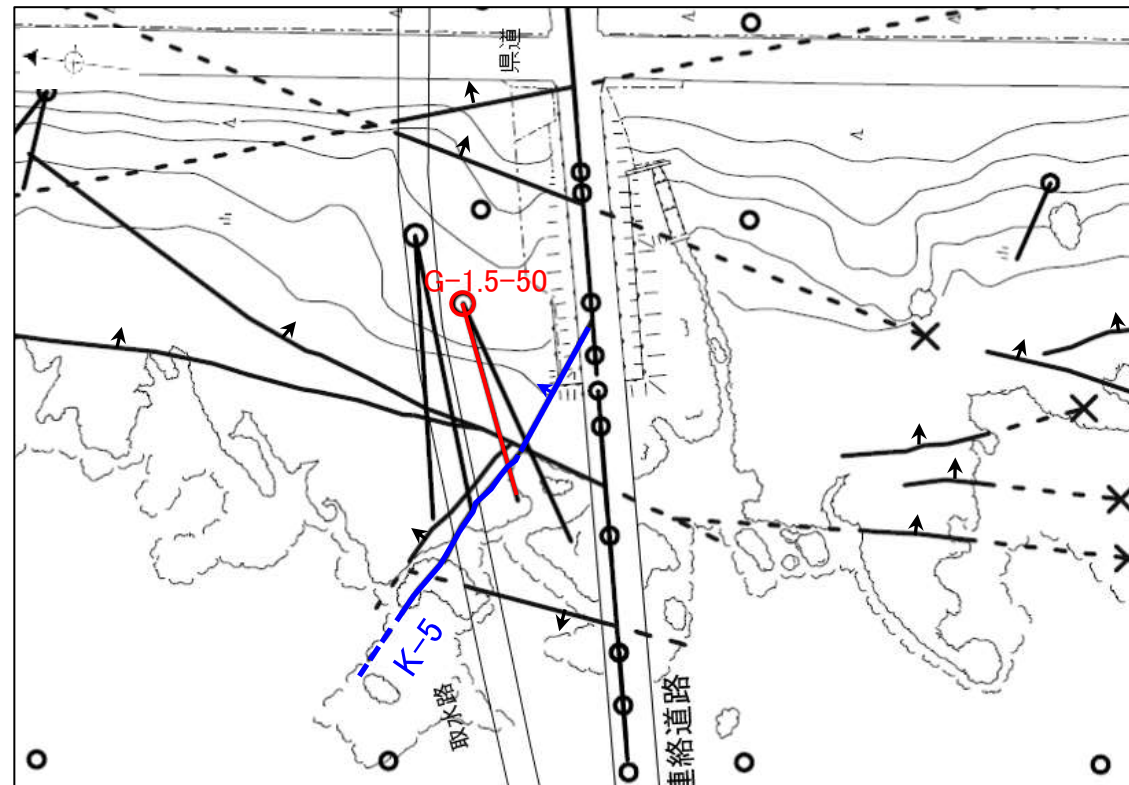
見かけ上盤側下がり

凡例  
→ ← Y面  
→ ← P面

せん断センスを示す複合面構造  
(狩野・村田(1998)に加筆)

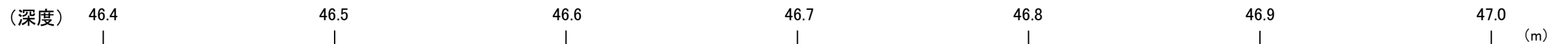
・固結した破碎部中の変形構造から、見かけ上盤側下がりの変位が推定され、正断層センスが認定できる。

# G-1.5-50\_27R(薄片作成位置)

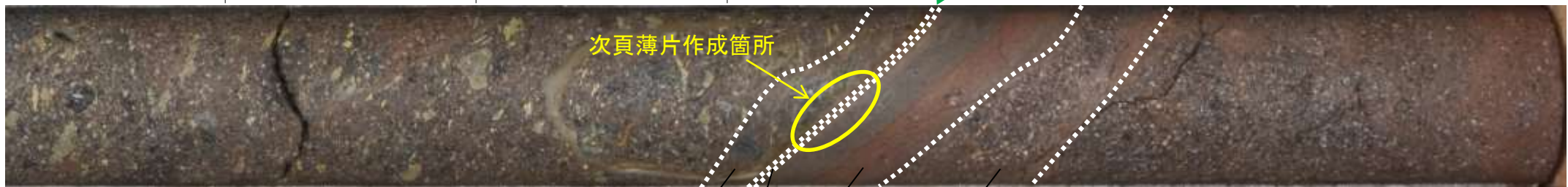


- 鉛直ボーリング孔
- ⊗ 斜めボーリング孔
- 断層 (EL 0m)
- 赤字: 薄片観察箇所
- 矢印(➤)の向きは断層の傾斜方向を示す

位置図



ボーリング  
孔口側  
(上盤)



ボーリング  
孔底側  
(下盤)

③-2 ① ③-1 ③-2

- 破碎部
- ① 粘土状破碎部
- ③-1 固結した粘土・砂状破碎部
- ③-2 固結した角礫状破碎部

# G-1.5-50\_27R(薄片観察)

■ 条線観察結果を踏まえ、27° Rのレイクでボーリングコアを切断して作成した薄片を観察した。

		顕微鏡観察(右に構造等を加筆)		顕微鏡観察 拡大	
G-1.5-50孔 (深度46.72m)	(単ニコル)			(単ニコル)	
	(直交ニコル)			(直交ニコル)	
		凡例 — Y面			凡例 → ← Y面

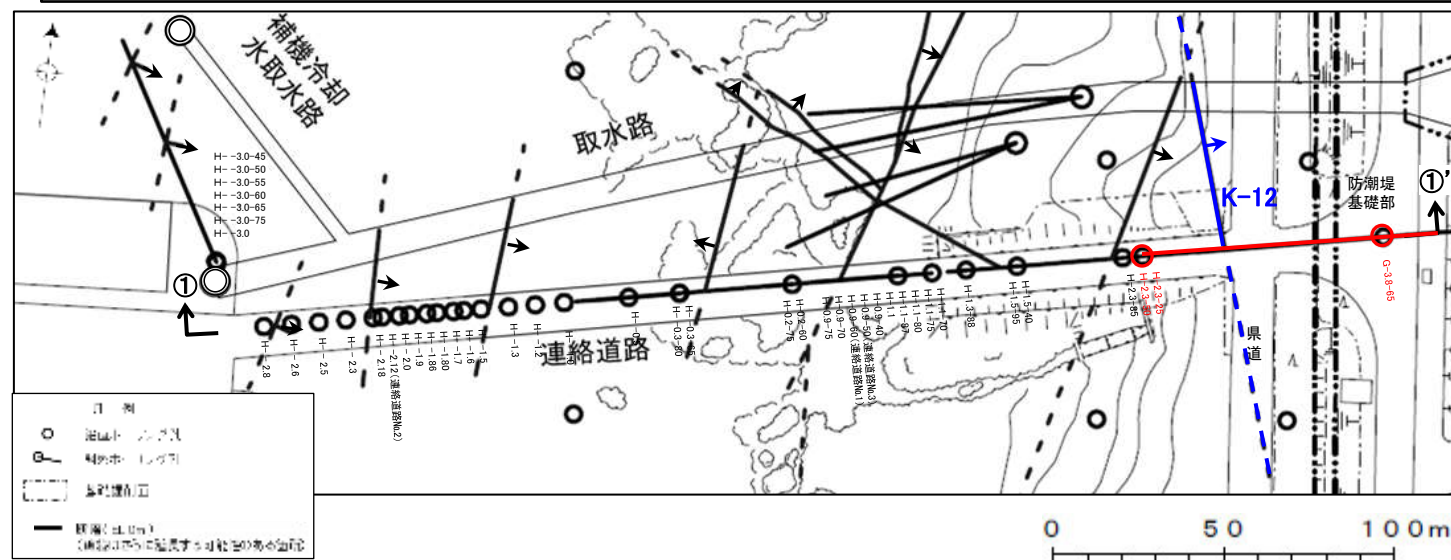
・粘土状破碎部中には変位センスが認定できるような明瞭な変形構造は認められない。

---

(17) K-12の運動方向調査結果

# K-12の運動方向調査結果 一概要一

○コア観察, CT画像観察, 条線観察, 薄片観察結果から, 固結した破碎部では正断層の変位センスが認められ, 粘土状破碎部では右横ずれを伴う逆断層の変位センスが認められる。観察結果を次頁以降に示す。



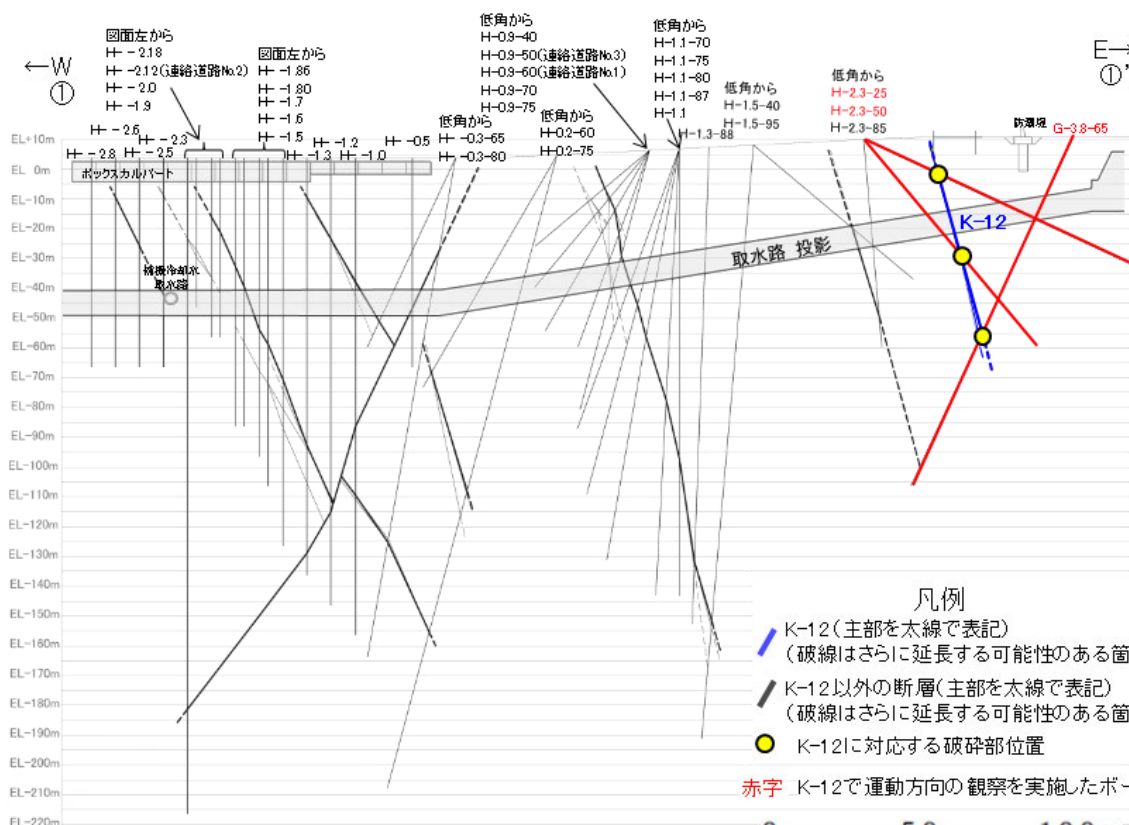
位置図

観察結果 一覧表

試料名	走向/傾斜 (走向は真北)	固結した破碎部	粘土状破碎部		
		変位センス (コア観察, 薄片観察)	条線の レイク <sup>*1</sup>	変位センス (条線観察)	変位センス (薄片観察)
H-2.3-25孔 [深度27.15m]	N28° W/62° NE	正断層	83° R	(不明)	
H-2.3-50孔 [深度49.99m]	N29° W/71° NE	(不明)	32° R	右横ずれ 逆断層	(不明)
			17° R	右横ずれ 逆断層	
G-3.8-65孔 [深度72.80m]	N13° W/79° NE		70° R	(不明)	

\*1: 上盤側で確認したレイクは下盤側に換算して示す。

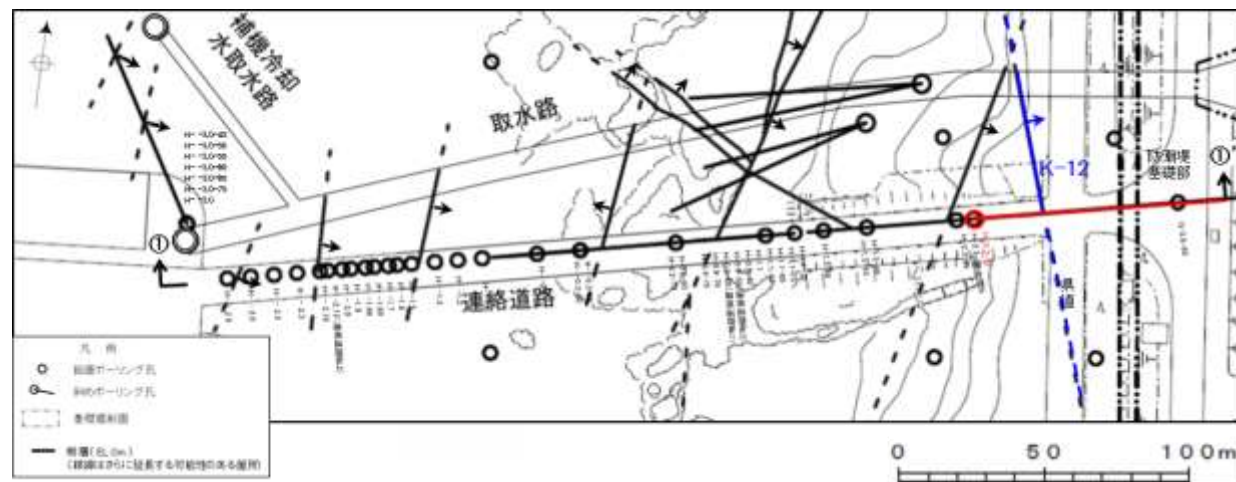
赤字 K-12で運動方向の観察を実施したボーリング孔  
矢印(➡)の向きは断層の傾斜方向を示す



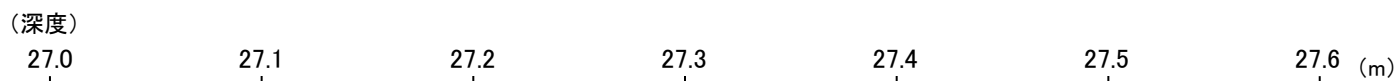
①-①' 断面図

# K-12の運動方向調査結果 —H-2.3-25孔—

○H-2.3-25孔の深度27.15～27.31mにおいて、K-12に対応する破砕部が認められる。  
○この破砕部を対象として、コア観察により固結した破砕部の運動方向を確認した。



位置図



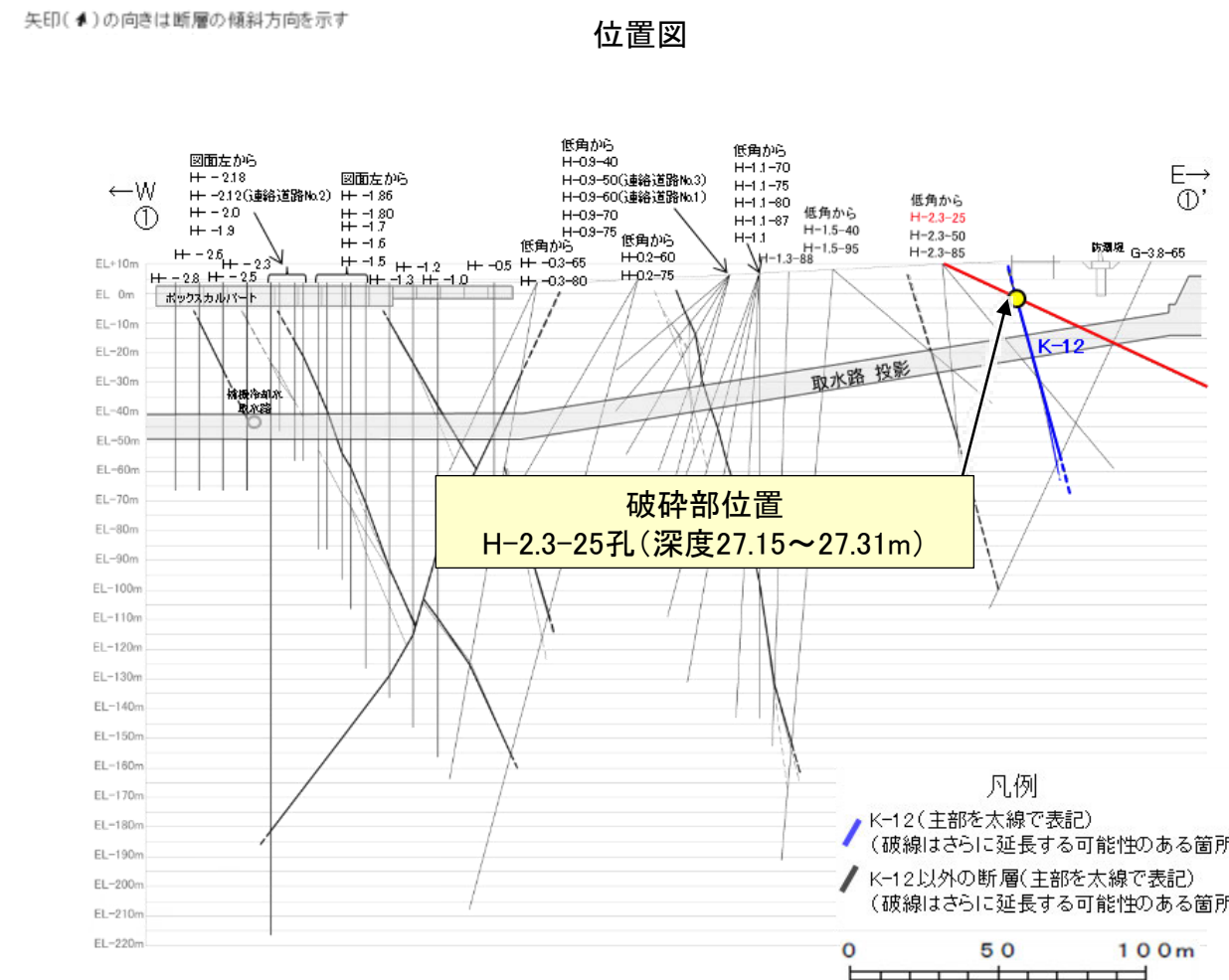
- ① 粘土状破砕部
- ③-1 固結した粘土・砂状破砕部
- ③-2 固結した角礫状破砕部



コア写真(H-2.3-25孔, 破砕部区分を加筆)

コア観察結果

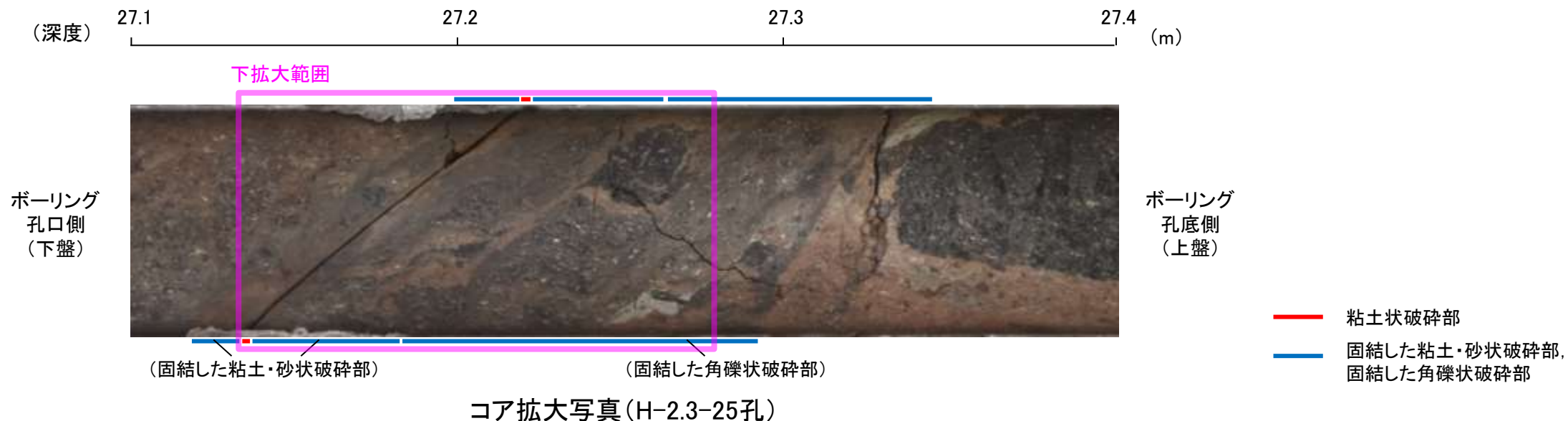
深度27.15～27.31m:  
見かけの傾斜角30～50°の厚さ8.4～10cmの破砕部。厚さ0.1cmの明黄灰色の粘土状破砕部及び厚さ8.3～10cmの固結した破砕部からなる。



①-①' 断面図

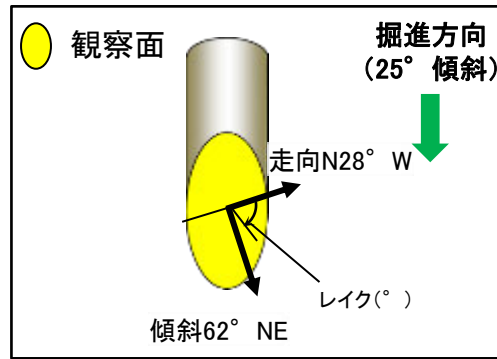
# K-12の運動方向調査結果 —H-2.3-25孔(コア観察)—

- 深度27.15m付近に固結した破碎部のせん断面が認められ、その上盤側に岩片の配列が認められる。
- 固結した破碎部のせん断面をY面とした時に、岩片の配列からP面を読み取ることができ、見かけ上盤側下がりの変位が推定される。
- 断層の走向傾斜がN28° W/62° NEであること、ボーリングの掘進方位及び掘進傾斜から考えると、固結した破碎部の運動方向は正断層センスである。



# K-12の運動方向調査結果 —H-2.3-25孔(条線観察, 下盤側) —

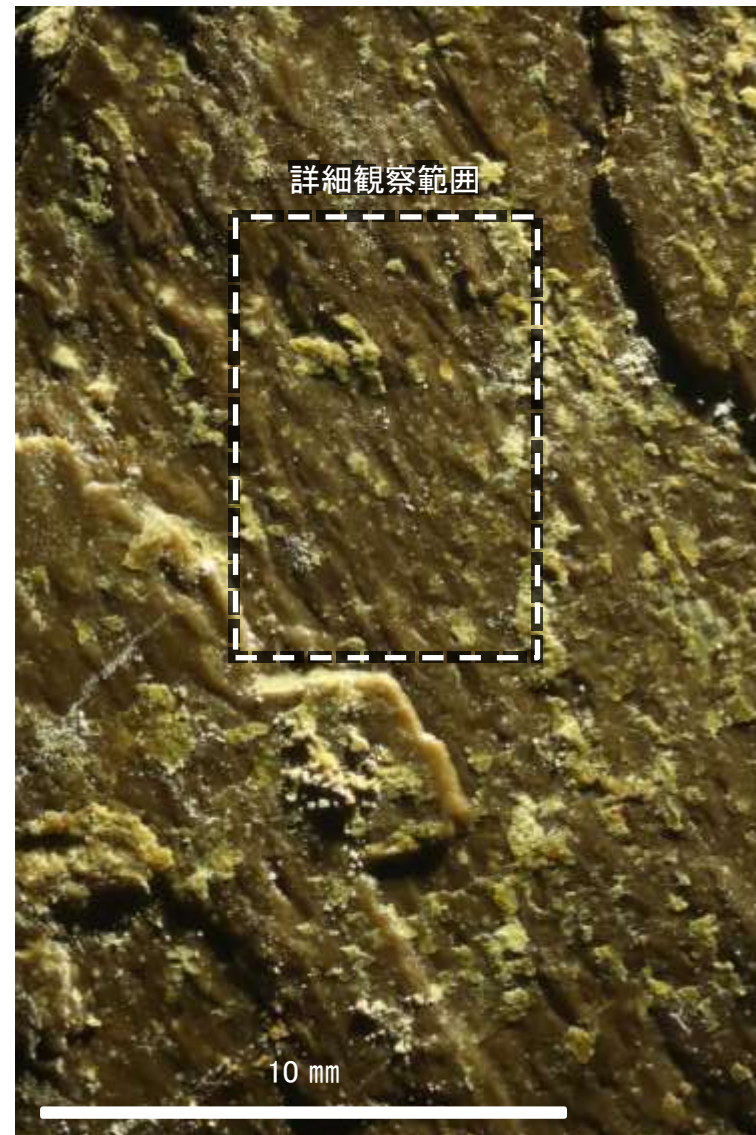
- 主せん断面における条線観察の結果, 下盤側の観察面で $83^\circ$  Rの条線が認められる。
- 観察面において, 礫まわりの粘土の非対称構造などの変位センスを推定できるような構造は認められない。



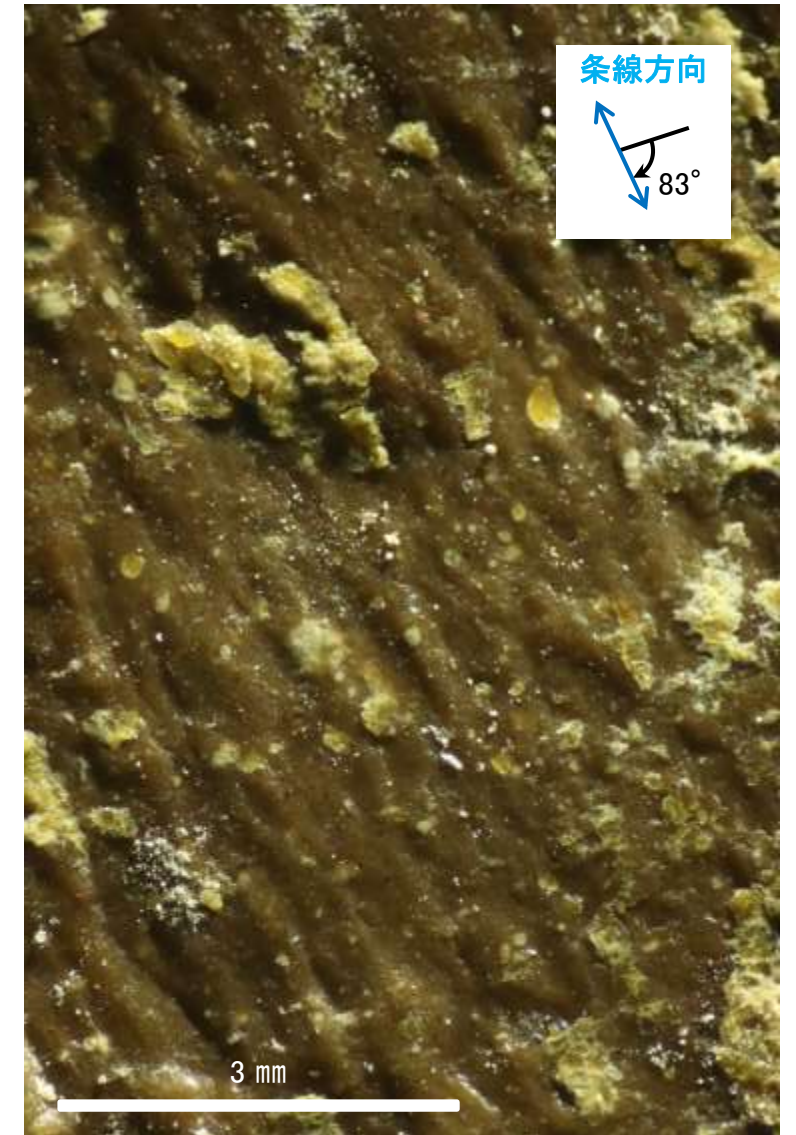
概念図  
※走向は真北で示す。



観察面写真



観察面拡大写真

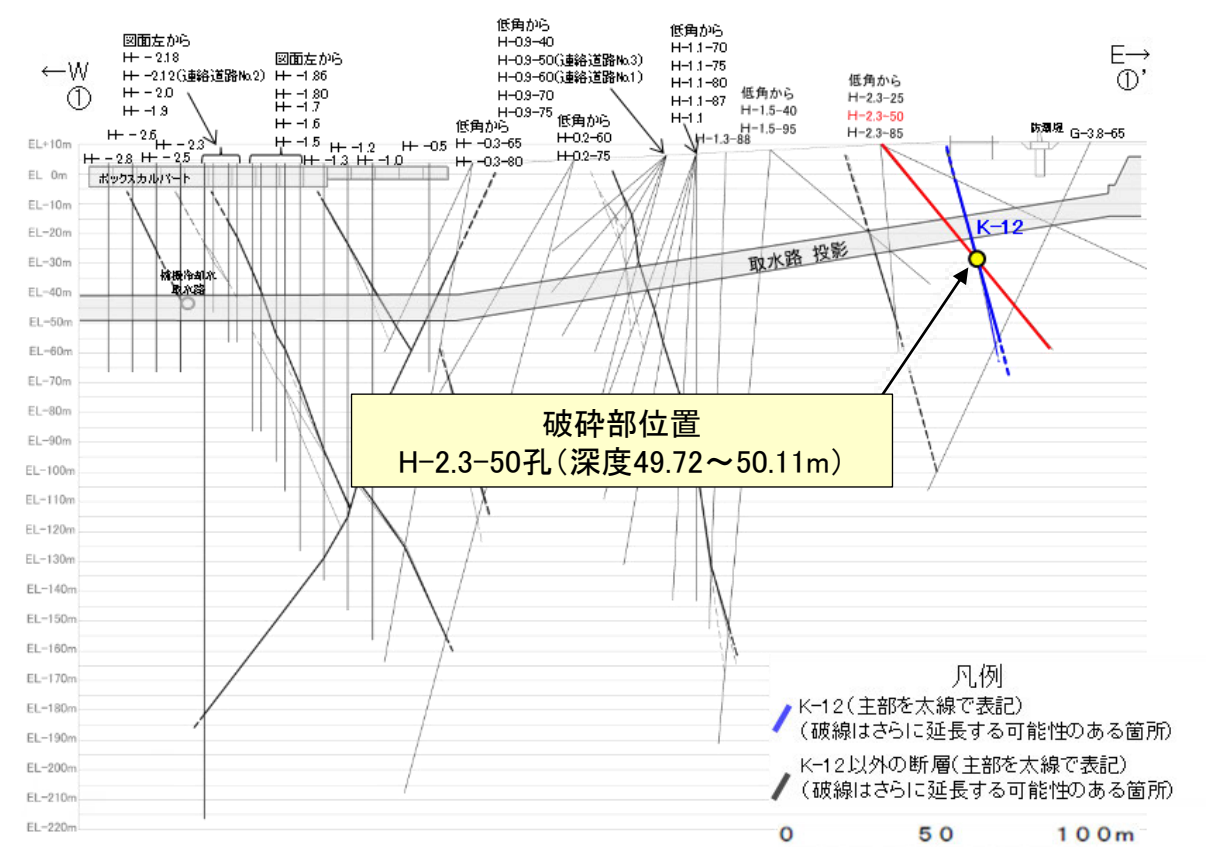
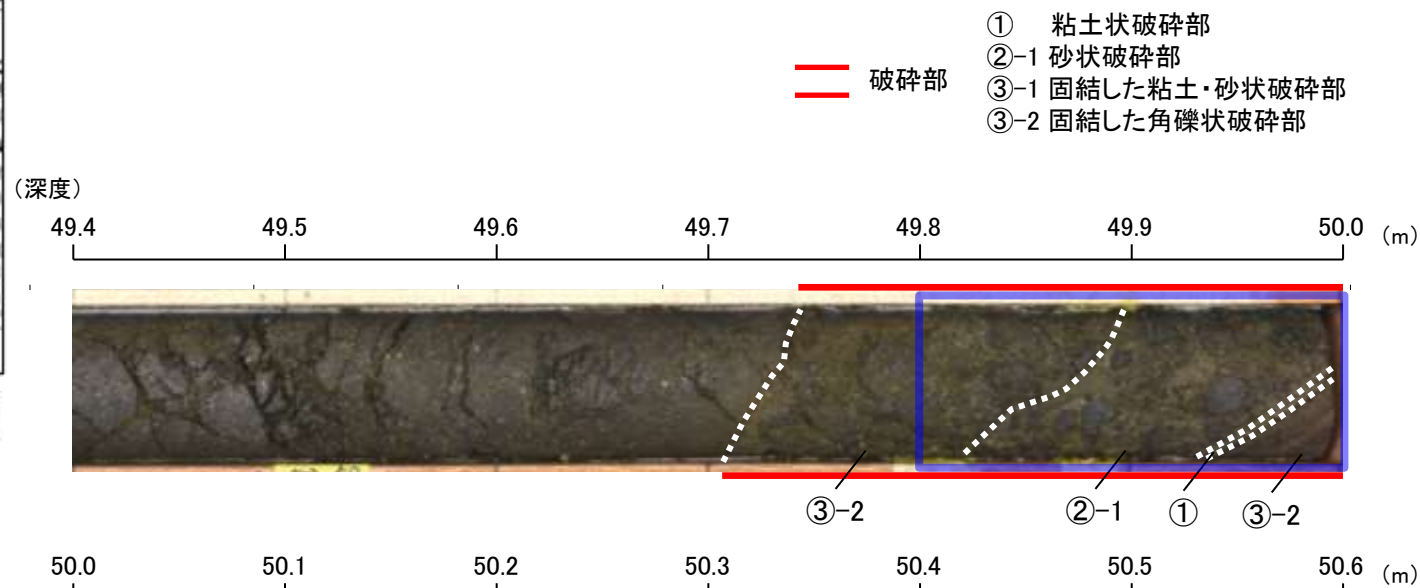
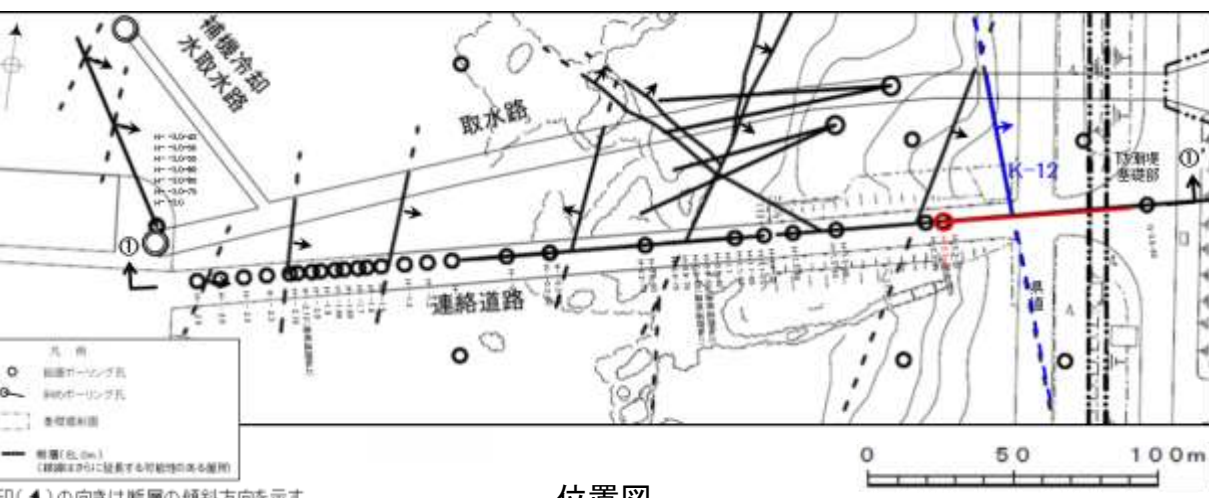


詳細観察写真



# K-12の運動方向調査結果 —H-2.3-50孔—

○H-2.3-50孔の深度49.72～50.11mにおいて、K-12に対応する破砕部が認められる。  
○この破砕部を対象に、コア観察及びCT画像観察により抽出した主せん断面において、条線観察、薄片観察を実施し、粘土状破砕部の運動方向を確認した。



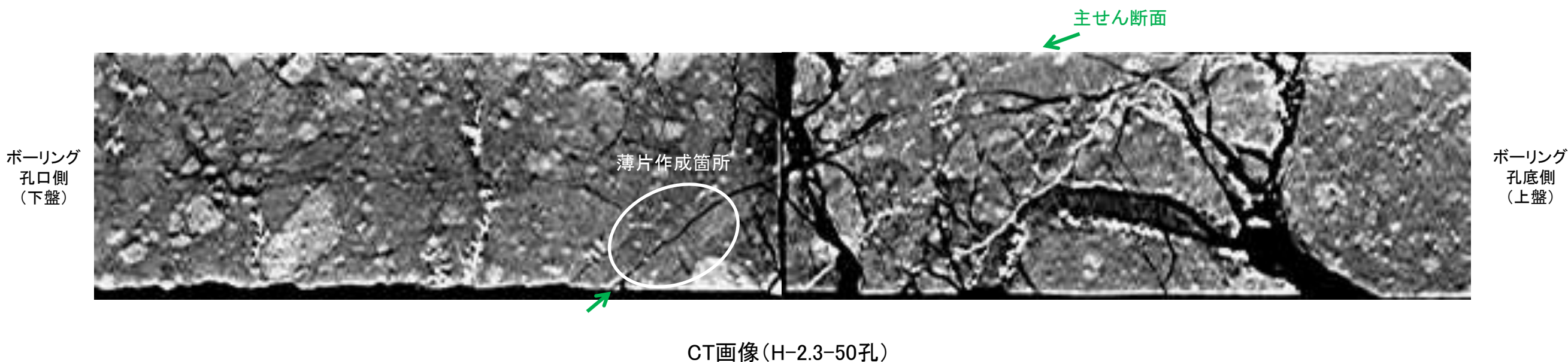
コア観察結果

深度49.72～50.11m:  
見かけの傾斜角30°～60°の厚さ19～21cmの破砕部。厚さ6.1cmのオリブ灰色の砂状破砕部、厚さ0.6～1.0cmの灰白色の粘土状破砕部及び厚さ14～17cmの固結した破砕部からなる。

# K-12の運動方向調査結果 —H-2.3-50孔(コア観察, CT画像観察)—

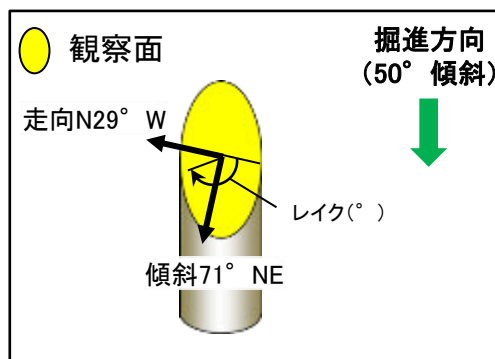
- コア観察, CT画像観察結果より, 砂状破碎部と固結した角礫状破碎部の境界である深度50.00m付近に, 厚さ0.6~1.0cmの粘土状破碎部が認められる。
- 粘土状破碎部を伴う比較的直線性・連続性がよい面を, 主せん断面として抽出した。
- 主せん断面において, 条線観察及び薄片観察を実施した。

(深度) 49.8 49.9 50.0 50.1 50.2 (m)



# K-12の運動方向調査結果 —H-2.3-50孔(条線観察, 上盤側)—

○主せん断面における条線観察の結果, 上盤側の観察面で $148^\circ$  R,  $163^\circ$  Rの条線が認められ, 下盤側換算すると $32^\circ$  R,  $17^\circ$  Rとなる。  
○ $32^\circ$  R(下盤側換算),  $17^\circ$  R(下盤側換算)の条線方向及び礫周りの粘土の非対称構造から, 右横ずれを伴う逆断層センスが推定される。

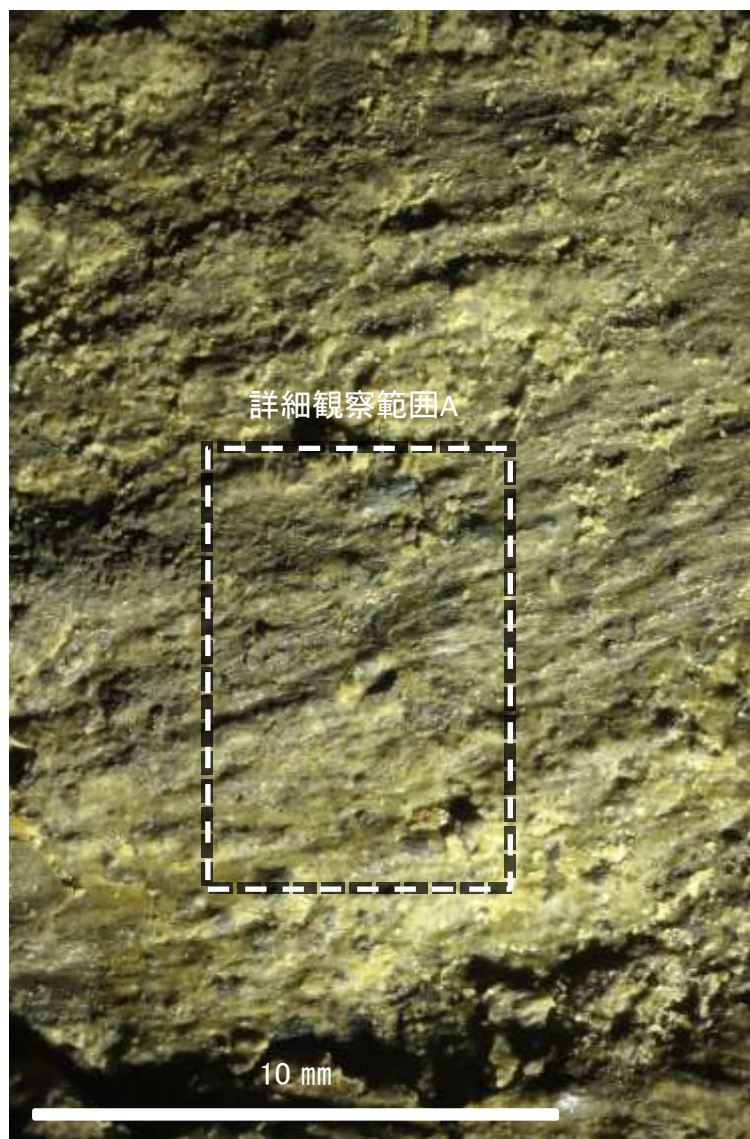


概念図  
※走向は真北で示す。

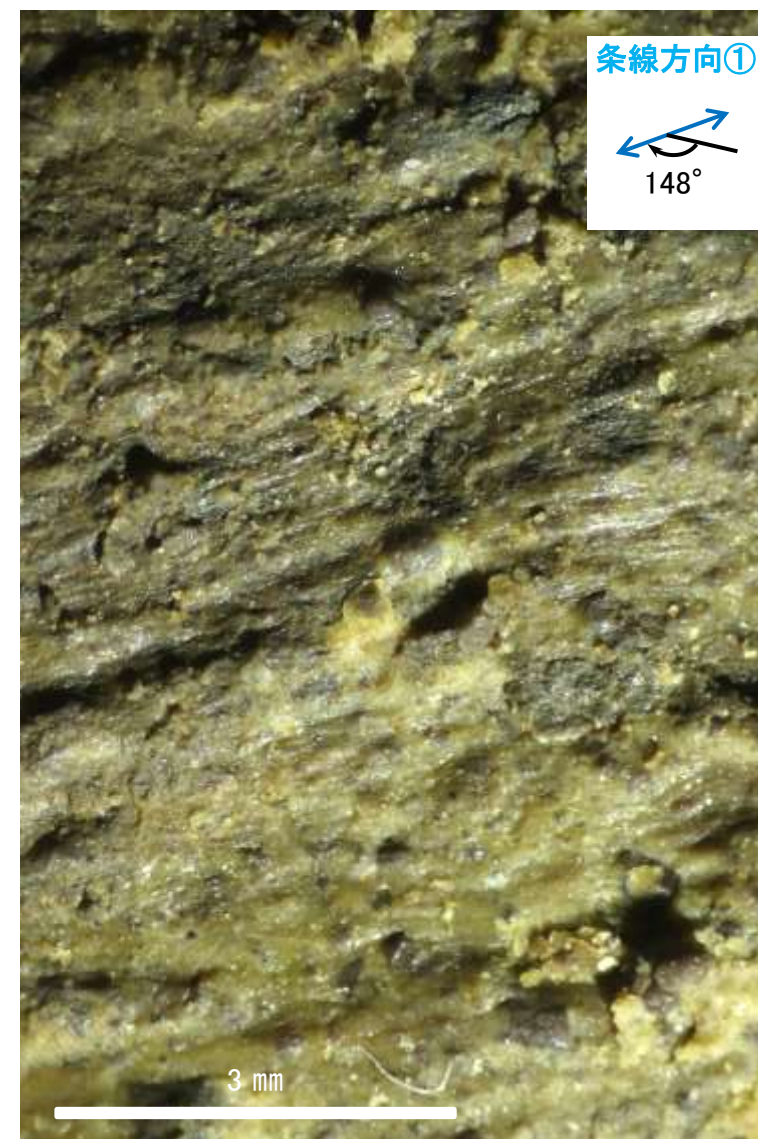
## 拡大写真範囲A



観察面写真

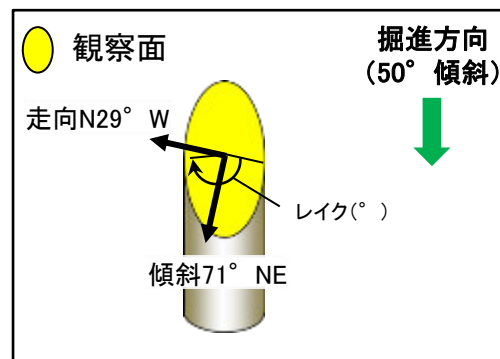


観察面拡大写真A



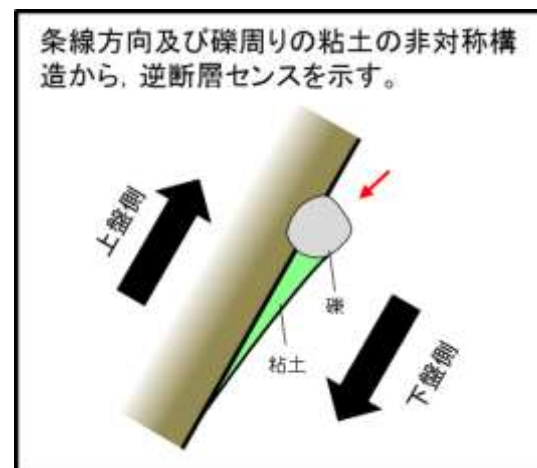
詳細観察写真A

## 拡大写真範囲B

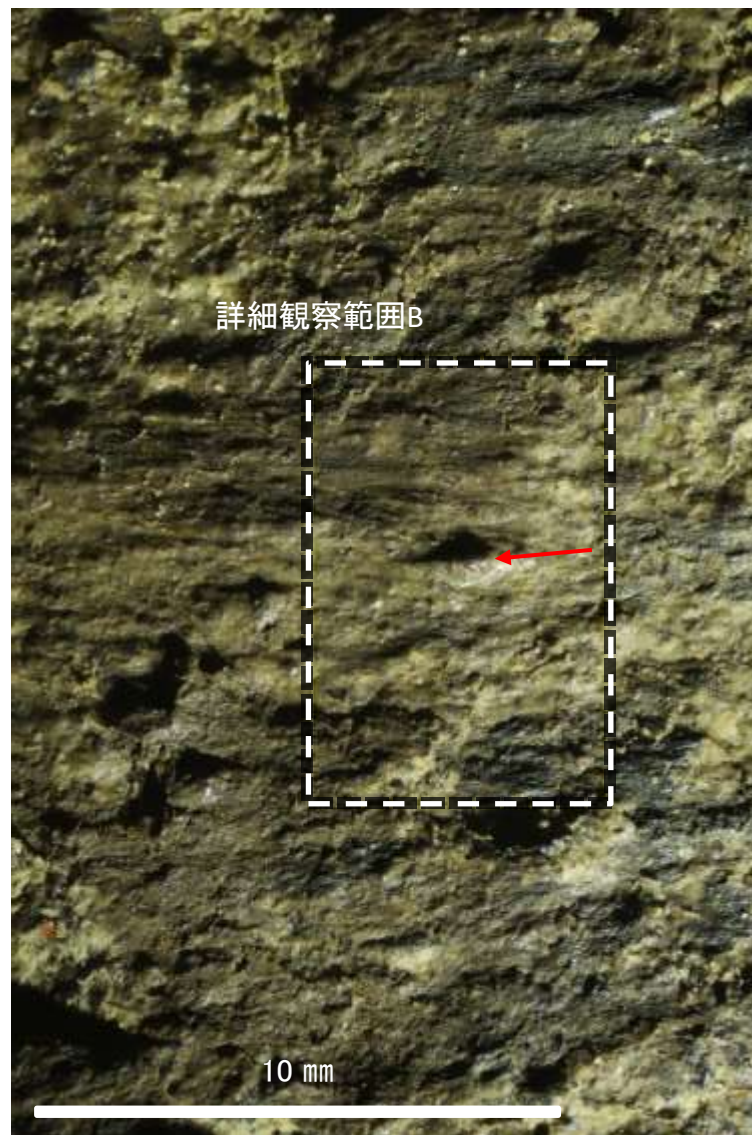


概念図

※走向は真北で示す。



観察面写真



観察面拡大写真B

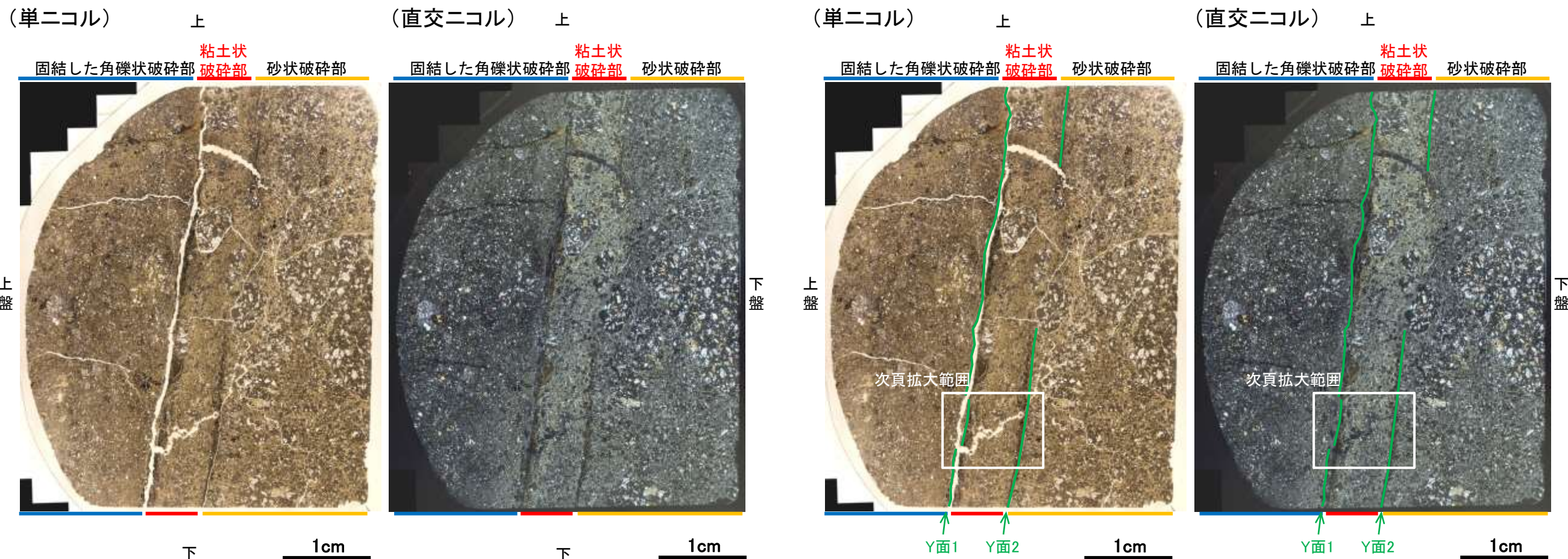


詳細観察写真B

# K-12の運動方向調査結果 —H-2.3-50孔(薄片観察)—

- 主せん断面において32° Rの条線方向で作成した薄片観察の結果, 上盤側から固結した角礫状破碎部, 粘土状破碎部, 砂状破碎部※に分帯される。
- 固結した角礫状破碎部と粘土状破碎部の境界をなすY面1が認められる。このY面1は, 凹凸を伴う箇所が多く, 直線性に乏しい。
- 粘土状破碎部と砂状破碎部の境界をなすY面2が認められる。このY面2は, 薄片中央部付近において粘土鉱物によって不明瞭となっており, 連続性に乏しい。
- その他, 薄片内にY面に相当する構造は認められない。

※分帯名はコア観察での破碎部区分に対応



薄片写真(H-2.3-50\_32R)  
(右は構造等を加筆)

凡例  
— Y面

## 薄片観察結果

### 固結した角礫状破碎部:

単ニコルで暗褐色, 直交ニコルで淡褐~暗灰色の干渉色を呈する。径5mm以下の岩片が細粒な基質中に含まれる。岩片は垂角~垂円形である。粘土状破碎部との境界付近は, 粘土鉱物を比較的多く含む。岩片の縁辺部には粘土鉱物が生成されている。薄片上部の割れ目には不透明鉱物と粘土鉱物が生成されている。

### 粘土状破碎部:

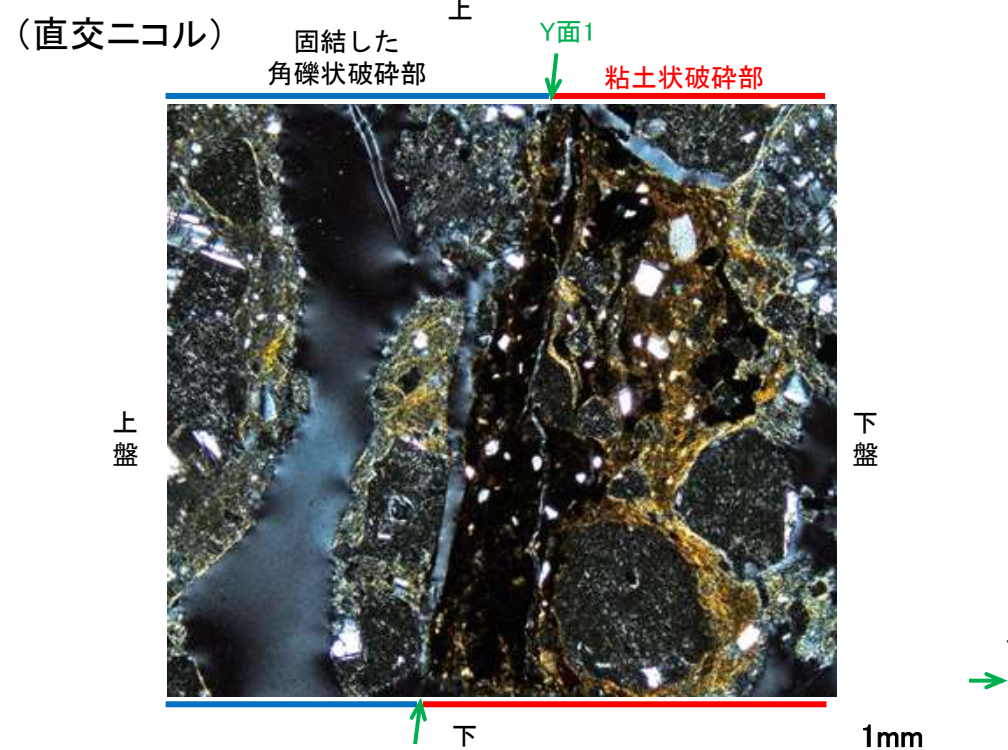
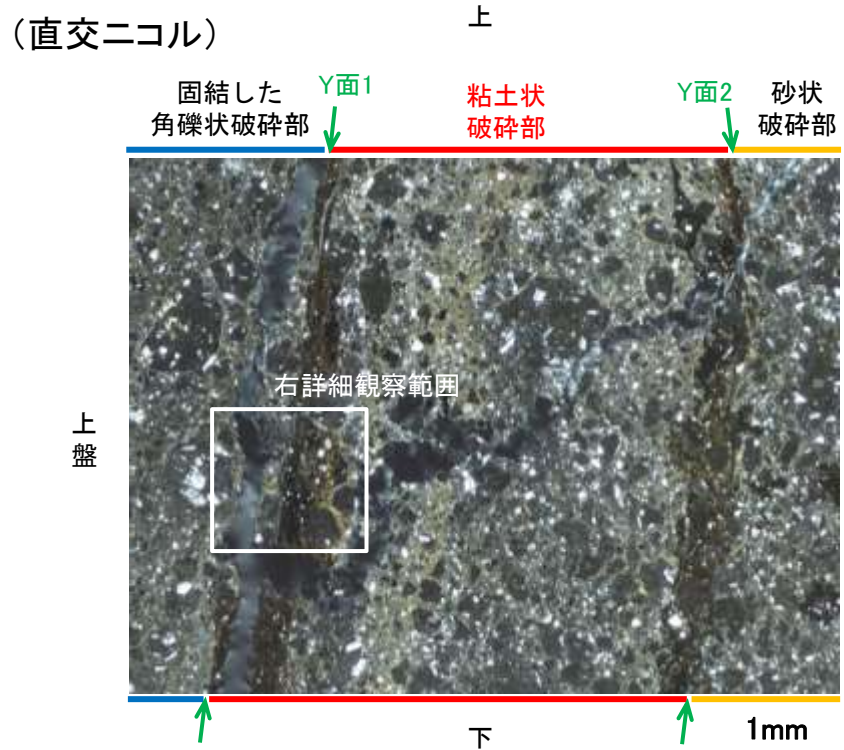
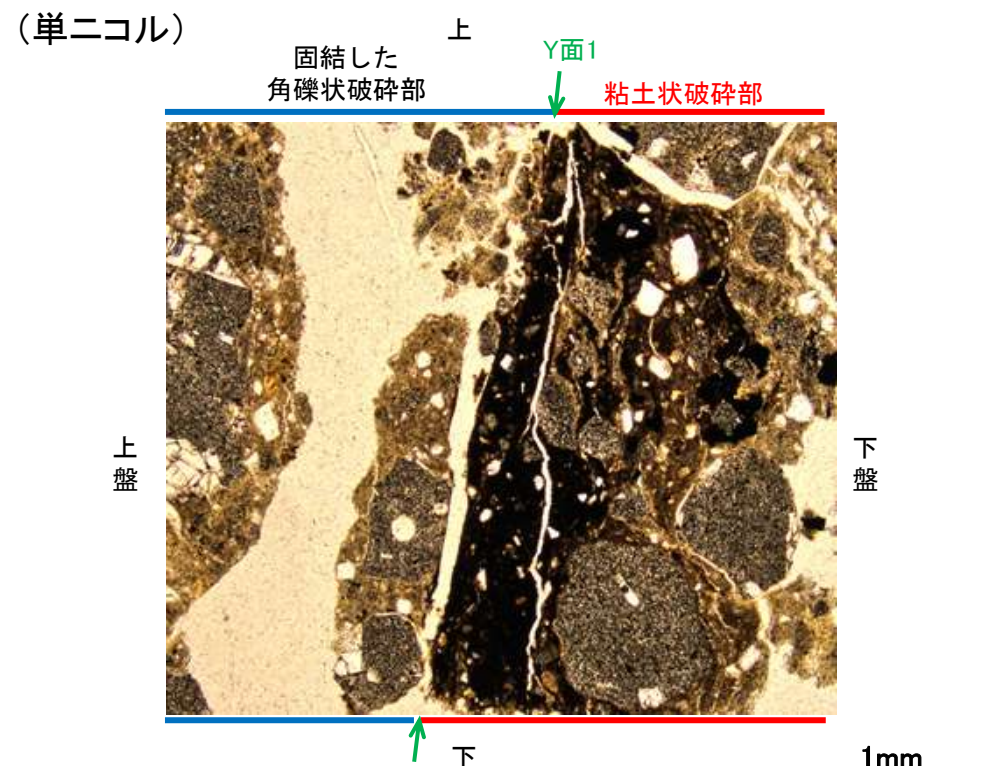
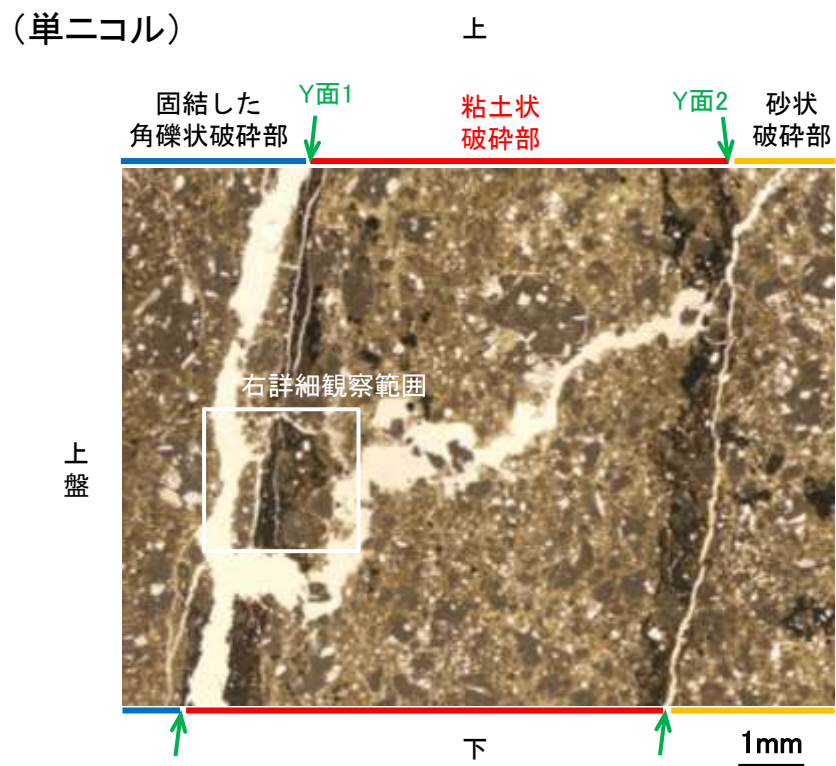
単ニコルで褐~褐灰色, 直交ニコルで灰~黄色の干渉色を呈する。径2mm以下の岩片や鉱物片が細粒な基質中に含まれており, 径7mm程度の岩片も認められる。岩片, 鉱物片は角~垂角形である。基質中や岩片の縁辺部には粘土鉱物が生成されている。

### 砂状破碎部:

単ニコルで暗褐色, 直交ニコルで淡褐~暗灰色の干渉色を呈する。径7mm以下の岩片が細粒な基質中に含まれており, 径40mm以上の岩片も認められる。岩片は垂角~垂円形である。岩片の縁辺部には粘土鉱物が生成されている。

# K-12の運動方向調査結果 —H-2.3-50孔(薄片観察, 詳細観察)—

- 固結した角礫状破碎部中には複合面構造は認められず, 変位センスは特定できない。
- 砂状破碎部中には複合面構造は認められず, 変位センスは特定できない。
- 粘土状破碎部中には複合面構造は認められず, 変位センスは特定できない



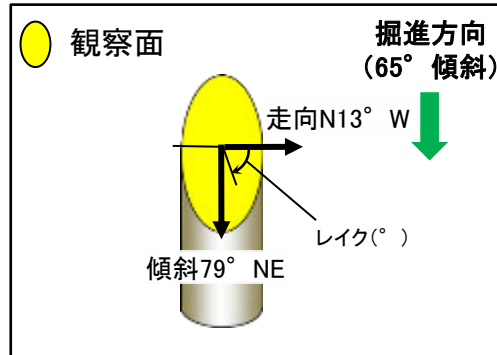
拡大範囲写真

詳細観察範囲写真

凡例  
→ ← Y面

# K-12の運動方向調査結果 —G-3.8-65孔(条線観察, 下盤側)—

- 主せん断面における条線観察の結果, 下盤側の観察面で70° Rの条線が認められる。
- 観察面において, 礫まわりの粘土の非対称構造などの変位センスを推定できるような構造は認められない。

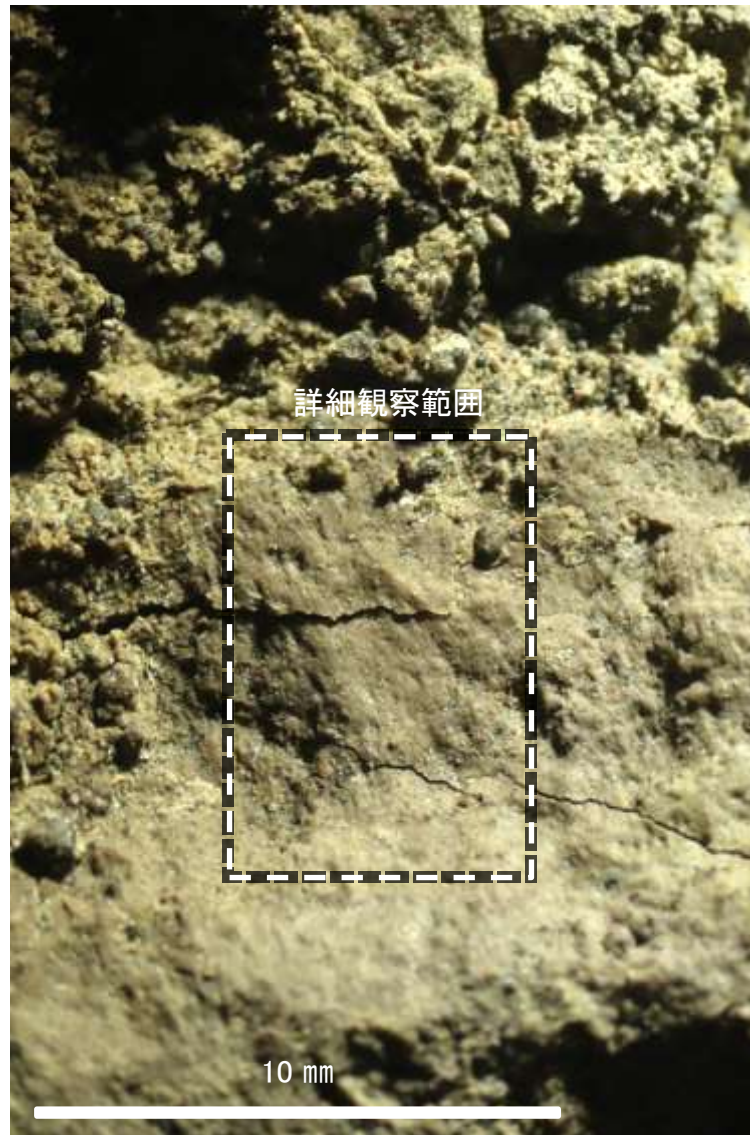


概念図

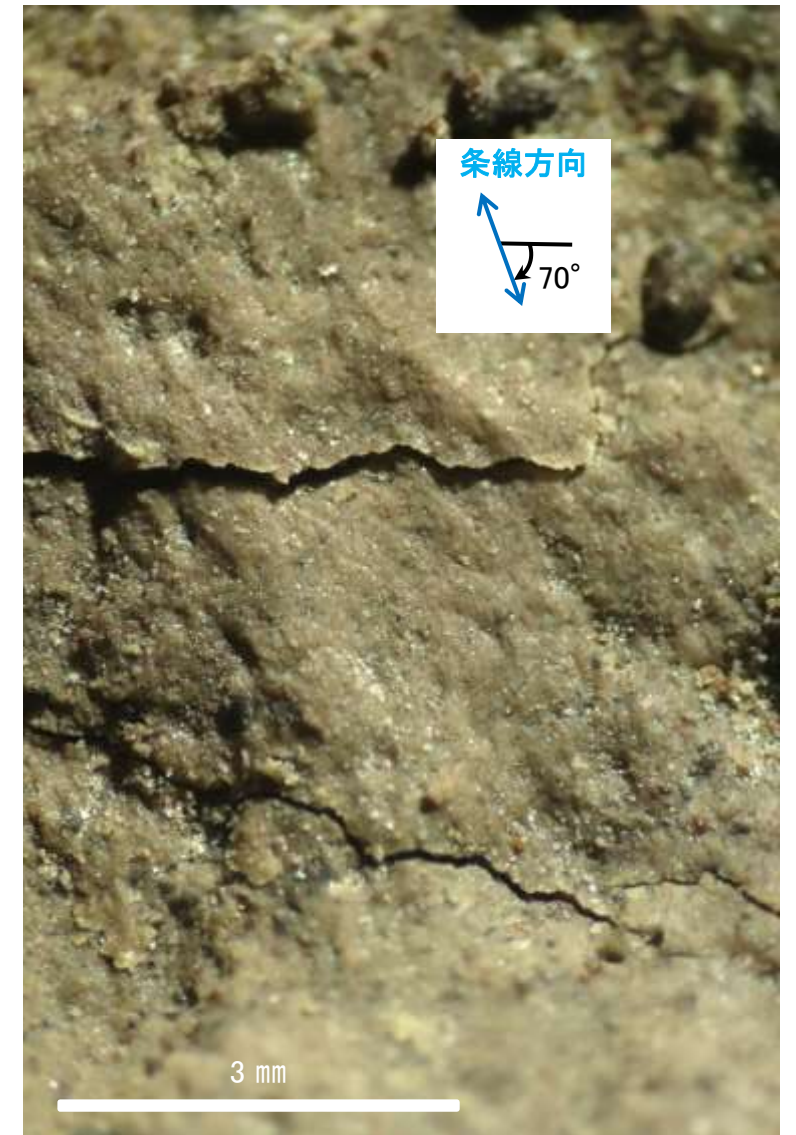
※走向は真北で示す。



観察面写真



観察面拡大写真



詳細観察写真

---

(18) K-13の運動方向調査結果



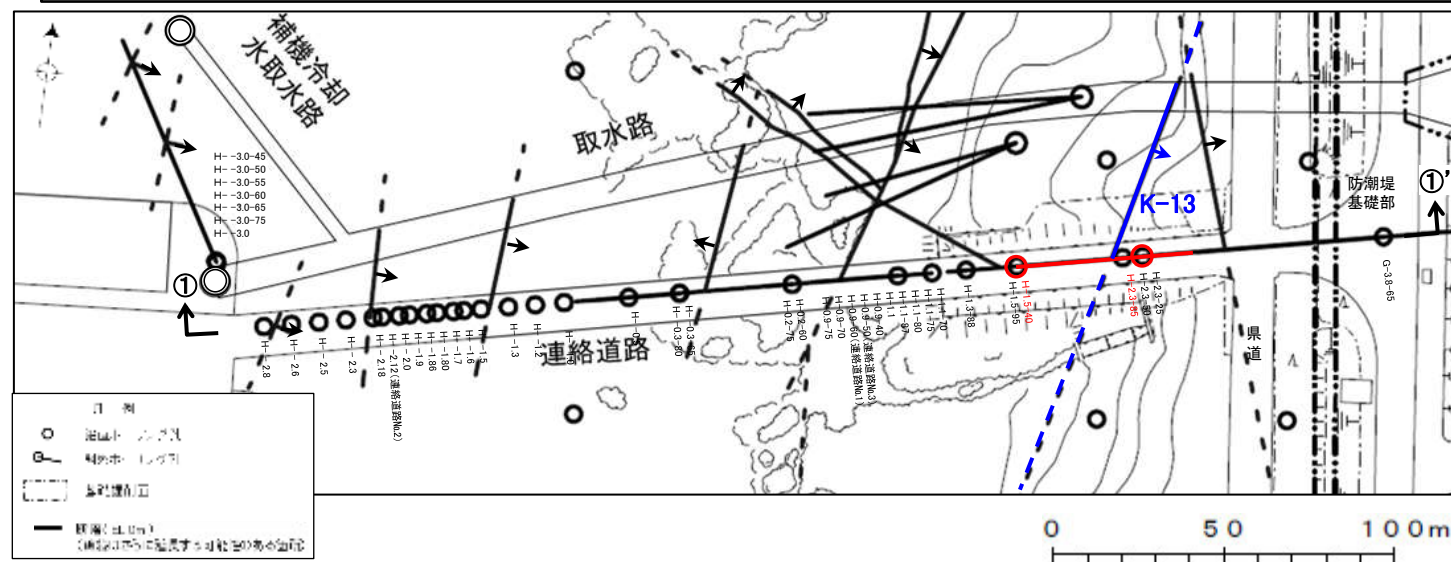
# K-13の運動方向調査結果 一概要一

○コア観察, CT画像観察, 条線観察, 薄片観察結果から, 固結した破砕部では正断層の変位センスが認められ, 粘土状破砕部では左横ずれを伴う逆断層の変位センスが認められる。観察結果を次頁以降に示す。

観察結果 一覧表

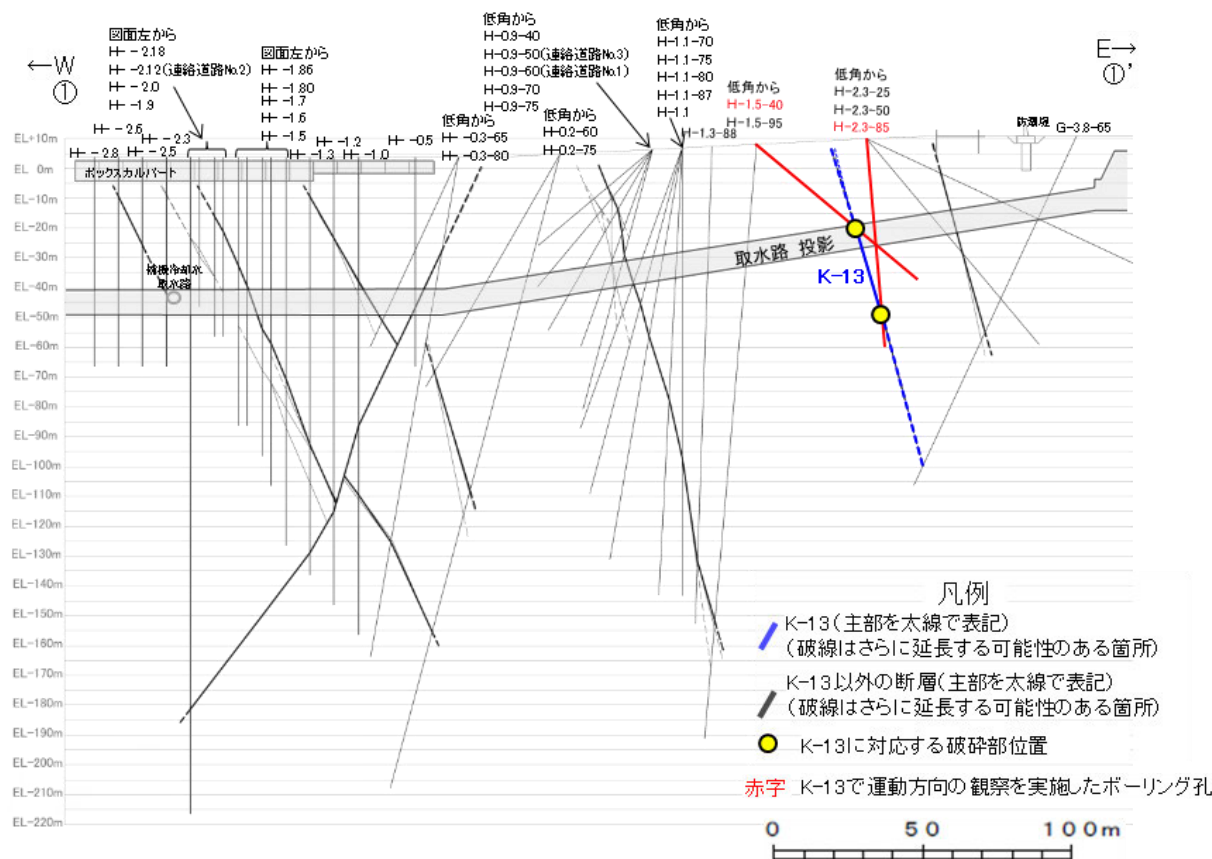
試料名	走向/傾斜 (走向は真北)	固結した破砕部	粘土状破砕部		
		変位センス (コア観察, 薄片観察)	条線の レイク*1	変位センス (条線観察)	変位センス (薄片観察)
H-1.5-40孔 [深度43.81m]	N8° E/65° SE	正断層	144° R	(不明)	左横ずれ 逆断層
			109° R	(不明)	
H-2.3-85孔 [深度59.40m]	N16° E/81° SE		68° R	(不明)	

\*1: 上盤側で確認したレイクは下盤側に換算して示す。



位置図

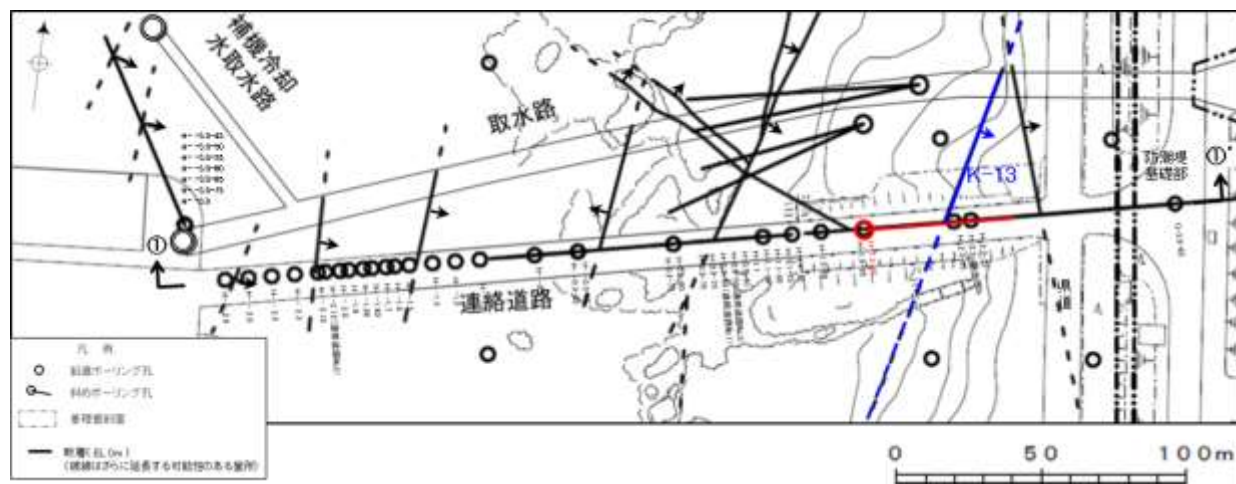
赤字 K-13で運動方向の観察を実施したボーリング孔  
矢印(➡)の向きは断層の傾斜方向を示す



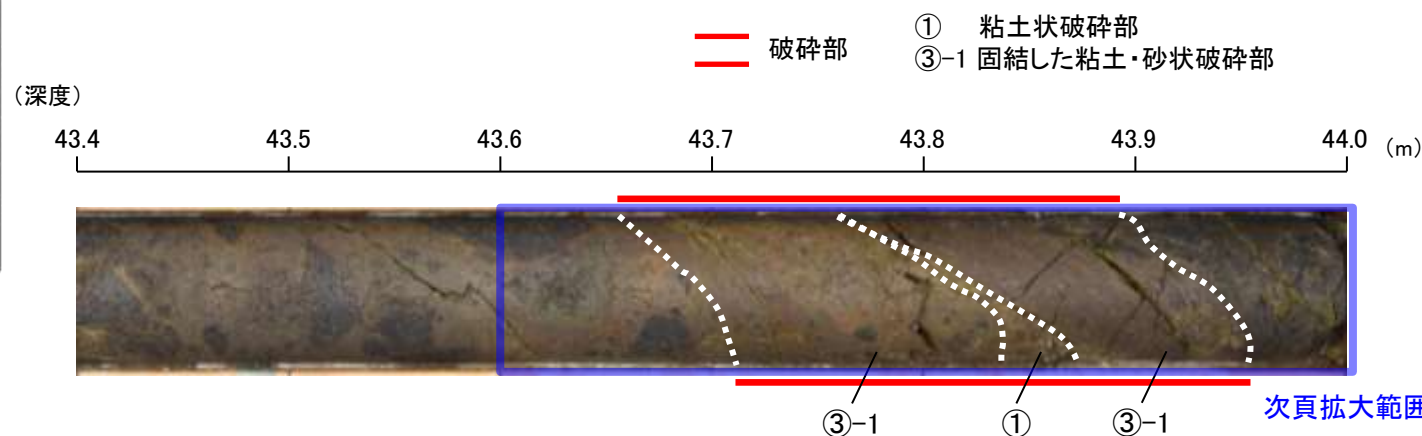
①-①' 断面図

# K-13の運動方向調査結果 —H-1.5-40孔—

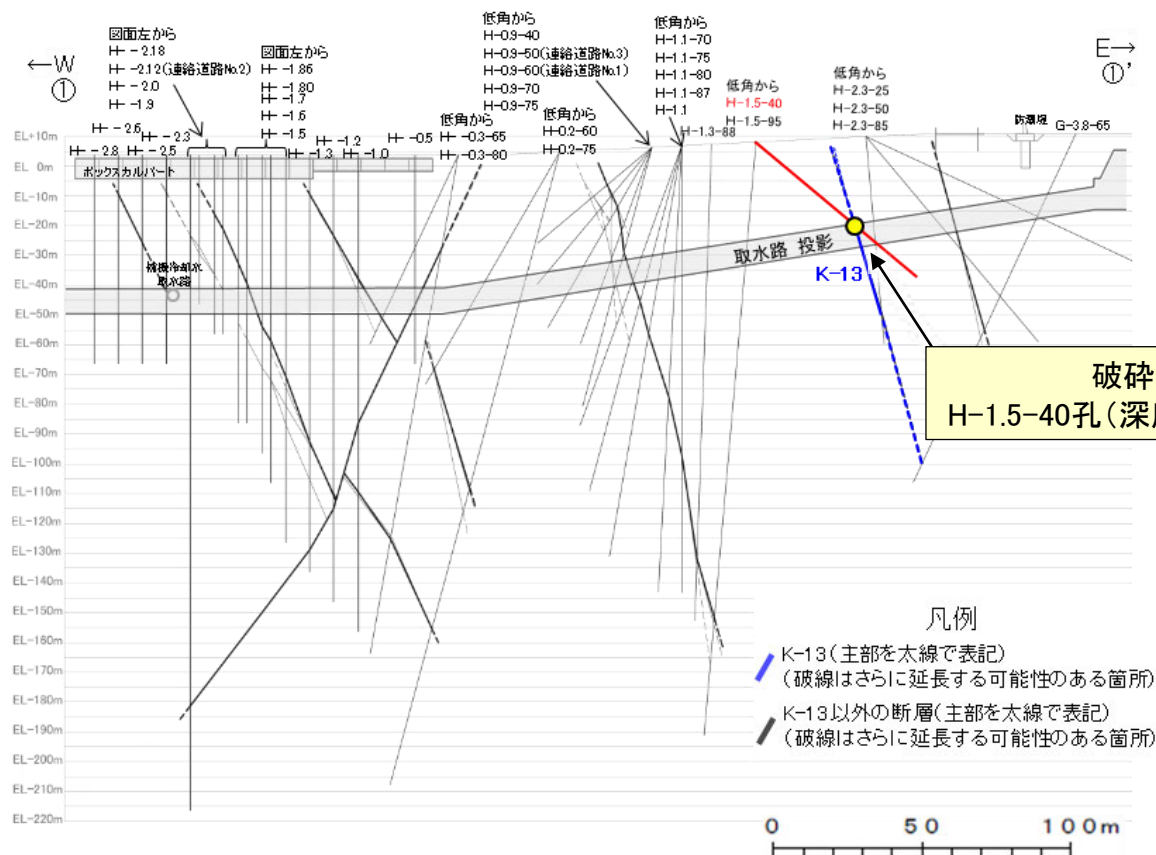
- H-1.5-40孔の深度43.69～43.92mにおいて、K-13に対応する破砕部が認められる。
- この破砕部を対象として、コア観察により固結した破砕部の運動方向を確認した。
- 次に、コア観察及びCT画像観察により抽出した主せん断面において、条線観察、薄片観察を実施し、粘土状破砕部の運動方向を確認した。



位置図



コア写真(H-1.5-40孔, 破砕部区分を加筆)



①-①'断面図

### コア観察結果

深度43.69～43.92m:  
見かけの傾斜角30～70°の厚さ13～14cmの破砕部。厚さ13cmの固結した破砕部及び厚さ0.1～1.4cmの黄褐色の粘土状破砕部からなる。

# K-13の運動方向調査結果 —H-1.5-40孔(コア観察)—

○深度43.85m付近に固結した破碎部のせん断面が認められ、その上盤側に岩片や鉱物片の配列が認められる。  
 ○固結した破碎部のせん断面をY面とした時に、岩片や鉱物片の配列からP面を読み取ることができ、見かけ上盤側下がりの変位が推定される。  
 ○断層の走向傾斜がN8° E/65° SEであること、ボーリングの掘進方位及び掘進傾斜から考えると、固結した破碎部の運動方向は正断層センスである。

(深度) 43.6 43.7 43.8 43.9 44.0(m)



コア拡大写真(H-1.5-40孔)

孔壁上側

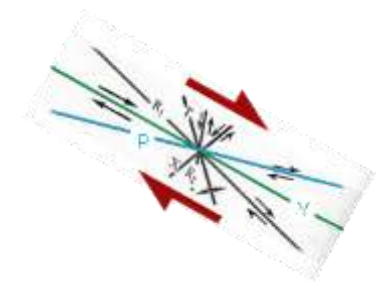
固結した破碎部のせん断面(=主せん断面)



孔壁下側

変形構造の拡大写真

見かけ上盤側下がり

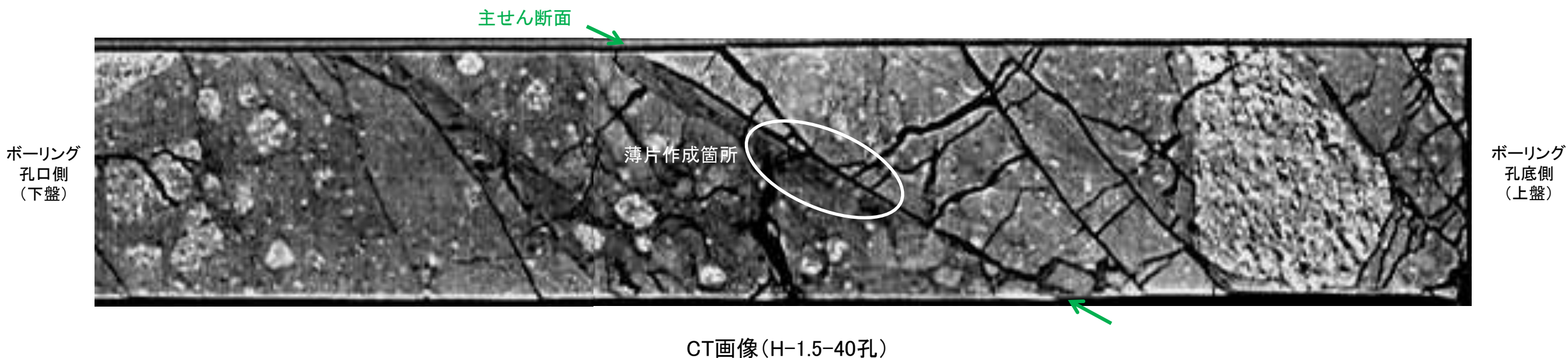


せん断センスを示す複合面構造 (狩野・村田(1998)に加筆)

# K-13の運動方向調査結果 —H-1.5-40孔(コア観察, CT画像観察)—

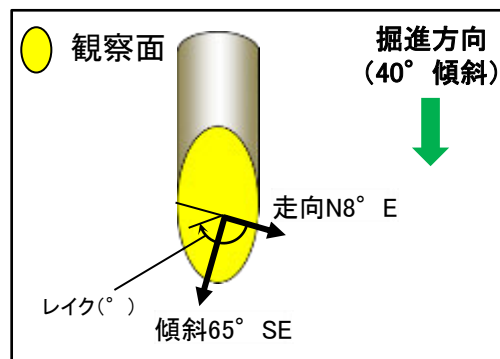
- コア観察, CT画像観察結果より, 固結した粘土・砂状破碎部に挟まれた深度43.85m付近に, 厚さ0.1~1.4cmの粘土状破碎部が認められる。
- 粘土状破碎部を伴う比較的直線性・連続性がよい面を, 主せん断面として抽出した。
- 主せん断面において, 条線観察及び薄片観察を実施した。

(深度) 43.6 43.7 43.8 43.9 44.0 (m)



# K-13の運動方向調査結果 —H-1.5-40孔(条線観察, 下盤側)—

- 主せん断面における条線観察の結果, 下盤側の観察面で $144^\circ$  R,  $109^\circ$  Rの条線が認められる。
- 観察面において, 礫まわりの粘土の非対称構造などの変位センスを推定できるような構造は認められない。

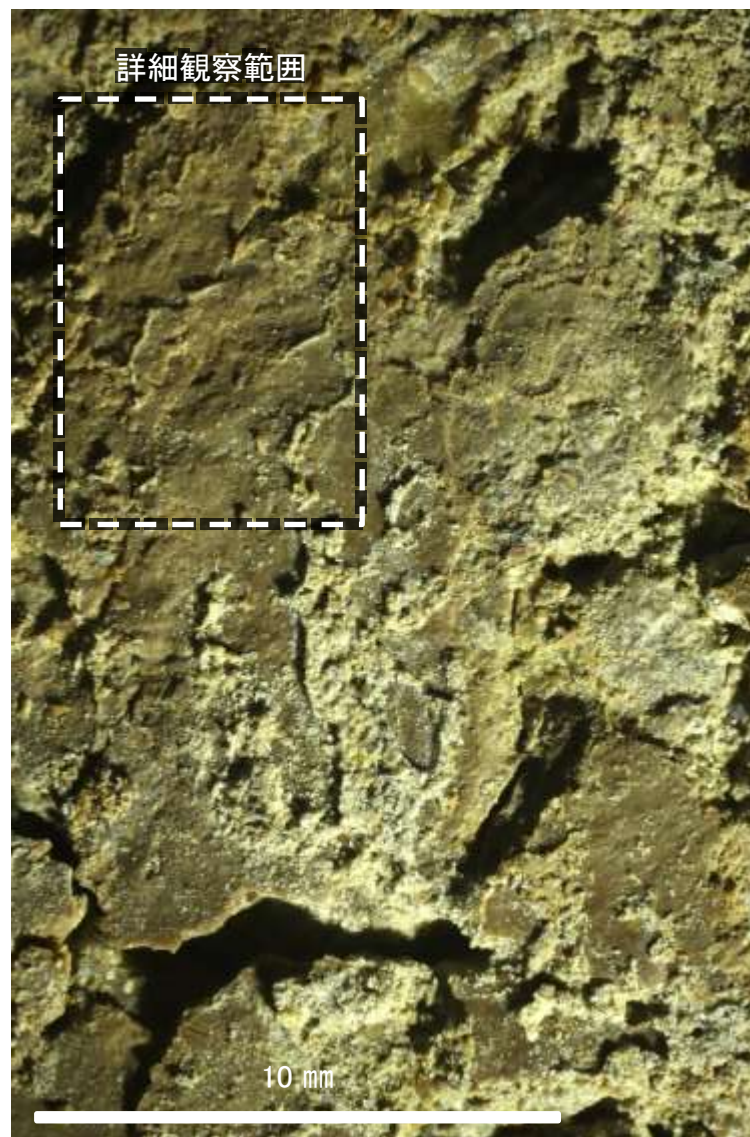


概念図

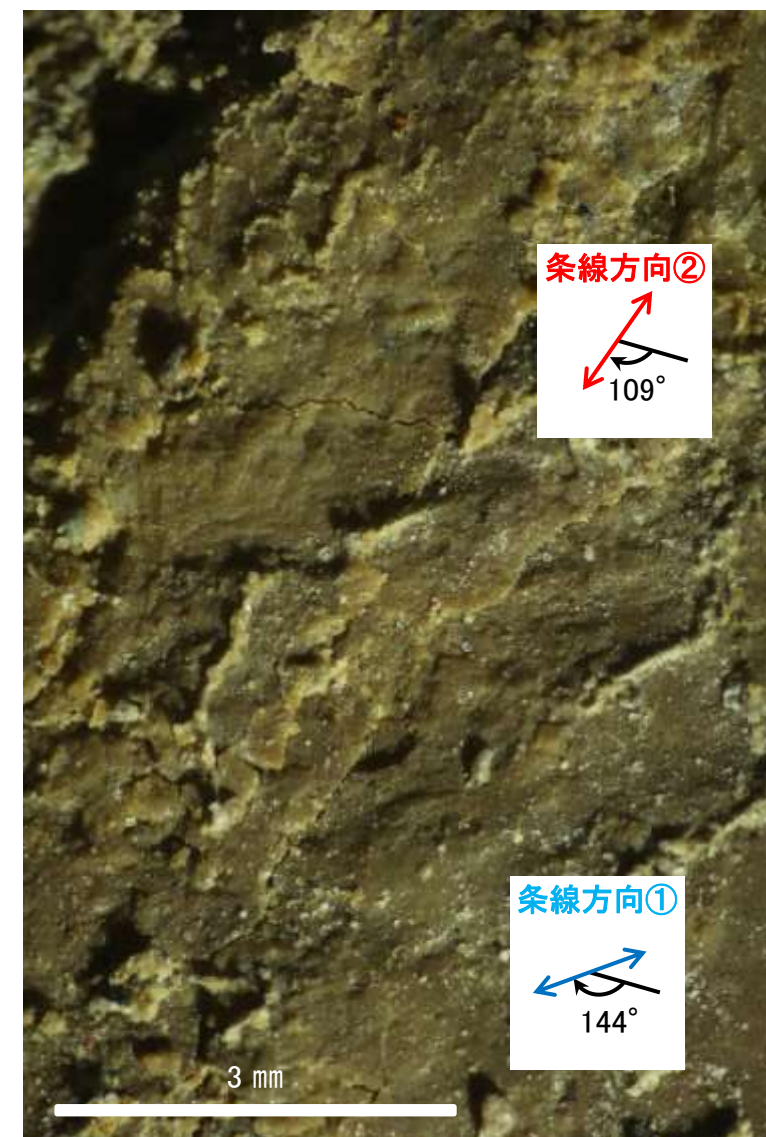
※走向は真北で示す。



観察面写真



観察面拡大写真



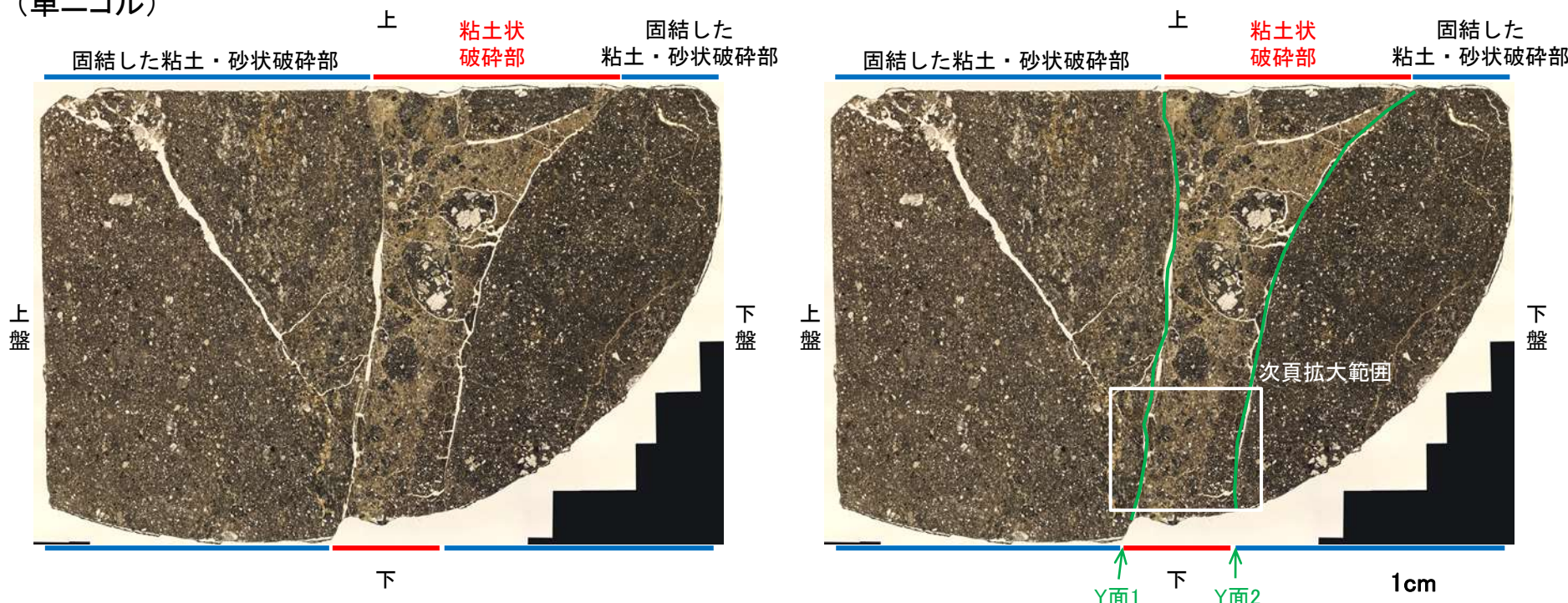
詳細観察写真

# K-13の運動方向調査結果 —H-1.5-40孔(薄片観察)—

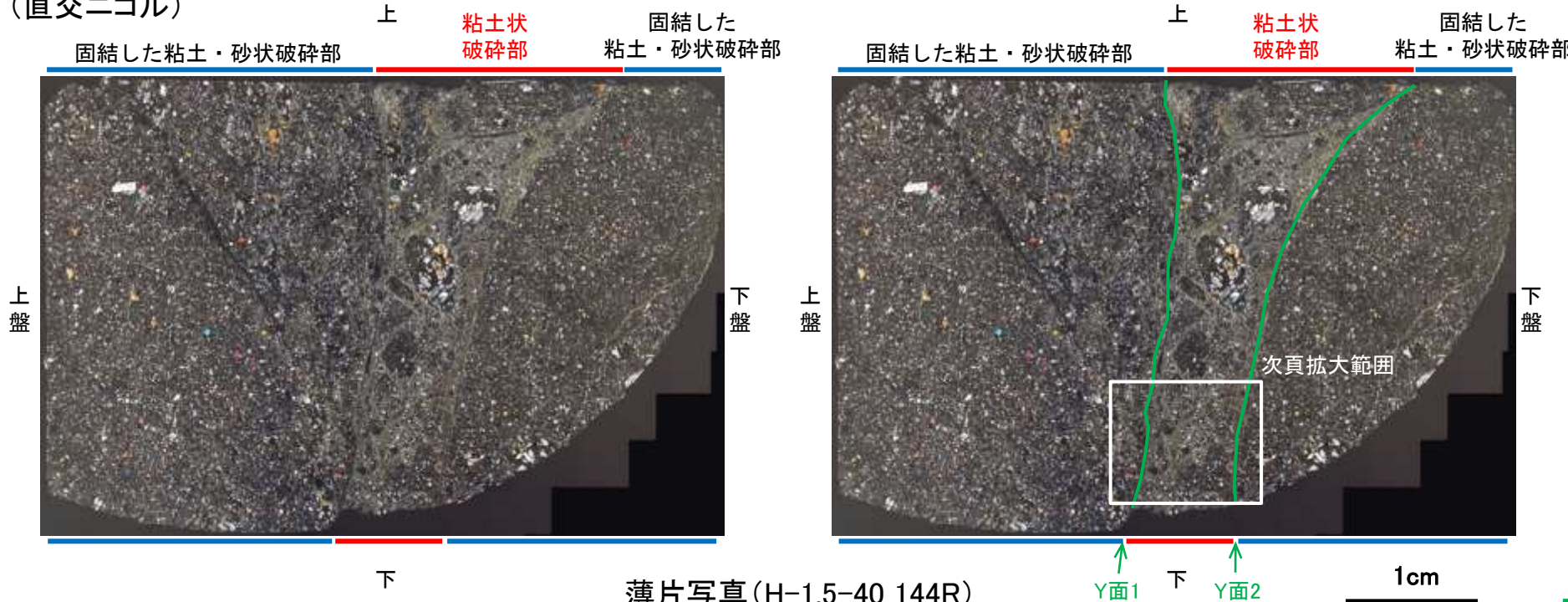
- 主せん断面において、144° Rの条線方向で作成した薄片観察の結果、上盤側から固結した粘土・砂状破碎部、粘土状破碎部、固結した粘土・砂状破碎部※に分帯される。
- 固結した粘土・砂状破碎部(上盤側)と粘土状破碎部の境界及び粘土状破碎部と固結した粘土・砂状破碎部(下盤側)の境界をなすY面1, Y面2が認められる。これらのY面1, Y面2は、凹凸を伴いつつ湾曲し、直線性に乏しい。
- その他、薄片内にY面に相当する構造は認められない。

※分帯名はコア観察での破碎部区分に対応

(単ニコル)



(直交ニコル)



薄片観察結果

固結した粘土・砂状破碎部(上盤側):  
単ニコルで褐灰～暗灰色、直交ニコルで灰色の干渉色を呈する。径3mm以下の岩片や鉱物片が細粒な基質中に含まれる。岩片、鉱物片は角～垂円形である。粘土状破碎部との境界付近の岩片間の間隙には粘土鉱物が生成されている。

粘土状破碎部:  
単ニコルで褐～褐灰色、直交ニコルで黄～灰色の干渉色を呈する。径7mm以下の岩片や鉱物片が細粒な基質中に含まれており、径10mm以上の岩片も認められる。岩片、鉱物片は角～垂角形である。基質中や岩片の縁辺部には粘土鉱物が生成されている。

固結した粘土・砂状破碎部(下盤側):  
単ニコルで褐灰～暗灰色、直交ニコルで灰色の干渉色を呈する。径3mm以下の岩片や鉱物片が細粒な基質中に含まれる。岩片、鉱物片は角～垂角形である。割れ目には粘土鉱物が生成されている。

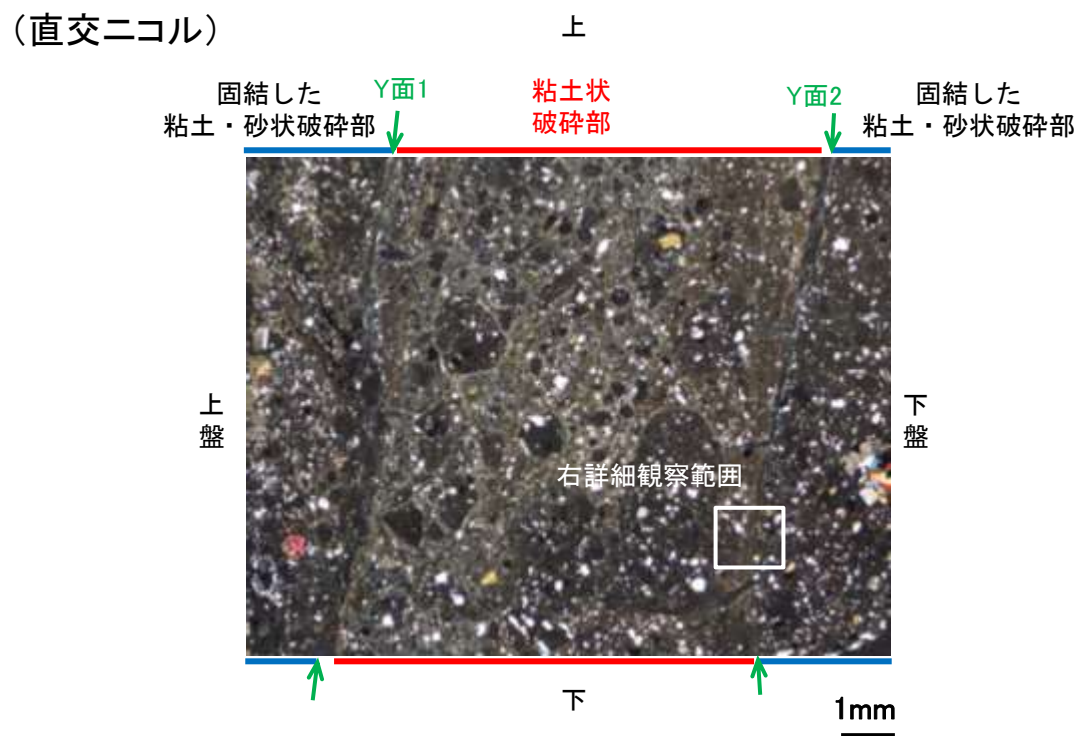
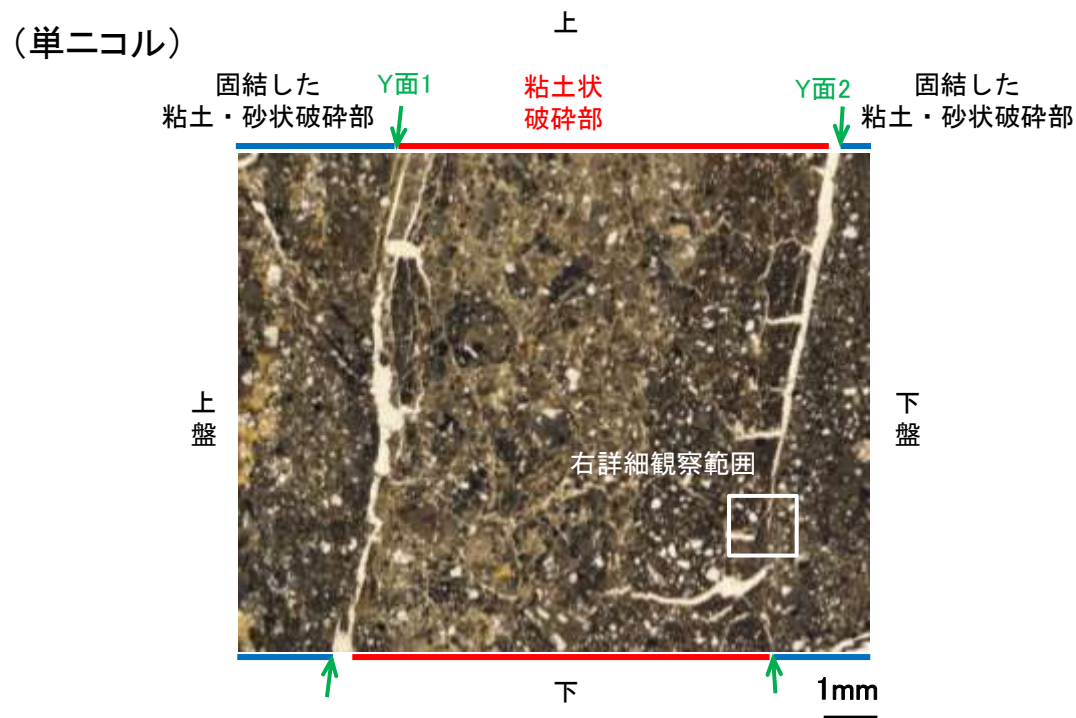
凡例

— Y面

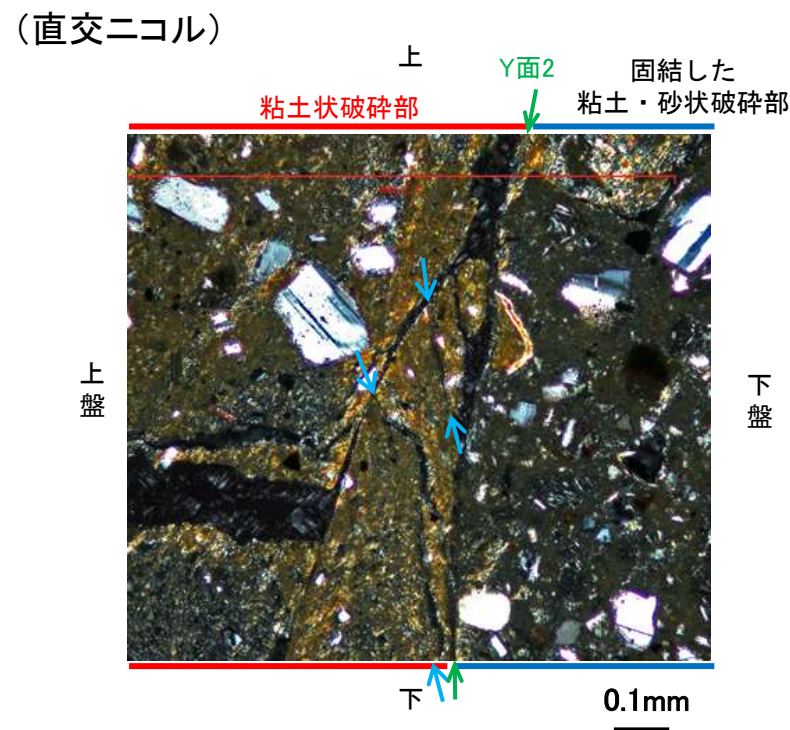
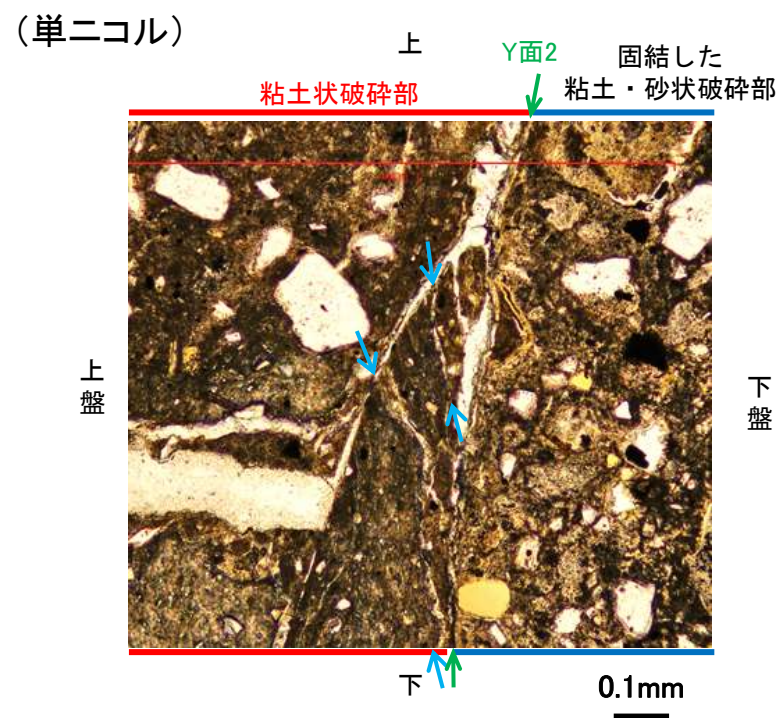
薄片写真(H-1.5-40\_144R)  
(右は構造等を加筆)

# K-13の運動方向調査結果 —H-1.5-40孔(薄片観察, 詳細観察)—

- 固結した粘土・砂状破碎部中には複合面構造は認められず, 変位センスは特定できない。
- 粘土状破碎部中の岩片や鉱物片の多くに定向性は認められない。ただし, Y面2の直近の一部において認められる粘土鉱物の微弱な定向配列をP面とすると, 見かけ上盤側上がりの変位が推定される。
- 断層の走向傾斜がN8° E/65° SE, 条線レイクが144° Rであることから, 粘土状破碎部の運動方向は左横ずれを伴う逆断層センスである。



拡大範囲写真



詳細観察範囲写真

見かけ  
上盤側上がり



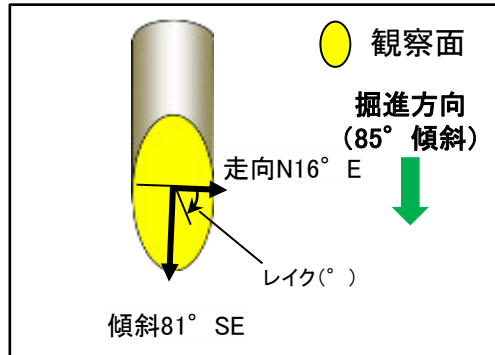
せん断センス  
を示す複合面構造  
(狩野・村田(1998)  
に加筆)

凡例

- ← Y面
- ← P面

# K-13の運動方向調査結果 —H-2.3-85孔(条線観察, 下盤側)—

- 主せん断面における条線観察の結果, 下盤側の観察面で $68^\circ$  Rの条線が認められる。
- 観察面において, 礫まわりの粘土の非対称構造などの変位センスを推定できるような構造は認められない。

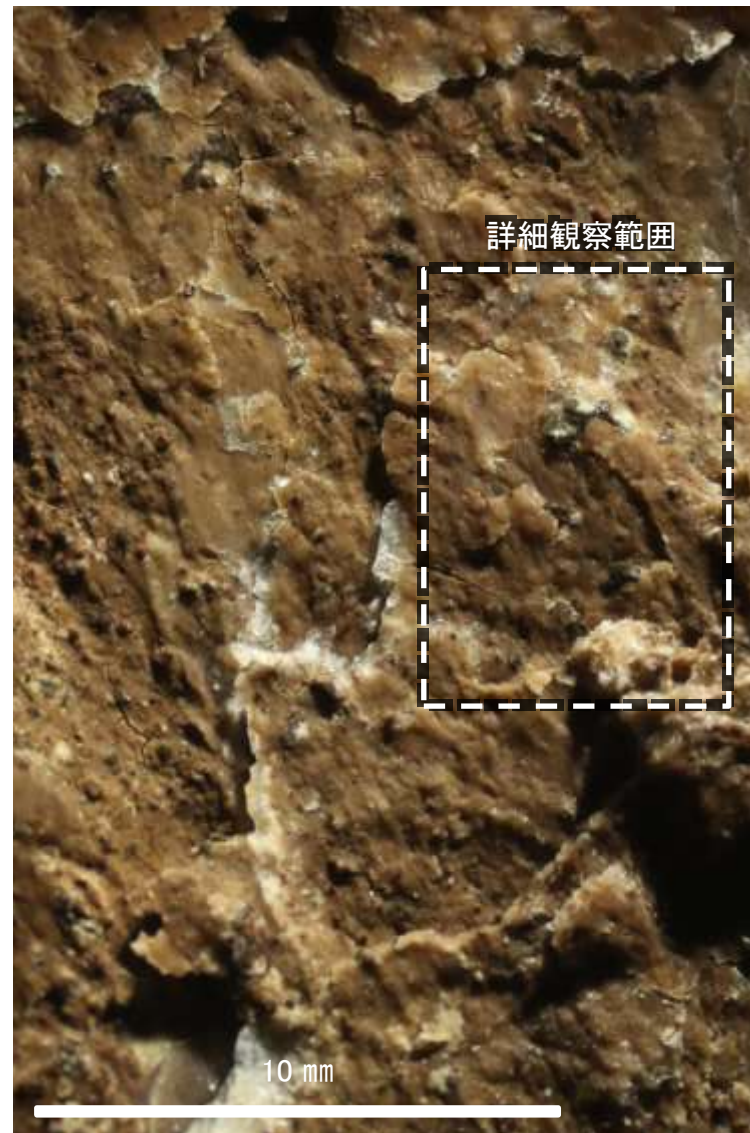


概念図

※走向は真北で示す。



観察面写真



観察面拡大写真



詳細観察写真

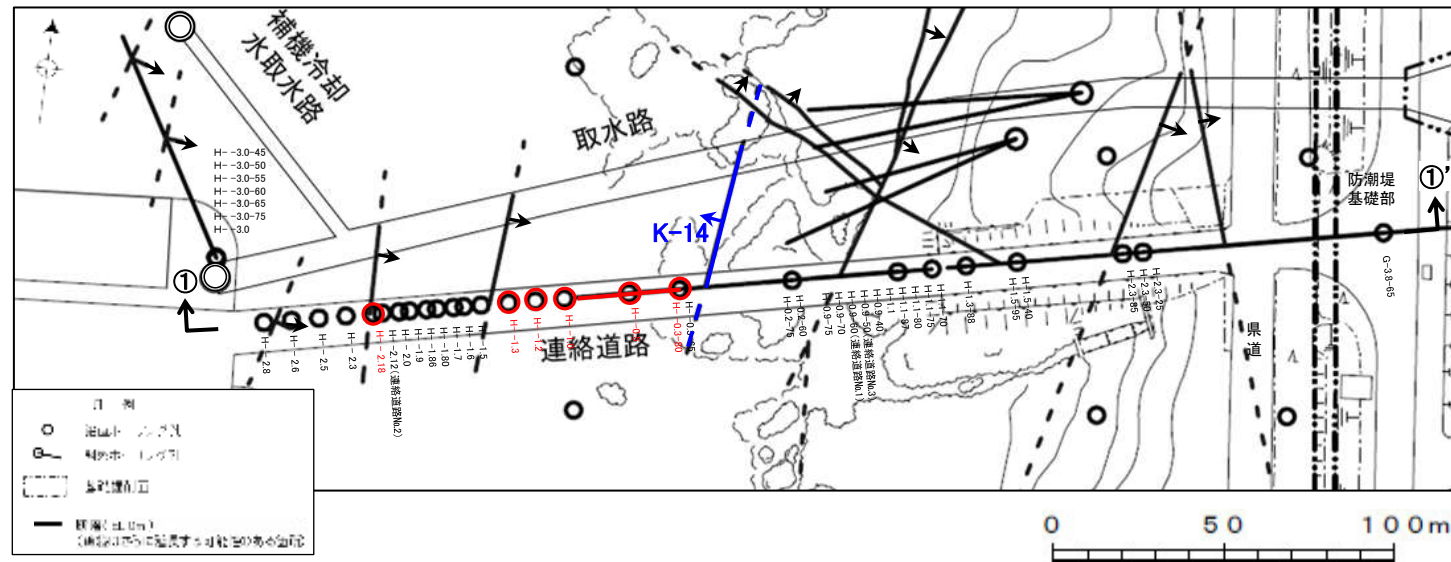


---

(19) K-14の運動方向調査結果

# K-14の運動方向調査結果 一概要一

○コア観察, CT画像観察, 条線観察, 薄片観察結果から, 固結した破碎部では正断層の変位センスが認められ, 粘土状破碎部では左横ずれまたは右横ずれを伴う逆断層の変位センスが認められる。観察結果を次頁以降に示す。



赤字 K-14で運動方向の観察を実施したボーリング孔

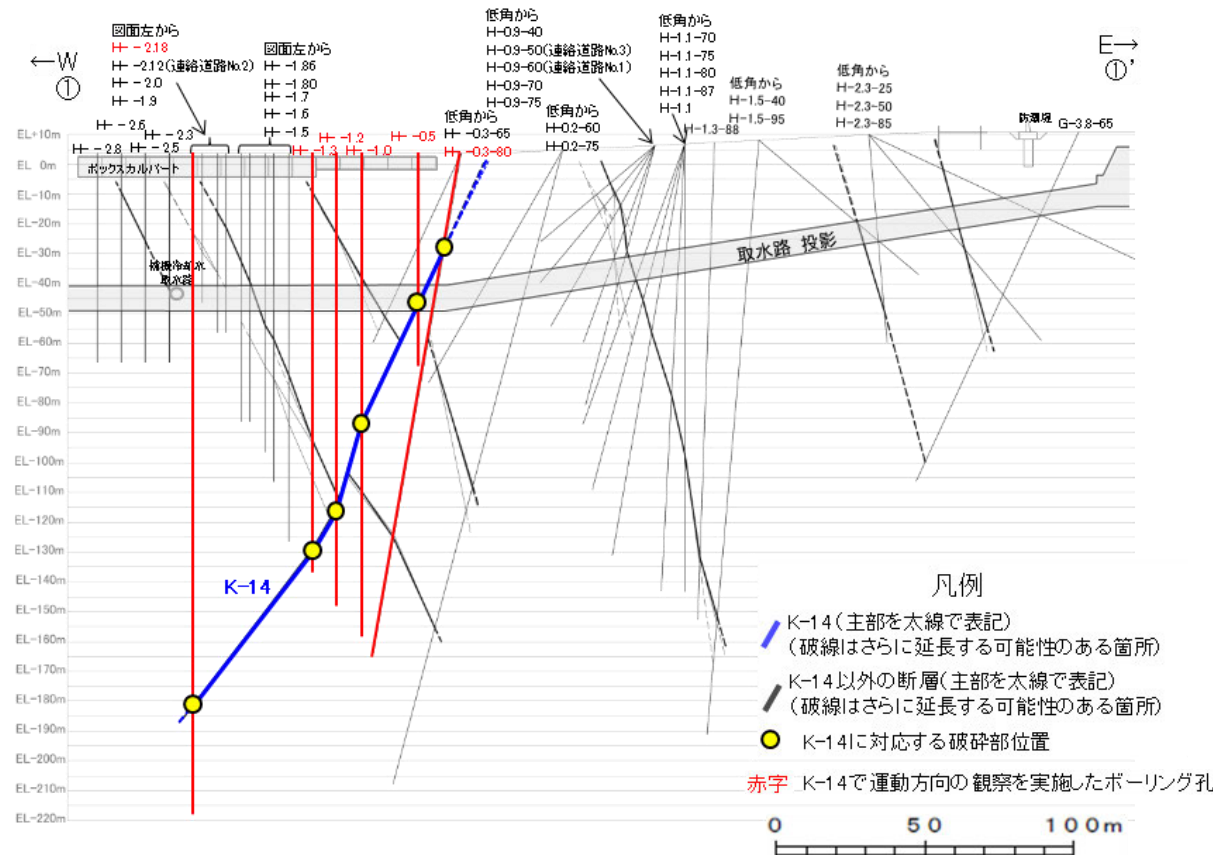
矢印(▲)の向きは断層の傾斜方向を示す

位置図

観察結果 一覧表

試料名	走向/傾斜 (走向は真北)	固結した破碎部 変位センス (コア観察, 薄片観察)	粘土状破碎部(角礫状破碎部)		
			条線の レイク*1	変位センス (条線観察)	変位センス (薄片観察)
H- -1.0孔 [深度90.03m]	N20° E/75° NW	正断層	105° R	左横ずれ 逆断層	(不明)
H- -0.3-80孔 [深度31.57m]	N5° E/68° NW	(不明)	107° R	(不明)	左横ずれ 逆断層
			87° R	(不明)	
H- -2.18孔 [深度185.01m]	N17° E/68° NW		125° R	左横ずれ 逆断層	
			145° R	左横ずれ 逆断層	
H- -1.2孔 [深度118.76m]	N2° W/64° SW		75° R	右横ずれ 逆断層	
			115° R	(不明)	
H- -0.5孔 [深度50.21m]	N10° W/70° SW		110° R	左横ずれ 逆断層	
			75° R	(不明)	
H- -1.3孔 [深度132.56m]	N24° E/58° NW		110° R	(不明)	

\*1: 上盤側で確認したレイクは下盤側に換算して示す。



凡例

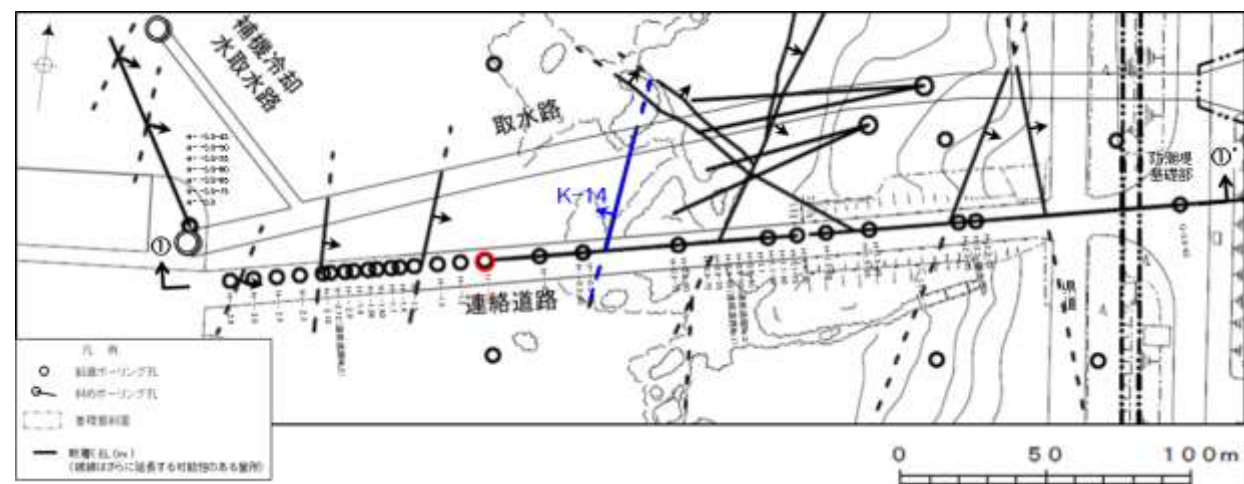
- K-14 (主部を太線で表記)  
(破線はさらに延長する可能性のある箇所)
- K-14以外の断層(主部を太線で表記)  
(破線はさらに延長する可能性のある箇所)
- K-14に対応する破碎部位置

赤字 K-14で運動方向の観察を実施したボーリング孔

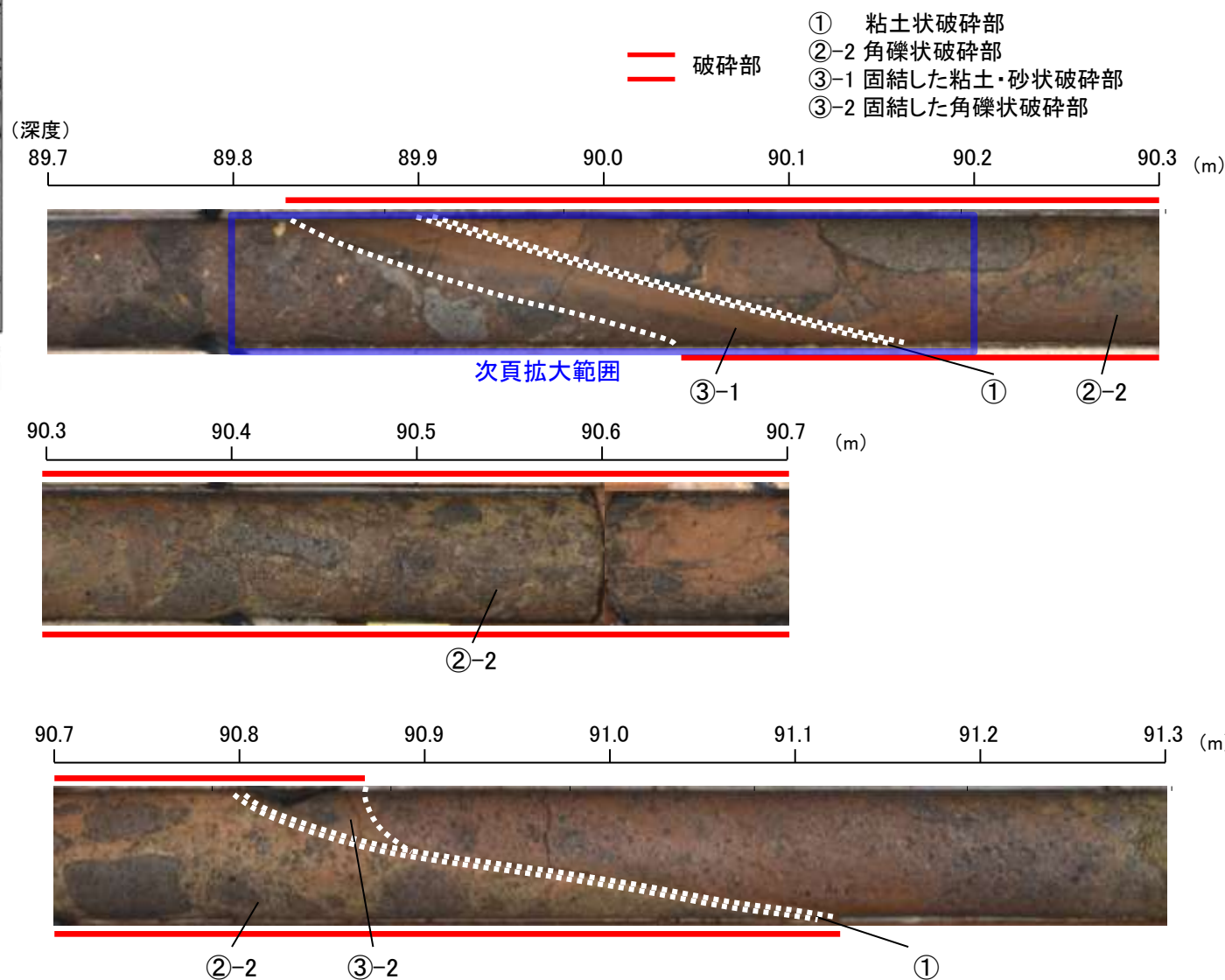
①-①' 断面図

# K-14の運動方向調査結果 -H- -1.0孔-

- H- -1.0孔の深度89.94~91.00mにおいて、K-14に対応する破砕部が認められる。
- この破砕部を対象として、コア観察により固結した破砕部の運動方向を確認した。
- 次に、コア観察及びCT画像観察により抽出した主せん断面において、条線観察、薄片観察を実施し、粘土状破砕部の運動方向を確認した。



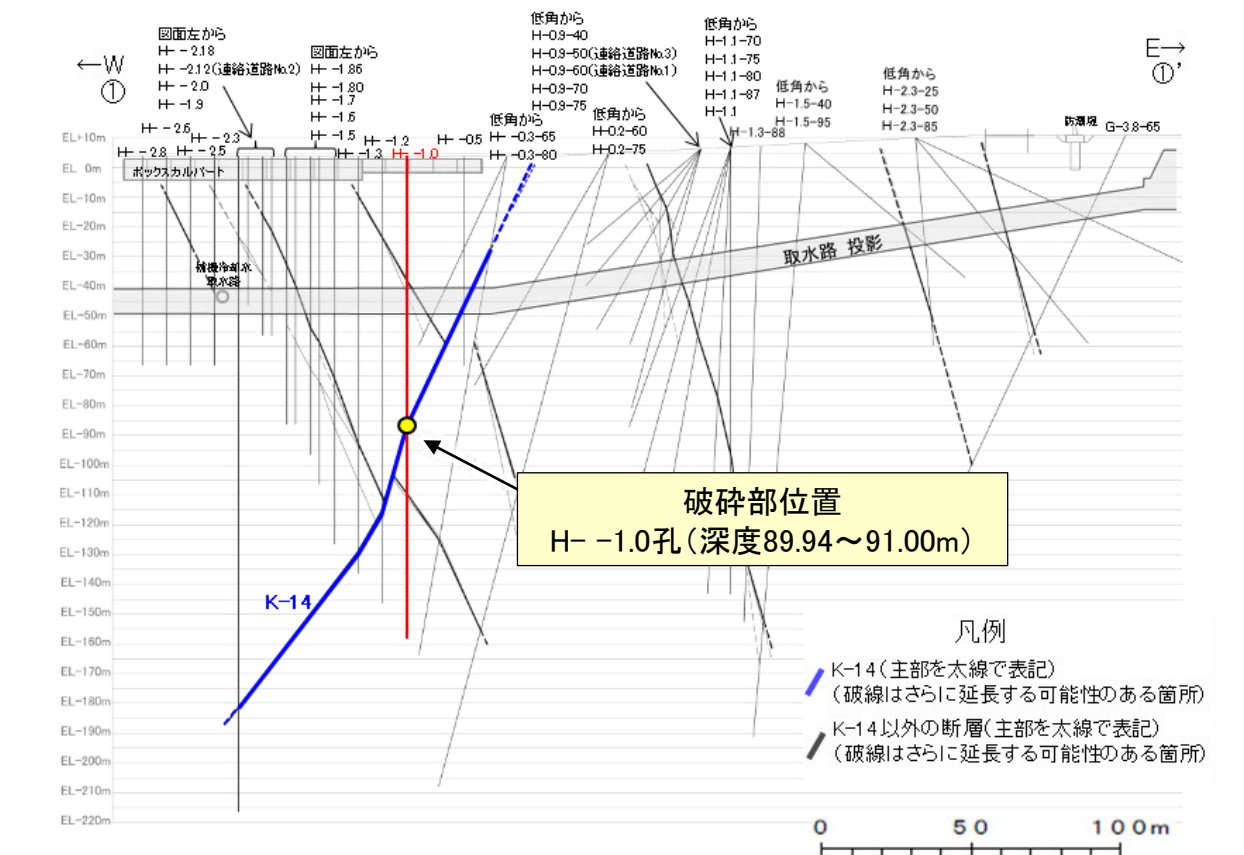
位置図



コア写真(H- -1.0孔, 破砕部区分を加筆)

コア観察結果

深度89.94~91.00m:  
傾斜角70~80°の厚さ27~28cmの破砕部。厚さ2.4~2.9cmの固結した破砕部, 厚さ0.1~0.3cmの黒褐~明褐色の粘土状破砕部, 厚さ23~25cmの黒~にぶい赤褐色の角礫状破砕部及び厚さ0.1~0.6cmの灰褐色の粘土状破砕部からなる。



①-①'断面図

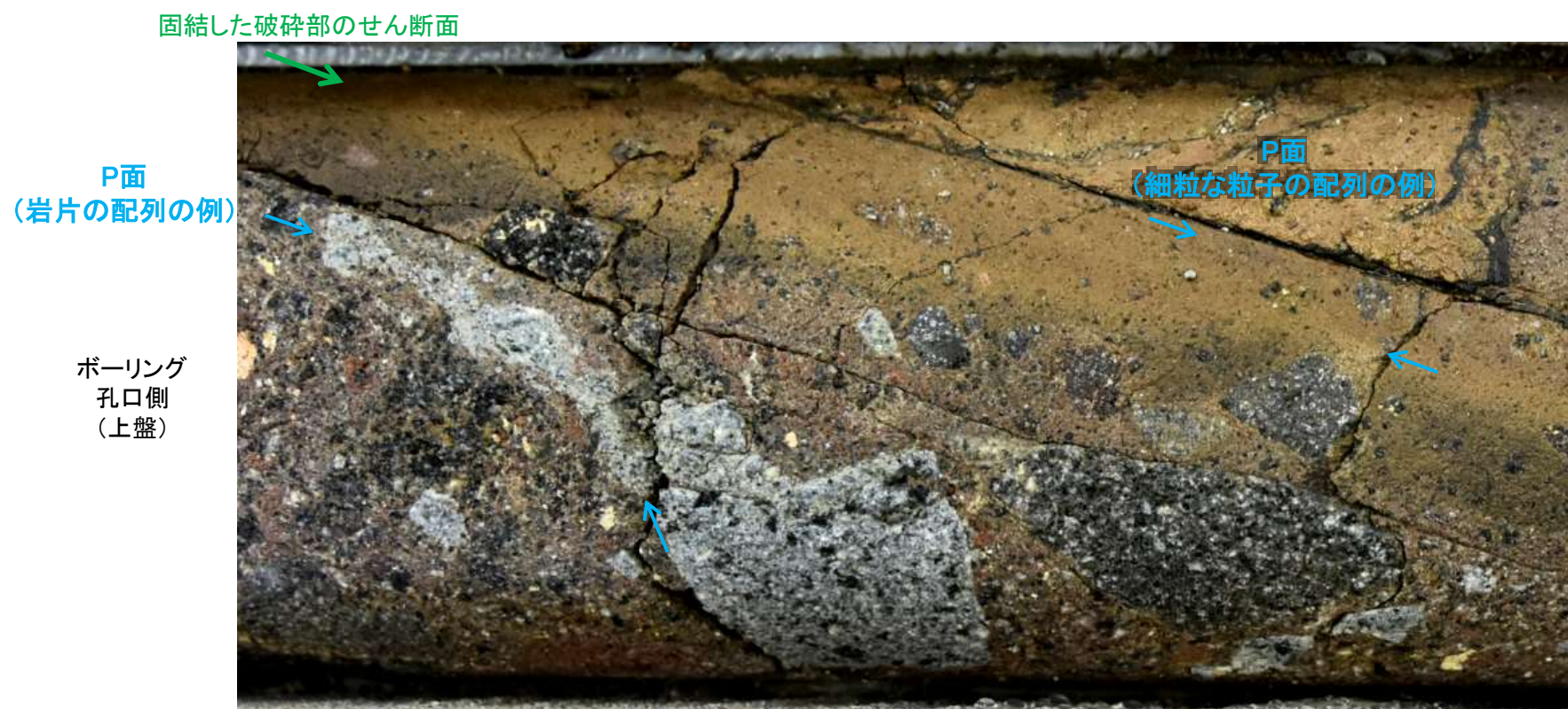
# K-14の運動方向調査結果 —H- -1.0孔(コア観察)—

- 深度89.90m付近に固結した破碎部のせん断面が認められ、その上盤側に岩片の配列が認められ、下盤側に細粒な粒子の配列が認められる。
- 固結した破碎部のせん断面をY面とした時に、岩片や細粒な粒子の配列からP面を読み取ることができ、見かけ上盤側下がりの変位が推定される。
- 断層の走向傾斜がN20° E/75° NWであること、ボーリングの掘進方位及び掘進傾斜から考えると、固結した破碎部の運動方向は正断層センスである。

(深度) 89.8 89.9 90.0 90.1 90.2 (m)

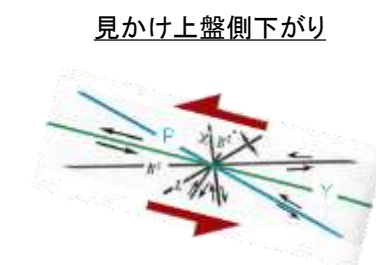


コア拡大写真(H- -1.0孔)



拡大範囲写真(右は構造等を加筆)

1cm



せん断センスを示す複合面構造 (狩野・村田(1998)に加筆)

# K-14の運動方向調査結果 —H- -1.0孔(コア観察, CT画像観察)—

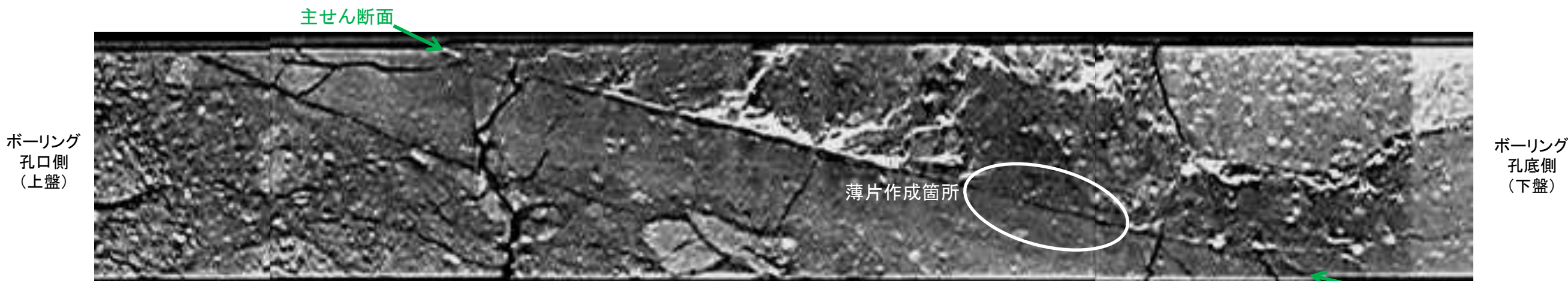
- コア観察, CT画像観察結果より, 固結した粘土・砂状破碎部と角礫状破碎部の境界である深度90.00m付近に, 厚さ0.1~0.3cmの粘土状破碎部が認められる。
- 粘土状破碎部を伴う比較的直線性・連続性がよい面を, 主せん断面として抽出した。
- 主せん断面において, 条線観察及び薄片観察を実施した。

(深度) 89.8 89.9 90.0 90.1 90.2 (m)



コア拡大写真(H- -1.0孔)

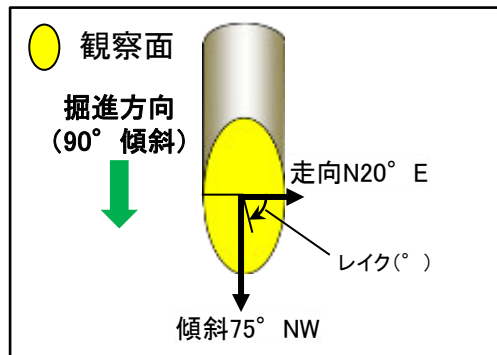
- 粘土状破碎部
- 角礫状破碎部
- 固結した粘土・砂状破碎部



CT画像(H- -1.0孔)

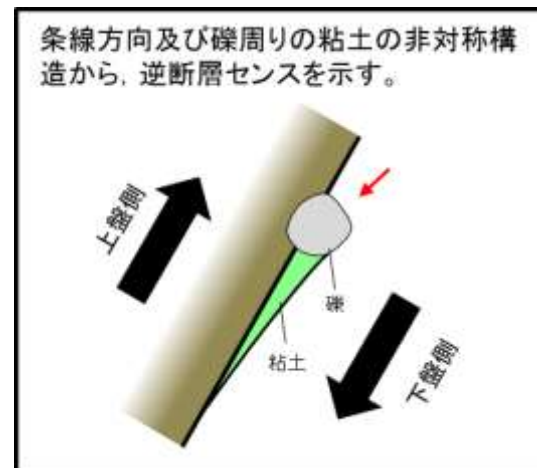
# K-14の運動方向調査結果 —H- -1.0孔(条線観察, 上盤側)—

○主せん断面における条線観察の結果, 上盤側の観察面で75° Rの条線が認められ, 下盤側換算すると105° Rとなる。  
○105° R(下盤側換算)の条線方向及び礫周りの粘土の非対称構造から, 左横ずれを伴う逆断層センスが推定される。

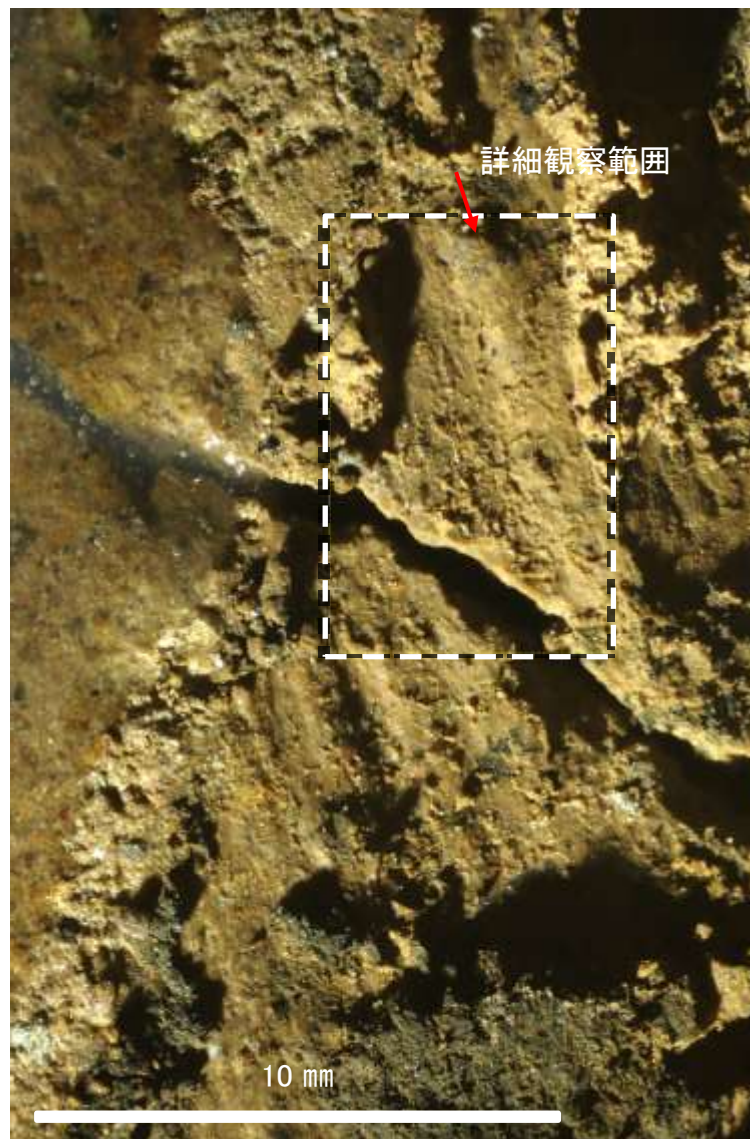


概念図

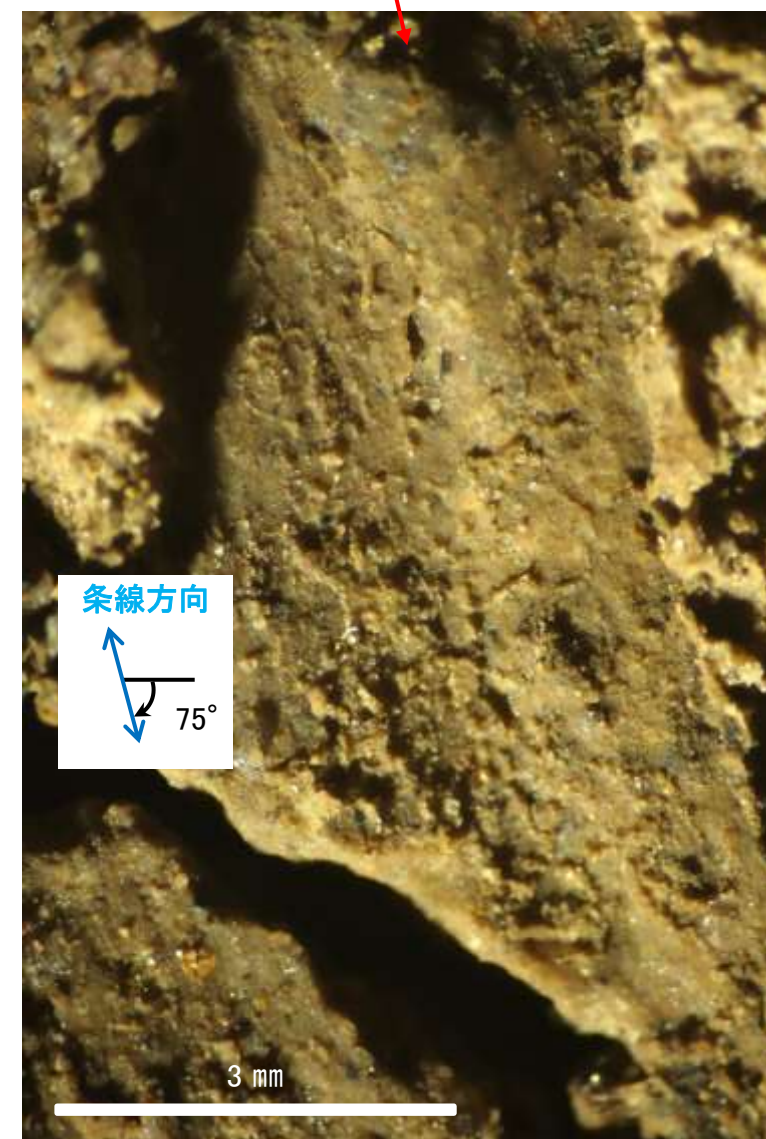
※走向は真北で示す。



観察面写真



観察面拡大写真



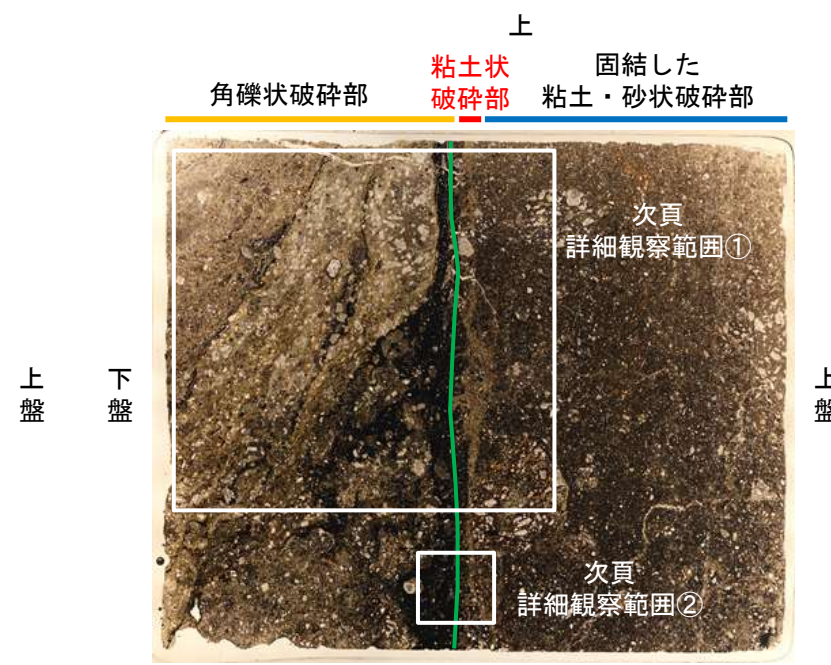
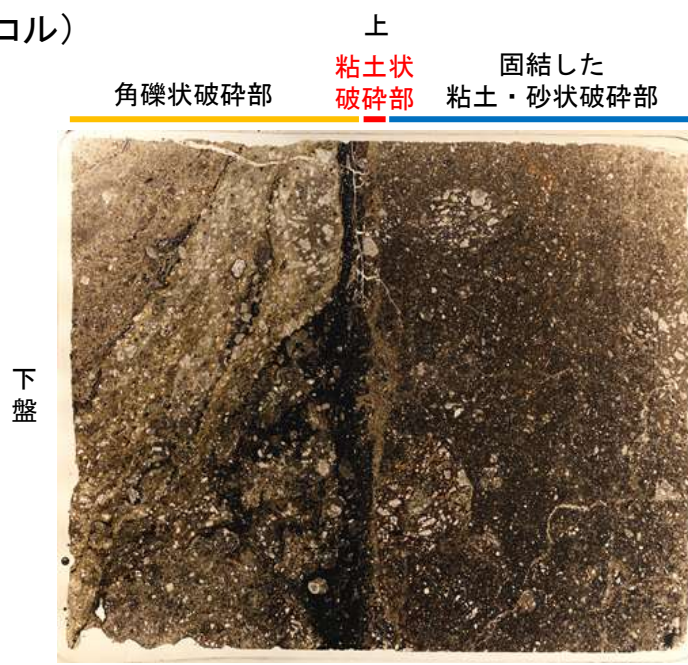
詳細観察写真

# K-14の運動方向調査結果 —H- -1.0孔(薄片観察)—

- 主せん断面において105° Rの条線方向で作成した薄片観察の結果, 下盤側から角礫状破碎部, 粘土状破碎部, 固結した粘土・砂状破碎部※に分帯される。
- 角礫状破碎部と粘土状破碎部の境界をなすY面が認められる。このY面の周囲には不透明鉱物が生成されており, Y面を不明瞭にしている。
- その他, 薄片内にY面に相当する構造は認められない。

※分帯名はコア観察での破碎部区分に対応

(単ニコル)



### 薄片観察結果

#### 角礫状破碎部:

単ニコルで褐灰～暗灰色, 直交ニコルで灰色の干渉色を呈する。径5mm以下の岩片や鉱物片が細粒な基質中に含まれており, 径30mm以上の岩片も認められる。岩片, 鉱物片は垂角～垂円形である。岩片内部や基質中には不透明鉱物が生成されている。

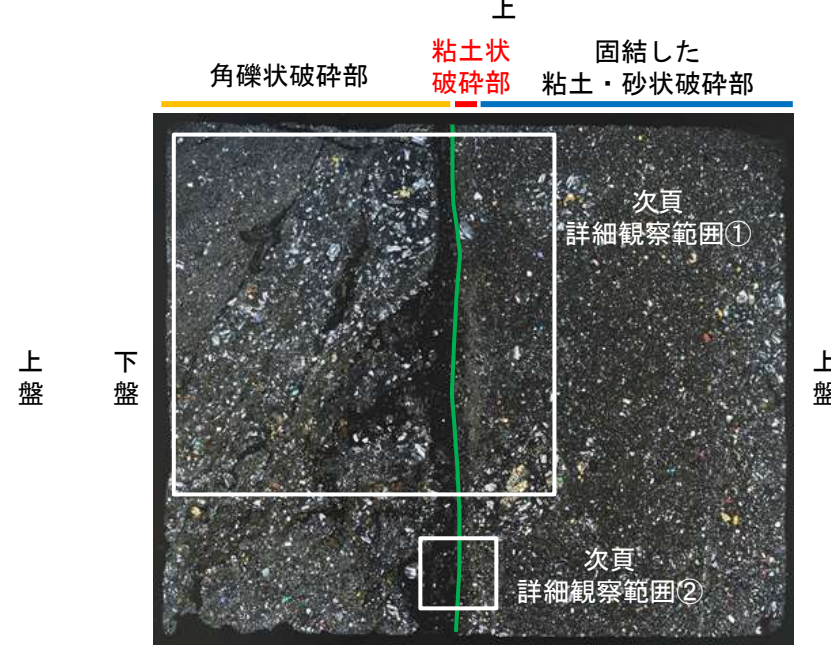
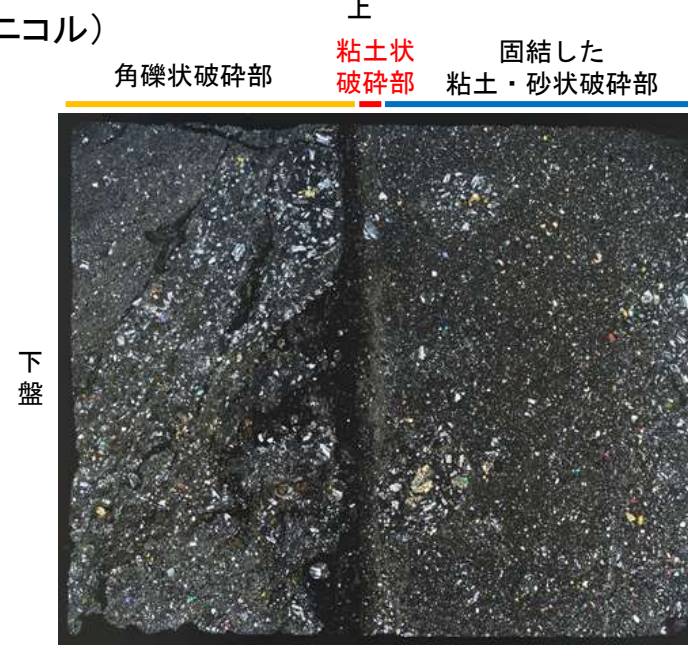
#### 粘土状破碎部:

単ニコルで褐灰～暗灰色, 直交ニコルで灰色の干渉色を呈する。径2mm以下の岩片や鉱物片が細粒な基質中に含まれる。岩片, 鉱物片は垂角～垂円形である。基質中や岩片の縁辺部, 割れ目沿いに粘土鉱物が生成されている。Y面付近において, 1mm程度の幅で不透明鉱物が比較的多く認められる。

#### 固結した粘土・砂状破碎部:

単ニコルで暗褐灰～暗灰色, 直交ニコルで灰色の干渉色を呈する。径2mm以下の岩片や鉱物片が細粒な基質中に含まれており, 径5～10mmの岩片も含まれる。岩片, 鉱物片は垂角～垂円形である。基質中や岩片の縁辺部, 割れ目には粘土鉱物が生成されている。

(直交ニコル)



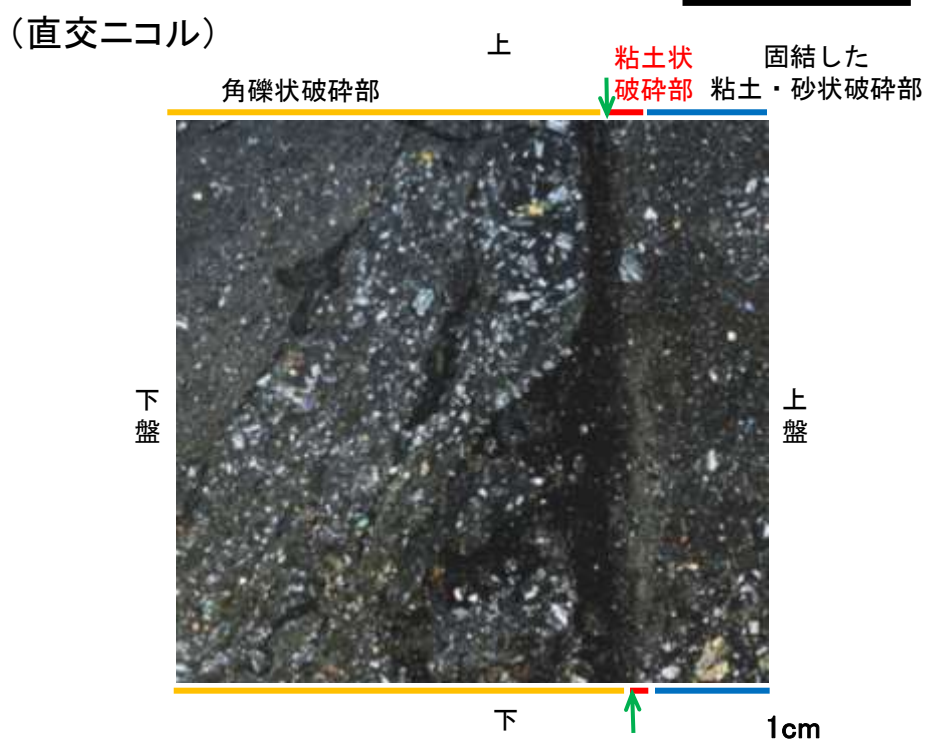
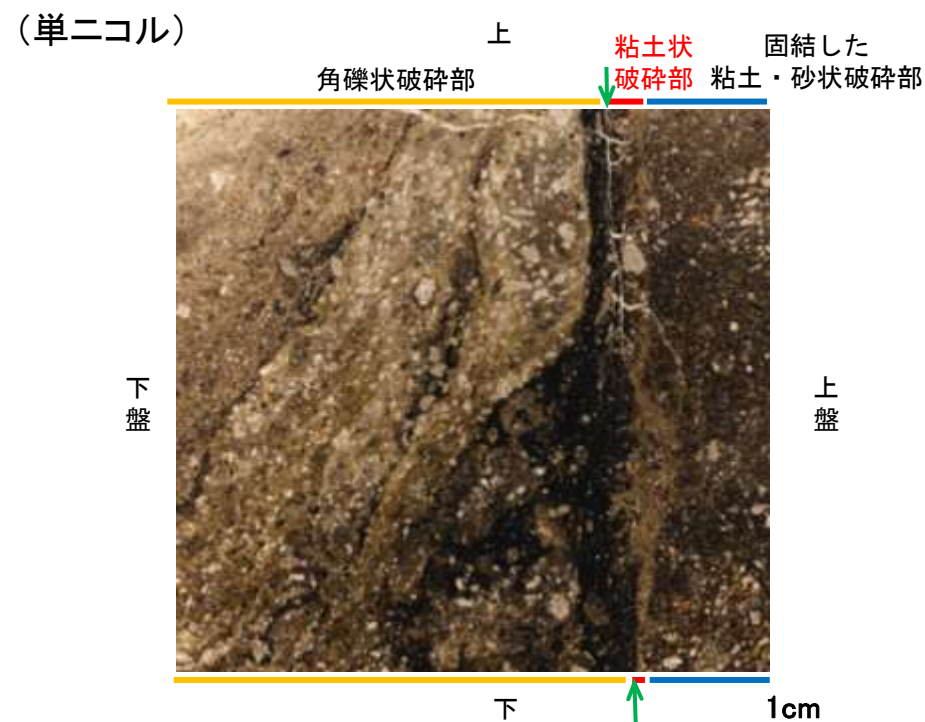
凡例

— Y面

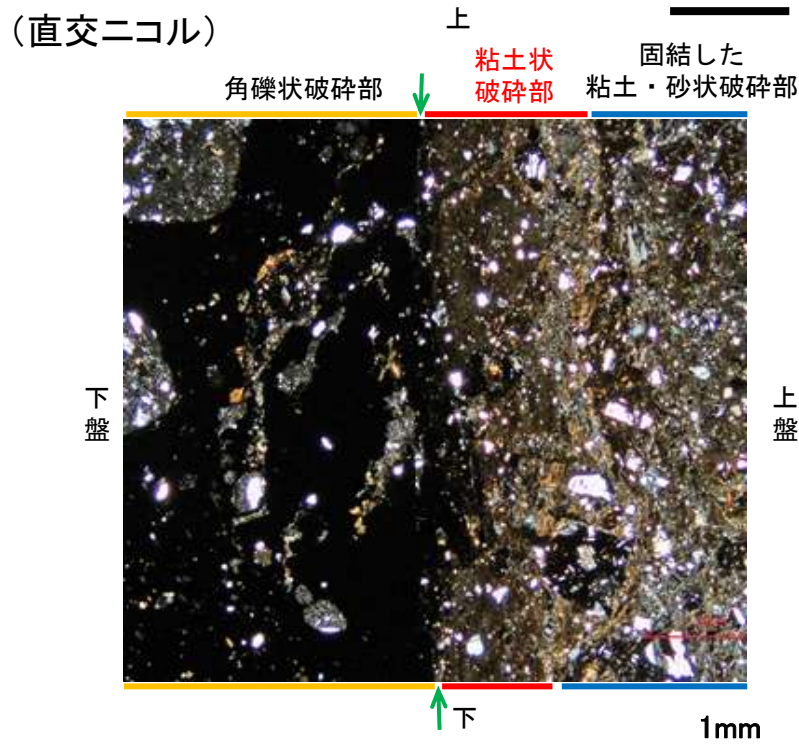
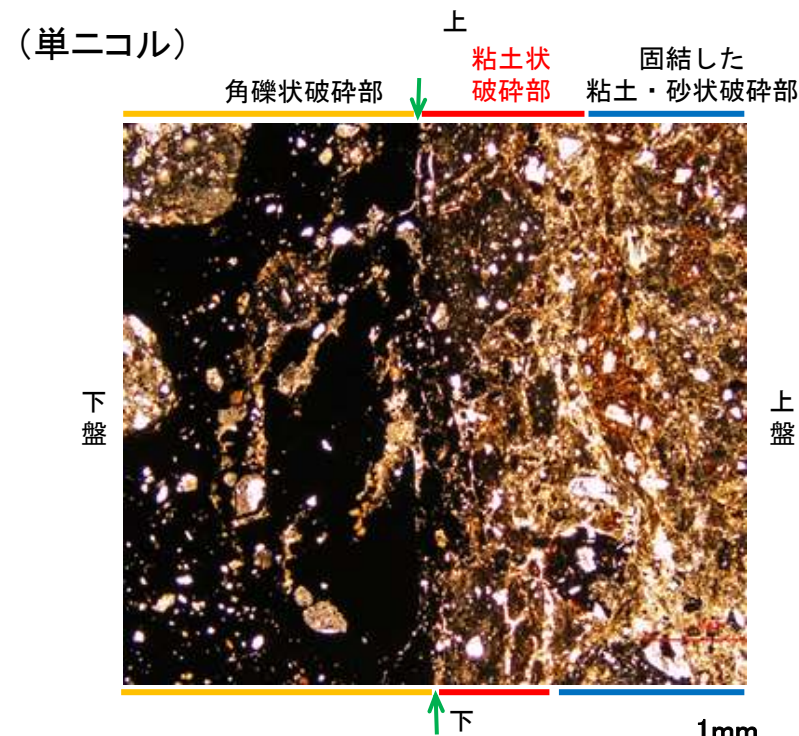
薄片写真(H- -1.0\_105R)  
(右は構造等を加筆)

# K-14の運動方向調査結果 —H- -1.0孔(薄片観察)—

- 固結した粘土・砂状破碎部中には複合面構造は認められず、変位センスは特定できない。
- 角礫状破碎部中には複合面構造は認められず、変位センスは特定できない。
- 粘土状破碎部中には複合面構造は認められず、変位センスは特定できない。



詳細観察範囲①写真



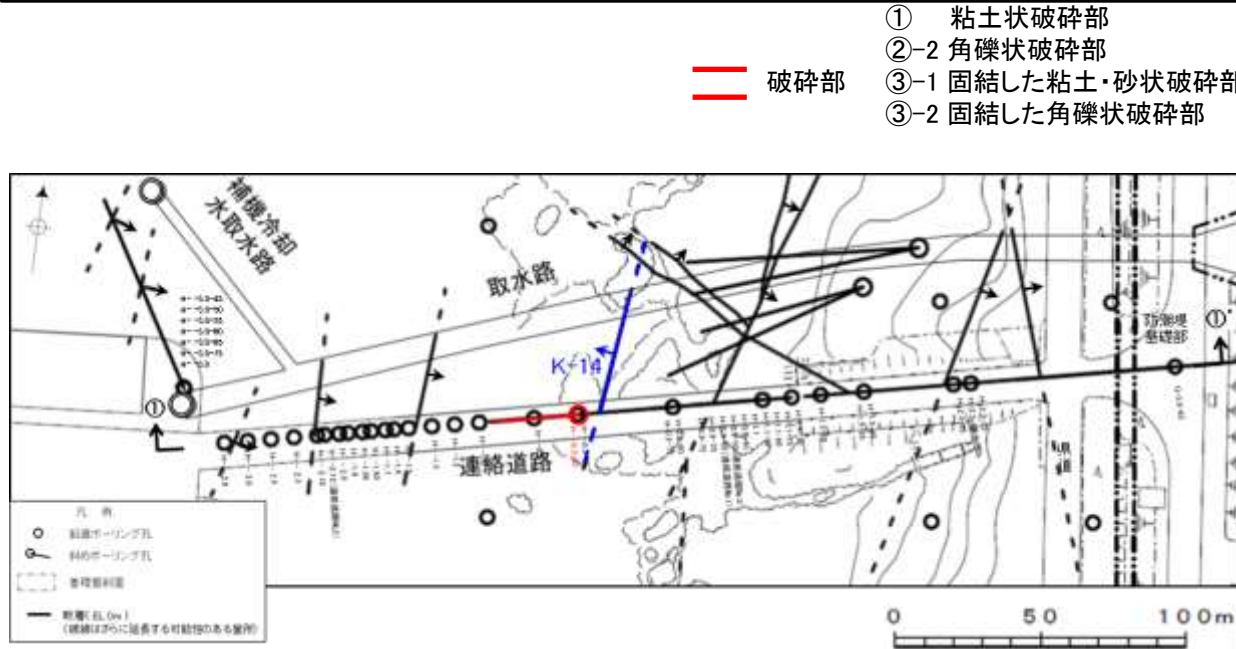
詳細観察範囲②写真

凡例  
→ ← Y面



# K-14の運動方向調査結果 —H— -0.3-80孔—

○H— -0.3-80孔の深度29.36~32.00mにおいて、K-14に対応する破砕部が認められる。  
○この破砕部を対象に、コア観察及びCT画像観察により抽出した主せん断面において、条線観察、薄片観察を実施し、粘土状破砕部の運動方向を確認した。



矢印(➡)の向きは断層の傾斜方向を示す

位置図

- ① 粘土状破砕部
- ②-2 角礫状破砕部
- ③-1 固結した粘土・砂状破砕部
- ③-2 固結した角礫状破砕部

— 破砕部

(深度) 29.0 29.1 29.2 29.3 29.4 29.5 29.6 (m)



29.6 29.7 29.8 ③-1 29.9 30.0 ① 30.1 ③-2 30.2 (m)



30.2 ① 30.3 30.4 ③-2 30.5 30.6 30.7 30.8 (m)



30.8 30.9 31.0 ③-2 31.1 31.2 31.3 31.4 (m)



31.4 ③-2 31.5 31.6 ②-2 31.7 31.8 31.9 32.0 (m)



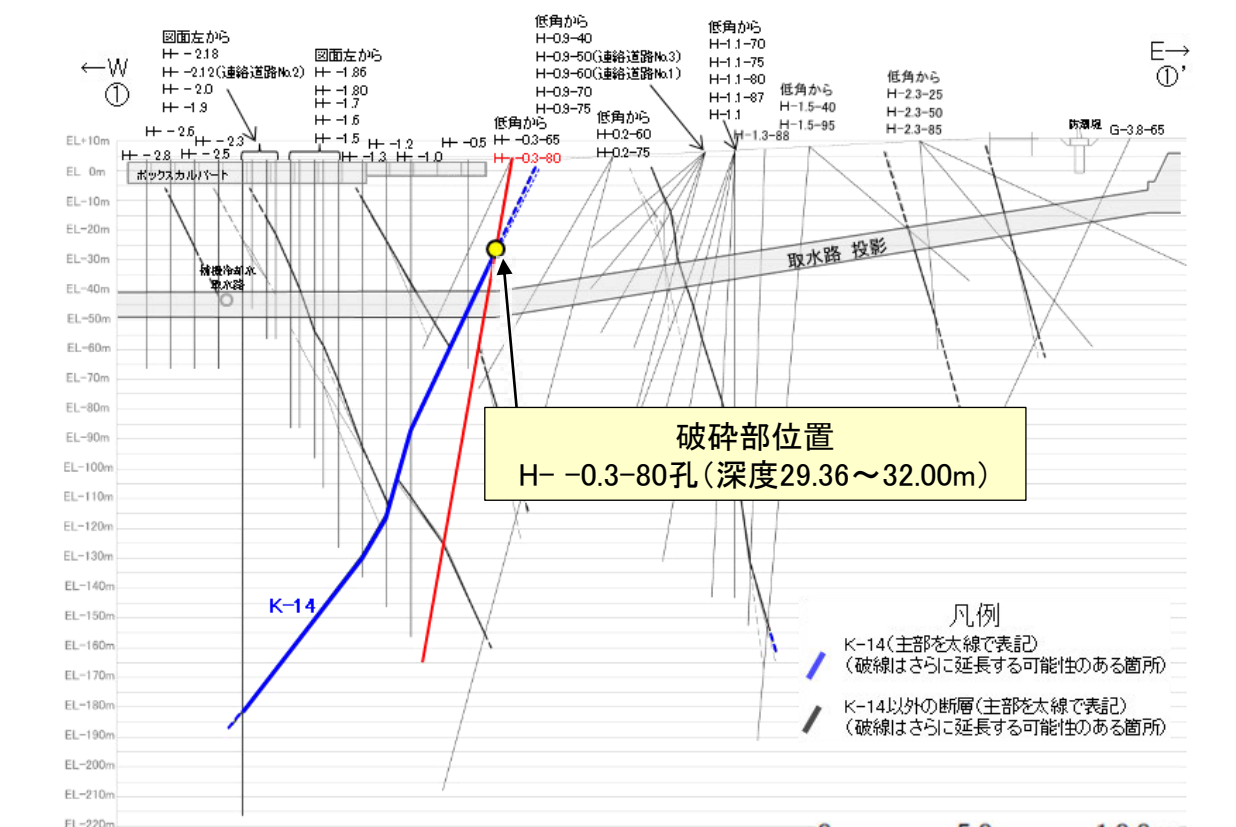
32.0 ②-2 32.1 ① 32.2 32.3 32.4 ③-1 32.5 32.6 (m)



③-1

## コア観察結果 コア写真(H— -0.3-80孔, 破砕部区分を加筆)

深度29.36~32.00m:  
見かけの傾斜角75~85°の厚さ64~72cmの破砕部。厚さ1.6~2.3cmの黄褐色の粘土状破砕部, 厚さ16cmの褐灰色の角礫状破砕部, 厚さ0.1~0.2cmの灰褐~にぶい黄褐色の粘土状破砕部及び厚さ54cmの固結した破砕部からなる。



①-①' 断面図

# K-14の運動方向調査結果 —H- -0.3-80孔(コア観察, CT画像観察)—

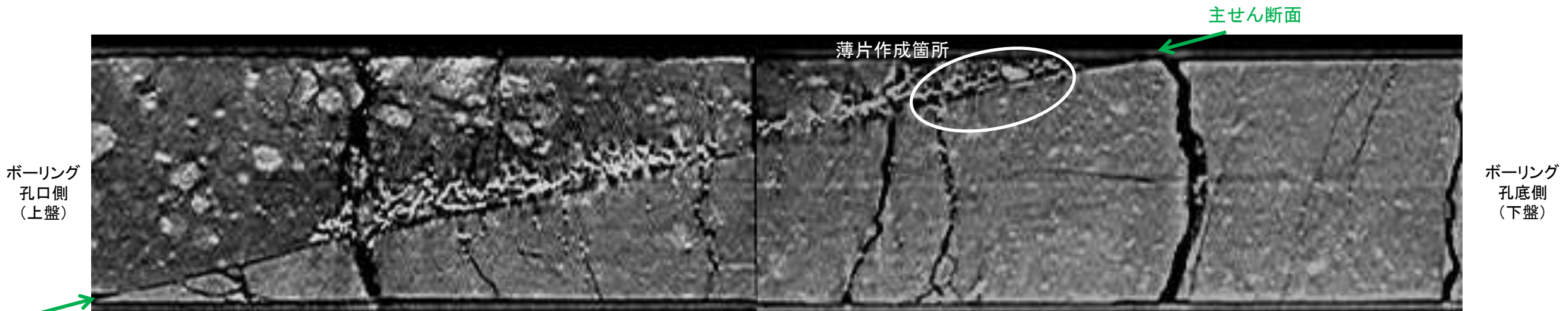
- コア観察, CT画像観察結果より, 角礫状破碎部と固結した粘土・砂状破碎部の境界である深度31.60m付近に, 厚さ0.1~0.2cmの粘土状破碎部が認められる。
- 粘土状破碎部を伴う比較的直線性・連続性がよい面を, 主せん断面として抽出した。
- 主せん断面において, 条線観察及び薄片観察を実施した。

(深度) 31.4 31.5 31.6 31.7 31.8 (m)



コア拡大写真(H- -0.3-80孔)

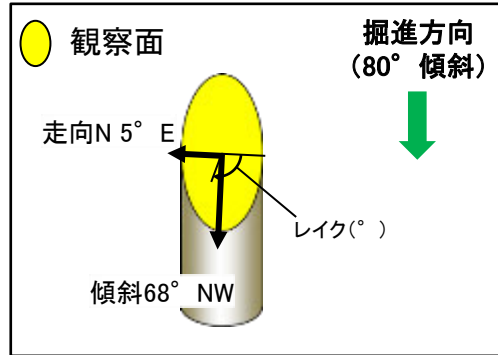
- 粘土状破碎部
- 角礫状破碎部
- 固結した粘土・砂状破碎部



CT画像(H- -0.3-80孔)

# K-14の運動方向調査結果 —H- -0.3-80孔(条線観察, 下盤側) —

- 主せん断面における条線観察の結果, 下盤側の観察面で $107^\circ$  R,  $87^\circ$  Rの条線が認められる。
- 観察面において, 礫まわりの粘土の非対称構造などの変位センスを推定できるような構造は認められない。

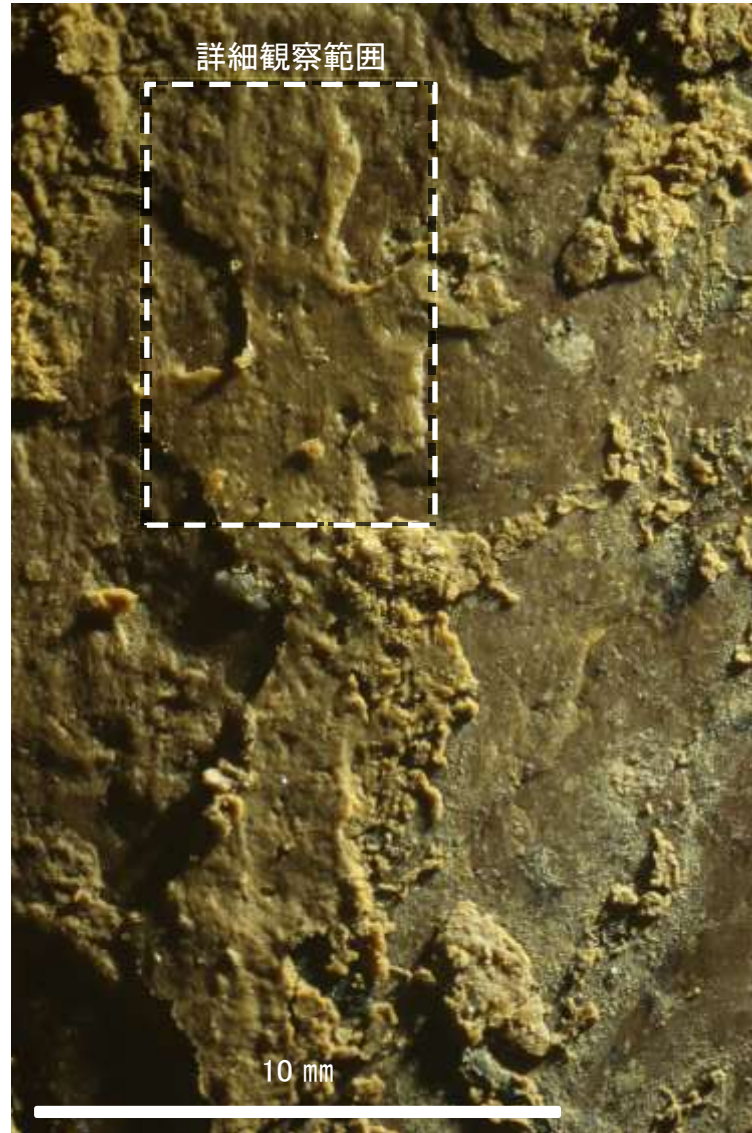


概念図

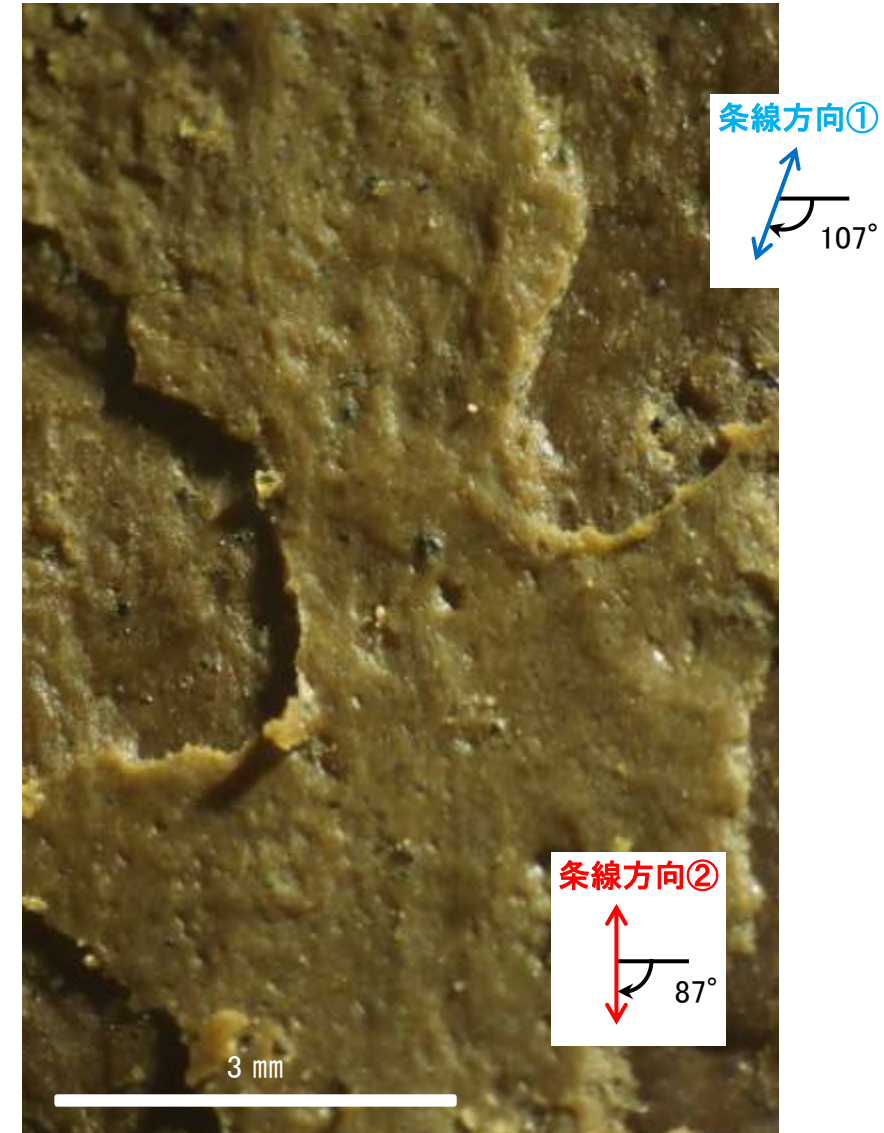
※走向は真北で示す。



観察面写真



観察面拡大写真

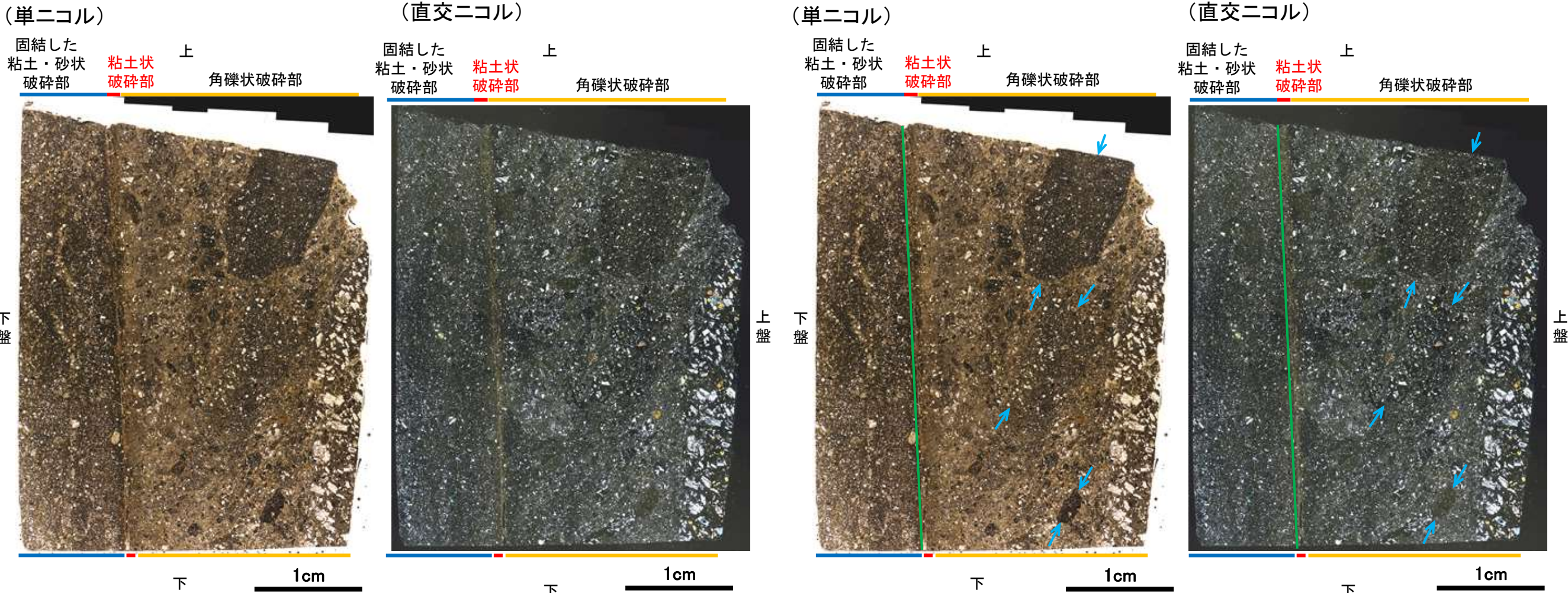


詳細観察写真

# K-14の運動方向調査結果 —H— -0.3-80孔(薄片観察)—

- 主せん断面において、107° Rの条線方向で作成した薄片観察の結果、下盤側から固結した粘土・砂状破碎部、粘土状破碎部、角礫状破碎部※に分帯される。
- 固結した粘土・砂状破碎部と粘土状破碎部の境界をなすY面が認められる。このY面は密着し、不明瞭となっている。
- その他、薄片内にY面に相当する構造は認められない。

※分帯名はコア観察での破碎部区分に対応



薄片写真(H— -0.3-80\_107R)  
(右は構造等を加筆)

## 薄片観察結果

### 固結した粘土・砂状破碎部:

単ニコルで褐灰～暗灰色、直交ニコルで灰色の干渉色を呈する。径3mm以下の岩片や鉱物片が細粒な基質中に含まれる。岩片、鉱物片は垂角～垂円形である。粘土状破碎部との境界付近は比較的細粒化が進んでいる。割れ目や岩片の縁辺部には粘土鉱物が生成されている。

### 粘土状破碎部:

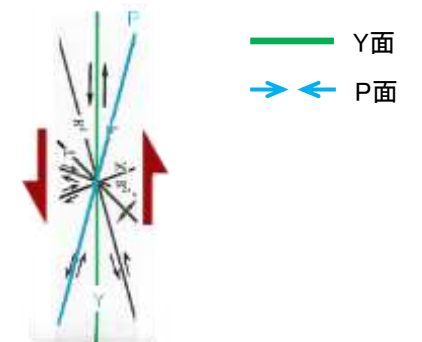
単ニコルで灰～褐灰色、直交ニコルで褐灰～黄色の干渉色を呈する。径1mm以下の岩片や鉱物片が細粒な基質中に含まれる。岩片は垂角～垂円形、鉱物片は角～垂円形である。基質中には粘土鉱物が生成されている。

### 角礫状破碎部:

単ニコルで褐灰～暗灰色、直交ニコルで灰色の干渉色を呈する。径13mm以下の岩片や鉱物片が細粒な基質中に含まれており、径28mm以上の岩片も認められる。岩片、鉱物片は垂角～垂円形である。粘土状破碎部との境界付近は比較的細粒化が進んでいる。岩片の縁辺部に粘土鉱物が生成されている。

見かけ上盤側上がり

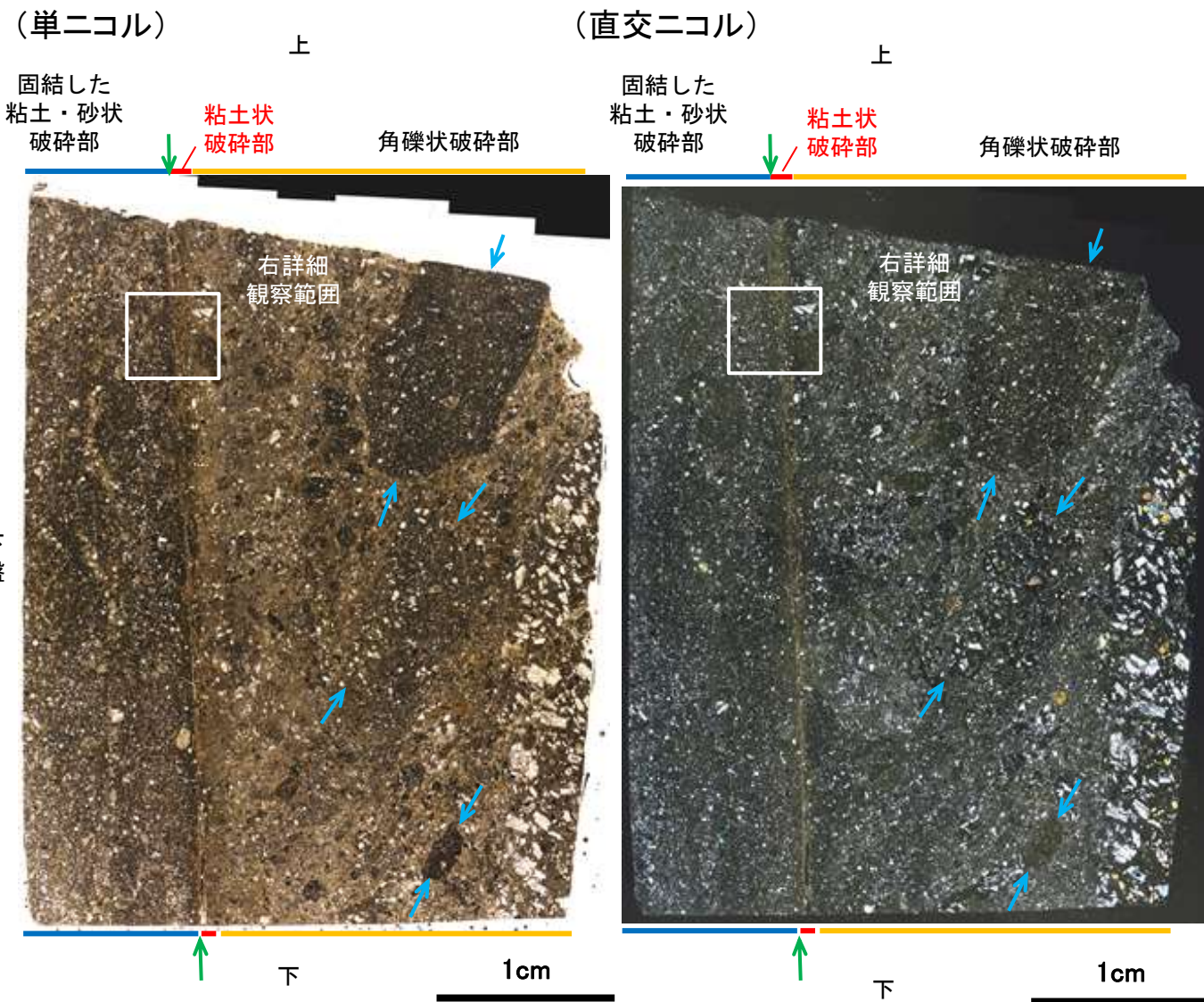
凡例



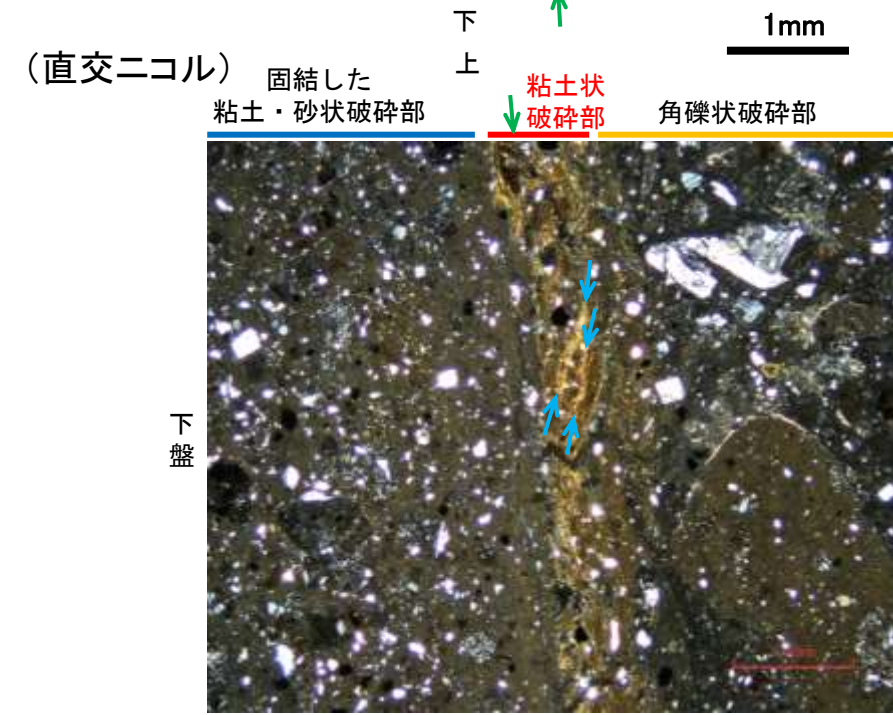
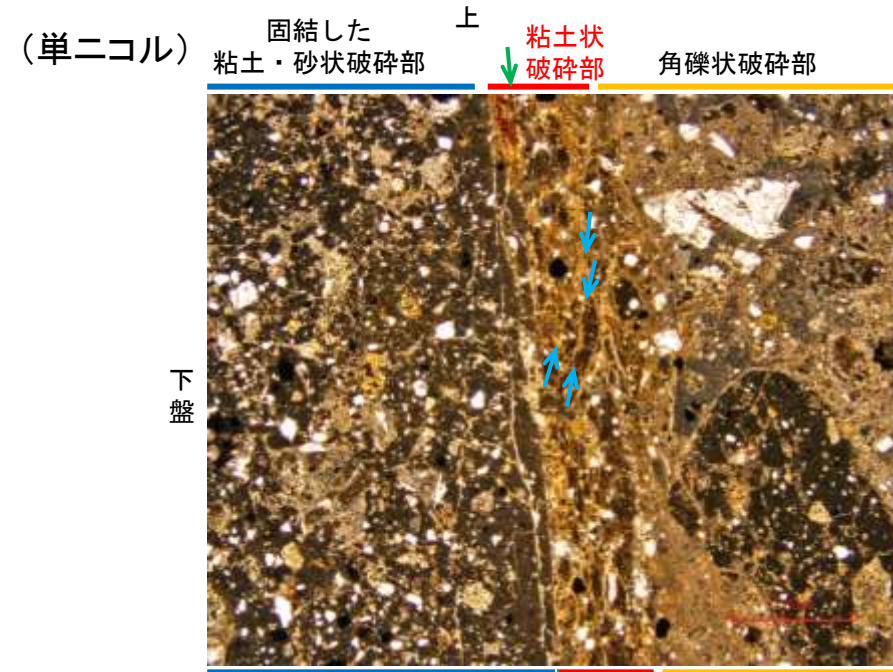
せん断センスを示す複合面構造  
(狩野・村田(1998)に加筆)

# K-14の運動方向調査結果 —H— -0.3-80孔(薄片観察)—

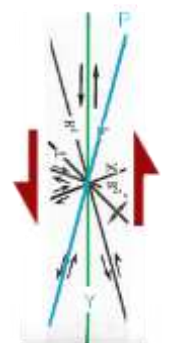
- 固結した粘土・砂状破碎部中には複合面構造は認められず、変位センスは特定できない。
- 角礫状破碎部中の岩片の微弱な定向配列をP面とすると、見かけ上盤側上がりの変位が推定される。
- 粘土状破碎部中の岩片や鉱物片の多くに定向性は認められない。ただし、Y面の直近の一部において認められる粘土鉱物の微弱な定向配列をP面とすると、見かけ上盤側上がりの変位が推定される。
- 断層の走向傾斜がN5° E/68° NW, 条線レイクが107° Rであることから、角礫状破碎部及び粘土状破碎部の運動方向は左横ずれを伴う逆断層センスである。



薄片写真(H- -0.3-80\_107R)



見かけ上盤側上がり

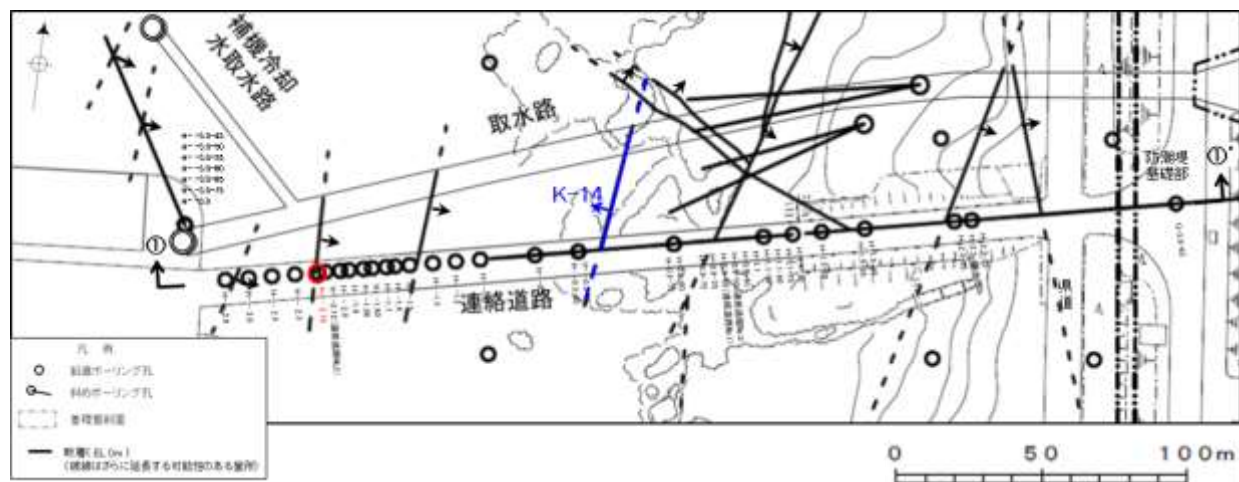


せん断センスを示す複合面構造 (狩野・村田(1998)に加筆)

- 凡例
- ← Y面
  - ← P面

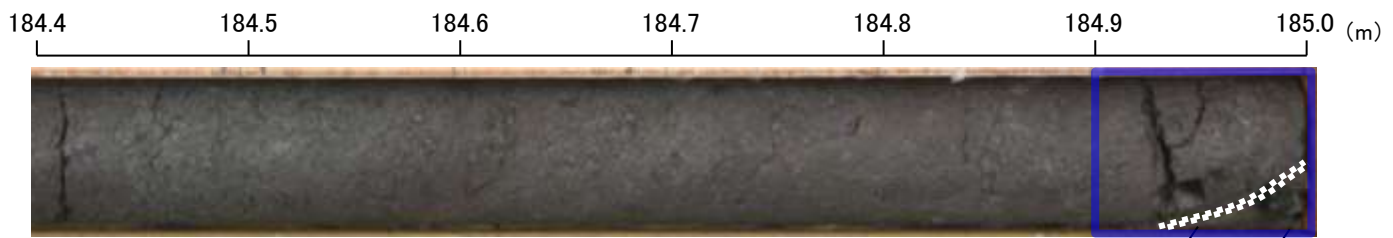
# K-14の運動方向調査結果 —H- -2.18孔—

○H- -2.18孔の深度185.01~185.44mにおいて、K-14に対応する破砕部が認められる。  
○この破砕部を対象に、コア観察及びCT画像観察により抽出した主せん断面において、条線観察を実施し、粘土状破砕部の運動方向を確認した。

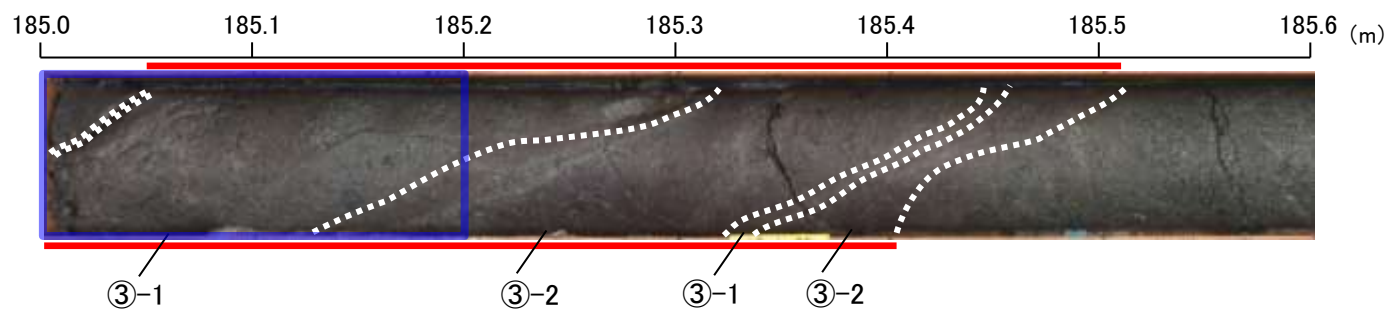


位置図

(深度)



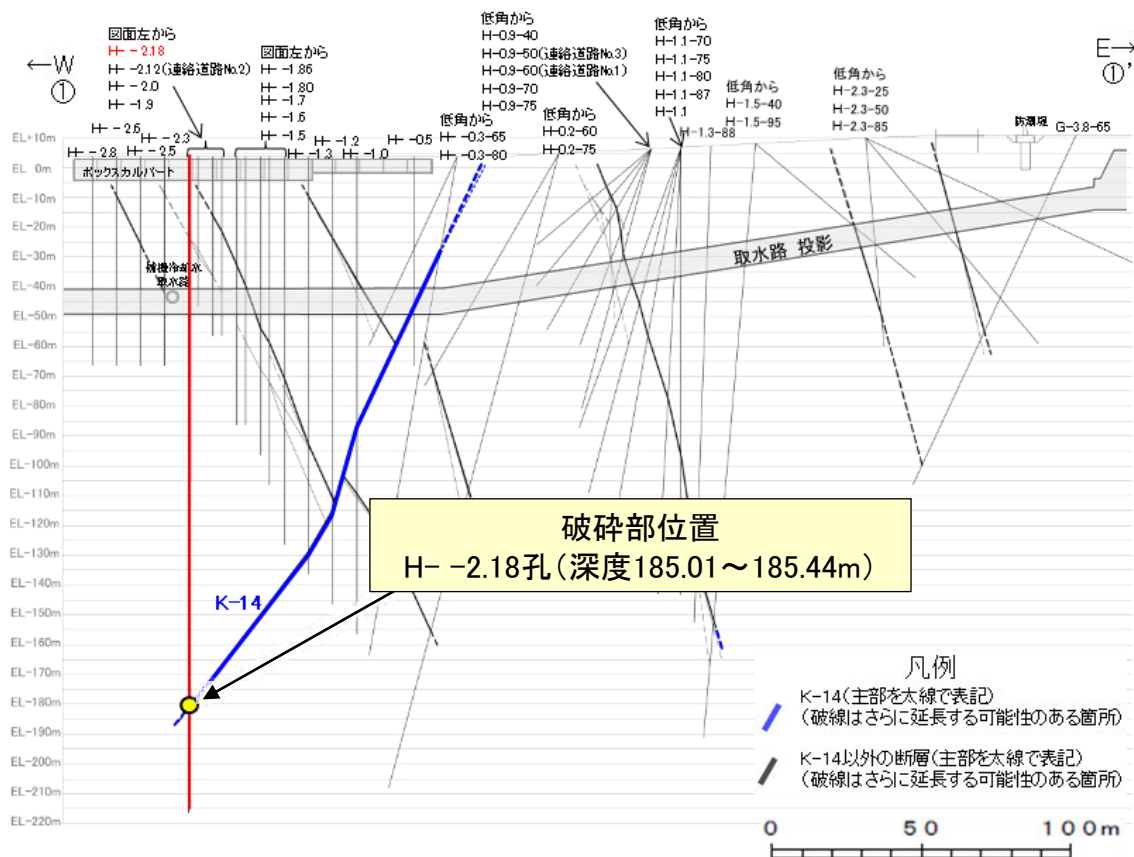
次頁拡大範囲



コア写真(H- -2.18孔, 破砕部区分を加筆)

コア観察結果

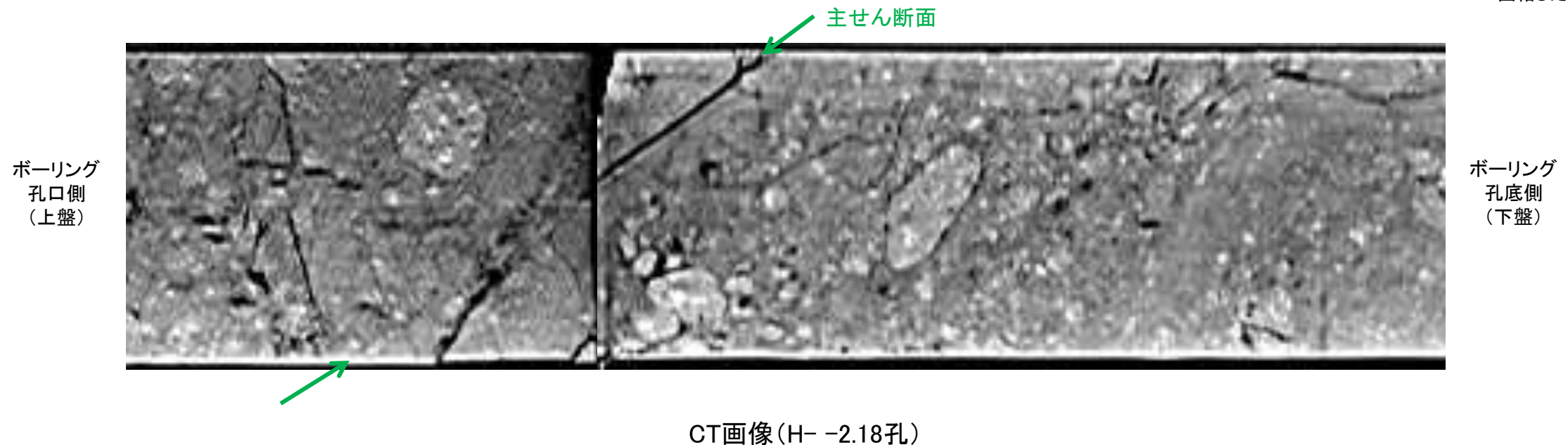
深度185.01~185.44m:  
傾斜角60~65°の厚さ19~20cmの破砕部。厚さ0.1~0.2cmの黄灰色の粘土状破砕部及び厚さ19~20cmの固結した破砕部からなる。



①-①'断面図

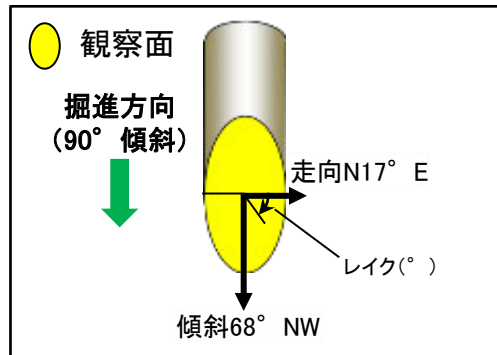
# K-14の運動方向調査結果 —H- -2.18孔(コア観察, CT画像観察)—

- コア観察, CT画像観察結果より, 安山岩(角礫質)と固結した粘土・砂状破碎部の境界である深度185.00m付近に, 厚さ0.1~0.2cmの粘土状破碎部が認められる。
- 粘土状破碎部を伴う比較的直線性・連続性がよい面を, 主せん断面として抽出した。
- 主せん断面において, 条線観察を実施した。



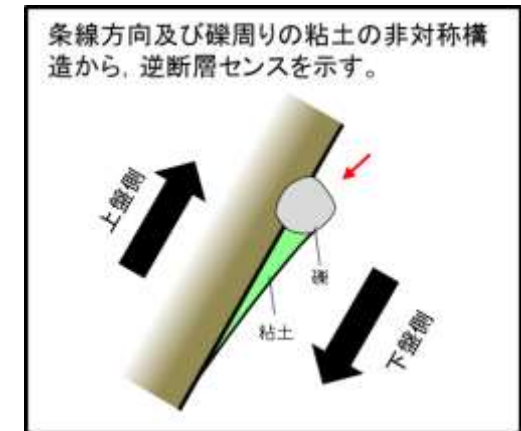
# K-14の運動方向調査結果 —H— -2.18孔(条線観察, 上盤側) —

○主せん断面における条線観察の結果, 上盤側の観察面で $55^\circ$  R,  $35^\circ$  Rの条線が認められ, 下盤側換算すると $125^\circ$  R,  $145^\circ$  Rとなる。  
○ $125^\circ$  R(下盤側換算),  $145^\circ$  R(下盤側換算)の条線方向及び礫周りの粘土の非対称構造から, 左横ずれを伴う逆断層センスが推定される。



概念図

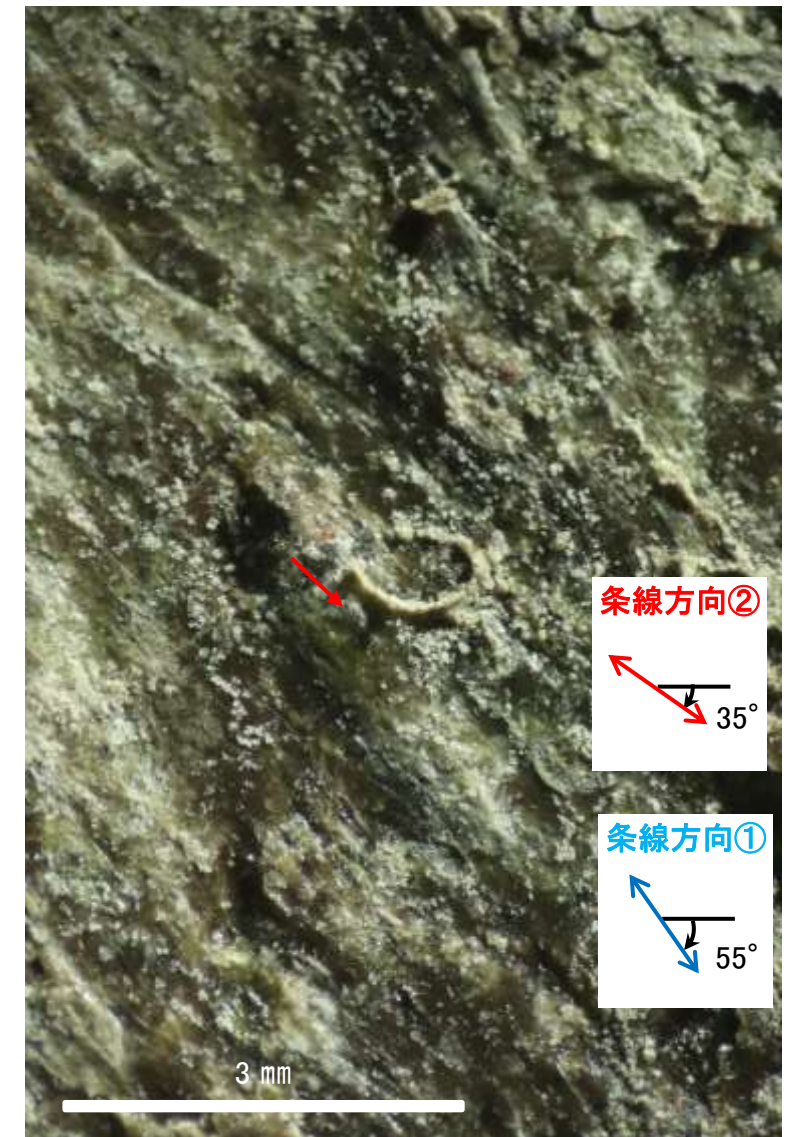
※走向は真北で示す。



観察面写真



観察面拡大写真

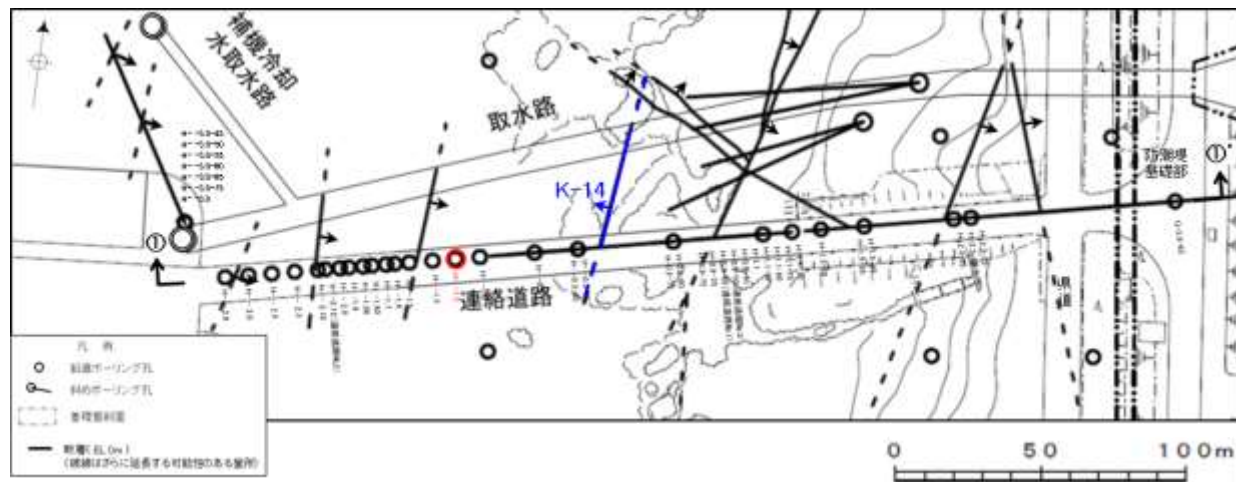


詳細観察写真

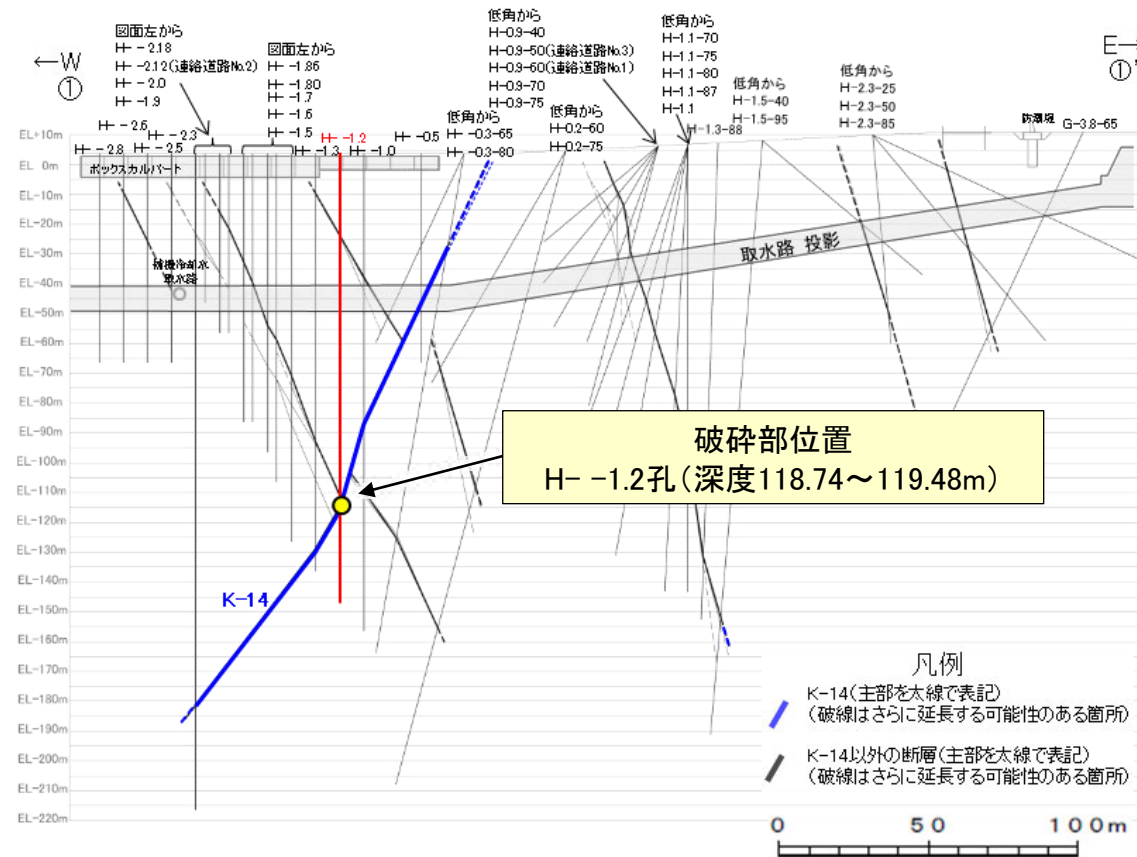


# K-14の運動方向調査結果 -H- -1.2孔-

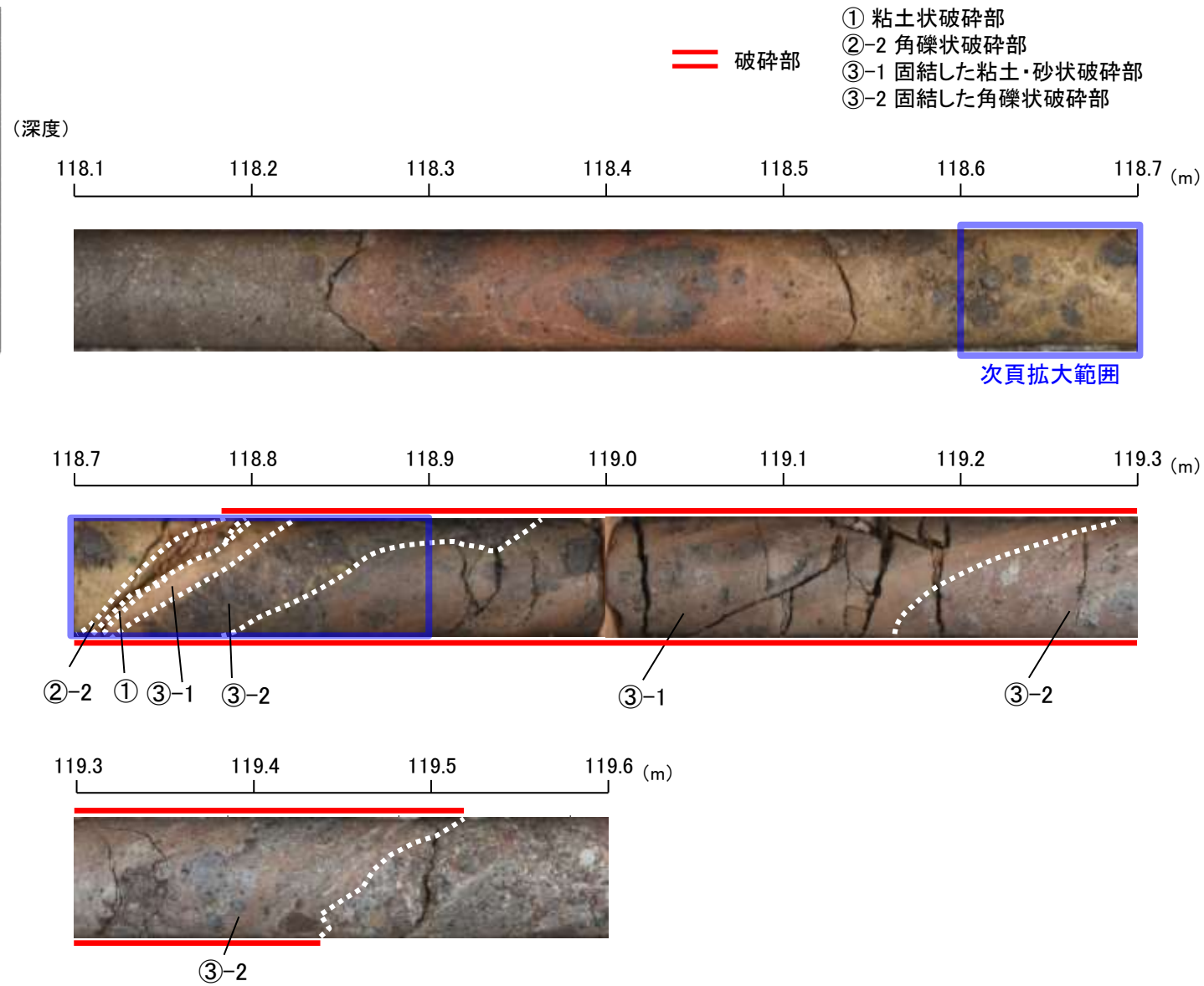
○H- -1.2孔の深度118.74~119.48mにおいて、K-14に対応する破砕部が認められる。  
○この破砕部を対象に、コア観察及びCT画像観察により抽出した主せん断面において、条線観察を実施し、粘土状破砕部の運動方向を確認した。



位置図



①-①' 断面図



コア写真(H- -1.2孔, 破砕部区分を加筆)

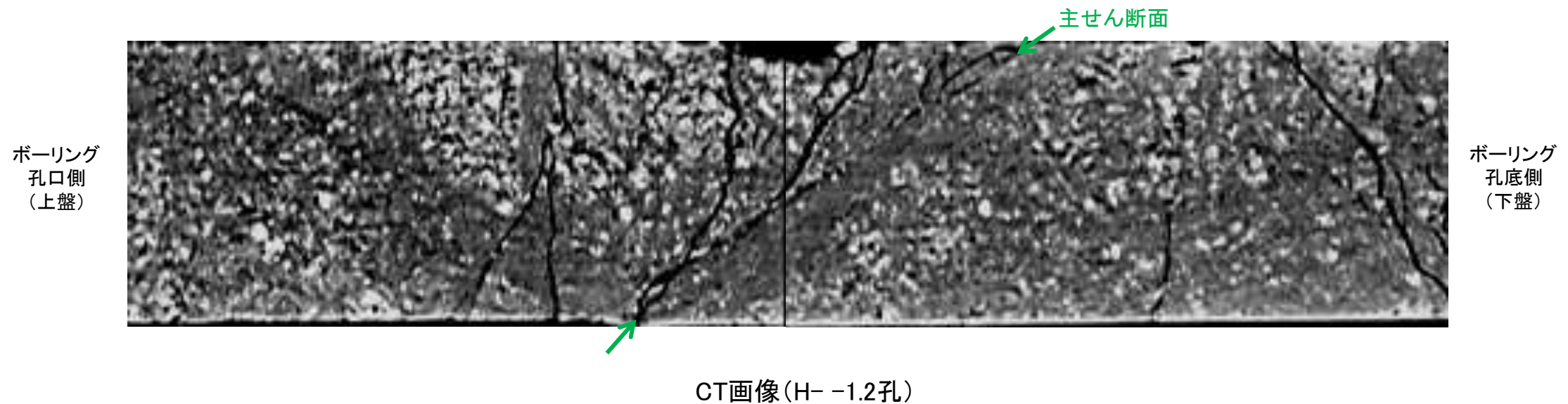
### コア観察結果

深度118.74~119.48m:  
傾斜角50~70°の厚さ45~48cmの破砕部。厚さ0.1~0.9cmの褐色の角礫状破砕部, 厚さ0.0~0.1cmの褐色の粘土状破砕部及び厚さ45~47cmの固結した破砕部からなる。

# K-14の運動方向調査結果 —H- -1.2孔(コア観察, CT画像観察)—

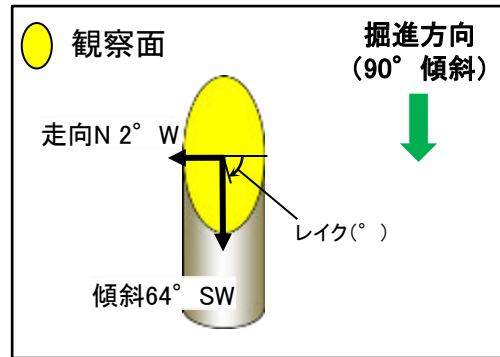
- コア観察, CT画像観察結果より, 角礫状破碎部と固結した粘土・砂状破碎部の境界である深度118.75m付近に, 厚さ0.0~0.1cmの粘土状破碎部が認められる。
- 粘土状破碎部を伴う比較的直線性・連続性がよい面を, 主せん断面として抽出した。
- 主せん断面において, 条線観察を実施した。

(深度) 118.6 118.7 118.8 118.9 (m)

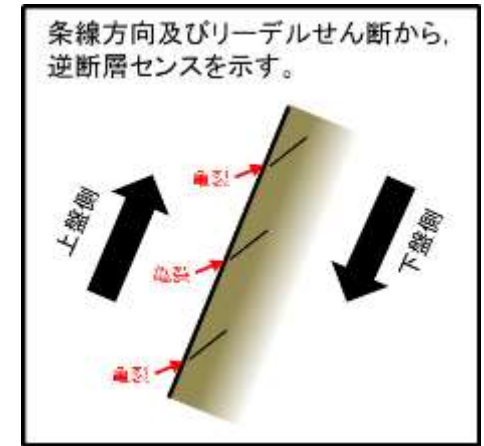


# K-14の運動方向調査結果 —H- -1.2孔(条線観察, 下盤側)—

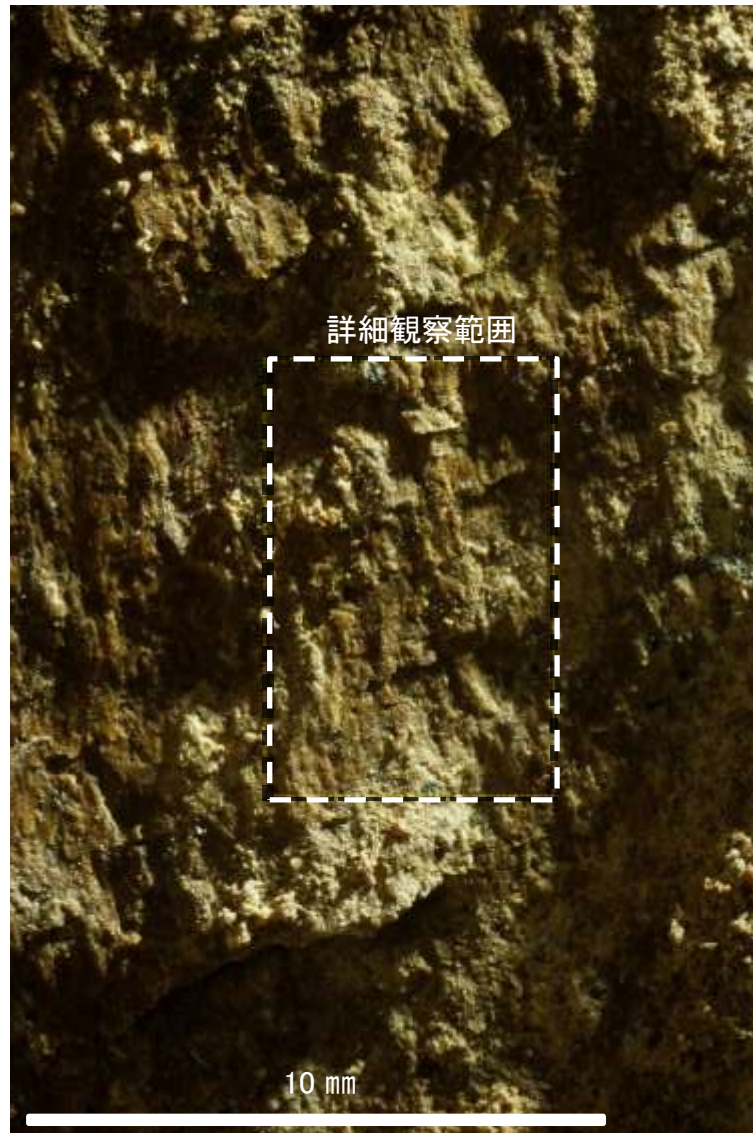
- 主せん断面における条線観察の結果, 下盤側の観察面で $75^\circ$  R,  $115^\circ$  Rの条線が認められる。
- $75^\circ$  R(下盤側換算)の条線方向及びリーデルせん断から, 右横ずれを伴う逆断層センスが推定される。



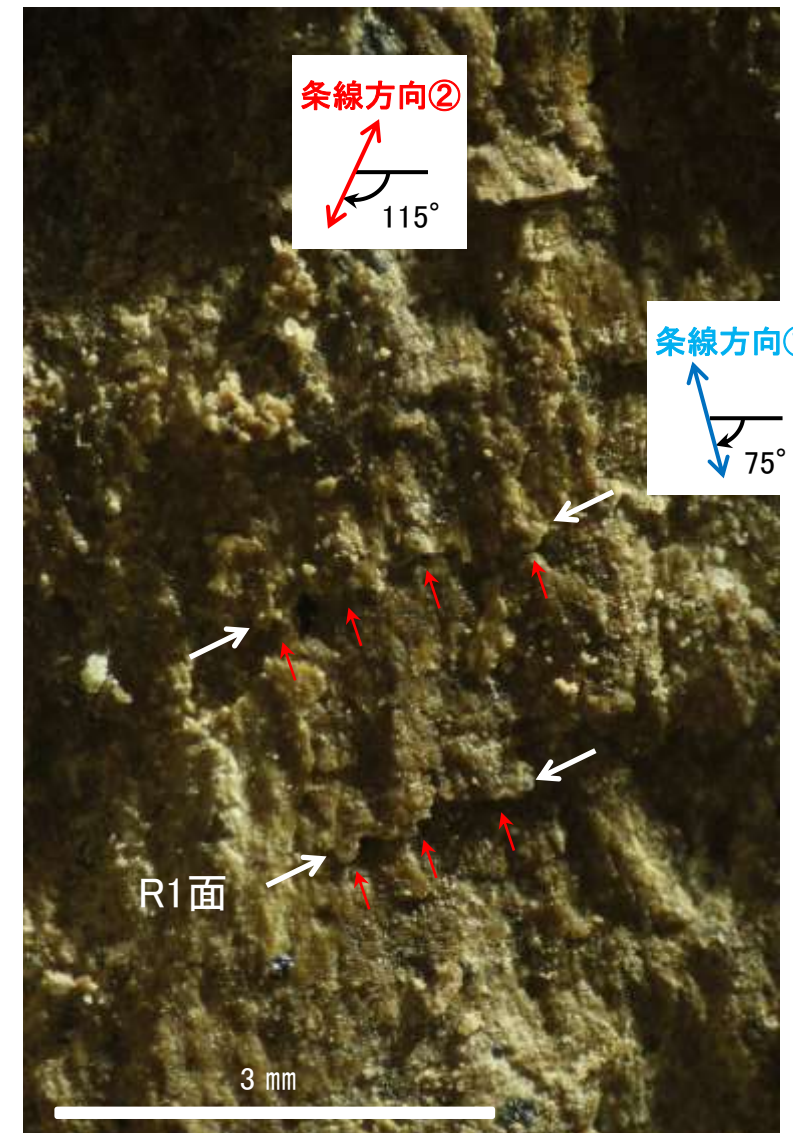
概念図  
※走向は真北で示す。



観察面写真



観察面拡大写真

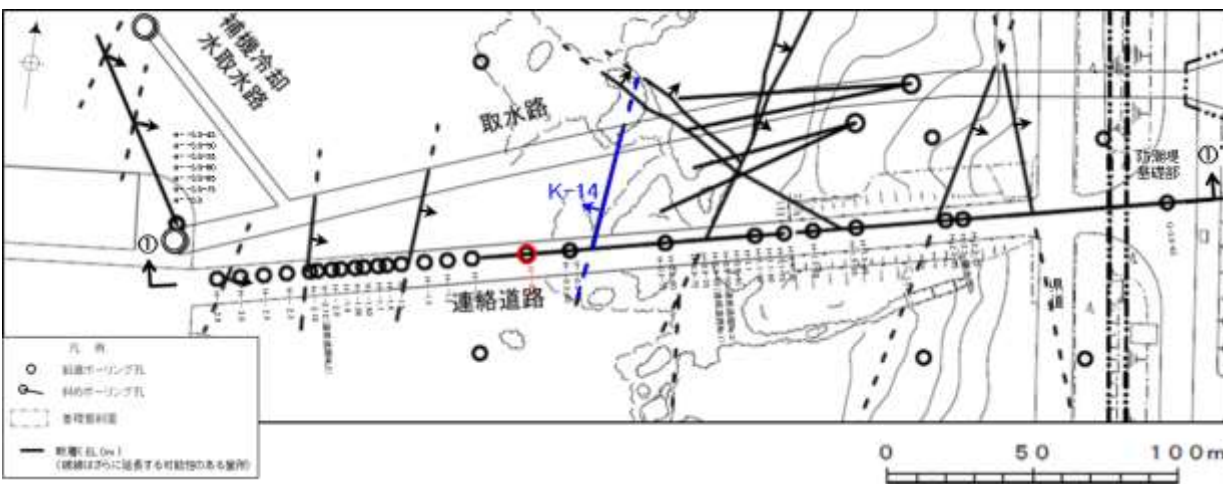


詳細観察写真

# K-14の運動方向調査結果 -H- -0.5孔-

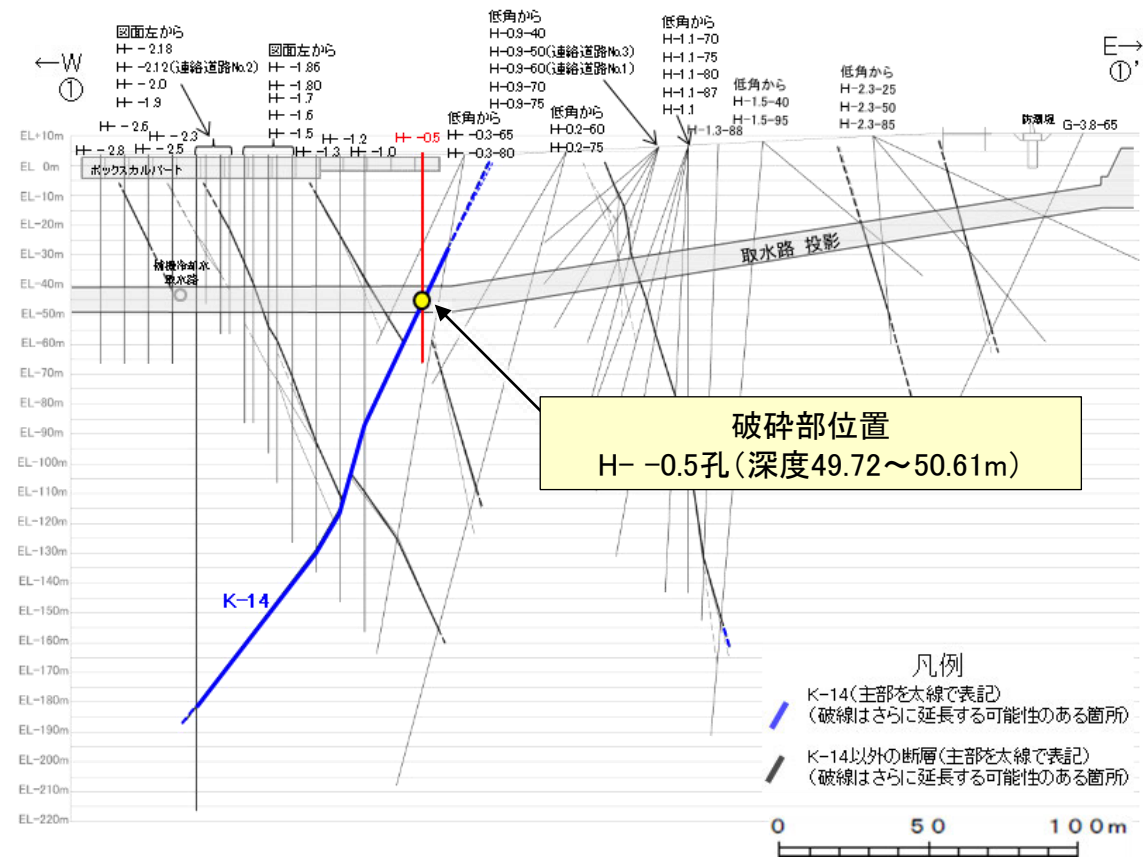
○H- -0.5孔の深度49.72~50.61mにおいて、K-14に対応する破砕部が認められる。  
○この破砕部を対象に、コア観察及びCT画像観察により抽出した主せん断面において、条線観察を実施し、粘土状破砕部の運動方向を確認した。

== 破砕部  
① 粘土状破砕部 ③-1 固結した粘土・砂状破砕部  
②-2 角礫状破砕部 ③-2 固結した角礫状破砕部

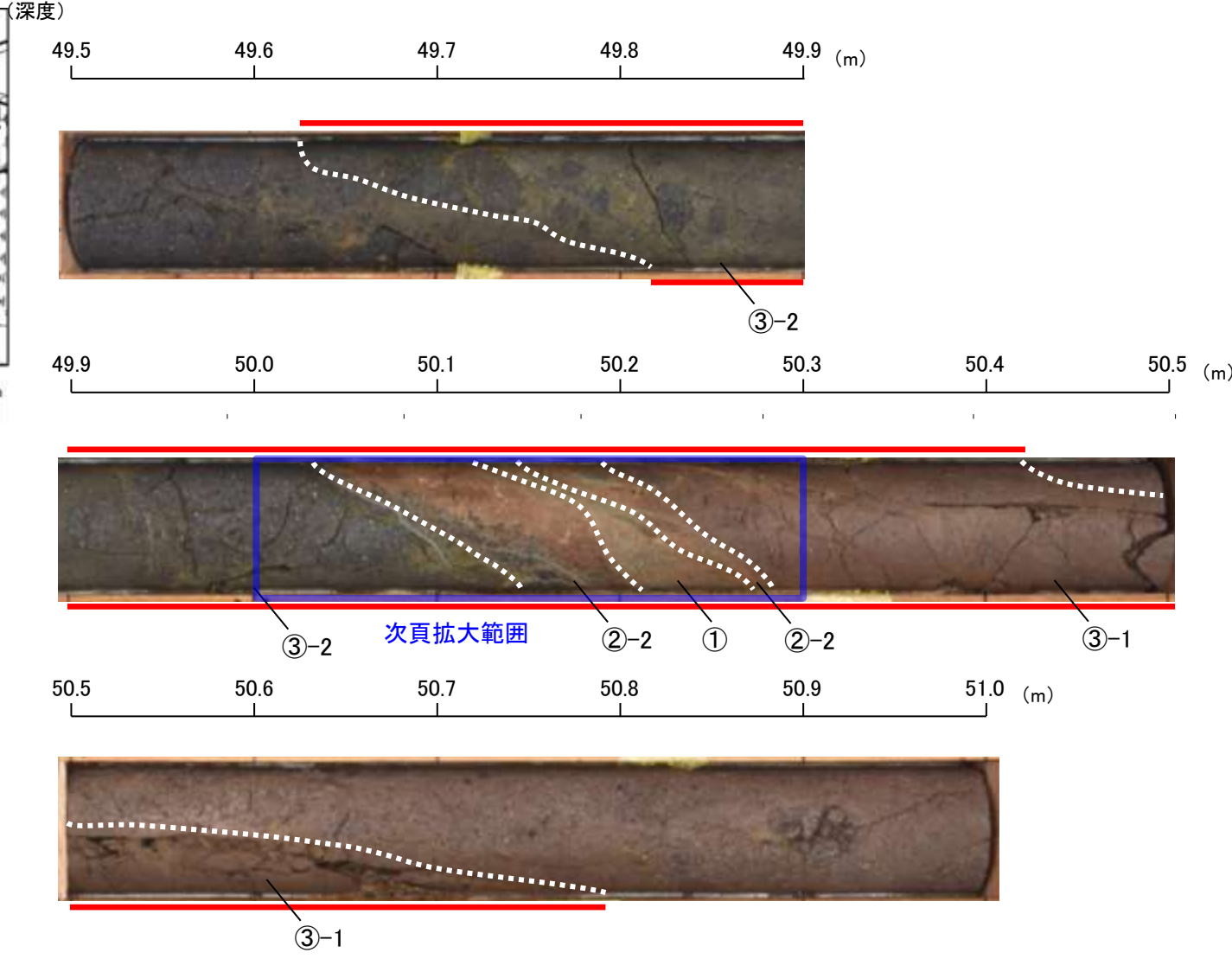


矢印(➡)の向きは断層の傾斜方向を示す

位置図



①-①' 断面図

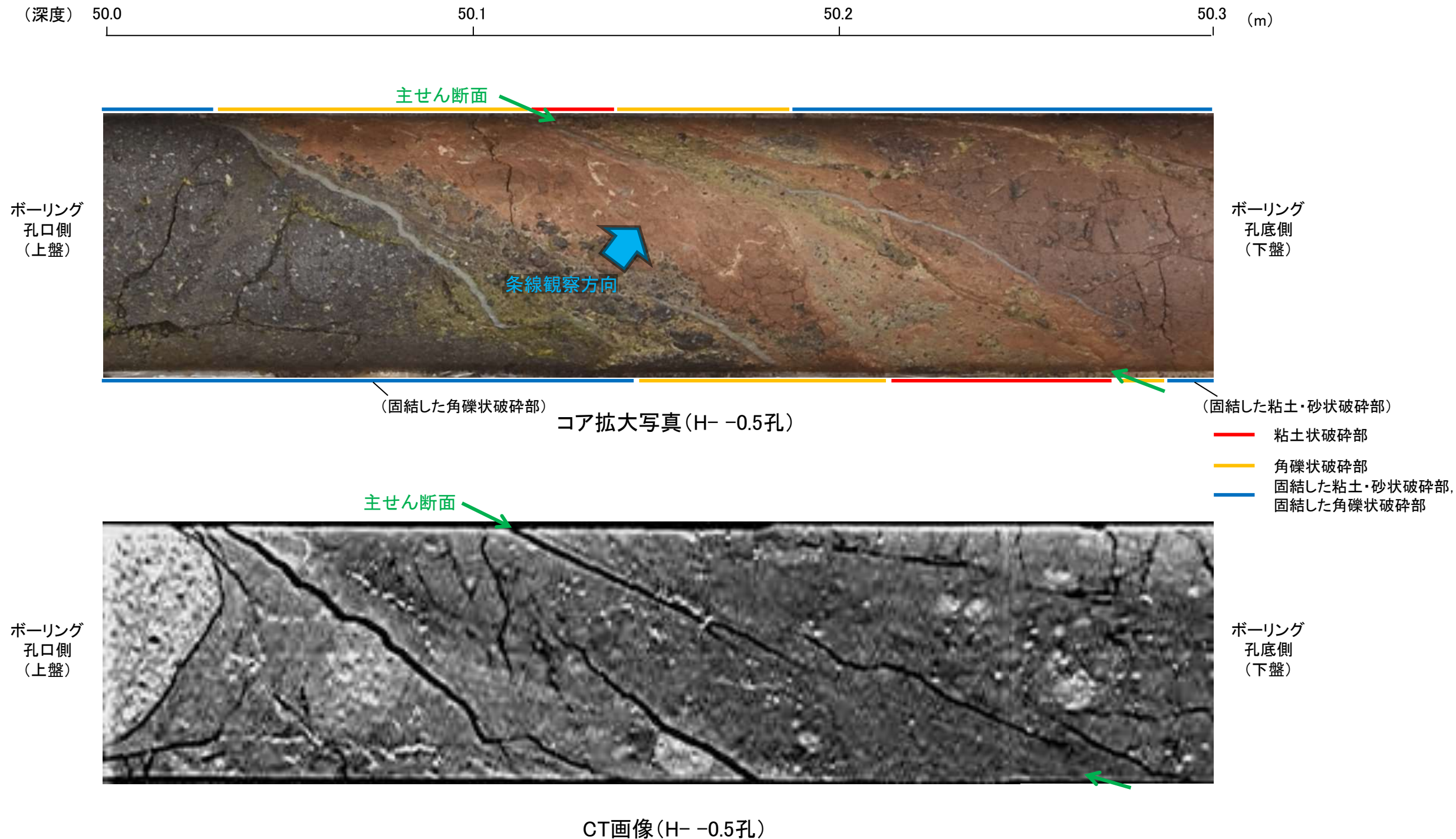


コア写真(H- -0.5孔, 破砕部区分を加筆)

コア観察結果  
深度49.72~50.61m:  
傾斜角40~85°の厚さ26~31cmの破砕部。厚さ22~28cmの固結した破砕部, 厚さ3.8~5.4cmの赤褐色の角礫状破砕部, 厚さ0.8~2.7cmの黄灰~赤灰色の粘土状破砕部及び厚さ0.8~1.7cmの赤褐色の角礫状破砕部からなる。

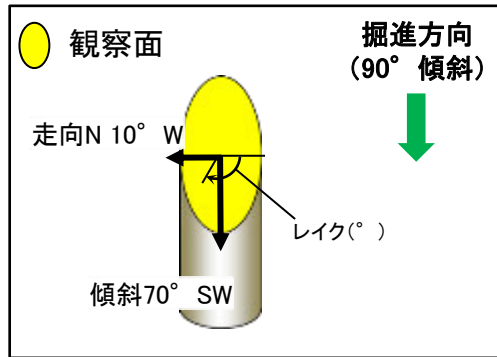
# K-14の運動方向調査結果 —H- -0.5孔(コア観察, CT画像観察)—

- コア観察, CT画像観察結果より, 角礫状破碎部に挟まれた深度50.20m付近に, 厚さ0.8~2.7cmの粘土状破碎部が認められる。
- 粘土状破碎部を伴う比較的直線性・連続性がよい面を, 主せん断面として抽出した。
- 主せん断面において, 条線観察を実施した。



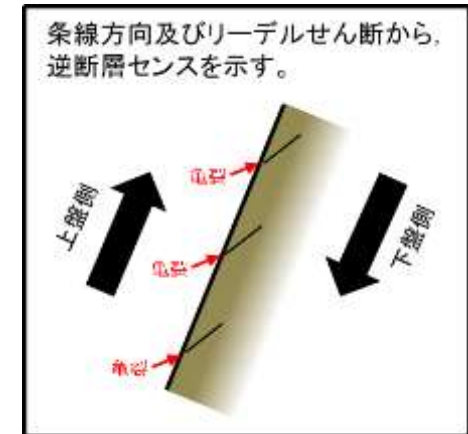
# K-14の運動方向調査結果 —H- -0.5孔(条線観察, 下盤側)—

- 主せん断面における条線観察の結果, 下盤側の観察面で $110^{\circ}$  R,  $75^{\circ}$  Rの条線が認められる。
- $110^{\circ}$  Rの条線方向及びリーデルせん断から, 左横ずれを伴う逆断層センスが推定される。

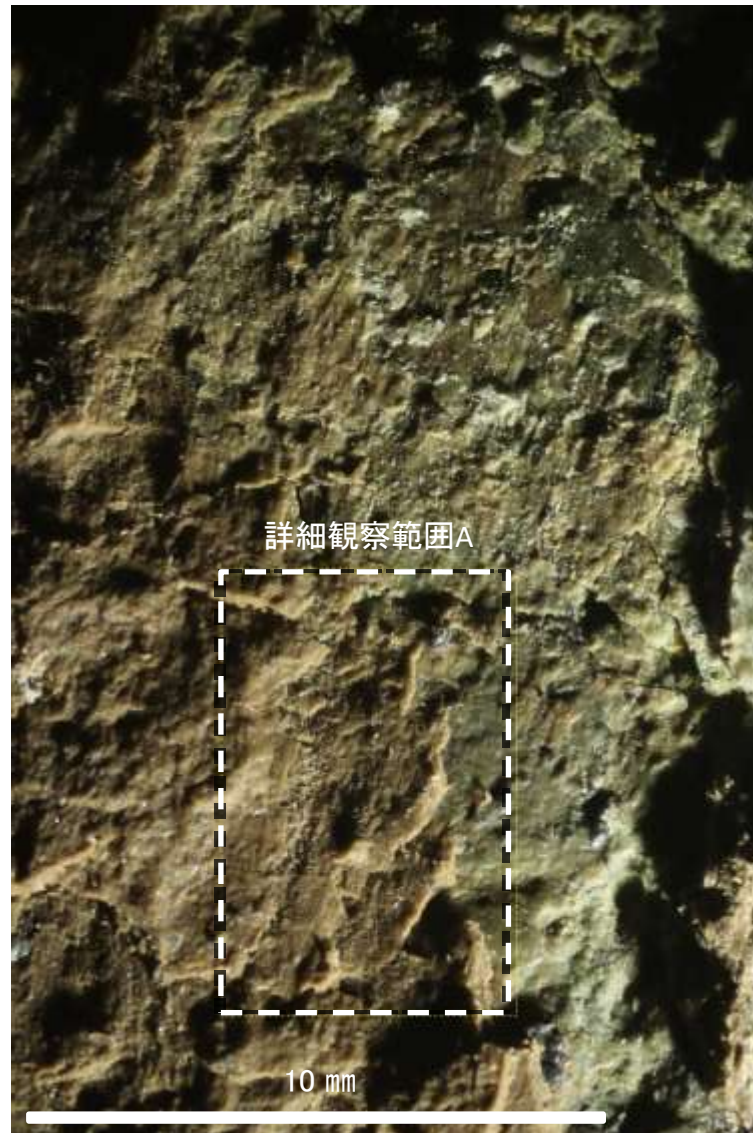


概念図  
※走向は真北で示す。

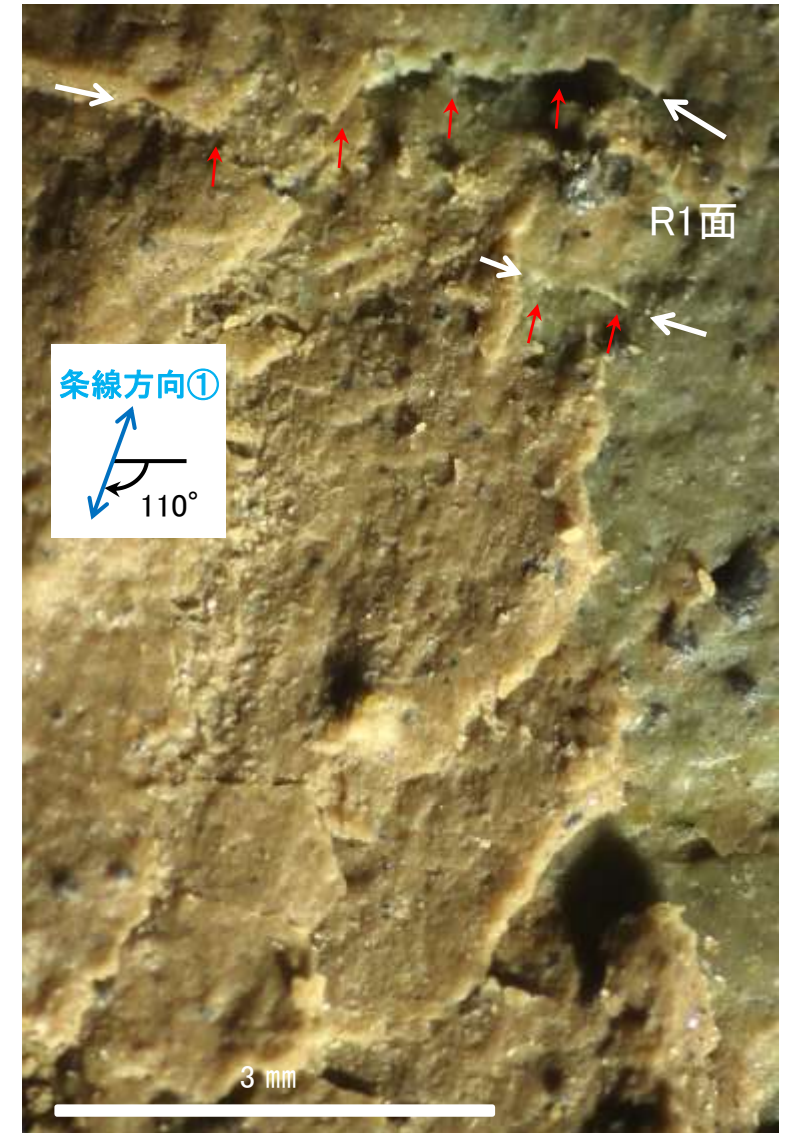
## 拡大写真範囲A



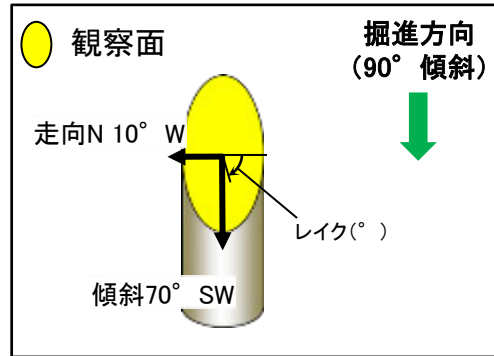
観察面写真



観察面拡大写真A



詳細観察写真A

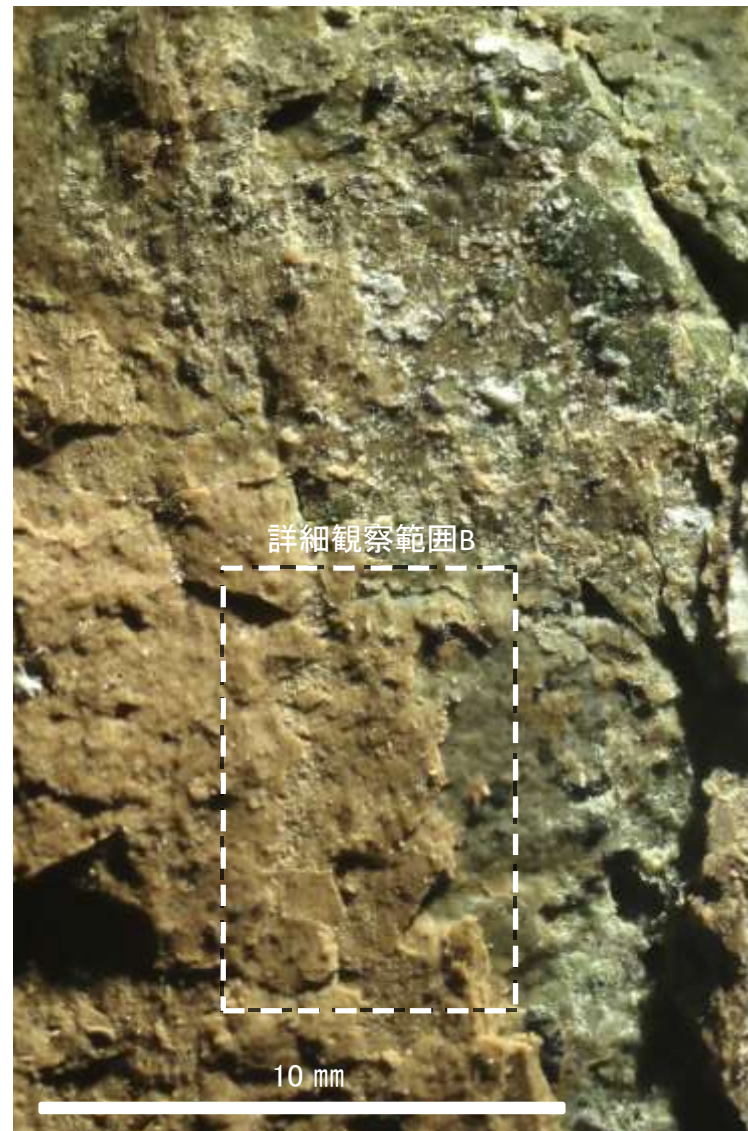


概念図  
※走向は真北で示す。

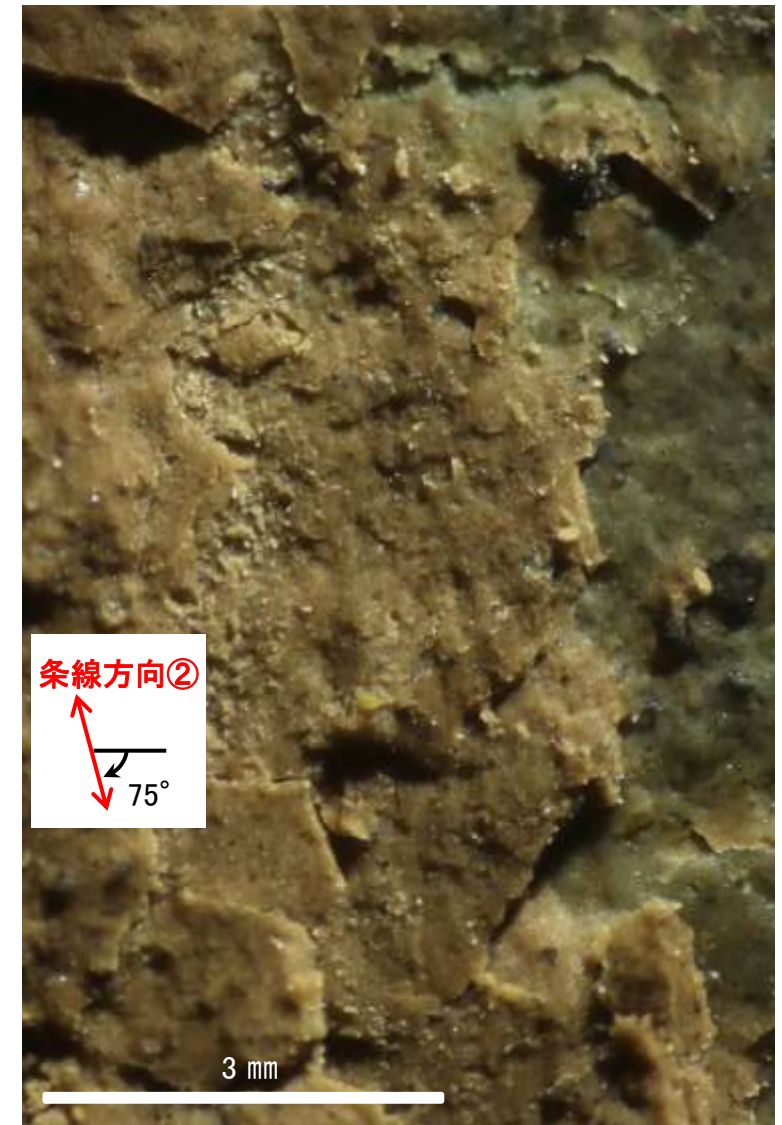
## 拡大写真範囲B



観察面写真



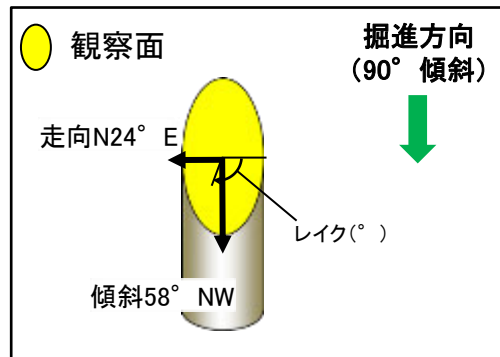
観察面拡大写真B



詳細観察写真B

# K-14の運動方向調査結果 —H- -1.3孔(条線観察, 下盤側) —

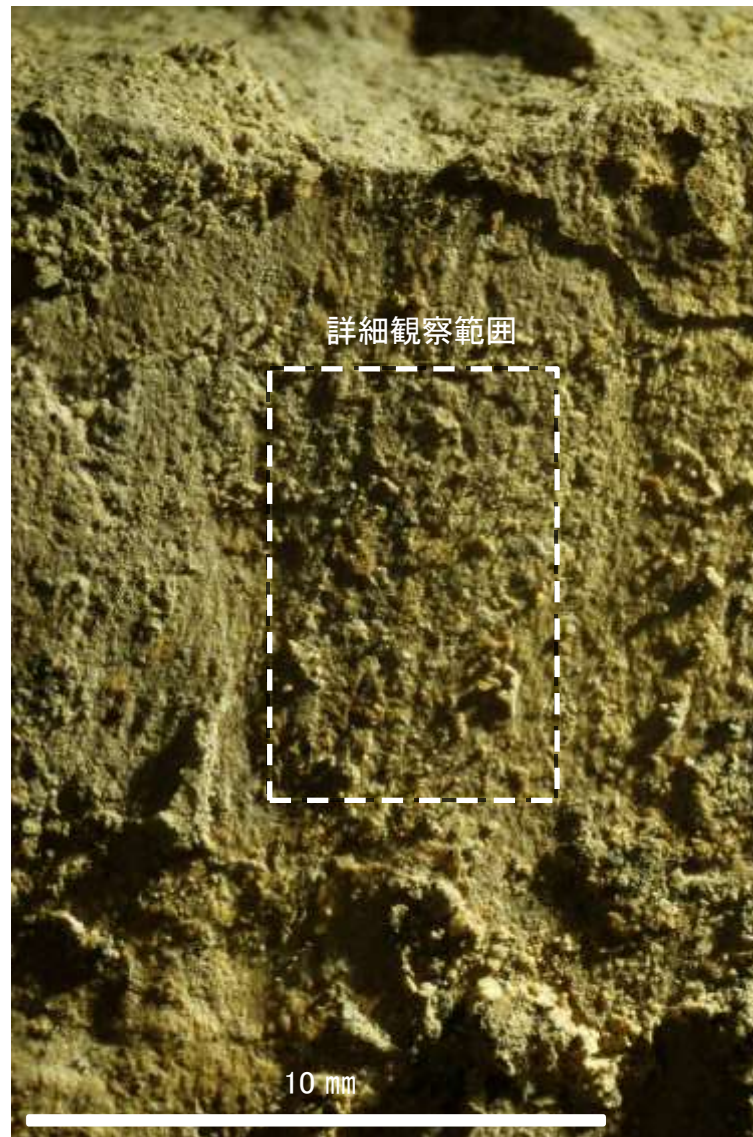
- 主せん断面における条線観察の結果, 下盤側の観察面で $110^\circ$  Rの条線が認められる。
- 観察面において, 礫まわりの粘土の非対称構造などの変位センスを推定できるような構造は認められない。



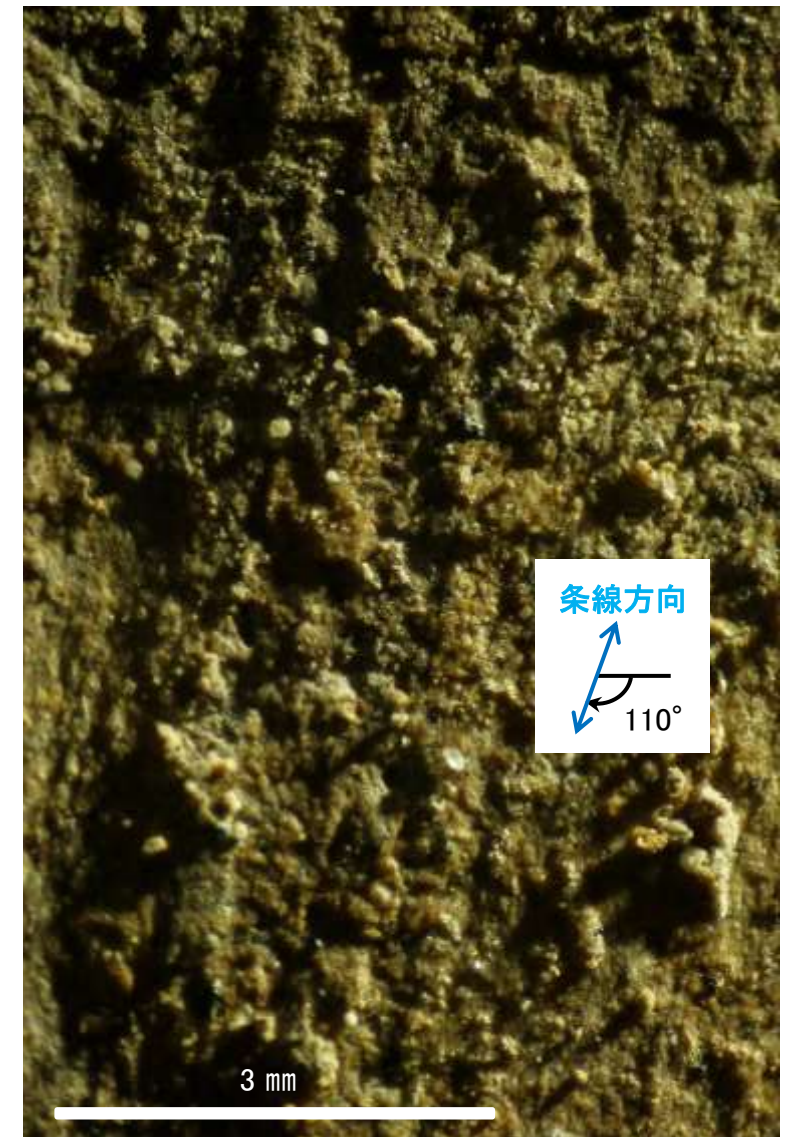
概念図  
※走向は真北で示す。



観察面写真



観察面拡大写真



詳細観察写真



---

(20) K-15の運動方向調査結果

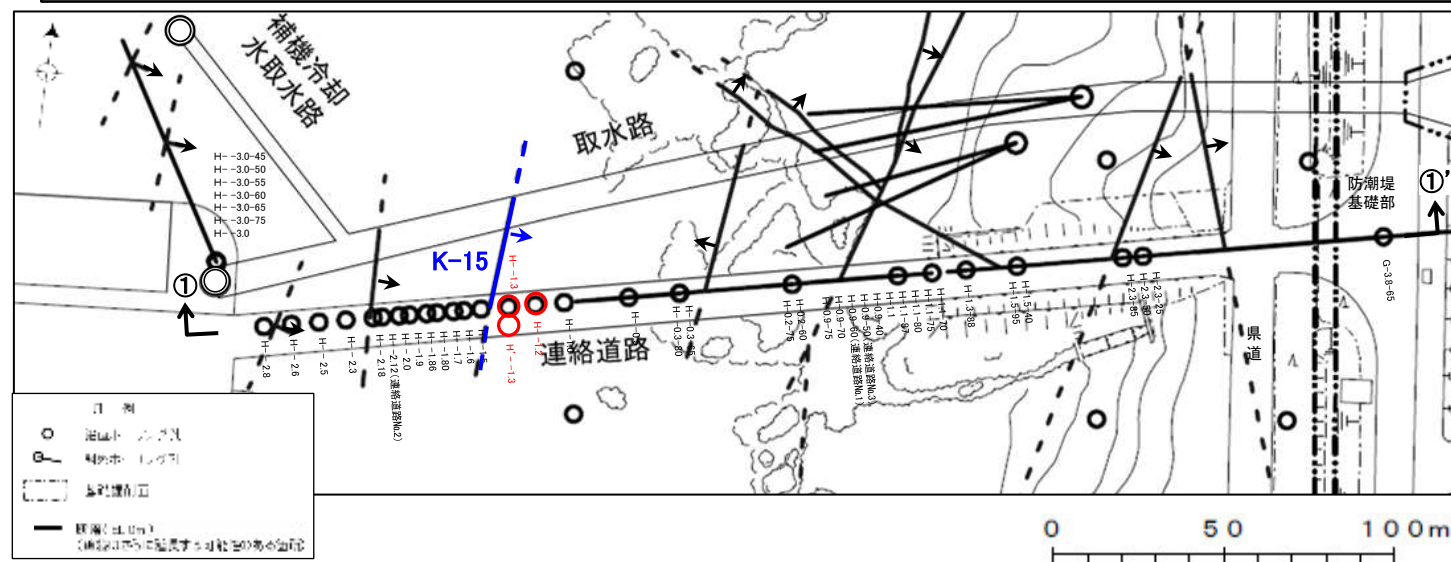
# K-15の運動方向調査結果 一概要一

○コア観察, CT画像観察, 条線観察, 薄片観察結果から, 固結した破碎部では正断層の変位センスが認められ, 粘土状破碎部では逆断層の変位センスが認められる。観察結果を次頁以降に示す。

観察結果 一覧表

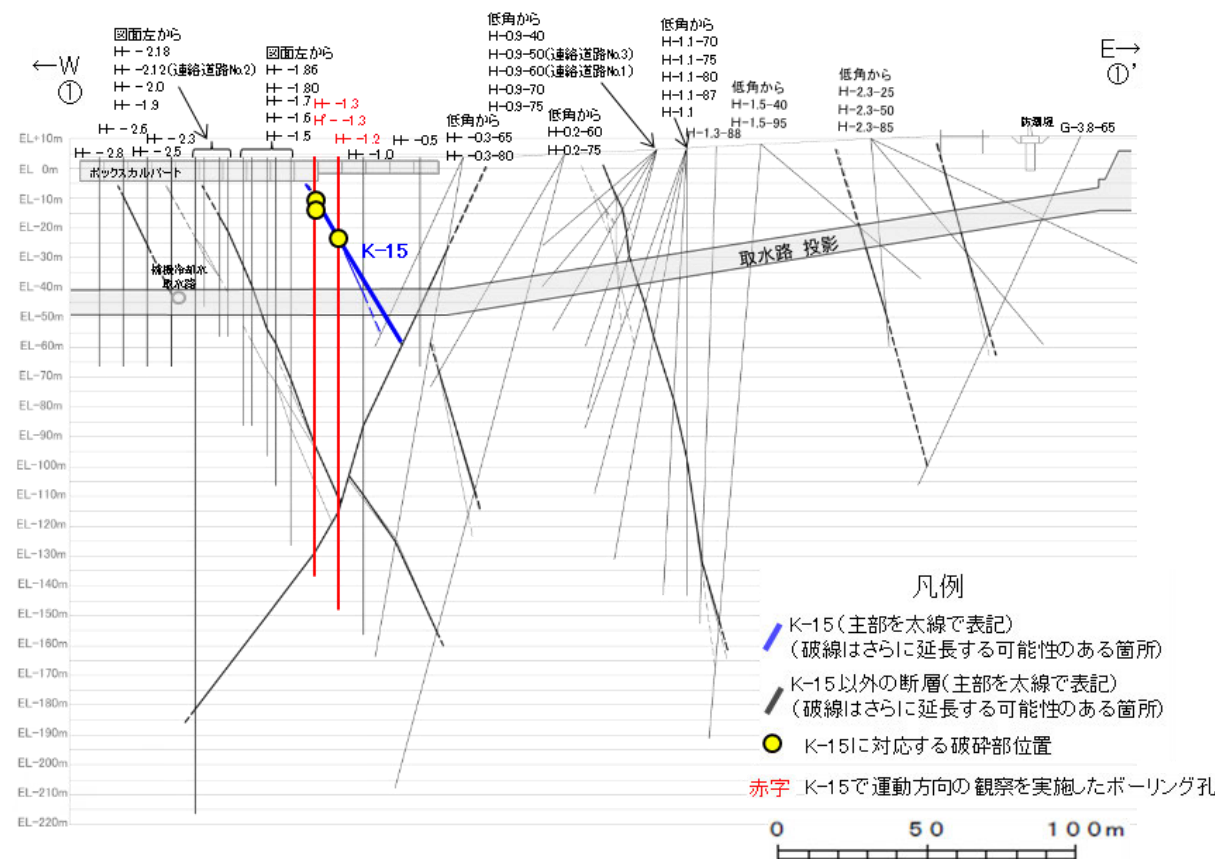
試料名	走向/傾斜 (走向は真北)	固結した破碎部		粘土状破碎部	
		変位センス (コア観察, 薄片観察)	条線の レイク*1	変位センス (条線観察)	変位センス (薄片観察)
H'--1.3孔 [深度17.45m]	N8° E/74° SE	正断層			逆断層*2
H--1.3孔 [深度13.13m]	NS/70° E		90° R	(不明)	
			105° R	(不明)	
H--1.2孔 [深度27.05m]	N15° E/69° SE		70° R	(不明)	
			85° R	(不明)	

\*1: 上盤側で確認したレイクは下盤側に換算して示す。  
\*2: H--1.3孔の条線観察結果を踏まえ90° Rで切断し, 作成した薄片で確認。



位置図

赤字 K-15で運動方向の観察を実施したボーリング孔  
矢印(➡)の向きは断層の傾斜方向を示す

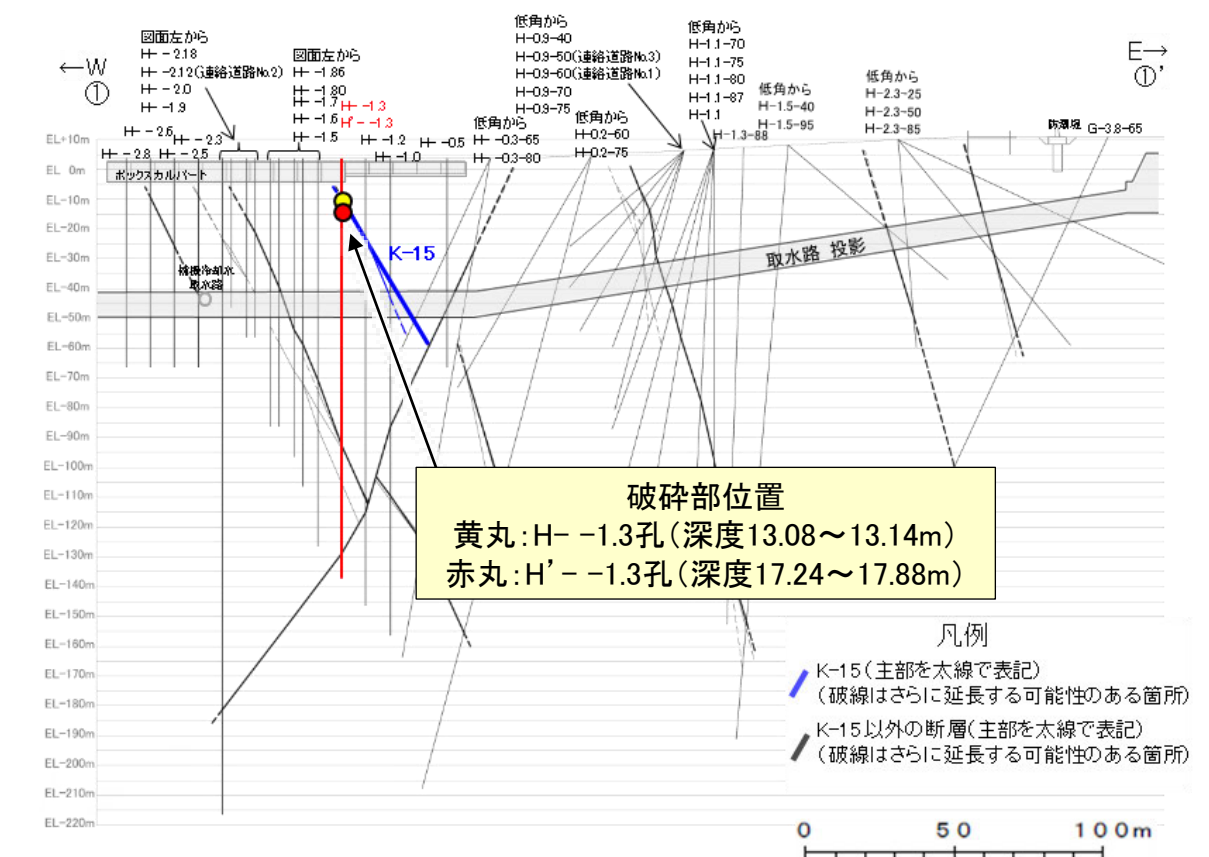
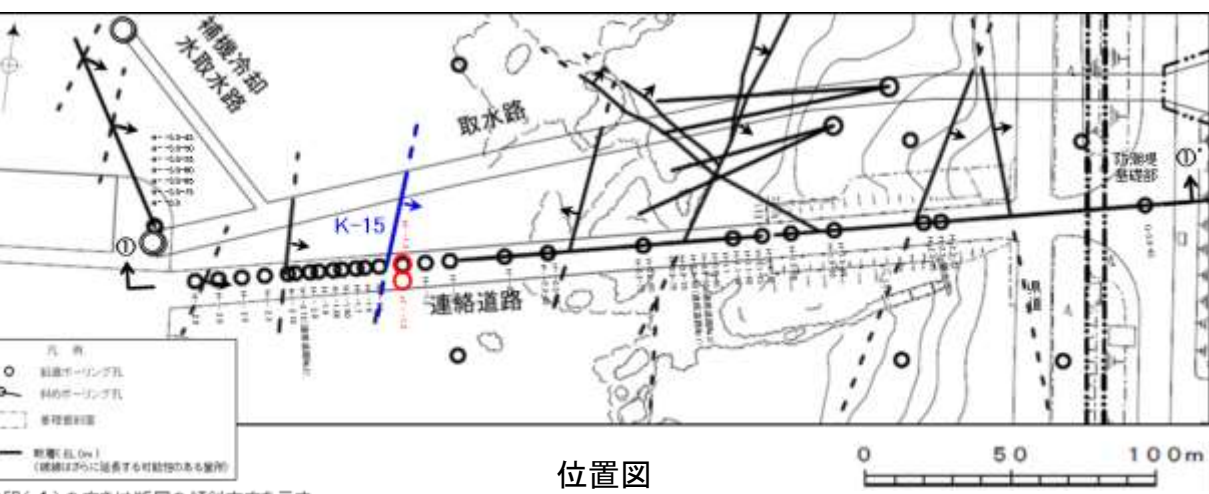


①-①' 断面図

凡例  
 ● K-15(主部を太線で表記)  
 (破線はさらに延長する可能性のある箇所)  
 ● K-15以外の断層(主部を太線で表記)  
 (破線はさらに延長する可能性のある箇所)  
 ● K-15に対応する破碎部位置  
 赤字 K-15で運動方向の観察を実施したボーリング孔

# K-15の運動方向調査結果 -H'- -1.3孔, H- -1.3孔-

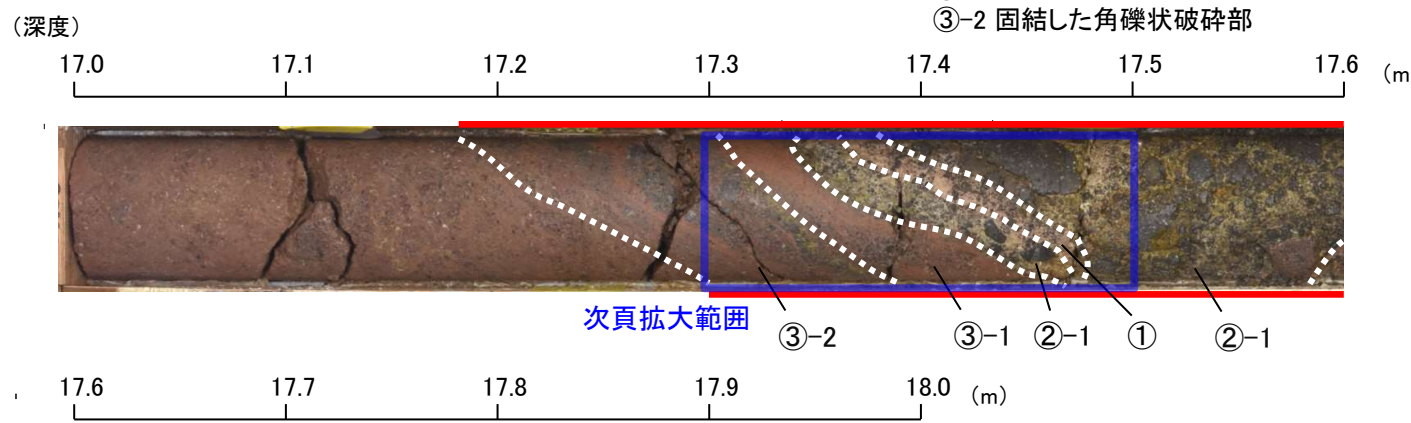
○H'- -1.3孔の深度17.24~17.88m, 隣接孔(H- -1.3孔)の深度13.08~13.14mにおいて, K-15に対応する破砕部が認められる。  
 ○これらの破砕部を対象として, コア観察により固結した破砕部の運動方向を確認した。  
 ○次に, コア観察及びCT画像観察により抽出した主せん断面において, 隣接孔(H- -1.3孔)で条線観察, H'- -1.3孔で薄片観察を実施し, 粘土状破砕部の運動方向を確認した。



**破砕部位置**  
 黄丸: H- -1.3孔 (深度13.08~13.14m)  
 赤丸: H'- -1.3孔 (深度17.24~17.88m)

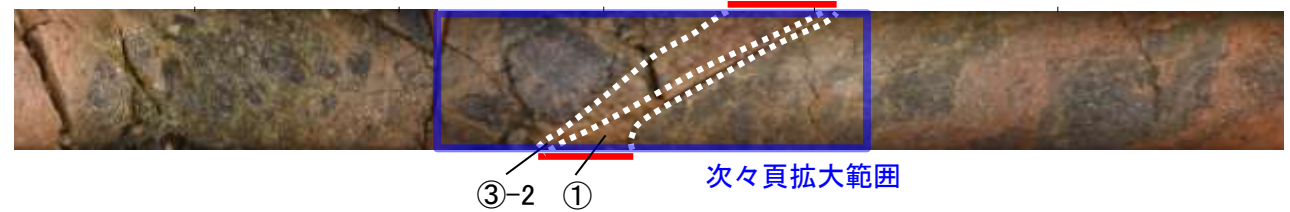
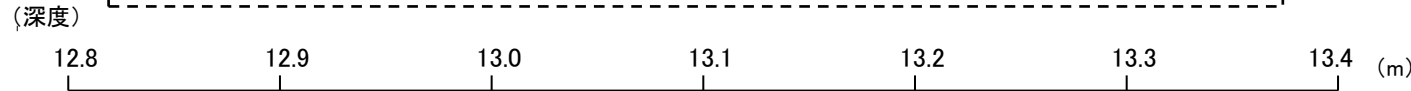
凡例  
 K-15 (主部を太線で表記)  
 (破線はさらに延長する可能性のある箇所)  
 K-15以外の断層 (主部を太線で表記)  
 (破線はさらに延長する可能性のある箇所)

- ① 粘土状破砕部
  - ②-1 砂状破砕部
  - ③-1 固結した粘土・砂状破砕部
  - ③-2 固結した角礫状破砕部
- == 破砕部



コア観察結果 コア写真(H'- -1.3孔, 破砕部区分を加筆)

深度17.24~17.88m:  
 傾斜角50~70°の厚さ27cmの破砕部。厚さ1.0~1.2cmの暗オリーブ灰色の砂状破砕部, 厚さ0.6~1.2cmの灰赤色の粘土状破砕部, 厚さ5.9~8.9cmの暗オリーブ灰色の砂状破砕部及び厚さ17~19cmの固結した破砕部からなる。

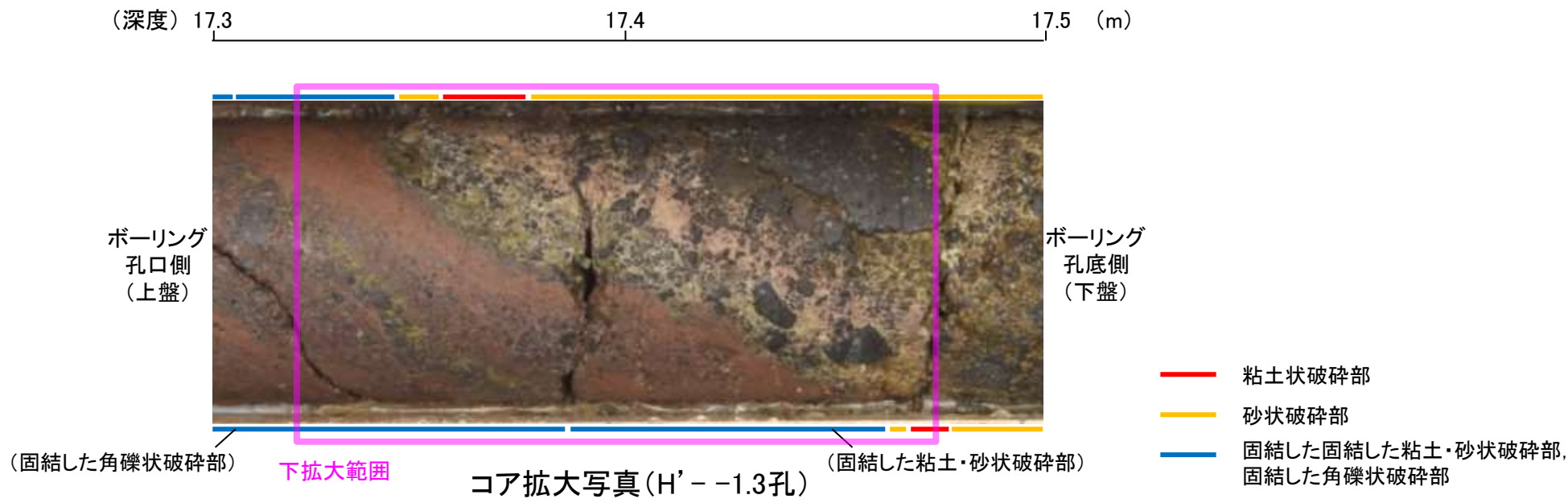


コア写真(H- -1.3孔, 破砕部区分を加筆)

コア観察結果  
 深度13.08~13.14m:  
 傾斜角60~65°の厚さ1.2~2.6cmの破砕部。厚さ0.4~0.7cmの褐色の粘土状破砕部及び厚さ0.5~1.9cmの固結した破砕部からなる。

# K-15の運動方向調査結果 -H'- -1.3孔(コア観察) -

○H' - -1.3孔において、深度17.40m付近に固結した破碎部のせん断面が認められ、その上盤側に岩片が引きずられる構造が認められる。  
○この構造は上盤側へ伸びており、この構造と固結した破碎部のせん断面の配置から、見かけ上盤側下がりの変位が推定される。  
○断層の走向傾斜がN8° E/74° SEであること、ボーリングの掘進方位及び掘進傾斜から考えると、固結した破碎部の運動方向は正断層センスである。

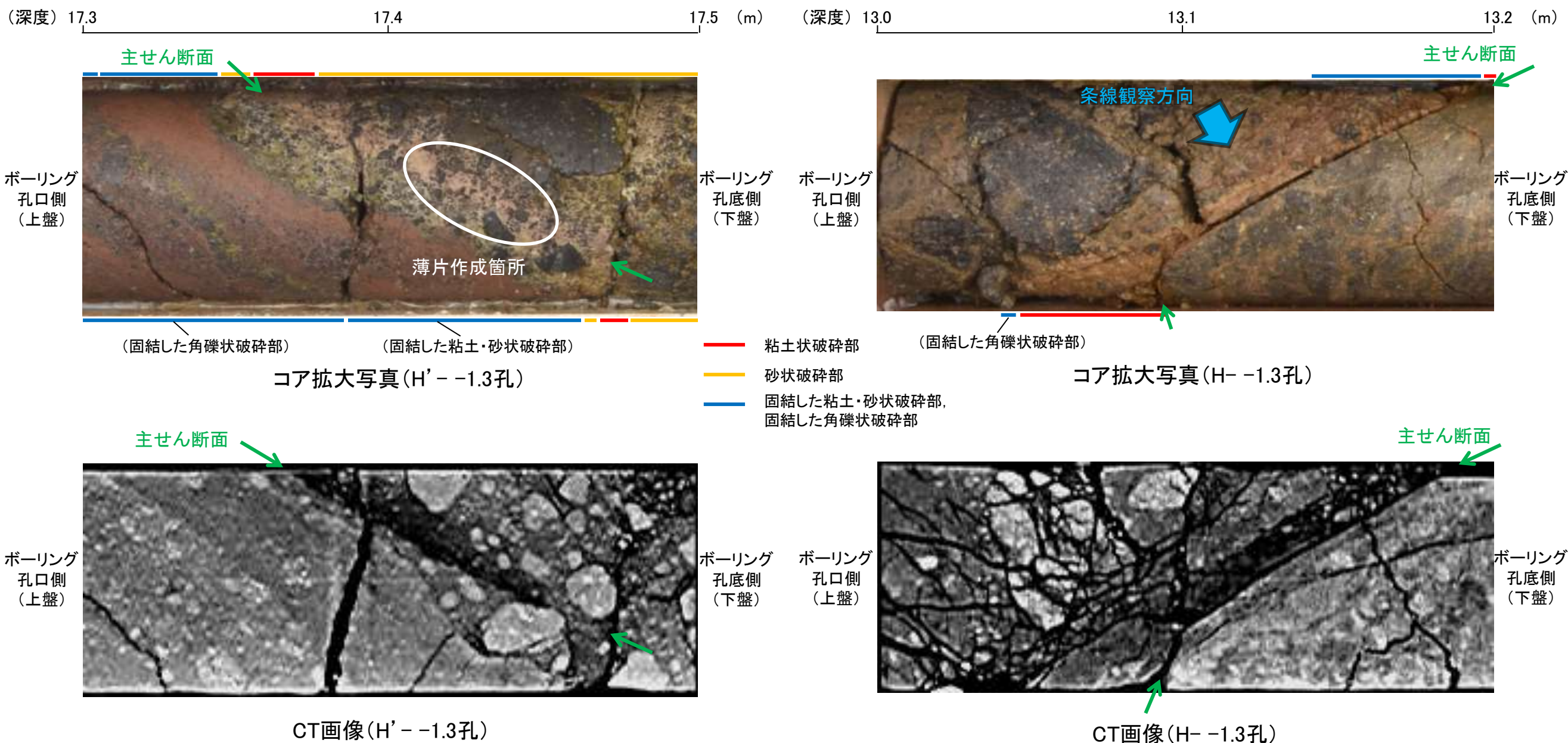


拡大範囲写真(右は構造等を加筆)

1cm

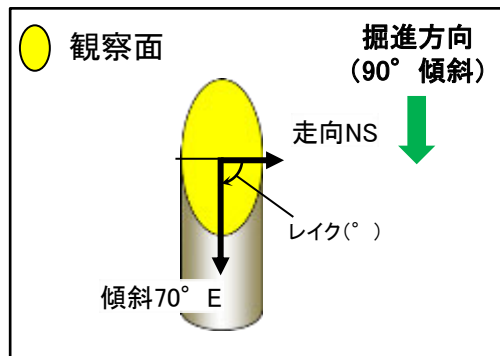
# K-15の運動方向調査結果 —H' - -1.3孔, H- -1.3孔(コア観察, CT画像観察)—

- H' - -1.3孔のコア観察, CT画像観察結果より, 砂状破碎部に挟まれた深度17.45m付近に, 厚さ0.6~1.2cmの粘土状破碎部が認められる。
- 粘土状破碎部を伴う比較的直線性・連続性がよい面を, 主せん断面として抽出した。
- 隣接孔(H- -1.3孔)のコア観察, CT画像観察結果より, 固結した角礫状破碎部と凝灰角礫岩の境界である深度13.10m付近に, 厚さ0.4~0.7cmの粘土状破碎部が認められる。
- 粘土状破碎部を伴う比較的直線性・連続性がよい面を, 主せん断面として抽出した。
- 隣接孔(H- -1.3孔)の主せん断面において条線観察を実施し, H' - -1.3孔の主せん断面において隣接孔(H- -1.3孔)の条線観察結果を用いて薄片を作成し, 観察を行った。



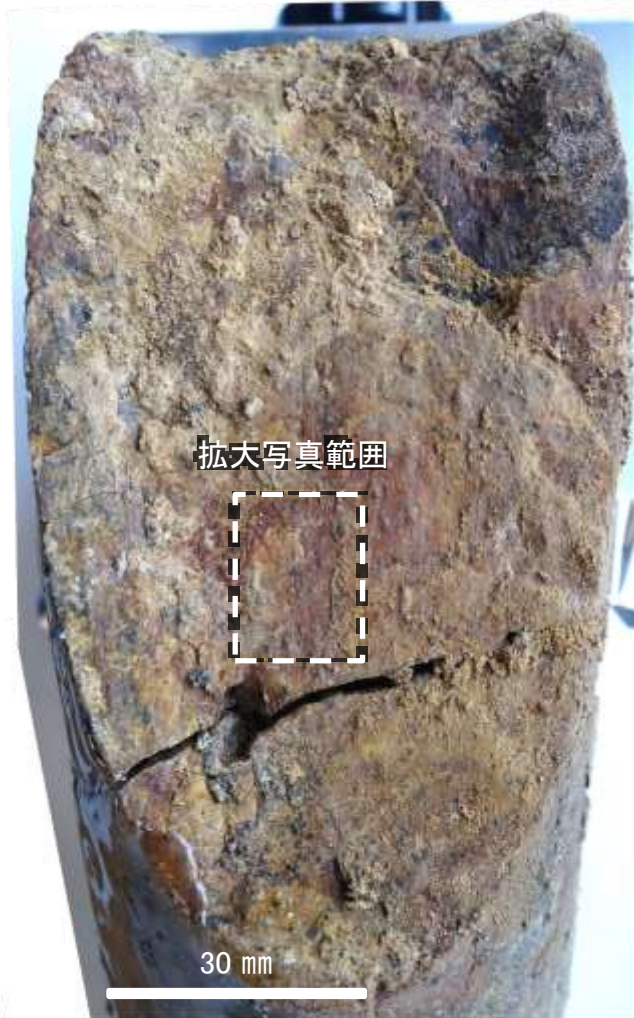
# K-15の運動方向調査結果 —H- -1.3孔(条線観察, 下盤側)—

- 隣接孔(H- -1.3孔)の主せん断面における条線観察の結果, 下盤側の観察面で $90^\circ$  R,  $105^\circ$  Rの条線が認められる。
- 観察面において, 礫まわりの粘土の非対称構造などの変位センスを推定できるような構造は認められない。

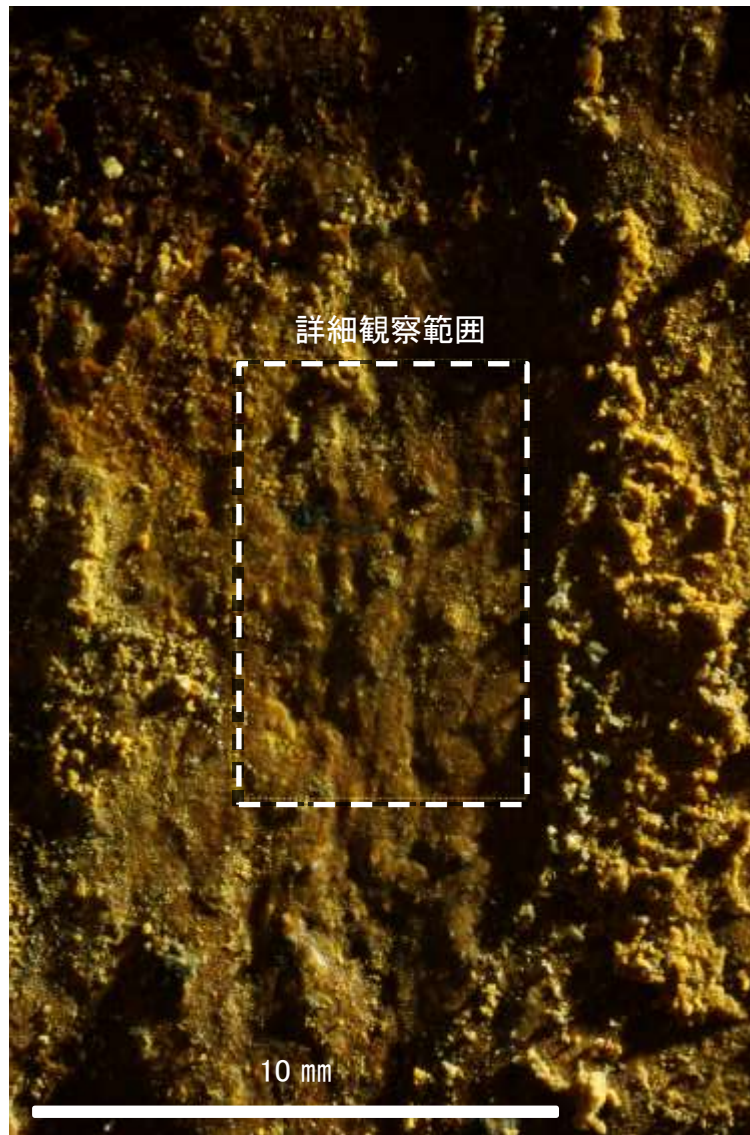


概念図

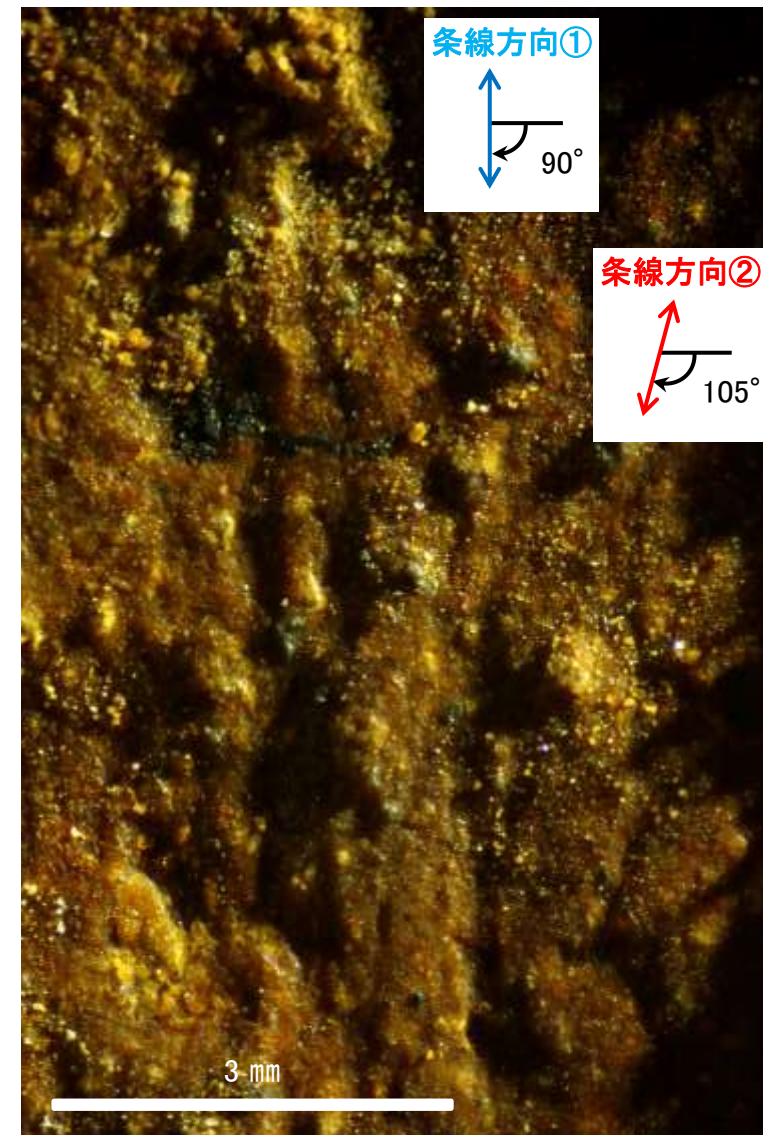
※走向は真北で示す。



観察面写真



観察面拡大写真



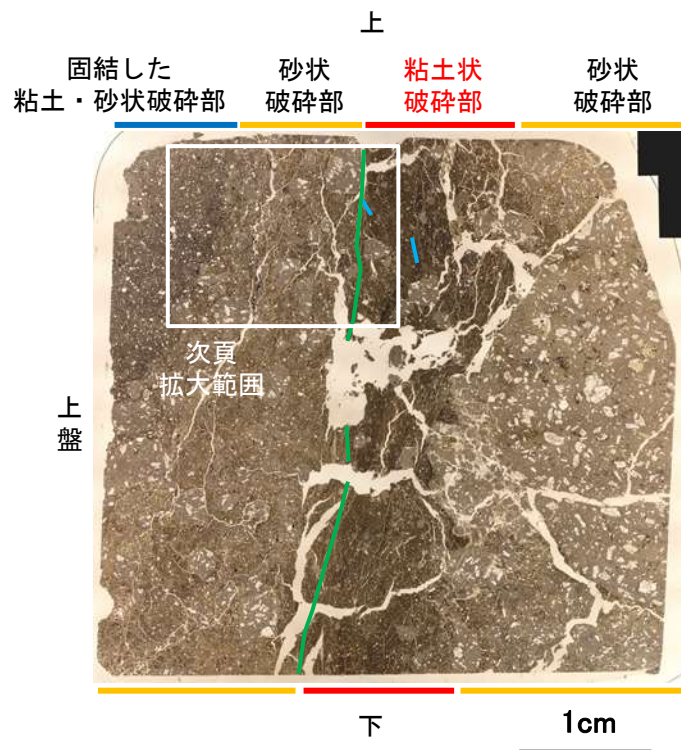
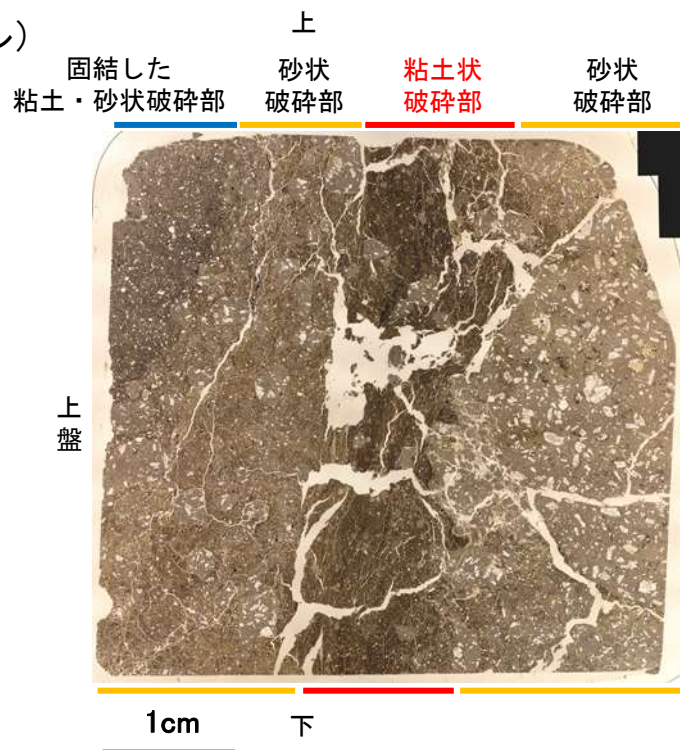
詳細観察写真

# K-15の運動方向調査結果 —H'— -1.3孔(薄片観察)—

○H'— -1.3孔の主せん断面において、隣接孔(H— -1.3孔)の条線方向(90° R)で作成した薄片観察の結果、上盤側から固結した粘土・砂状破碎部、砂状破碎部、粘土状破碎部、砂状破碎部※に分帯される。  
 ○砂状破碎部(上盤側)と粘土状破碎部の境界をなすY面が認められる。このY面は、密着し湾曲する箇所が多く、直線性に乏しく不明瞭である。  
 ○その他、薄片内にY面に相当する構造は認められない。

※分帯名はコア観察での破碎部区分に対応

(単ニコル)



薄片観察結果

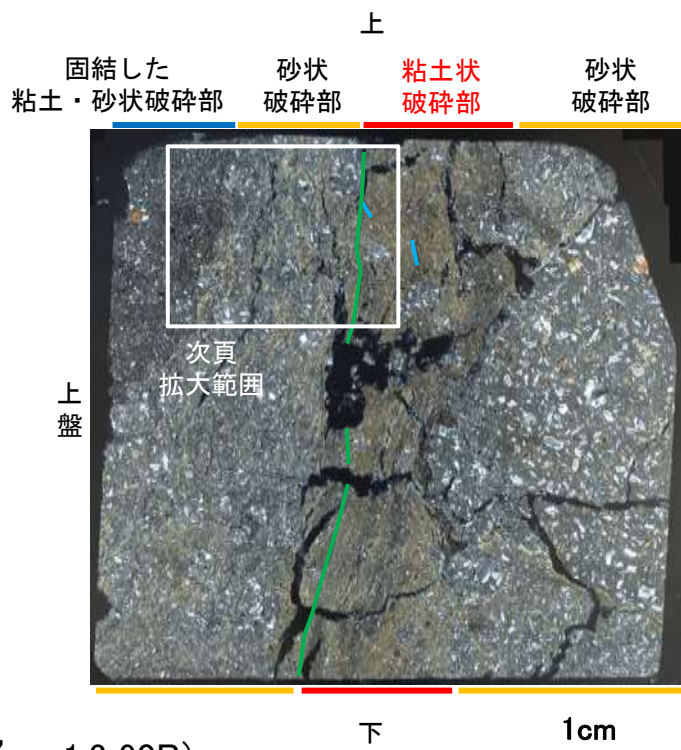
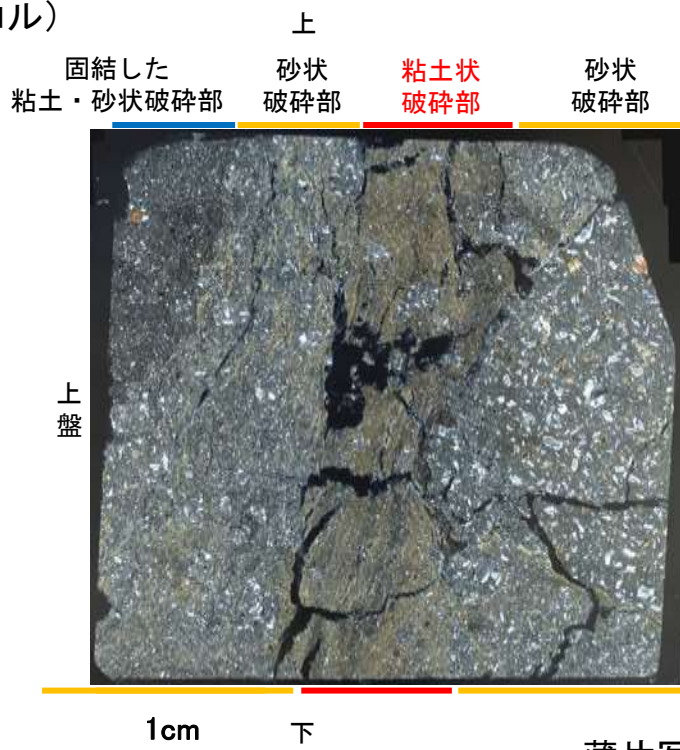
固結した粘土・砂状破碎部:  
 単ニコルで褐灰色、直交ニコルで暗灰色の干渉色を呈する。径4mm以下の岩片や鉱物片が細粒な基質中に含まれる。岩片、鉱物片は垂角～垂円形である。

砂状破碎部(上盤側):  
 単ニコルで褐灰色、直交ニコルで灰色の干渉色を呈する。径5mm以下の岩片や鉱物片が細粒な基質中に含まれる。岩片、鉱物片は垂角～垂円形である。基質中や岩片の縁辺部には粘土鉱物が生成されている。

粘土状破碎部:  
 単ニコルで褐～暗褐灰色、直交ニコルで褐～灰色の干渉色を呈する。径3mm以下の岩片や鉱物片が細粒な基質中に含まれる。岩片、鉱物片は垂角～垂円形である。基質中には粘土鉱物が生成されている。

砂状破碎部(下盤側):  
 単ニコルで褐灰色、直交ニコルで灰色の干渉色を呈する。径30mm以上の岩片が大半を占めており、径5mm以下の岩片や鉱物片が細粒な基質中に含まれる。岩片、鉱物片は垂角～垂円形である。基質中や岩片の縁辺部には粘土鉱物が生成されている。

(直交ニコル)



見かけ上盤側上がり



せん断センス  
 を示す複合面構造  
 (狩野・村田(1998)  
 に加筆)

凡例

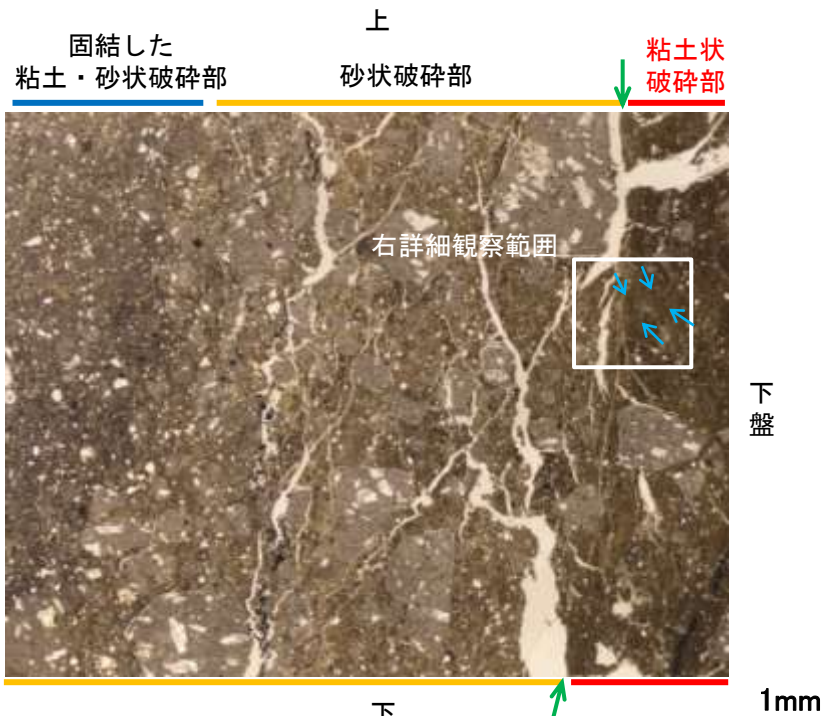
— Y面  
 — P面

薄片写真(H'— -1.3\_90R)  
 (右は構造等を加筆)

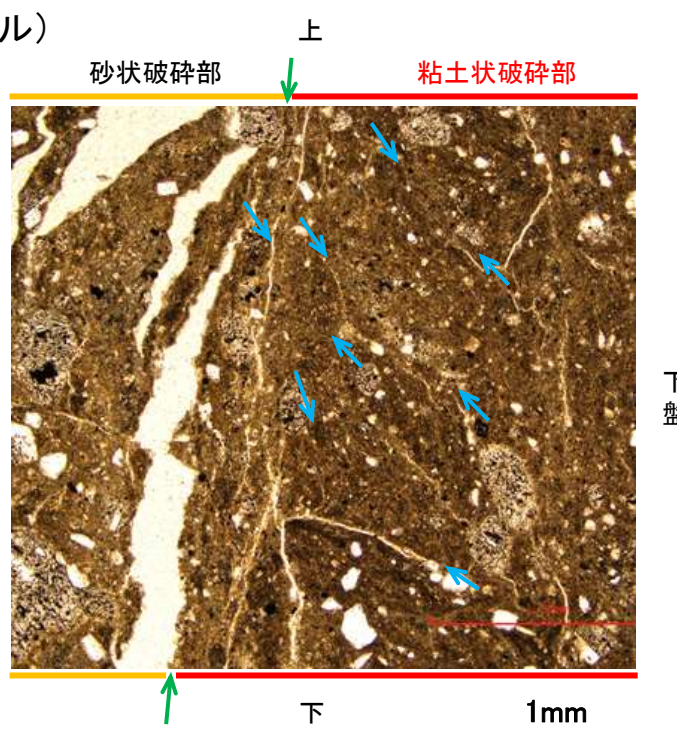
# K-15の運動方向調査結果 —H'— -1.3孔(薄片観察, 詳細観察)—

- 固結した粘土・砂状破碎部中には複合面構造は認められず, 変位センスは特定できない。
- 砂状破碎部中には複合面構造は認められず, 変位センスは特定できない。
- 粘土状破碎部中の岩片や鉱物片の多くに定向性は認められない。ただし, Y面の直近の一部において認められる岩片や粘土鉱物の微弱な定向配列をP面とすると, 見かけ上盤側上がりの変位が推定される。
- 断層の走向傾斜がN8° E/74° SE, 条線レイクが90° Rであることから, 粘土状破碎部の運動方向は逆断層センスである。

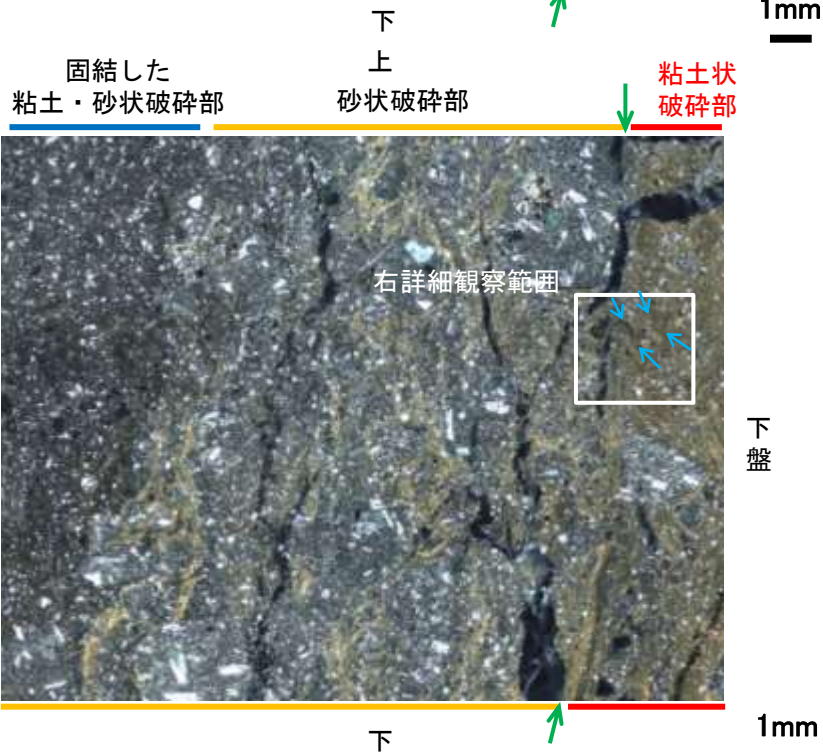
(単ニコル)



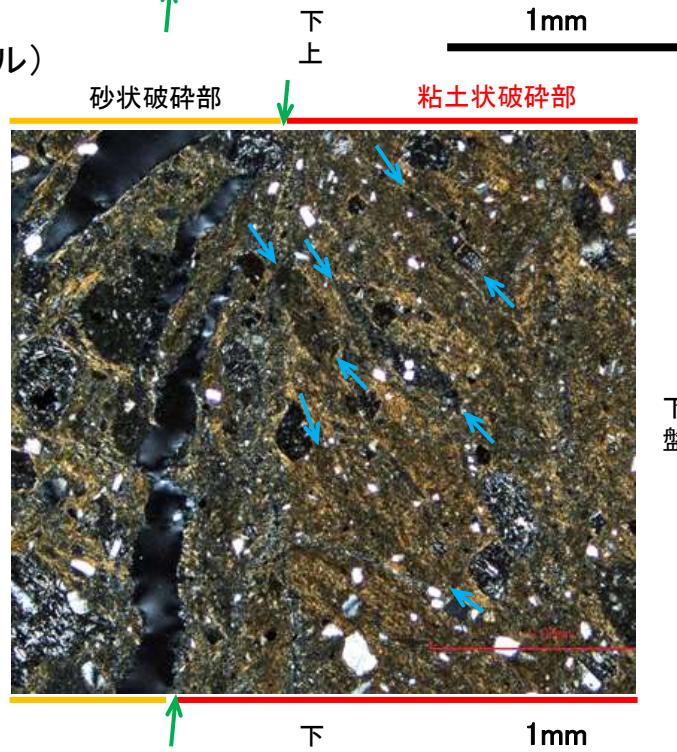
(単ニコル)



(直交ニコル)



(直交ニコル)



見かけ上盤側上がり



せん断センスを示す複合面構造 (狩野・村田(1998)に加筆)

- 凡例
- ← Y面
  - ← P面

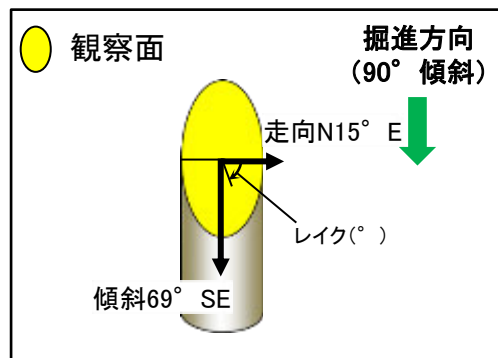
拡大範囲写真

詳細観察範囲写真



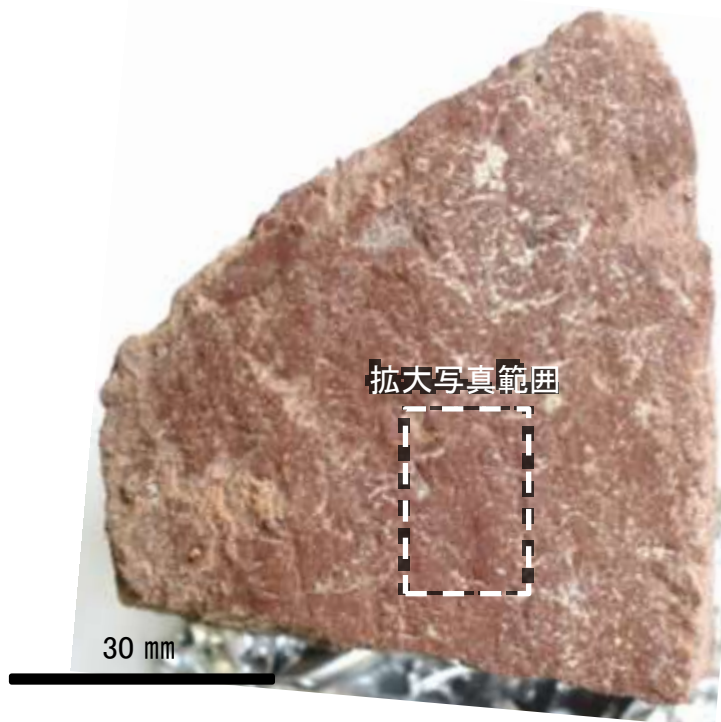
# K-15の運動方向調査結果 —H- -1.2孔(条線観察, 下盤側) —

- 主せん断面における条線観察の結果, 下盤側の観察面で $70^\circ$  R,  $85^\circ$  Rの条線が認められる。
- 観察面において, 礫まわりの粘土の非対称構造などの変位センスを推定できるような構造は認められない。

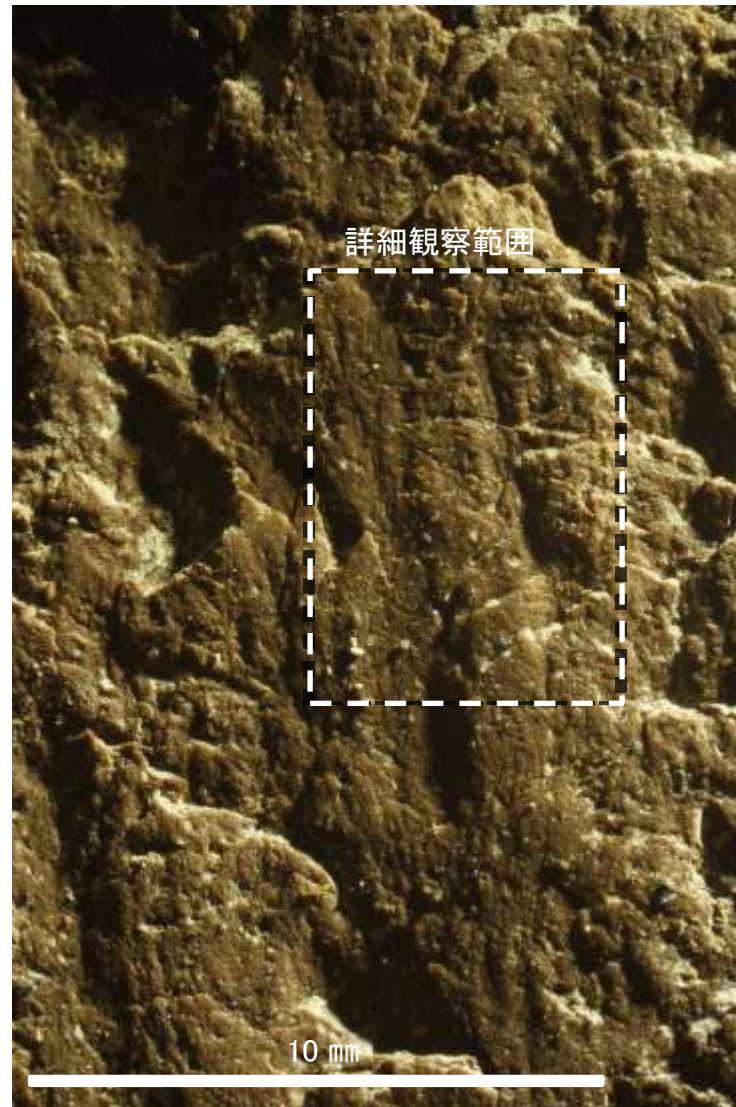


概念図

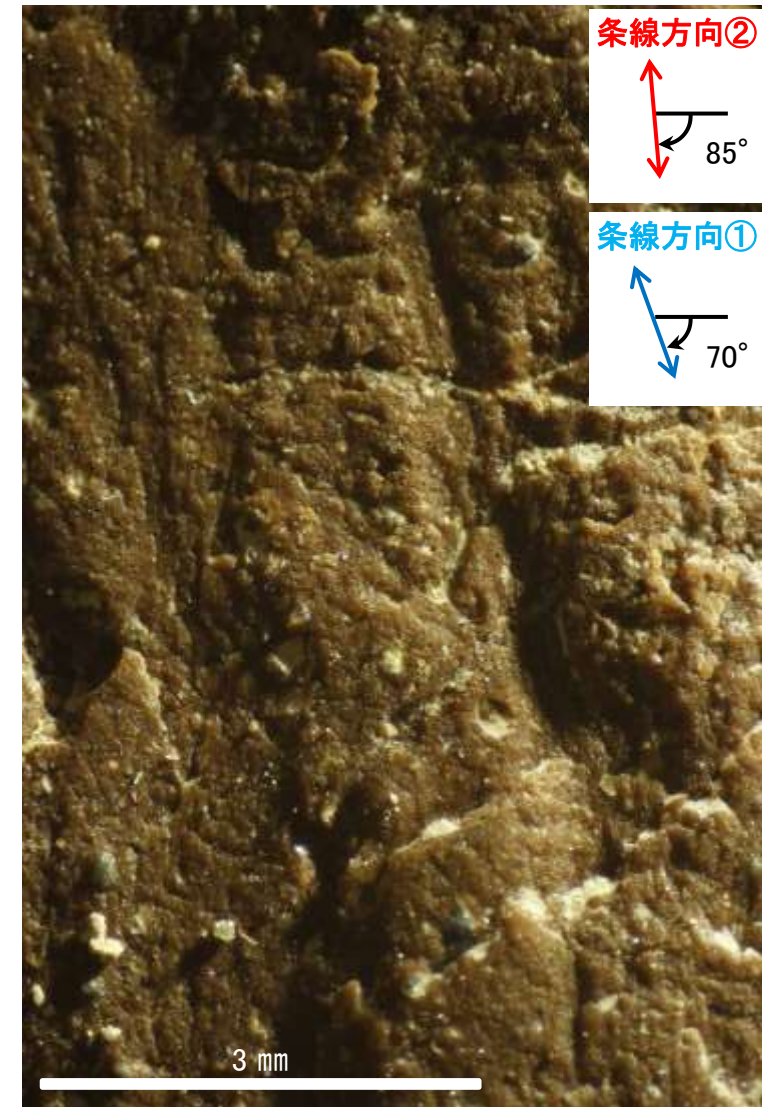
※走向は真北で示す。



観察面写真



観察面拡大写真



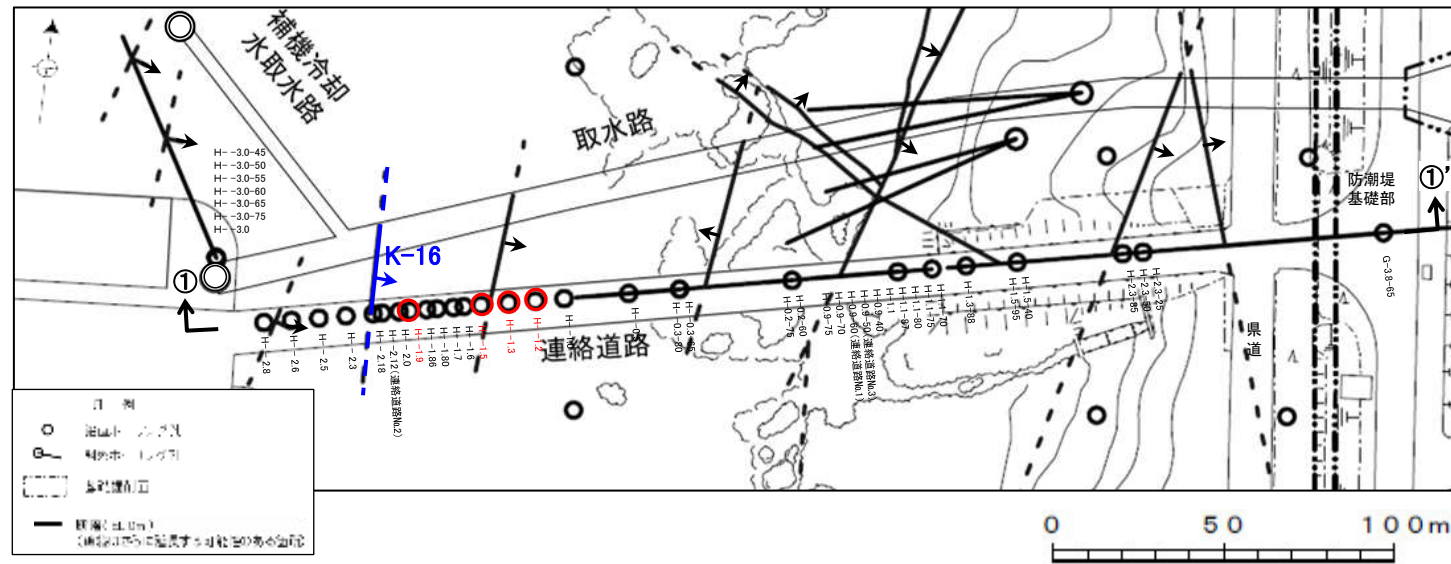
詳細観察写真

---

(21) K-16の運動方向調査結果

# K-16の運動方向調査結果 一概要一

○コア観察, CT画像観察, 条線観察, 薄片観察結果から, 固結した破碎部では正断層の変位センスが認められ, 粘土状破碎部では右横ずれまたは左横ずれを伴う逆断層の変位センスが認められる。観察結果を次頁以降に示す。



赤字 K-16で運動方向の観察を実施したボーリング孔

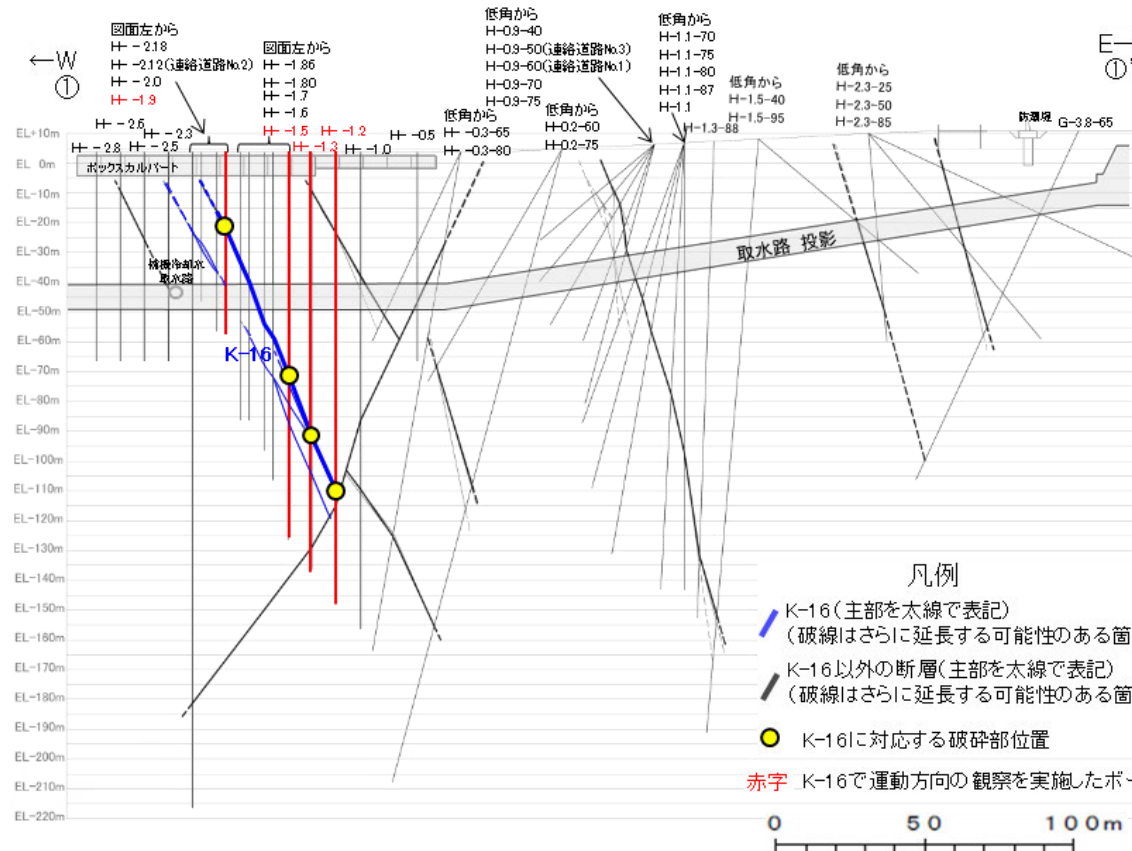
矢印(➦)の向きは断層の傾斜方向を示す

位置図

観察結果 一覧表

試料名	走向/傾斜 (走向は真北)	固結した破碎部	粘土状破碎部		
		変位センス (薄片観察)	条線の レイク*1	変位センス (条線観察)	変位センス (薄片観察)
H- -1.2孔 [深度114.05m]	N16° W/73° NE	正断層	115° R	(不明)	左横ずれ 逆断層
H- -1.9孔 [深度25.04m]	N18° W/68° NE	正断層	90° R	(不明)	(不明)
			65° R	(不明)	
H- -1.3孔 [深度96.35m]	N7° W/74° NE	(不明)	80° R	(不明)	右横ずれ 逆断層
			65° R	(不明)	
H- -1.5孔 [深度74.35m]	N25° W/64° NE		70° R	(不明)	

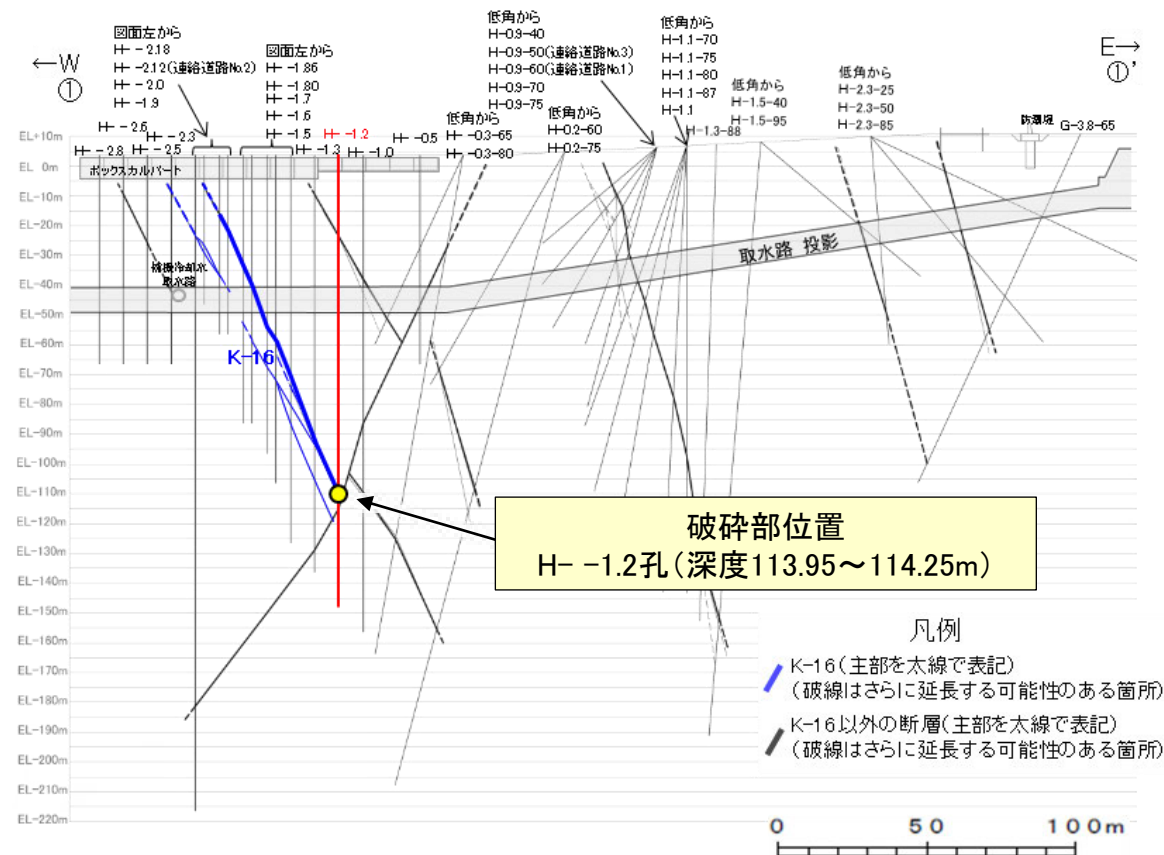
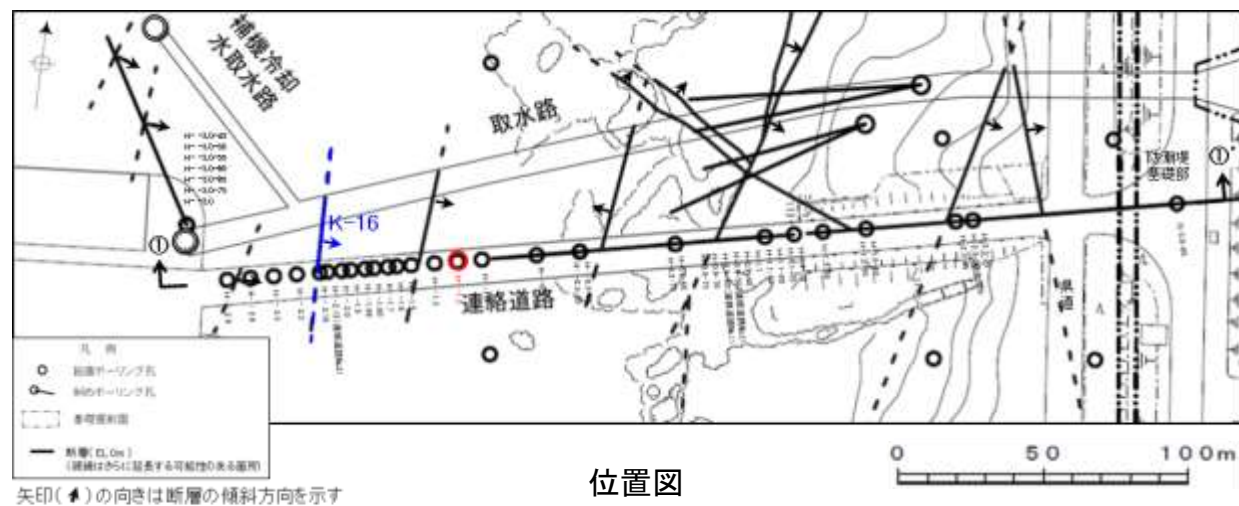
\*1: 上盤側で確認したレイクは下盤側に換算して示す。



①-①' 断面図

# K-16の運動方向調査結果 -H- -1.2孔-

○H- -1.2孔の深度113.95~114.25mにおいて、K-16に対応する破砕部が認められる。  
○この破砕部を対象に、コア観察及びCT画像観察により抽出した主せん断面において条線観察、薄片観察を実施し、固結した破砕部の運動方向及び粘土状破砕部の運動方向を確認した。



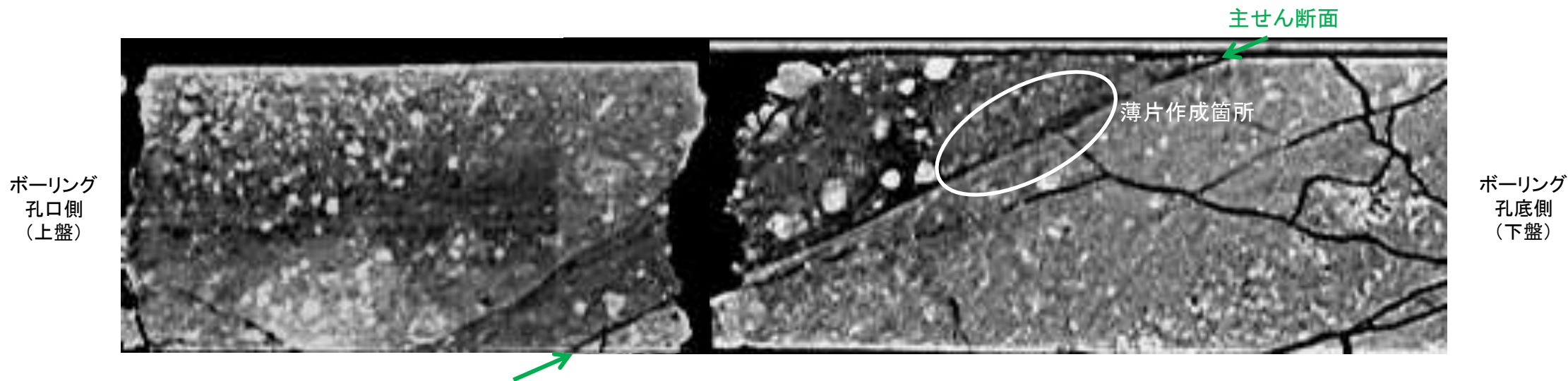
破砕部位置  
H- -1.2孔(深度113.95~114.25m)



# K-16の運動方向調査結果 —H- -1.2孔(コア観察, CT画像観察)—

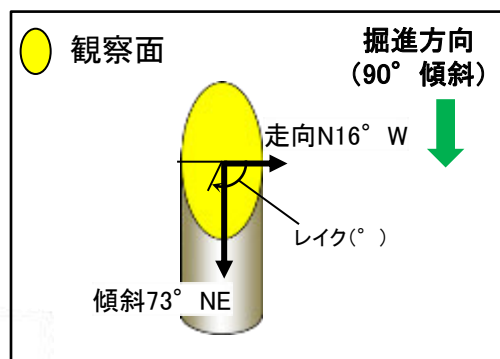
- コア観察, CT画像観察結果より, 固結した粘土・砂状破碎部に挟まれた深度114.10m付近に, 厚さ4.0cmの粘土状破碎部が認められる。
- 粘土状破碎部を伴う比較的直線性・連続性がよい面を, 主せん断面として抽出した。
- 主せん断面において, 条線観察及び薄片観察を実施した。

(深度) 113.9 114.0 114.1 114.2 (m)



# K-16の運動方向調査結果 —H- -1.2孔(条線観察, 下盤側) —

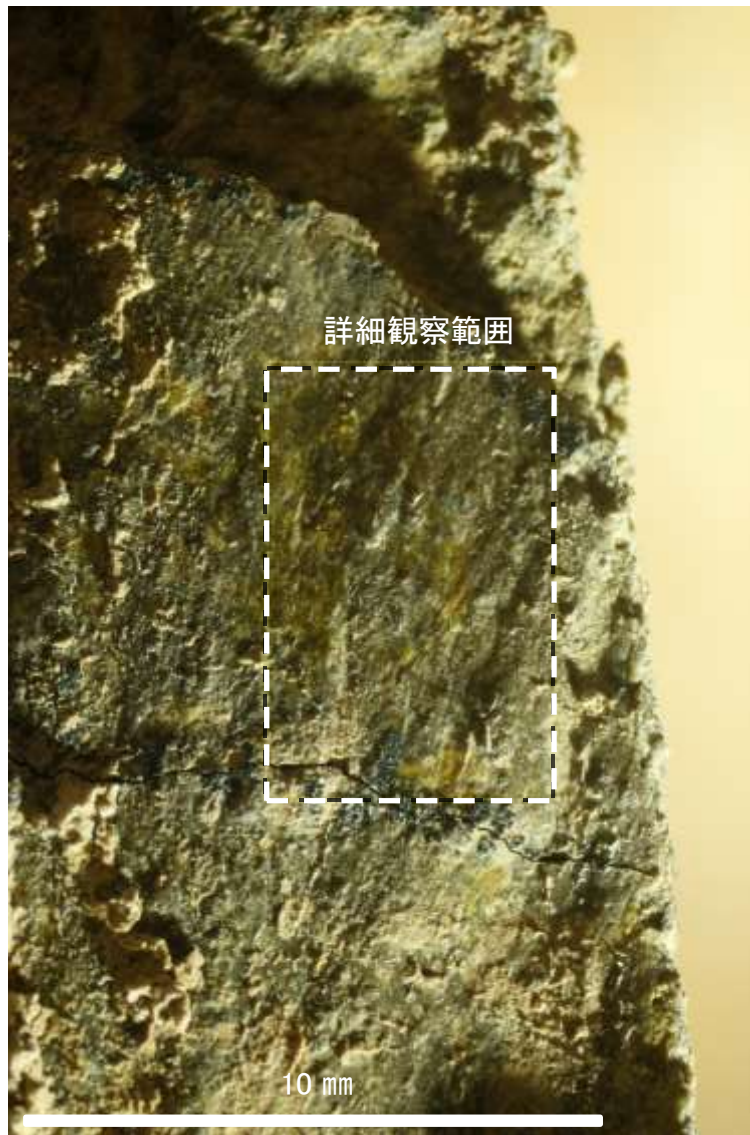
- 主せん断面における条線観察の結果, 下盤側の観察面で $115^\circ$  Rの条線が認められる。
- 観察面において, 礫まわりの粘土の非対称構造などの変位センスを推定できるような構造は認められない。



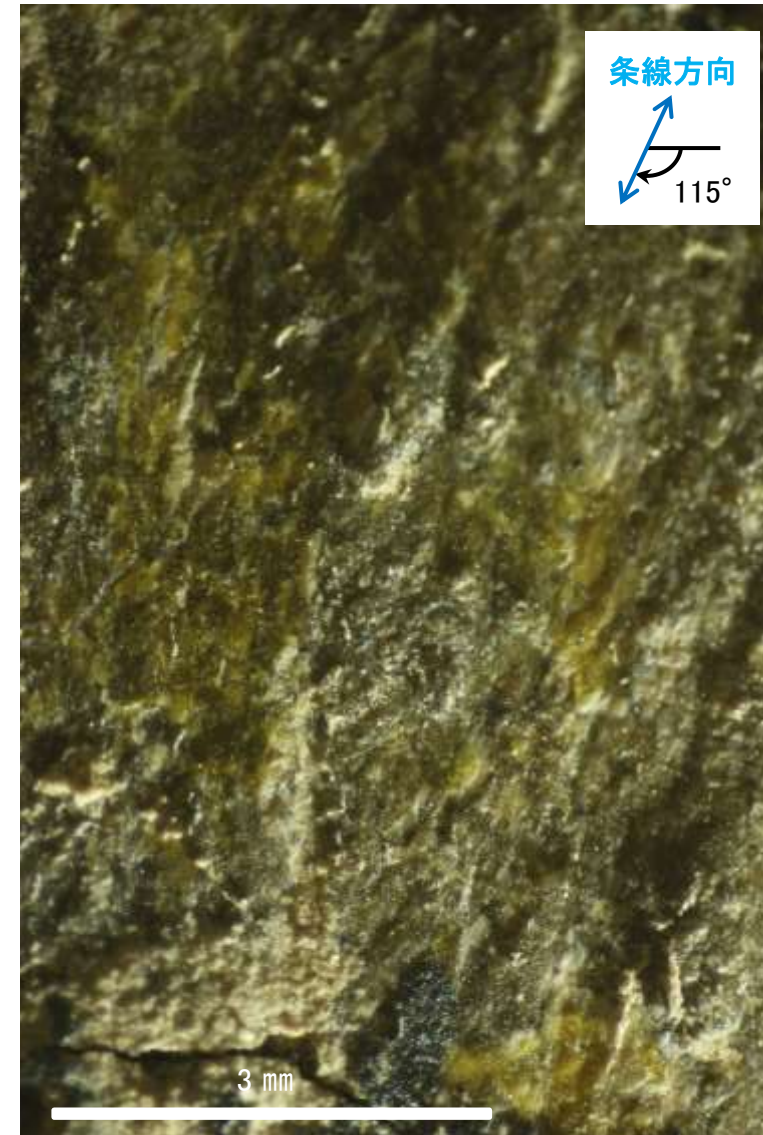
概念図  
※走向は真北で示す。



観察面写真



観察面拡大写真

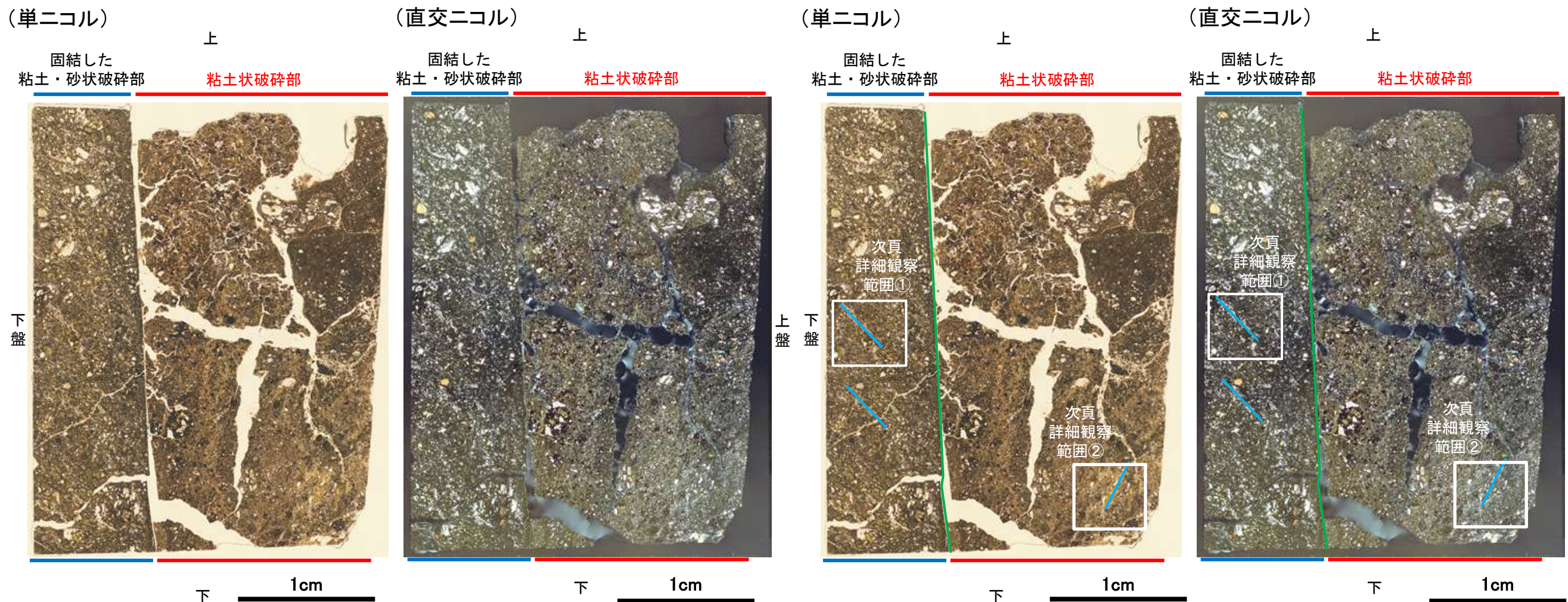


詳細観察写真

# K-16の運動方向調査結果 —H- -1.2孔(薄片観察)—

○主せん断面において115° Rの条線方向で作成した薄片観察の結果, 上盤側から固結した粘土・砂状破碎部, 粘土状破碎部※に分帯される。  
○固結した粘土・砂状破碎部と粘土状破碎部の境界をなすY面が認められる。  
○その他, 薄片内にY面に相当する構造は認められない。

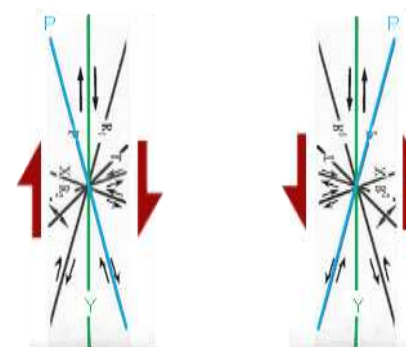
※分帯名はコア観察での破碎部区分に対応



凡例  
— Y面  
— P面

薄片写真(H- -1.2\_115R)  
(右は構造等を加筆)

見かけ上盤側下がり 見かけ上盤側上がり



せん断センスを示す複合面構造  
(狩野・村田(1998)に加筆)

## 薄片観察結果

### 固結した粘土・砂状破碎部:

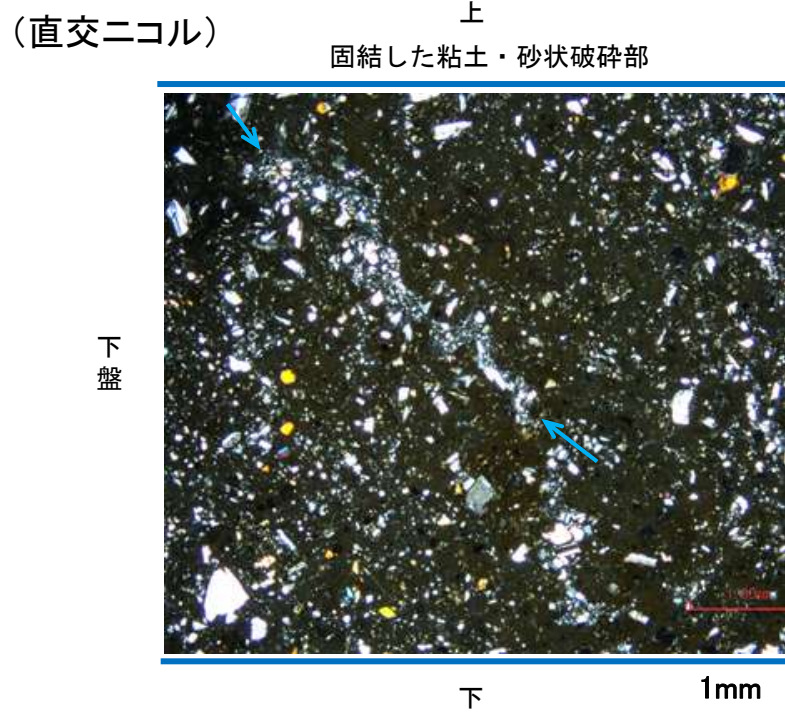
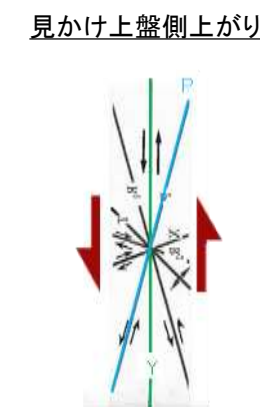
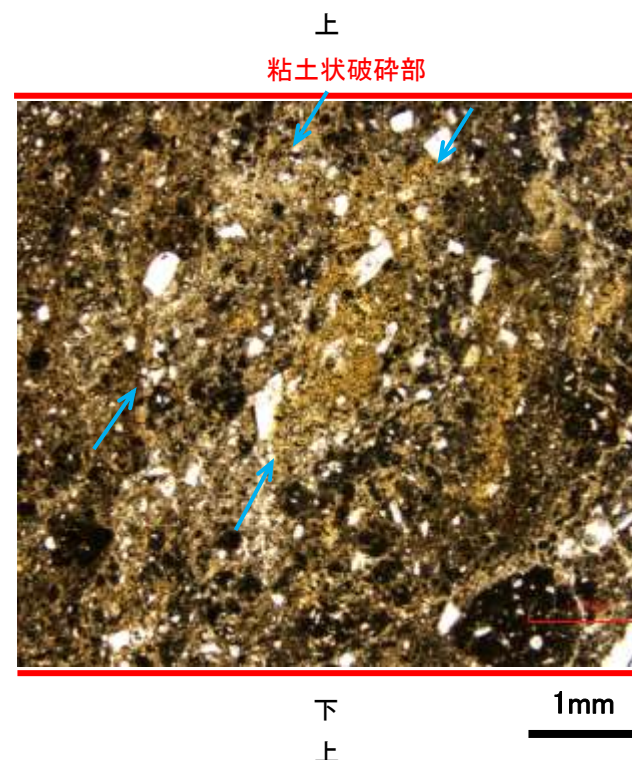
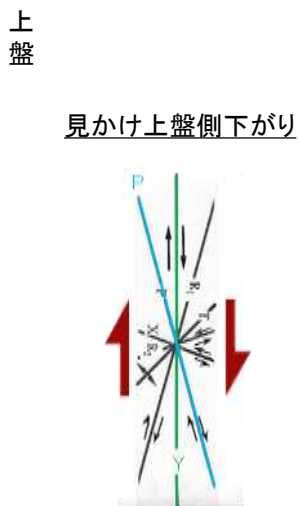
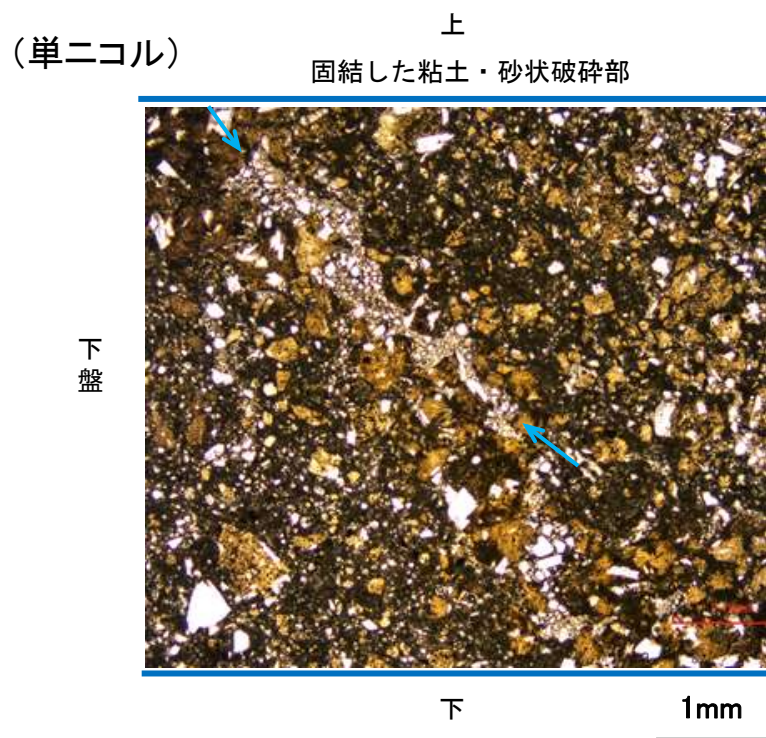
単ニコルで褐灰～暗灰色, 直交ニコルで灰色の干渉色を呈する。径8mm以下の岩片や鉱物片が細粒な基質中に含まれる。岩片, 鉱物片は垂角～亜円形である。粘土状破碎部との境界付近は比較的細粒化が進んでいる。割れ目には粘土鉱物が生成されている。

### 粘土状破碎部:

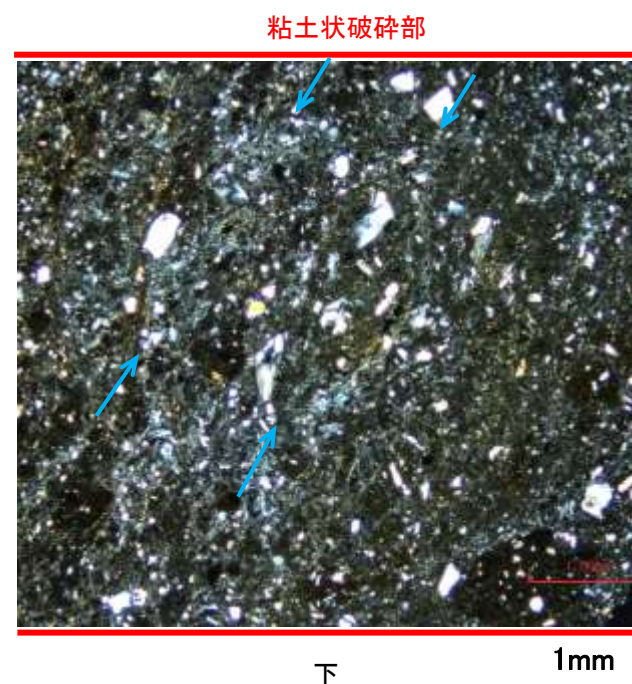
単ニコルで褐～褐灰色, 直交ニコルで黄～灰色の干渉色を呈する。径5mm以下の岩片や鉱物片が細粒な基質中に含まれる。岩片, 鉱物片は角～亜角形である。基質中には粘土鉱物が生成されている。

# K-16の運動方向調査結果 —H- -1.2孔(薄片観察, 詳細観察) —

- 固結した粘土・砂状破碎部中の岩片の定向配列をP面とすると, 見かけ上盤側下がりの変位が推定される。
- 断層の走向傾斜がN16° W/73° NE, 薄片作成方向が115° Rであることから, 固結した破碎部の運動方向は正断層センスである。
- 粘土状破碎部中の岩片や鉱物片の多くに定向性は認められない。ただし, 粘土状破碎部中の一部において認められる岩片の微弱な定向配列をP面とすると, 見かけ上盤側上がりの変位が推定される。
- 断層の走向傾斜がN16° W/73° NE, 条線レイクが115° Rであることから, 粘土状破碎部の運動方向は左横ずれを伴う逆断層センスである。



せん断センス  
を示す複合面構造  
(狩野・村田(1998)  
に加筆)



せん断センス  
を示す複合面構造  
(狩野・村田(1998)  
に加筆)

凡例  
→ ← P面

詳細観察範囲①写真

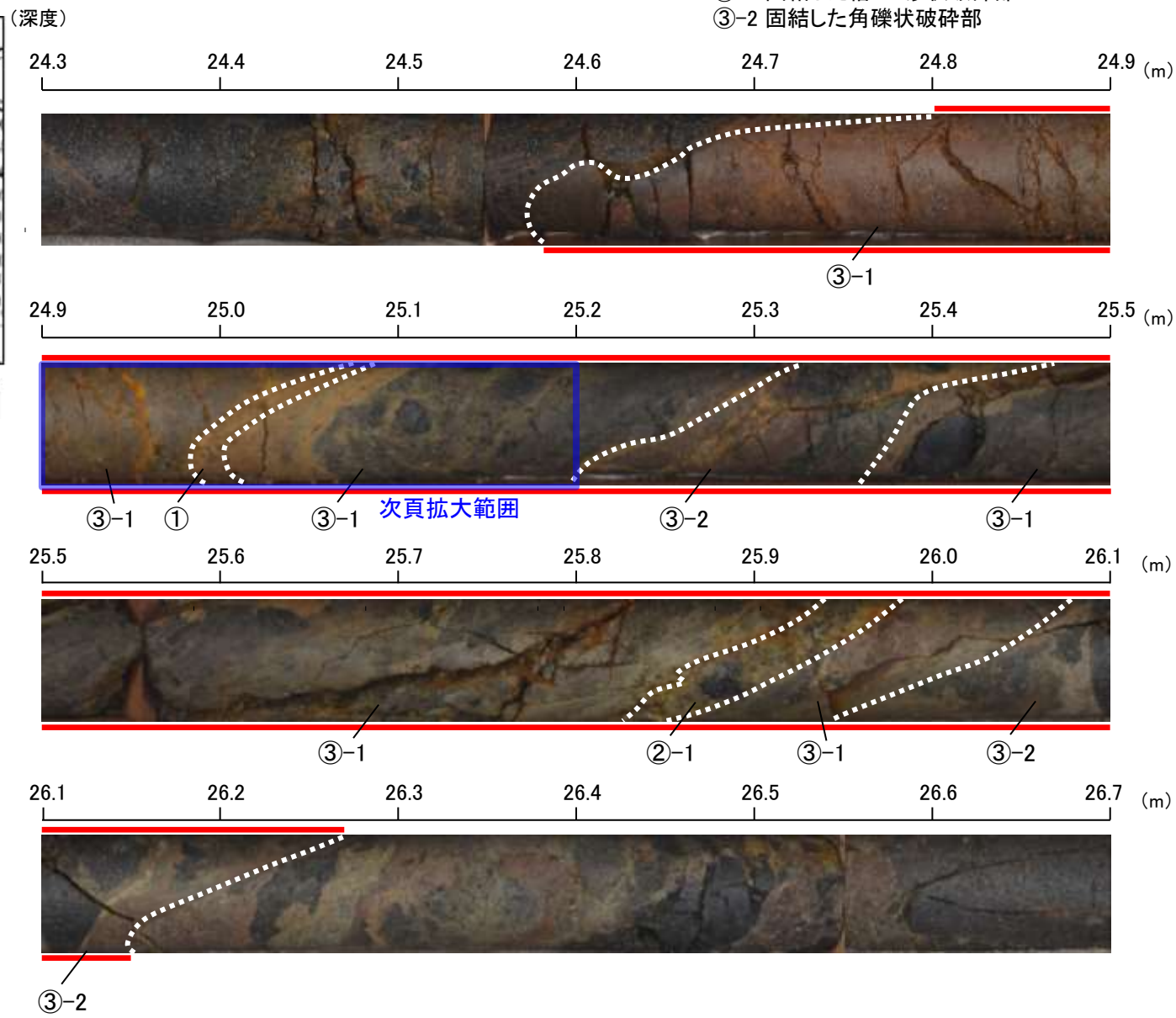
詳細観察範囲②写真



# K-16の運動方向調査結果 —H- -1.9孔—

○H- -1.9孔の深度24.69~26.20mにおいて、K-16に対応する破砕部が認められる。  
○この破砕部を対象に、コア観察及びCT画像観察により抽出した主せん断面において、条線観察、薄片観察を実施し、固結した破砕部の運動方向を確認した。一方、粘土状破砕部の運動方向を特定することはできなかった。

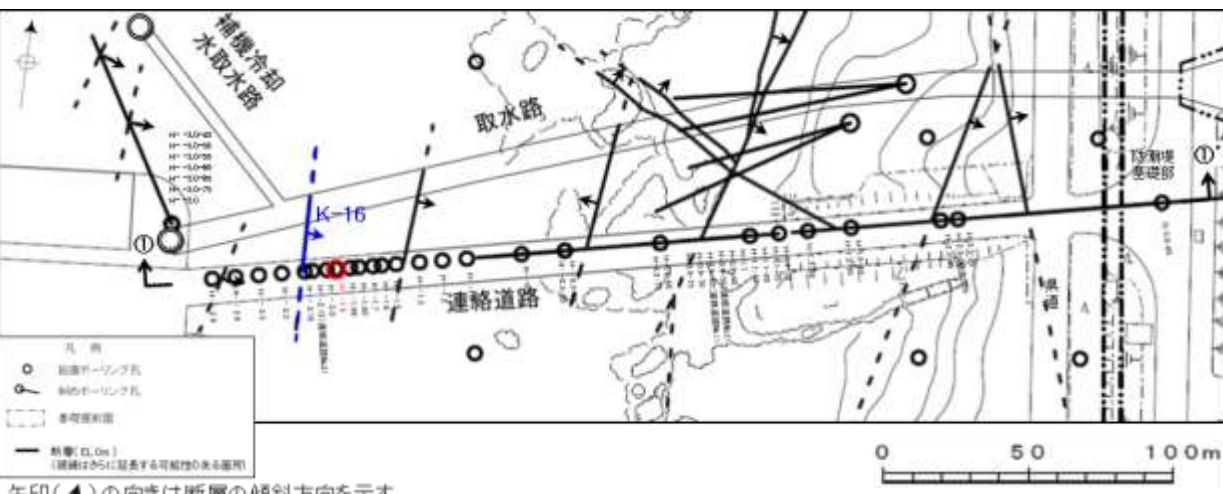
- ① 粘土状破砕部
  - ②-1 砂状破砕部
  - ③-1 固結した粘土・砂状破砕部
  - ③-2 固結した角礫状破砕部
- 破砕部



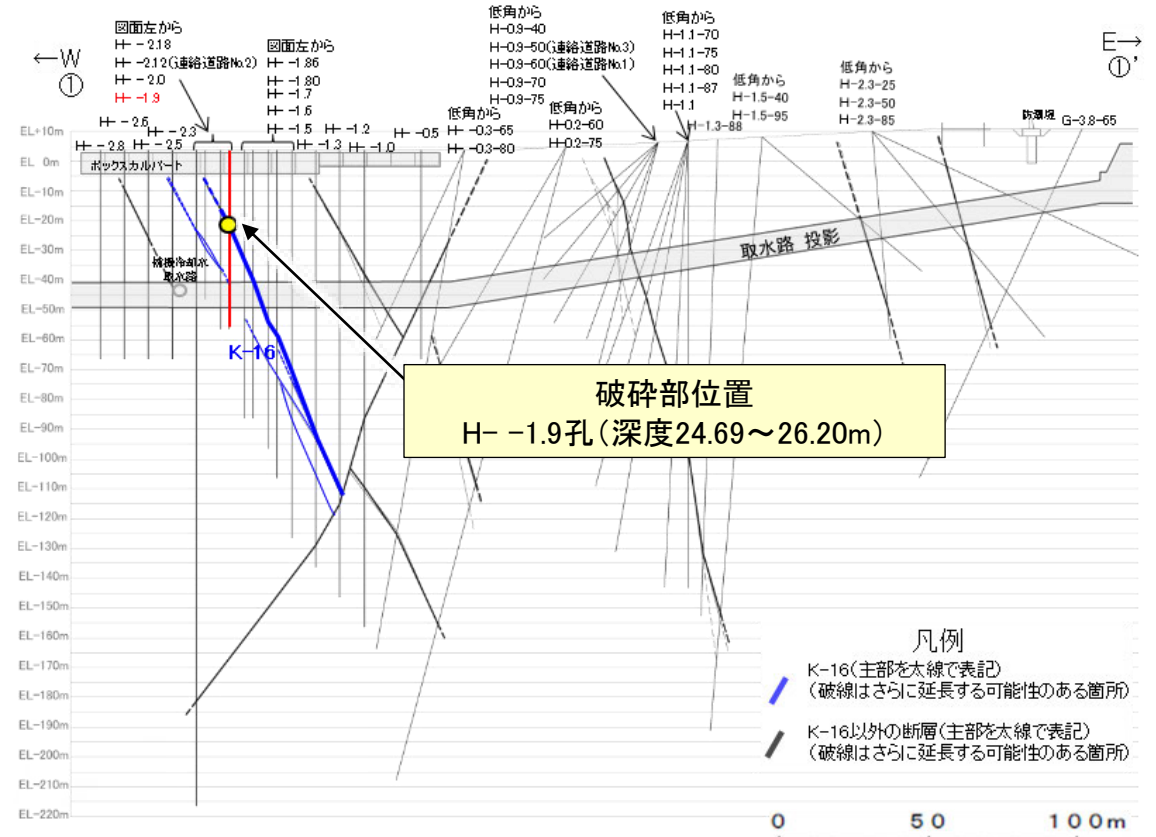
**コア写真(H- -1.9孔, 破砕部区分を加筆)**

**コア観察結果**

深度24.69~26.20m:  
傾斜角50~70°の厚さ51cmの破砕部。厚さ0.4~1.6cmの浅黄色の粘土状破砕部, 厚さ1.5~2.4cmの浅黄色の砂状破砕部及び厚さ48cmの固結した破砕部からなる。



位置図

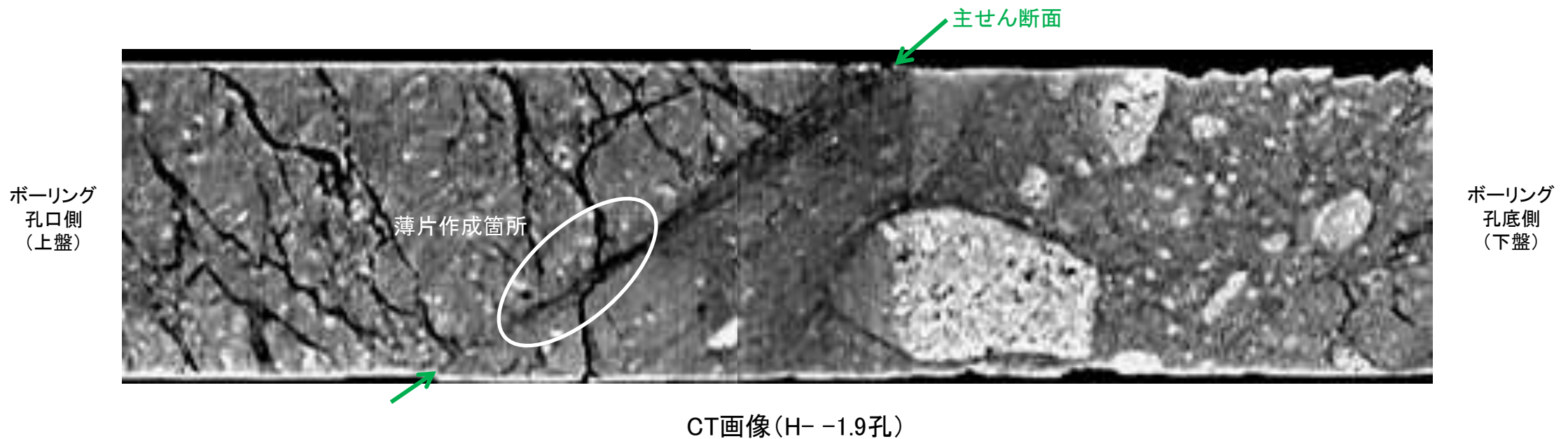


①-①'断面図

# K-16の運動方向調査結果 —H- -1.9孔(コア観察, CT画像観察)—

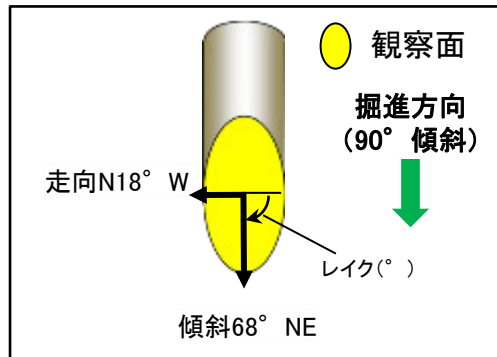
- コア観察, CT画像観察結果より, 固結した角礫状破碎部に挟まれた深度25.05m付近に, 厚さ0.4~1.6cmの粘土状破碎部が認められる。
- 粘土状破碎部を伴う比較的直線性・連続性がよい面を, 主せん断面として抽出した。
- 主せん断面において, 条線観察及び薄片観察を実施した。

(深度) 24.9 25.0 25.1 25.2 (m)

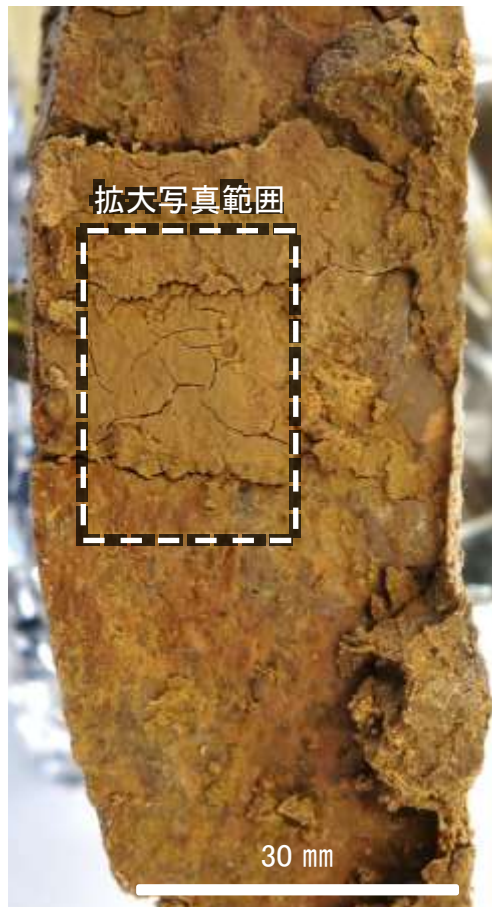


# K-16の運動方向調査結果 —H- -1.9孔(条線観察, 上盤側)—

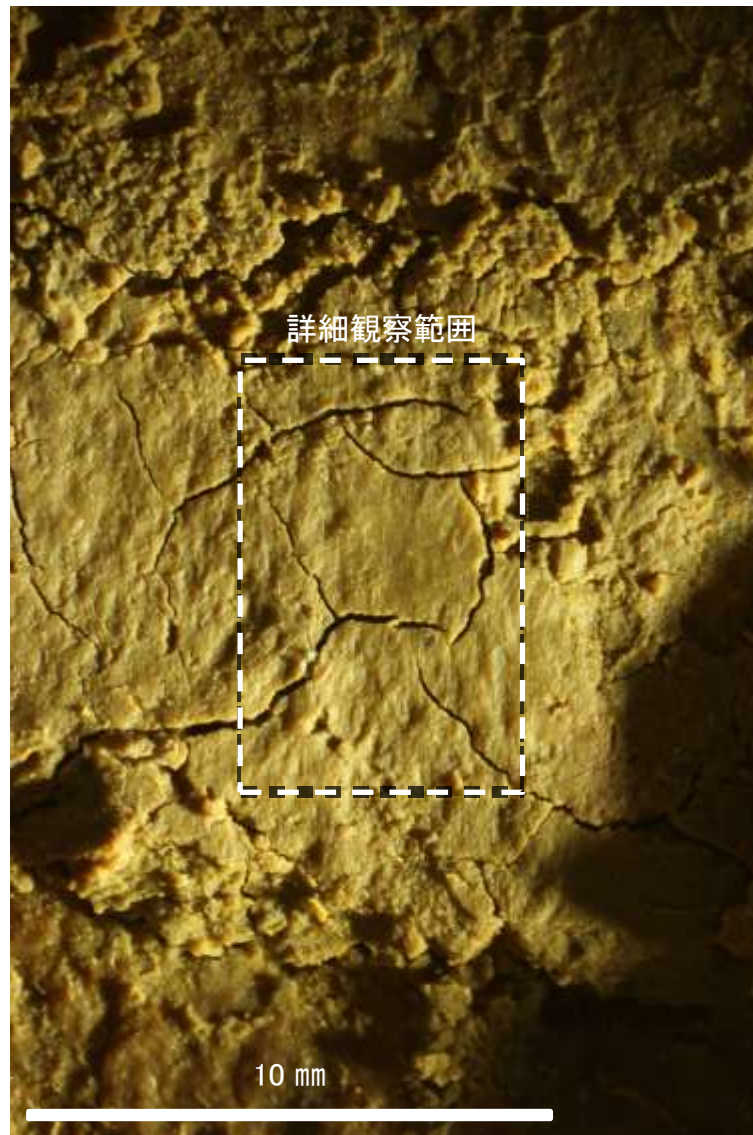
- 主せん断面における条線観察の結果, 上盤側の観察面で $90^\circ$  R,  $115^\circ$  Rの条線が認められ, 下盤側換算すると $90^\circ$  R,  $65^\circ$  Rとなる。
- 観察面において, 礫まわりの粘土の非対称構造などの変位センスを推定できるような構造は認められない。



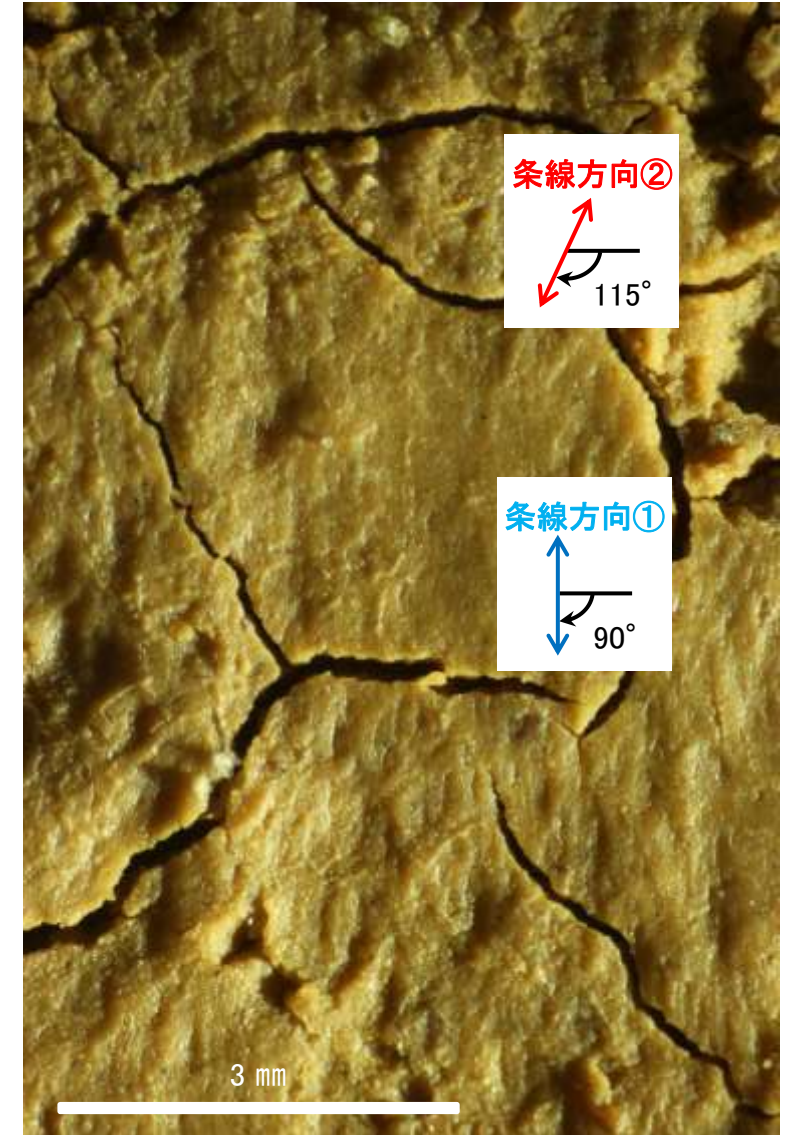
概念図  
※走向は真北で示す。



観察面写真



観察面拡大写真

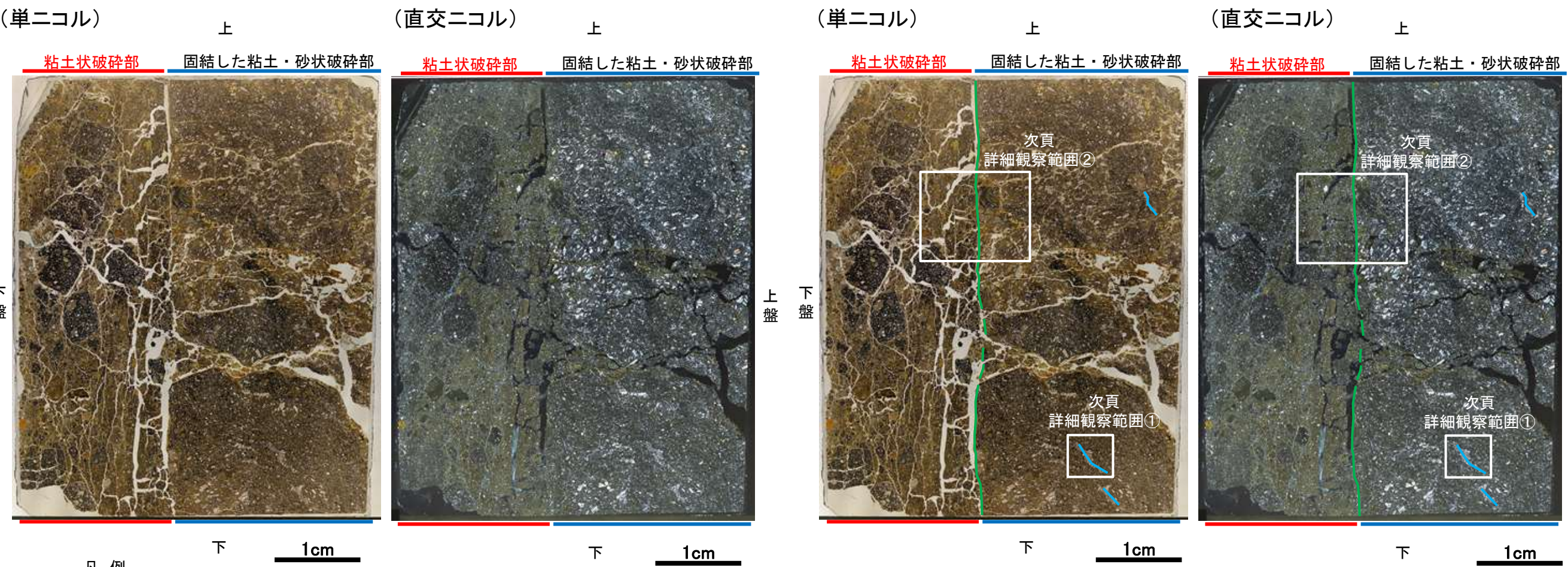


詳細観察写真

# K-16の運動方向調査結果 —H- -1.9孔(薄片観察)—

○主せん断面において90° Rの条線方向で作成した薄片観察の結果、下盤側から粘土状破碎部、固結した粘土・砂状破碎部※に分帯される。  
 ○粘土状破碎部と固結した粘土・砂状破碎部の境界をなすY面が認められる。このY面は、凹凸を伴う箇所が多く、直線性に乏しい。また薄片の中央付近では、Y面は密着して不明瞭となり、連続性に乏しい。  
 ○その他、薄片内にY面に相当する構造は認められない。

※分帯名はコア観察での破碎部区分に対応



凡例

— Y面  
— P面

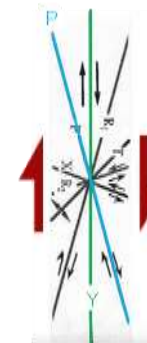
薄片写真(H- -1.9\_90R)  
(右は構造等を加筆)

薄片観察結果

**粘土状破碎部:**  
 単ニコルで褐～褐灰色、直交ニコルで黄～灰色の干渉色を呈する。径5mm以下の岩片や鉱物片が細粒な基質中に含まれており、径20mm程度の岩片も認められる。岩片、鉱物片は垂角～垂円形である。基質中には粘土鉱物が生成されている。

**固結した粘土・砂状破碎部:**  
 単ニコルで褐灰～暗灰色、直交ニコルで灰色の干渉色を呈する。径4mm以下の岩片や鉱物片が細粒な基質中に含まれており、径8～20mmの岩片も含まれる。岩片、鉱物片は垂角～垂円形である。Y面を含む割れ目には粘土鉱物が生成されている。

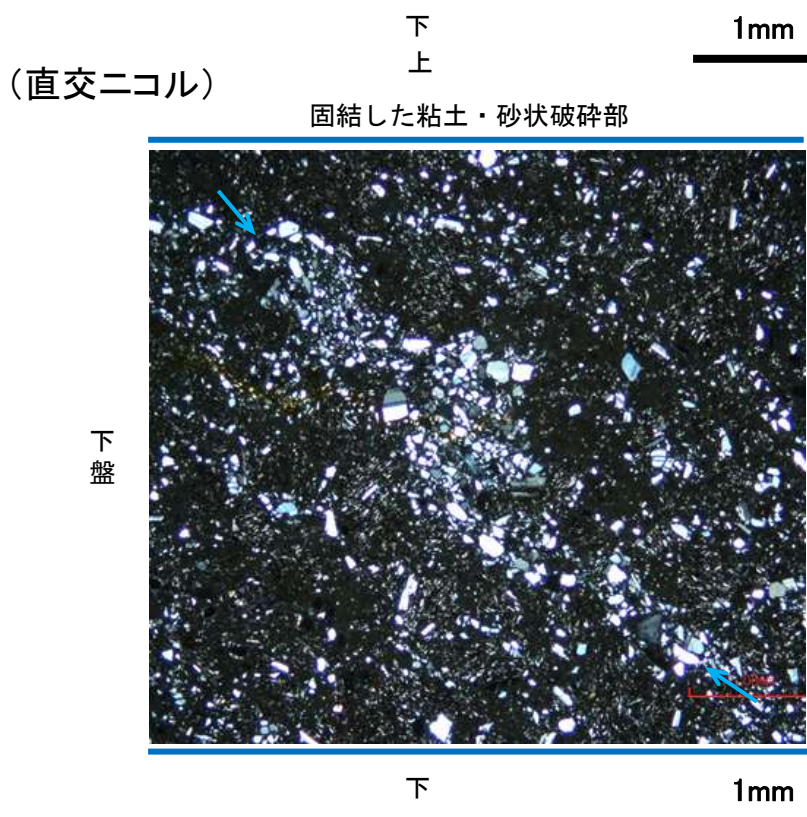
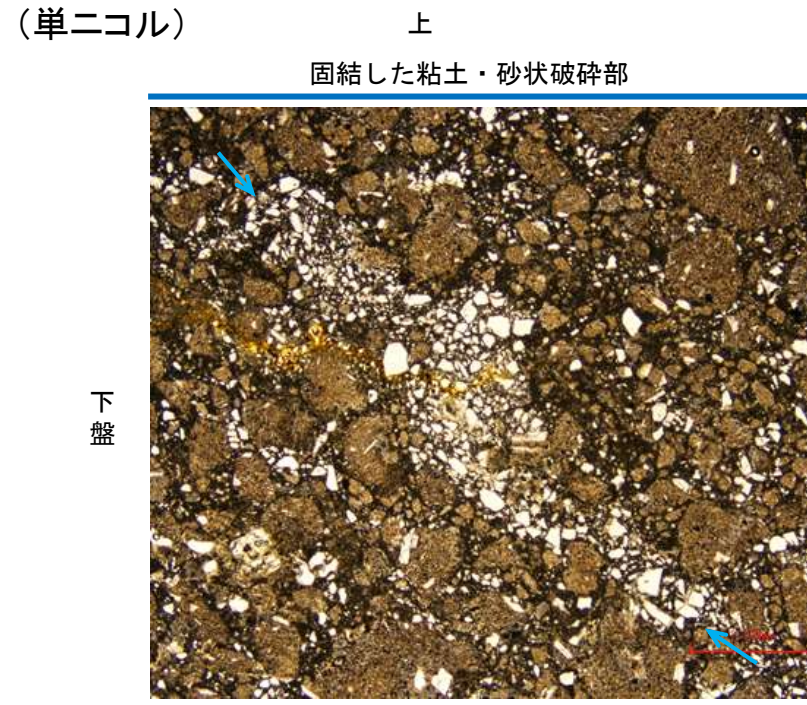
見かけ上盤側下がり



せん断センスを示す複合面構造  
(狩野・村田(1998)に加筆)

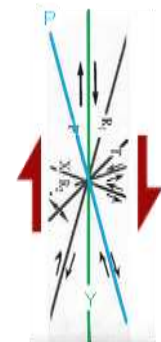
# K-16の運動方向調査結果 —H- -1.9孔(薄片観察, 詳細観察) —

- 固結した粘土・砂状破碎部中の岩片の定向配列をP面とすると, 見かけ上盤側下がりの変位が推定される。
- 断層の走向傾斜がN18° W/68° NE, 薄片作成方向が90° Rであることから, 固結した破碎部の運動方向は正断層センスである。
- 粘土状破碎部中には複合面構造は認められず, 変位センスは特定できない。



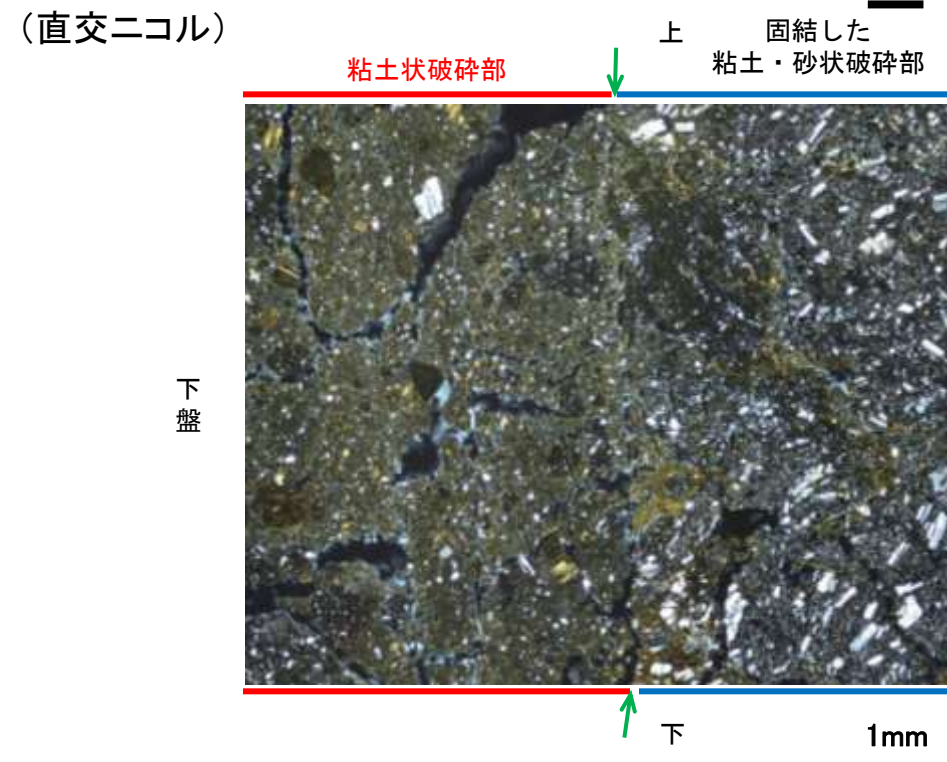
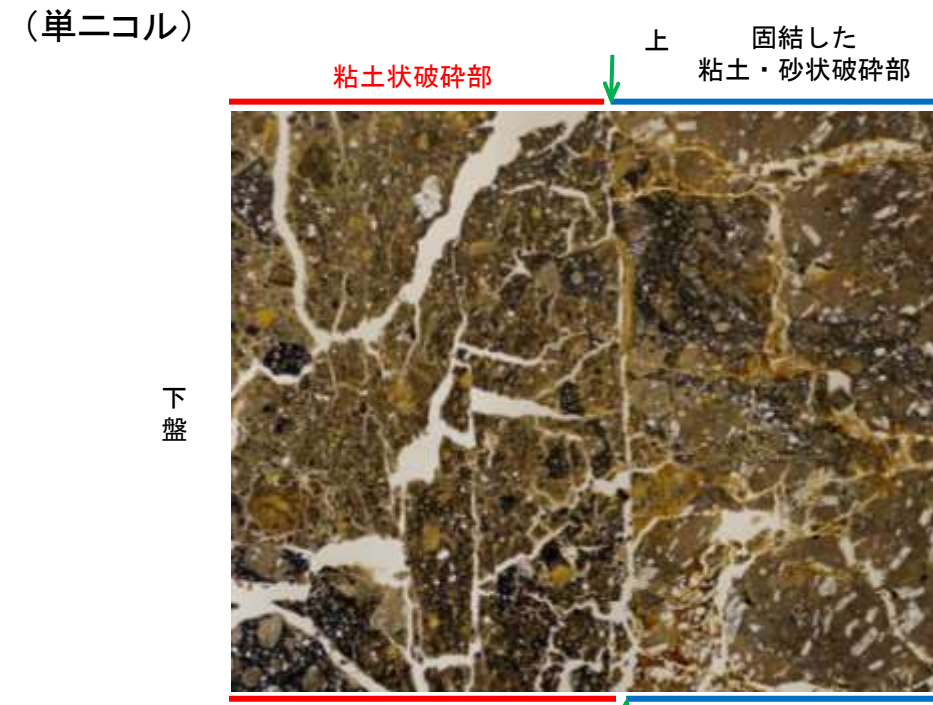
詳細観察範囲①写真

見かけ上盤側下がり



せん断センス  
を示す複合面構造  
(狩野・村田(1998)  
に加筆)

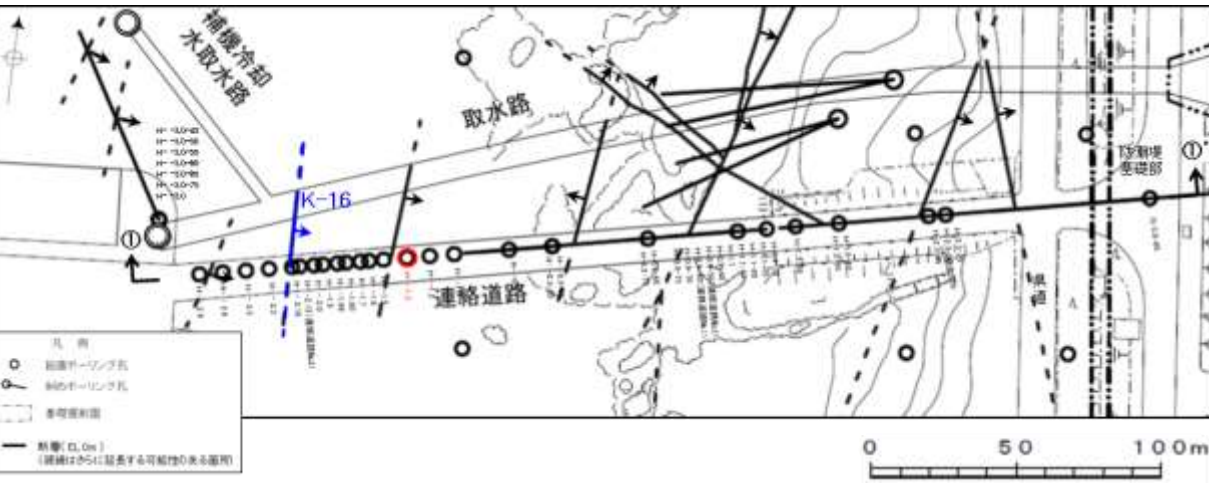
- 凡例
- ← Y面
  - ← P面



詳細観察範囲②写真

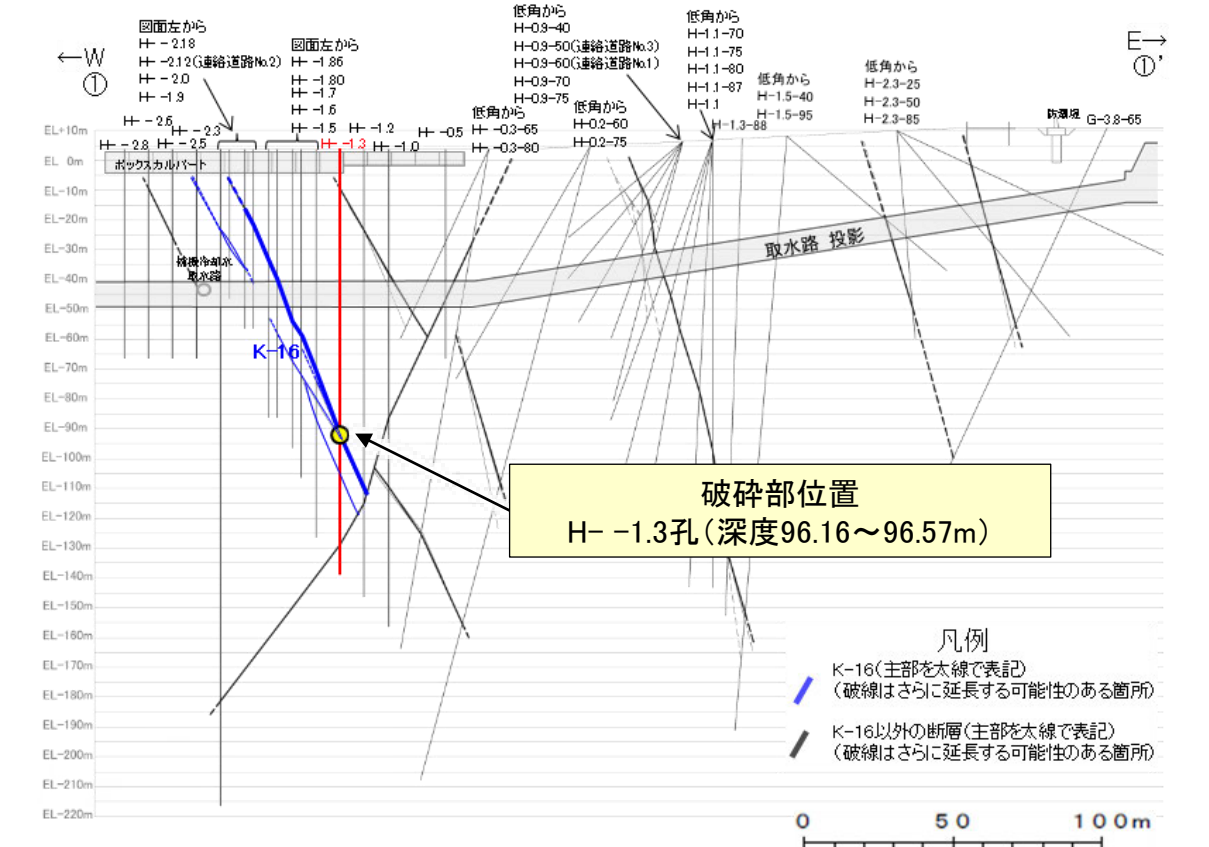
# K-16の運動方向調査結果 -H- -1.3孔-

○H- -1.3孔の深度96.16~96.57mにおいて、K-16に対応する破砕部が認められる。  
○この破砕部を対象に、コア観察及びCT画像観察により抽出した主せん断面において条線観察、薄片観察を実施し、粘土状破砕部の運動方向を確認した。

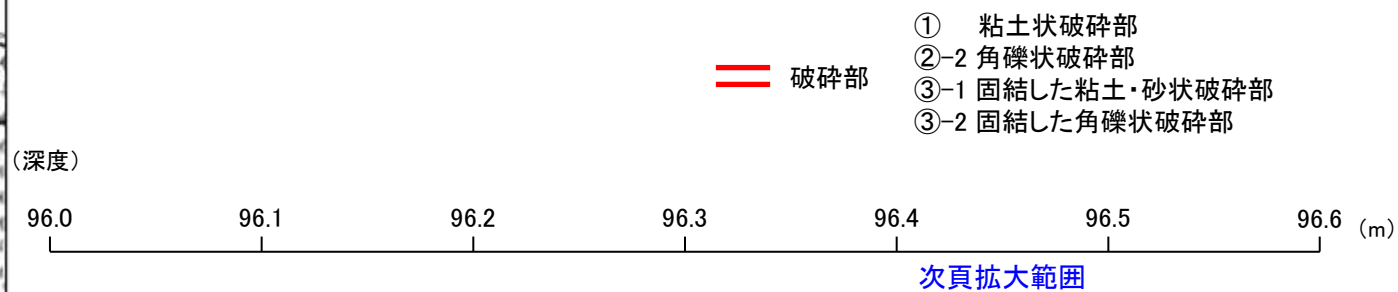


矢印(↑)の向きは断層の傾斜方向を示す

位置図



①-①'断面図



96.6 96.7 96.8 (m)



コア写真(H- -1.3孔, 破砕部区分を加筆)

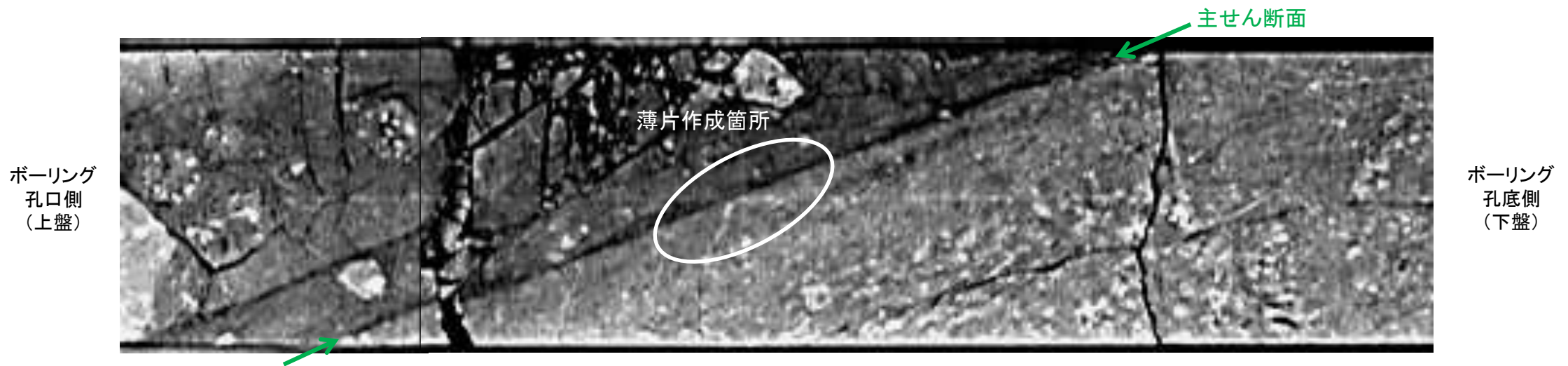
コア観察結果

深度96.16~96.57m:  
傾斜角60~75°の厚さ14cmの破砕部。厚さ0.3~3.1cmのオリーブ~オリーブ黄色の角礫状破砕部、厚さ2.1~2.3cmのにぶい黄色の粘土状破砕部及び厚さ8.8~12cmの固結した破砕部からなる。

# K-16の運動方向調査結果 —H- -1.3孔(コア観察, CT画像観察)—

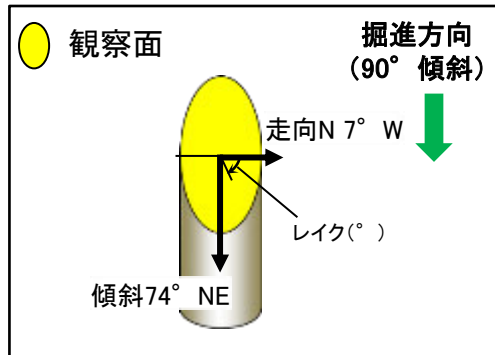
- コア観察, CT画像観察結果より, 角礫状破碎部と固結した粘土・砂状破碎部の境界である深度96.35m付近に, 厚さ2.1~2.3cmの粘土状破碎部が認められる。
- 粘土状破碎部を伴う比較的直線性・連続性がよい面を, 主せん断面として抽出した。
- 主せん断面において, 条線観察及び薄片観察を実施した。

(深度) 96.2 96.3 96.4 96.5 (m)



# K-16の運動方向調査結果 —H- -1.3孔(条線観察, 下盤側) —

- 主せん断面における条線観察の結果, 下盤側の観察面で $80^\circ$  R,  $65^\circ$  Rの条線が認められる。
- 観察面において, 礫まわりの粘土の非対称構造などの変位センスを推定できるような構造は認められない。



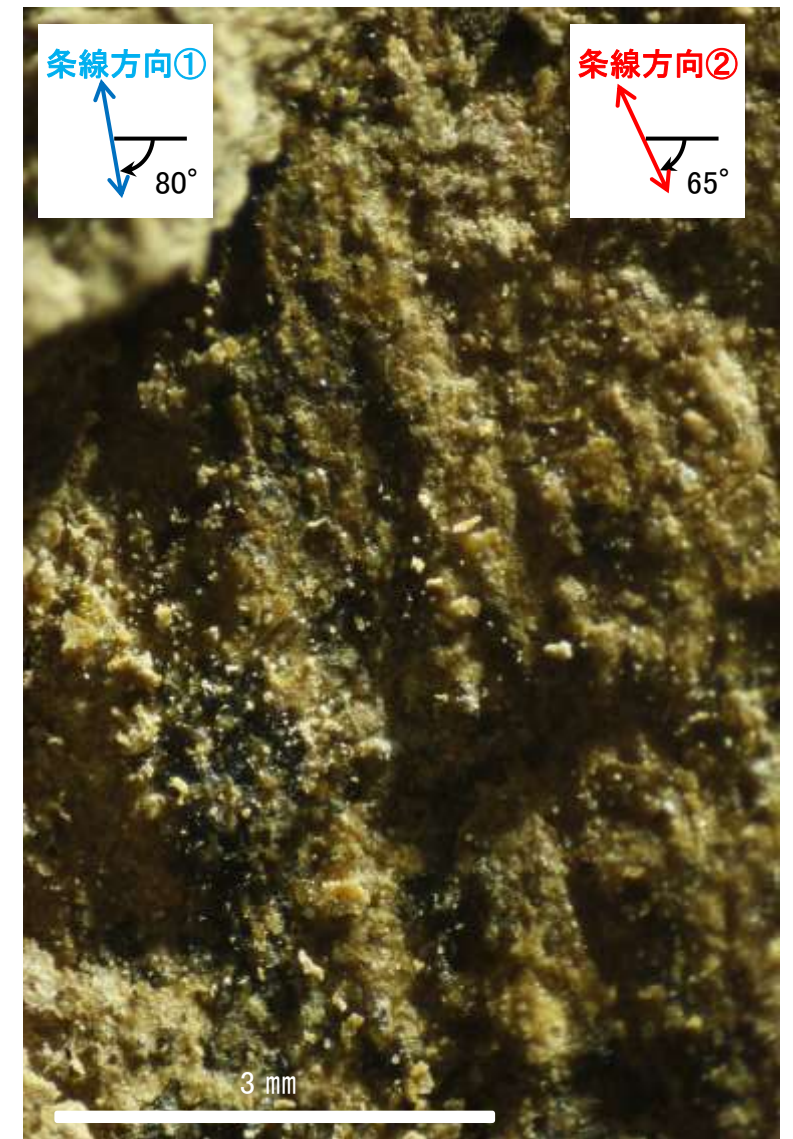
概念図  
※走向は真北で示す。



観察面写真



観察面拡大写真



詳細観察写真

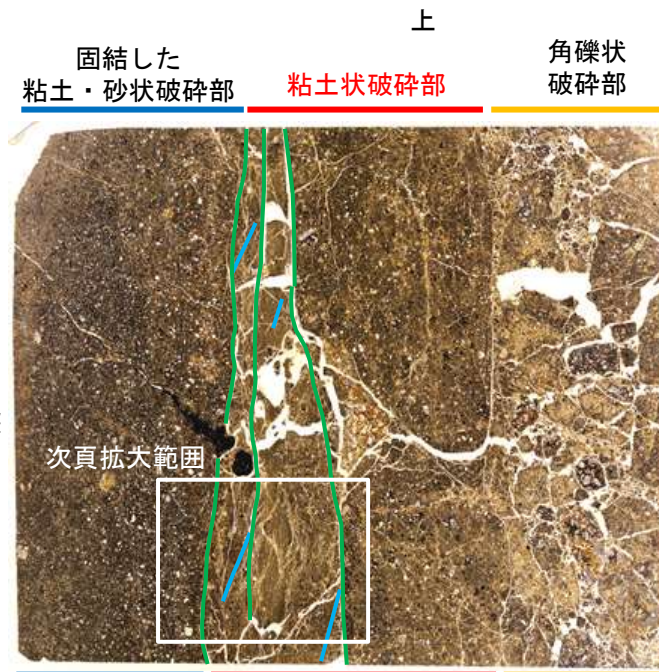
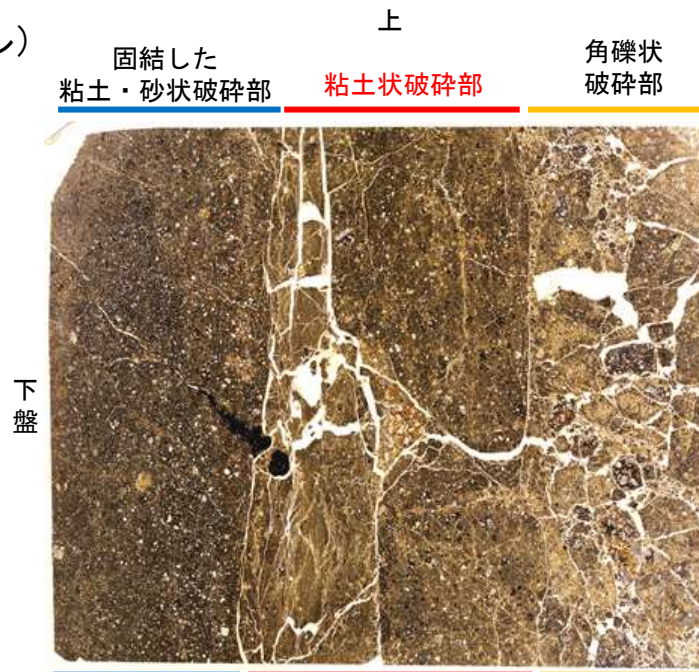


# K-16の運動方向調査結果 —H— -1.3孔(薄片観察)—

- 主せん断面において80° Rの条線方向で作成した薄片観察の結果、下盤側から固結した粘土・砂状破碎部、粘土状破碎部、角礫状破碎部※に分帯される。
- 固結した粘土・砂状破碎部と粘土状破碎部の境界及びその周辺に、Y面1, Y面2, Y面3が認められる。これらのY面1, Y面2, Y面3は、凹凸を伴う箇所が多く、全体的に不明瞭で、直線性に乏しい。
- その他、薄片内にY面に相当する構造は認められない。

※分帯名はコア観察での破碎部区分に対応

(単ニコル)



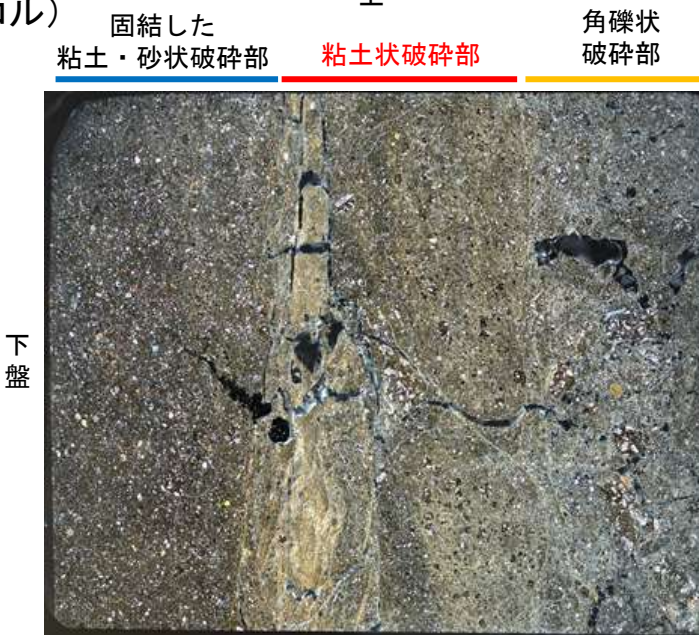
薄片観察結果

**固結した粘土・砂状破碎部:**  
単ニコルで暗褐灰～暗灰色、直交ニコルで灰色の干渉色を呈する。径3mm以下の岩片や鉱物片が細粒な基質中に含まれる。岩片、鉱物片は垂角～垂円形である。割れ目には粘土鉱物や不透明鉱物が生成されている。

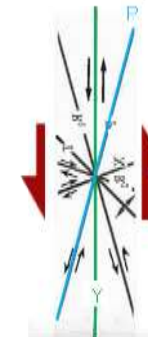
**粘土状破碎部:**  
単ニコルで褐～褐灰色、直交ニコルで黄～灰色の干渉色を呈する。径4mm以下の岩片や鉱物片が細粒な基質中に認められる。岩片、鉱物片は角～垂角形である。Y面1及びY面3の間の幅2～10mm程度は、比較的細粒化が顕著である。基質中や岩片の縁辺部、割れ目には粘土鉱物が生成されている。

**角礫状破碎部:**  
単ニコルで褐灰～暗灰色、直交ニコルで褐灰～灰色の干渉色を呈する。径5mm以下の岩片や鉱物片が細粒な基質中に含まれる。岩片、鉱物片は角～垂円形である。基質中や岩片の縁辺部、割れ目には粘土鉱物が生成されている。

(直交ニコル)



見かけ上盤側上がり



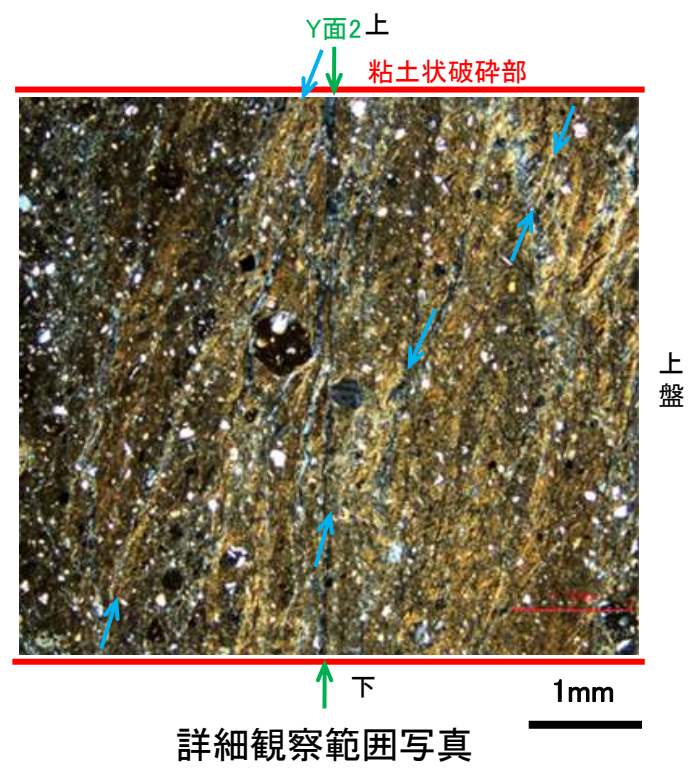
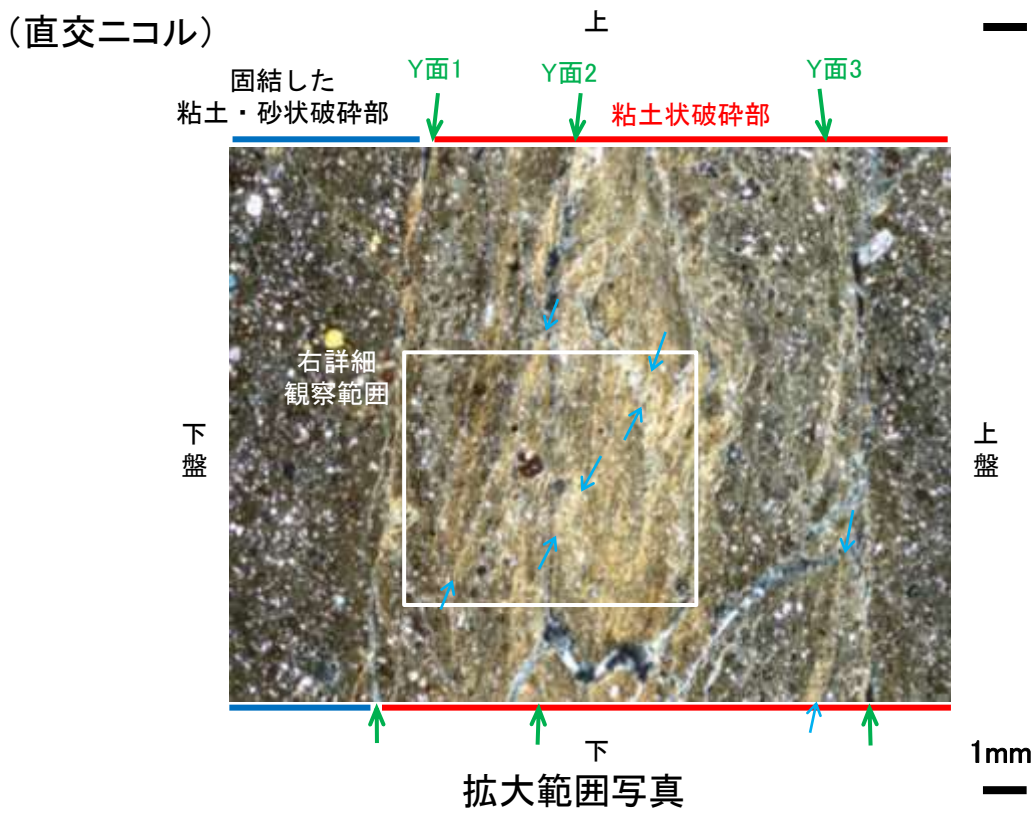
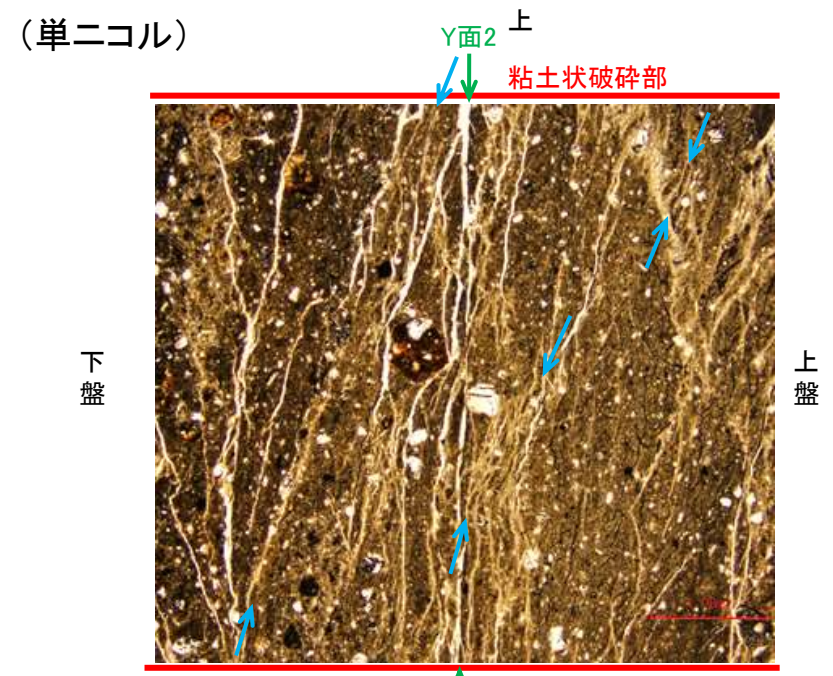
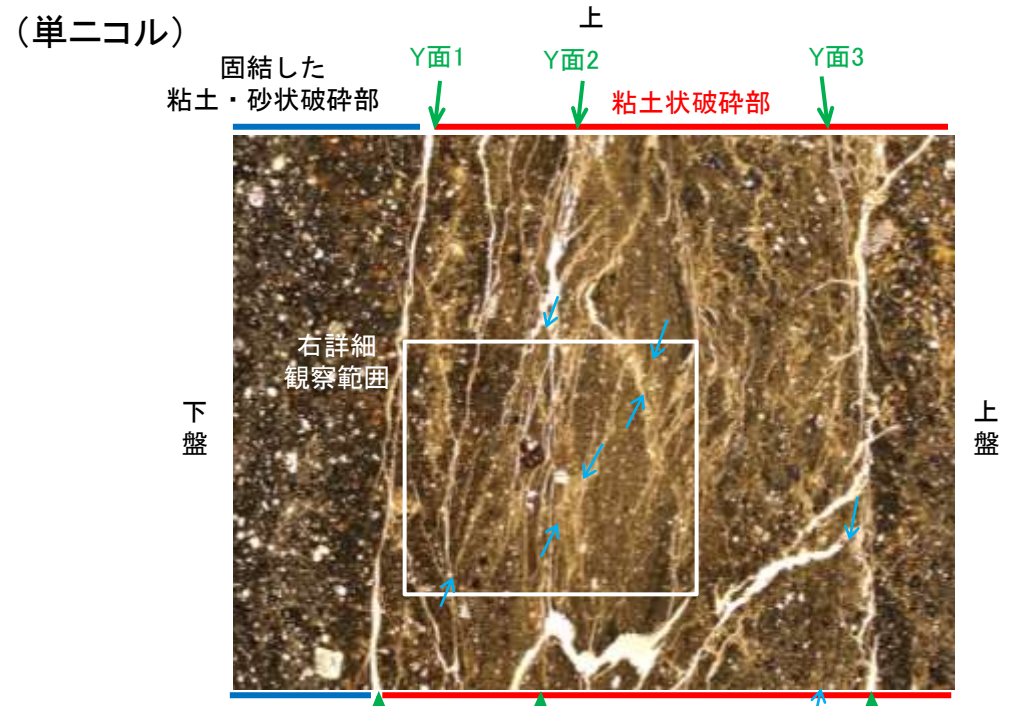
せん断センス  
を示す複合面構造  
(狩野・村田(1998)  
に加筆)

凡例  
— Y面  
— P面

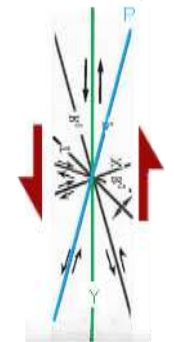
薄片写真(H— -1.3\_80R)  
(右は構造等を加筆)

# K-16の運動方向調査結果 —H- -1.3孔(薄片観察, 詳細観察) —

- 固結した粘土・砂状破碎部中には複合面構造は認められず, 変位センスは特定できない。
- 角礫状破碎部中には複合面構造は認められず, 変位センスは特定できない。
- 粘土状破碎部中の粘土鉱物の微弱な定向配列をP面とすると, 見かけ上盤側上がりの変位が推定される。
- 断層の走向傾斜がN7° W/74° NE, 条線レイクが80° Rであることから, 粘土状破碎部の運動方向は右横ずれを伴う逆断層センスである。



見かけ上盤側上がり

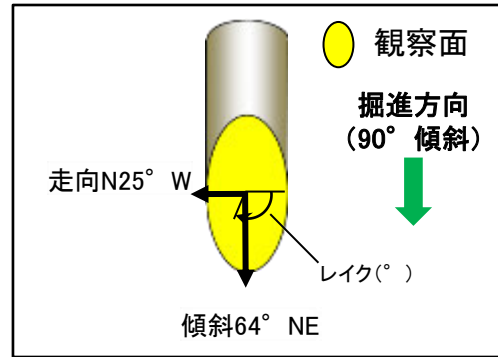


せん断センスを示す複合面構造 (狩野・村田(1998)に加筆)

- 凡例
- ← Y面
  - ← P面

# K-16の運動方向調査結果 —H- -1.5孔(条線観察, 上盤側) —

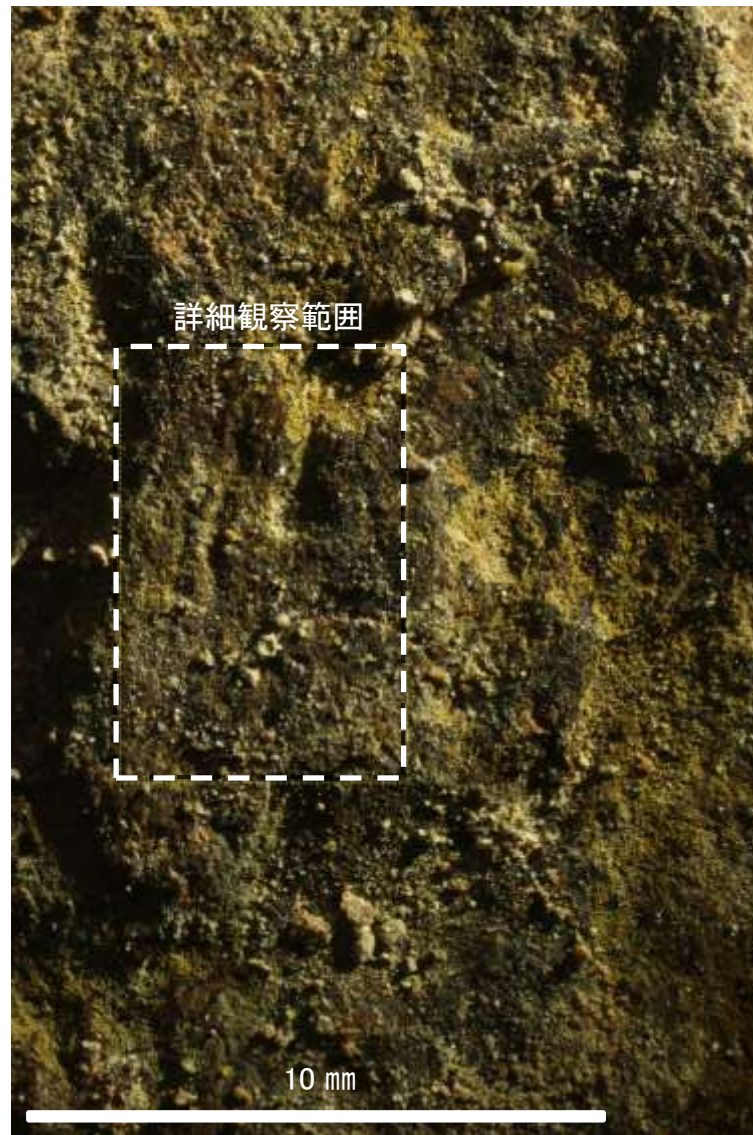
- 主せん断面における条線観察の結果, 上盤側の観察面で $110^\circ$  Rの条線が認められ, 下盤側換算すると $70^\circ$  Rとなる。
- 観察面において, 礫まわりの粘土の非対称構造などの変位センスを推定できるような構造は認められない。



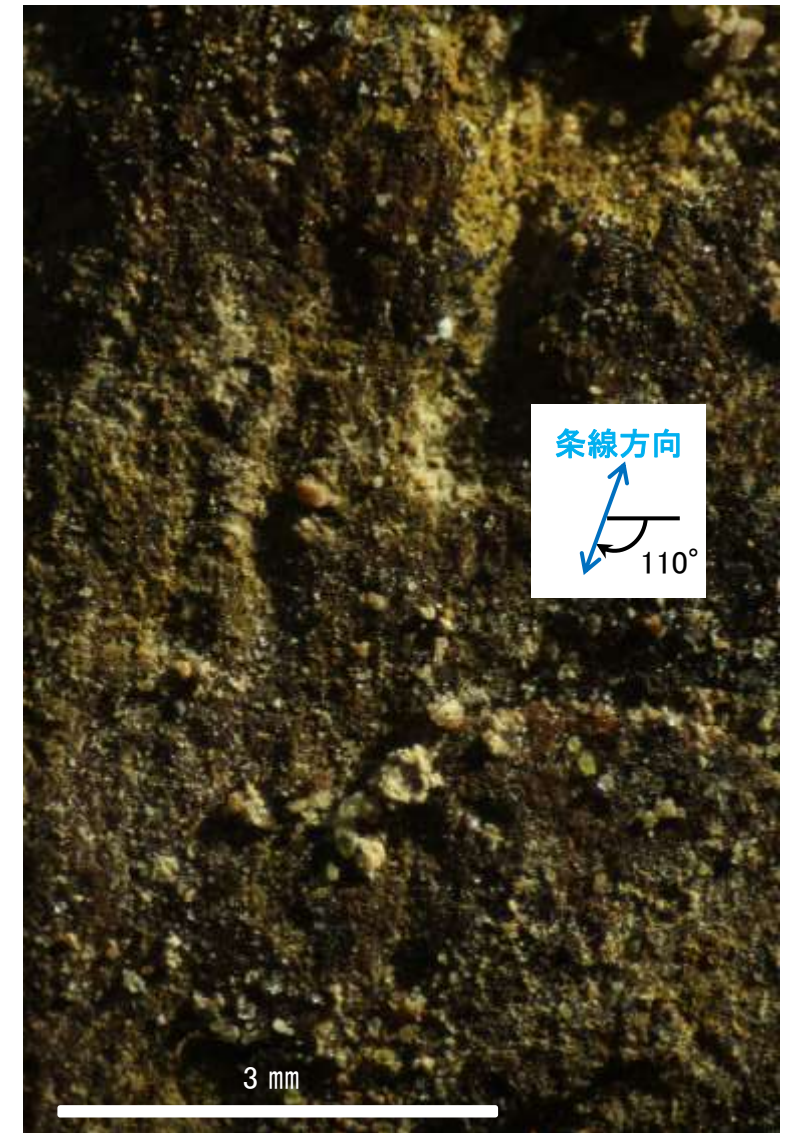
概念図  
※走向は真北で示す。



観察面写真



観察面拡大写真



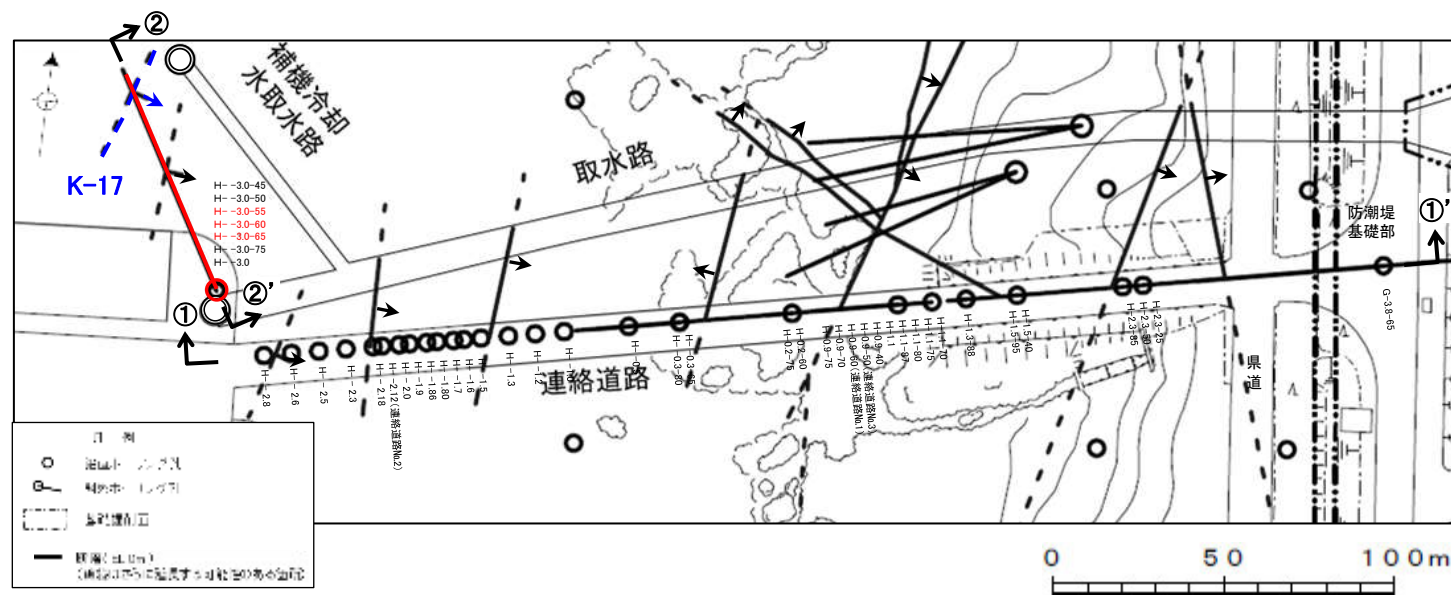
詳細観察写真

---

(22) K-17の運動方向調査結果

# K-17の運動方向調査結果 一概要一

○コア観察, CT画像観察, 条線観察, 薄片観察結果から, 固結した破碎部では正断層の変位センスが認められ, 粘土状破碎部では右横ずれを伴う逆断層の変位センスが認められる。観察結果を次頁以降に示す。



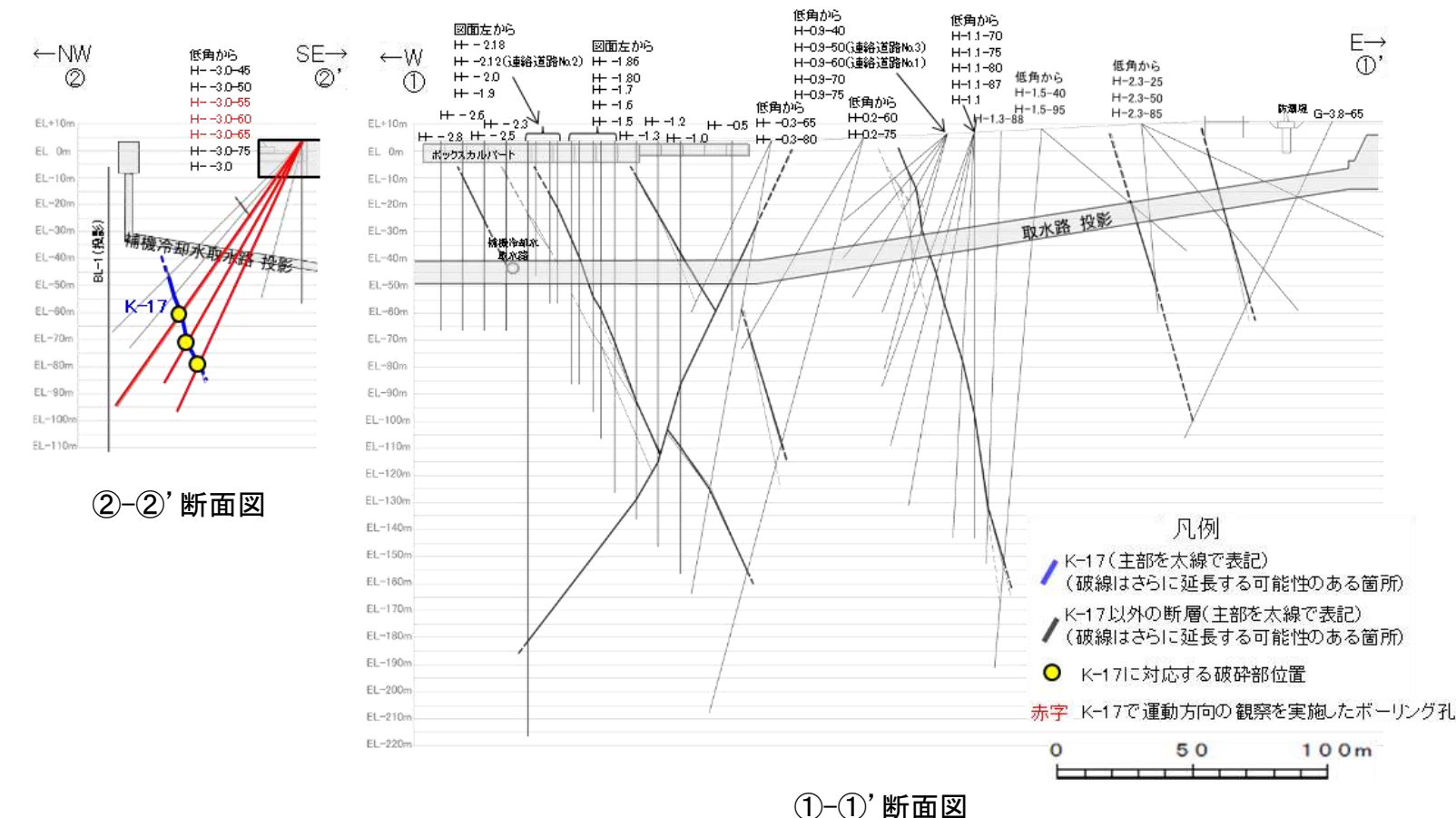
観察結果 一覧表

試料名	走向/傾斜 (走向は真北)	固結した破碎部	粘土状破碎部		
		変位センス (コア観察, 薄片観察)	条線の レイク*1	変位センス (条線観察)	変位センス (薄片観察)
H-3.0-60孔 [深度86.07m]	N21° E/81° SE	正断層	88° R	右横ずれ 逆断層	右横ずれ 逆断層
			78° R	右横ずれ 逆断層	
H-3.0-55孔 [深度78.23m]	N25° E/85° SE		127° R	(不明)	
H-3.0-65孔 [深度91.04m]	N2° E/77° SE		87° R	(不明)	
			122° R	(不明)	

\*1: 上盤側で確認したレイクは下盤側に換算して示す。

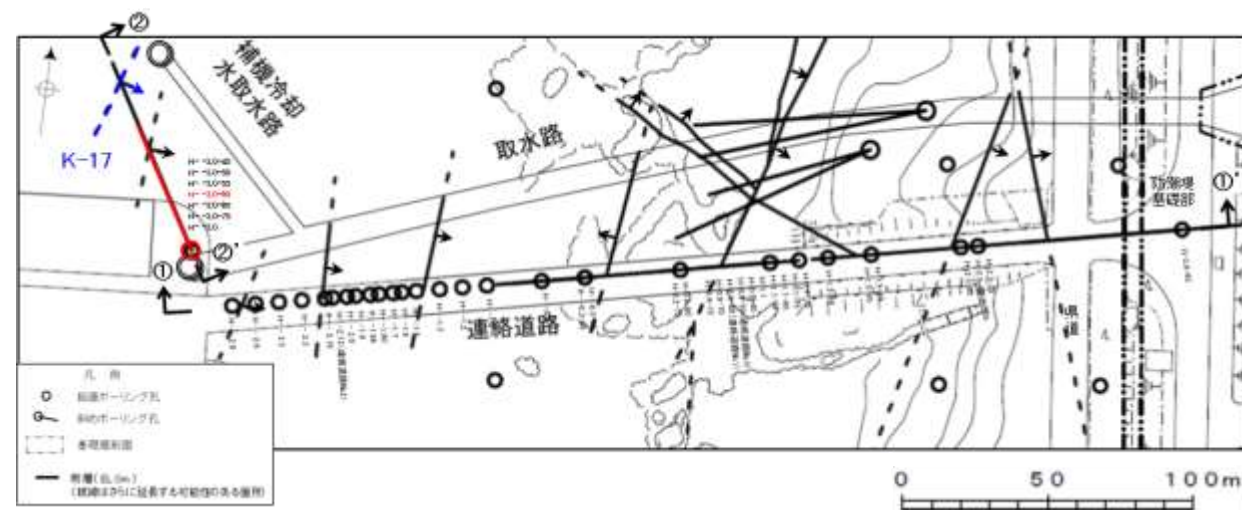
赤字 K-17で運動方向の観察を実施したボーリング孔  
矢印(➡)の向きは断層の傾斜方向を示す

位置図



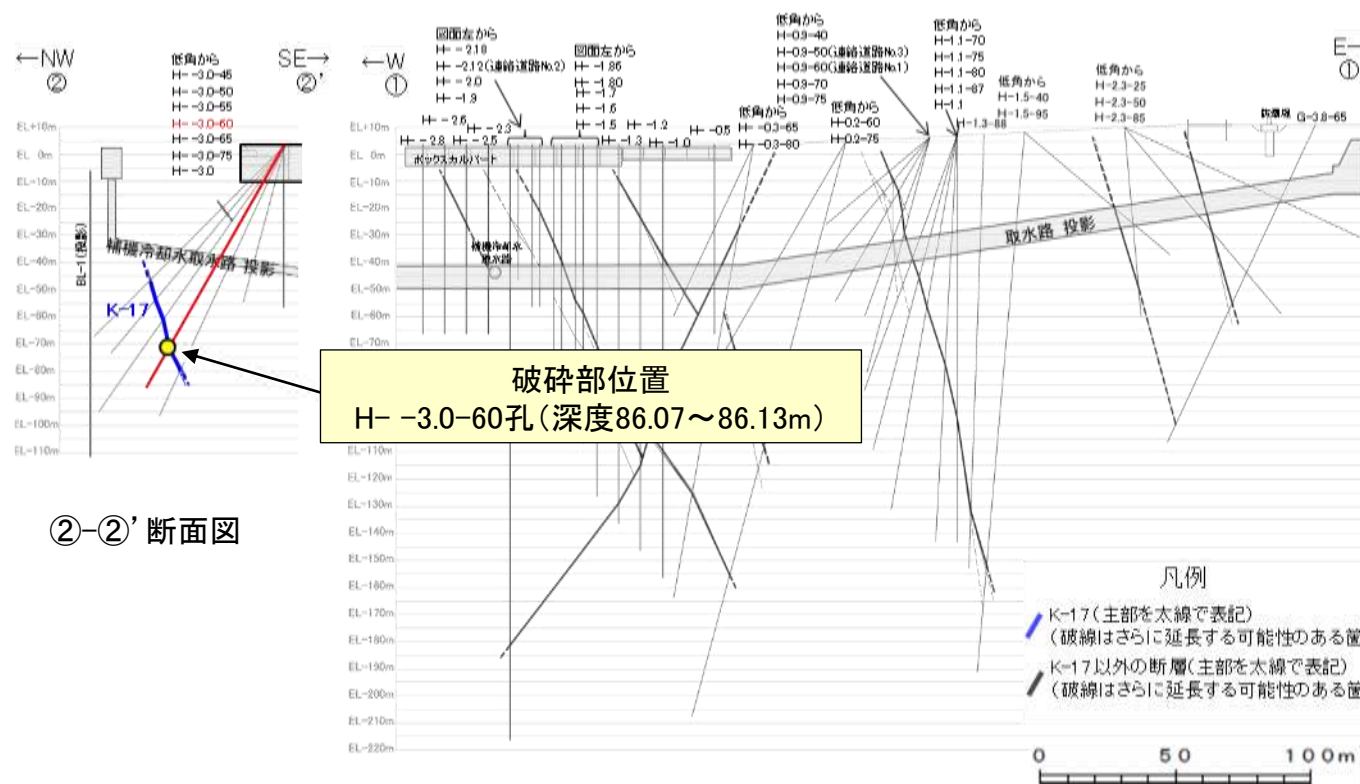
# K-17の運動方向調査結果 —H- -3.0-60孔—

- H- -3.0-60孔の深度86.07~86.13mにおいて、K-17に対応する破砕部が認められる。
- この破砕部を対象として、コア観察により固結した破砕部の運動方向を確認した。
- 次に、コア観察及びCT画像観察により抽出した主せん断面において、条線観察、薄片観察を実施し、粘土状破砕部の運動方向を確認した。



矢印(➡)の向きは断層の傾斜方向を示す

位置図



②-②' 断面図

①-①' 断面図

- 破砕部
- ① 粘土状破砕部
- ③-1 固結した粘土・砂状破砕部

(深度) 85.5 85.6 85.7 85.8 85.9 86.0 (m)



86.0 86.1 86.2 86.3 86.4 86.5 (m)



次頁拡大範囲

① ③-1

コア写真(H- -3.0-60孔, 破砕部区分を加筆)

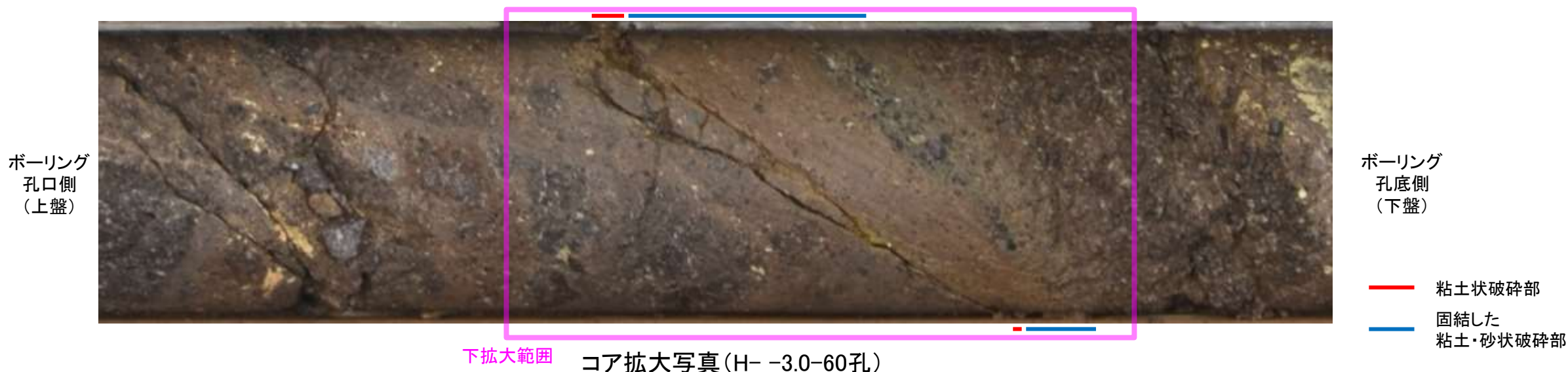
### コア観察結果

深度86.07~86.13m:  
見掛けの傾斜角40~55°の厚さ2.7~4.1cmの破砕部。厚さ2.5~4.0cmの固結した破砕部及び厚さ0.1~0.2cmの灰黄褐色の粘土状破砕部からなる。

# K-17の運動方向調査結果 —H- -3.0-60孔(コア観察)—

○深度86.05m付近に固結した破碎部のせん断面が認められ、その上盤側に岩片や鉱物片の配列が認められる。  
 ○固結した破碎部のせん断面をY面とした時に、岩片や鉱物片の配列からP面を読み取ることができ、見かけ上盤側下がりの変位が推定される。  
 ○断層の走向傾斜がN21° E/81° SEであること、ボーリングの掘進方位及び掘進傾斜から考えると、固結した破碎部の運動方向は正断層センスである。

(深度) 85.9 86.0 86.1 86.2 (m)



固結した破碎部のせん断面(=主せん断面)

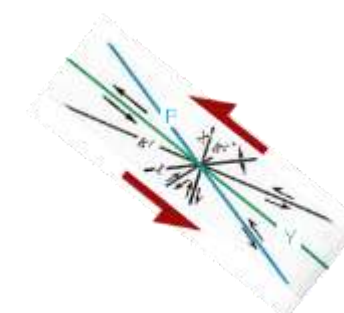
孔壁上側



拡大範囲写真(右は構造等を加筆)

見かけ上盤側下がり

ボーリング  
孔底側  
(下盤)

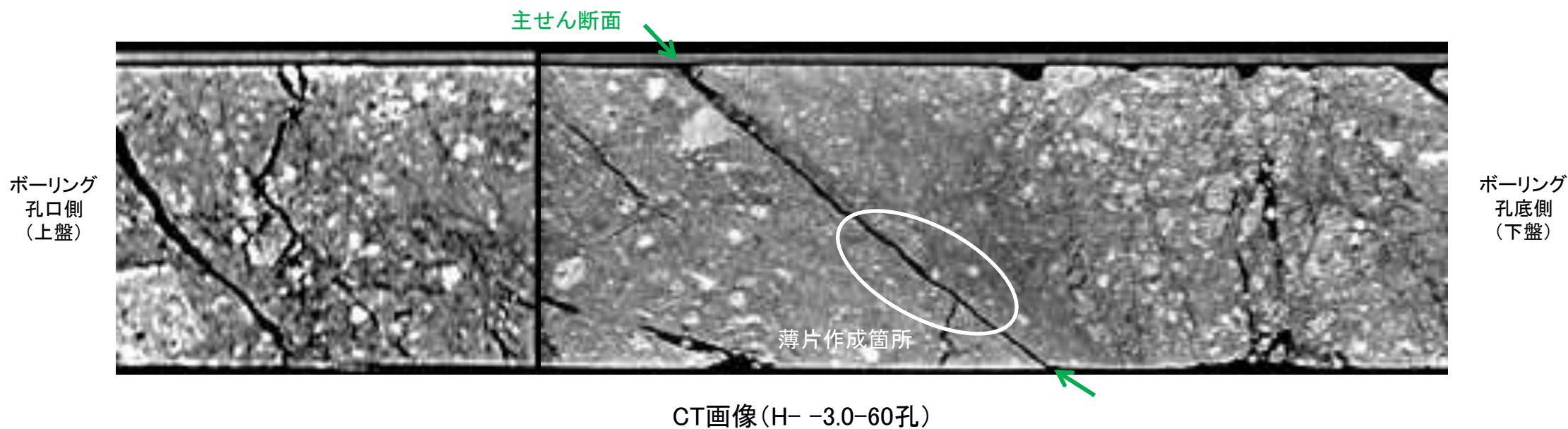


せん断センスを示す複合面構造  
(狩野・村田(1998)に加筆)

# K-17の運動方向調査結果 —H- -3.0-60孔(コア観察, CT画像観察)—

- コア観察, CT画像観察結果より, 凝灰角礫岩と固結した粘土・砂状破碎部の境界である深度86.05m付近に, 厚さ0.1~0.2cmの粘土状破碎部が認められる。
- 粘土状破碎部を伴う比較的直線性・連続性がよい面を, 主せん断面として抽出した。
- 主せん断面において, 条線観察及び薄片観察を実施した。

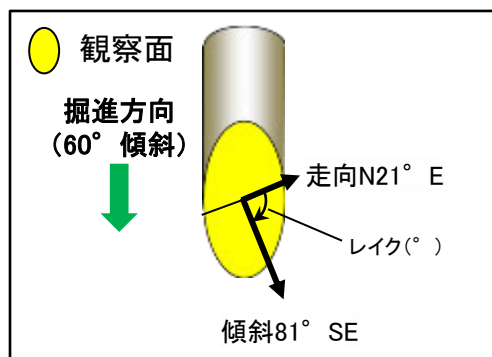
(深度) 85.9 86.0 86.1 86.2 (m)





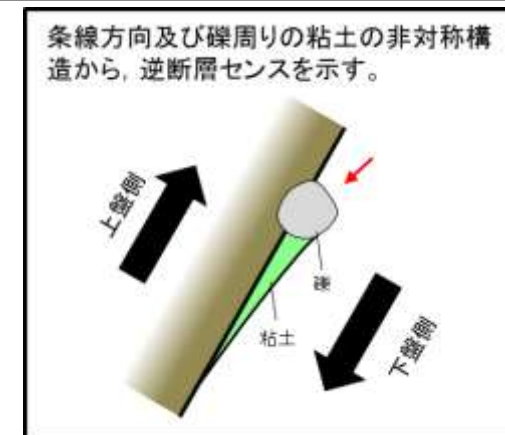
# K-17の運動方向調査結果 —H- -3.0-60孔(条線観察, 上盤側)—

○主せん断面における条線観察の結果, 上盤側の観察面で $92^\circ$  R,  $102^\circ$  Rの条線が認められ, 下盤側換算すると $88^\circ$  R,  $78^\circ$  Rとなる。  
○ $88^\circ$  R(下盤側換算),  $78^\circ$  R(下盤側換算)の条線方向及び礫周りの粘土の非対称構造から, 右横ずれを伴う逆断層センスが推定される。



概念図

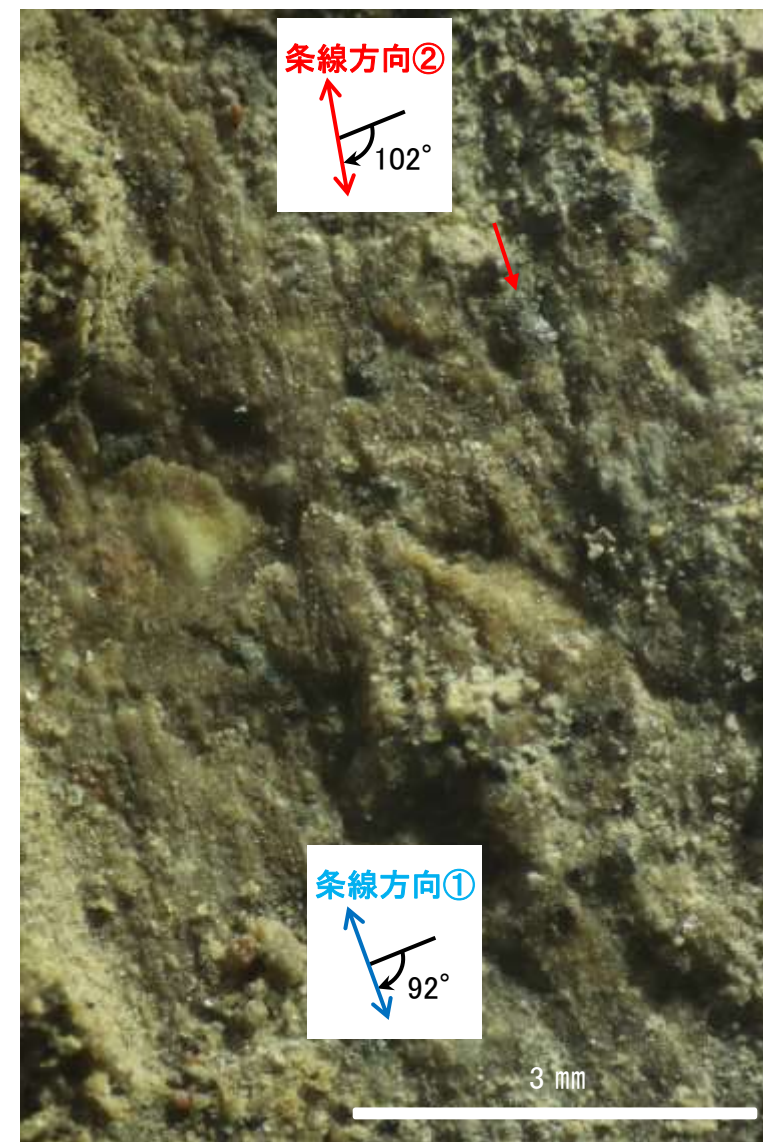
※走向は真北で示す。



観察面写真



観察面拡大写真

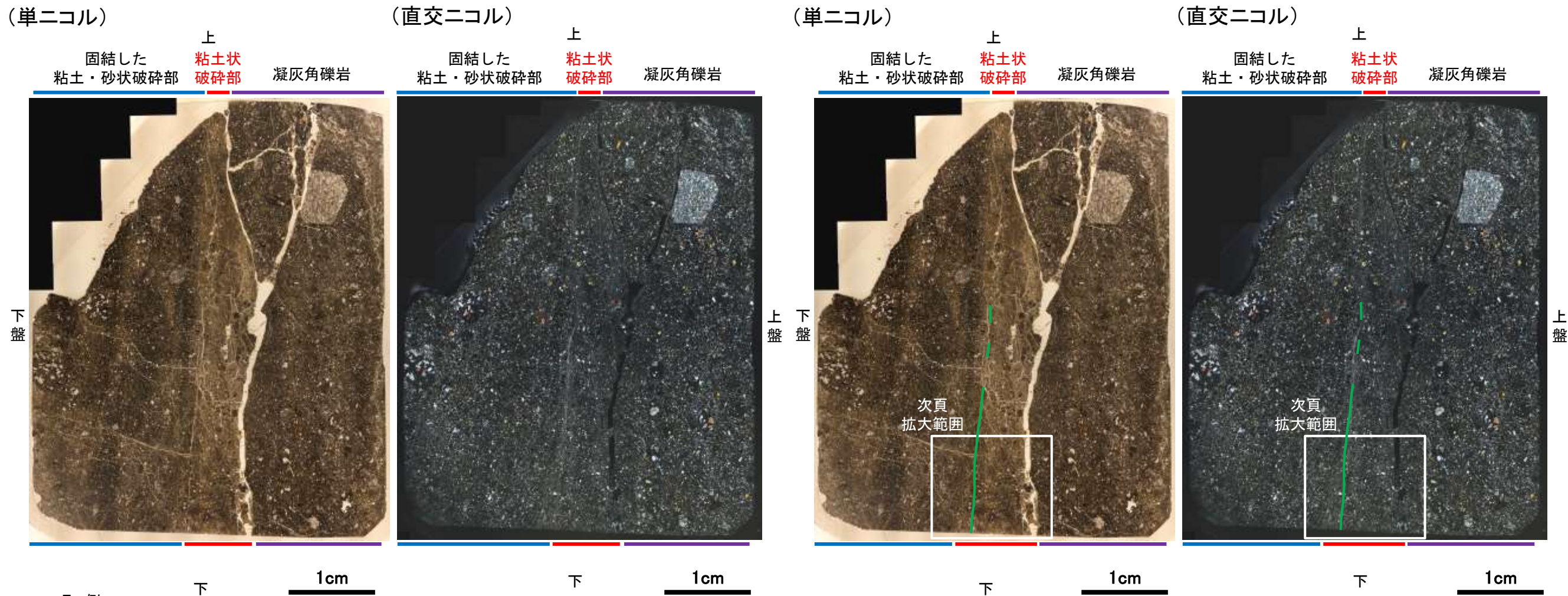


詳細観察写真

# K-17の運動方向調査結果 —H- -3.0-60孔(薄片観察)—

- 主せん断面において88° Rの条線方向で作成した薄片観察の結果、下盤側から固結した粘土・砂状破碎部、粘土状破碎部、凝灰角礫岩※に分帯される。
- 粘土状破碎部中にY面が認められる。このY面は凹凸を伴い、直線性に乏しく、薄片上部～中央部では密着し不明瞭となり、連続性に乏しい。
- その他、薄片内にY面に相当する構造は認められない。

※分帯名はコア観察での破碎部区分に対応



凡例

— Y面

薄片写真(H- -3.0-60\_88R)  
(右は構造等を加筆)

## 薄片観察結果

### 固結した粘土・砂状破碎部:

単ニコルで褐灰～暗灰色、直交ニコルで灰色の干渉色を呈する。径6mm以下の岩片や鉱物片が細粒な基質中に含まれる。岩片、鉱物片は垂角～亜円形である。

### 粘土状破碎部:

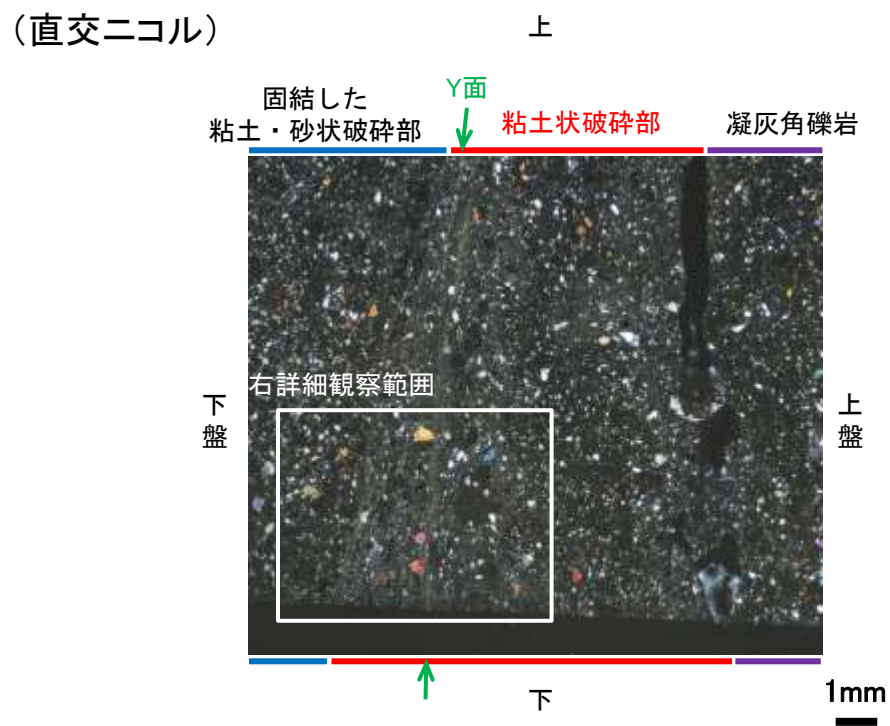
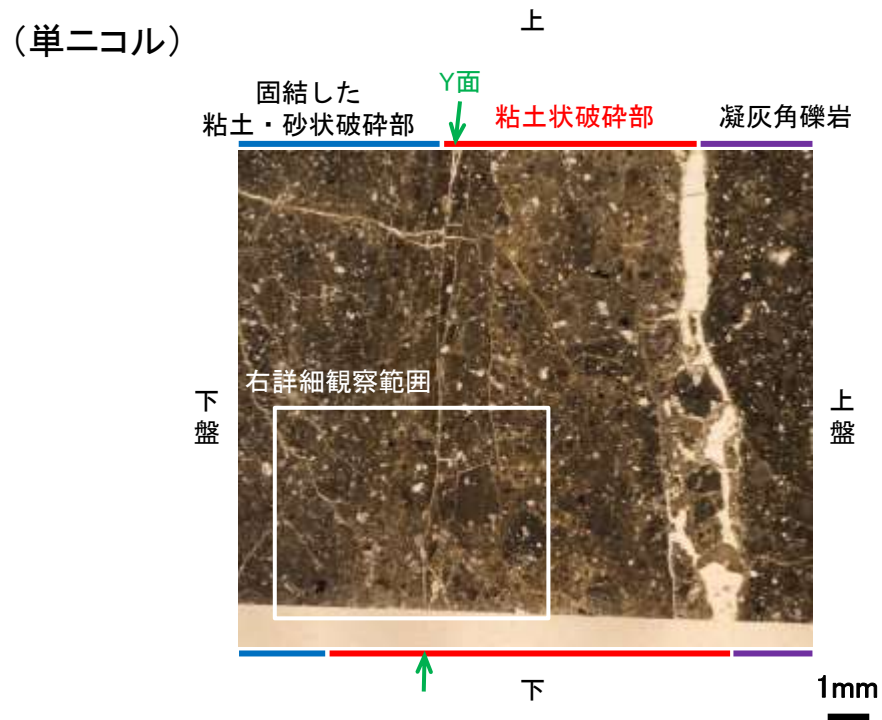
単ニコルで褐灰色、直交ニコルで黄～灰色の干渉色を呈する。径3mm以下の岩片や鉱物片が細粒な基質中に含まれる。岩片、鉱物片は垂角～亜円形である。基質中には粘土鉱物が生成されている。

### 凝灰角礫岩:

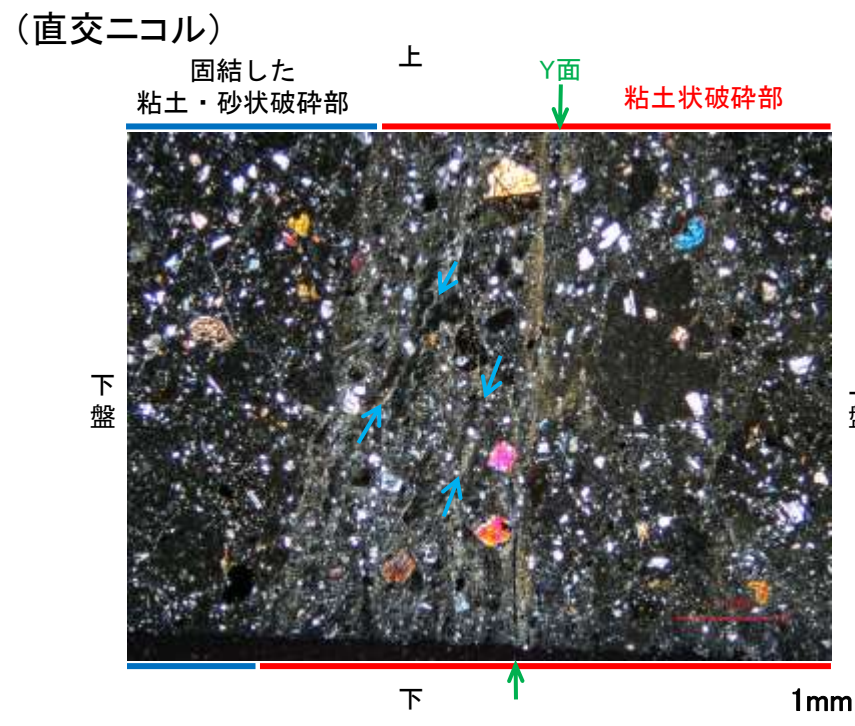
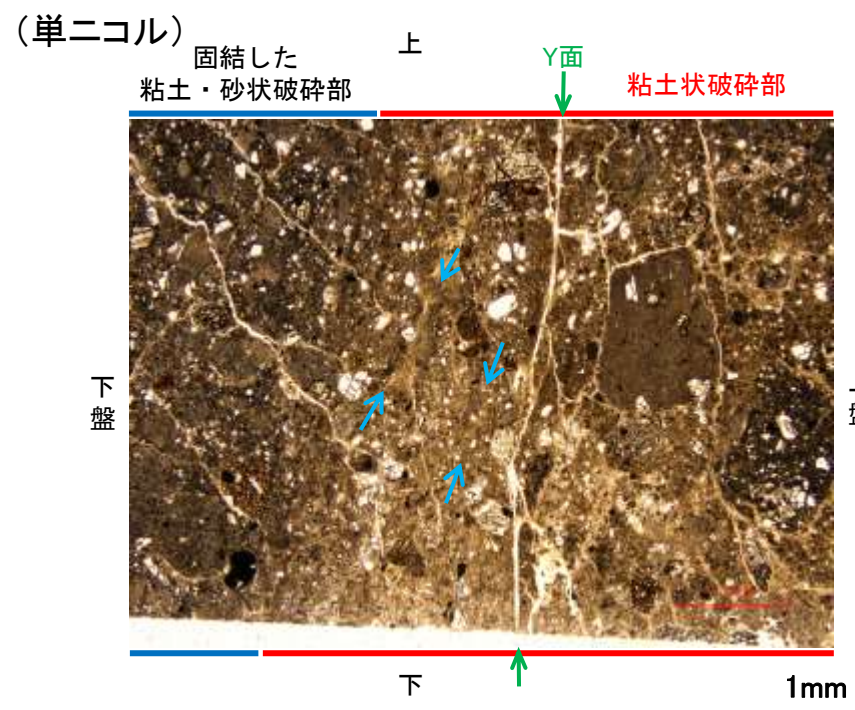
単ニコルで褐灰～暗灰色、直交ニコルで灰色の干渉色を呈する。径7mm以下の岩片や鉱物片が細粒な基質中に含まれる。岩片、鉱物片は垂角～亜円形である。

# K-17の運動方向調査結果 —H- -3.0-60孔(薄片観察, 詳細観察)—

- 固結した粘土・砂状破碎部中には複合面構造は認められず, 変位センスは特定できない。
- 粘土状破碎部中の岩片や鉱物片の多くに定向性は認められない。ただし, Y面の直近の一部において認められる粘土鉱物の微弱な定向配列をP面とすると, 見かけ上盤側上がりの変位が推定される。
- 断層の走向傾斜がN21° E/81° SE, 条線レイクが88° Rであることから, 粘土状破碎部の運動方向は右横ずれを伴う逆断層センスである。

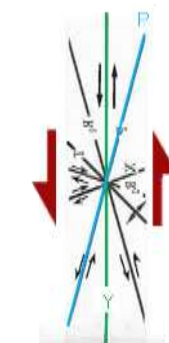


拡大範囲写真



詳細観察範囲写真

見かけ  
上盤側上がり

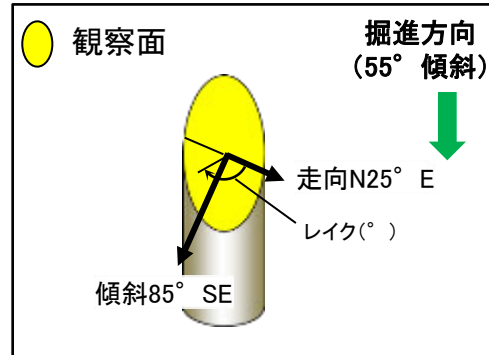


せん断センス  
を示す複合面構造  
(狩野・村田(1998)  
に加筆)

- 凡例
- ← Y面
  - ← P面

# K-17の運動方向調査結果 —H- -3.0-55孔(条線観察, 下盤側) —

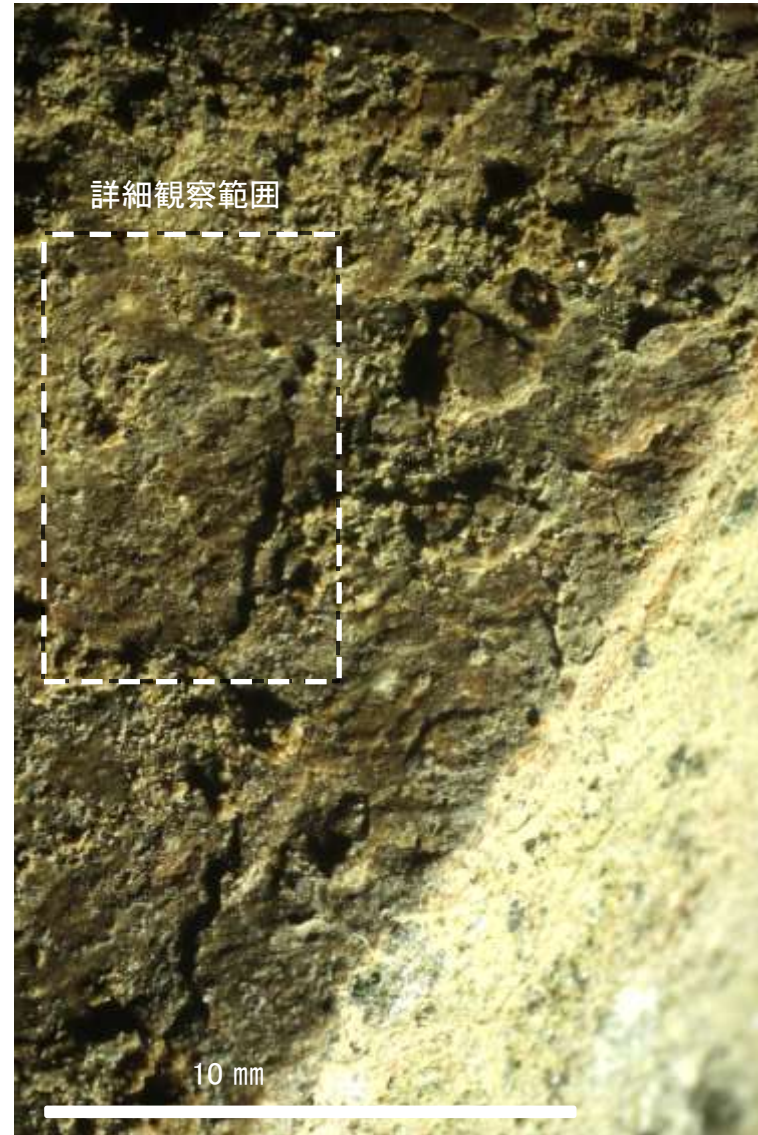
- 主せん断面における条線観察の結果, 下盤側の観察面で $127^\circ$  Rの条線が認められる。
- 観察面において, 礫まわりの粘土の非対称構造などの変位センスを推定できるような構造は認められない。



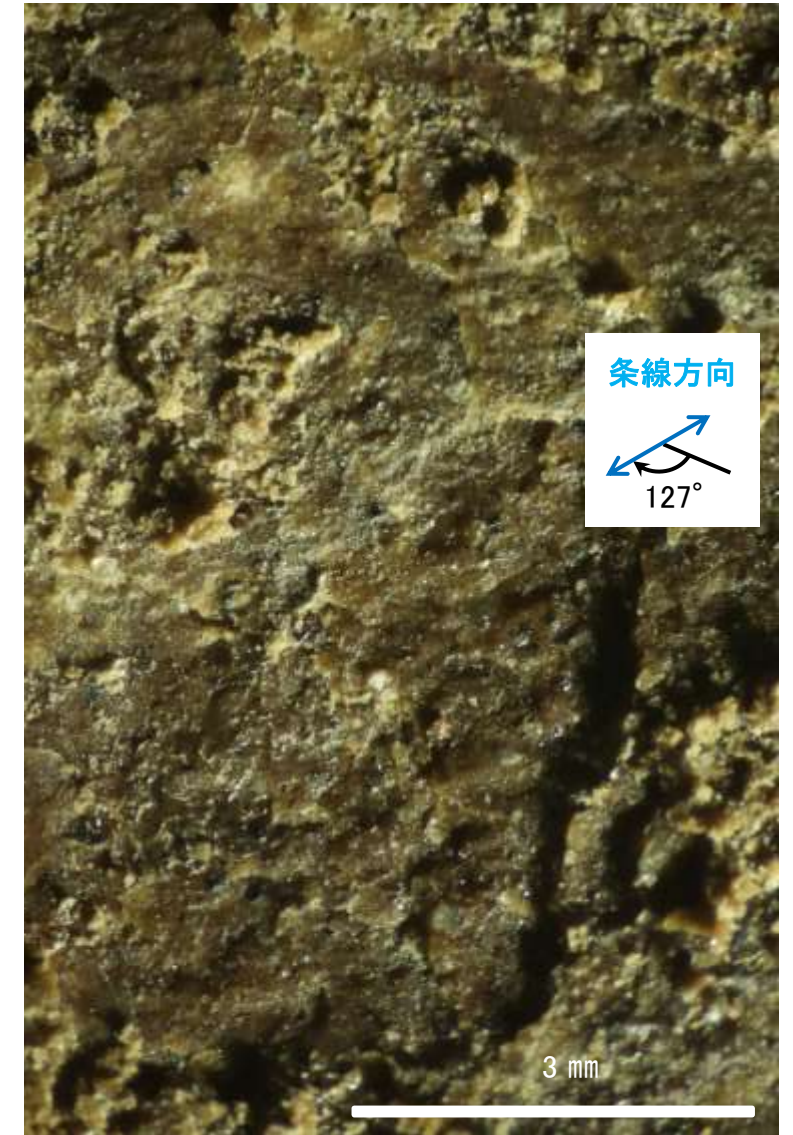
概念図  
※走向は真北で示す。



観察面写真



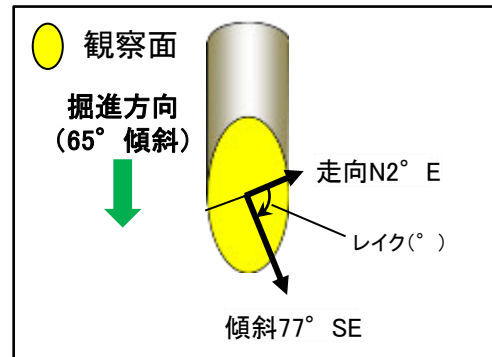
観察面拡大写真



詳細観察写真

# K-17の運動方向調査結果 —H— -3.0-65孔(条線観察, 上盤側) —

○主せん断面における条線観察の結果, 上盤側の観察面で $93^\circ$  R,  $58^\circ$  Rの条線が認められ, 下盤側換算すると $87^\circ$  R,  $122^\circ$  Rとなる。  
○観察面において, 礫まわりの粘土の非対称構造などの変位センスを推定できるような構造は認められない。

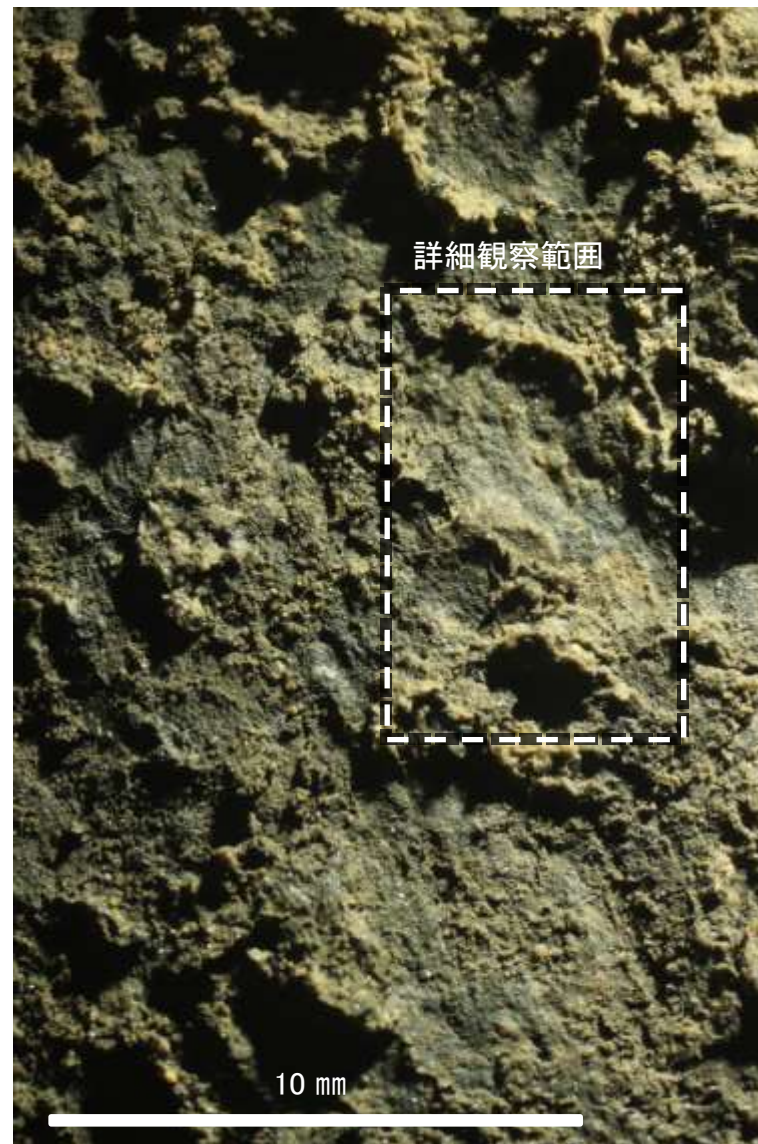


概念図

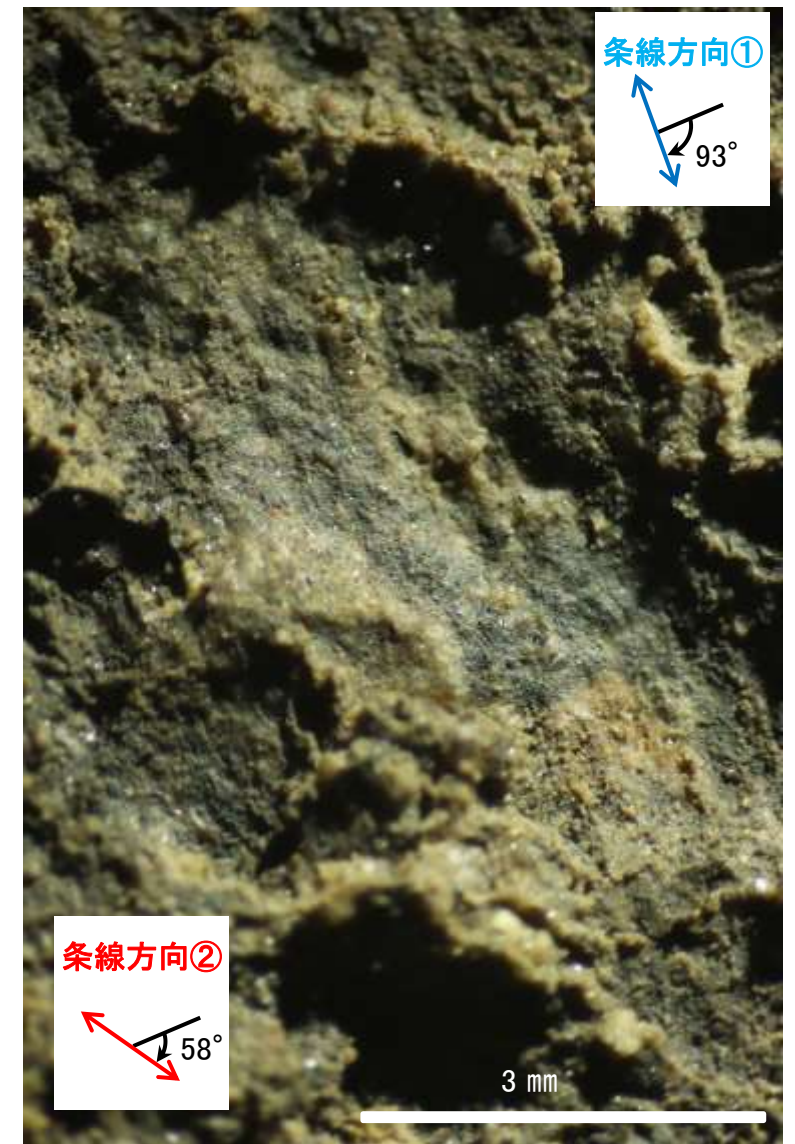
※走向は真北で示す。



観察面写真



観察面拡大写真



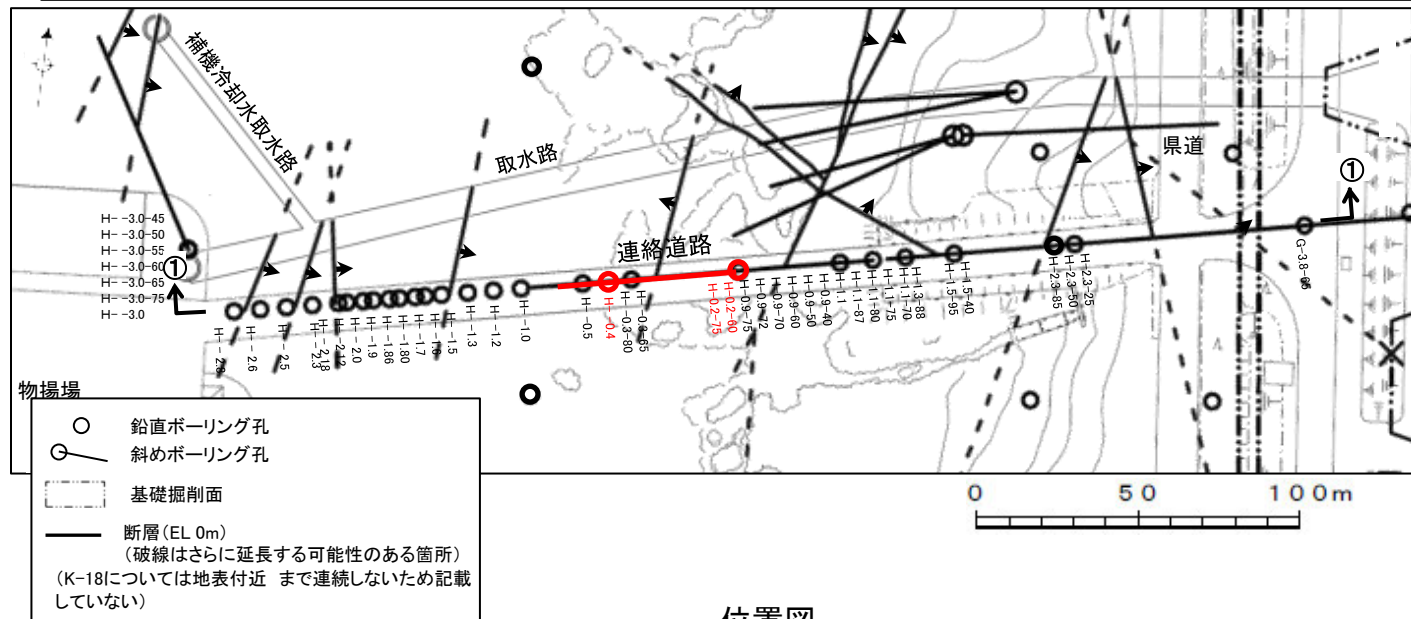
詳細観察写真

---

## (23) K-18の運動方向調査結果

# K-18の運動方向調査結果 一概要

○コア観察, CT画像観察, 条線観察, 薄片観察結果から, 固結した破碎部では正断層の変位センスが認められ, 粘土状破碎部では右横ずれを伴う逆断層の変位センスが認められる。観察結果を次頁以降に示す。



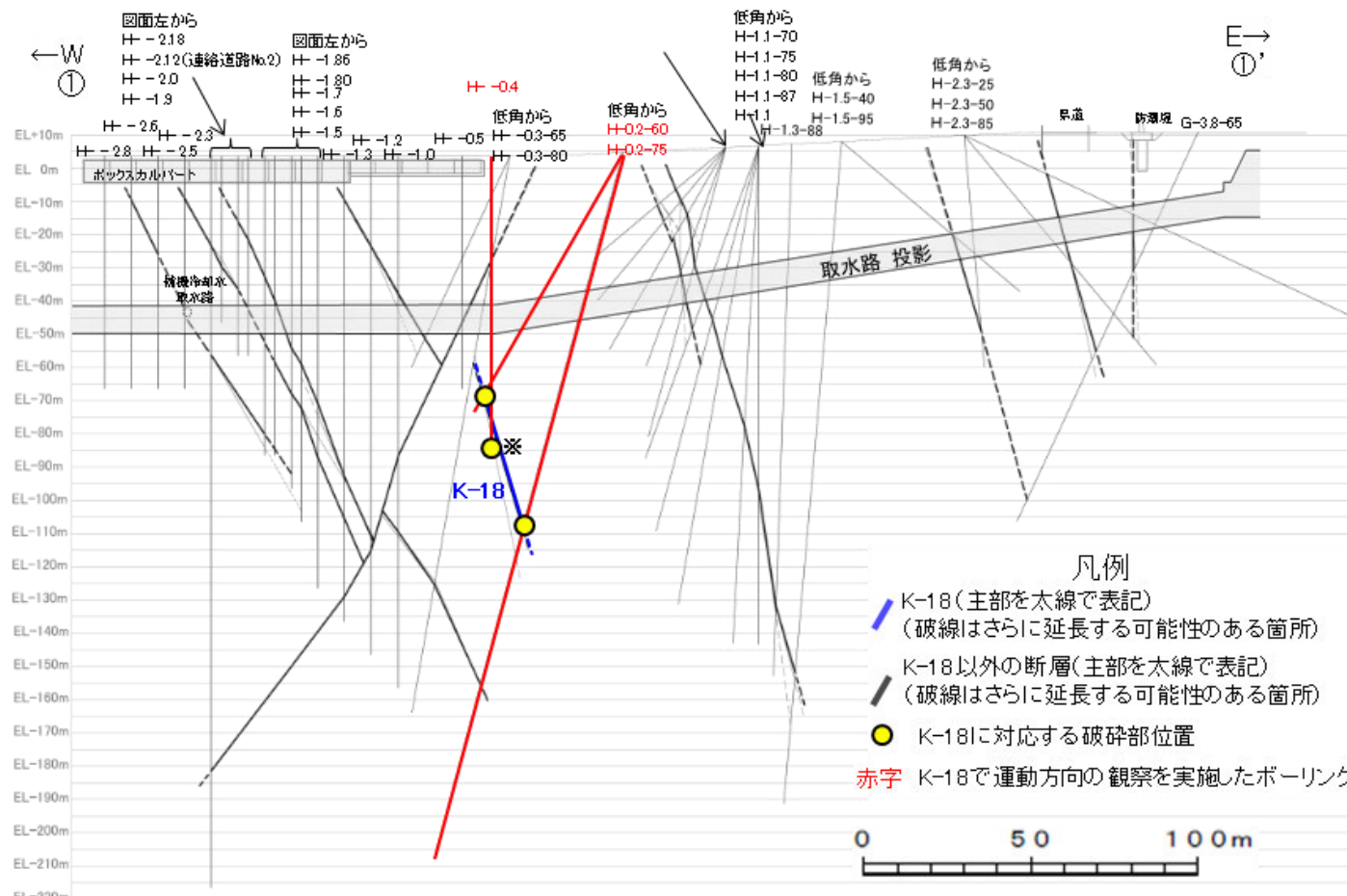
位置図

赤字 K-18で運動方向の観察を実施したボーリング孔  
矢印(➡)の向きは断層の傾斜方向を示す

観察結果 一覧表

試料名	走向/傾斜 (走向は真北)	固結した破碎部	粘土状破碎部		
		変位センス (コア観察, 薄片観察)	条線の レイク*1	変位センス (条線観察)	変位センス (薄片観察)
H- -0.4孔 [深度89.70m]	N14° E/67° SE	正断層	70° R	(不明)	[不明]
			55° R	(不明)	
H-0.2-75孔 [深度116.75m]	N2° E/81° SE	(不明)	34° R	(不明)	右横ずれ 逆断層
			64° R	(不明)	
H-0.2-60孔 [深度84.35m]	N26° E/80° SE	[不明]	176° R	(不明)	[不明]
			51° R	(不明)	

\*1: 上盤側で確認したレイクは下盤側に換算して示す。



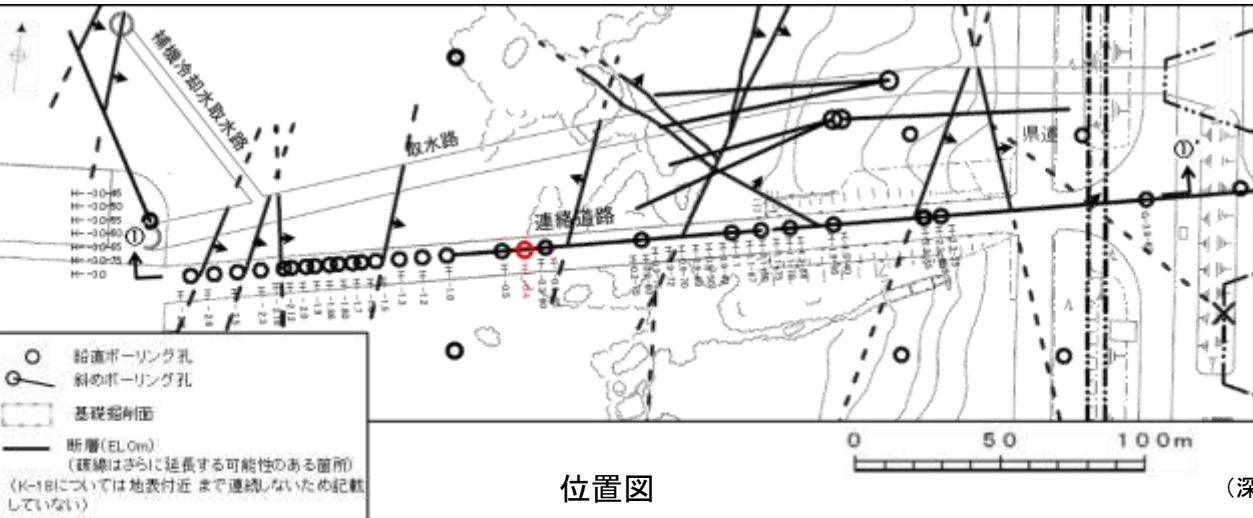
①-①' 断面図

- 凡例
- K-18 (主部を太線で表記)  
(破線はさらに延長する可能性のある箇所)
  - K-18以外の断層 (主部を太線で表記)  
(破線はさらに延長する可能性のある箇所)
  - K-18に対応する破碎部位置
  - 赤字 K-18で運動方向の観察を実施したボーリング孔

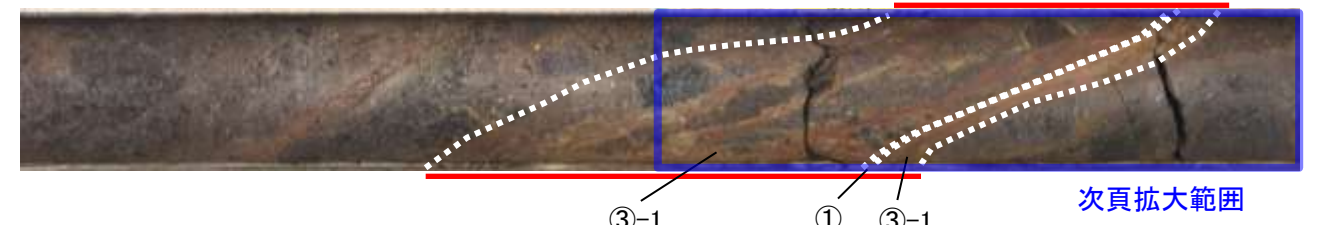
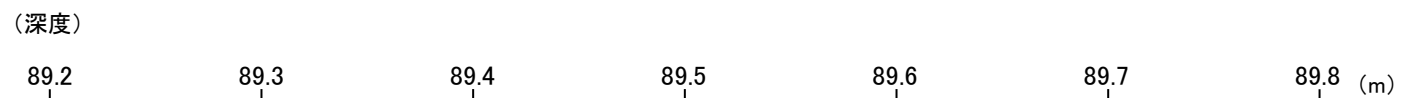
※: 運動方向確認のためのボーリング孔。  
H- -0.4孔のK-18確認深度付近のコア写真は, P.2.5-1-347

# K-18の運動方向調査結果 —H- -0.4孔—

○H- -0.4孔の深度89.50~89.71mにおいて、K-18に対応する破砕部が認められる。  
○この破砕部を対象として、コア観察により固結した破砕部の運動方向を確認した。



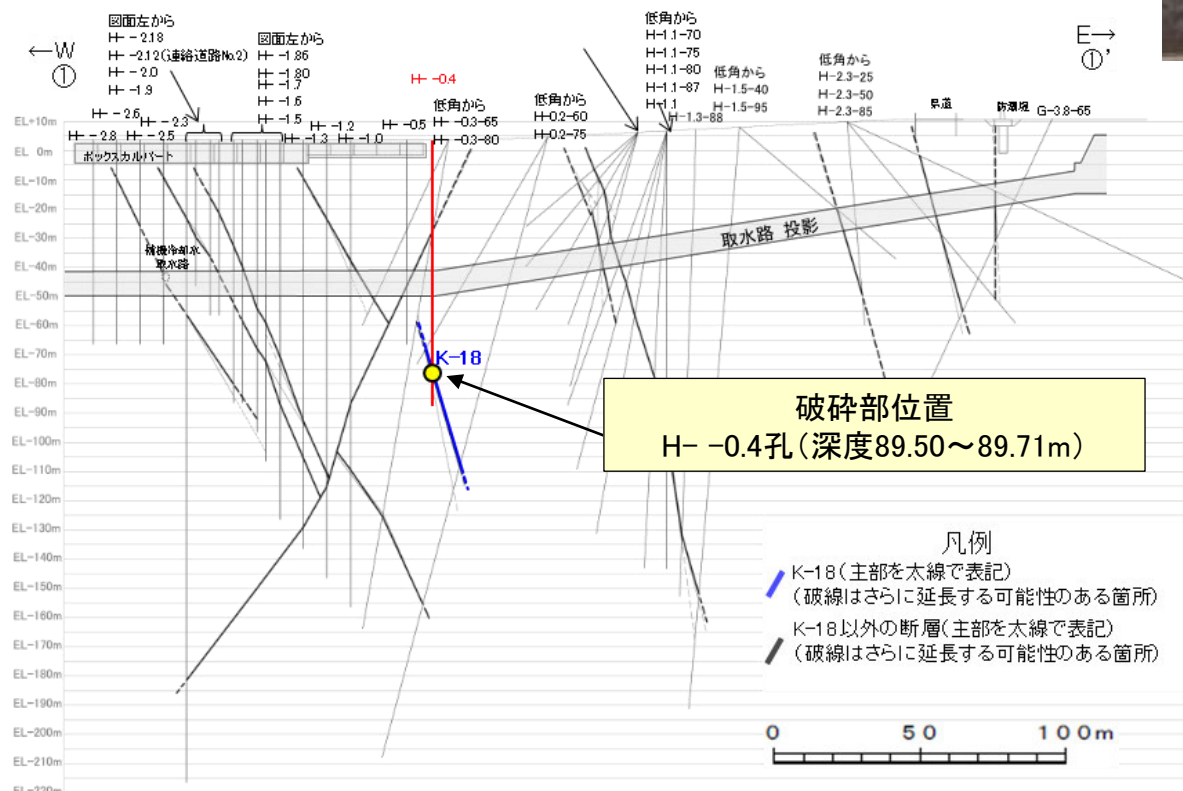
— 破砕部  
① 粘土状破砕部  
③-1 固結した粘土・砂状破砕部



コア写真(H- -0.4孔, 破砕部区分を加筆)

コア観察結果

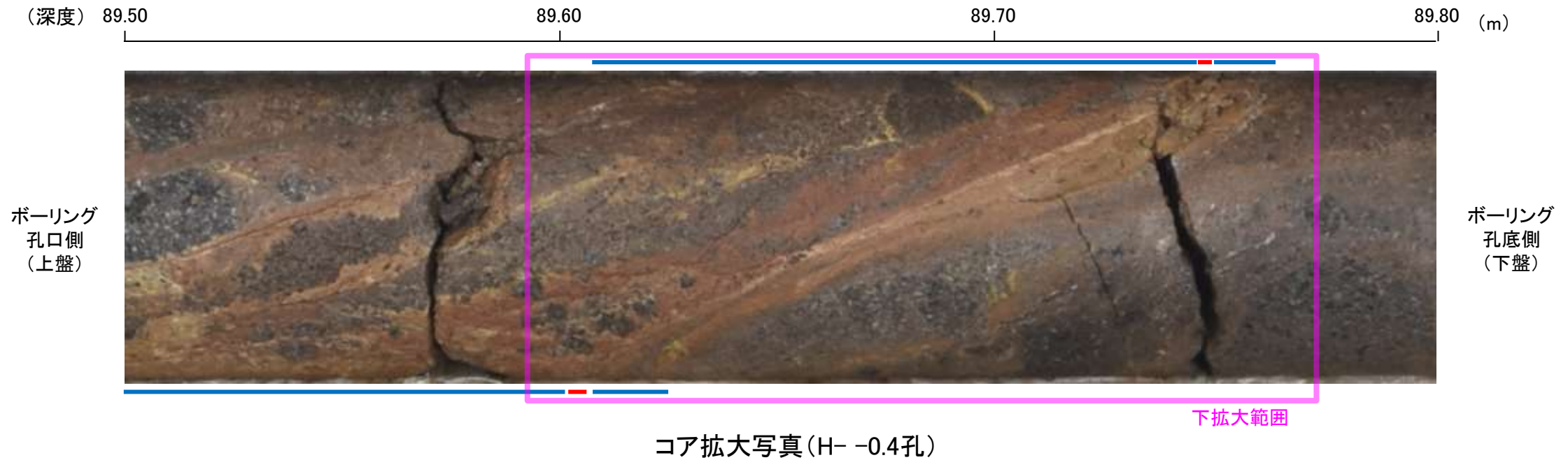
深度89.50~89.71m:  
傾斜角60~70°の厚さ8.5~13cmの破砕部。厚さ8.4~13cmの固結した破砕部及び厚さ0.1~0.2cmの明褐色の粘土状破砕部からなる。



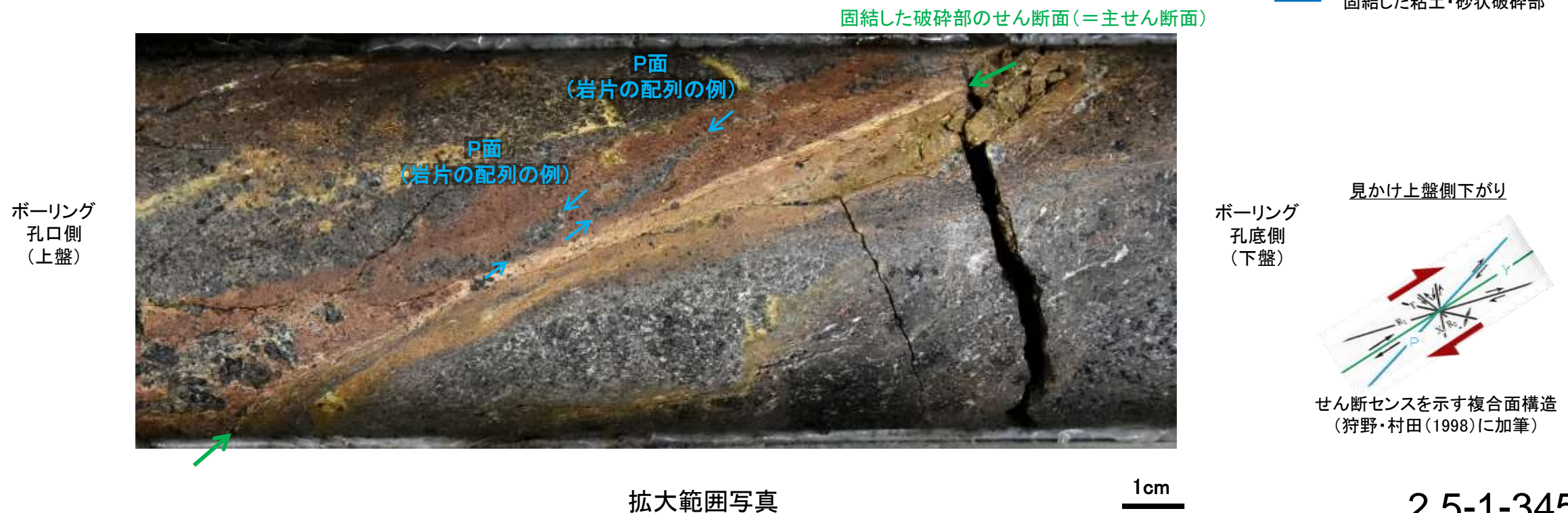


# K-18の運動方向調査結果 —H- -0.4孔(コア観察)—

- 深度89.70m付近に固結した破碎部のせん断面が認められ、その上盤側に岩片の配列が認められる。
- 固結した破碎部のせん断面をY面とした時に、岩片の配列からP面を読み取ることができ、見かけ上盤側下がりの変位が推定される。
- 断層の走向傾斜がN14° E/67° SEであること、ボーリングの掘進方位及び掘進傾斜から考えると、固結した破碎部の運動方向は正断層センスである。

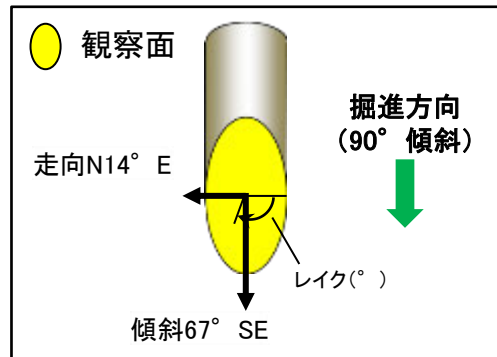


- 粘土状破碎部
- 固結した粘土・砂状破碎部



# K-18の運動方向調査結果 —H- -0.4孔(条線観察, 上盤側) —

- 主せん断面における条線観察の結果, 上盤側の観察面で $110^\circ$  R,  $125^\circ$  Rの条線が認められ, 下盤側換算すると $70^\circ$  R,  $55^\circ$  Rとなる。
- 観察面において, 礫まわりの粘土の非対称構造などの変位センスを推定できるような構造は認められない。

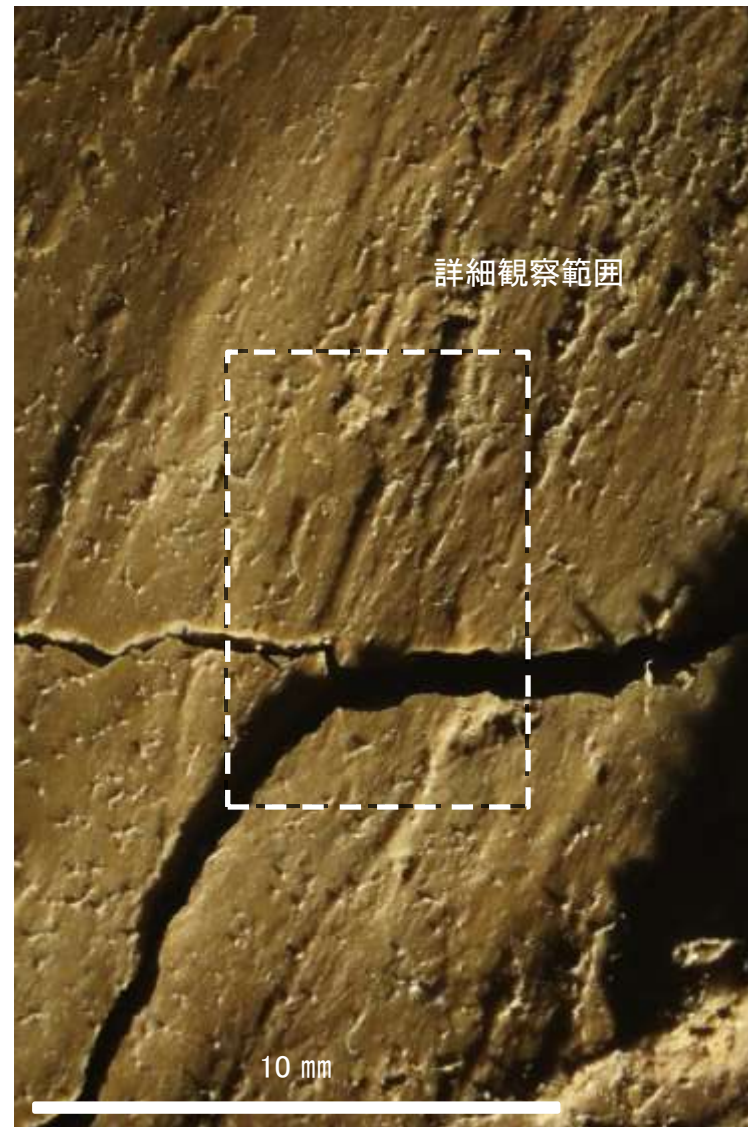


概念図

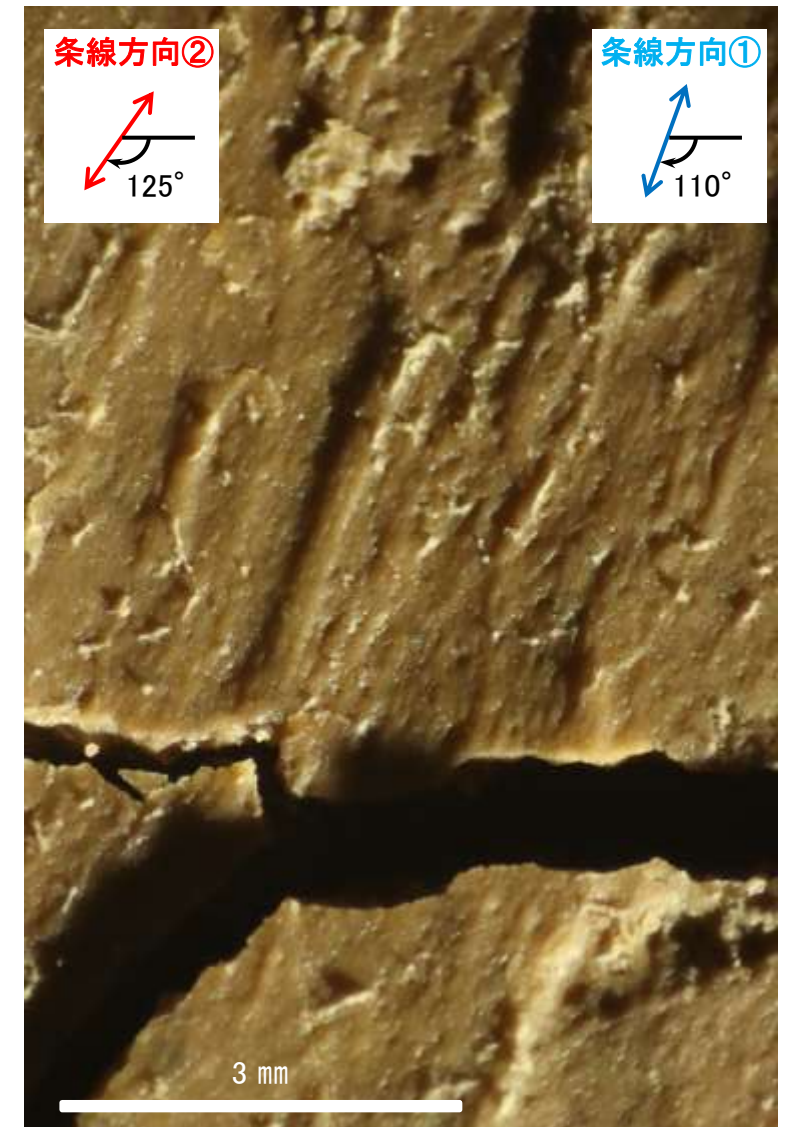
※走向は真北で示す。



観察面写真



観察面拡大写真



詳細観察写真

# K-18の運動方向調査結果 —H- -0.4孔(参考:想定深度付近コア写真)—

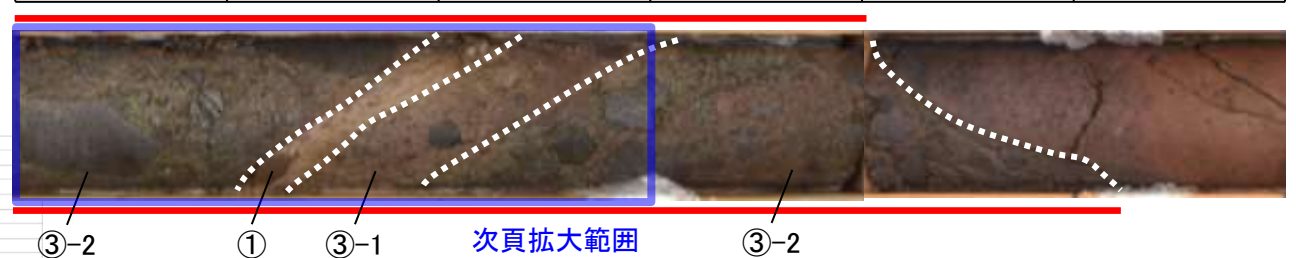
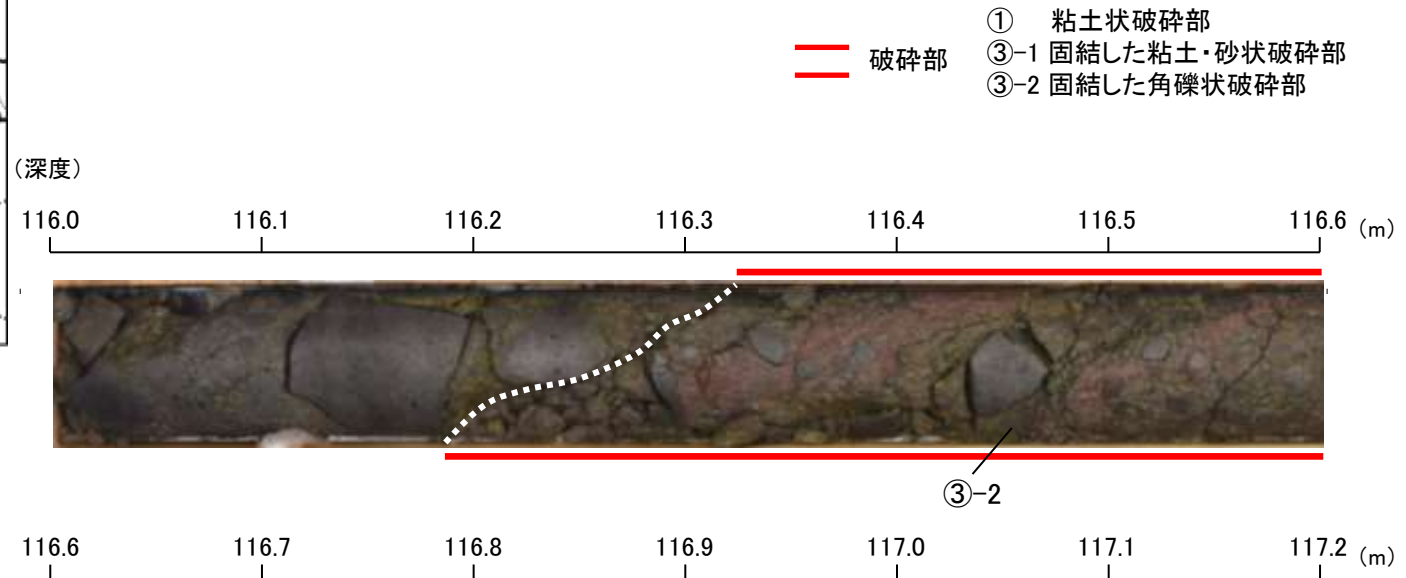
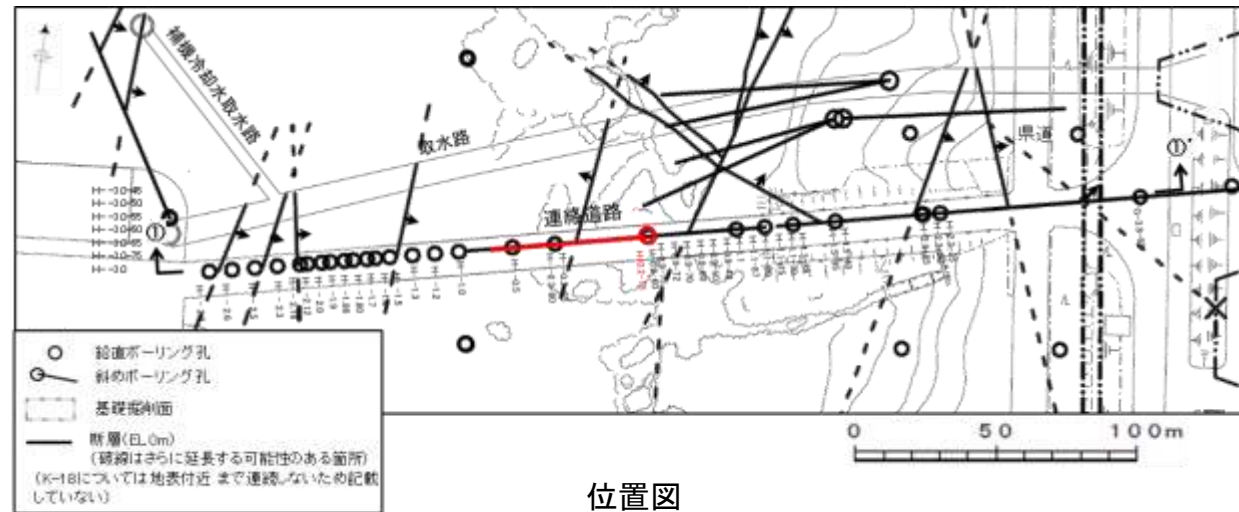
OK-18想定深度付近(深度84~92m)のコア写真を以下に示す。

H- -0.4孔(掘進長92.00m, 鉛直)



# K-18の運動方向調査結果 —H-0.2-75孔—

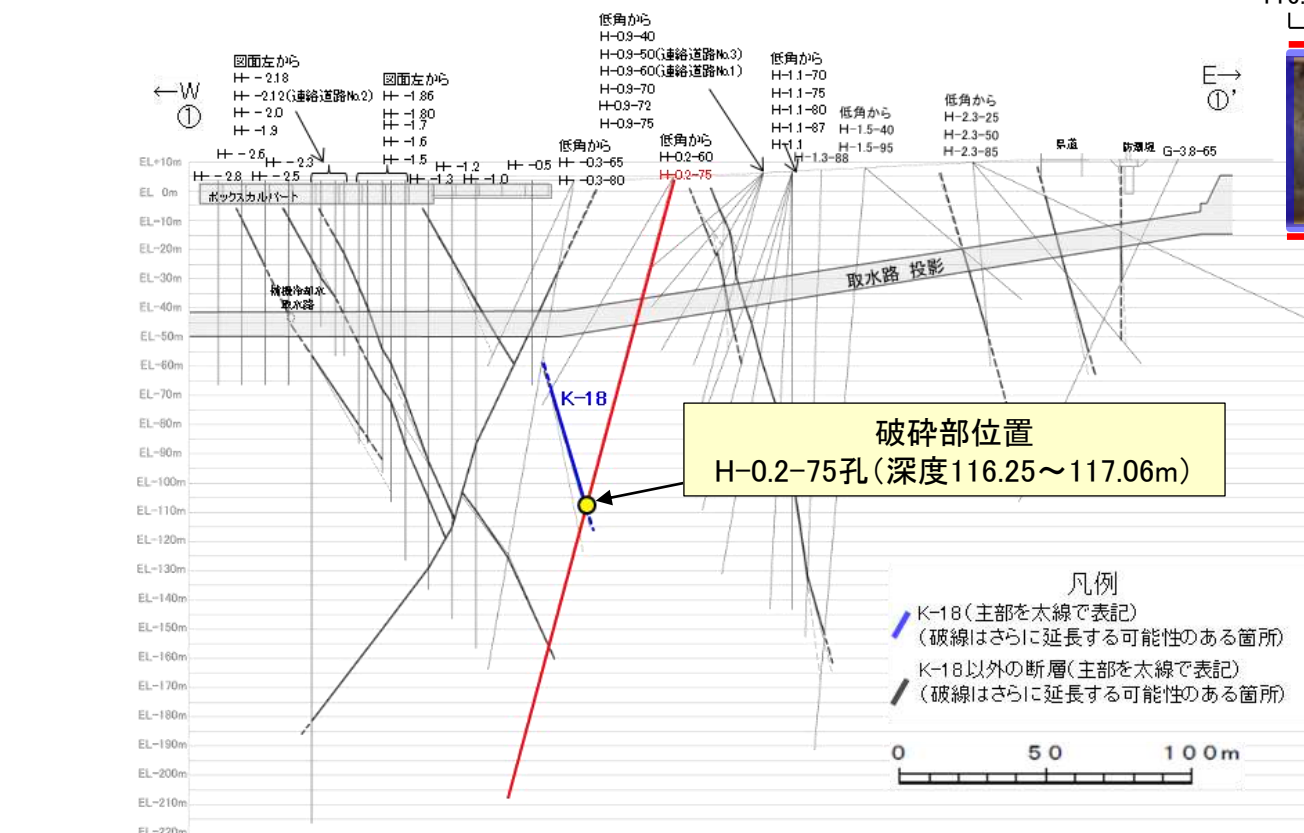
○H-0.2-75孔の深度116.25～117.06mにおいて、K-18に対応する破砕部が認められる。  
○この破砕部を対象に、コア観察及びCT画像観察により抽出した主せん断面において、条線観察、薄片観察を実施し、粘土状破砕部の運動方向を確認した。



コア写真(H-0.2-75孔, 破砕部区分を加筆)

コア観察結果

深度116.25～117.06m:  
見かけの傾斜角50～65°の厚さ47cmの破砕部。厚さ44～46cmの固結した破砕部及び厚さ1.3～2.2cmの灰白色の粘土状破砕部からなる。



# K-18の運動方向調査結果 —H-0.2-75孔(コア観察, CT画像観察)—

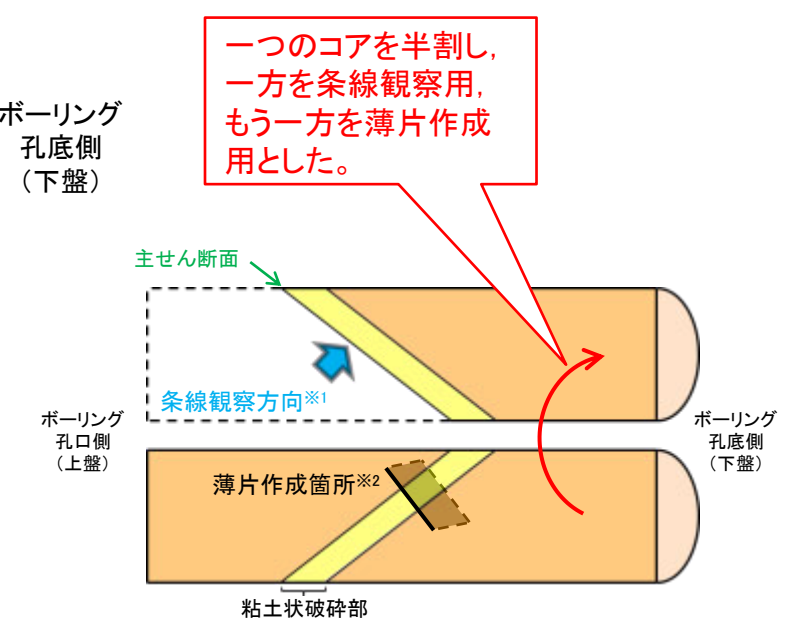
- コア観察, CT画像観察結果より, 固結した角礫状破碎部と固結した粘土・砂状破碎部の境界である深度116.75m付近に, 厚さ1.3~2.2cmの粘土状破碎部が認められる。
- 粘土状破碎部を伴う比較的直線性・連続性がよい面を, 主せん断面として抽出した。
- 主せん断面において, 条線観察及び薄片観察を実施した。

(深度) 116.6 116.7 116.8 116.9 (m)



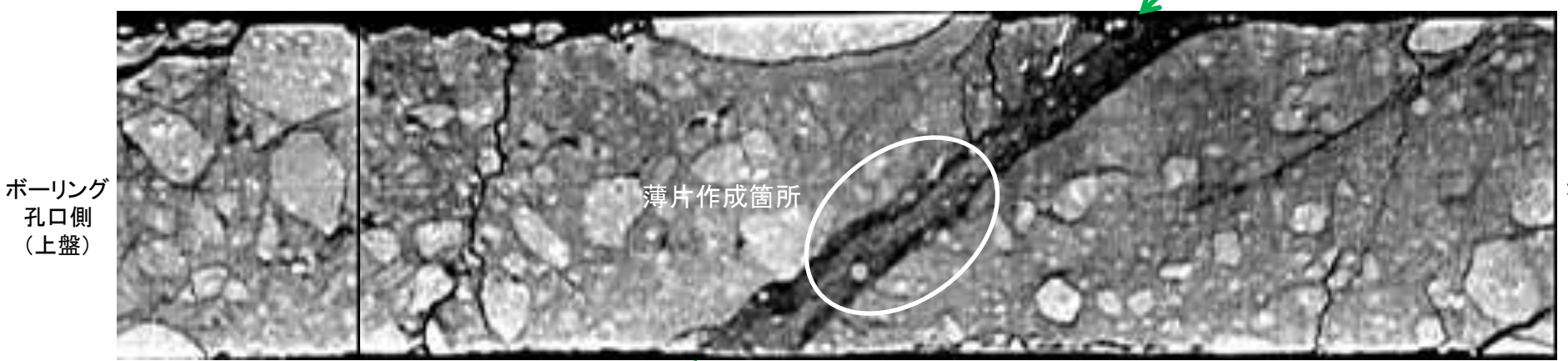
コア拡大写真(H-0.2-75孔)

— 粘土状破碎部  
— 固結した粘土・砂状破碎部, 固結した角礫状破碎部



半割コア断面模式図  
上: 条線観察側  
下: 薄片作成側

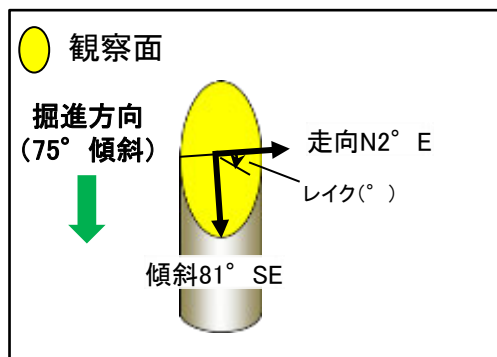
※1: 主せん断面を上盤側から下盤側方向に観察  
※2: 反対側の半割コアで確認した条線方向で薄片を作成



CT画像(H-0.2-75孔)

# K-18の運動方向調査結果 —H-0.2-75孔(条線観察, 下盤側)—

- 主せん断面における条線観察の結果, 下盤側の観察面で $34^\circ$  R,  $64^\circ$  Rの条線が認められる。
- 観察面において, 礫まわりの粘土の非対称構造などの変位センスを推定できるような構造は認められない。

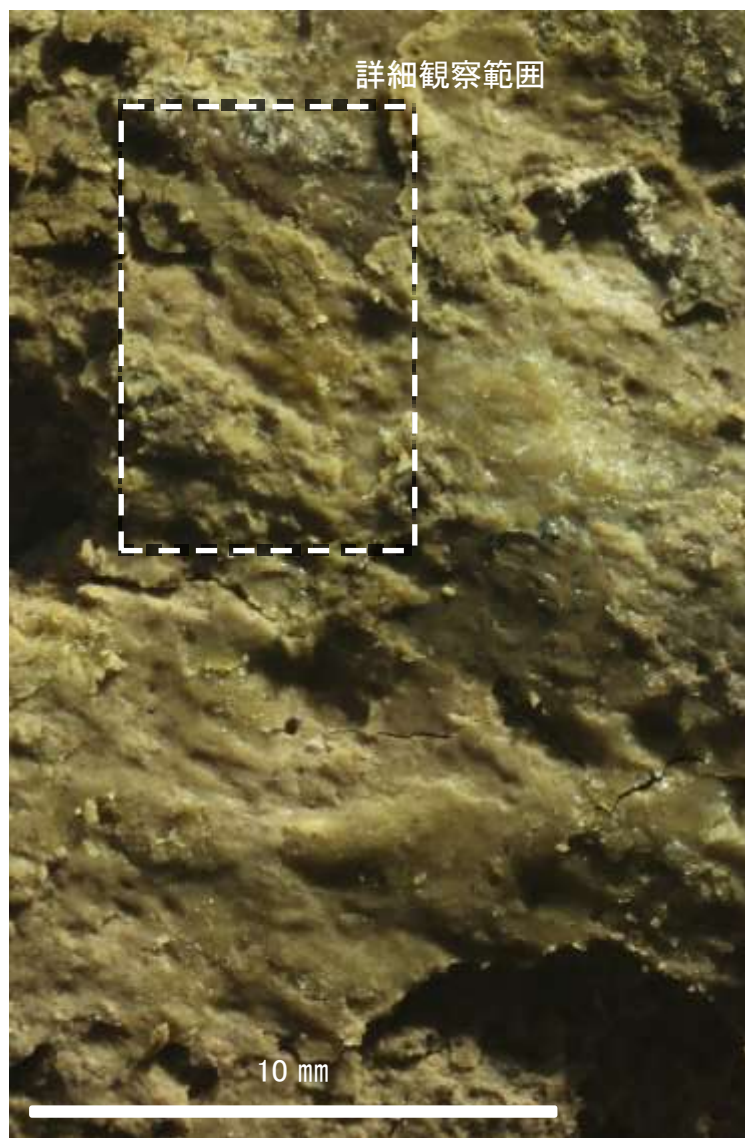


概念図

※走向は真北で示す。



観察面写真



観察面拡大写真



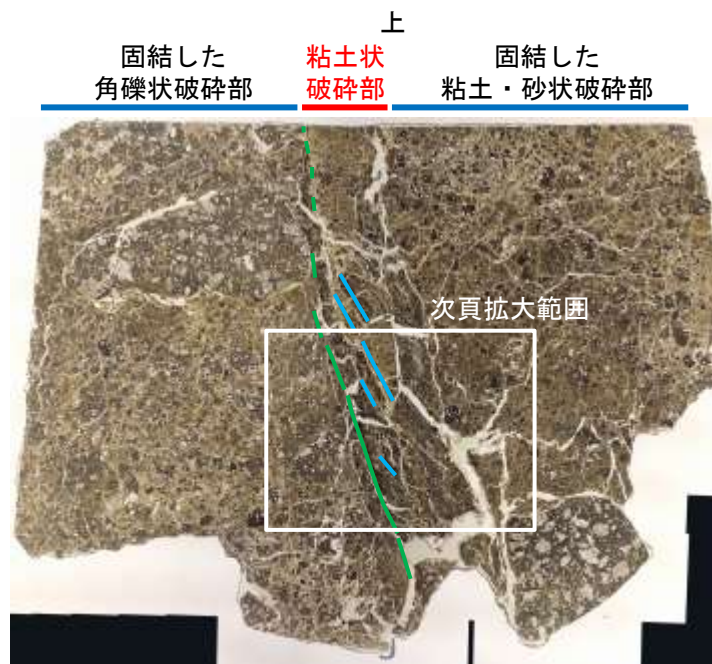
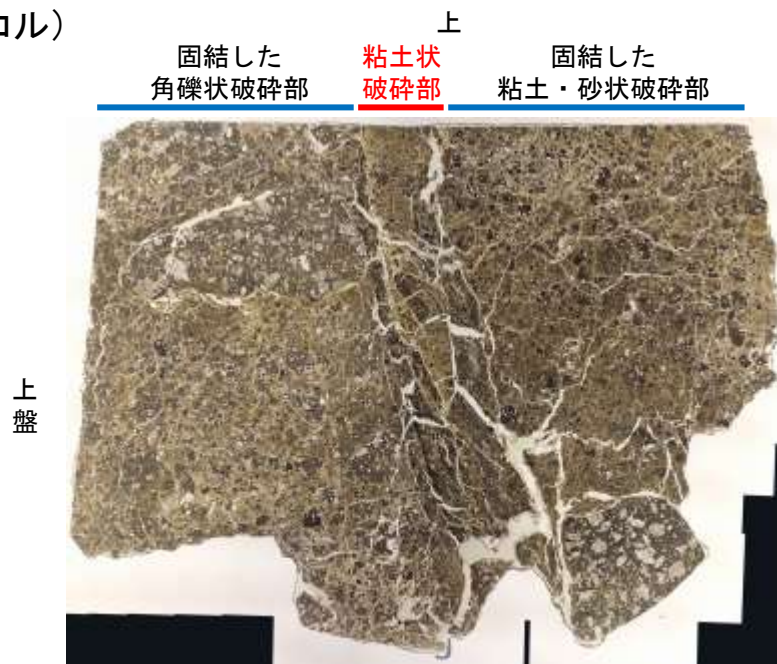
詳細観察写真

# K-18の運動方向調査結果 —H-0.2-75孔(薄片観察)—

- 主せん断面において34° Rの条線方向で作成した薄片観察の結果, 上盤側から固結した角礫状破碎部, 粘土状破碎部, 固結した粘土・砂状破碎部※に分帯される。
- 固結した角礫状破碎部と粘土状破碎部の境界をなすY面が認められる。このY面は, 一部で密着し不明瞭となり, 連続性に乏しい。
- その他, 薄片内にY面に相当する構造は認められない。

※分帯名はコア観察での破碎部区分に対応

(単ニコル)



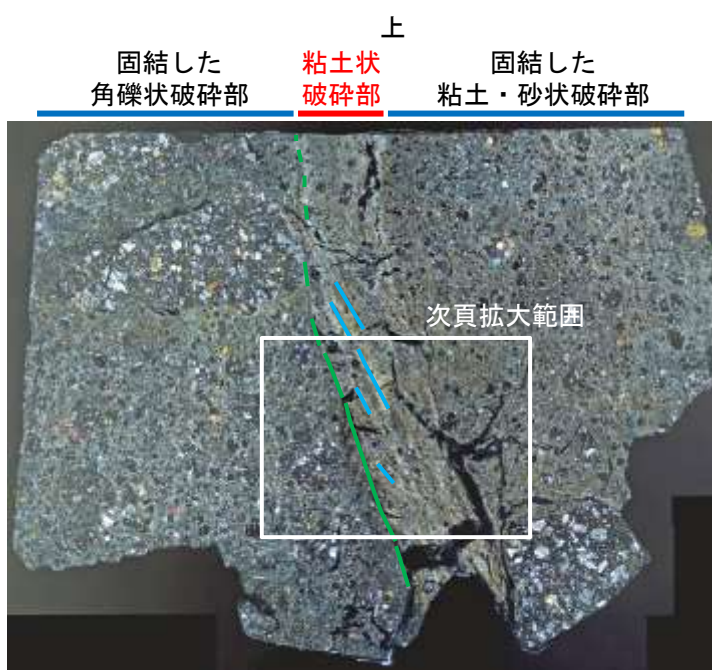
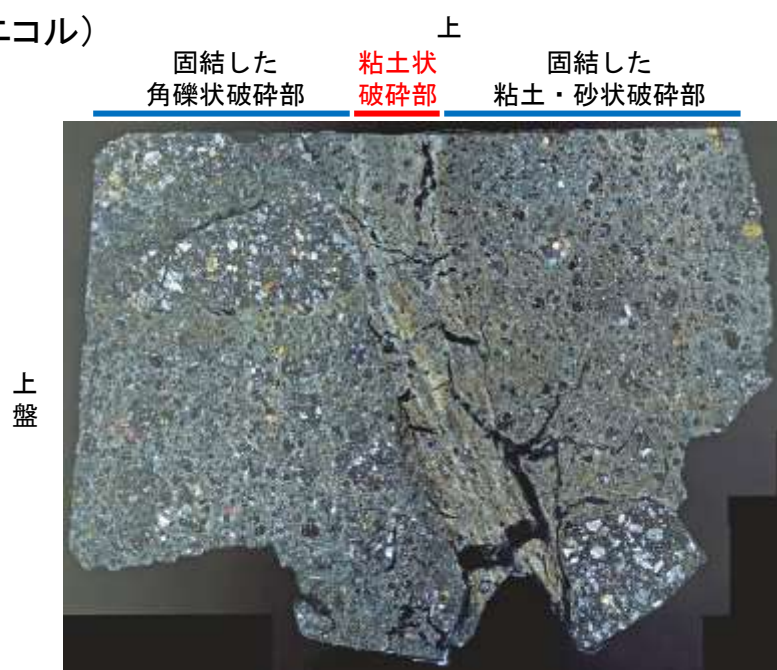
薄片観察結果

**固結した角礫状破碎部:**  
単ニコルで褐灰色, 直交ニコルで灰色の干渉色を呈する。径17mm以下の岩片や鉱物片が細粒な基質中に含まれる。岩片, 鉱物片は角~垂角形である。基質中や岩片の縁辺部には粘土鉱物が生成されている。

**粘土状破碎部:**  
単ニコルで褐灰色, 直交ニコルで黄~灰色の干渉色を呈する。径3mm以下の岩片や鉱物片が細粒な基質中に含まれている。岩片, 鉱物片は垂角~垂円形である。基質中や割れ目, 岩片の縁辺部には粘土鉱物が生成されている。

**固結した粘土・砂状破碎部:**  
単ニコルで褐灰色, 直交ニコルで灰色の干渉色を呈する。径3mm以下の岩片や鉱物片が細粒な基質中に含まれており, 径11mm以上の岩片も認められる。岩片, 鉱物片は垂角~垂円形である。基質中や割れ目, 岩片の縁辺部には粘土鉱物が生成されている。

(直交ニコル)



見かけ上盤側上がり



凡例  
— Y面  
— P面

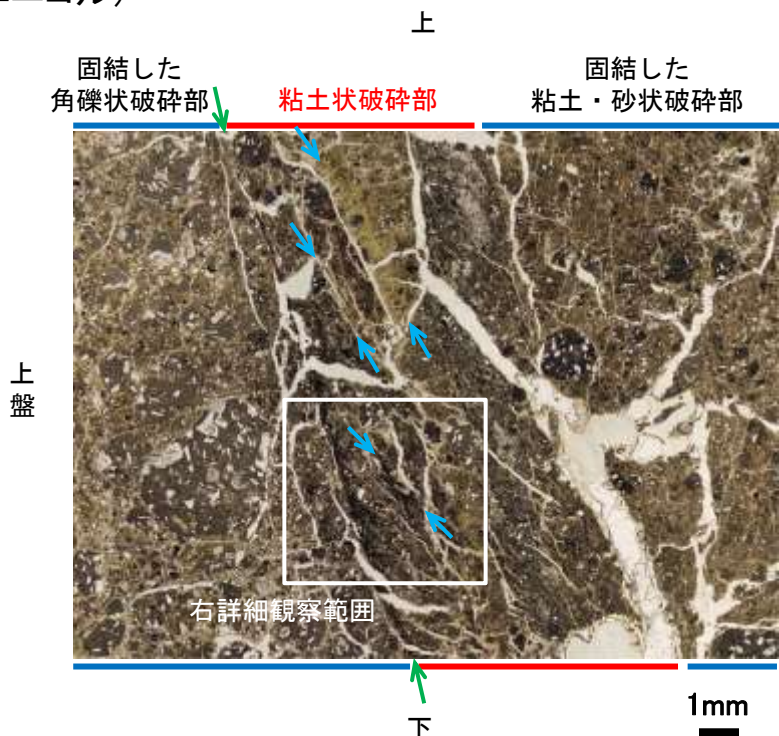
せん断センスを示す複合面構造  
(狩野・村田(1998)に加筆)

薄片写真(H-0.2-75\_34R)(右は構造等を加筆)

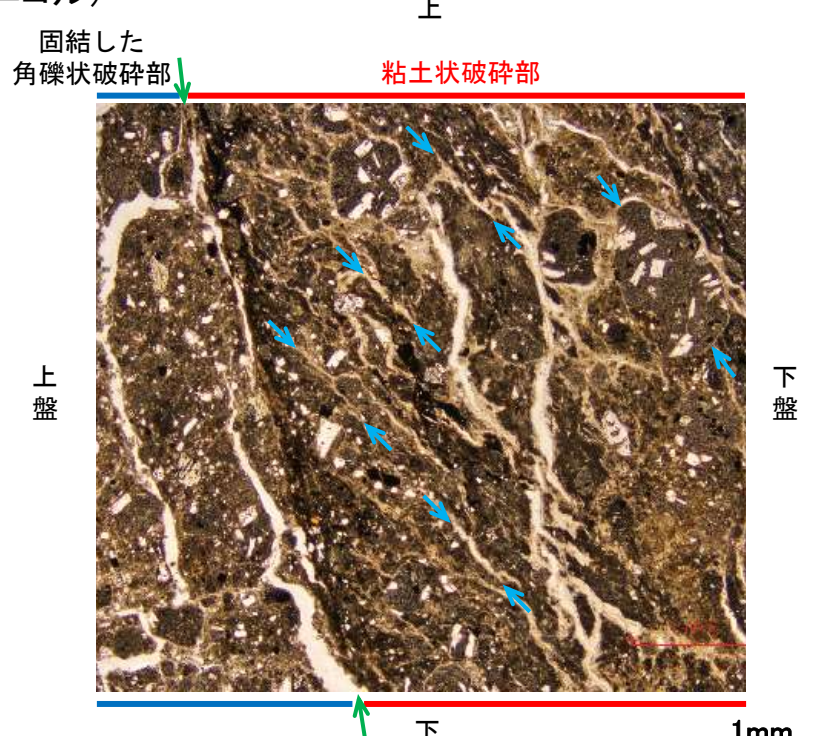
# K-18の運動方向調査結果 —H-0.2-75孔(薄片観察, 詳細観察)—

○固結した角礫状破碎部中には複合面構造は認められず, 変位センスは特定できない。  
 ○固結した粘土・砂状破碎部中には複合面構造は認められず, 変位センスは特定できない。  
 ○粘土状破碎部中の岩片や粘土鉱物の定向配列をP面とすると, 見かけ上盤側上がりの変位が推定される。  
 ○断層の走向傾斜がN2° E/81° SE, 条線レイクが34° Rであることから, 粘土状破碎部の運動方向は右横ずれを伴う逆断層センスである。

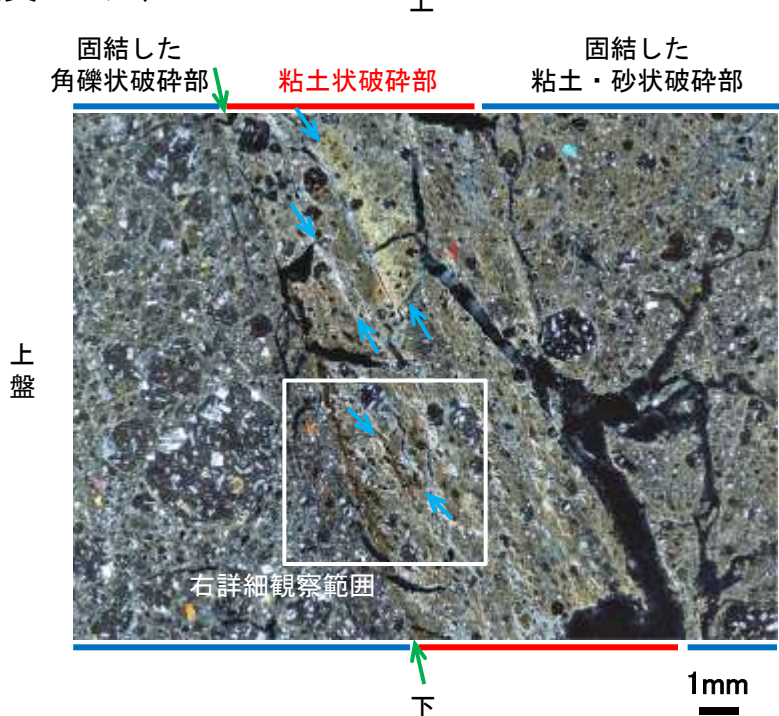
(単ニコル)



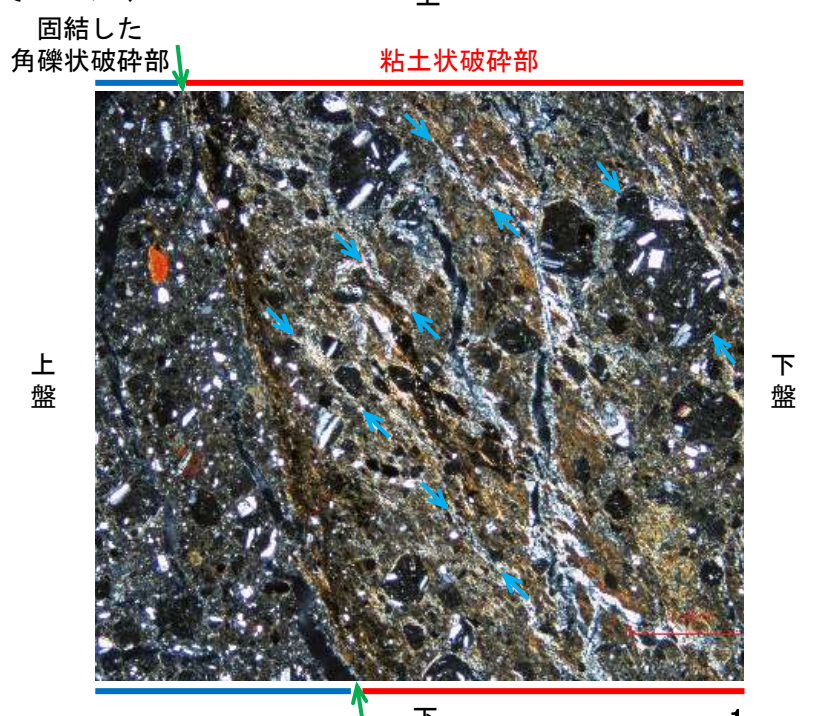
(単ニコル)



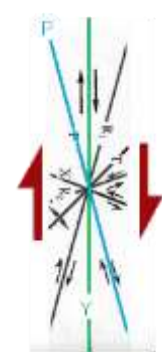
(直交ニコル)



(直交ニコル)



見かけ上盤側上がり



せん断センスを示す複合面構造 (狩野・村田(1998)に加筆)

凡例  
 → Y面  
 → P面

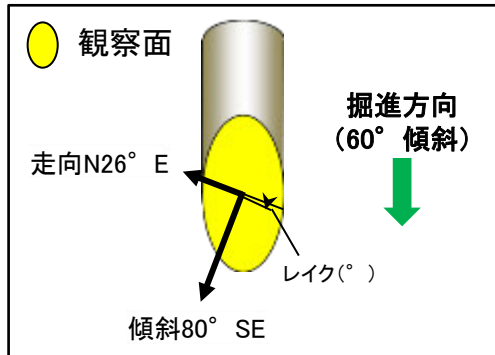
拡大範囲写真

詳細観察範囲写真



# K-18の運動方向調査結果 —H-0.2-60孔(条線観察, 上盤側)—

- 主せん断面における条線観察の結果, 上盤側の観察面で $4^\circ$  R,  $129^\circ$  Rの条線が認められ, 下盤側換算すると $176^\circ$  R,  $51^\circ$  Rとなる。
- 観察面において, 礫まわりの粘土の非対称構造などの変位センスを推定できるような構造は認められない。



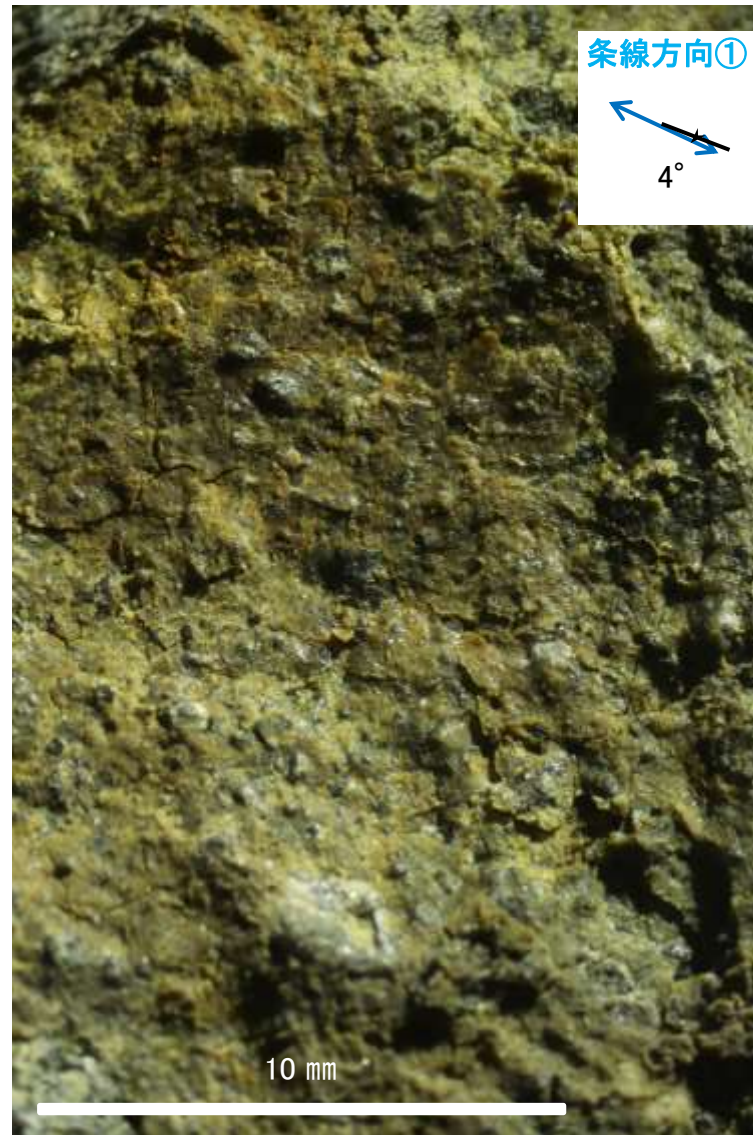
概念図

※走向は真北で示す。

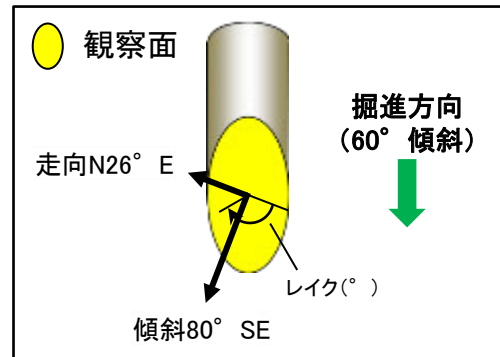
## 拡大写真範囲A



観察面写真



観察面拡大写真A



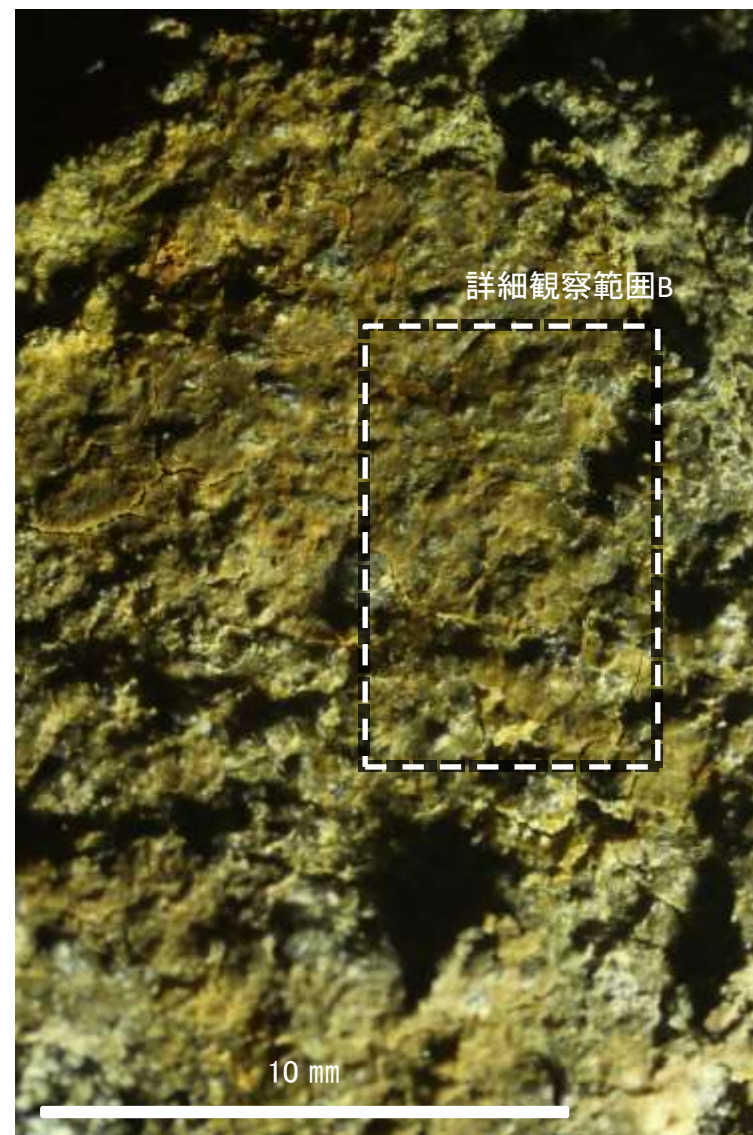
概念図

※走向は真北で示す。

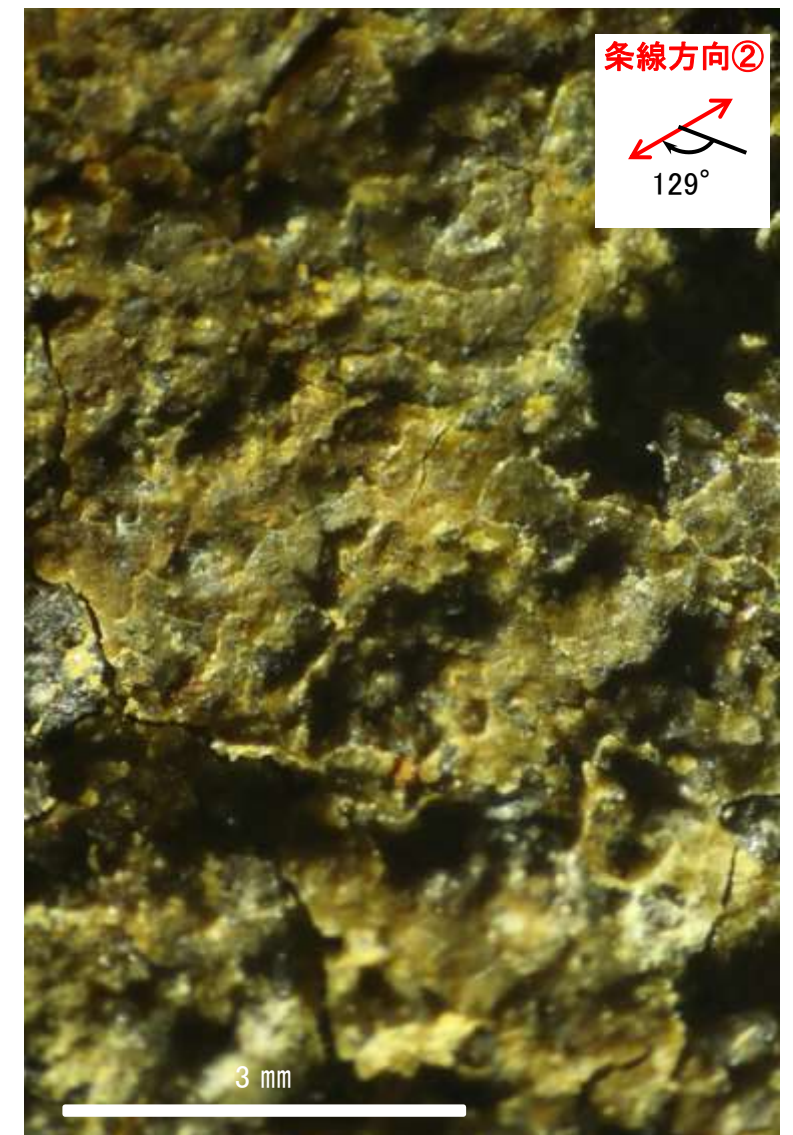
## 拡大写真範囲B



観察面写真



観察面拡大写真B



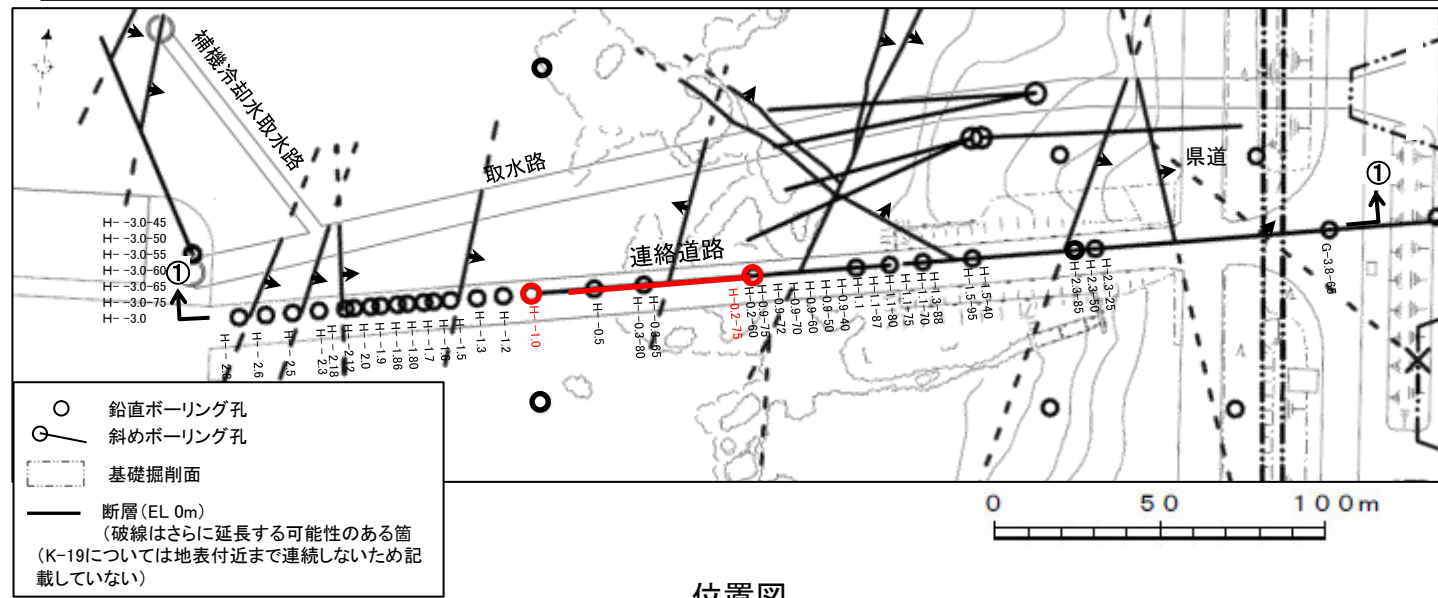
詳細観察写真B

---

## (24) K-19の運動方向調査結果

# K-19の運動方向調査結果 一概要一

○コア観察, CT画像観察, 条線観察, 薄片観察結果から, 固結した破碎部では正断層の変位センスが認められ, 粘土状破碎部では右横ずれを伴う逆断層の変位センスが認められる。観察結果を次頁以降に示す。



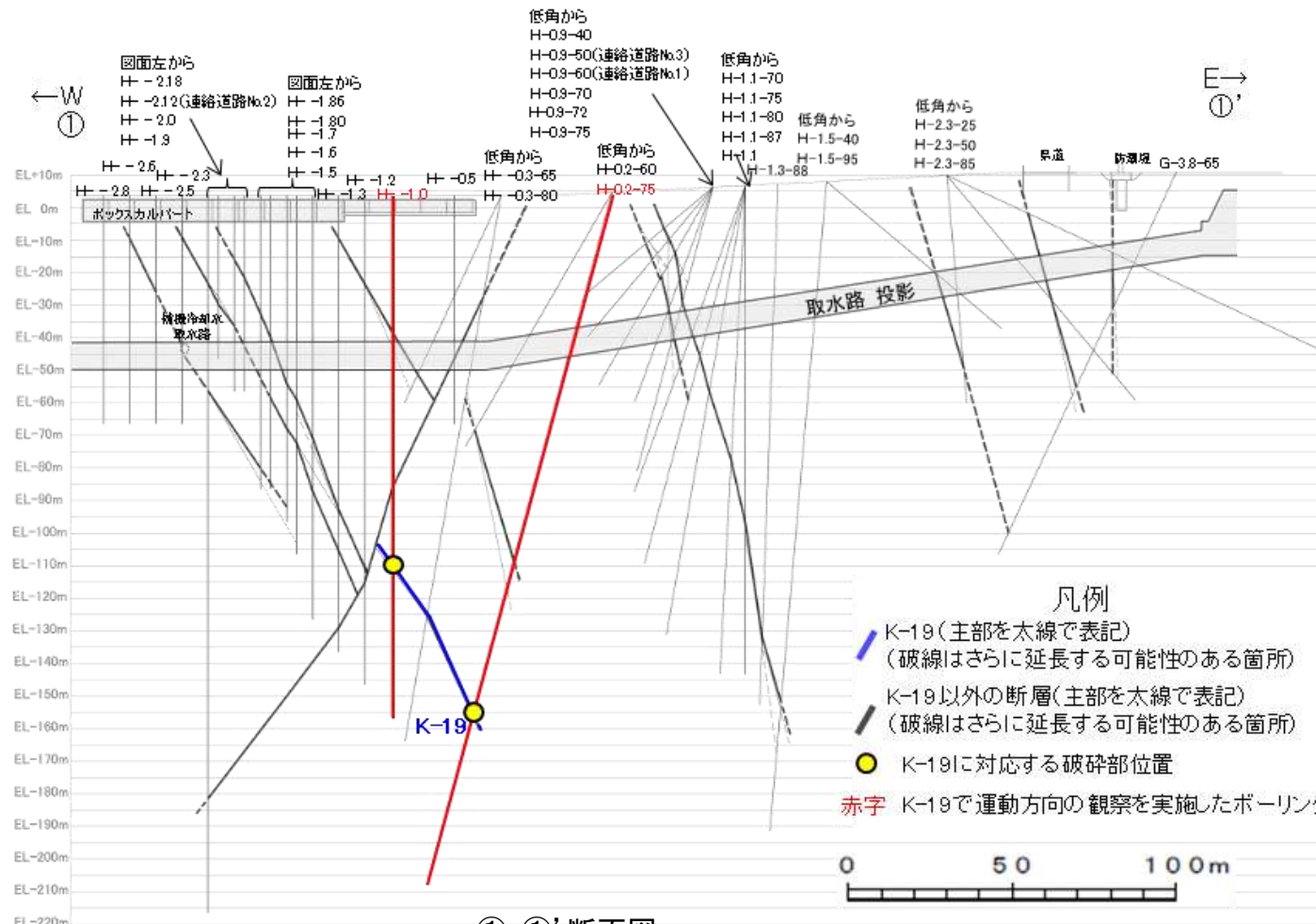
位置図

観察結果 一覧表

試料名	走向/傾斜 (走向は真北)	固結した破碎部	粘土状破碎部(角礫状破碎部)		
		変位センス (コア観察, 薄片観察)	条線の レイク*1	変位センス (条線観察)	変位センス (薄片観察)
H-1.0孔 [深度113.16m]	NS/57° E	正断層	75° R 35° R	(不明) (不明)	
H-0.2-75孔 [深度165.78m]	N13° W/78° NE	(不明)	65° R	(不明)	右横ずれ 逆断層

\*1: 上盤側で確認したレイクは下盤側に換算して示す。

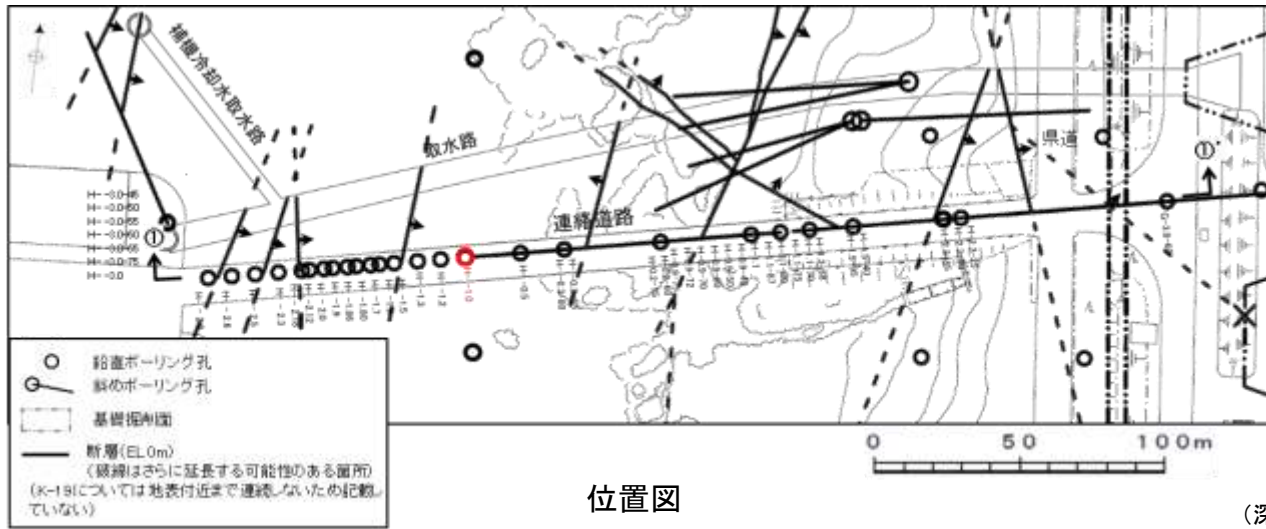
赤字 K-19で運動方向の観察を実施したボーリング孔  
 矢印(➦)の向きは断層の傾斜方向を示す



①-①' 断面図

# K-19の運動方向調査結果 -H- -1.0孔-

○H- -1.0孔の深度113.05~113.16mにおいて、K-19に対応する破砕部が認められる。  
○この破砕部を対象として、コア観察により固結した破砕部の運動方向を確認した。



— 破砕部  
②-2 角礫状破砕部  
③-1 固結した粘土・砂状破砕部

(深度)

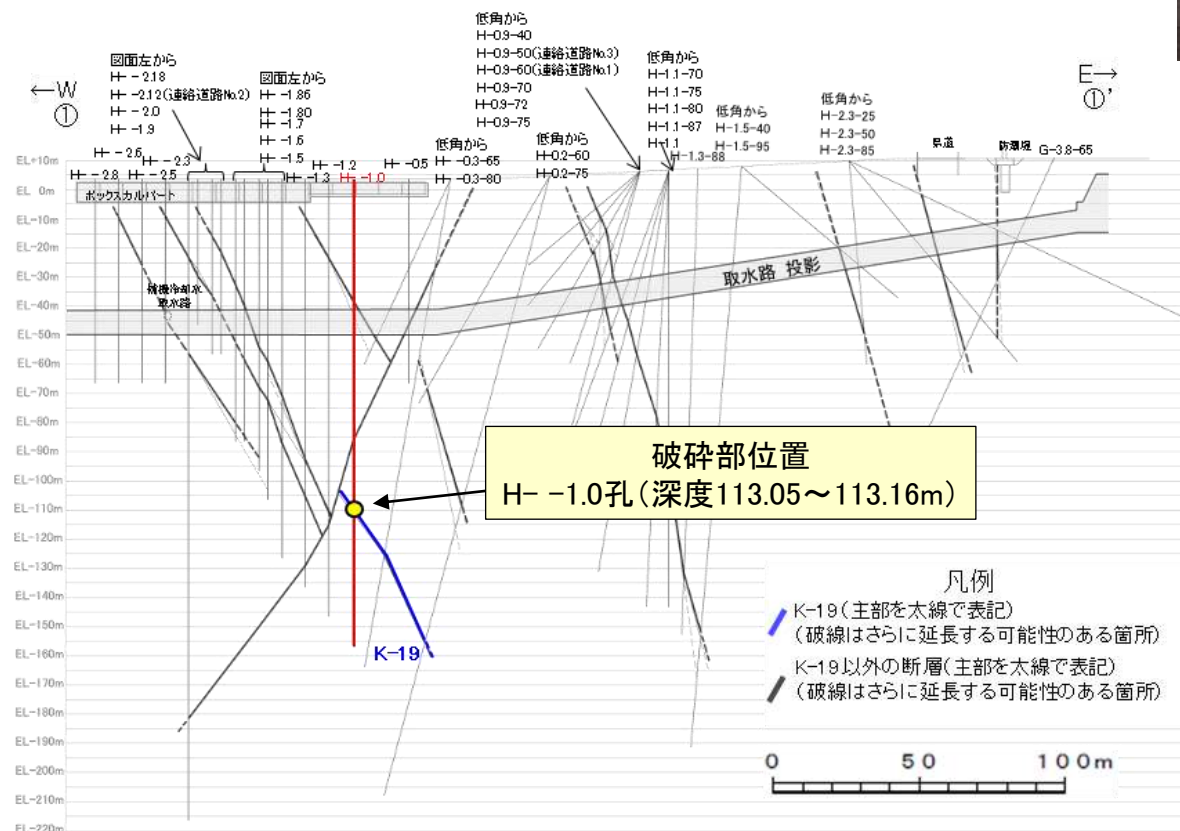
112.8 112.9 113.0 113.1 113.2 113.3 113.4 (m)



コア写真(H- -1.0孔, 破砕部区分を加筆)

コア観察結果

深度113.05~113.16m:  
傾斜角60°の厚さ3.5~4.5cmの破砕部。厚さ0.7~2.1cmの暗赤褐色の角礫状破砕部及び厚さ1.4~3.8cmの固結した破砕部からなる。



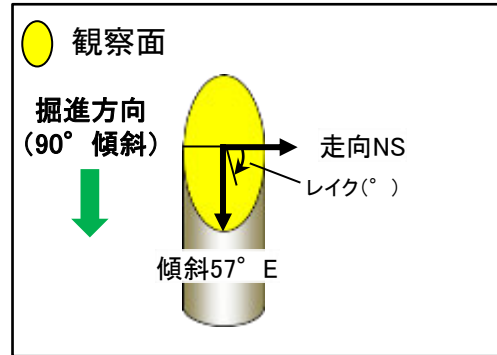
# K-19の運動方向調査結果 —H- -1.0孔(コア観察)—

- 深度113.15m付近に固結した破碎部のせん断面が認められ、その上盤側に岩片や鉱物片の配列が認められる。
- 固結した破碎部のせん断面をY面とした時に、岩片や鉱物片の配列からP面を読み取ることができ、見かけ上盤側下がりの変位が推定される。
- 断層の走向傾斜がNS/57° Eであること、ボーリングの掘進方位及び掘進傾斜から考えると、固結した破碎部の運動方向は正断層センスである。



# K-19の運動方向調査結果 —H— -1.0孔(条線観察, 下盤側) —

- 主せん断面における条線観察の結果, 下盤側の観察面で $75^\circ$  R,  $35^\circ$  Rの条線が認められる。
- 観察面において, 礫まわりの粘土の非対称構造などの変位センスを推定できるような構造は認められない。

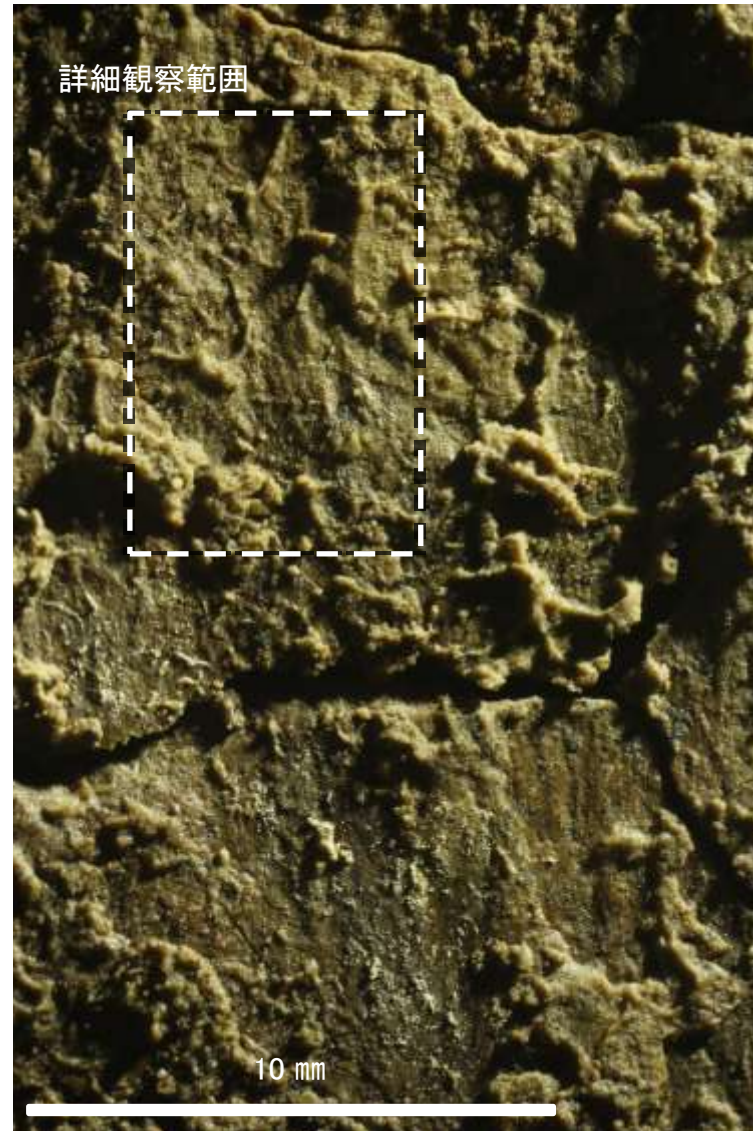


概念図

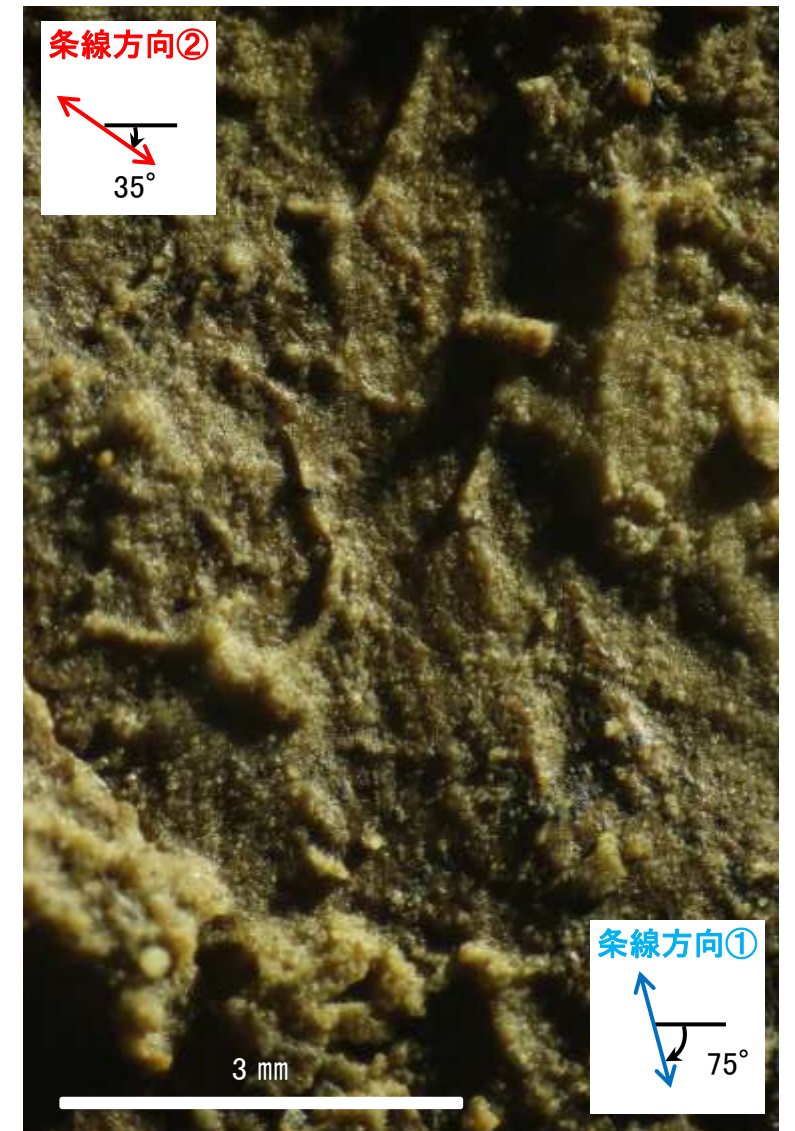
※走向は真北で示す。



観察面写真



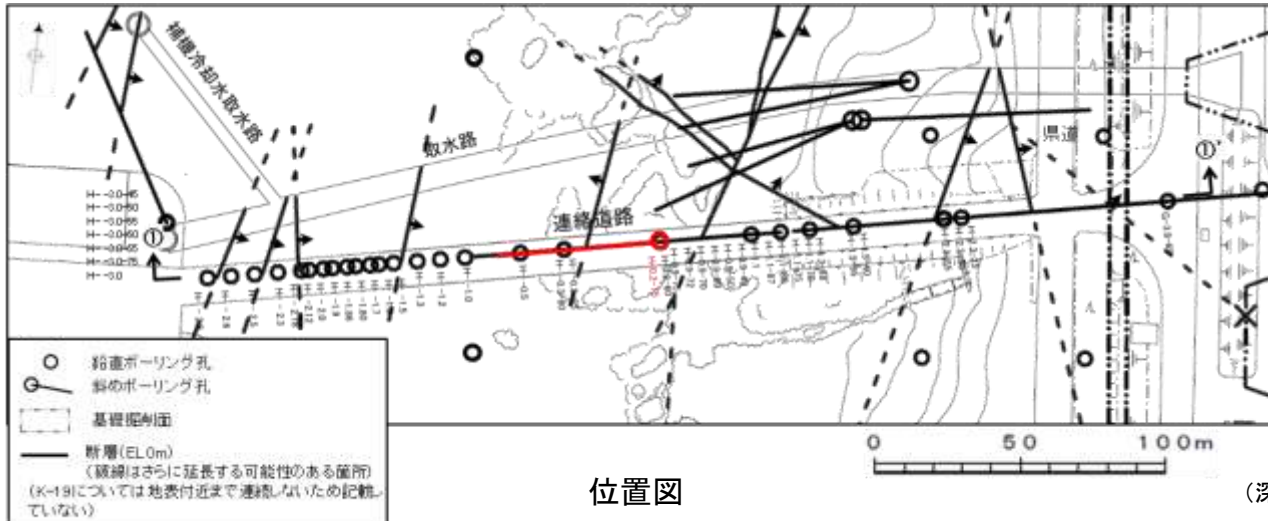
観察面拡大写真



詳細観察写真

# K-19の運動方向調査結果 —H-0.2-75孔—

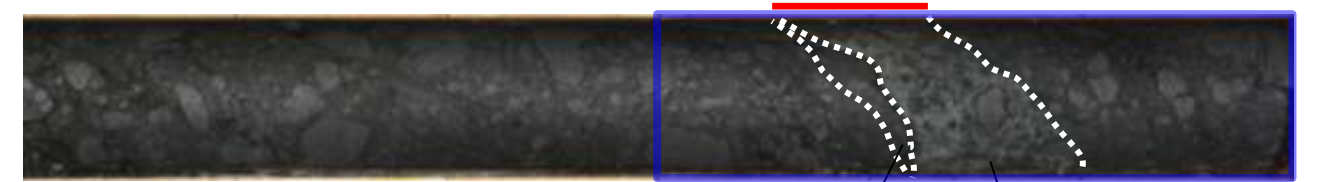
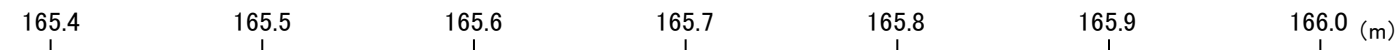
○H-0.2-75孔の深度165.77~165.87mにおいて、K-19に対応する破砕部が認められる。  
○この破砕部を対象に、コア観察及びCT画像観察により抽出した主せん断面において、条線観察、薄片観察を実施し、粘土状破砕部の運動方向を確認した。



位置図

(深度)

- 破砕部
- ① 粘土状破砕部
- ③-1 固結した粘土・砂状破砕部

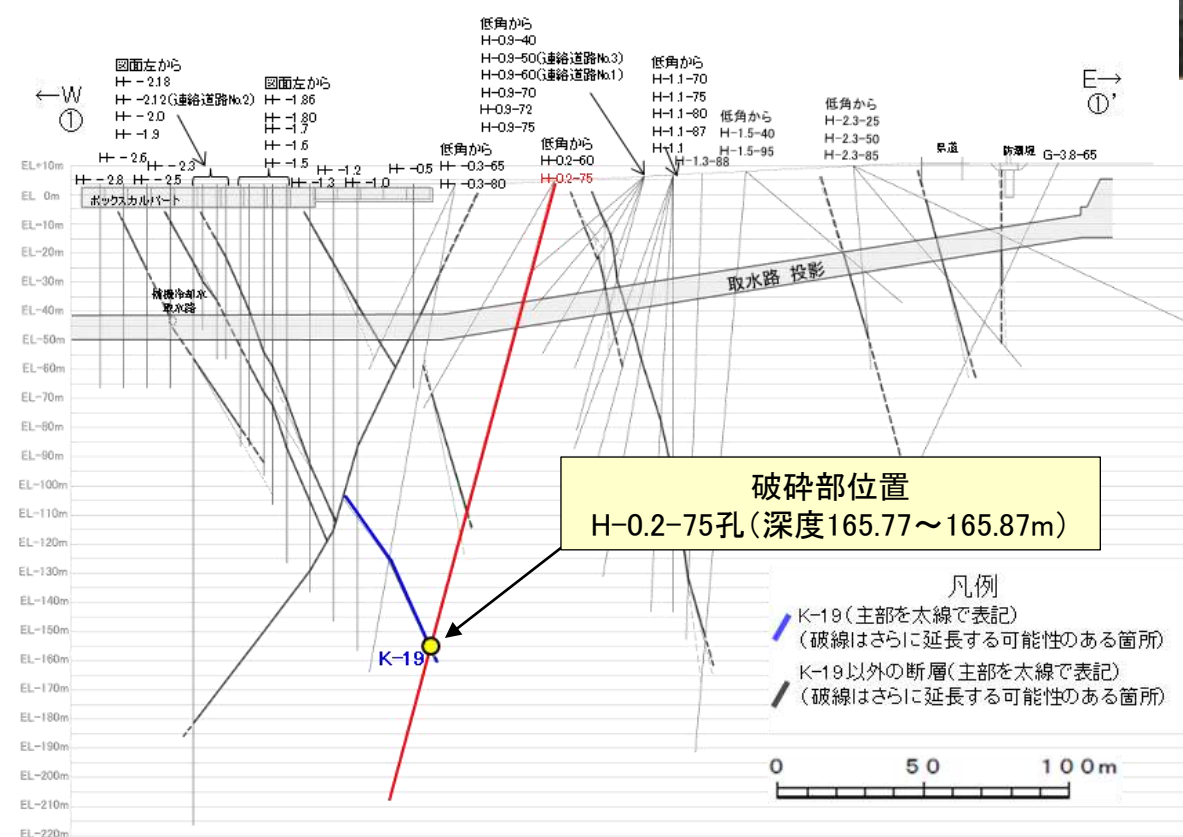


次頁拡大範囲

コア写真(H-0.2-75孔, 破砕部区分を加筆)

コア観察結果

深度165.77~165.87m:  
見かけの傾斜角30~55°の厚さ4.1~9.0cmの破砕部。厚さ0.1~2.6cmの固結した破砕部及び厚さ4.0~6.6cmの緑灰色の粘土状破砕部からなる。



①-①'断面図



# K-19の運動方向調査結果 —H-0.2-75孔(コア観察, CT画像観察)—

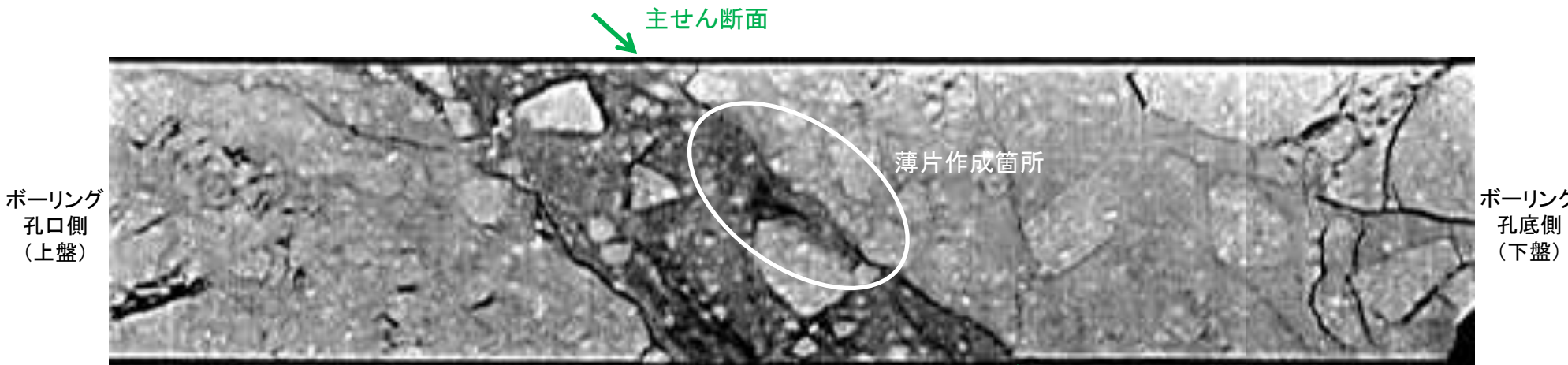
- コア観察, CT画像観察結果より, 固結した粘土・砂状破碎部と母岩の境界である深度165.80m付近に, 厚さ4.0~6.6cmの粘土状破碎部が認められる。
- 粘土状破碎部を伴う比較的直線性・連続性がよい面を, 主せん断面として抽出した。
- 主せん断面において, 条線観察及び薄片観察を実施した。

(深度) 165.7 165.8 165.9 166.0 (m)

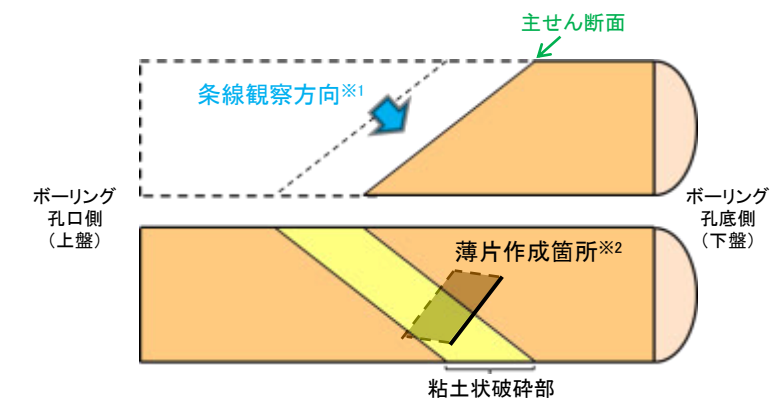


— 粘土状破碎部  
— 固結した粘土・砂状破碎部

コア拡大写真(H-0.2-75孔)



CT画像(H-0.2-75孔)

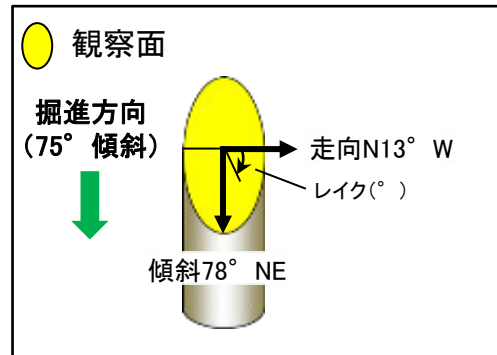


半割コア断面模式図  
上: 条線観察側  
下: 薄片作成側

- ※1: 主せん断面を上盤側から下盤側方向に観察
- ※2: 反対側の半割コアで確認した条線方向で薄片を作成

# K-19の運動方向調査結果 —H-0.2-75孔(条線観察, 下盤側)—

- 主せん断面における条線観察の結果, 下盤側の観察面で $65^\circ$  Rの条線が認められる。
- 観察面において, 礫まわりの粘土の非対称構造などの変位センスを推定できるような構造は認められない。

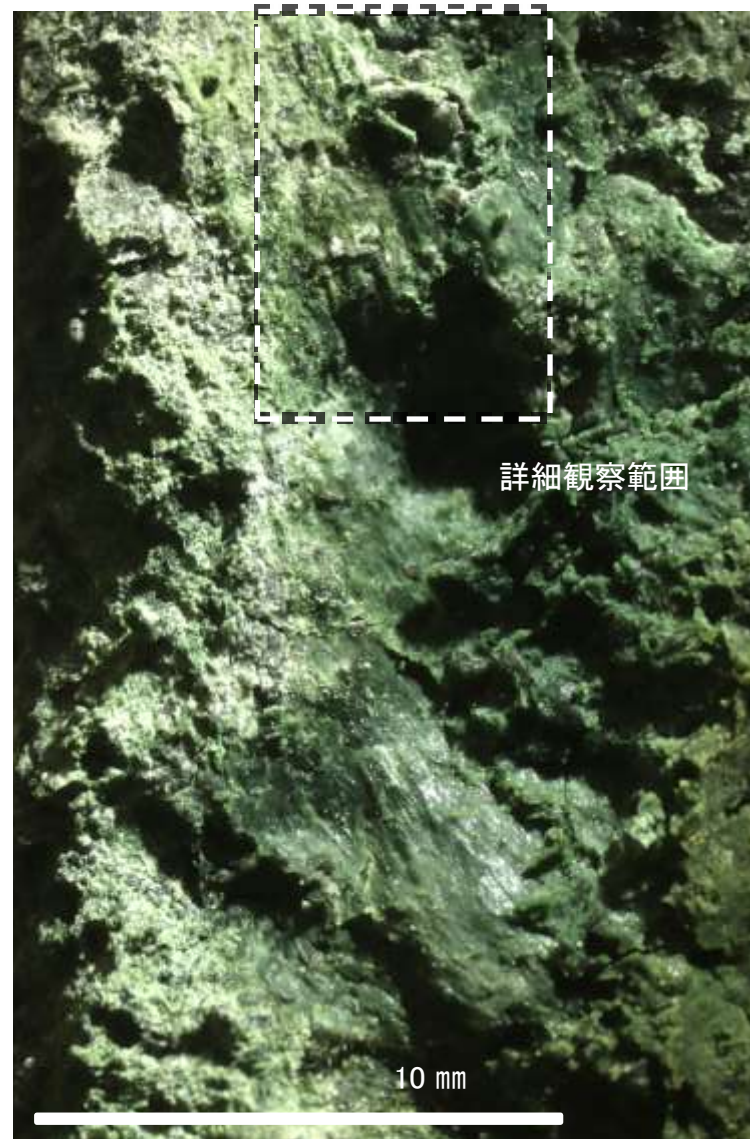


概念図

※走向は真北で示す。



観察面写真



観察面拡大写真



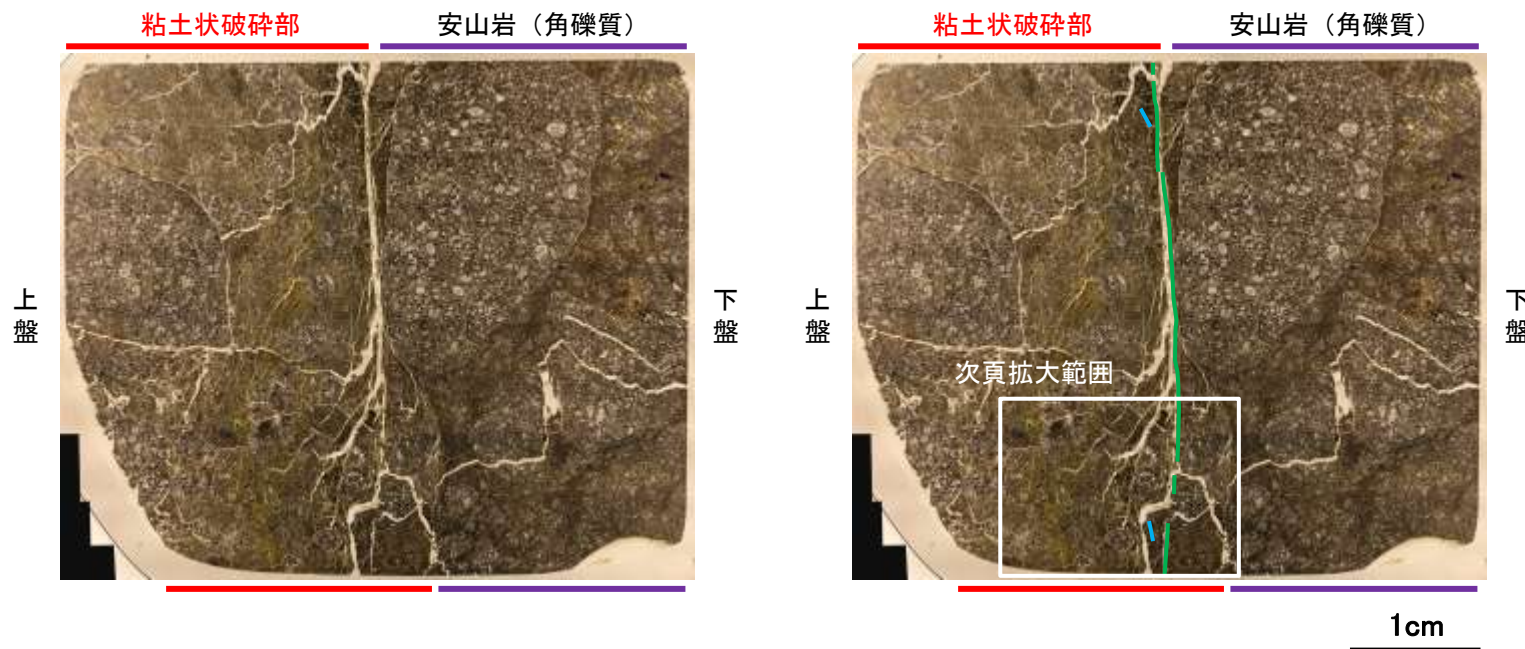
詳細観察写真

# K-19の運動方向調査結果 —H-0.2-75孔(薄片観察)—

- 主せん断面において65° Rの条線方向で作成した薄片観察の結果, 上盤側から粘土状破碎部, 安山岩(角礫質)※に分帯される。
- 粘土状破碎部中及び粘土状破碎部と安山岩(角礫質)の境界にY面が認められる。このY面は一部で密着し, 不明瞭となっており, 連続性に乏しい。
- その他, 薄片内にY面に相当する構造は認められない。

※分帯名はコア観察での破碎部区分に対応

(単ニコル)

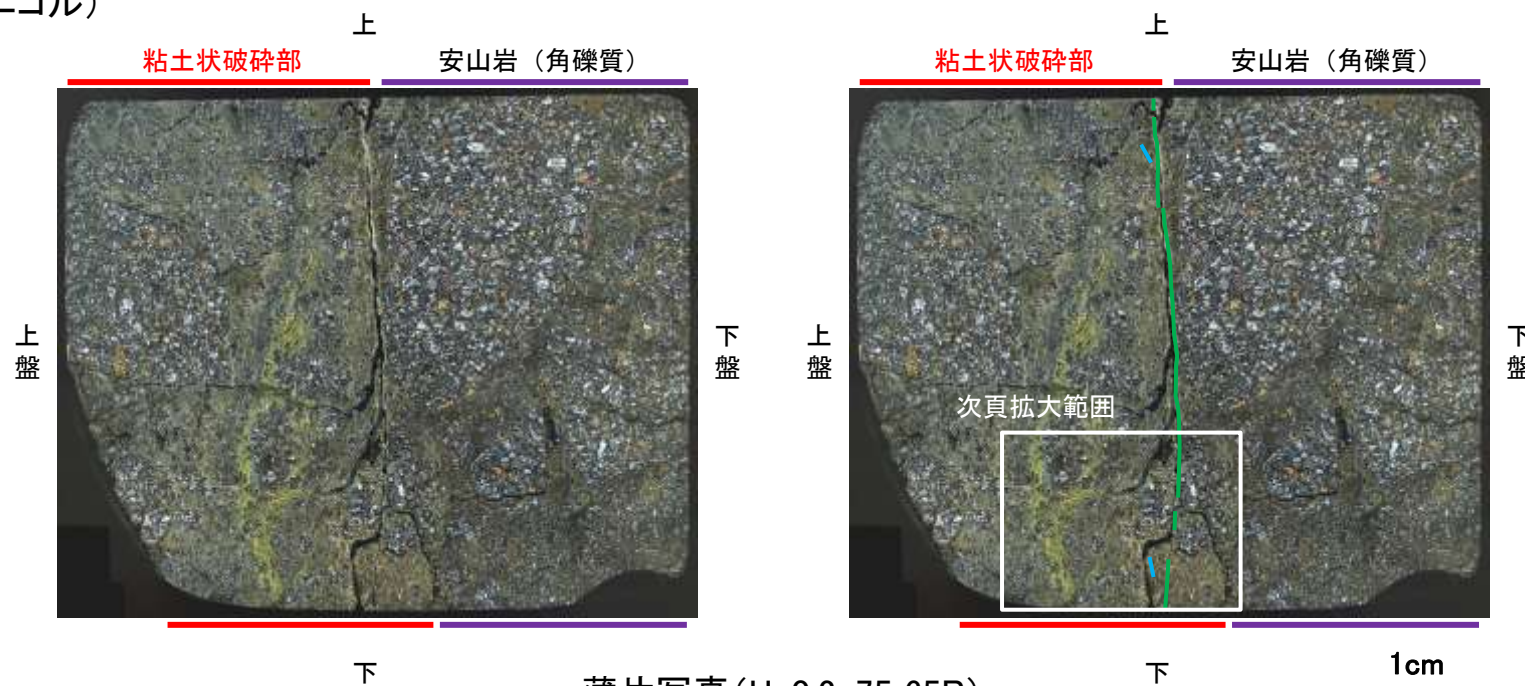


薄片観察結果

**粘土状破碎部:**  
単ニコルで褐灰色, 直交ニコルで黄~灰色の干渉色を呈する。径8mm以下の岩片や鉱物片が細粒な基質中に含まれており, 径19mmの岩片も含まれる。岩片, 鉱物片は垂角~垂円形である。基質中や岩片の縁辺部に粘土鉱物が生成されている。

**安山岩(角礫質):**  
単ニコルで褐灰~暗褐灰色, 直交ニコルで灰~暗灰色の干渉色を呈する。径15mm以下の岩片や鉱物片が細粒な基質中に含まれており, 径27mmの岩片も含まれる。岩片, 鉱物片は角~亜角形である。基質中や割れ目, 岩片の縁辺部には粘土鉱物が生成されている。

(直交ニコル)



見かけ上盤側上がり



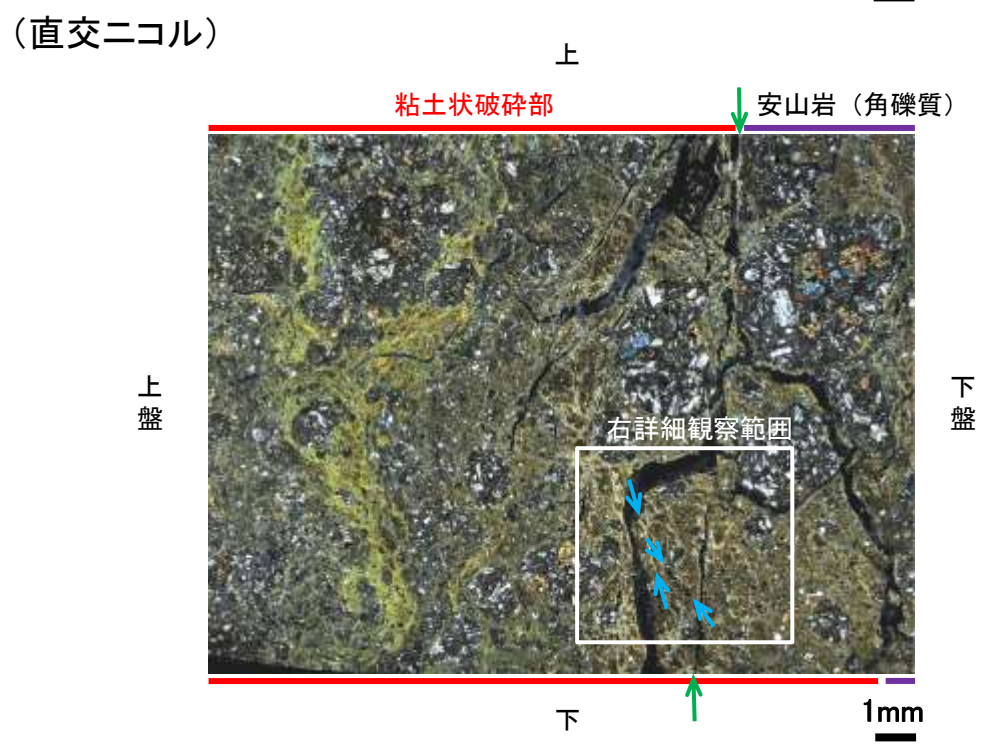
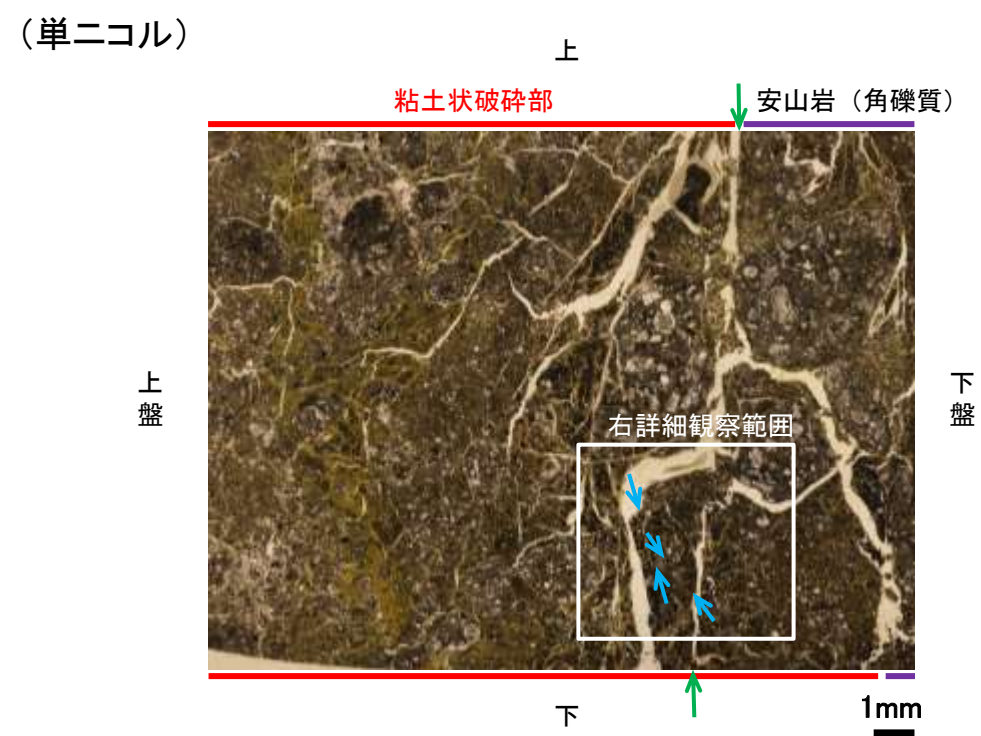
凡例  
— Y面  
— P面

せん断センスを示す複合面構造  
(狩野・村田(1998)に加筆)

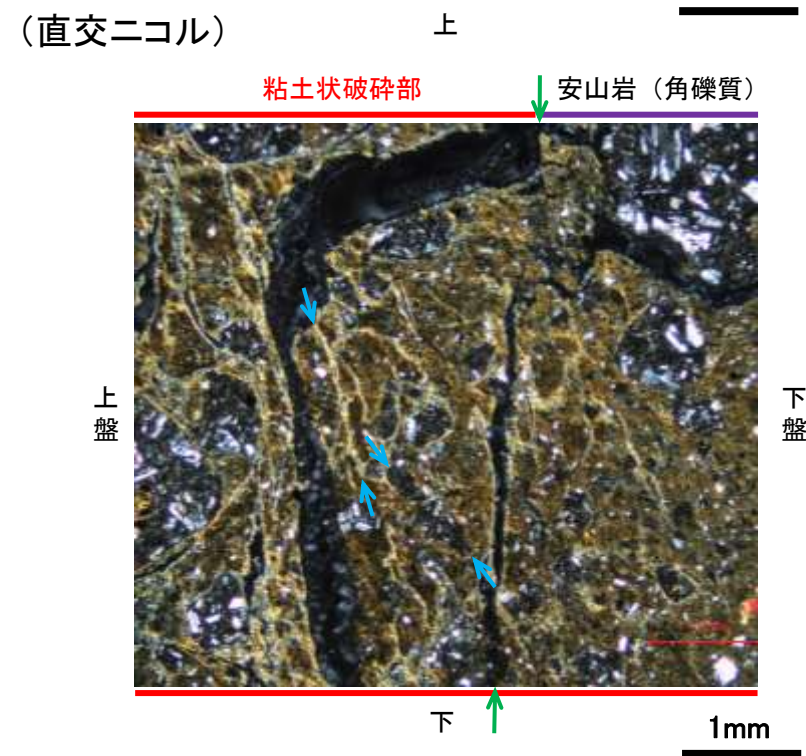
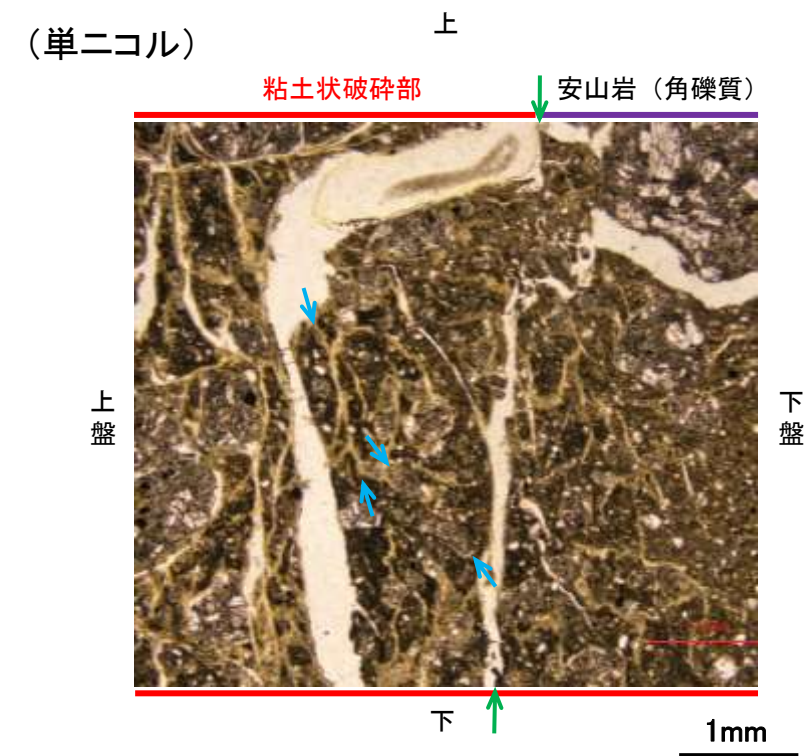
薄片写真(H-0.2-75\_65R)  
(右は構造等を加筆)

# K-19の運動方向調査結果 —H-0.2-75孔(薄片観察, 詳細観察)—

○粘土状破碎部中の岩片や鉱物片の多くに定向性は認められない。ただし、Y面の直近の一部において認められる岩片や粘土鉱物の微弱な定向配列をP面とすると、見かけ上盤側上がりの変位が推定される。  
○断層の走向傾斜がN13° W/78° NE, 条線レイクが65° Rであることから、粘土状破碎部の運動方向は右横ずれを伴う逆断層センスである。

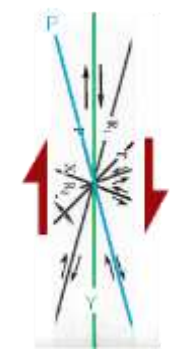


拡大範囲写真



詳細観察範囲写真

見かけ上盤側上がり



せん断センスを示す複合面構造  
(狩野・村田(1998)に加筆)

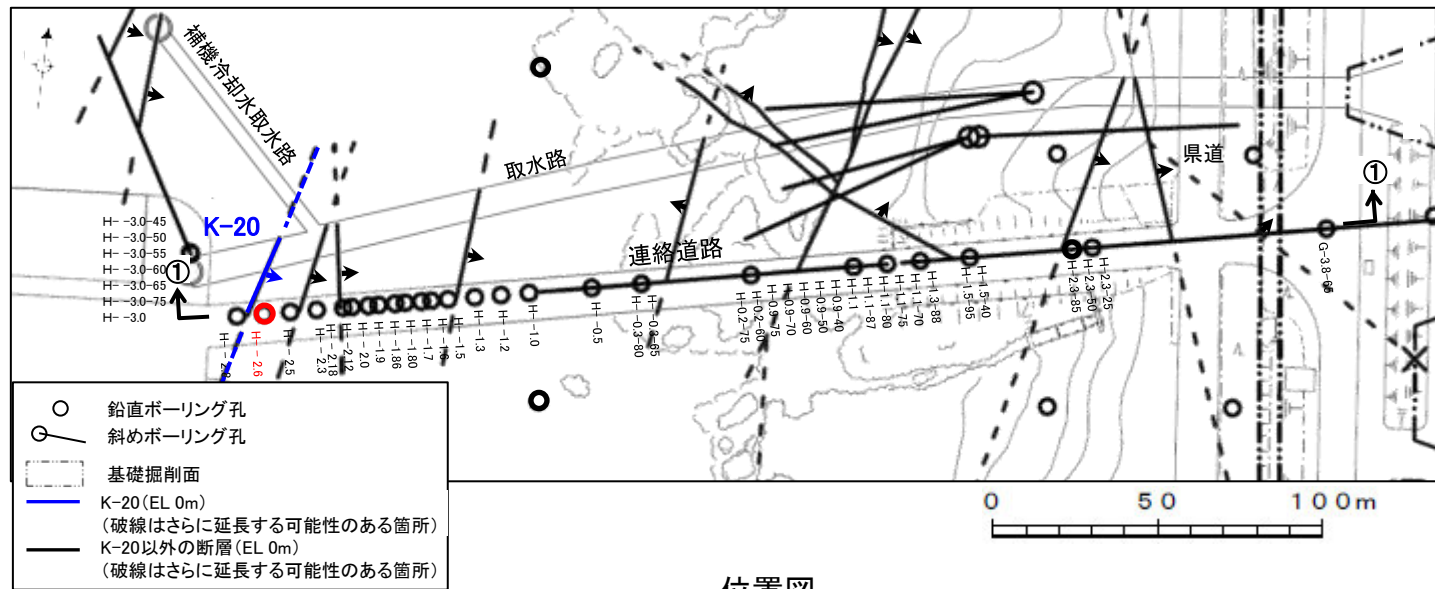
- 凡例
- ← Y面
  - ← P面

---

(25) K-20の運動方向調査結果

# K-20の運動方向調査結果 一概要一

○コア観察, CT画像観察, 条線観察, 薄片観察結果から, 固結した破碎部では正断層の変位センスが認められ, 粘土状破碎部では左横ずれを伴う逆断層の変位センスが認められる。観察結果を次頁以降に示す。

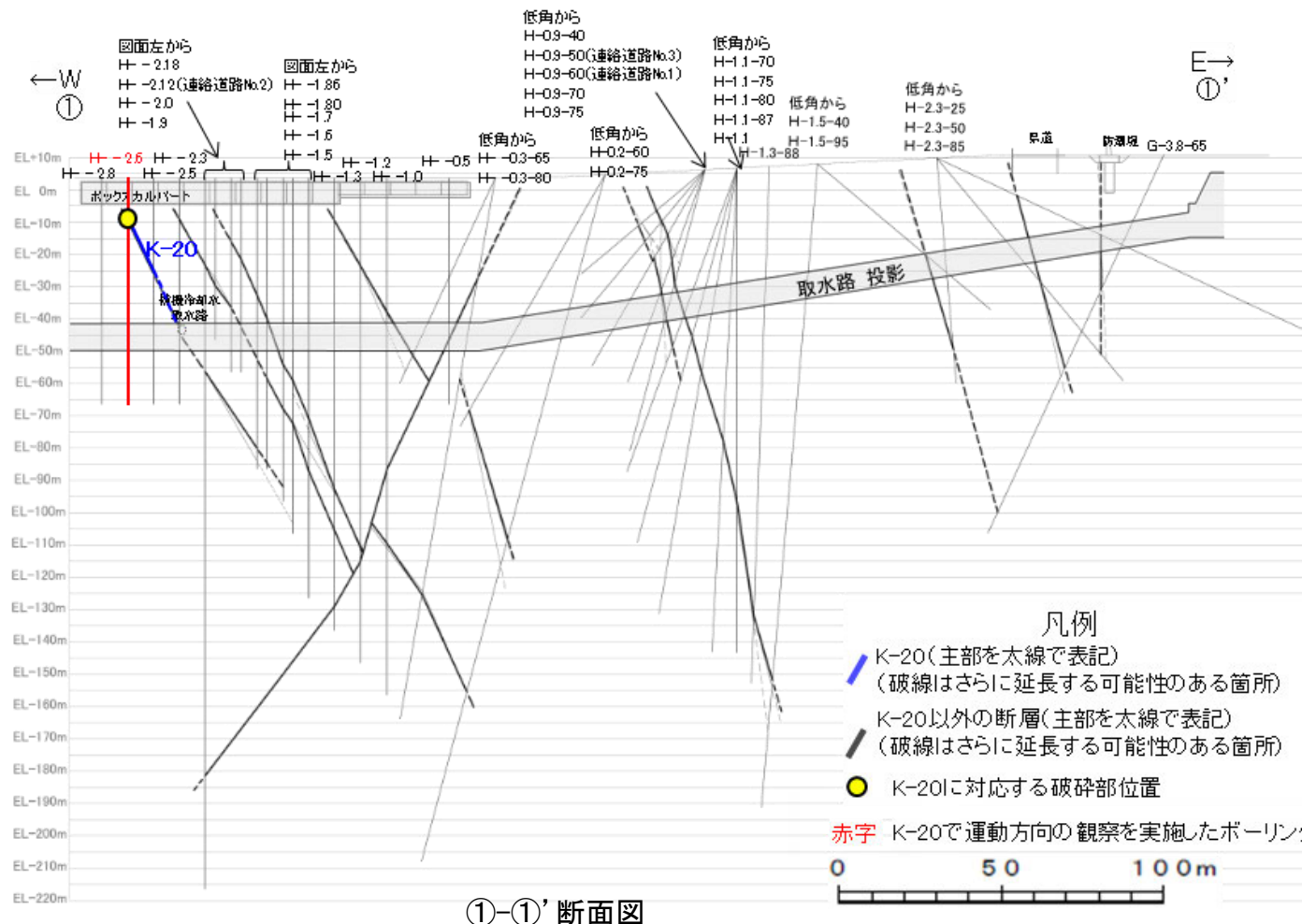


観察結果 一覧表

試料名	走向/傾斜 (走向は真北)	固結した破碎部	粘土状破碎部		
		変位センス (コア観察, 薄片観察)	条線の レイク*1	変位センス (条線観察)	変位センス (薄片観察)
H-2.6孔 [深度13.09m]	N3° E/65° SE	正断層	105° R	(不明)	左横ずれ 逆断層
			150° R	(不明)	

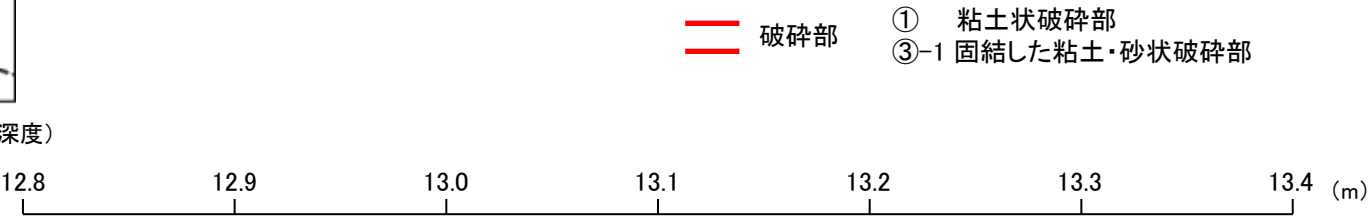
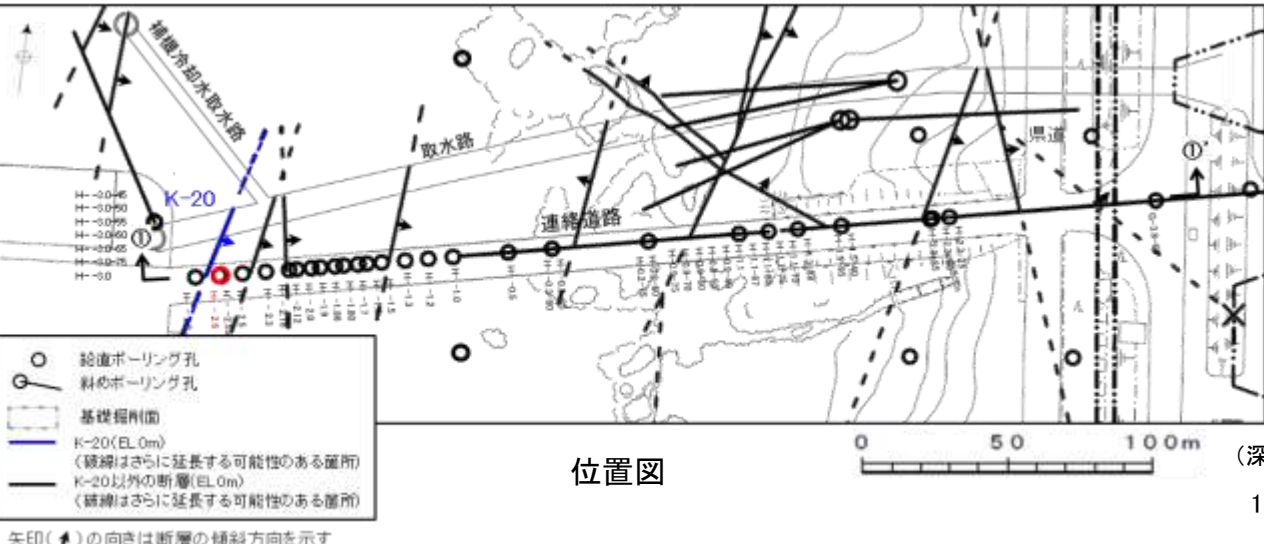
\*1: 上盤側で確認したレイクは下盤側に換算して示す。

赤字 K-20で運動方向の観察を実施したボーリング孔  
 矢印(➡)の向きは断層の傾斜方向を示す



# K-20の運動方向調査結果 -H- -2.6孔-

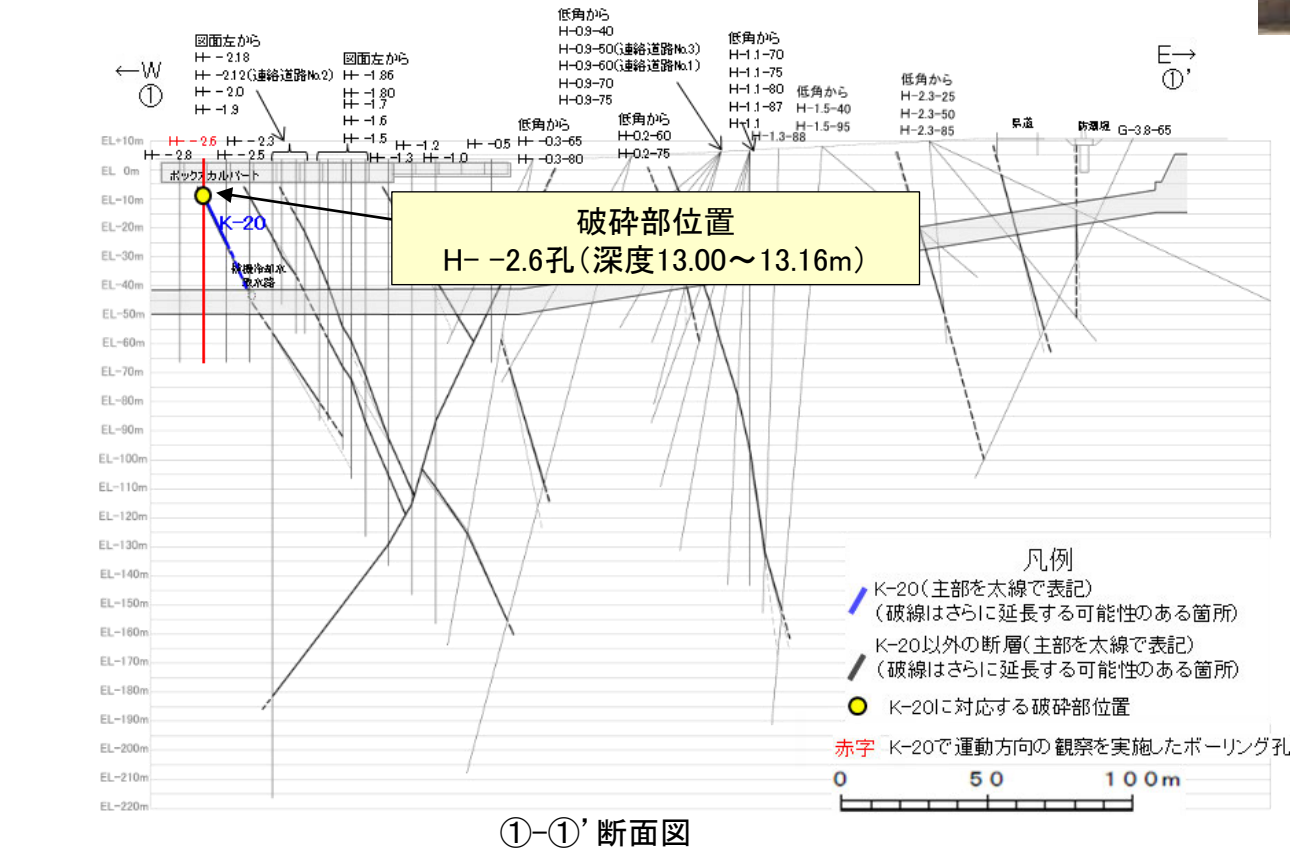
- H- -2.6孔の深度13.00~13.16mにおいて、K-20に対応する破砕部が認められる。
- この破砕部を対象として、コア観察により固結した破砕部の運動方向を確認した。
- 次に、コア観察及びCT画像観察により抽出した主せん断面において、条線観察、薄片観察を実施し、固結した破砕部の運動方向及び粘土状破砕部の運動方向を確認した。



コア写真(H- -2.6孔, 破砕部区分を加筆)

コア観察結果

深度13.00~13.16m:  
傾斜角55~80°の厚さ5.3~6.1cmの破砕部。厚さ0.1~0.3cmの黄灰色の粘土状破砕部及び厚さ5.0~6.0cmの固結した破砕部からなる。



# K-20の運動方向調査結果 —H- -2.6孔(コア観察)—

- 深度13.10m付近に固結した破碎部のせん断面が認められ、その上盤側に岩片の配列が認められる。
- 固結した破碎部のせん断面をY面とした時に、岩片の配列からP面を読み取ることができ、見かけ上盤側下がりの変位が推定される。
- 断層の走向傾斜がN3° E/65° SEであること、ボーリングの掘進方位及び掘進傾斜から考えると、固結した破碎部の運動方向は正断層センスである。

(深度) 13.0 13.1 13.2 13.3 (m)

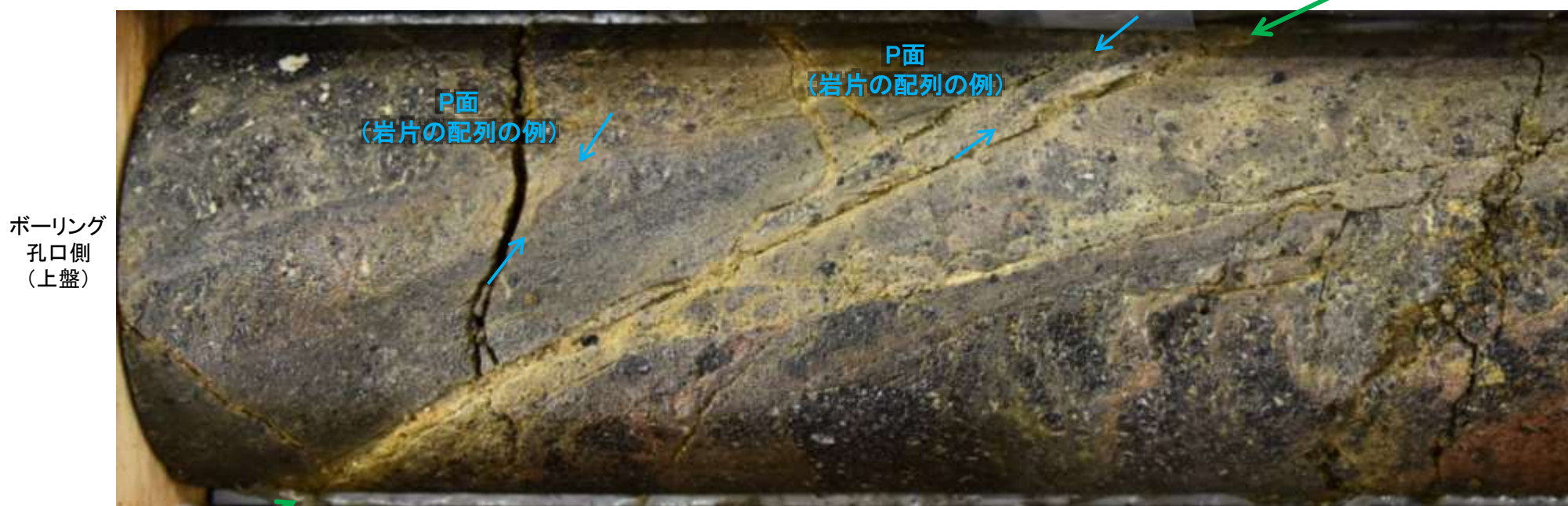


下拡大範囲

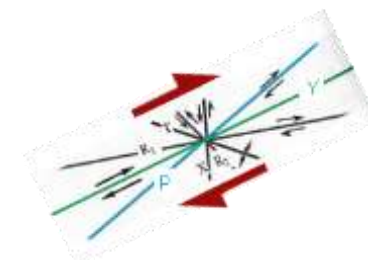
コア拡大写真(H- -2.6孔)

- 粘土状破碎部
- 固結した粘土・砂状破碎部

固結した破碎部のせん断面(=主せん断面)



見かけ上盤側下がり



せん断センスを示す複合面構造 (狩野・村田(1998)に加筆)

拡大範囲写真

1cm



# K-20の運動方向調査結果 —H- -2.6孔(コア観察, CT画像観察)—

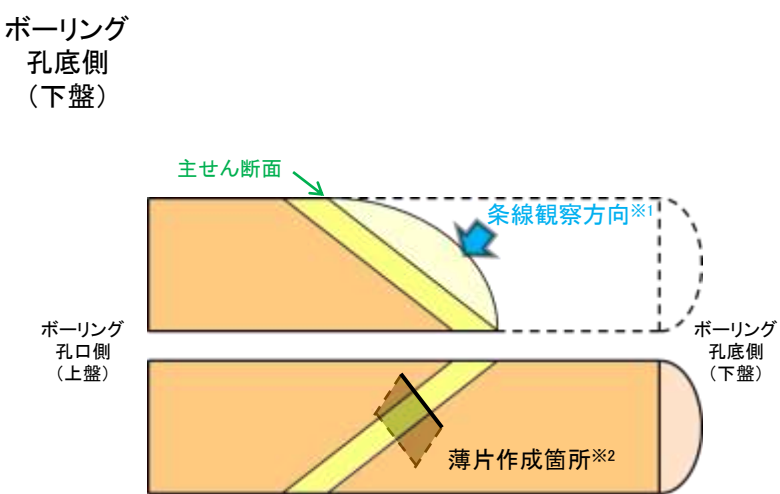
- コア観察, CT画像観察結果より, 固結した粘土・砂状破碎部に挟まれた深度13.10m付近に, 厚さ0.1~0.3cmの粘土状破碎部が認められる。
- 粘土状破碎部を伴う比較的直線性・連続性がよい面を, 主せん断面として抽出した。
- 主せん断面において, 条線観察及び薄片観察を実施した。

(深度) 13.0 13.1 13.2 13.3 (m)



コア拡大写真(H- -2.6孔)

— 粘土状破碎部  
— 固結した粘土・砂状破碎部



半割コア断面模式図  
上: 条線観察側  
下: 薄片作成側

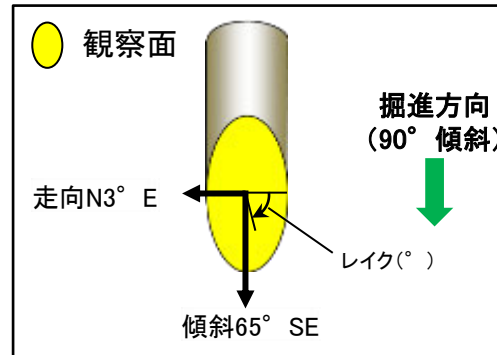
※1: 主せん断面を下盤側から上盤側方向に観察  
※2: 反対側の半割コアで確認した条線方向で薄片を作成



CT画像(H- -2.6孔)

# K-20の運動方向調査結果 —H- -2.6孔(条線観察, 上盤側) —

○主せん断面における条線観察の結果, 上盤側の観察面で $75^{\circ}$  R,  $30^{\circ}$  Rの条線が認められ, 下盤側換算すると $105^{\circ}$  R,  $150^{\circ}$  Rとなる。  
○観察面において, 礫まわりの粘土の非対称構造などの変位センスを推定できるような構造は認められない。

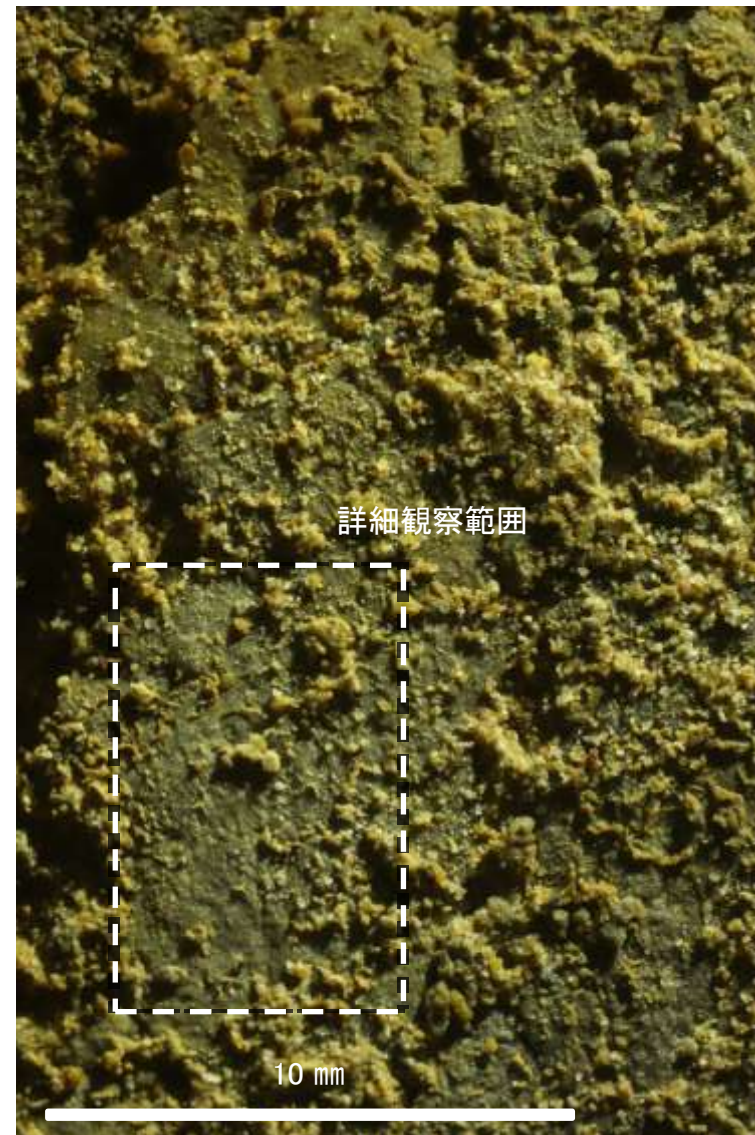


概念図

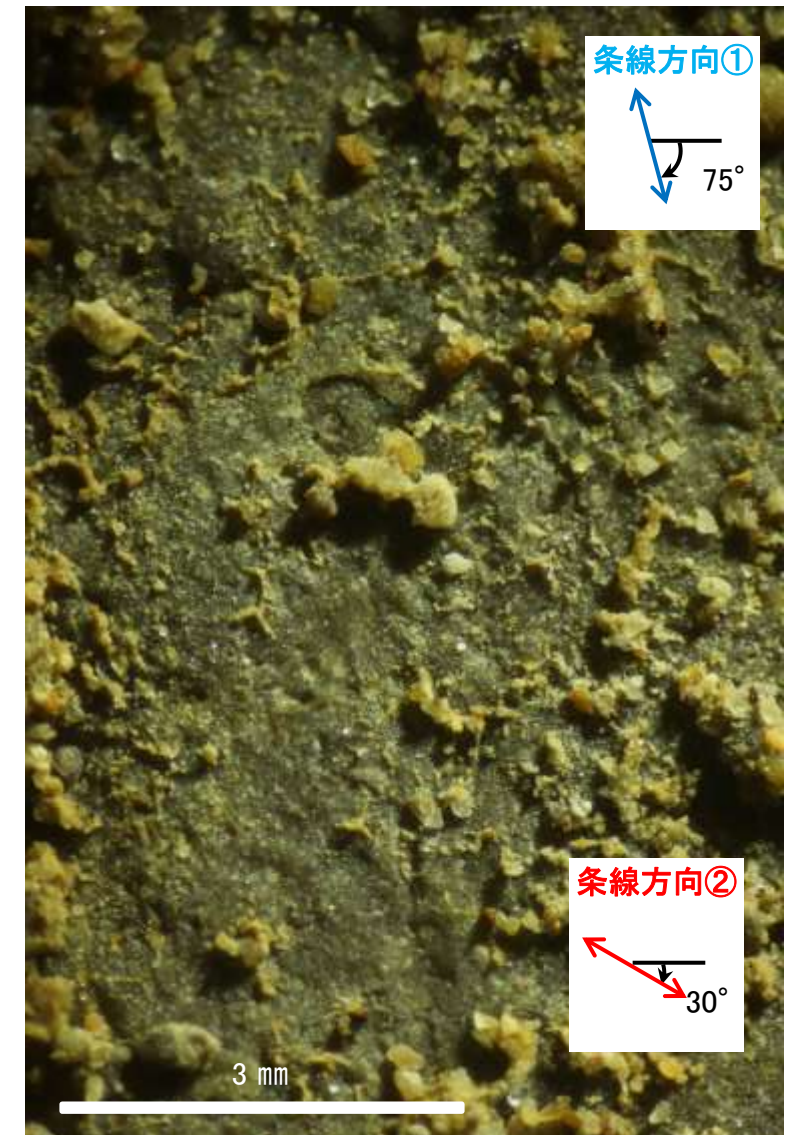
※走向は真北で示す。



観察面写真



観察面拡大写真

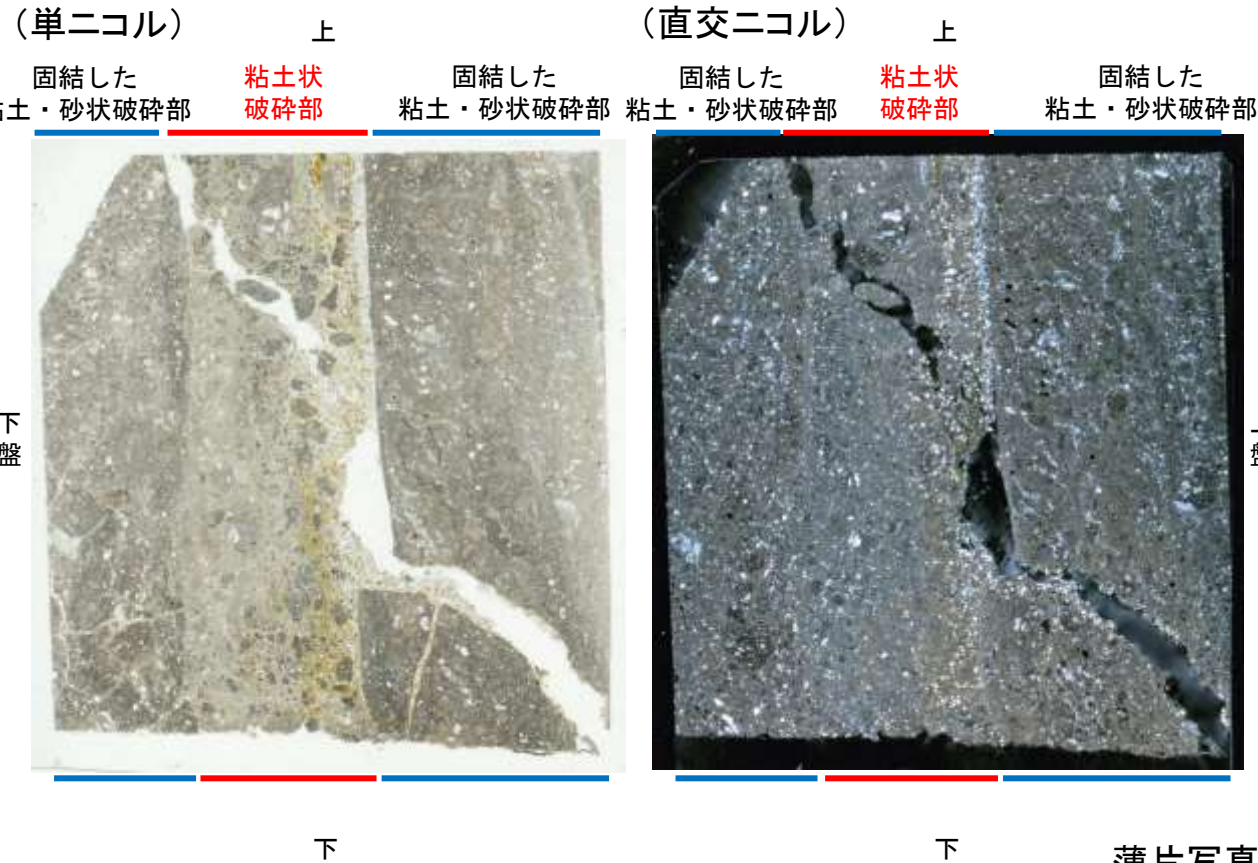


詳細観察写真

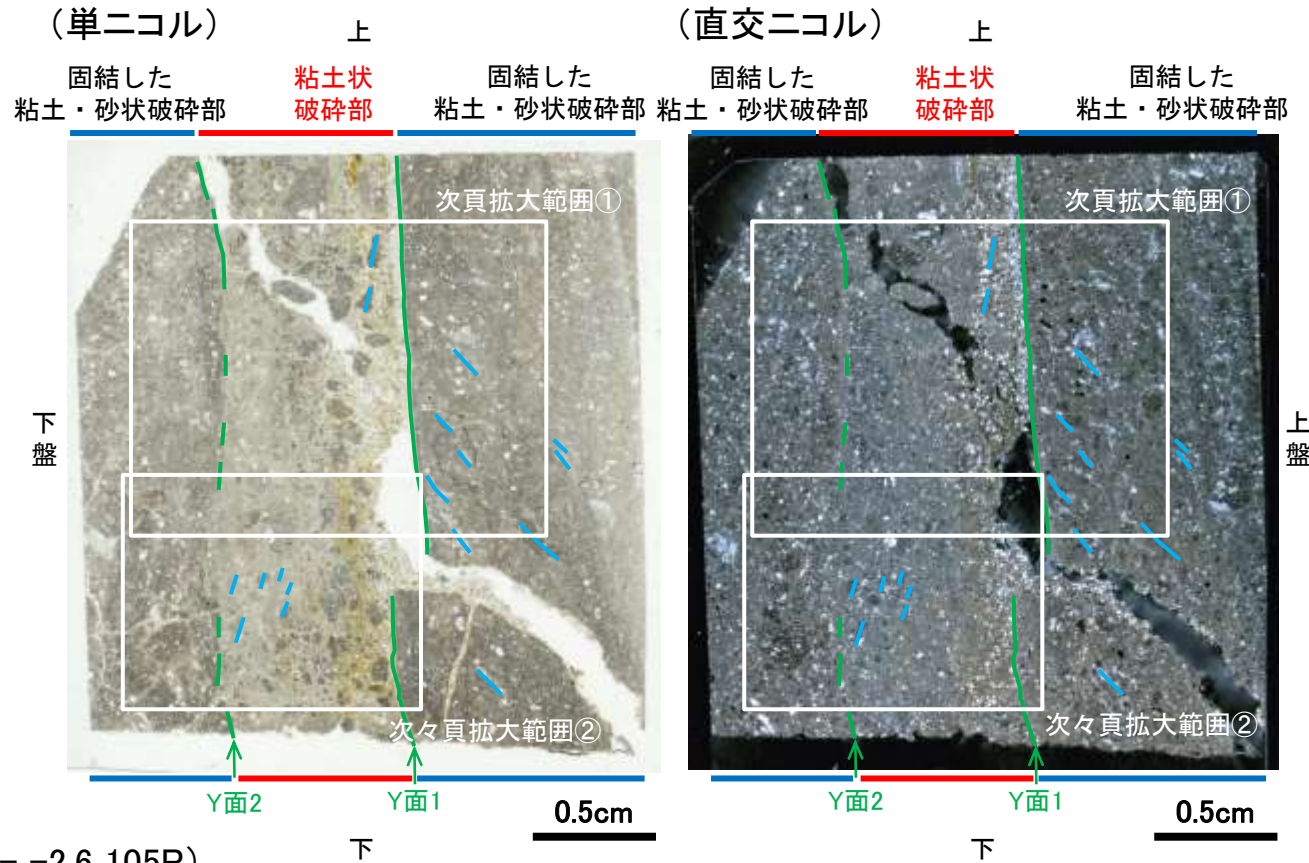
# K-20の運動方向調査結果 —H- -2.6孔(薄片観察)—

- 主せん断面において105° Rの条線方向で作成した薄片観察の結果, 下盤側から固結した粘土・砂状破碎部, 粘土状破碎部, 固結した粘土・砂状破碎部※に分帯される。
- 粘土状破碎部と固結した粘土・砂状破碎部(上盤側)の境界をなすY面1が認められる。このY面1は直線的に発達するが, 一部で他の構造に切られており, 連続性に乏しい。
- 固結した粘土・砂状破碎部(下盤側)と粘土状破碎部の境界をなすY面2が認められる。このY面2は湾曲し密着して不明瞭であり, 直線性, 連続性に乏しい。
- その他, 薄片内にY面に相当する構造は認められない。

※分帯名はコア観察での破碎部区分に対応

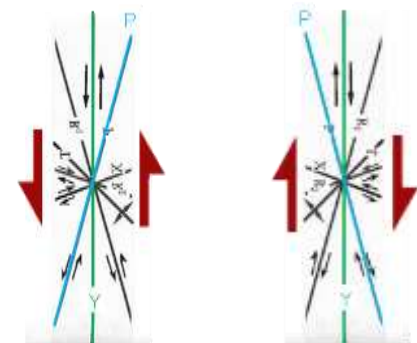


薄片写真(H- -2.6\_105R)  
(右は構造等を加筆)



凡例  
— Y面  
- - P面

見かけ上盤側上がり 見かけ上盤側下がり



せん断センスを示す複合面構造  
(狩野・村田(1998)に加筆)

## 薄片観察結果

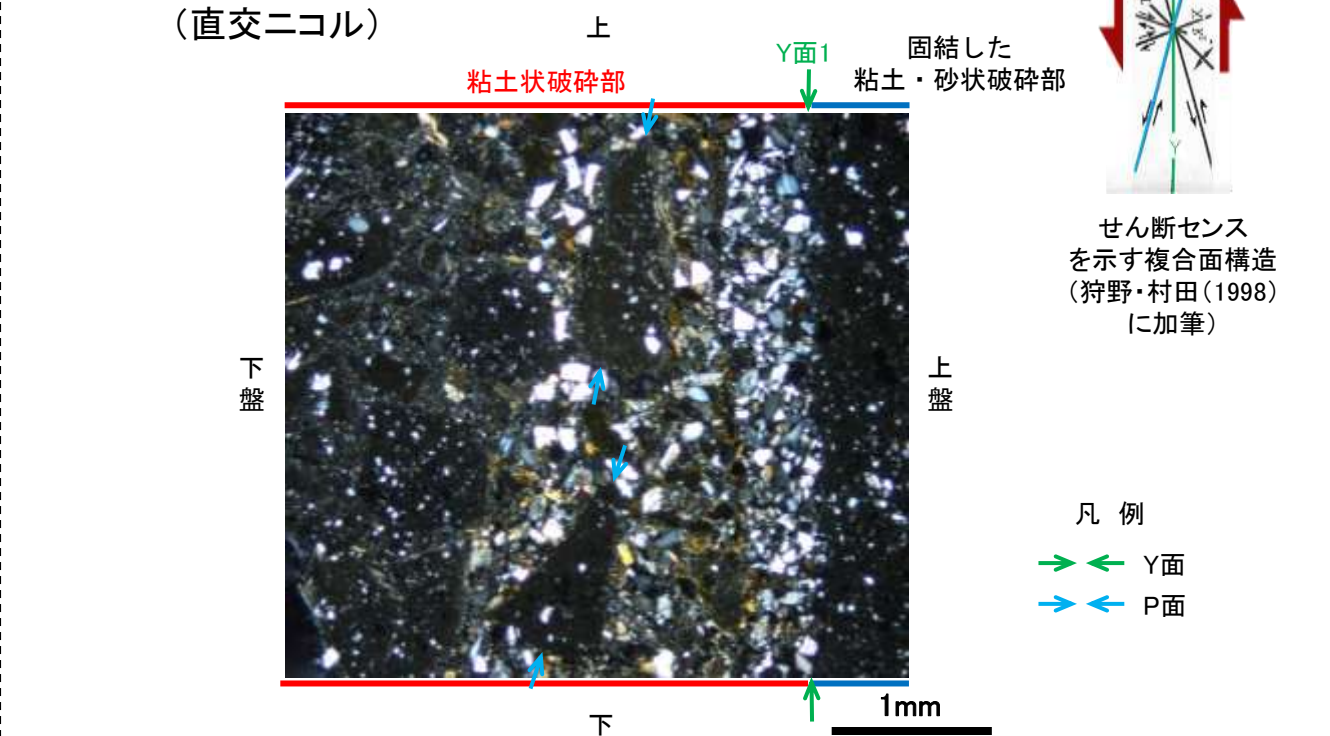
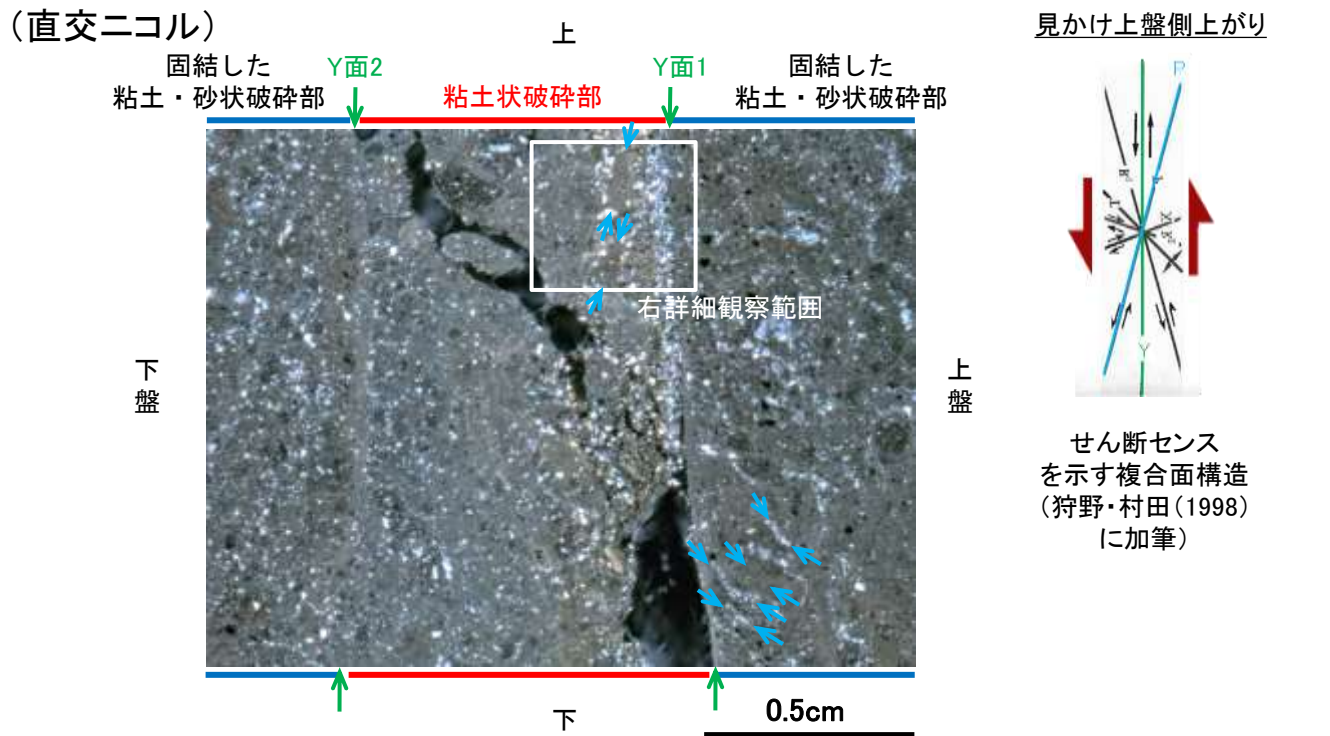
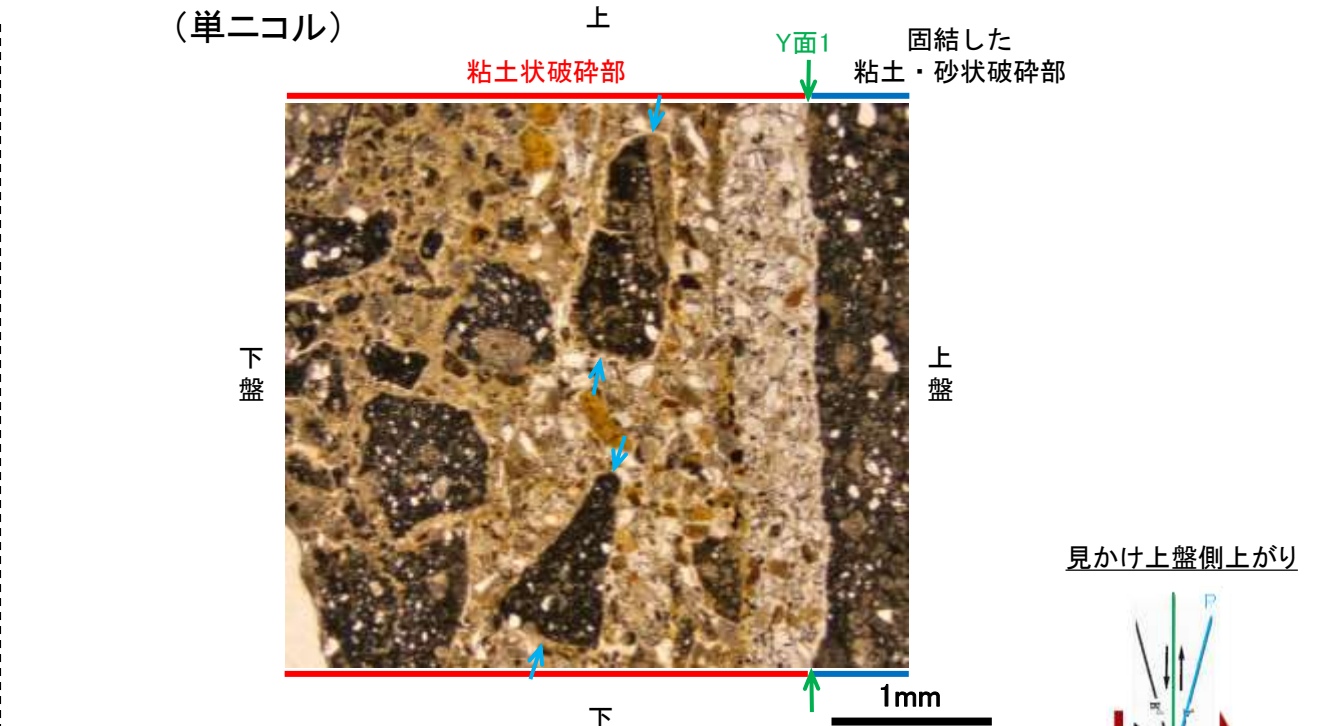
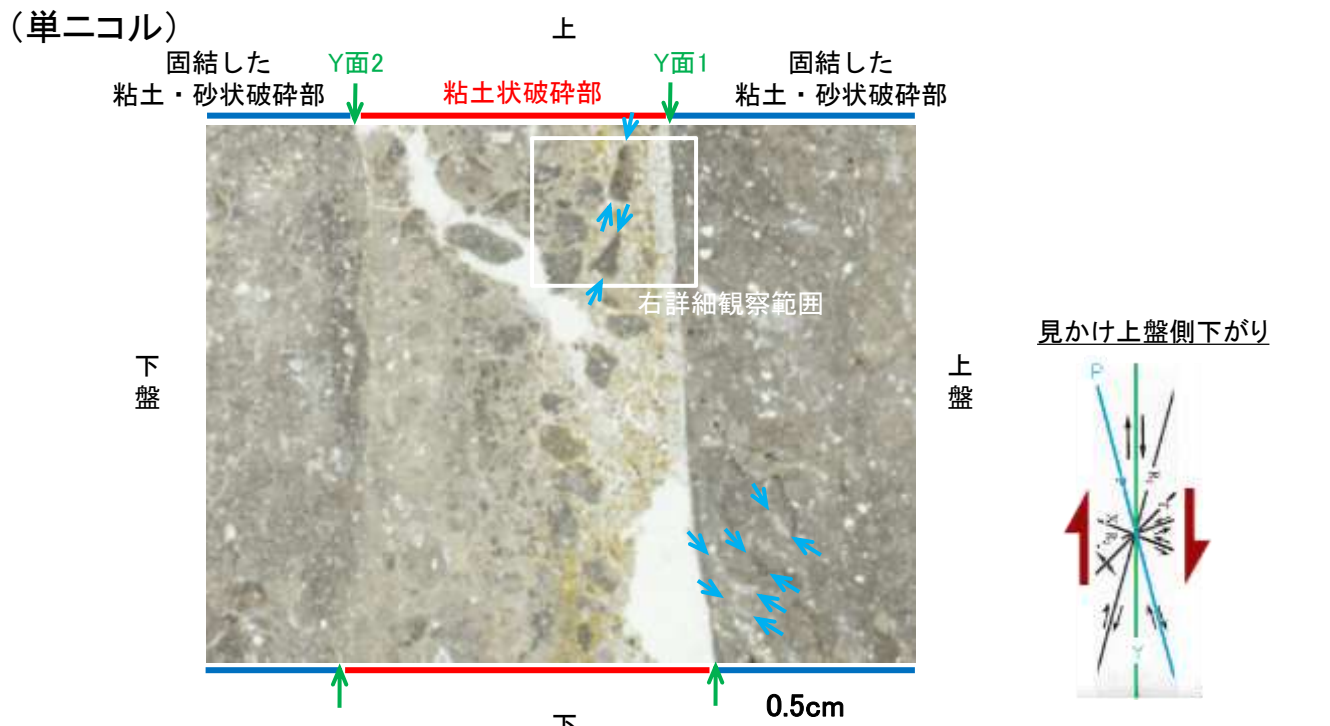
**固結した粘土・砂状破碎部(下盤側):**  
単ニコルで褐灰～灰色, 直交ニコルで灰色の干渉色を呈する。径3mm以下の岩片や鉱物片が細粒な基質中に含まれる。岩片, 鉱物片は角～垂円形である。

**粘土状破碎部:**  
単ニコルで褐灰色, 直交ニコルで灰色の干渉色を呈する。径3mm以下の岩片や鉱物片が細粒な基質中に含まれており, 径4mmの岩片も含まれる。岩片, 鉱物片は角～垂角形である。基質中や岩片の縁辺部には粘土鉱物が生成されている。

**固結した粘土・砂状破碎部(上盤側):**  
単ニコルで褐灰～灰色, 直交ニコルで灰色の干渉色を呈する。径3mm以下の岩片や鉱物片が細粒な基質中に含まれる。岩片, 鉱物片は垂角～垂円形である。

# K-20の運動方向調査結果 —H— -2.6孔(薄片観察, 詳細観察①) —

- 固結した粘土・砂状破碎部中の岩片や鉱物片の定向配列をP面とすると, 見かけ上盤側下がりの変位が推定される。
- 断層の走向傾斜がN3° E/65° SE, 薄片作成方向が105° Rであることから, 固結した破碎部の運動方向は正断層センスである。
- 粘土状破碎部中の岩片や鉱物片の多くに定向性は認められない。ただし, Y面の直近の一部において認められる岩片の微弱な定向配列をP面とすると, 見かけ上盤側上がりの変位が推定される。
- 断層の走向傾斜がN3° E/65° SE, 条線レイクが105° Rであることから, 粘土状破碎部の運動方向は左横ずれを伴う逆断層センスである。



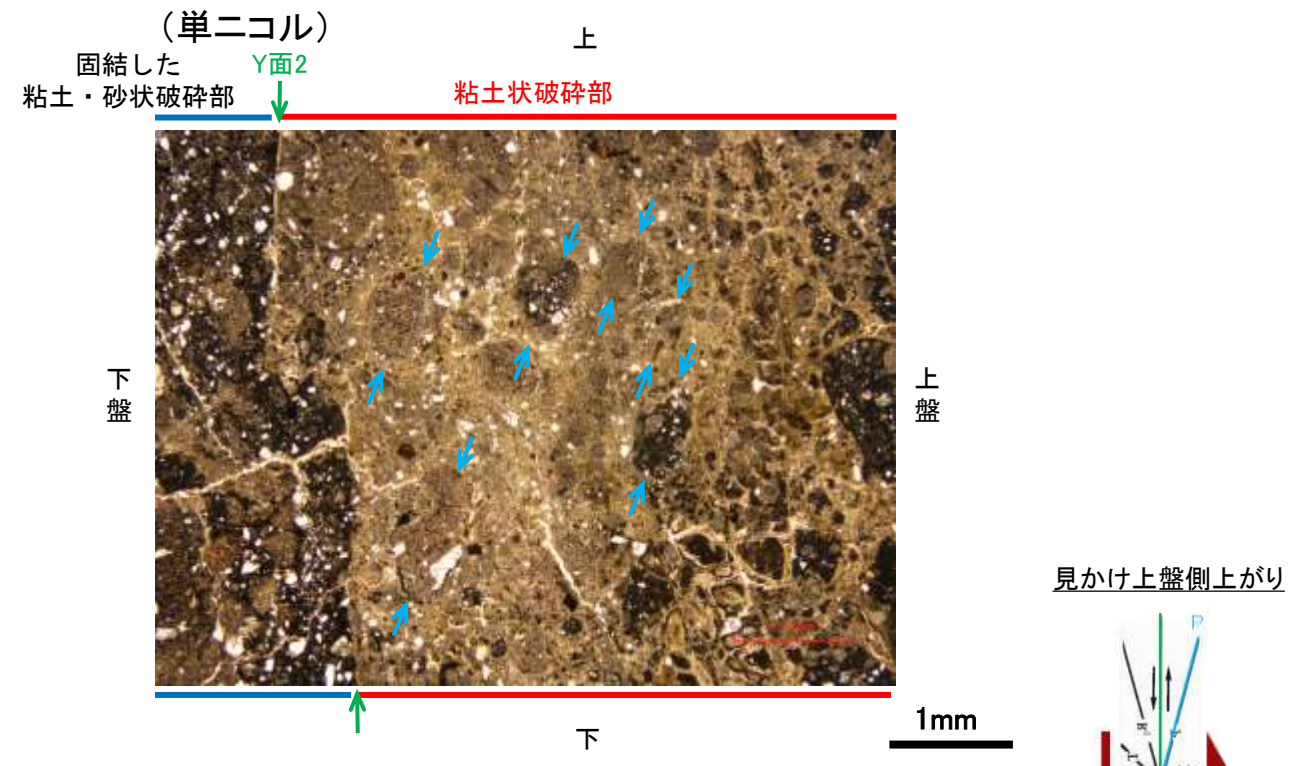
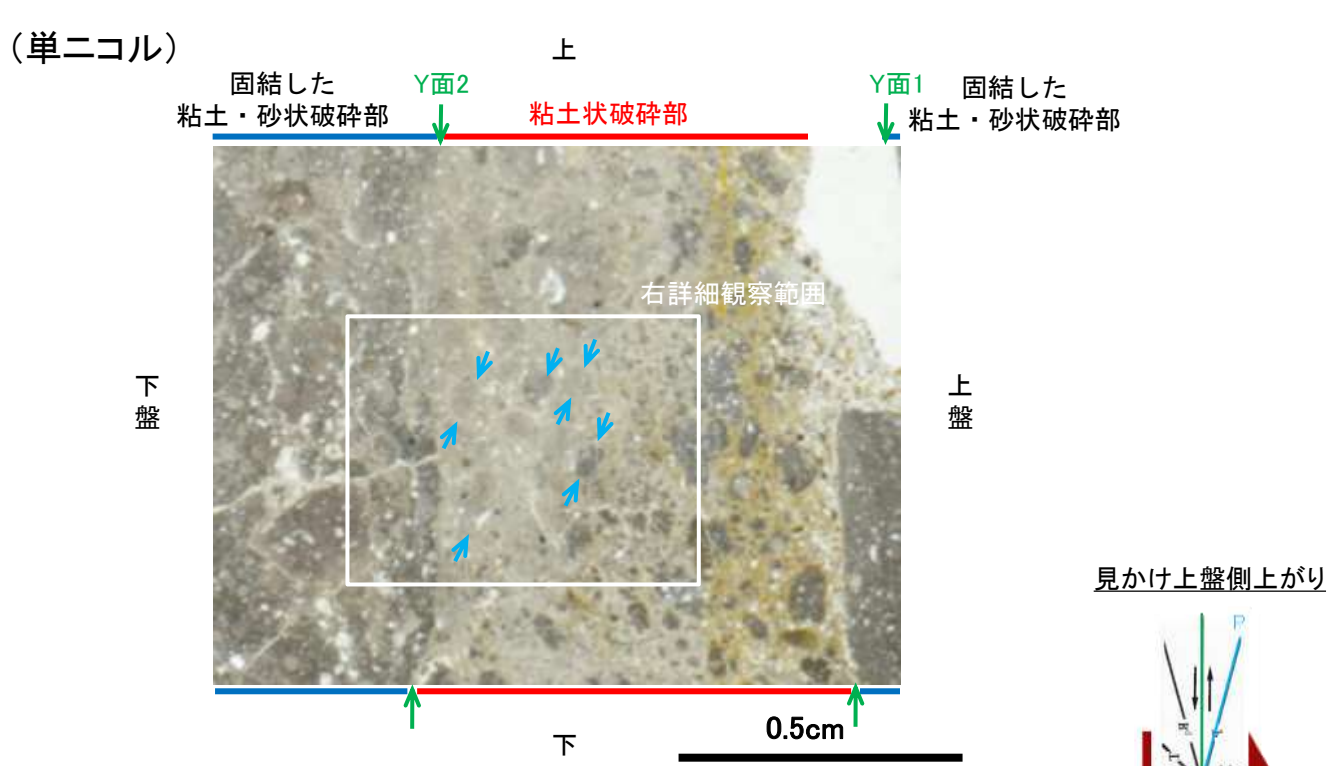
凡例  
→ ← Y面  
→ ← P面

拡大範囲①写真

詳細観察範囲写真

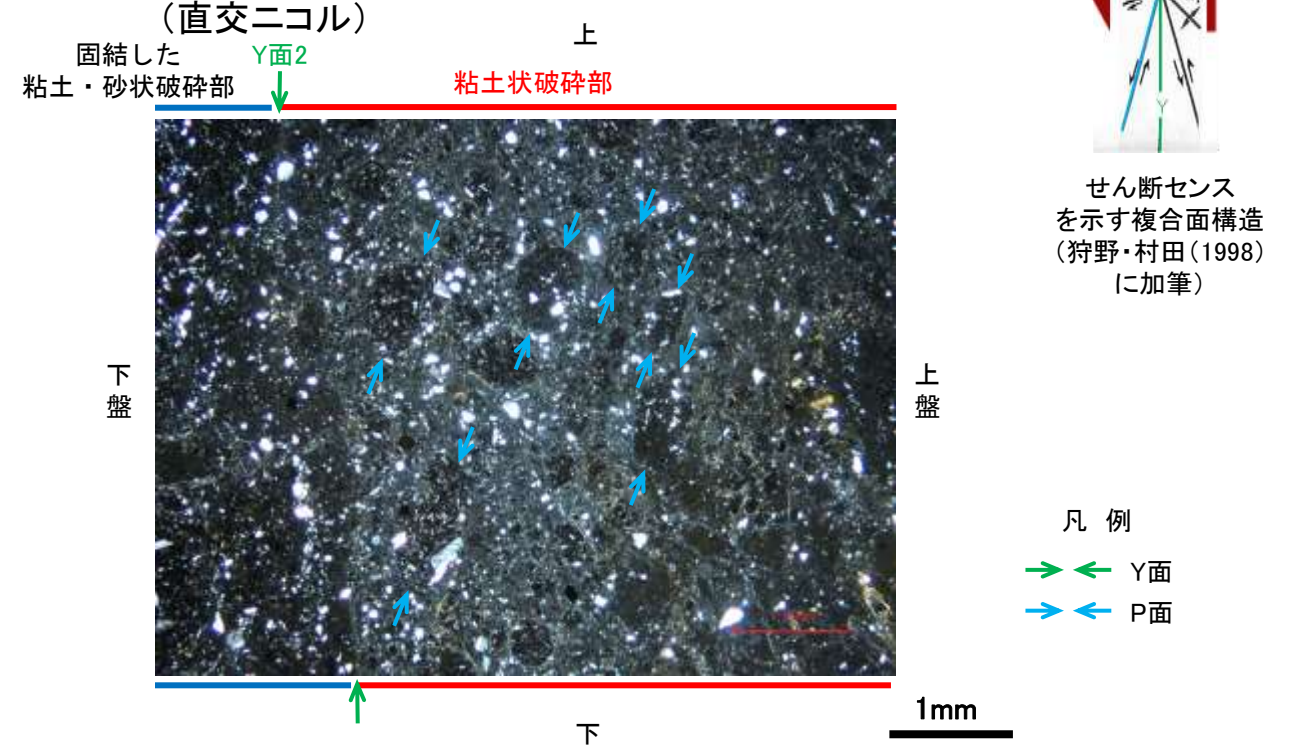
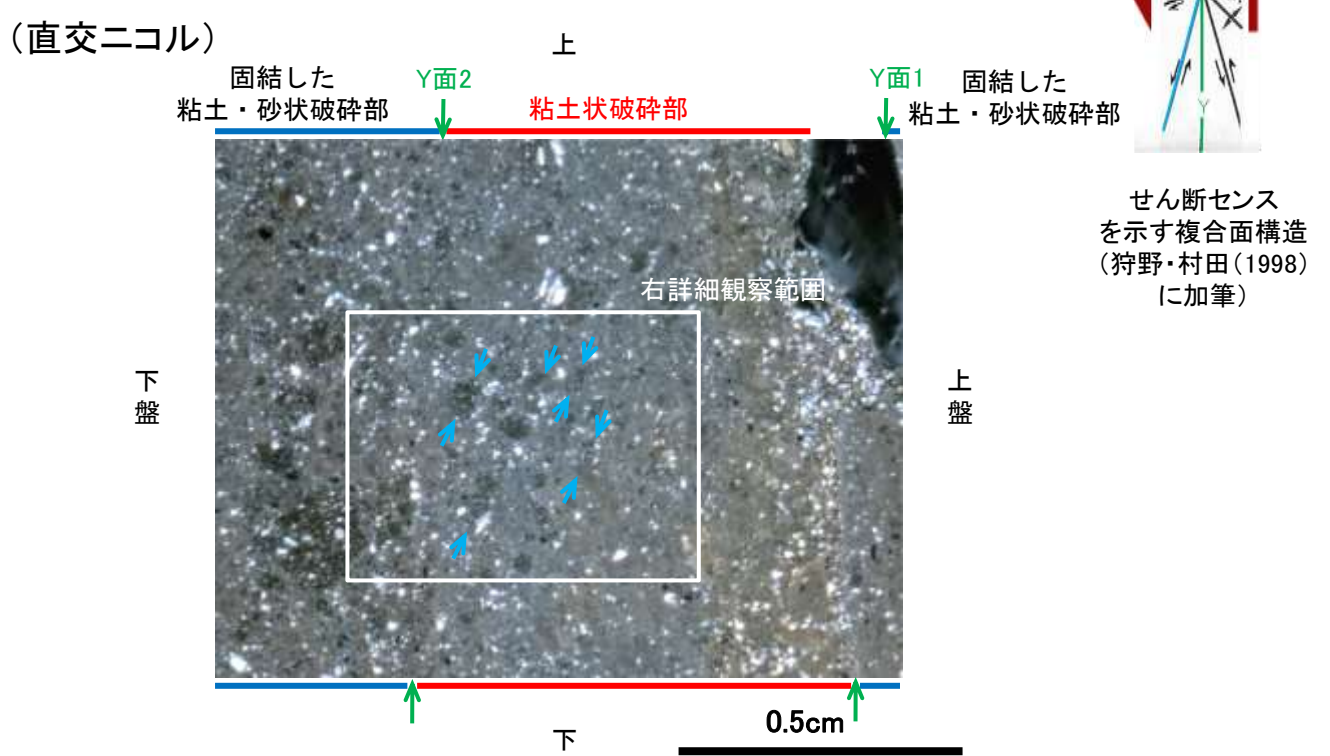
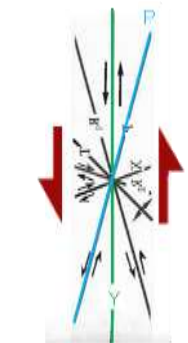
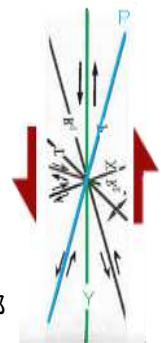
# K-20の運動方向調査結果 —H— -2.6孔(薄片観察, 詳細観察②) —

○粘土状破碎部中の岩片や鉱物片の多くに定向性は認められない。ただし、Y面の直近の一部において認められる岩片の微弱な定向配列をP面とすると、見かけ上盤側上がりの変位が推定される。  
○断層の走向傾斜がN3° E/65° SE, 条線レイクが105° Rであることから、粘土状破碎部の運動方向は左横ずれを伴う逆断層センスである。



見かけ上盤側上がり

見かけ上盤側上がり



せん断センスを示す複合面構造 (狩野・村田(1998)に加筆)

せん断センスを示す複合面構造 (狩野・村田(1998)に加筆)

凡例  
 → ← Y面  
 → ← P面

拡大範囲②写真

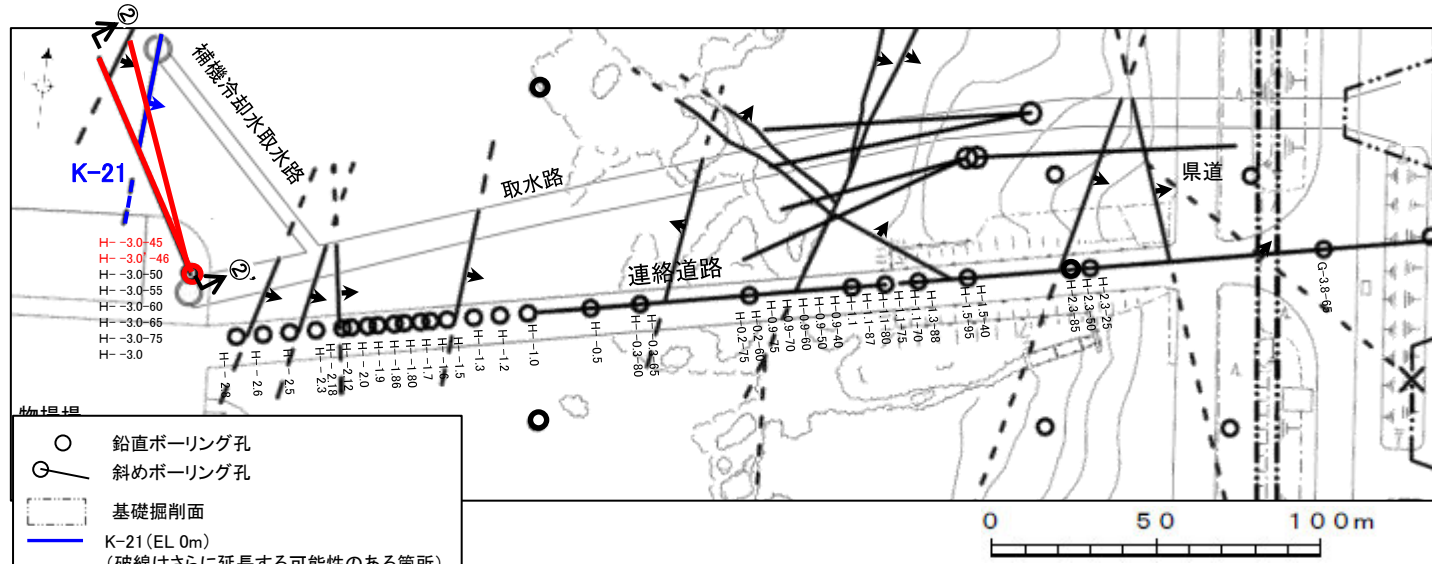
詳細観察範囲写真

---

(26) K-21の運動方向調査結果

# K-21の運動方向調査結果 一概要一

○コア観察, CT画像観察, 条線観察, 薄片観察結果から, 固結した破碎部では正断層の変位センスが認められ, 粘土状破碎部では右横ずれを伴う逆断層の変位センスが認められる。観察結果を次頁以降に示す。



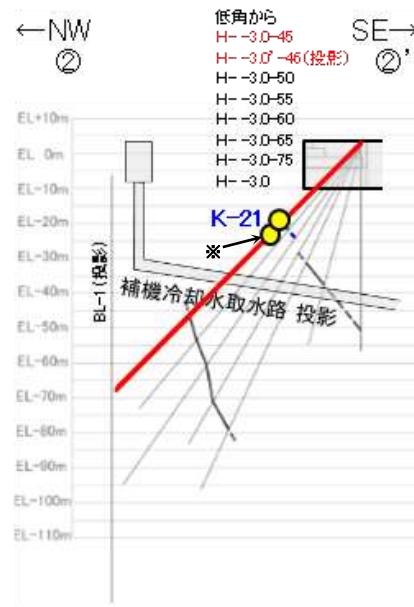
位置図

観察結果 一覧表

試料名	走向/傾斜 (走向は真北)	固結した破碎部	粘土状破碎部(砂状破碎部)		
		変位センス (コア観察, 薄片観察)	条線の レイク*1	変位センス (条線観察)	変位センス (薄片観察)
H-3.0-45孔 [深度32.84m]	N9° E/62° SE		47° R	(不明)	
H-3.0'-46孔 [深度36.66m]	N8° E/67° SE	正断層			右横ずれ 逆断層*2

\*1: 上盤側で確認したレイクは下盤側に換算して示す。  
\*2: H-3.0'-46孔の条線観察結果を踏まえ47° Rで切断し, 作成した薄片で確認。

○ 鉛直ボーリング孔  
○ 斜めボーリング孔  
--- 基礎掘削面  
--- K-21 (EL. 0m)  
(破線はさらに延長する可能性のある箇所)  
--- K-21以外の断層 (EL. 0m)  
(破線はさらに延長する可能性のある箇所)  
赤字 K-21で運動方向の観察を実施したボーリング孔  
矢印(➡)の向きは断層の傾斜方向を示す



②-②' 断面図

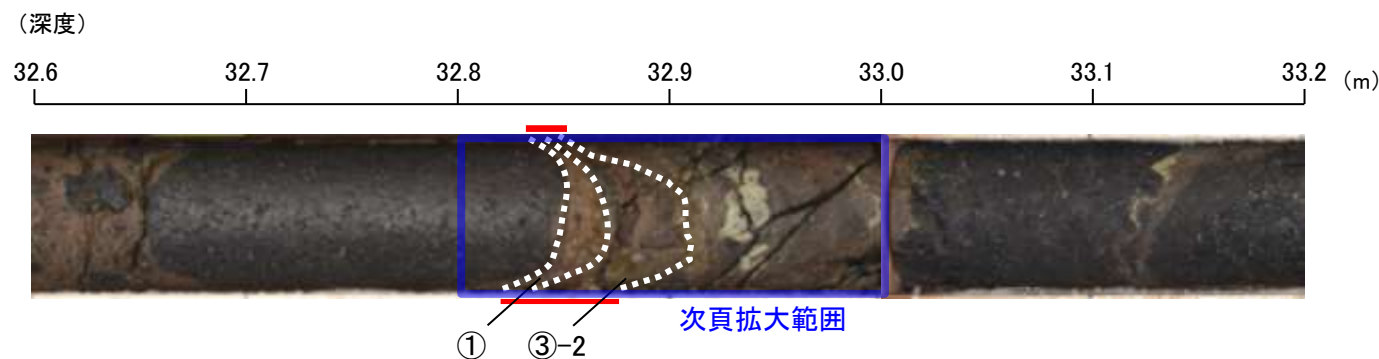
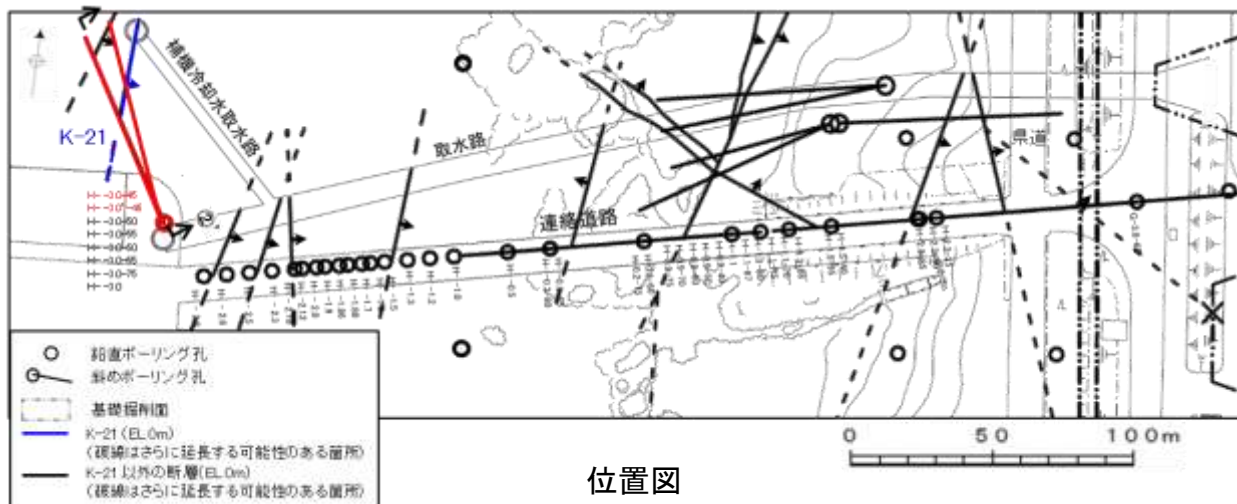
凡例  
 ● K-21 (主部を太線で表記)  
 (破線はさらに延長する可能性のある箇所)  
 ● K-21以外の断層(主部を太線で表記)  
 (破線はさらに延長する可能性のある箇所)  
 ● K-21に対応する破碎部位置  
 赤字 K-21で運動方向の観察を実施したボーリング孔

※: 運動方向確認のためのボーリング孔。  
H-3.0'-46孔のK-21確認深度付近のコア写真は, P.2.5-1-382

# K-21の運動方向調査結果 —H- -3.0-45孔, H- -3.0'-46孔—

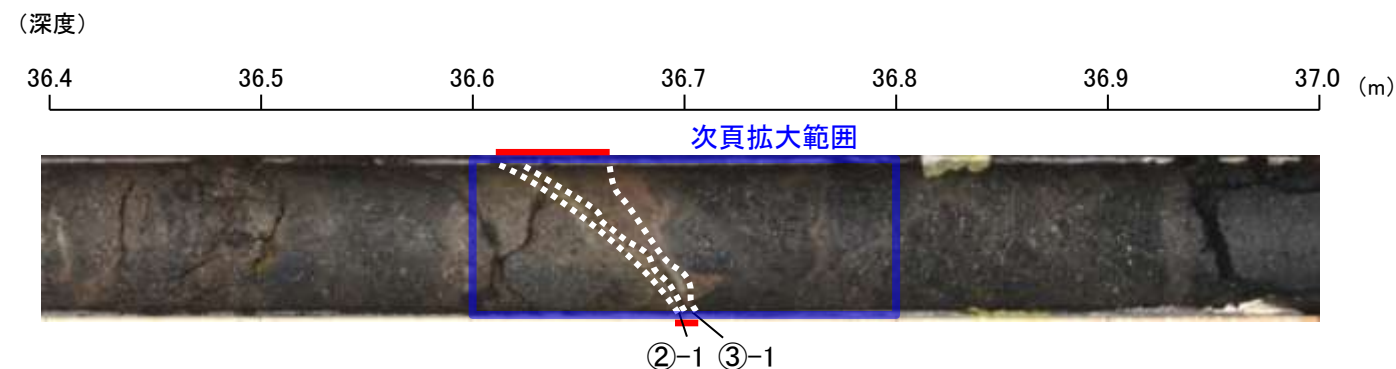
○H- -3.0-45孔の深度32.84~32.86m, 隣接孔(H- -3.0'-46孔)の深度36.66~36.69mにおいて, K-21に対応する破砕部が認められる。  
○これらの破砕部を対象に, コア観察及びCT画像観察により抽出した主せん断面において, H- -3.0-45孔で条線観察, 隣接孔(H- -3.0'-46孔)で薄片観察を実施し, 固結した破砕部の運動方向及び砂状破砕部の運動方向を確認した。

- ① 粘土状破砕部
  - ②-1 砂状破砕部
  - ③-1 固結した粘土・砂状破砕部
  - ③-2 固結した角礫状破砕部
- == 破砕部



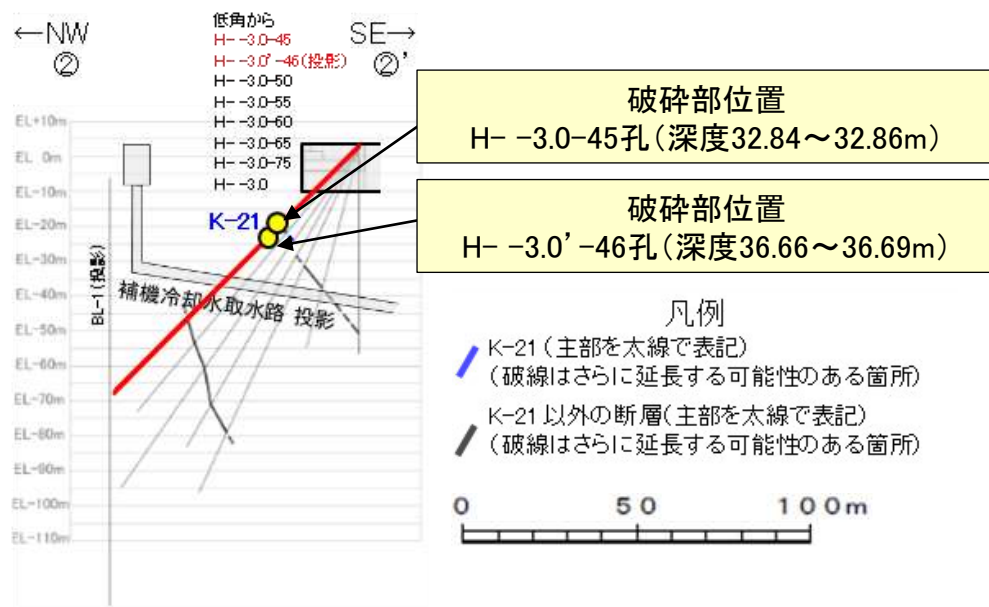
### コア観察結果

深度32.84~32.86m:  
見かけの傾斜角30~40°の厚さ0.7~3.2cmの破砕部。厚さ0.1~1.2cmの灰褐色の粘土状破砕部及び厚さ0.6~2.0cmの固結した破砕部からなる。



### コア観察結果

深度36.66~36.69m:  
見かけの傾斜角40~50°の厚さ0.5~2.6cmの破砕部。厚さ0.3~0.8cmの黄褐色の砂状破砕部及び厚さ0.2~2.1cmの固結した破砕部からなる。

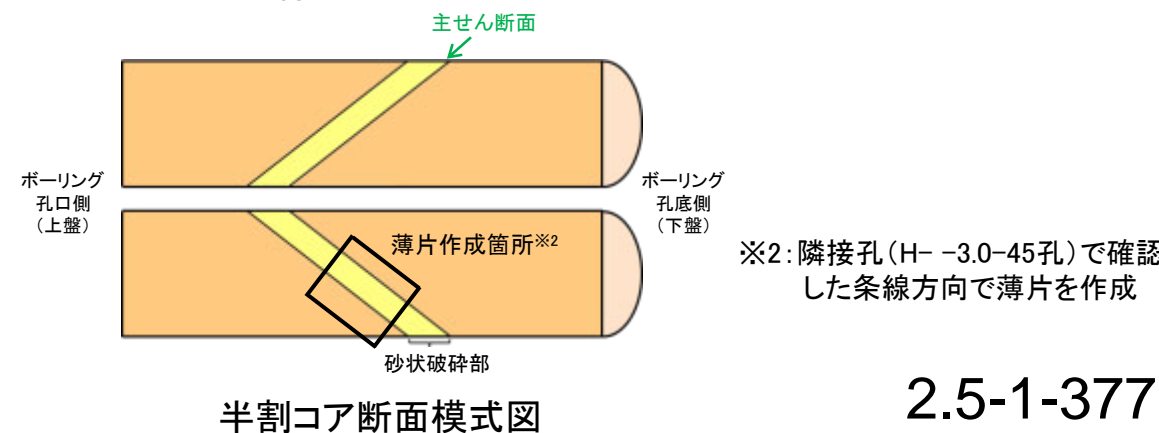
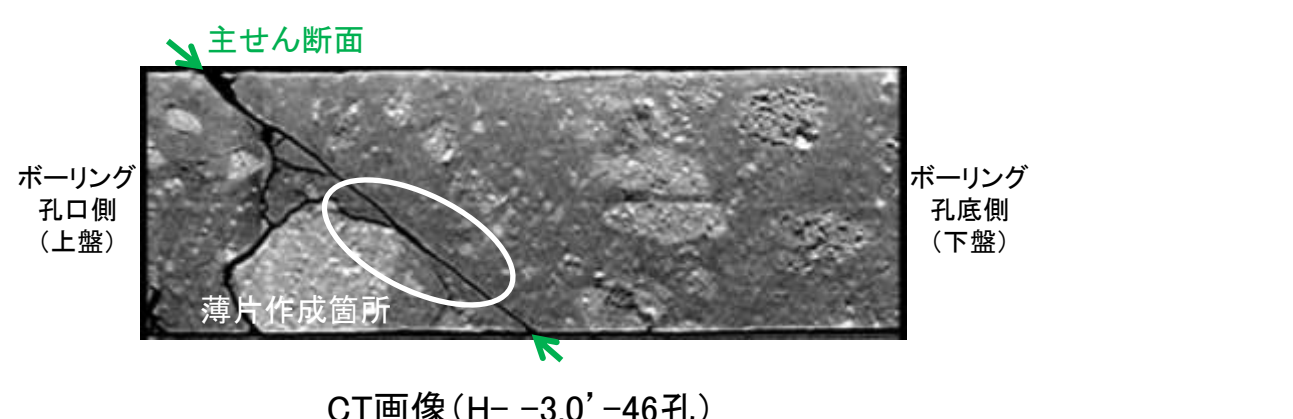
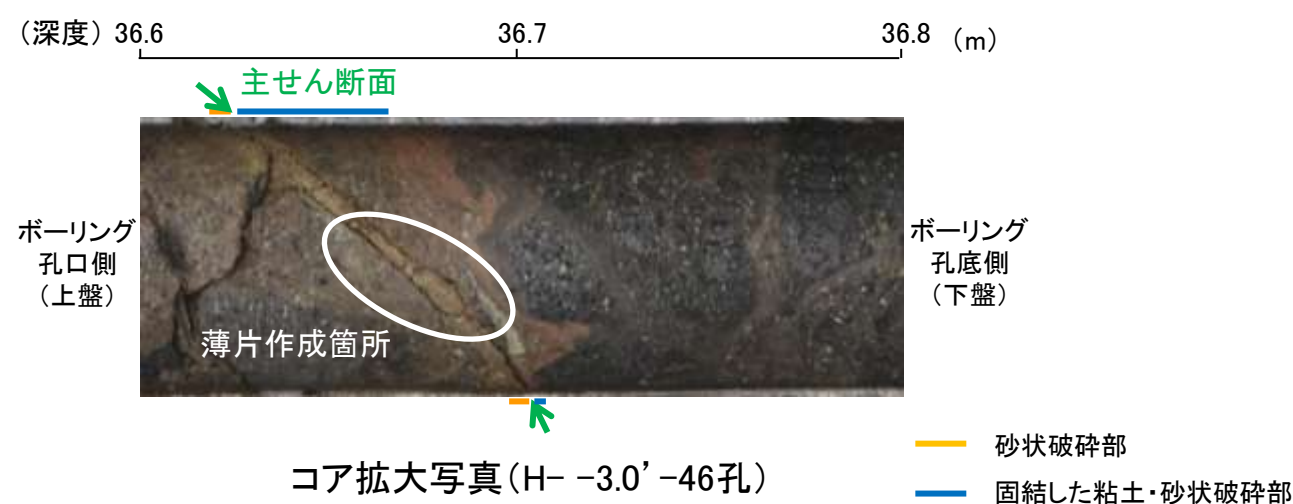
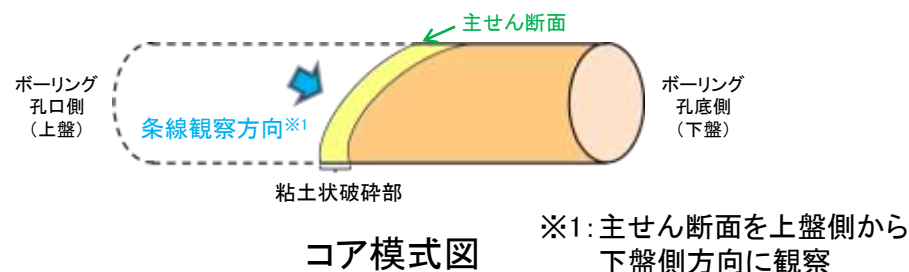
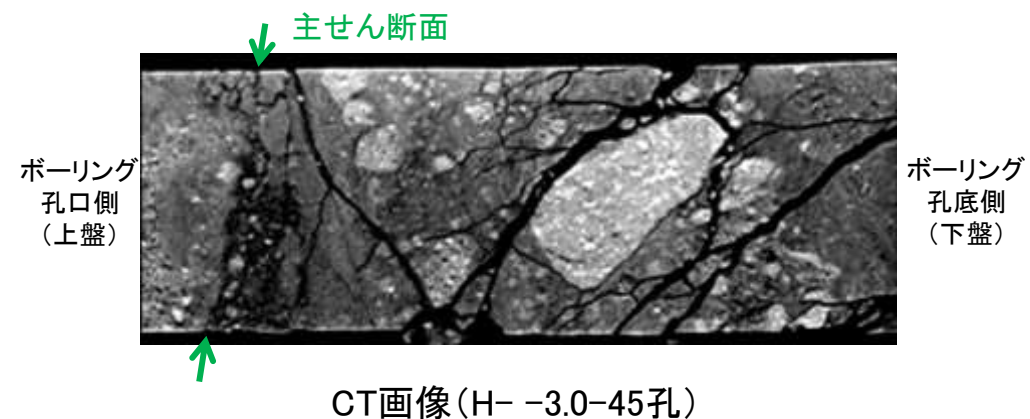
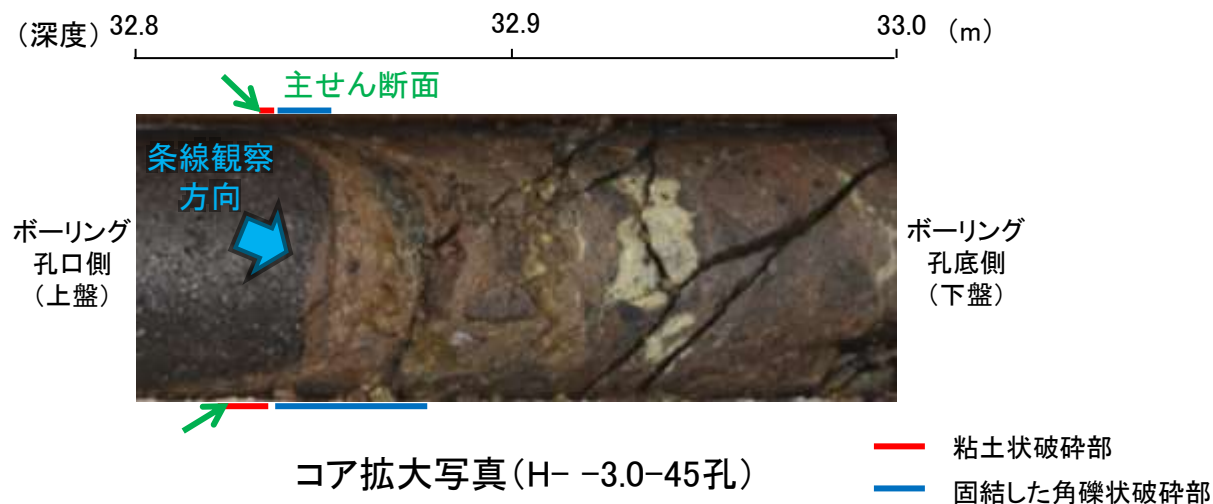


②-②' 断面図



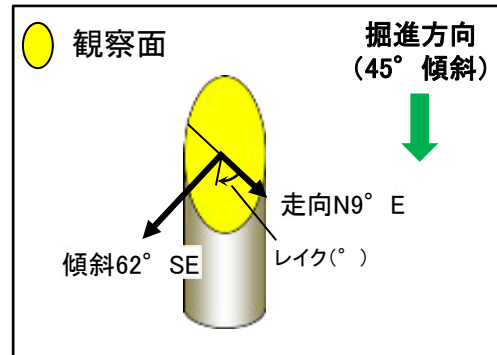
# K-21の運動方向調査結果 —H- -3.0-45孔, H- -3.0'-46孔(コア観察, CT画像観察)—

- H- -3.0-45孔のコア観察, CT画像観察結果より, 母岩と固結した角礫状破碎部の境界である深度32.85m付近に, 厚さ0.1~1.2cmの粘土状破碎部が認められる。
- 粘土状破碎部を伴う比較的直線性・連続性がよい面を, 主せん断面として抽出した。
- 隣接孔(H- -3.0'-46孔)のコア観察, CT画像観察結果より, 母岩と固結した粘土・砂状破碎部の境界である深度36.65m付近に, 厚さ0.3~0.8cmの砂状破碎部が認められる。
- 砂状破碎部を伴う比較的直線性・連続性がよい面を, 主せん断面として抽出した。
- H- -3.0-45孔の主せん断面において条線観察を実施し, 隣接孔(H- -3.0'-46孔)の主せん断面においてH- -3.0-45孔の条線観察結果を用いて薄片を作成し, 観察を行った。



# K-21の運動方向調査結果 —H- -3.0-45孔(条線観察, 下盤側)—

- 主せん断面における条線観察の結果, 下盤側の観察面で $47^\circ$  Rの条線が認められる。
- 観察面において, 礫まわりの粘土の非対称構造などの変位センスを推定できるような構造は認められない。

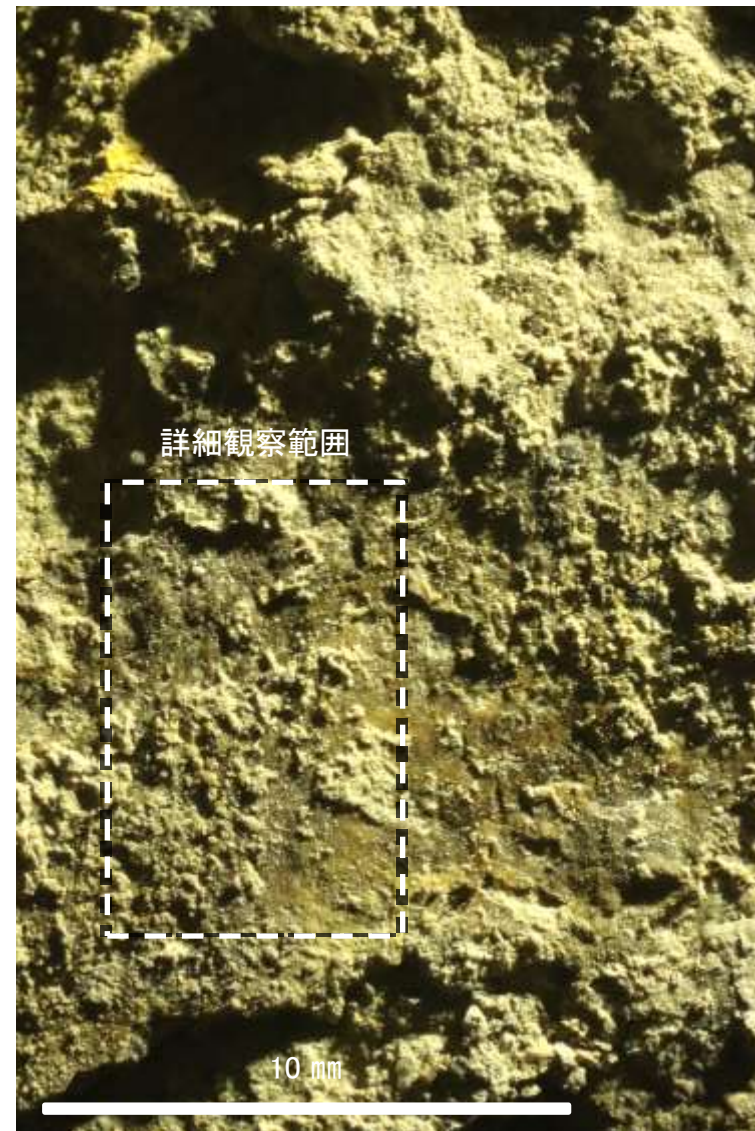


概念図

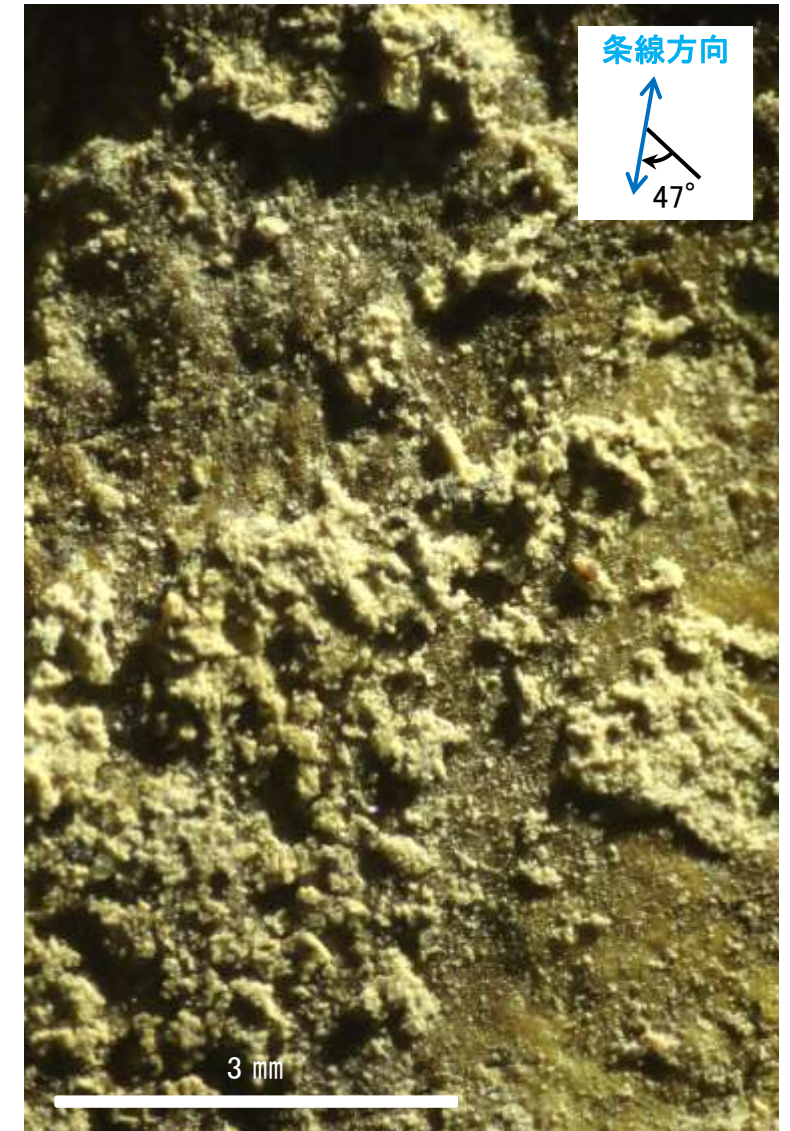
※走向は真北で示す。



観察面写真



観察面拡大写真

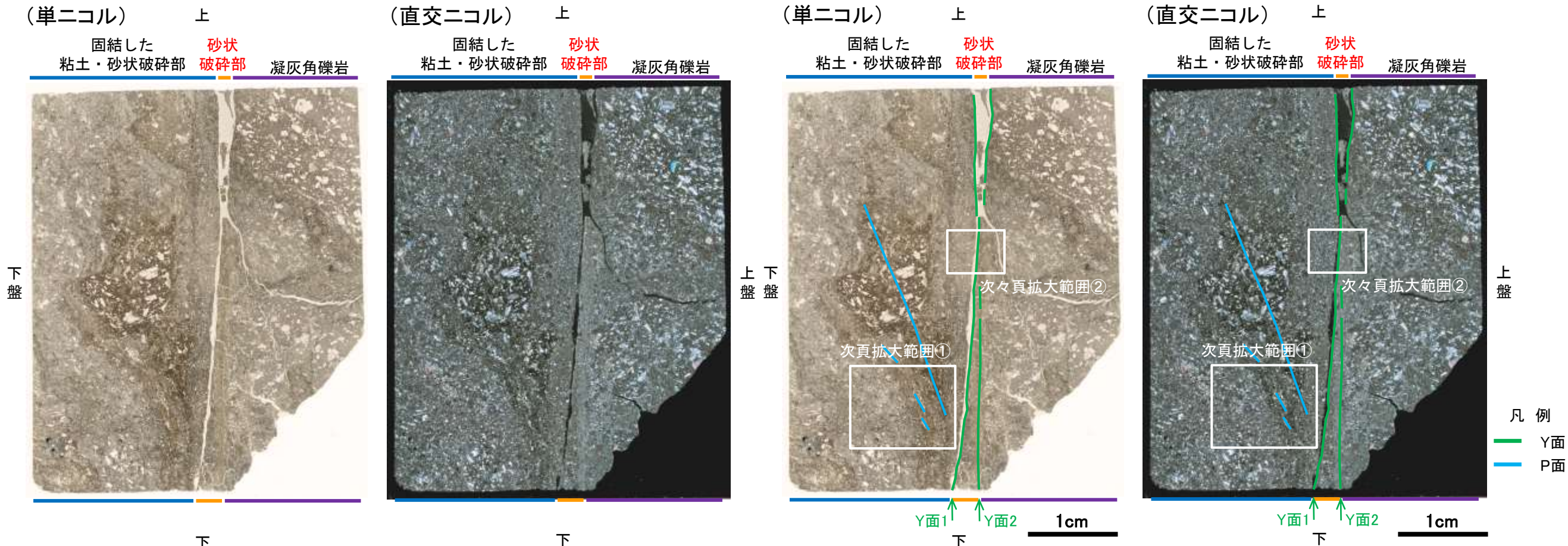


詳細観察写真

# K-21の運動方向調査結果 —H- -3.0'-46孔(薄片観察)—

- H- -3.0'-46孔の主せん断面において、隣接孔(H- -3.0-45孔)の条線方向(47° R)で作成した薄片観察の結果、下盤側から固結した粘土・砂状破碎部、砂状破碎部、凝灰角礫岩※に分帯される。
- 固結した粘土・砂状破碎部と砂状破碎部の境界をなすY面1が認められる。このY面1は直線的、連続的に発達する。
- 砂状破碎部と凝灰角礫岩の境界をなすY面2が認められる。このY面2は一部で直線的だが、薄片中央で密着し不明瞭となり、連続性に乏しい。
- その他、薄片内にY面に相当する構造は認められない。

※分帯名はコア観察での破碎部区分に対応



薄片写真(H- -3.0'-46\_47R)  
(右は構造等を加筆)

## 薄片観察結果

### 固結した粘土・砂状破碎部:

単ニコルで褐灰色、直交ニコルで灰色の干渉色を呈する。径13mm以下の岩片や鉱物片が細粒な基質中に含まれる。岩片は垂角～垂円形、鉱物片は角～垂角形である。

### 砂状破碎部:

単ニコルで褐灰色、直交ニコルで黄～灰色の干渉色を呈する。径1mm以下の岩片や鉱物片が細粒な基質中に含まれる。岩片は垂角～垂円形、鉱物片は角～垂角形である。基質中には粘土鉱物が生成されている。

### 凝灰角礫岩:

単ニコルで褐灰色、直交ニコルで灰色の干渉色を呈する。径23mm以下の岩片や鉱物片が細粒な基質中に含まれる。岩片は垂角～垂円形、鉱物片は角～垂角形である。

見かけ上盤側下がり

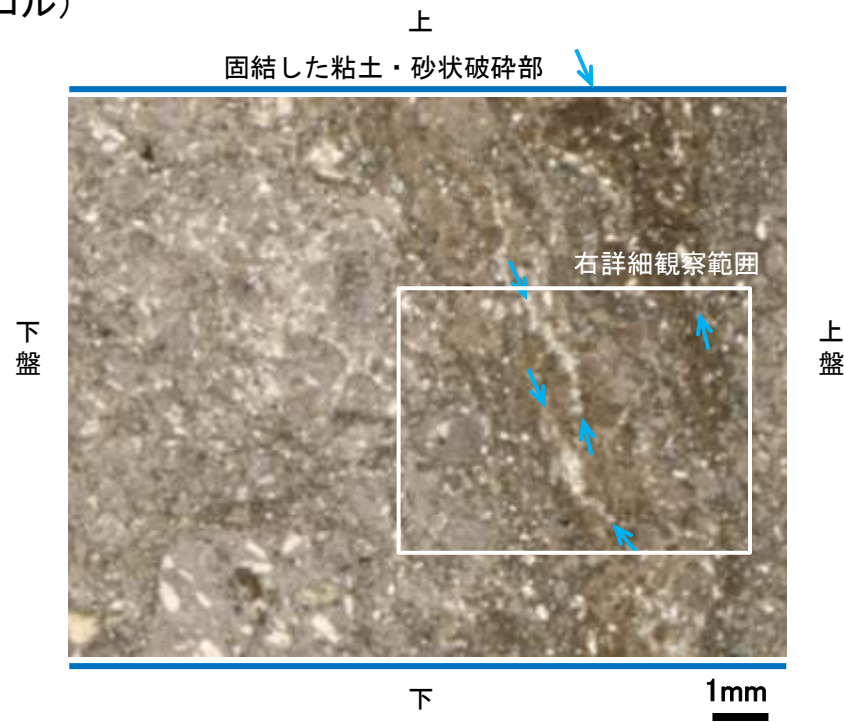


せん断センスを示す複合面構造  
(狩野・村田(1998)に加筆)

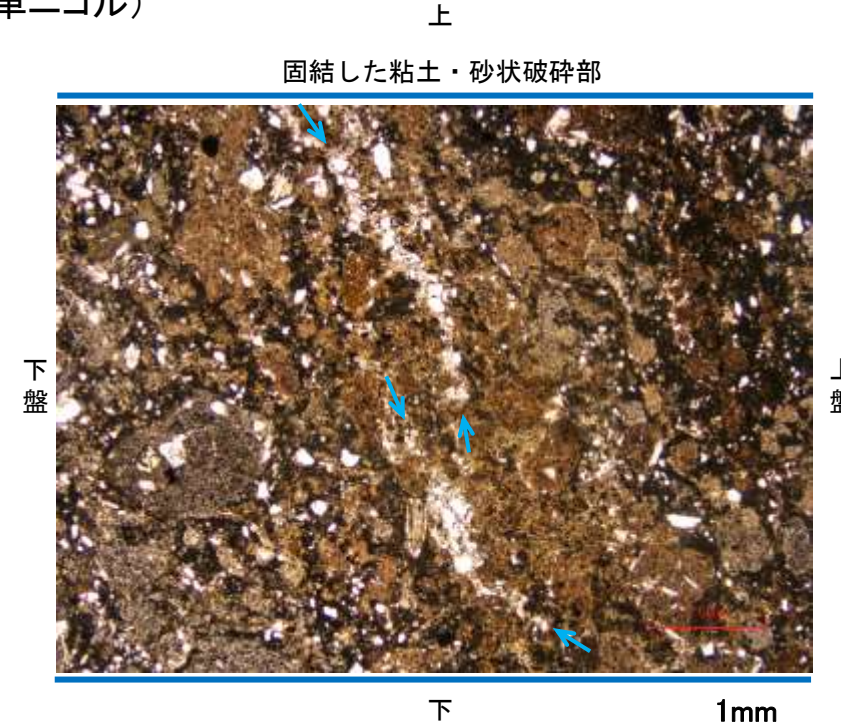
# K-21の運動方向調査結果 —H- -3.0' -46孔(薄片観察, 詳細観察①) —

○固結した粘土・砂状破碎部中の岩片や鉱物片の定向配列をP面とすると, 見かけ上盤側下がりの変位が推定される。  
○断層の走向傾斜がN8° E/67° SE, 薄片作成方向が47° Rであることから, 固結した破碎部の運動方向は正断層センスである。

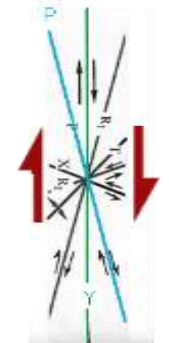
(単ニコル)



(単ニコル)



見かけ上盤側下がり

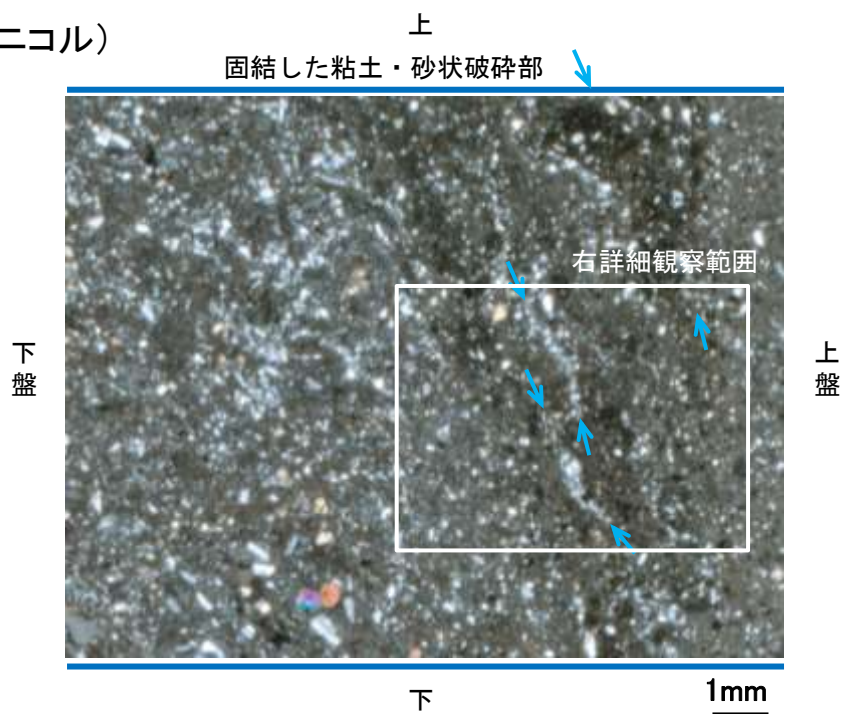


せん断センスを示す複合面構造  
(狩野・村田(1998)に加筆)

凡例

- ← Y面
- ← P面

(直交ニコル)



(直交ニコル)



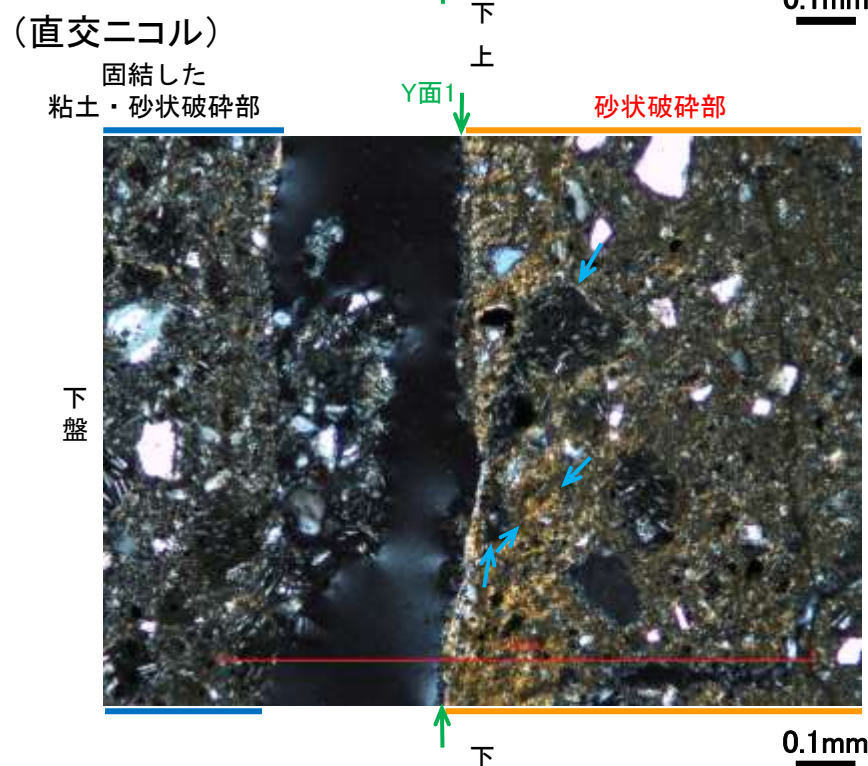
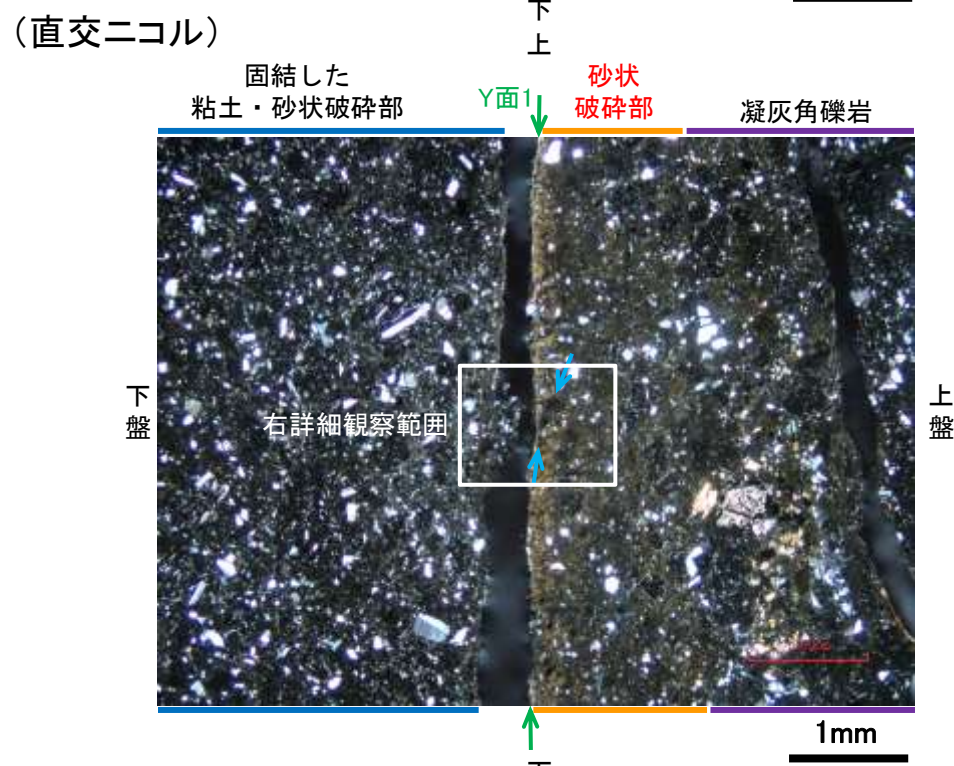
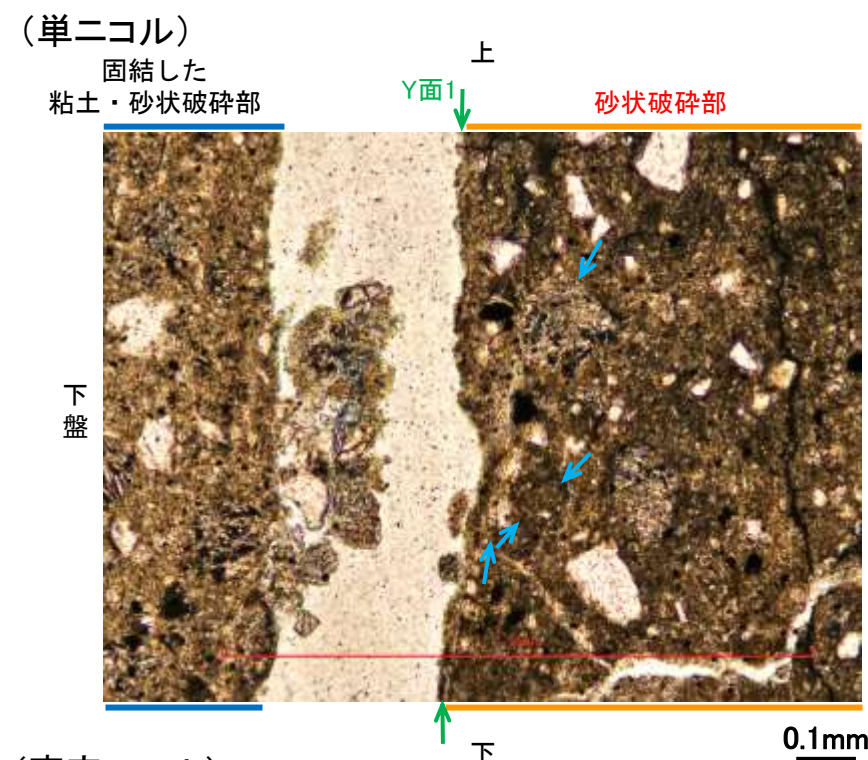
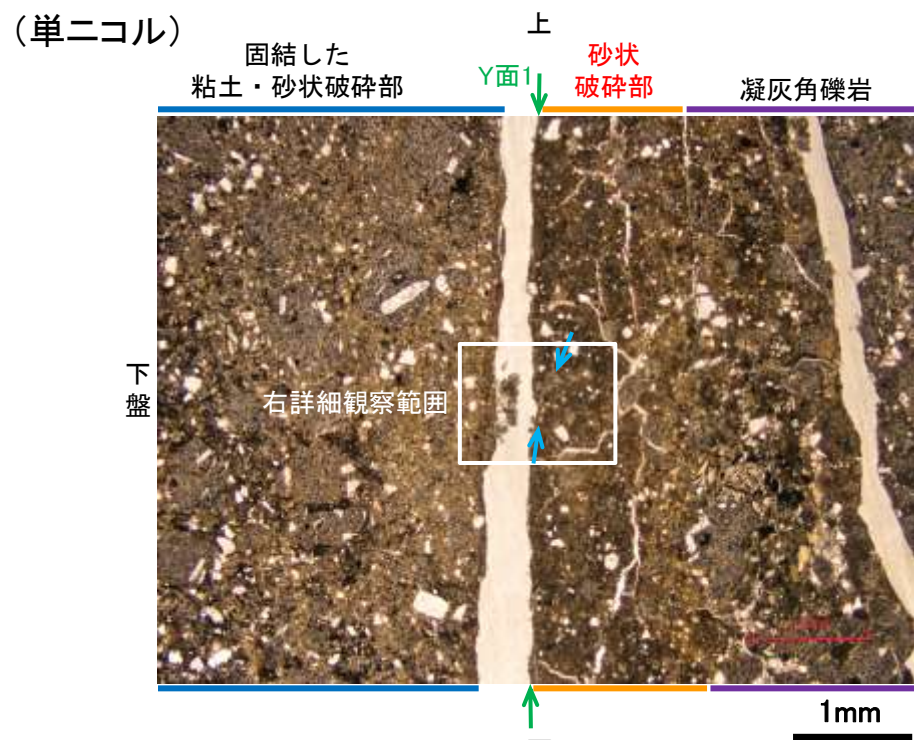
拡大範囲①写真

詳細観察範囲写真

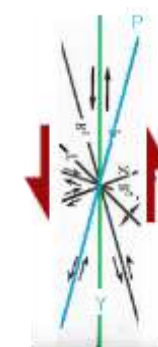
# K-21の運動方向調査結果 —H- -3.0' -46孔(薄片観察, 詳細観察②) —

○砂状破碎部中の岩片や鉱物片の多くに定向性は認められない。ただし、Y面の直近の一部において認められる岩片の引きずりや粘土鉱物の微弱な定向配列をP面とすると、見かけ上盤側上がりの変位が推定される。

○断層の走向傾斜がN8° E/67° SE, 条線レイクが47° Rであることから、砂状破碎部の運動方向は右横ずれを伴う逆断層センスである。

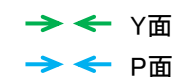


見かけ上盤側上がり



せん断センスを示す複合面構造 (狩野・村田(1998)に加筆)

凡例



拡大範囲②写真

詳細観察範囲写真

# K-21の運動方向調査結果 —H- -3.0' -46孔(参考:想定深度付近コア写真)—

OK-21想定深度付近(深度33~42m)のコア写真を以下に示す。

H- -3.0' -46孔(掘進長100.00m, 46° )

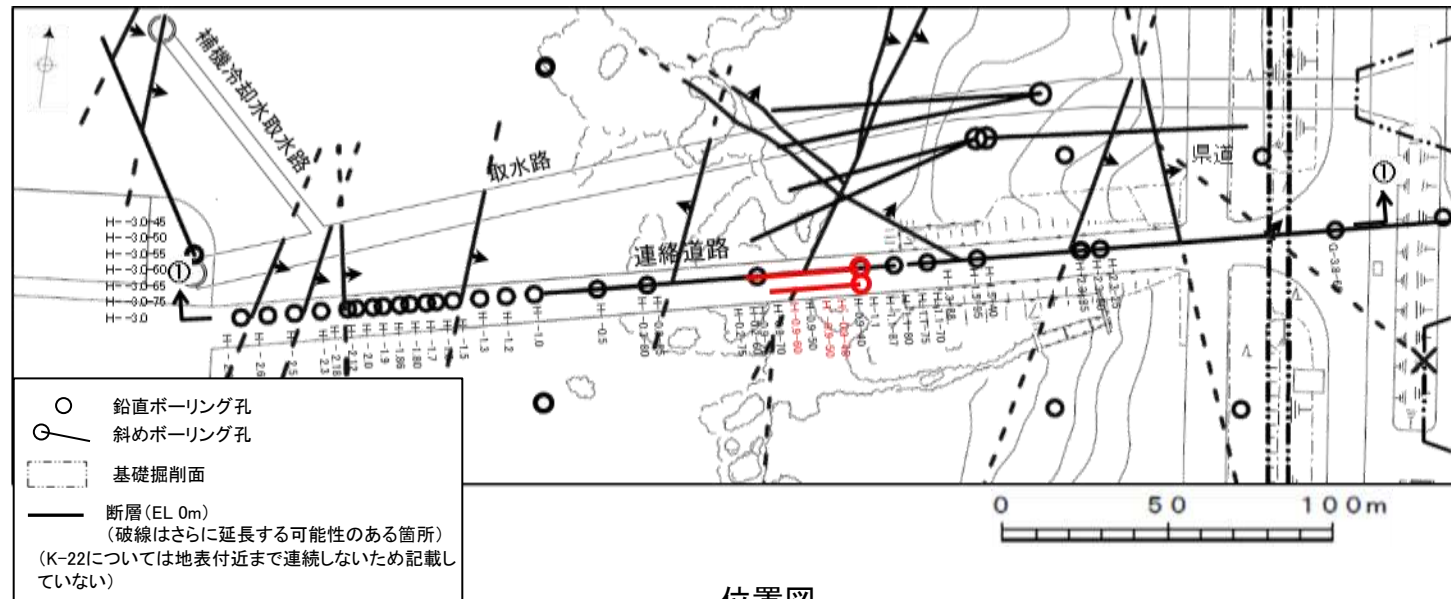


---

(27) K-22の運動方向調査結果

# K-22の運動方向調査結果 一概要一

○コア観察, CT画像観察, 条線観察, 薄片観察結果から, 固結した破砕部では正断層の変位センスが認められ, 粘土状破砕部では右横ずれを伴う逆断層の変位センスが認められる。観察結果を次頁以降に示す。



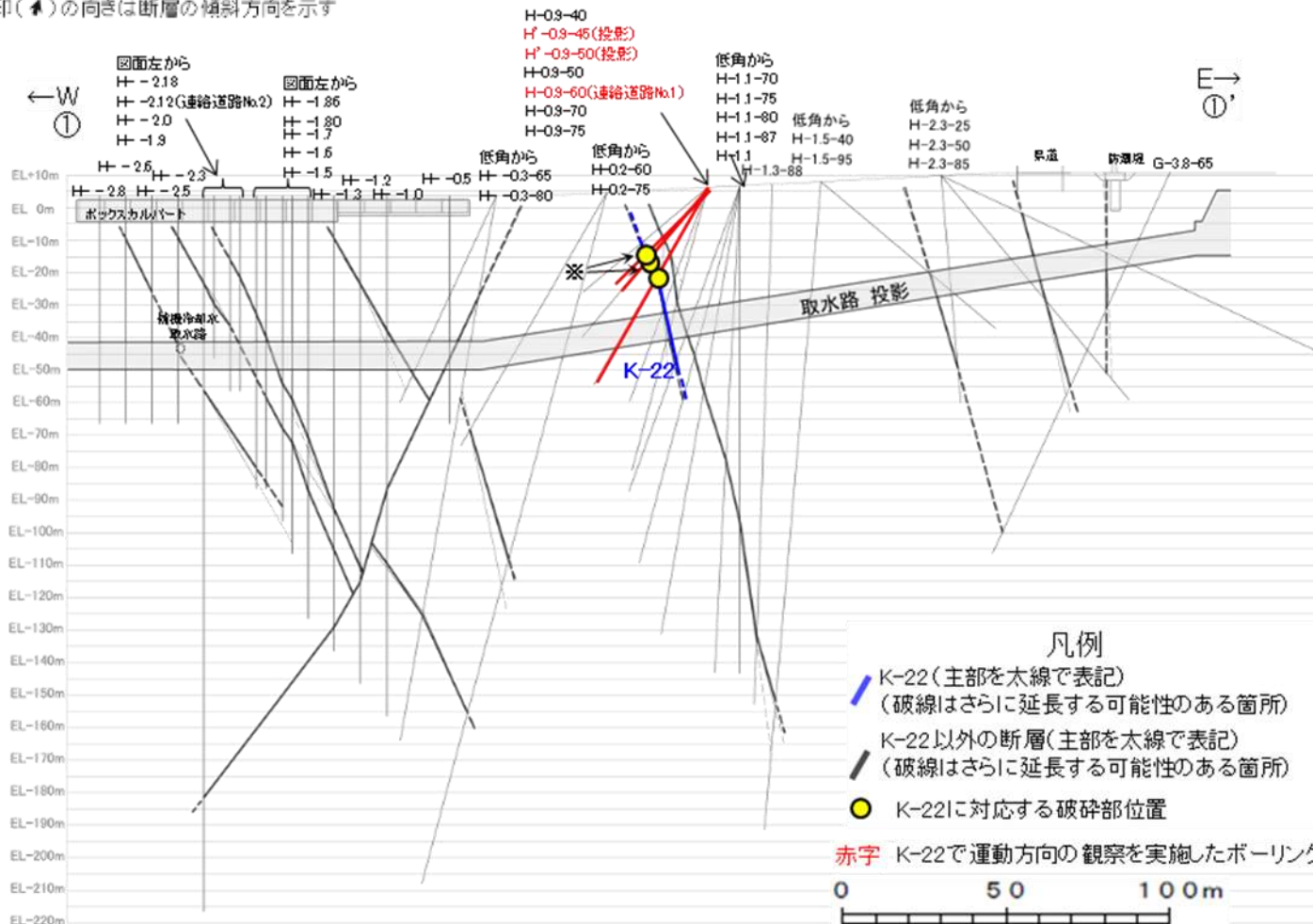
位置図

観察結果 一覧表

試料名	走向/傾斜 (走向は真北)	固結した破砕部	粘土状破砕部		
		変位センス (コア観察, 薄片観察)	条線の レイク*1	変位センス (条線観察)	変位センス (薄片観察)
H'-0.9-45孔 [深度31.80m]	N2° W/65° NE	正断層	60° R	(不明)	右横ずれ 逆断層
			45° R	(不明)	
H-0.9-60孔 [深度31.58m]	N16° E/74° SE	正断層	0° R: 右横ずれ*2 90° R: 逆断層*3		
H'-0.9-50孔 [深度32.95m]	N7° W/67° NE		117° R	(不明)	
			67° R	(不明)	
			22° R	(不明)	

\*1: 上盤側で確認したレイクは下盤側に換算して示す。  
\*2: 破砕部の最大傾斜方向に直交な方向で切断し, 作成した薄片で確認。  
\*3: 破砕部の最大傾斜方向で切断し, 作成した薄片で確認。

赤字 K-22で運動方向の観察を実施したボーリング孔  
矢印(➡)の向きは断層の傾斜方向を示す



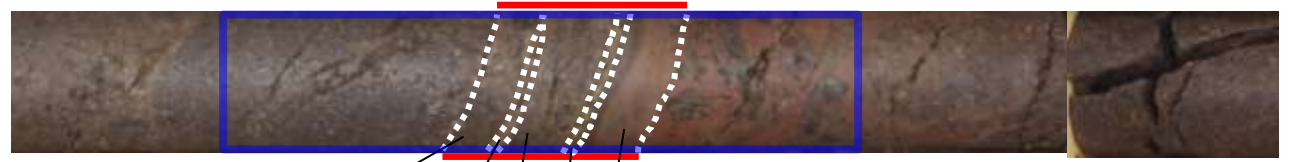
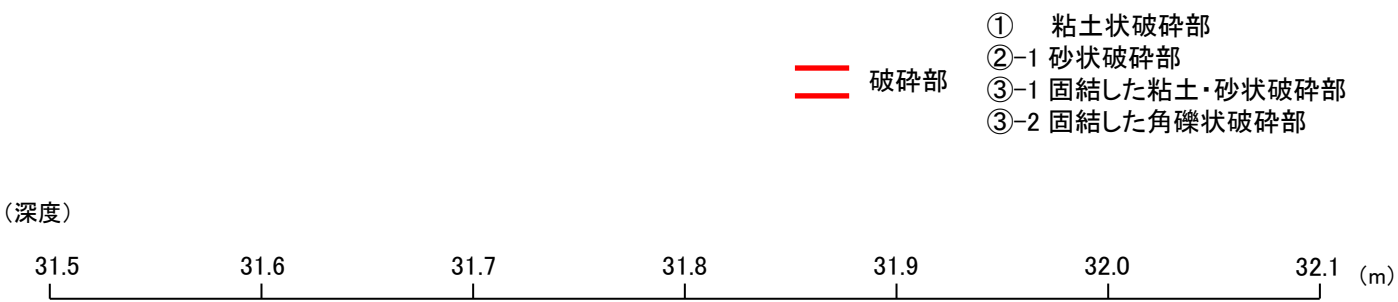
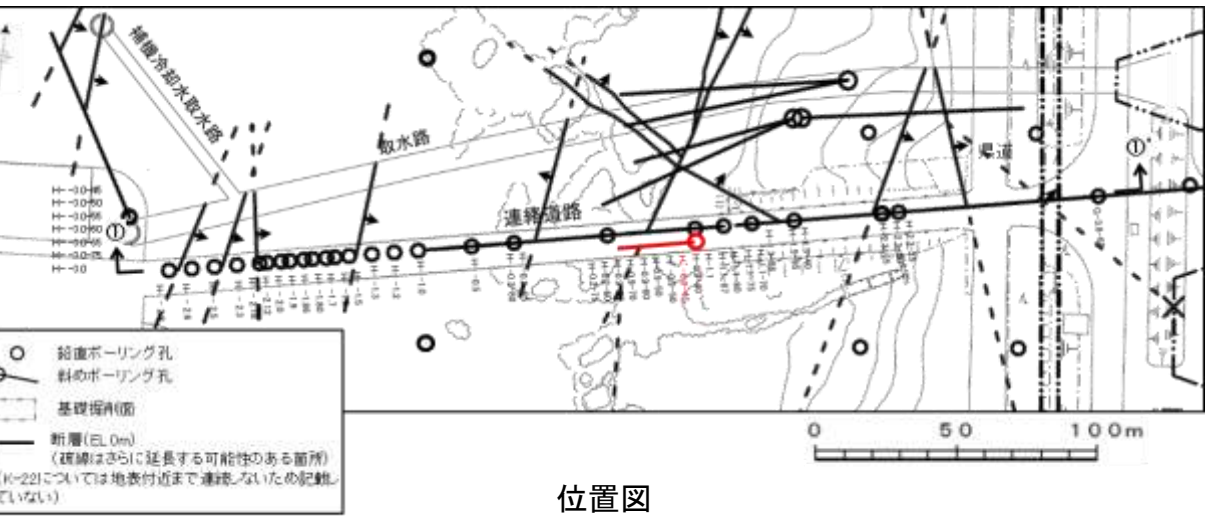
①-①' 断面図

※: 運動方向確認のためのボーリング孔。  
H'-0.9-45孔及びH'-0.9-50孔のK-22確認深度付近のコア写真は, P.2.5-1-390, P.2.5-1-399



# K-22の運動方向調査結果 -H'-0.9-45孔-

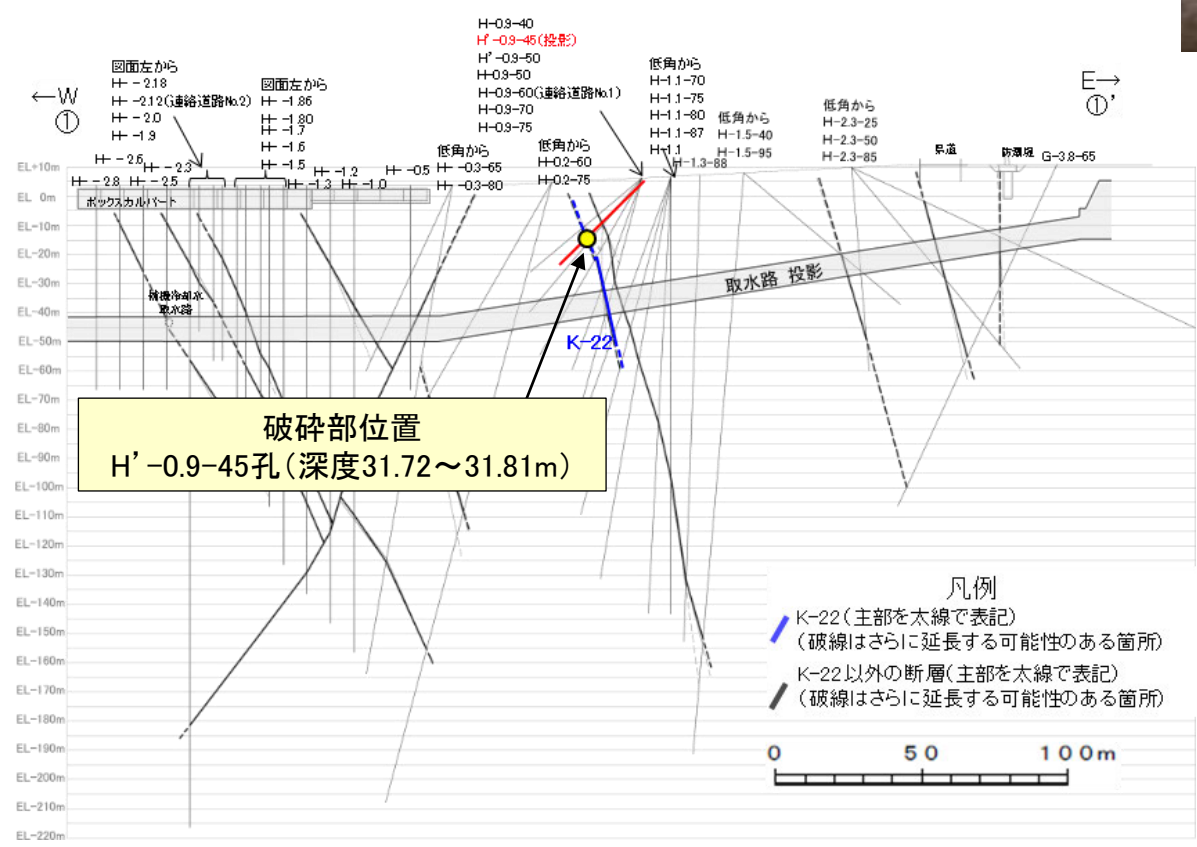
○H'-0.9-45孔の深度31.72~31.81mにおいて、K-22に対応する破砕部が認められる。  
 ○この破砕部を対象に、コア観察及びCT画像観察により抽出した主せん断面において、条線観察、薄片観察を実施し、固結した破砕部の運動方向及び粘土状破砕部の運動方向を確認した。



コア写真(H'-0.9-45孔, 破砕部区分を加筆)

コア観察結果

深度31.72~31.81m:  
 見かけの傾斜角20~30°の厚さ7.9~8.2cmの破砕部。厚さ7.0~7.3cmの固結した破砕部, 厚さ0.4~0.7cmの褐灰色の砂状破砕部及び厚さ0.2~0.5cmの黄褐色の粘土状破砕部からなる。



# K-22の運動方向調査結果 —H' -0.9-45孔(コア観察, CT画像観察)—

- コア観察, CT画像観察結果より, 固結した角礫状破碎部に挟まれた深度31.80m付近に, 厚さ0.2~0.5cmの粘土状破碎部が認められる。
- 粘土状破碎部を伴う比較的直線性・連続性がよい面を, 主せん断面として抽出した。
- 主せん断面において, 条線観察及び薄片観察を実施した。

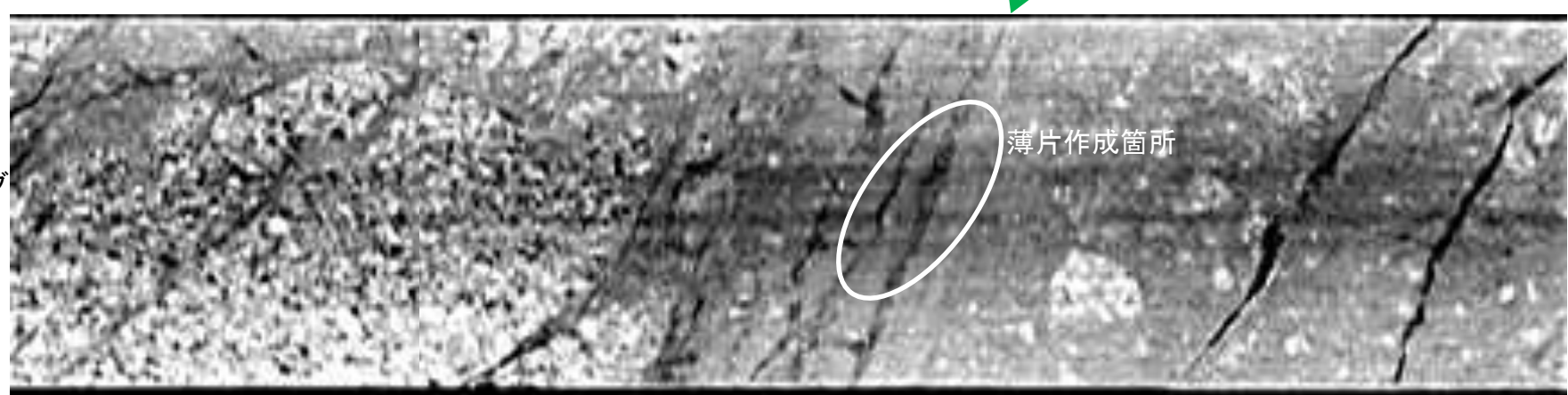
(深度) 31.6 31.7 31.8 31.9 (m)



- 粘土状破碎部
- 砂状破碎部
- 固結した粘土・砂状破碎部, 固結した角礫状破碎部

(固結した粘土・砂状破碎部) (固結した角礫状破碎部) (固結した角礫状破碎部)

コア拡大写真(H' -0.9-45孔)



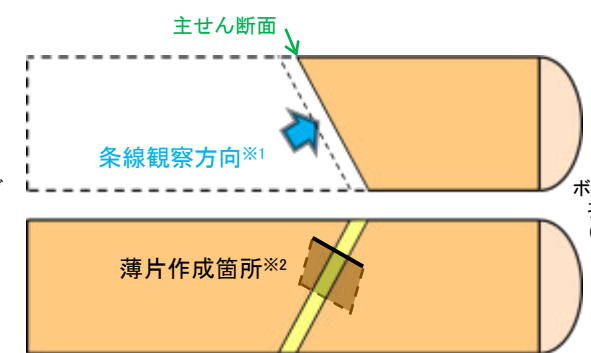
CT画像(H' -0.9-45孔)

ボーリング  
孔底側  
(下盤)

ボーリング  
孔口側  
(上盤)

ボーリング  
孔底側  
(下盤)

ボーリング  
孔口側  
(上盤)

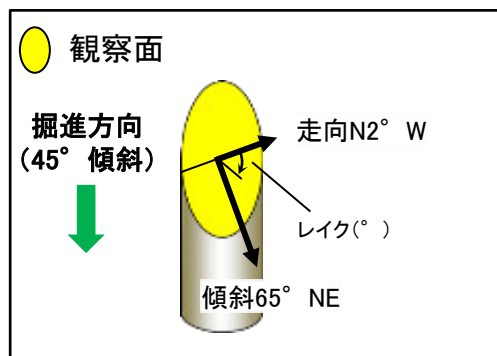


半割コア断面模式図  
上: 条線観察側  
下: 薄片作成側

- ※1: 主せん断面を上盤側から下盤側方向に観察
- ※2: 反対側の半割コアで確認した条線方向で薄片を作成

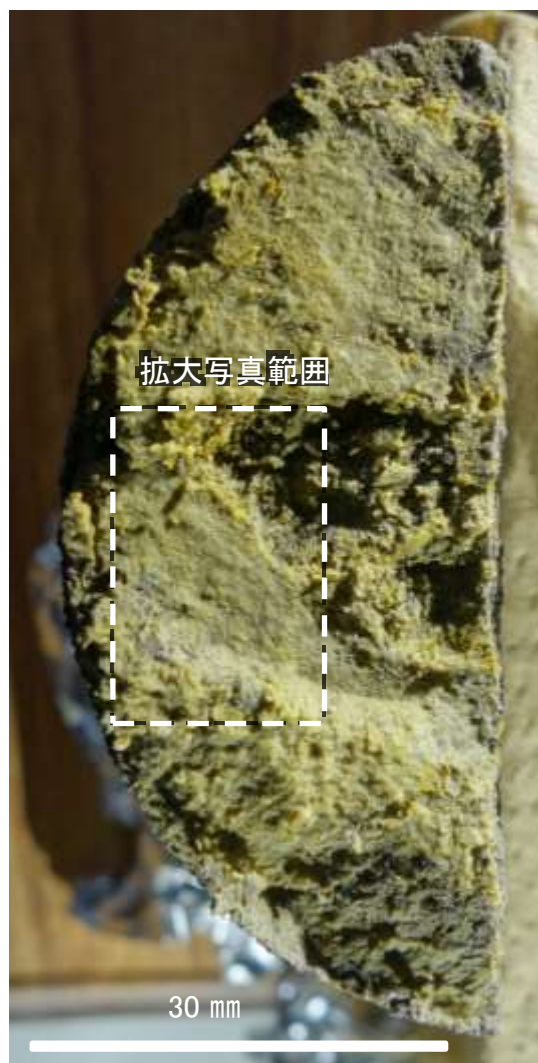
# K-22の運動方向調査結果 —H' -0.9-45孔(条線観察, 下盤側) —

- 主せん断面における条線観察の結果, 下盤側の観察面で $60^\circ$  R,  $45^\circ$  Rの条線が認められる。
- 観察面において, 礫まわりの粘土の非対称構造などの変位センスを推定できるような構造は認められない。

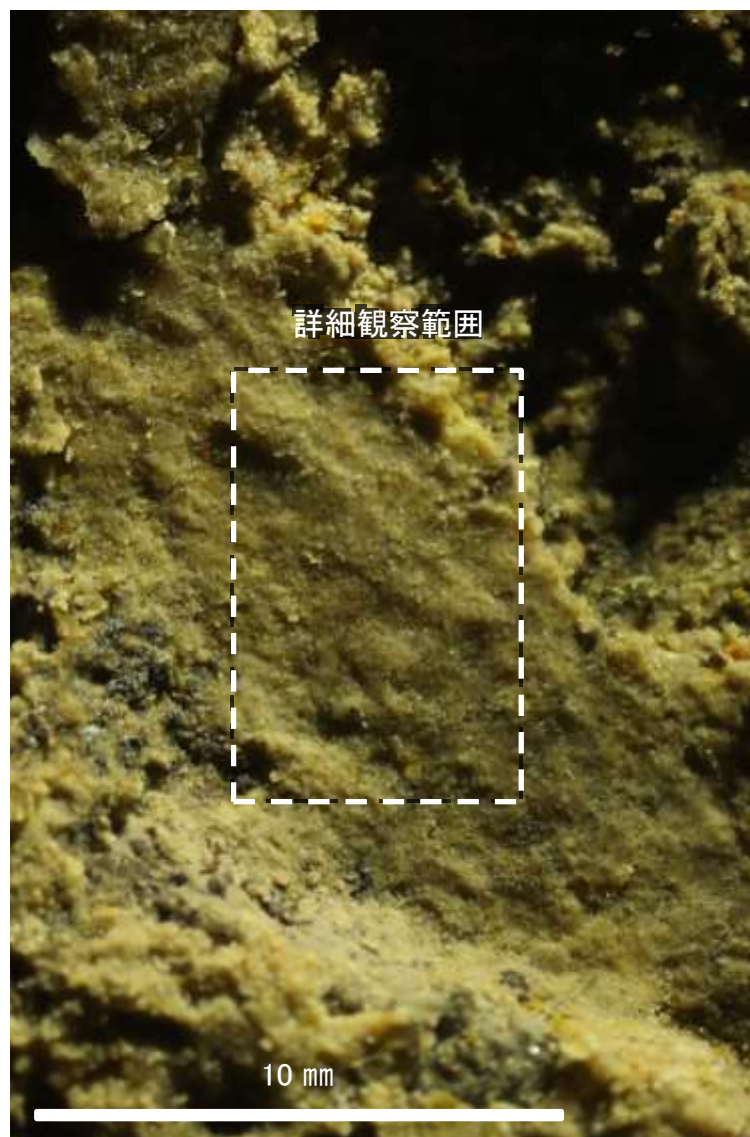


概念図

※走向は真北で示す。



観察面写真



観察面拡大写真

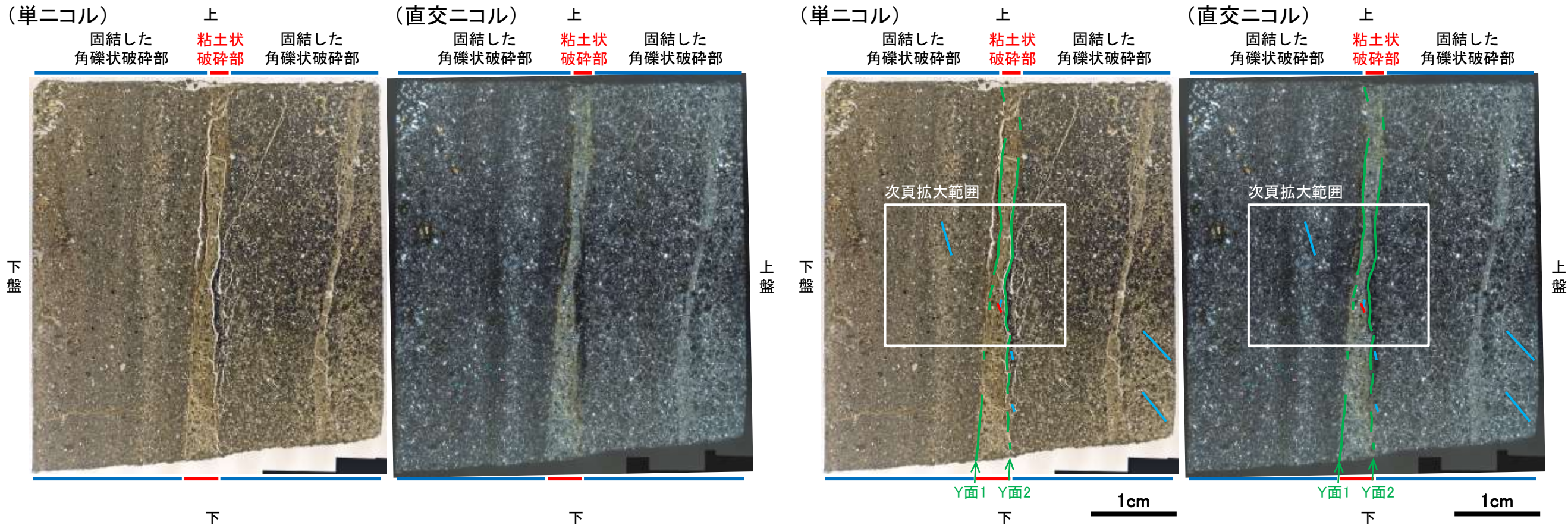


詳細観察写真

# K-22の運動方向調査結果 —H' -0.9-45孔(薄片観察)—

- 主せん断面において60° Rの条線方向で作成した薄片観察の結果、下盤側から固結した角礫状破碎部、粘土状破碎部、固結した角礫状破碎部※に分帯される。
- 固結した角礫状破碎部(下盤側)と粘土状破碎部の境界をなすY面1が認められる。このY面1は密着し不明瞭となり、連続性に乏しい。
- 粘土状破碎部と固結した角礫状破碎部(上盤側)の境界をなすY面2が認められる。このY面2は凹凸を伴い、密着し不明瞭となり、直線性、連続性に乏しい。
- その他、薄片内にY面に相当する構造は認められない。

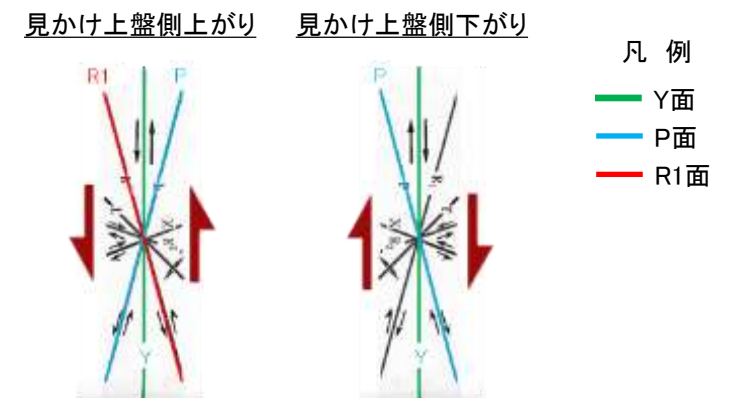
※分帯名はコア観察での破碎部区分に対応



薄片写真(H' -0.9-45\_60R)  
(右は構造等を加筆)

## 薄片観察結果

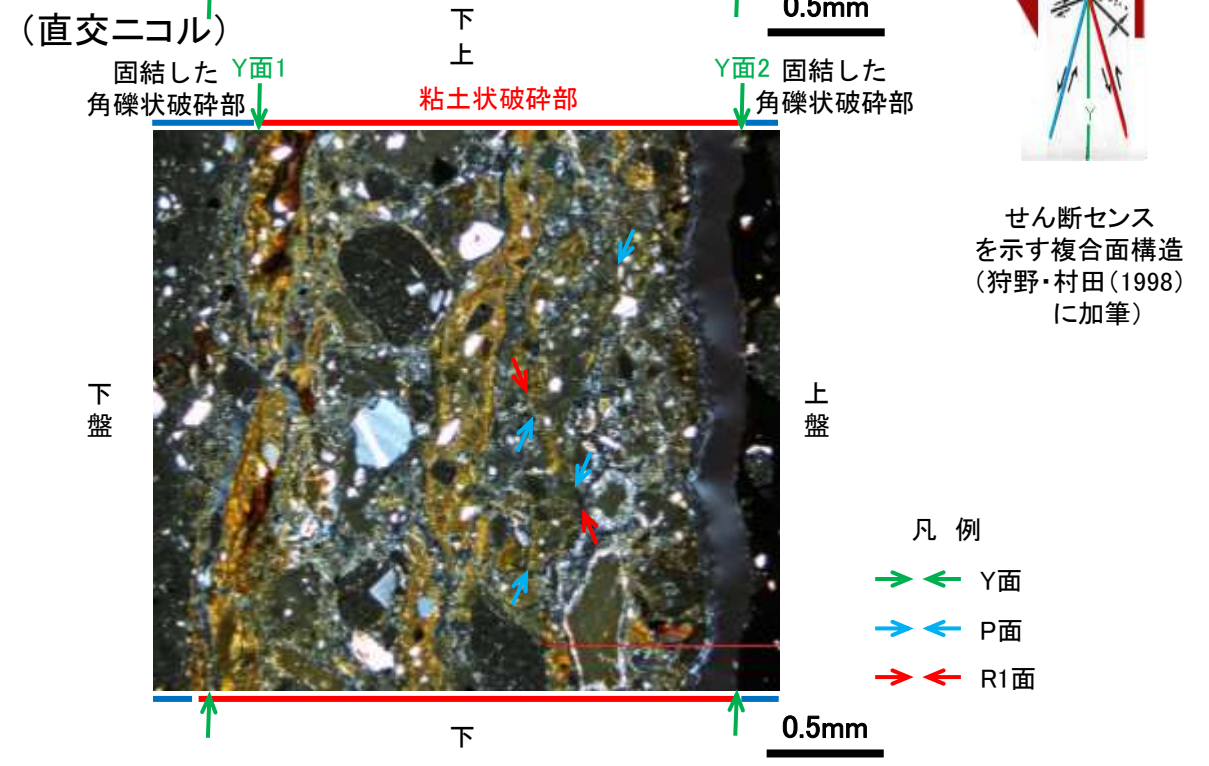
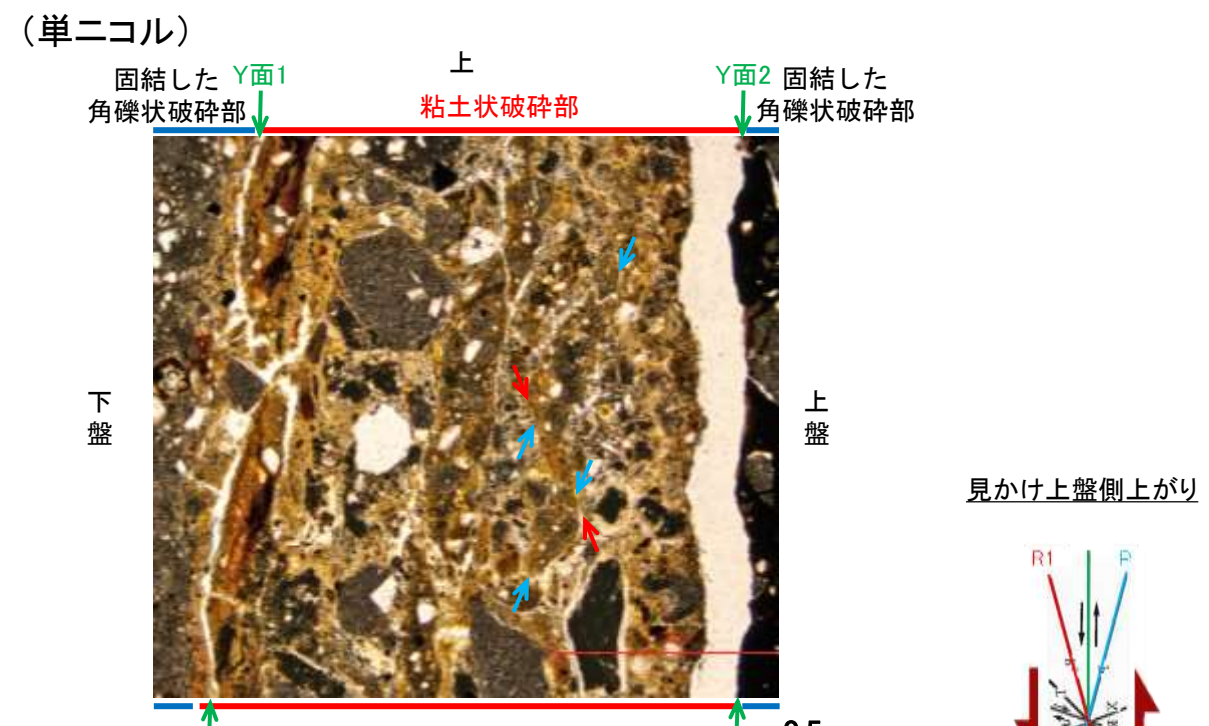
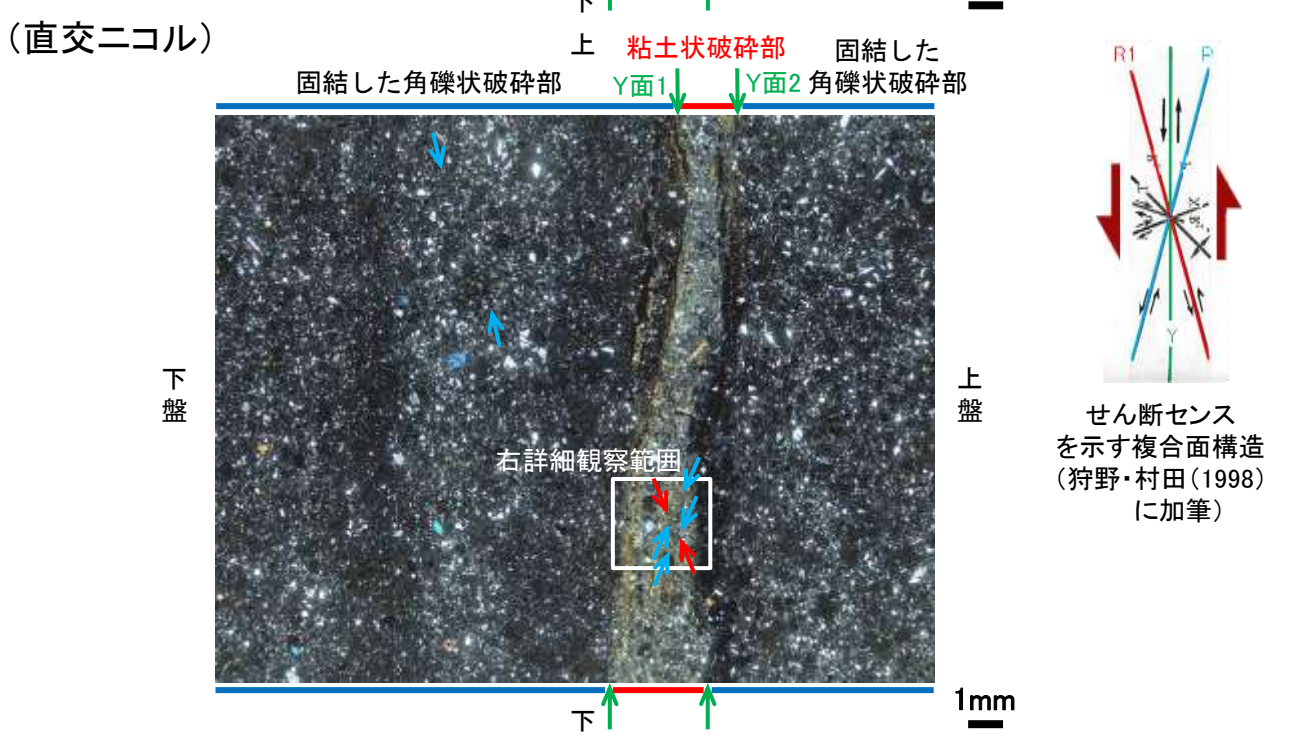
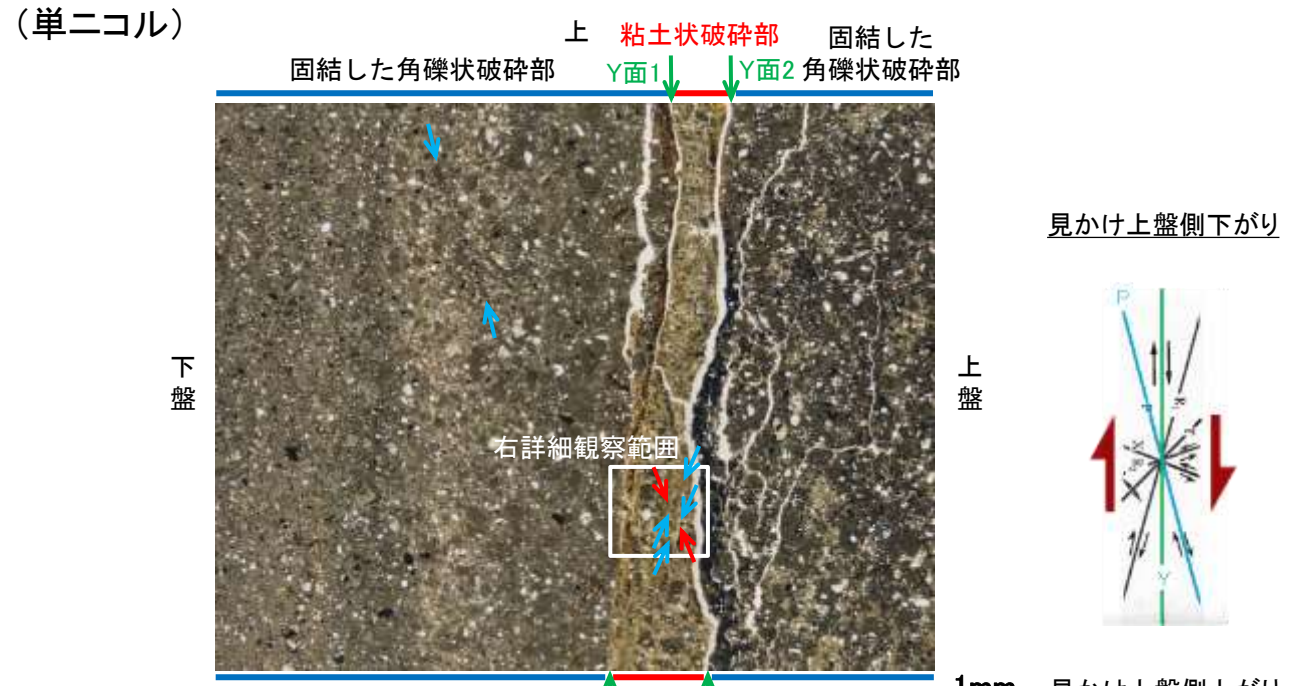
- 固結した角礫状破碎部(上盤側):**  
単ニコルで褐灰色、直交ニコルで灰色の干渉色を呈する。径3mm以下の岩片や鉱物片が細粒な基質中に含まれており、径8mm程度の岩片も認められる。岩片、鉱物片は角～亜円形である。
- 粘土状破碎部:**  
単ニコルで淡褐灰色、直交ニコルで黄～灰色の干渉色を呈する。径1mm以下の岩片や鉱物片が細粒な基質中に含まれる。岩片、鉱物片は角～亜円形である。基質中や岩片の縁辺部に粘土鉱物が生成されている。
- 固結した角礫状破碎部(下盤側):**  
単ニコルで褐灰～暗灰色、直交ニコルで灰色の干渉色を呈する。径1mm以下の岩片や鉱物片が細粒な基質中に含まれており、径5mm程度の岩片も認められる。岩片、鉱物片は角～亜円形である。一部の基質中や割れ目、岩片の縁辺部には粘土鉱物が生成されている。



せん断センスを示す複合面構造  
(狩野・村田(1998)に加筆)

# K-22の運動方向調査結果 —H' -0.9-45孔(薄片観察, 詳細観察)—

- 固結した角礫状破碎部中の岩片や鉱物片の定向配列をP面とすると, 見かけ上盤側下がりの変位が推定される。
- 断層の走向傾斜がN2° W/65° NE, 薄片作成方向が60° Rであることから, 固結した破碎部の運動方向は正断層センスである。
- 粘土状破碎部中の岩片や鉱物片の多くに定向性は認められない。ただし, 粘土状破碎部中の一部において認められる岩片や粘土鉱物の微弱的な定向配列をP面とし, これらの配列を切断する微細な割れ目をR1面とすると, 見かけ上盤側上がりの変位が推定される。
- 断層の走向傾斜がN2° W/65° NE, 条線レイクが60° Rであることから, 粘土状破碎部の運動方向は右横ずれを伴う逆断層センスである。



- 凡例
- ← Y面
  - ← P面
  - ← R1面

拡大範囲写真

詳細観察範囲写真

# K-22の運動方向調査結果 —H' -0.9-45孔(参考:想定深度付近コア写真)—

OK-22想定深度付近(深度27~36m)のコア写真を以下に示す。

H' -0.9-45孔(掘進長40.00m, 傾斜45° )

